

# Proyecto Fin de Carrera

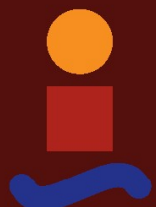
## Ingeniería Química

### Estudio al ruido ascendente por impacto en las aulas 005-105 en la Escuela de Ingenieria de Sevilla

Autor: Gregorio Chacón Leiva  
Tutor: Pedro Flores Domínguez-Rodiño

Dep. Ingeniería Mecánica  
Escuela Técnica Superior de Ingeniería  
Universidad de Sevilla

Sevilla, 2016





Proyecto Fin de Carrera  
Ingeniería Química

# **Estudio al ruido ascendente por impacto en las aulas 005-105 en la Escuela de Ingeniería de Sevilla**

Autor:  
Gregorio Chacón Leiva

Tutor:  
Pedro Flores Domínguez-Rodiño

Dep. Ingeniería Mecánica  
Escuela Técnica Superior de Ingeniería  
Universidad de Sevilla  
Sevilla, 2016

Proyecto Fin de Carrera:

Autor: Gregorio Chacón Leiva  
Tutor: Pedro Flores Domínguez-Rodiño

El tribunal nombrado para juzgar el Proyecto arriba indicado, compuesto por los siguientes miembros:

Presidente:

Vocales:

Secretario:

Acuerdan otorgarle la calificación de:

Sevilla, 2016

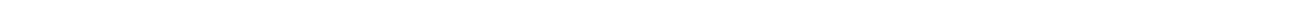
El Secretario del Tribunal

---

*“Muchos años después, frente al pelotón de fusilamiento, el coronel Aureliano Buendía había de recordar aquella tarde remota en que su padre lo llevó a conocer el hielo.....!”*

*“Cien años de soledad”*  
*Gabriel García Márquez.*

*A la memoria de mi padre, al cual veo cada mañana en el espejo.*



# Agradecimientos

---

Quiero agradecer en primer lugar a Dios, por guiarme en el camino y fortalecerme espiritualmente para empezar un camino lleno de éxito.

Así, quiero mostrar mi gratitud a todas aquellas personas que estuvieron presentes en la realización de esta meta, de este sueño que es tan importante para mí, agradecer todas sus ayudas, sus palabras motivadoras, sus conocimientos, sus consejos y su dedicación.

Muestro mis más sinceros agradecimientos a mi tutor de proyecto, quien con su conocimiento y su guía fue una pieza clave para que pudiera desarrollar una clave de hechos que fueron imprescindibles para cada etapa de desarrollo del trabajo.

A mis compañeros, quienes a través de tiempo fuimos fortaleciendo una amistad y creando una familia, muchas gracias por toda su colaboración, por convivir todo este tiempo conmigo, por compartir experiencias, alegrías, frustraciones, llantos, tristezas, peleas, celebraciones y múltiples factores que ayudaron a que hoy seamos como una familia, por aportarme confianza y por crecer juntos en este proyecto, muchas gracias.

Por último, quiero agradecer a la base de todo, a mi familia, en especial a mis padres, que quienes con sus consejos fueron el motor de arranque y mi constante motivación, muchas gracias por su paciencia y comprensión, y sobre todo por su amor.

¡Muchas gracias por todo!

*Gregorio Chacón Leiva  
Sevilla, 2016*

# Resumen

---

La idea central de este proyecto es la validación de las ecuaciones propuestos por los autores Santos y Mateus en su artículo de la revista Acústica del año 2008.

Dichas ecuaciones fueron propuestas para obtener un modelo de ruido ascendente. Cuando la fuente sonora se encuentra debajo del recinto de estudio (salas de maquinas, restaurantes etc...). En la actualidad no existe normativa referente para este ruido , y no es posible cuantificar los aislantes acusticos necesarios para los recintos

Para ello se tomo como recinto de estudio dos aulas superpuestas de la Escuela de Ingeniería de Sevilla, para la realización del ensayo de impacto acústico.

En una primera parte se da a conocer las magnitudes a utilizar durante todo el proyecto, además de una descripción de los recintos de estudio, los equipos utilizados y el procedimiento a seguir para la obtención de datos.

Posteriormente esos datos son adaptados a lo que dicta la norma, la cual se encuentra recogida en UNE-EN-12354, ISO-717-2, ISO 140-7 y DB-HR.

Con esos valores se realizan estudios de ensayos de impactos y los correspondientes informes, los cuales son paso previo para la verificación de las ecuaciones de los autores.

En el ultimo punto se comprueba la veracidad de las formulas de los autores y se dan posibles soluciones para reducir el error de las mismas.

# **Abstract**

---

The central idea of this project is the validation of equations proposed by Mateus Santos and authors in their article of "Acustica journal" at 2008.

These equations were proposed for a model of rising noise. When the sound source is under study enclosure (machine rooms, restaurant,etc...) .At present there are no regulations concerning this noise, and it is not possible to quantify the acoustic insulation required for enclosures

For this study took as enclosure, two overlapping classrooms of the School of Engineering of Seville, for carrying out the noise impact test.

The first part is disclosed quantities to be used throughout the project, plus a description of the classrooms, the equipment used and the procedure for obtaining data.

Subsequently these data are adapted to the dictates of the rule, which is included in UNE-EN-12354, ISO-717-2, ISO 140-7 and DB-HR.

With these data impact test studies are made the reports , which they are preliminary to the verification of the equations of the authors.

On the last point the veracity of the formulas of the authors is checked and possible solutions are given to reduce the error of them.



Proyecto : Estudio al ruido ascendente por impacto

Autor: Gregorio Chacón Leiva

Tutor : Pedro Flores Domínguez-Rodiño

## INDICE

| <u>Sección</u>   | <u>Página</u> |
|--|---------------|
| <b>Agradecimientos.....</b>  | <b>6</b>      |
| <b>Resumen.....</b>  | <b>7</b>      |
| <b>Abstract .....</b>  | <b>8</b>      |
| <b>1. INTRODUCCION .....</b>   | <b>13</b>     |
| <b>1.1      Objetivo .....</b>   | <b>13</b>     |
| <b>1.2      Ejecución .....</b>  | <b>13</b>     |
| <b>2. CONCEPTOS GENERALES Y NORMATIVAS.....</b>  | <b>14</b>     |
| <b>2.1      Definiciones .....</b>   | <b>14</b>     |
| 2.1.1      Nivel medido de presión sonora en un recinto .....                            | 14            |
| 2.1.2      Nivel de presión de ruido de impactos .....                                   | 14            |
| 2.1.3      Nivel de presión acústica de impactos estandarizado .....                     | 14            |
| 2.1.4      Nivel de presión acústica de impactos normalizado .....                       | 14            |
| 2.1.5      Reducción de nivel de presión acústica de impactos .....                      | 15            |
| 2.1.6      Reducción del nivel de presión acústica de impactos .....                     | 15            |
| 2.1.7      Nivel de presión acústica de impactos indirecta normalizados .....            | 15            |
| 2.1.8      Índice de reducción acústica a ruido aéreo .....                              | 15            |
| 2.1.9      Índice de mejora de la reducción acústica .....                               | 15            |
| 2.1.10      Índice de reducción de vibraciones .....                                     | 15            |
| 2.1.11      Transmisión directa.....   | 16            |
| 2.1.12      Transmisión estructural indirecta (por flancos).....                         | 16            |
| 2.1.13      Diferencia de nivel de velocidad en la unión promediada en dirección.....    | 16            |
| 2.1.14      Nivel de presión acústica de impactos normalizado por flancos.....           | 16            |
| <b>2.2      Normativas de referencia.....</b>  | <b>18</b>     |
| <b>3. PROCEDIMIENTOS EXPERIMENTALES .....</b>  | <b>19</b>     |
| <b>3.1      Normativa de ensayo.....</b>   | <b>19</b>     |
| <b>3.2      Descripción del experimento.....</b>   | <b>20</b>     |
| 3.2.1      Localización .....  | 20            |
| 3.2.2      Equipos.....  | 21            |
| 3.2.3      Procedimiento de obtención de datos .....                                     | 23            |
| <b>4. OBTENCION DE DATOS EXPERIMENTALES .....</b>  | <b>25</b>     |
| <b>4.1      Obtención de datos (I).Tiempo de reverberación y volumen de recintos....</b> | <b>26</b>     |
| 4.1.1      Tiempo de reverberación .....   | 26            |
| 4.1.2      Volumen de recintos .....   | 27            |

*Proyecto : Estudio al ruido ascendente por impacto*

*Autor: Gregorio Chacón Leiva*

*Tutor : Pedro Flores Domínguez-Rodiño*

|            |  |            |
|------------|--|------------|
| <b>4.2</b> | <b>Obtención de datos (II). Nivel de presión acústica normalizado/estandarizado. <math>L'_n</math>, <math>L'_{nT}</math> respectivamente .....</b>               | <b>29</b>  |
| <b>4.3</b> | <b>Obtención datos (III). Nivel de presión acústica normalizado/estandarizado ponderado. <math>L'_{n,w}</math>, <math>L'_{nT,w}</math> respectivamente. ....</b> | <b>29</b>  |
| <b>4.4</b> | <b>Nomenclatura de los datos obtenidos .....</b>   | <b>30</b>  |
| <b>5.</b>  | <b>ESTUDIO PREVIO CUALITATIVO AL RUIDO POR IMPACTO .....</b>   | <b>31</b>  |
| <b>5.1</b> | <b>Ruido descendente.....</b>  | <b>31</b>  |
| <b>5.2</b> | <b>Ruido ascendente.....</b>   | <b>33</b>  |
| <b>5.3</b> | <b>Comparación del Ruido ascendente y descendente.....</b>   | <b>34</b>  |
| <b>6.</b>  | <b>CUMPLIMIENTO DE LA NORMATIVA 717-2 y DB-HR.....</b>   | <b>36</b>  |
| <b>6.1</b> | <b>Cumplimiento de la normativa 717-2.....</b>   | <b>36</b>  |
| <b>6.2</b> | <b>Cumplimiento de la normativa DB-HR .....</b>  | <b>39</b>  |
| <b>7.</b>  | <b>CUMPLIMIENTO DE LAS ECUACIONES DE MATEUS Y SANTOS.....</b>  | <b>40</b>  |
| <b>7.1</b> | <b>Propuestas a una posible modificación a las ecuaciones de Mateus y Santos .....</b>   | <b>46</b>  |
| <b>8.</b>  | <b>CONCLUSIONES FINALES .....</b>  | <b>51</b>  |
| <b>8.1</b> | <b>Conclusiones principales .....</b>  | <b>51</b>  |
| <b>8.2</b> | <b>Conclusiones a las ecuaciones de los autores .....</b>  | <b>52</b>  |
| <b>9.</b>  | <b>ANEXO .....</b>   | <b>55</b>  |
| <b>9.1</b> | <b>Anexo 1. Valores brutos obtenidos en campo.....</b>   | <b>55</b>  |
| <b>9.2</b> | <b>Anexo 2. Niveles de presión sonora normalizados a ruido descendente y ascendente.....</b>   | <b>63</b>  |
| <b>9.3</b> | <b>Anexo 3. Documentos Basicos HR Protección frente al ruido.....</b>  | <b>71</b>  |
| <b>9.4</b> | <b>Anexo 4. Niveles de presión sonora ponderados normalizados para Alfa y Bravo .....</b>  | <b>76</b>  |
| <b>9.5</b> | <b>Anexo 5. Calculo de <math>Alfa_n</math> revestido para la obtención de <math>ALw</math>.....</b>  | <b>178</b> |
| <b>9.6</b> | <b>Anexo 6. Datos y cálculos para las ecuaciones de Mateus y Santos .....</b>  | <b>184</b> |
| <b>9.7</b> | <b>Anexo 7. Informes de impacto acústico experimentales .....</b>  | <b>190</b> |
| <b>10.</b> | <b>REFERENCIAS.....</b>  | <b>218</b> |

*Proyecto :* Estudio al ruido ascendente por impacto

*Autor:* Gregorio Chacón Leiva

*Tutor :* Pedro Flores Domínguez-Rodiño

*Proyecto : Estudio al ruido ascendente por impacto*

*Autor: Gregorio Chacón Leiva*

*Tutor : Pedro Flores Domínguez-Rodiño*

## **1. INTRODUCCION**

### **1.1 Objetivo**

El objeto principal de este proyecto final de carrera es corroborar y verificar si el modelo propuesto por Mateus y Santos en el artículo '*Previsión de la transmisión marginal de ruido de impacto entre compartimentos superpuestos*' de la revista Acústica de 2008, del centro de Investigación en Ciencias de la Construcción del Departamento de Ingeniería Civil de la Universidad de Coimbra, para la transmisión de ruido ascendente se cumple para recintos superpuestos en la Escuela de Ingeniería de Sevilla. En el caso de que ello no fuera posible se procederá a proponer unas nuevas ecuaciones para la transmisión de ruido desde abajo hacia arriba (ascendente) de dichos recintos superpuestos.

La utilidad de dichas ecuaciones se debe a que actualmente no existe ninguna normativa referente a ruido ascendente y no es posible cuantificar correctamente los aislantes acústicos necesarios.

Además, estas ecuaciones y las propuestas deberán cumplir la norma referente:

1. UNE-EN 12354-2:2001 "Aislamiento acústico a ruidos de impactos entre recintos".
2. UNE-EN ISO 140-7=1999 "Medición in situ para aislamiento acústico de suelos al ruido de impactos" UNE.
3. UNE-EN ISO 717-2=1997 "Aislamiento a ruido de impactos".

No obstante, el modelo propuesto por los ingenieros de la Universidad de Coimbra, deberá además cumplir la Guía de Aplicación del DB-HR Protección frente al ruido.

Todo ello se irá explicando y analizando a lo largo del documento.

### **1.2 Ejecución**

El documento se dividirá en varias partes. En la primera se citan conceptos generales para que el lector tenga una fácil comprensión de lo descrito en referente a la Acústica y a la transmisión del ruido a lo largo de este documento. Además se explicará en esta primera parte las normativas de referencia que darán valores límites (con límites mínimos) a la validación del modelo teórico de transmisión de ruido.

Para corroborar este modelo propuesto en una segunda parte se realizarán una serie de experimentos en dos aulas superpuestas. Además en este punto se explicará la normativa referente al ensayo, así como además la misma descripción del experimento.

A continuación se realizará un estudio de los datos obtenidos clasificándolos en tipos de datos para su posterior normalización.

Finalmente en una última parte se describirá sobre el cumplimiento de la Normativa 717 por dicho modelo y además del cumplimiento del modelo en la transmisión de ruido por impacto en base a los resultados de los experimentos obtenidos en el apartado anterior. Además se plantearán modelos alternativos si procediese.

Proyecto : Estudio al ruido ascendente por impacto

Autor: Gregorio Chacón Leiva

Tutor : Pedro Flores Domínguez-Rodiño

## 2. CONCEPTOS GENERALES Y NORMATIVAS

En este punto se describirán una serie de definiciones referentes a la acústica y normativas de referencia.

### 2.1 Definiciones

#### 2.1.1 Nivel medido de presión sonora en un recinto<sup>1</sup>

Es diez veces el logaritmo decimal del cociente del promedio temporal y espacial del cuadrado de la presión sonora, y el cuadrado de la presión sonora de referencia, tomando el promedio espacial sobre el recinto con la excepción de aquellas partes donde la radiación directa de la fuente sonora o el campo cercano de los límites del recinto tenga una influencia significativa. En la práctica, normalmente se miden los niveles de presión sonora  $L_f$ .

$$L = 10 \log \left( \frac{1}{n} \sum_{j=1}^n 10^{\frac{L_f}{10}} \right) \quad (\text{dB}) \quad (1)$$

Donde los  $L_f$  son los niveles de presión sonora  $L_1$  a  $L_n$  en n posiciones distintas.

#### 2.1.2 Nivel de presión de ruido de impactos<sup>2</sup>

Es el nivel de presión sonora medio de un tercio de octava en la sala receptora cuando el suelo bajo ensayo es excitado por la máquina de impactos normalizados ( $L_i$ ).

#### 2.1.3 Nivel de presión acústica de impactos estandarizado<sup>3</sup>

Es el nivel de presión acústica de impactos correspondiente a un área acústica equivalente de referencia en el recinto receptor. Esta magnitud se determina según la norma EN ISO 140-7.

$$L'_n = L_i + 10 \log \left( \frac{A}{A_0} \right) \quad (\text{dB}) \quad (2)$$

$L'_n$ = Nivel de presión acústica de impactos medido en el recinto receptor, en decibelios.

$A$ = Área de absorción equivalente medida, del recinto receptor, en metros cuadrados.

$A_0$ = Área de absorción equivalente de referencia, para viviendas  $A_0=10 \text{ m}^2$ .

#### 2.1.4 Nivel de presión acústica de impactos normalizado<sup>4</sup>

Es el nivel de presión acústica de impactos relativo a un valor de referencia del tiempo de reverberación en el recinto receptor. Esta magnitud se determina según la norma EN ISO 140-7.

$$L'_{nT} = L_i + 10 \log \left( \frac{T}{T_0} \right) \quad (\text{dB}) \quad (3)$$

$T$  = Tiempo de reverberación del recinto receptor, en segundos.

$T_0$  = Tiempo de reverberación de referencia (en viviendas  $T_0= 0,5 \text{ s}$ )

Por tanto, la relación entre las magnitudes anteriores viene dada por la expresión:

$$L'_{nT} = L'_n - 10 \log \left( \frac{0.16V}{A_0 T_0} \right) = L'_n - 10 \log(0.032V) \quad (\text{dB}) \quad (4)$$

Proyecto : Estudio al ruido ascendente por impacto

Autor: Gregorio Chacón Leiva

Tutor : Pedro Flores Domínguez-Rodiño

### 2.1.5 Reducción de nivel de presión acústica de impactos<sup>5</sup>

Es la reducción del nivel de presión acústica de impactos normalizado resultante de la instalación del recubrimiento del suelo de ensayo. Mejora el aislamiento a ruido de impactos.

$$\Delta L = L_{no} - L_n \quad (\text{dB}) \quad (5)$$

$L_{no}$ = Nivel de presión acústica de impactos normalizado en ausencia de recubrimiento de suelo.

$L_n$ =Nivel de presión acústica de impactos una vez instalado el recubrimiento de suelo.

### 2.1.6 Reducción del nivel de presión acústica de impactos<sup>6</sup>

Reducción del nivel de presión acústica de impactos mediante la adición de una capa adicional en el lado de recepción del elemento separador. Esta magnitud viene determinada por la Norma EN ISO 140-7, se expondrá con más detalle en los puntos en los cuales sea necesario.

### 2.1.7 Nivel de presión acústica de impactos indirecta normalizados<sup>7</sup>

Es el nivel de presión acústica promediada espacial y temporal en el recinto receptor producido por una máquina de martillos normalizada funcionando en diferentes posiciones sobre el elemento considerado en el recinto emisor normalizado al área de absorción acústica equivalente de referencia (A) en el recinto receptor con  $A_0=10 \text{ m}^2$ . Se considera que la transmisión se produce sólo a través del elemento flanco especificado; por ejemplo en un suelo continuo.

$$L_{nf} = L_i + 10 \log\left(\frac{A}{A_0}\right) \quad (\text{dB}) \quad (6)$$

### 2.1.8 Índice de reducción acústica a ruido aéreo<sup>8</sup>

R. Diez veces el logaritmo decimal del cociente entre la potencia acústica  $W_1$ , incidente sobre la muestra de ensayo, y la potencia acústica  $W_2$ , transmitida a través de la muestra.

$$R = 10 \log\left(\frac{W_1}{W_2}\right) \quad (\text{dB}) \quad (7)$$

### 2.1.9 Índice de mejora de la reducción acústica<sup>9</sup>

Es la diferencia del índice de reducción acústica entre un elemento estructural básico con una capa adicional (por ejemplo un techo suspendido) y el elemento estructural básico. Esta magnitud se determina mediante el anexo D de la Norma EN 12354-1:2000.

### 2.1.10 Índice de reducción de vibraciones<sup>10</sup>

Esta magnitud está relacionada con la transmisión de potencia vibracional a través de una unión entre elementos estructurales, normalizada con objetivo de hacerla una magnitud invariante.

$$K_{ij} = \frac{D_{v,ij} + D_{v,ji}}{2} + 10 \log\left(\frac{l_{ij}}{\sqrt{a_i a_j}}\right) \quad (\text{dB}) \quad (8)$$

$D_{v,ij}$ : Diferencia del nivel de velocidad entre los elementos i y j en la unión, cuando se excita el elemento i.

$D_{v,ji}$ : Diferencia del nivel de velocidad entre los elementos i y j en la unión, cuando se excita el elemento j.

Proyecto : Estudio al ruido ascendente por impacto

Autor: Gregorio Chacón Leiva

Tutor : Pedro Flores Domínguez-Rodiño

$L_{ij}$ : Es la longitud común de la unión entre los elementos i y j en metros  
 $a_i$ : Es la longitud de absorción equivalente del elemento i en metros

La longitud de absorción equivalente viene dada por la siguiente expresión:<sup>11</sup>

$$a = \frac{2.2\pi S}{C_0 T_s} \sqrt{\frac{f_{ref}}{f}} \quad (\text{m}) \quad (9)$$

$T_s$ : Tiempo de reverberación estructural del elemento i o j, en segundos

S: Área del elemento i o j, en metros cuadrados

f: Frecuencia central de la banda, en Hercios

$f_{ref}$ : Frecuencia de referencia,  $f_{ref} = 1000$  Hz

$C_o$ : Velocidad del sonido en aire, metros por Segundo

La magnitud  $K_{ij}$  debe determinarse según el Proyecto de Norma EN ISO 10848-1.

Para la obtención de ciertas constantes será necesaria información adicional referente a:

1. Densidad superficial  $m'$ , en kilogramos por metro cuadrado
2. Tipo de elementos
3. Material
4. Tipo de Unión

### 2.1.11 Transmisión directa<sup>12</sup>

Se debe a excitación por impacto y la radiación acústica de un elemento separador.

### 2.1.12 Transmisión estructural indirecta (por flancos)<sup>13</sup>

Transmisión de la energía acústica desde un elemento excitado en el recinto emisor hasta el recinto receptor por vía estructural en la construcción del edificio.

### 2.1.13 Diferencia de nivel de velocidad en la unión promediada en dirección<sup>14</sup>

Promedio de la diferencia de nivel de la unión entre el elemento i y el j.

$$D_{v,ij} = \frac{D_{v,ij} + D_{v,ji}}{2} \quad (\text{dB}) \quad (10)$$

### 2.1.14 Nivel de presión acústica de impactos normalizado por flancos<sup>15</sup>

Nivel de presión acústica promedio en el recinto receptor debido a una excitación del elemento i (forjado) por impacto en el recinto emisor y radiación acústica solo a través del elemento j en el recinto receptor, normalizado a un área de absorción equivalente de referencia de  $A_0=10$  m<sup>2</sup>. Se dividirán en modelos de **cálculo general** y modelos de **cálculo simplificado**.

#### 2.1.14.1 Modelos de cálculo general

La potencia acústica radiada al recinto receptor proviene del ruido radiado por cada elemento estructural de ese recinto. Se supone que la vida de transmisión de cada recorrido es independiente y que los campos acústicos y vibratorios se comportan de forma estadística, de forma que el nivel de presión acústica de impactos se pueden obtener mediante la suma de la energía transmitida a través de cada uno de los recorridos

Proyecto : Estudio al ruido ascendente por impacto

Autor: Gregorio Chacón Leiva

Tutor : Pedro Flores Domínguez-Rodiño

Para recintos situados uno encima de otro, el nivel de presión acústica de impactos total  $L'_n$  se puede obtener mediante la suma de la energía transmitida a través de la cada uno de los recorridos.

Para recintos situados uno encima del otro, el nivel de presión acústica de impactos viene determinado por:<sup>16</sup>

$$L'_n = 10 \log \left( 10^{\frac{L'_{n,d}}{10}} + \sum_{j=1}^n 10^{\frac{L'_{n,ij}}{10}} \right) \quad (\text{dB}) \quad (11)$$

$L'_{n,d}$ : Nivel de presión acústica de impactos normalizado debido a transmisión directa.

$L'_{n,ij}$ : Nivel de presión acústica de impactos normalizado debido a transmisiones indirectas.

n: Número de elementos.

Para recintos situados uno junto a otro el nivel de presión sonora es:<sup>17</sup>

$$L'_n = 10 \log \sum_{j=1}^n 10^{\frac{L'_{n,ij}}{10}} \quad (\text{dB}) \quad (12)$$

El modelo detallado calcula las características de la edificación en bandas de frecuencia, basado en datos acústicos de los elementos constructivos por bandas de frecuencia. Debe realizarse como mínimo, por bandas de octava desde 125 Hz hasta 2000 Hz o por bandas de tercio de octava desde 100 Hz hasta 3150 Hz.

### 2.1.14.2 Modelos de cálculo simplificado

Procedimiento de cálculo. La versión simplificada del modelo de cálculo predice el nivel de presión acústica ponderada de impactos normalizado a partir de los valores ponderados de los elementos involucrados, determinados según los procedimientos de ponderación de la Norma ISO 717-2:1996. Su aplicación es en recintos situados unos sobre el otro como un forjado básico homogéneo.<sup>18</sup>

$$L'_{n,w} = L_{n,w,eq} - \Delta L_w + K \quad (\text{dB}) \quad (13)$$

$L'_{n,w}$ : Nivel de presión acústica ponderado in situ.

K: Corrección para la transmisión acústica de impactos sobre construcciones de flancos homogéneos en decibelios.

$\Delta L_w$ : Reducción ponderada del nivel de presión acústica de impactos global de un recubrimiento de forjado.

$L_{n,w,eq}$ : Nivel de presión acústica ponderado de impactos normalizado equivalente (considera el amortiguamiento de la estructura y el ruido por flancos).

*Proyecto : Estudio al ruido ascendente por impacto*

*Autor: Gregorio Chacón Leiva*

*Tutor : Pedro Flores Domínguez-Rodiño*

## **2.2 Normativas de referencia**

Para el caso que nos ocupa las normativas a aplicar son las siguientes:

### **UNE-EN 12354:2001**

Especifica modelos de cálculo para la estimación de aislamiento acústico, sobre la base de mediciones para la caracterización directa o indirecta a través de los elementos constructivos del edificio y métodos desarrollados teóricamente a partir de la propagación acústica a través de los medios estructurales.

Esta norma europea describe los principios del modelo de cálculo, enumera las magnitudes relevantes y define sus aplicaciones y restricciones.

### **UNE-EN ISO-7:1999**

Esta parte de la Norma ISO-140 se especifica métodos de ensayo in situ para la medida de las propiedades de aislamiento al ruido de impactos de suelos de edificios mediante el uso de una máquina de impactos normalizada.

Estos resultados obtenidos se puedan utilizar para comparar las propiedades de aislamiento al ruido de impactos de suelos y para comparar el aislamiento acústico a ruidos de impactos aparentes de suelos con respecto a unos requisitos especificados.

### **UNE-EN 717:1997**

Define magnitudes globales para el aislamiento a ruidos de impactos en edificios y de forjados.

El método para la determinación de esas magnitudes a partir de los resultados de medición realizados en bandas de tercio de octava, de acuerdo a las Normas Internacionales ISO-6 en ISO-140-7 y en bandas de octava de acuerdo con esta opción Norma Internacional ISO-10-7 para mediciones in situ solamente.

Define magnitudes globales para la reducción del ruido de los impactos de cubiertas de suelos y en suelos flotantes a partir de los resultados de mediciones conforme a las Normas Internacionales ISO-140-8.

Las magnitudes globales conforme a la norma ISO-717-2 pretenden clasificar el aislamiento acústico y simplificar la formulación de los requisitos acústicos en los códigos de edificación.

Proyecto : Estudio al ruido ascendente por impacto

Autor: Gregorio Chacón Leiva

Tutor : Pedro Flores Domínguez-Rodiño

### 3. PROCEDIMIENTOS EXPERIMENTALES

#### 3.1 Normativa de ensayo

El siguiente extracto nos delimita la normativa de ensayo para el ruido de impacto<sup>19</sup>. En él se detallan los pasos a seguir para el trabajo de campo con el test al ruido de impacto. Citando textualmente:

**“[...] Generación de campo acústico:**

- La máquina debe ser colocada en 4 posiciones distintas distribuidas de forma aleatoria.
- La distancia a los bordes del suelo debe ser al menos 0.5 m.
- Si los suelos son anisótropos (con nervaduras, vigas, etc.) puede ser necesario más posiciones, la línea de las cabezas deben formar 45°.
- Los niveles de presión sonora puede mostrar dependencia temporal. En tal caso no debería comenzarse hasta alcanzar nivel de ruidos estacionario. Si no se alcanza en 5 minutos, las mediciones deberán realizarse en un tiempo definido, dicho periodo de medición debe registrarse.
- Si los revestimientos son blandos la maquina debe cumplir los requisitos especiales siguen el anexo A.

**Medición del nivel ruido impactos.**

**Posiciones:**

- 0.7 m entre posiciones del micrófono.
- 0.5 m entre cualquier posición micrófono y los bordes de la sala o difusores.
- 1 m entre cualquier posición del micrófono y el suelo superior excitado por maquina impactos.

**Posiciones micrófono fijas**

- Mínimo 4 posiciones fijas (repartidas por todo el espacio permitiendo en la sala de medida)

**Posiciones micrófono móvil**

- Radio de barrido al menos 0.7 m
- Inclinado para abarcar una gran proporción de espacio permitido. No se encontrará en ningún plano con un ángulo de inclinación menor 10° con respecto a cualquier superficie. El periodo no debe ser inferior a 15 segundos

**Medición**

- Posición micrófono fijas.
- El número mínimo de medidas con un micrófono fijo es 6
- Posición micrófono móvil
- El número mino de medidas es 4

**Tiempo de promediado**

Para cada posición individual de micrófono el tiempo de promediado deberá ser de al menos 6 segundos por cada banda de frecuencia con frecuencias centrales por debajo de los 400 Hz. Para bandas de frecuencias centrales superiores, se permite disminuir el tiempo a no menos de 4 segundos. Utilizando un micrófono móvil el tiempo de promediado deberá cubrir un número entero de vueltas y debería ser de al menos 30 segundos.

**Rango de frecuencia de las mediciones**

Proyecto : Estudio al ruido ascendente por impacto

Autor: Gregorio Chacón Leiva

Tutor : Pedro Flores Domínguez-Rodiño

**El nivel de presión sonora debe ser medido utilizando filtros de tercio de octava.**

**Como información adicional y obtener resultados comparables a la medición en laboratorio se recomienda medir en tercio de octava en 4000 y 5000 Hz**

#### **Medición tiempo reverberación y evaluación**

**A: Área absorción equivalente ( $m^2$ )**

**V: Volumen**

**T=tiempo de reverberación**

**Se inicial la evaluación de la reverberación 0,1 s después de que la fuente sonora sea desconectada.**

**El rango de caída no debe ser ni inferior a 20 dB ni tan grande que no se pueda aproximar a línea recta, el final al menos 10 dB sobre el nivel de ruido.**

**El número mínimo es de 6 caídas (al menos 1 posición de altavoz y 3 posiciones de micrófono).**

**Con micrófonos móviles el tiempo de vuelta no debe ser inferior a 30 segundos.**

#### **Correcciones por ruido de fondo.**

**Mediciones de ruido de fondo para asegurar que las observaciones en la sala receptora no están afectadas por ruidos ajenos tales como ruidos del exterior de los recintos ensayos o ruido eléctrico, en esta última condición se reemplaza por un micro inerte.**

**El nivel de ruidos de fondo deberá ser al menos 6 dB (y preferiblemente más de 10 dB) inferior al nivel combinado de la señal y el ruido de fondo. Si la diferencia de niveles es inferior a 10 dB pero superior a 6 dB, se calcula las correcciones al nivel de la señal según la ecuación [...]”**

Extraído de la normativa ISO-140-7 en sus páginas 8 y 9. El procedimiento se explicara en el punto 3.2.3.

## **3.2 Descripción del experimento**

Nos ocuparemos de tres puntos, localización del experimento, equipos utilizados en las mediciones para la adquisición de información, y la descripción de cómo fue llevado a cabo.

### **3.2.1 Localización**

El experimento fue realizado en la Escuela de Ingenieros de Sevilla (CAMINO DE LOS DESCUBRIMIENTOS, S/N.- ISLA CARTUJA C.P: 41092), en el sistema formado por las aulas 005 y 105 las cuales se encuentran superpuestas respectivamente.

Dicho experimento fue realizado durante un domingo para evitar posibles perturbaciones acústicas debidas al trasiego de estudiantes y profesores.

Proyecto : Estudio al ruido ascendente por impacto

Autor: Gregorio Chacón Leiva

Tutor : Pedro Flores Domínguez-Rodiño



Figura 1. Plano general de la Escuela de Ingenieros.



Figura 2. Aulas 005 y 105.

### 3.2.2 Equipos

#### Symphonie y micrófonos

Symphonie marca 0,1 dB con un par de transductores (micrófonos en nuestro caso), conectados a una unidad de adquisición que transfiere los datos a una base de datos instalada en un ordenador. Dicho equipo graba la señal de audio, mide el nivel de ruido (sonómetro integrado) y muestra el aspecto en tiempo realizados.

#### Software

El **software** utilizado es el paquete libre **dBBATI32**, el cual está capacitado para calcular el aislamiento acústico según las normas anteriormente descritas. Dicho software nos dará una serie de informes acústicos necesarios para el proyecto.

*Proyecto : Estudio al ruido ascendente por impacto*

*Autor: Gregorio Chacón Leiva*

*Tutor : Pedro Flores Domínguez-Rodiño*



Figura 3. Symphonie conectado

### **Máquina de impactos**

La cual según las normas anteriores estará situada en las distintas posiciones que se plantean en la misma. Genera un ruido constante de ruidos. Un motor eleva constantemente un martillo que golpe el suelo y genera ruido.



Figura 4. Máquina de impactos en distintos puntos



Figura 5.Máquina de impactos en funcionamiento

Proyecto : Estudio al ruido ascendente por impacto

Autor: Gregorio Chacón Leiva

Tutor : Pedro Flores Domínguez-Rodiño

Especificaciones de diseño del equipo<sup>20</sup>.

1. Cinco martillos por hilera.
2. Distancia entre ejes de martillos vecinos (10+/- 3) mm. La distancia entre el centro de los soportes de la máquina de impactos y las líneas centrales de martillos.
3. La parte del martillo que golpea el suelo debe ser un cilindro con un diámetro de 3+/- 2 mm.
4. La superficie de impacto debe ser acero endurecido y esférica con un radio de curvatura de (50+/- 100)mm.
5. El momento de cada martillo deber ser igual a una masa de 50g que cae libremente desde una altura de 4mm con unos límites de tolerancia para el momento de +/- 5%. Al tener en cuenta la fricción en la guía del martillo, hay que asegurar también la velocidad del mismo, por lo tanto la masa del mismo ser (50+/- 12) g para una velocidad de impacto que debería ser de 0.033 m/s, para que esta velocidad se cumpla es condición que se cumpla que la masa del martillo sea de (50+/-6) g.
6. La dirección de caída del martillo debe ser perpendicular a suelo con un margen de error de +/- 0.5.

Especificaciones de funcionamiento:

1. La maquina debe ser autopropulsada para evitar interferencias.
2. El tiempo medio entre impactos debe ser (10+/- 5) ms.
3. El tiempo entre impactos sucesivos (10+/- 2) ms.

### 3.2.3 Procedimiento de obtención de datos

La máquina de impactos se sitúa en el recinto superior, en las distintas posiciones que dicta la norma, y se acciona el equipo. Al mismo tiempo vez en el recinto inferior se toman los valores experimentales en distintos puntos con el micrófono aleatoriamente.

Posteriormente se estudia la situación inversa, con las mismas condiciones anteriormente descritas.

Un parámetro muy importante para la obtención de datos es el tiempo de reverberación. Dicho tiempo se obtendrá en cada recinto por separado generando un ruido continuado que cesa repentinamente (palmadas, explosión de globos, etc.) y midiéndose el tiempo de caída de 60 dB o cuando el ruido se estabilice.

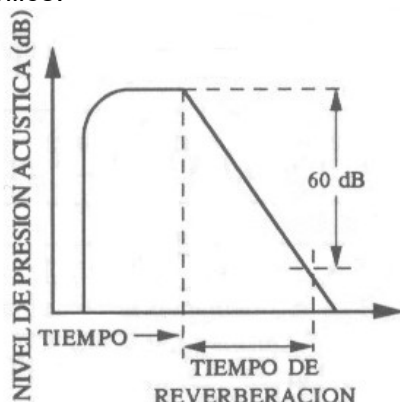


Figura 6.Tiempo de reverberación<sup>21</sup>

Proyecto : Estudio al ruido ascendente por impacto

Autor: Gregorio Chacón Leiva

Tutor : Pedro Flores Domínguez-Rodiño

En nuestro caso al ser una medida de muy difícil determinación se utilizó valores bibliográficos, en los cuales poseía una fuente sonora omnidireccional lo que le permitió obtener valores precisos.

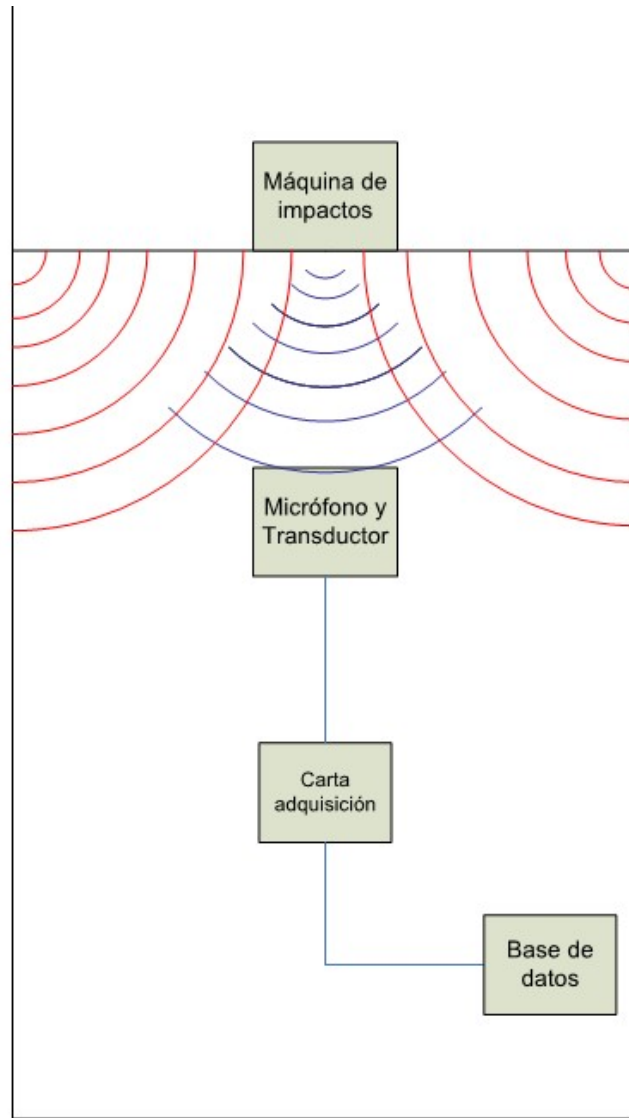


Figura 7. Esquema del experimento

En la imagen podemos ver el primer experimento donde generamos el ruido en el suelo del aula superior (105). El equipo de recepción, transmisión y base de datos se encuentra en el aula inferior (005) La localización de la maquina de impactos y del micrófono cambiara a lo largo del experimento y será explicado en el punto 4.2.

Proyecto : Estudio al ruido ascendente por impacto

Autor: Gregorio Chacón Leiva

Tutor : Pedro Flores Domínguez-Rodiño

#### 4. OBTENCION DE DATOS EXPERIMENTALES

Para el cumplimiento de la norma y la validación de las ecuaciones de Santos y Mateus, es necesario hallar una serie de magnitudes derivadas de las obtenidas primeramente por el programa **DBBATI32**, como puede verse en el diagrama de la figura 8.

$L'$  (**Nivel de presión sonora**) será obtenido en campo con el procedimiento descrito en el apartado anterior.

La aplicación de la normativa **UNE-EN ISO 140-7**, aplicándose a los datos obtenidos in situ ( $L'$ ), nos irá dando los diferentes valores de  $L'_{nT}$  (**Nivel de presión acústica normalizado**)

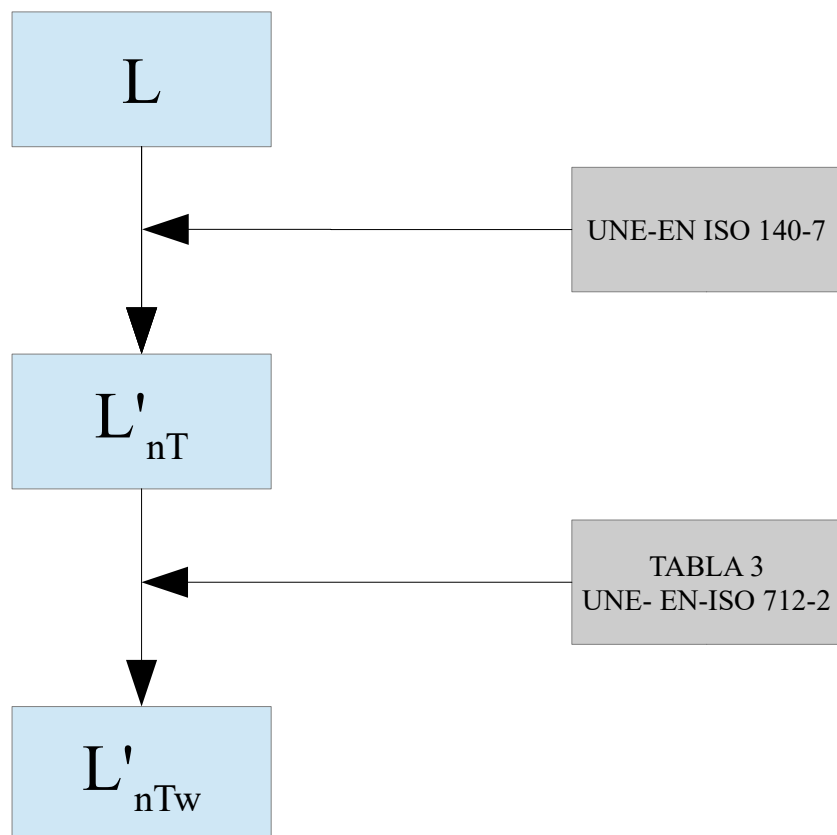


Figura 8. Procedimiento para la obtención de  $L'_{nTw}$

Una vez obtenido  $L'_{nT}$ , utilizaremos las tablas de la normativa **UNE-EN-ISO 712-2** e iremos obteniendo diferentes  $L'_{nT,w}$  (**Nivel de presión acústica normalizado ponderado**)

Aun así y como paso previo es necesario hallar dos magnitudes accesorias como son el **tiempo de reverberación** y el **volumen de los recintos**. Todos estos puntos serán desarrollados en los siguientes epígrafes.

Proyecto : Estudio al ruido ascendente por impacto

Autor: Gregorio Chacón Leiva

Tutor : Pedro Flores Domínguez-Rodríguez

#### 4.1 Obtención de datos (I).Tiempo de reverberación y volumen de recintos.

Como paso previo para obtener los niveles de presión sonora en sus distintas variantes es necesario obtener los tiempos de reverberación y volumen de los recintos como declara la normativa.

El **tiempo de reverberación** se define como el necesario para dejar de recibir el ruido directo de una fuente sonora al cese de esta y sus reflexiones.

De forma técnica se puede considerar el tiempo de reverberación como el necesario para una caída de 60 dB al cese del ruido. Se mide en segundos (s)

Como **volumen de recinto** se considera el volumen de espacio libre que se encuentre dentro de los recintos, eliminando estructuras que no sean fijas (mesas, muebles, equipos eléctricos, etc.). Se mide en metros cúbicos ( $m^3$ ).

##### 4.1.1 Tiempo de reverberación

Se obtiene  $T_R$  (s) por dos métodos, experimentalmente y mediante datos bibliográficos, para ellos dividiremos el apartado en los dos recintos a estudiar.

###### Aula 005

###### A. Experimentalmente.

Obtener el tiempo de reverberación fue extremadamente difícil debido al escaso tiempo que se disponía y a las características propias de la medida.

Aun así se pudo hallar una medida de tiempo de reverberación como dicta la norma.

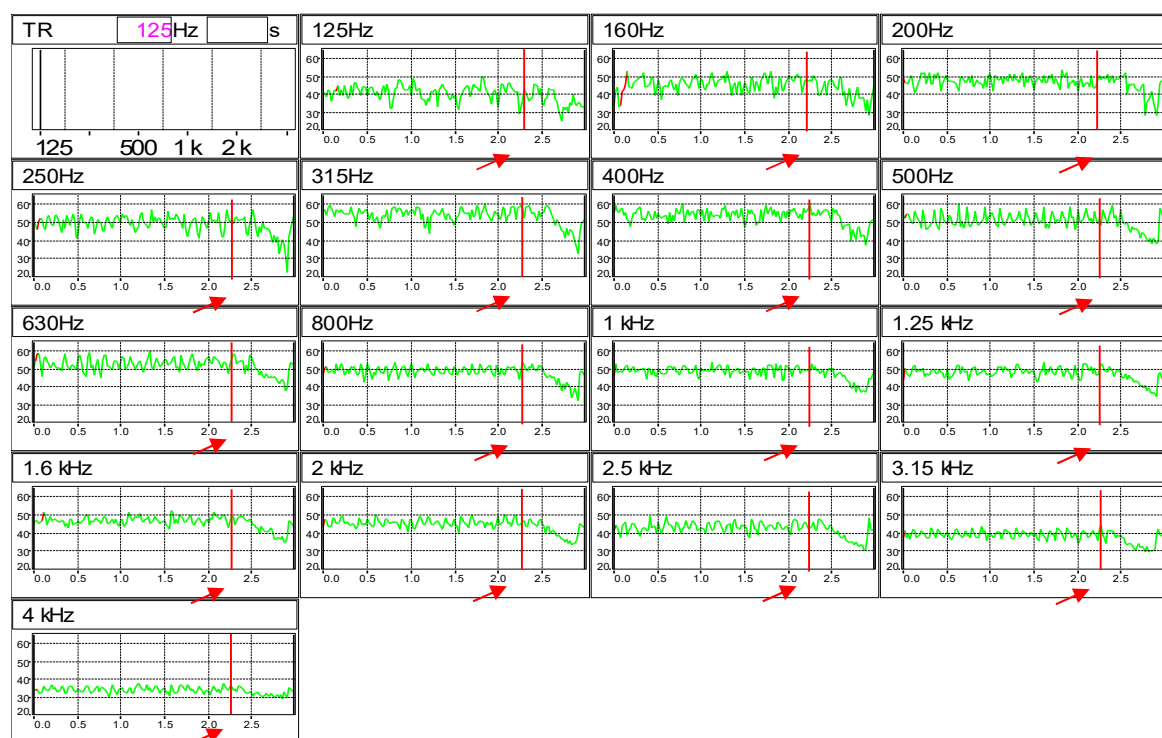


Tabla 1.  $T_R$  experimental para la sala 005

Proyecto : Estudio al ruido ascendente por impacto

Autor: Gregorio Chacón Leiva

Tutor : Pedro Flores Domínguez-Rodiño

La línea vertical roja indica el momento en el que empieza a caer. El tiempo de caída es de entre 0.6 segundos y 0.7 segundos.

## B. Bibliografía

En el Proyecto Fin de Carrera: “*Estudio del cumplimiento del documento de protección contra el ruido del código técnico de edificación del edificio de la escuela superior de ingenieros de Sevilla*” (Hurtado, 2011), podemos encontrar el dato de tiempo de referencia para nuestra sala de estudio de 0.68 segundos<sup>22,23</sup>.

Tomando un valor de compromiso entre ambas medidas se puede concluir que el **tiempo de reverberación para el Aula 005 es de 0.7 segundos**.

### Aula 105

#### A. Experimentalmente.

Desgraciadamente las medidas no resultaron con datos coherentes y por falta de tiempo , hubo que abstenerse de obtener datos experimentales del tiempo de reverberación.

#### B. Bibliografía.

En el Proyecto Fin de Carrera: “*Acondicionamiento acústico del aula 105 de la Escuela Superior de Ingenieros de Sevilla*” (López, 2008)<sup>7</sup> se realizó un estudio acústico de la sala 105. Al ser un proyecto tan extenso y preciso en la toma de datos concluiremos que los mismos son correctos, el valor en el cual giran los valores obtenidos son 2 segundos por lo cual se tomara este valor como referencia.

Por lo tanto podemos asegurar que el **tiempo de reverberación para el aula para el aula 105 es de 2 segundos**.

#### 4.1.2 Volumen de recintos

Las dimensiones de ambos recintos son las siguientes<sup>24,25</sup>:

##### Sala 105 (Primera planta)

|               |         |            |                      |
|---------------|---------|------------|----------------------|
| Altura máx.   | 3.02 m  | Área total | 502.7 m <sup>2</sup> |
| Anchura máx.  | 11.99 m | Volumen    | 492 m <sup>3</sup>   |
| Longitud máx. | 13.86 m |            |                      |

##### Sala 005 (Planta baja)

|               |         |            |                       |
|---------------|---------|------------|-----------------------|
| Altura máx.   | 2.65 m  | Área total | 379.8 m <sup>2</sup>  |
| Anchura máx.  | 11.99 m | Volumen    | 244.45 m <sup>3</sup> |
| Longitud máx. | 7.7 m   |            |                       |

Tabla 2. Volumen de recintos

Proyecto : Estudio al ruido ascendente por impacto

Autor: Gregorio Chacón Leiva

Tutor : Pedro Flores Domínguez-Rodiño

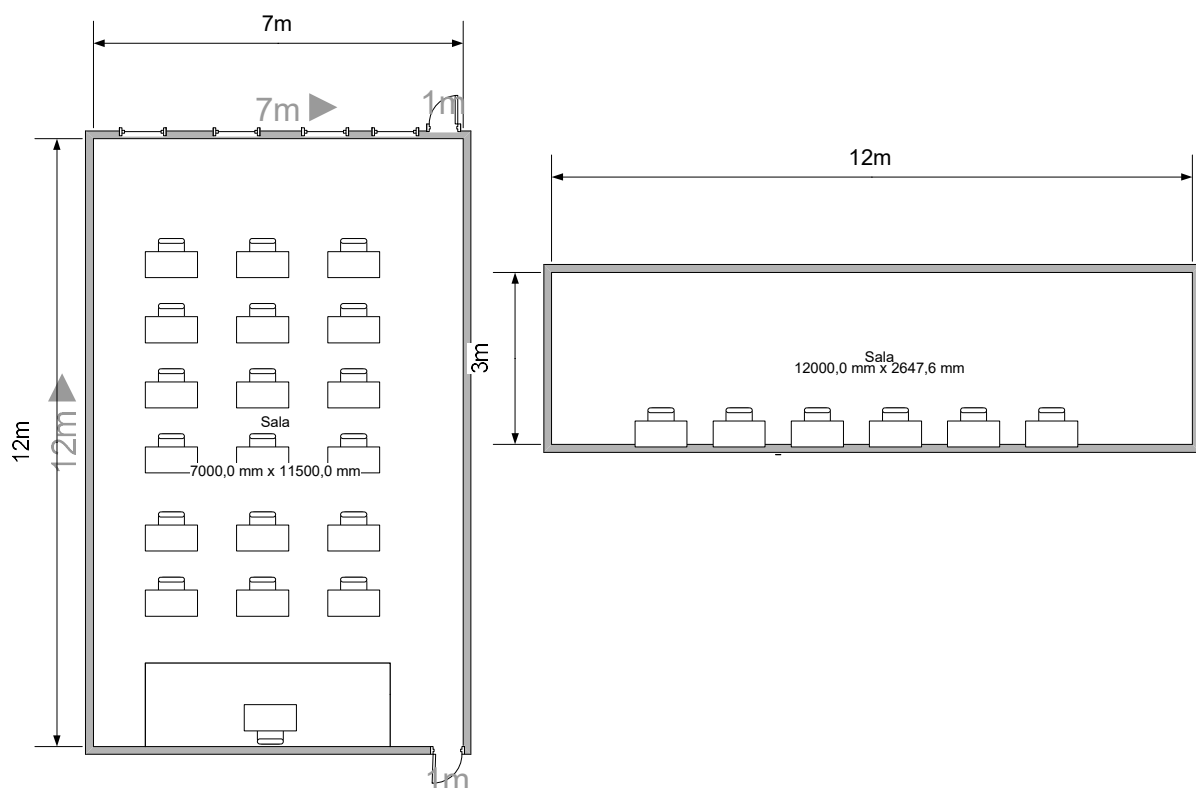


Figura 9. Croquis Aula 105

Para el volumen del **Aula 105** el valor calculado es: **492.00 m<sup>3</sup>**.

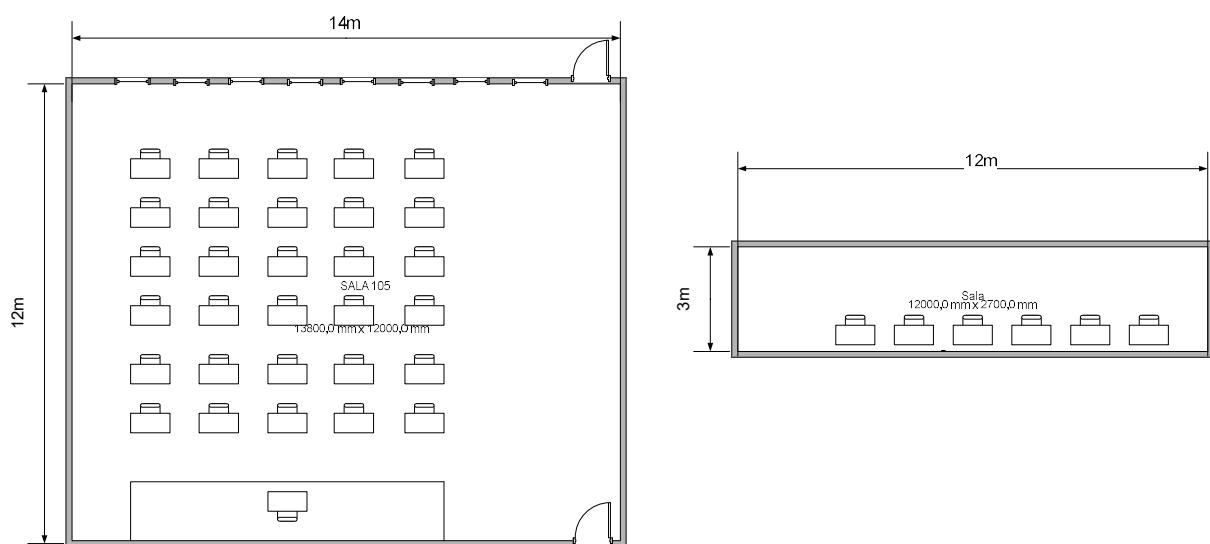


Figura 10. Croquis Aula 005.

Para el volumen del **Aula 005** el valor calculado es: **244.45 m<sup>3</sup>**.

Proyecto : Estudio al ruido ascendente por impacto

Autor: Gregorio Chacón Leiva

Tutor : Pedro Flores Domínguez-Rodiño

#### 4.2 Obtención de datos (II). Nivel de presión acústica normalizado/estandarizado. $L'_n$ , $L'_{nT}$ respectivamente

Una vez que se ha obtenido los tiempos de reverberación y ambos volúmenes, es momento de pasar a los niveles de presión acústica normalizados y estandarizados.

Mostraremos **un ejemplo ilustrativo**.

1. Obtenemos  $L'$  de nuestra medición en campo:

$$L'=60.2 \text{ dB}$$

2. Calculamos usando la siguiente formula el valor de  $L'nT$ :

$$L'_{nT} = L_i - \log\left(\frac{T}{T_0}\right) \quad (\text{dB}) \quad (14)$$

$$L'_{nT} = 60.2 - 10 \log\left(\frac{0.7}{0.5}\right) \quad (\text{dB}) \quad (15)$$

3. Obtenemos el valor:

$$L'_{nT}=63 \text{ dB}$$

4. Obtenemos usando la siguiente formula el valor de  $L'_n$ :

$$L'_{nT} = L'_n - 10 \log(0,032V) \quad (\text{dB}) \quad (16)$$

$$58.73 = L'_n - 10 \log(0.032 * 244.45) \quad (\text{dB}) \quad (17)$$

$$L'_n=67.5 \text{ dB}$$

Todos los cálculos son adjuntados en el anexo 9.2. El anterior ejemplo solo es una minúscula muestra de la matriz de campo usada.

#### 4.3 Obtención datos (III). Nivel de presión acústica normalizado/estandarizado ponderado. $L'_{n,w}$ , $L'_{nT,w}$ respectivamente.

A partir de los niveles de presión sonora normalizada de los puntos anteriores y aplicando la normativa UNE-EN-ISO 7172, se consiguen los niveles acústicos ponderados y estandarizados  $L'_{n,w}$ ,  $L'_{nT,w}$ .

Conceptualmente ambas medidas expresan el aislamiento acústico de suelos ante el ruido de impacto, ensayado en un suelo de referencia, en recintos superpuestos. Cualitativamente se puede concluir que a mayor  $L'_n$  o el  $L'_{nT,w}$  el aislamiento en recintos superpuestos, ya sea en horizontal o vertical, es correlacionado con un peor aislamiento acústico del mismo. Este punto se explica con detalle en el apartado 5.1 dedicado al cumplimiento de las norma 717-2.

Todos los datos y cálculos referentes a este punto pueden encontrarse en Anexo 9.4. Además del algoritmo de cálculo. El concepto será desarrollado más extensamente en puntos posteriores porque van íntimamente ligados a la idea central de PFC.

Proyecto : Estudio al ruido ascendente por impacto

Autor: Gregorio Chacón Leiva

Tutor : Pedro Flores Domínguez-Rodiño

#### 4.4 Nomenclatura de los datos obtenidos

Se dividen en los siguientes grupos.

**Grupo A:** Datos de ruido ascendente (abajo-arriba). Son denominados como datos Alfa.

**Grupo B:** Datos de ruido descendente (arriba-abajo). Son denominados como datos Bravo. Acompañando a estos datos aparece un código alfanumérico.

|    |  |
|----|--|
| X  | Posición en ruido ascendente                                   |
| Y  | Ordinal en ruido ascendente                                    |
| X' | Posición en ruido descendente                                  |
| Y' | Ordinal en ruido descendente                                   |
| A  | “Sin letra” Nivel presión de ruido de impacto $L_i$            |
|    | N Nivel de presión de ruido de impactos normalizado $L_n$      |
|    | nT Nivel de presión de ruido e impactos estandarizado $L_{nT}$ |

Tabla 3. Códigos alfanuméricos de niveles de presión sonora

Ejemplos:

**Alfa\_2\_1\_nT:** Nivel de presión sonora de ruido de impactos, medida 1<sup>a</sup> de la posición 2 de la máquina de impactos en ruido ascendente.

**Bravo\_1\_4:** Nivel de presión de ruido de impactos, medida 4<sup>a</sup> de la posición 1 de la máquina de impactos en ruido descendente.

**Alfa\_3\_4:** Nivel de presión de ruido de impactos, medida 4<sup>a</sup> de la posición 2 de la máquina de impactos en ruido descendente.

Proyecto : Estudio al ruido ascendente por impacto

Autor: Gregorio Chacón Leiva

Tutor : Pedro Flores Domínguez-Rodiño

## 5. ESTUDIO PREVIO CUALITATIVO AL RUIDO POR IMPACTO

Los recintos superpuestos de estudio presentan unas características acústicas específicas a cada uno de las aulas, y comunes entre sí . El estudio previo cualitativo facilitará la comprensión de los puntos posteriores correspondientes a normativa y a validación de las ecuaciones de los autores.

El ruido que se mide en el recinto es el descendente, es decir la máquina de impactos se encuentra en el recinto superior, el aula 105, y se mide en la inferior, la 005. Esta es la forma clásica de medición y es la que aparece referida en todas las normas. Son la serie de datos obtenidos denominados “**Alfa**” en este proyecto.

Posteriormente se hace en sentido inverso para el ruido ascendente, llamados datos “**Bravo**”. En el aula citada se realizaron **cuatro tandas de medidas, 3 de ellas en banda de tercio de octava y una en banda de octava**. Cada una de ellas con sus tres magnitudes correspondientes  $L'$ ,  $L'_n$ ,  $L'_{nT}$ . Se tomara  $L'_{nT}$  como valor de referencia para el resto del proyecto al ser usado con mayor asiduidad en la normativa. Cuando se use otro valor quedara citado expresamente.

### 5.1 Ruido descendente

La máquina de impactos está situada en el recinto superior en el aula 105 y se mide el ruido a impacto en la inferior, la sala 005.

Como se expuso en puntos anteriores los datos son tomados en una serie de medidas en distintos puntos, como puede verse en las siguientes gráficas, del cual tomaremos el más representativo de cada familia de valores, el resto de valores se encuentran en el anexo 9.2.

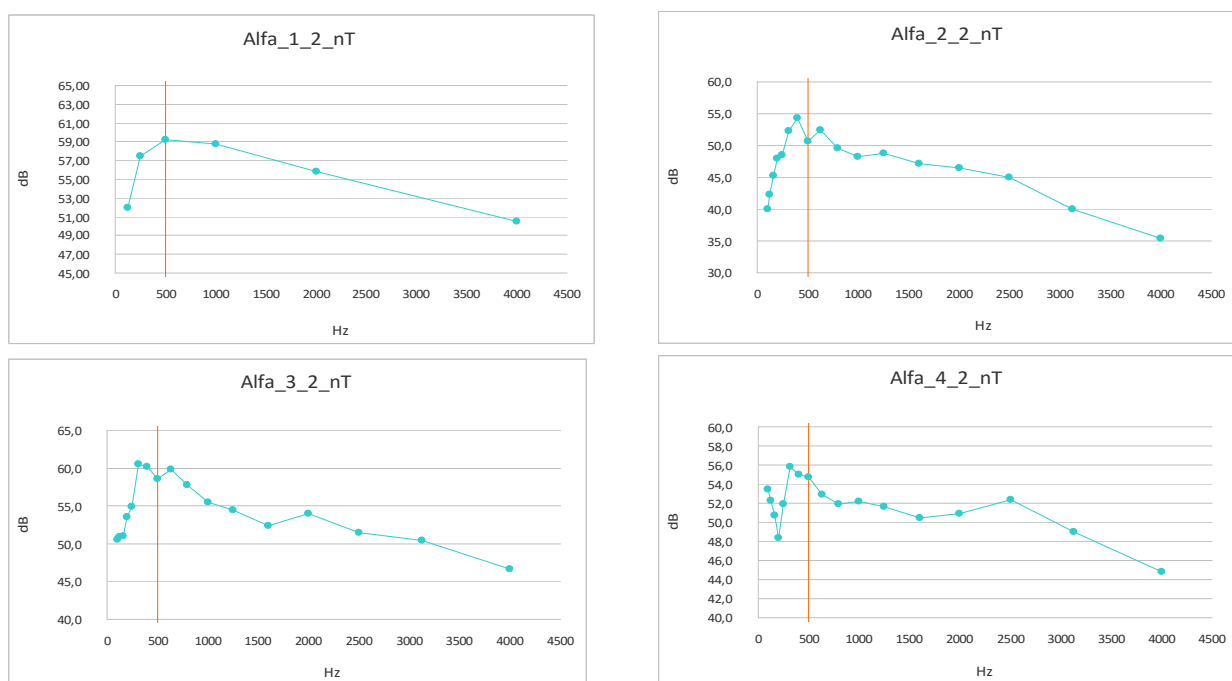


Figura 11. Ejemplos de  $L'_{nT}$  a ruido descendente

Proyecto : Estudio al ruido ascendente por impacto

Autor: Gregorio Chacón Leiva

Tutor : Pedro Flores Domínguez-Rodiño

Puede verse varias zonas diferenciadas comunes en cada una de las gráficas.

1. Una primera zona de subida y posterior bajada de alrededor de 5 dB. Esto no ocurre en las medidas de octava debido principalmente a la falta de precisión.

En los datos de la familia Alfa\_4 ocurre a la inversa, una caída y posterior subida progresiva al ir aumentando la frecuencia del espectro. Finalmente todos los valores se encuentran muy próximos en el punto de los 500 Hz, entre 55-60 dB.

2. Una segunda zona donde la pendiente descende unos decibelios para volver a subir posteriormente levemente con la misma pendiente de descenso, todas estas tendencias se dan en el intervalo entre 500 y 2500 Hz.

3. Una última zona de descenso distinta de la anterior donde la pendiente cambia siendo más pronunciada.

Si vemos todos los espectros en una única gráfica:

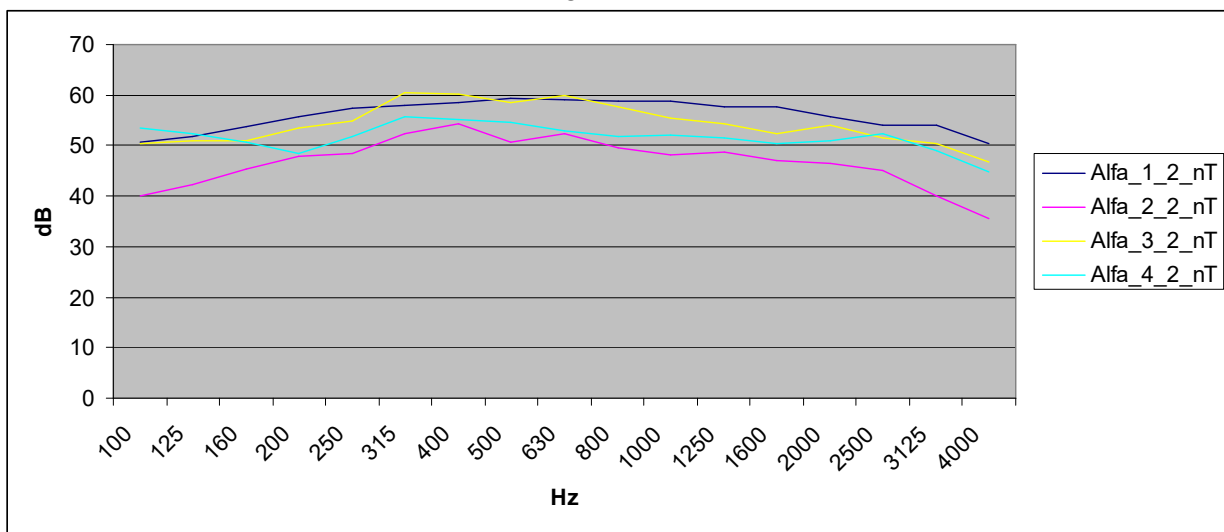


Figura 12. Grupo de datos Alfa

Como puede verse las similitudes entre los datos Alfa 2\_2 y Alfa 3\_2 son claras. Menos claro se ve entre Alfa 4\_2 y Alfa 1\_2, esto es debido a que la primera es en banda de tercio de octava y la segunda en octava reconvertida en esta gráfica en tercio de octava, aun así se puede vislumbrar una cierta similitud e incluso comparten valores comunes.

De esta forma se puede ver claramente que el espectro varía según la posición donde tomemos la medida, pero que aun así hay ciertas características comunes para puntos de medida que se encuentren próximos entre sí, en este caso los puntos Alfa\_2\_2 y Alfa\_3\_2 fueron tomados al fondo de la sala próximos a las ventanas, mientras que Alfa 1\_2 y Alfa 1\_4 fueron realizadas a la entrada junto a la tarima y la pizarra.

Proyecto : Estudio al ruido ascendente por impacto

Autor: Gregorio Chacón Leiva

Tutor : Pedro Flores Domínguez-Rodiño

## 5.2 Ruido ascendente

El procedimiento es el mismo que para el ruido descendente, tomaremos una serie de valores representativos de cada conjunto de medidas las cuales aparecen en las gráficas siguientes. (Recuérdese que un conjunto de medidas o familia de datos es el conjunto de medidas tomadas en un punto espacial del aula).

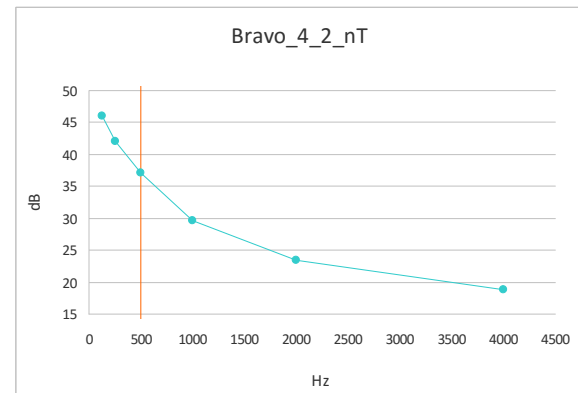
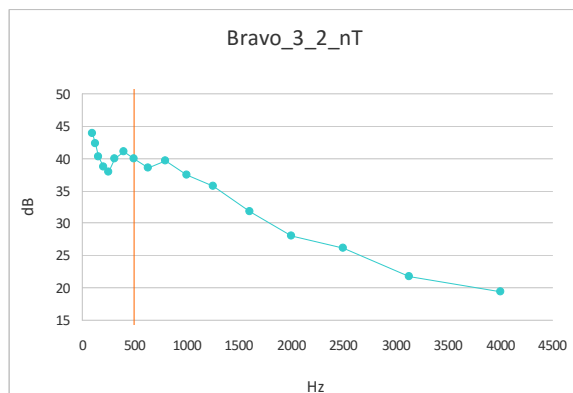
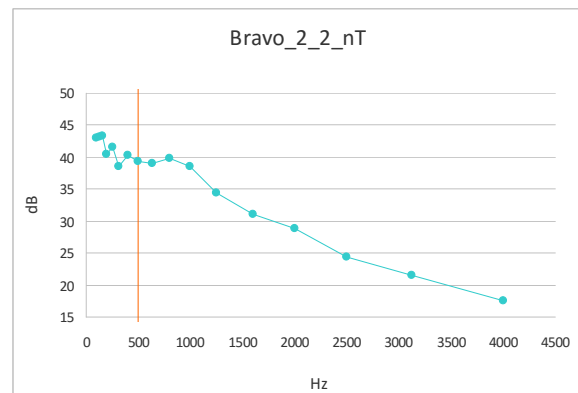


Figura 13. Ejemplo L'<sub>nT</sub> a ruido ascendente

Como puede verse, las zonas son las mismas que el ruido descendente:

1. Una primera parte de descenso de los decibelios hasta llegar a 500 Hz, el cual se reproduce en todas las familias de datos.
2. Un decrecimiento en el rango de entre los 500 a los 2000 Hz en la mayoría de los puntos.
3. A partir de los 2000 Hz se produce un cambio de pendiente en dicho decrecimiento.

Si vemos todos los puntos en una misma gráfica.

Proyecto : Estudio al ruido ascendente por impacto

Autor: Gregorio Chacón Leiva

Tutor : Pedro Flores Domínguez-Rodiño

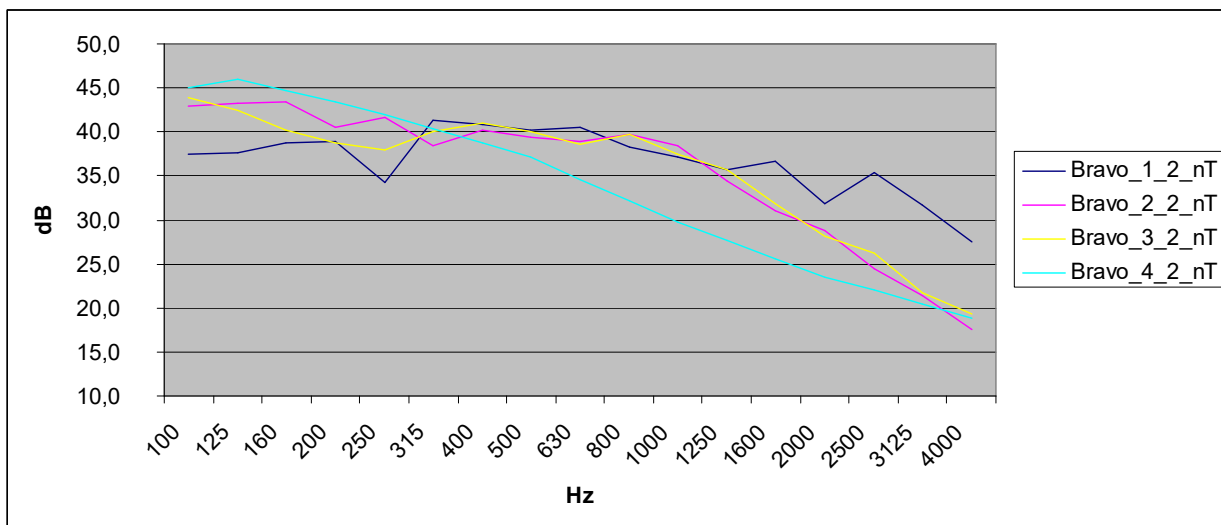


Figura 14. Grupo de datos Bravo

Observamos que se repiten los patrones que había con el ruido descendente, los valores Bravo\_2\_2 y Bravo\_3\_2 guardan incluso más similitud que en el caso anterior, llegando a ser a partir de frecuencias intermedias coincidentes en sus valores. La otra pareja de datos guarda también cierta correlación, la cual es menos acentuada debido principalmente a la menor precisión de una de las medidas la cual es de banda de octava.

### 5.3 Comparación del Ruido ascendente y descendente

Comparando los pares de valores con similitudes en su espectro que se vieron en los puntos anteriores, obtenemos las siguientes gráficas.

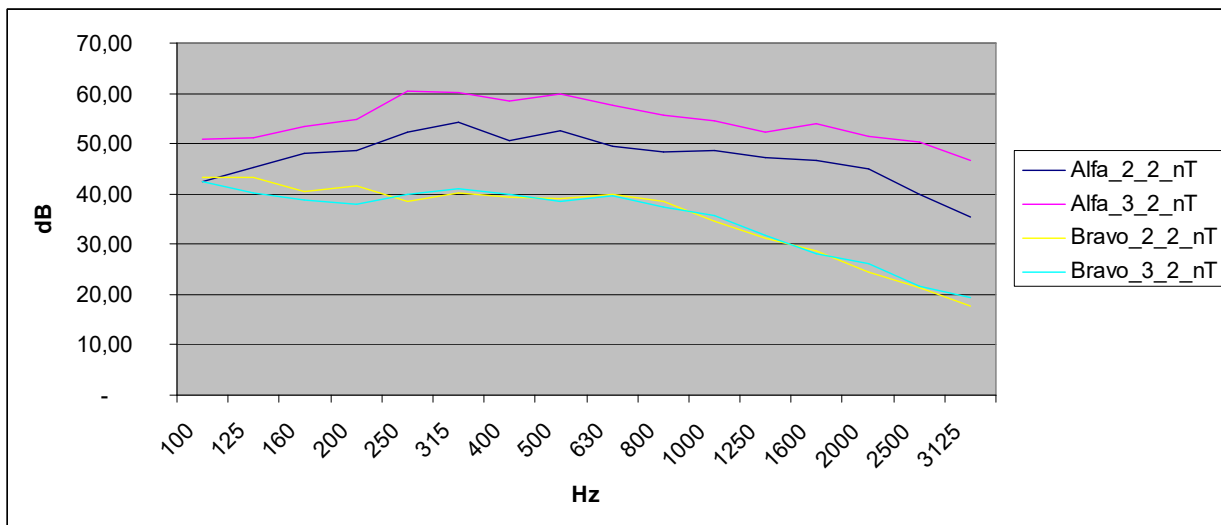


Figura 15. Comparación de datos Alfa y Bravo 1

Proyecto : Estudio al ruido ascendente por impacto

Autor: Gregorio Chacón Leiva

Tutor : Pedro Flores Domínguez-Rodiño

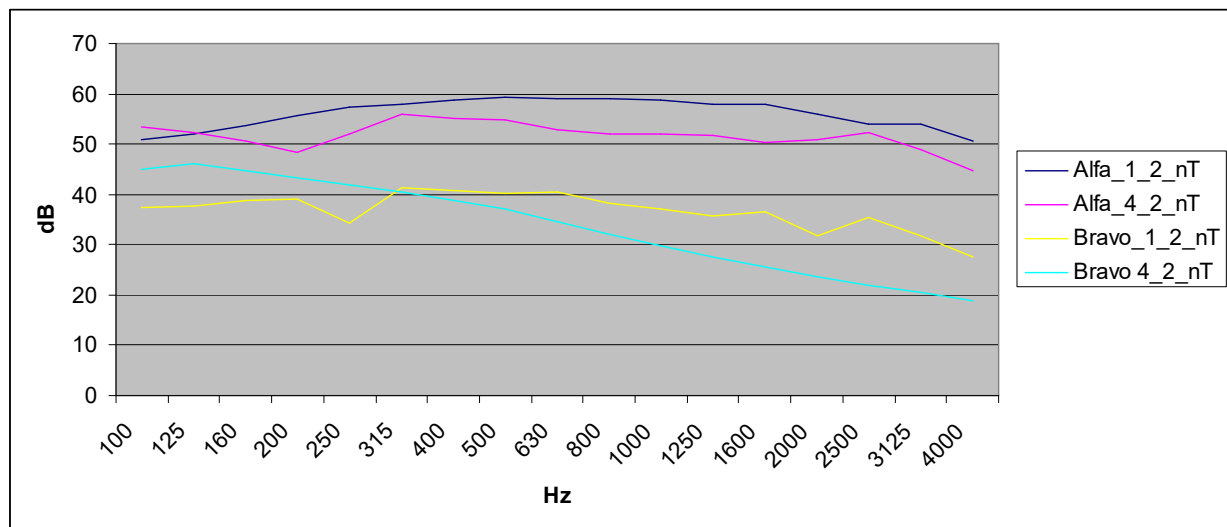


Figura 16.Comparación de datos Alfa y Bravo 2

De ellas se puede concluir, como desarrollo de los puntos anteriores:

1. Los niveles de presión sonora varían dependiendo del punto de medida, y en menor medida de la posición del micrófono en ese lugar.
2. Los niveles de presión sonora son mayores al ruido es descendente, que a la inversa.
3. Las posiciones de medidas perpendiculares entre sí en cada recinto presentan características comunes.
4. Los puntos de medidas próximos entre sí en el mismo recinto presenta similitudes en sus propiedades.
5. Los niveles de presión sonora son similares en ambos sentidos del ruido para bajas frecuencias, al aumentar la frecuencia la diferencia entre ambos aumenta.

Estas conclusiones serán de gran utilidad en posteriores partes del proyecto, principalmente para la comprobación de los modelos de Mateus y Santos.

*Proyecto : Estudio al ruido ascendente por impacto*

*Autor: Gregorio Chacón Leiva*

*Tutor : Pedro Flores Domínguez-Rodiño*

## **6. CUMPLIMIENTO DE LA NORMATIVA 717-2 y DB-HR**

La norma ISO-717-2 nos proporciona métodos normalizados para cuantificar el aislamiento acústico ascendente en función de la frecuencia y caracterizar las propiedades del mismo. Esta norma queda cerrada por otras normativas, la UNE-EN-12354 y la ISO-140-7. Estos métodos citados nos darán los valores de niveles de presión sonora ponderados en sus diferentes variantes ( $L'_{n,w}$ ,  $L'_{nT,w}$ ) en el caso de ruido por impacto.

Como aclaración, la ISO-717-2 sólo es aplicable para el ruido descendente (máquina de impactos en el recinto superior, micrófono en el inferior), además es requisito indispensable para la validación de los límites de presión sonora de impacto de la DB-HR y es necesario para la validación de los modelos de Mateus y Santos.

La DB-HR es la guía de aplicación de la protección frente al ruido del código técnico de edificación. En ella encontramos la legislación referente a límites de niveles sonoros en recintos y a los tipos que aplica.

Ambos documentos nos darán un conocimiento preciso, en referencia a la normativa actualmente vigente, de los recintos de nuestro estudio.

### **6.1 Cumplimiento de la normativa 717-2**

Existen dos métodos para la verificación del cumplimiento de la normativa 717-2.

Uno será mediante el software disponible en la web del Ministerio de Fomento, el cual mediante métodos analíticos nos da los datos referidos al comportamiento del recinto al impacto.

En un segundo punto se aplicará el método recogido en la ISO-717-2 utilizando medidas in situ, el cual producirá una serie de resultados experimentales más fiables.

Junto a lo anterior, la norma ISO-140-7 incluye una serie de requisitos que debe cumplir el ensayo de ruido por impacto. Los requisitos son los siguientes:

- 1.- Una referencia a la norma ISO-140-7.
- 2.- El nombre de la organización que ha realizado las mediciones.
- 3.- El nombre y la dirección de la organización o persona que ordenó el ensayo.
- 4.- La fecha del ensayo.
- 5.- La descripción e identificación de la edificación y de la disposición de ensayo.
- 6.- El volumen del recinto receptor.
- 7.- El nivel de ruido de impactos normalizado ( $L'_n$ ) o el nivel de ruido de impactos estandarizado ( $L'_{nT}$ ) en función de la frecuencia, lo que sea apropiado.
- 8.- Breve descripción de los detalles del procedimiento y del equipo.

Proyecto : Estudio al ruido ascendente por impacto

Autor: Gregorio Chacón Leiva

Tutor : Pedro Flores Domínguez-Rodiño

9.- Indicaciones de los resultados que deben ser tomados como límites de la medida. Éstos deberán ser dados como  $L_n$  o  $L_{nT}$  (dB). Esto se deberá aplicar si el nivel de presión sonora relevante en cualquier banda no es medible a causa del ruido de fondo (acústico o eléctrico)

10.- Las transmisiones indirectas (si se han medido) de la misma forma que  $L_n$ ; deberá indicarse tan claramente como sea posible que parte o partes del sonido transmitido están incluidos en la medida de las transmisiones indirectas.

#### A. Mediante software

El cumplimiento de la norma 717 y el DB-HR puede validarse simultáneamente con el software “Herramienta oficial del cálculo de DB-HR del CTE” desarrollado por el Ministerio de Fomento. Al ser una simulación del comportamiento del recinto frente al ruido por impacto solo obtendremos una idea teórica del mismo.

Por medio los datos constructivos<sup>26,27</sup> y considerando las dos configuraciones entre las cuales se encuentran nuestros recintos de estudio, se elaboraron un par de informes que se adjuntan en el anexo 9.3.

#### B. Mediante ensayo:

La norma nos da un método para obtener los valores experimentalmente “in situ”, para ello se sigue el siguiente procedimiento descrito en la norma:

**“[...] Magnitud global para la valoración del aislamiento a ruidos de impactos derivadas de mediciones en bandas de octava. Es el valor en decibelios a 500 Hz, de la curva de referencia ajustada a los valores experimentales según el método especificado en la parte de la norma correspondiente ISO-717 disminuida en 5 dB.**

**Magnitud global para la valoración del aislamiento a ruidos de impactos derivados de mediciones en bandas de tercio de octava. Es el valor en decibelios a 500 Hz de la curva de referencia ajustan a los valores experimentales según el método especificado en la parte de la norma correspondiente ISO-717 [...].**

**[...]Mediciones en banda de octava. Para valorar los resultados de medición de  $L_n$ ,  $L'_n$ , o  $L'_{nT}$  en bandas de octava (con una cifra decimal significativa), con precisión de 0,1 dB, se desplaza la curva de referencia en saltos de 1 dB hacia la curva de medida hasta que la suma de desviaciones desfavorables sea lo mayor posible pero no mayor que 10 dB.**

**Mediciones en banda de tercio de octava. Para valorar los resultados de medición de  $L_n$ ,  $L'_n$ , o  $L'_{nT}$  en bandas de tercio de octava (con una cifra decimal significativa), con precisión de 0,1 dB, se desplaza la curva de referencia en saltos de 1 dB hacia la curva de medida hasta que la suma de desviaciones desfavorables sea lo mayor posible pero no mayor que 32 dB.**

**Se produce una desviación desfavorable en una determinada frecuencia cuando el resultado de la medición supera e valor de referencia Solo se considera desviaciones desfavorables [...].**

Extraído de la normativa ISO-717-2 en sus páginas 6 y 9.

Proyecto : Estudio al ruido ascendente por impacto

Autor: Gregorio Chacón Leiva

Tutor : Pedro Flores Domínguez-Rodiño

En nuestro caso para  $L'_{nT,w}$ , necesario para verificar el cumplimiento de normativa, se obtienen, gráficas como la de la figura 17. El resto de gráficas de ensayo se encuentra en el anexo 4.

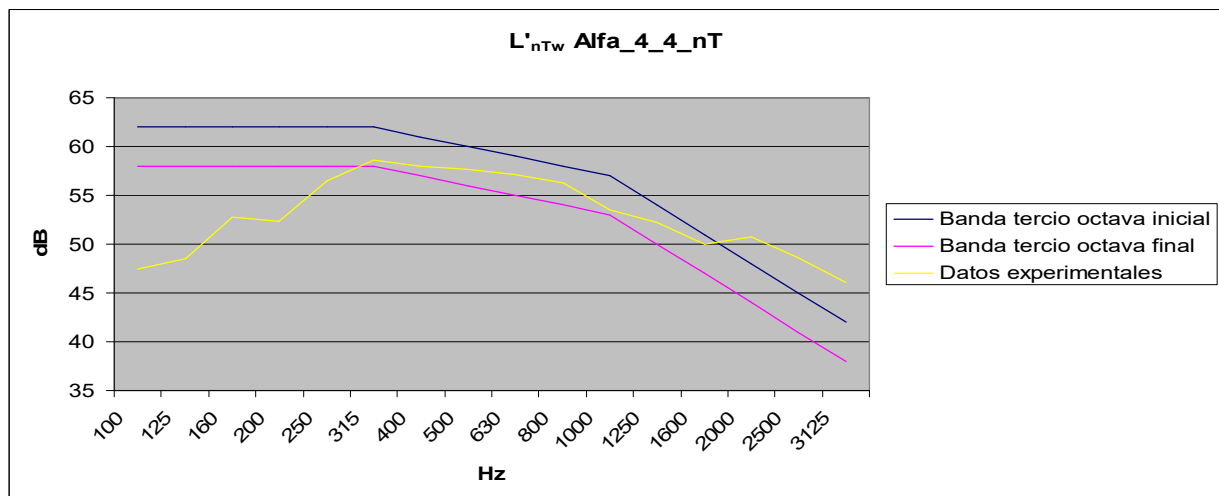


Figura 17. Ejemplo de ensayo de impacto según la norma ISO-717-2

En la tabla 4 podemos ver los valores experimentales obtenidos para  $L'_{nT,w}$  para los diferentes puntos de ensayo.

| P.Medida | $L'_{nT,w}$ (dB) |
|----------|------------------|
| Alfa_1_1 | 58               |
| Alfa_1_2 | 57               |
| Alfa_1_3 | 57               |
| Alfa_1_4 | 57               |

| P.Medida | $L'_{nT,w}$ (dB) |
|----------|------------------|
| Alfa_2_1 | 50               |
| Alfa_2_2 | 51               |
| Alfa_2_3 | 50               |
| Alfa_2_4 | 51               |
| Alfa_2_5 | 51               |
| Alfa_2_6 | 51               |
| Alfa_2_7 | 50               |
| Alfa_2_8 | 51               |

| P.Medida | $L'_{nT,w}$ (dB) |
|----------|------------------|
| Alfa_3_1 | 59               |
| Alfa_3_2 | 57               |
| Alfa_3_3 | 59               |
| Alfa_3_4 | 56               |
| Alfa_3_5 | 56               |
| Alfa_3_6 | 56               |
| Alfa_3_7 | 58               |

| P.Medida | $L'_{nT,w}$ (dB) |
|----------|------------------|
| Alfa_4_1 | 52               |
| Alfa_4_2 | 52               |
| Alfa_4_3 | 52               |
| Alfa_4_4 | 56               |
| Alfa_4_5 | 56               |
| Alfa_4_6 | 54               |
| Alfa_4_7 | 53               |
| Alfa_4_8 | 55               |

Tabla 4.Resultados de  $L'_{nT,w}$  según la norma ISO-717-2

Todos los informes completos pueden verse en el anexo 9.7.

Proyecto : Estudio al ruido ascendente por impacto

Autor: Gregorio Chacón Leiva

Tutor : Pedro Flores Domínguez-Rodiño

## 6.2 Cumplimiento de la normativa DB-HR

Una vez obtenidos los valores  $L'_{nT,w}$  según la normativa 717, comprobamos si cumple el DB-HR. Para ello hará falta introducir las siguientes definiciones:

**"[...] Recintos no habitables: Aquellos no destinados al uso permanente de personas o cuya ocupación, por ser ocasional o excepcional y por ser bajo el tiempo de estancia, sólo rige unas condiciones de salubridad adecuadas. No se establecen condiciones acústicas específicas en los recintos no habitables. Son no habitables: los trasteros, las cámaras técnicas y desvanes no acondicionados, y sus zonas comunes.**

**Recintos habitables, y dentro de los mismos reciben la consideración de recintos protegidos aquellos que desde el punto de vista del aislamiento acústico debe tener mejores condiciones y son:**

**a) Habitables y estancias (dormitorios, comedores, bibliotecas, salones, etc) en edificios residenciales.**

**b) Aulas, salas de conferencias, bibliotecas, despachos, en edificios de uso docente.**

**c) Quirófanos, habitaciones, salas de espera, en edificios de uso sanitario**

**d) Oficinas, despachos, salas de reunión en edificios de uso administrativo [...].**

**Por exclusión, el resto de edificios habitables de un edificio como por ejemplo, cocinas, baños, pasillos, escaleras, etc., son recintos habitables.**

**Se consideran recintos protegidos a todos aquellos recintos en los que se combinan usos propios de recintos protegidos y recintos habitables, como por ejemplo, un apartamento en el que la cocina este integrada en el salón [...].**

Extraído de la normativa DB-HR en sus páginas 32 a 36.

Nuestro recinto de estudio se encuentran caracterizados ambos como protegidos<sup>11</sup>. De esta forma y si observamos la tabla siguiente extraída de la normativa DB-HR:

| RECINTO EMISOR EXTERIOR A LA UNIDAD DE USO | RECINTOS RECEPTORES                |                                    |
|--|------------------------------------|------------------------------------|
|  | RECINTO                            |                                    |
| Otros recintos del edificio                | Protegido                          | Habitable                          |
|  | Impactos<br>$L'_{nT,w}(\text{dB})$ | Impactos<br>$L'_{nT,w}(\text{dB})$ |
| Otros recintos del edificio                | 65                                 | -                                  |

Figura 18. Límites de  $L'_{nT,w}$  según DB-HR

Como puede verse, en el caso de el software del ministerio uno de los dos casos no cumple la normativa, mientras que en las medidas tomadas in situ todos los valores son claramente inferiores a los 65 dB exigidos por la DB-HR.

Esto nos da una idea de la necesidad de los ensayos in situ para medir las propiedades acústicas de los recintos a estudio para un conocimiento real y conciso de las condiciones de mismo.

Proyecto : Estudio al ruido ascendente por impacto

Autor: Gregorio Chacón Leiva

Tutor : Pedro Flores Domínguez-Rodríguez

## 7. CUMPLIMIENTO DE LAS ECUACIONES DE MATEUS Y SANTOS

Diogo Mateus y Paulo Santos de la Universidad de Coimbra (Portugal), obtuvieron a partir de datos experimentales de distintos tipos de suelo una serie de datos que modelizaban la transmisión de ruido por impacto en dos recintos superpuestos cuando este es ascendente.

Dicho modelo es el siguiente:<sup>28</sup>

$$L'_{n,w} = 76 - 10 \log(m') + 5 \log\left(\frac{L_{ER}}{S_E}\right) + 10 \log(S_E) - \Delta L_w + K_{INV} \quad (\text{dB}) \quad (12)$$

$K_{inv} = 2$  a  $4$  si  $63 \geq L'_{n,w}$  (sin losa flotante)  $\geq 57$  dB

$K_{inv} = 4$  a  $6$  si  $56 \geq L'_{n,w}$  (sin losa flotante)  $\geq 52$  dB

$K_{inv} = 7$  a  $9$  si  $51 > L'_{n,w}$  (sin losa flotante)  $> 48$  dB

$L'_{n,w}$  Nivel de presión acústica normalizado (dB)

$m'$  Masa de loseta ( $\text{kg}/\text{m}^2$ )

$L_{ER}$  Longitud total juntas en continuidad del piso superior al inferior (m)

$S_E$  Área emisor ( $\text{m}^2$ )

$S_R$  Área receptor ( $\text{m}^2$ )

$\Delta L_w$  Índice de reducción de transmisión de ruido por impacto (revestimiento de suelo) (dB)

$K_{INV}$  Coeficiente de corrección ruido ascendente (modifica el valor de índice de reducción de transmisión por impacto) (dB)

Aplicando la formula (4)

$$L'_{nTw} = L_{nw} - 10 \log(0.032V) \quad (4)$$

$V$  Volumen del recinto receptor.

Dependiendo si hay losa flotante o no tendremos dos situaciones con distinto modelo.

**Con losa flotante:**<sup>29</sup>

$$L'_{nTw}(clf) = L'_{nw}(slf) - 10 \log(0.032V) - \Delta L_w - K_{INV} \quad (\text{dB}) \quad (18)$$

clf Con losa flotante.

**Sin losa flotante:**<sup>30</sup>

$$L'_{nw}(slf) = 76 - 10 \log(m') + 5 \log\left(\frac{L_{ER}}{S_E}\right) + 10 \log(S_R) \quad (\text{dB}) \quad (19)$$

slf Sin losa flotante.

Primeramente es necesario aclarar el término losa flotante. Para que un suelo pueda considerarse con dicha denominación es necesario un aislamiento acústico<sup>11</sup> para reducir la transmisión de ruido. El recinto a estudiar carece de dichas instalaciones, por lo que se considera sin losa flotante. Según los autores,  $\Delta L_w$  y  $K_{inv}$  son iguales a cero cuando no hay losa flotante.

Proyecto : Estudio al ruido ascendente por impacto

Autor: Gregorio Chacón Leiva

Tutor : Pedro Flores Domínguez-Rodiño

Aplicando dichas ecuaciones a nuestro sistema a estudiar, se obtiene:

|  |     |
|--|-----|
| Masa de la loseta (Kg/m <sup>2</sup> ) | 465 |
| Área emisor 005 (m <sup>2</sup> )      | 92  |
| Área receptor 105 (m <sup>2</sup> )    | 166 |
| Longitud total de las juntas (m)       | 47  |

Tabla 5. Valores de los recintos 005-105 para la ecuación de Mateus y Santos

$$L'_{nw} = 76 - 10 \log(465) + 5 \log\left(\frac{47}{92}\right) + 10 \log(166) - \Delta L_w + K_{INV} \quad (\text{dB}) \quad (16)$$

$$L'_{nw} = 76 - 26.6 - 1.45 + 22.2 - 10 + K_{INV} \quad (\text{dB}) \quad (17)$$

$$L'_{nw} = 76 - 26.6 - 1.45 + 22.2 - 10 + K_{INV} \quad (\text{dB}) \quad (18)$$

$$\Delta L_w = 0, K_{inv} = 0 \quad (\text{dB}) \quad (19)$$

$$L'_{nw} = 70.15 \quad (\text{dB}) \quad (20)$$

Como puede verse en los anexos 3 y 5, ningún valor experimental de  $L'_{n,w}$  supera los 52 dB por lo tanto **el modelo de Santos y Mateus sin losa flotante debe ser descartado para nuestro sistema de estudio.**

Se puede hacer una primera **aproximación** para continuar la validación de las ecuaciones. La hipótesis es que la losa sea asimilable a una losa flotante (una pseudo-losa), por lo tanto se incluyen los términos  $\Delta L_w$  y  $K_{inv}$ , para comprobar si es posible un ajuste correcto a las ecuaciones.

Para ello es necesario obtener primeramente el término de  $\Delta L_w$ . El cálculo de  $\Delta L_w$  se realizará por **tres métodos distintos, en ruido descendente**:

- Utilizando la DB-HR.
- Mediante la norma UNE-EN-12354.
- Mediante la norma 717-2.

**A. Utilizando la DB-HR<sup>31</sup>, la cual nos da un valor de 10 dB.**

**B. Mediante la norma UNE-EN-12354<sup>18</sup>**

$$L'_{nw} = L_{n,w,eq} - \Delta L_w + K(ruido\_descendente) \quad (\text{dB}) \quad (21)$$

$$L'_{n,w,eq} = 164 - 35 \log(m')(ruido\_descendente) \quad (\text{dB}) \quad (22)$$

Proyecto : Estudio al ruido ascendente por impacto

Autor: Gregorio Chacón Leiva

Tutor : Pedro Flores Domínguez-Rodiño

$L_{n,w,eq}$ : nivel de presión acústica ponderada equivalente del forjado base. En este término se incluyen el amortiguamiento estructural medio y la transmisión indirecta (dB)

K: factor de corrección para transmisiones homogéneas por flancos de los recintos (dB)

m': densidad de la losa de separación ( $\text{kg}/\text{m}^2$ )

Desarrollando completamente esta ecuación:

$$L'_{n,w} = 164 - 35 \log(m') + \Delta L_w + K \quad (\text{dB}) \quad (23)$$

$L'_{n,w}$  son la familia de datos Alfa obtenidos experimentalmente, mientras que K toma el valor 4<sup>32</sup>.

$$L'_{n,w} = 74.63 - \Delta L_w \quad (\text{dB}) \quad (24)$$

Los valores de  $L'_{n,w}$  se obtiene a partir de los valores de  $L'_{nT,w}$  de la tabla 3 y según la ecuación (4), la cual es válida para niveles ponderados debido a que  $L'_n$  y  $L'_{nT}$  varían en un valor constante y se cotejan con la misma curva de referencia.

|          | $L'_{n,w}(\text{dB})$ | $\Delta L_w(\text{dB})$ |
|----------|-----------------------|-------------------------|
| Alfa_1_1 | 66,9                  | 7,73                    |
| Alfa_1_2 | 65,9                  | 8,73                    |
| Alfa_1_3 | 65,9                  | 8,73                    |
| Alfa_1_4 | 65,9                  | 8,73                    |

|          | $L'_{n,w}(\text{dB})$ | $\Delta L_w(\text{dB})$ |
|----------|-----------------------|-------------------------|
| Alfa_2_1 | 58,9                  | 15,73                   |
| Alfa_2_2 | 59,9                  | 14,73                   |
| Alfa_2_3 | 58,9                  | 15,73                   |
| Alfa_2_4 | 59,9                  | 14,73                   |
| Alfa_2_5 | 59,9                  | 14,73                   |
| Alfa_2_6 | 59,9                  | 14,73                   |
| Alfa_2_7 | 58,9                  | 15,73                   |
| Alfa_2_8 | 59,9                  | 14,73                   |

|          | $L'_{n,w}(\text{dB})$ | $\Delta L_w(\text{dB})$ |
|----------|-----------------------|-------------------------|
| Alfa_3_1 | 67,9                  | 6,73                    |
| Alfa_3_2 | 65,9                  | 8,73                    |
| Alfa_3_3 | 67,9                  | 6,73                    |
| Alfa_3_4 | 64,9                  | 9,73                    |
| Alfa_3_5 | 64,9                  | 9,73                    |
| Alfa_3_6 | 64,9                  | 9,73                    |
| Alfa_3_7 | 64,9                  | 9,73                    |

|          | $L'_{n,w}(\text{dB})$ | $\Delta L_w(\text{dB})$ |
|----------|-----------------------|-------------------------|
| Alfa_4_1 | 67,9                  | 6,73                    |
| Alfa_4_2 | 65,9                  | 8,73                    |
| Alfa_4_3 | 67,9                  | 6,73                    |
| Alfa_4_4 | 64,9                  | 9,73                    |
| Alfa_4_5 | 64,9                  | 9,73                    |
| Alfa_4_6 | 64,9                  | 9,73                    |
| Alfa_4_7 | 64,9                  | 9,73                    |
| Alfa_4_8 | 63,9                  | 10,73                   |

Tabla 6.  $\Delta L_w$  mediante UNE-EN-12354

Los valores se encuentran en el rango [6.73 15.73] **con un valor medio de 11,23 dB**, el cual tomaremos como dato.

### C. Mediante la norma 717-2

Dicha normativa en su punto 5 nos hace referencia a  $\Delta L_w$  debido al revestimiento del suelo, en este caso de hormigón, para ello sigue el mismo procedimiento expuesto en puntos anteriores para un ensayo de impacto acústico pero en este caso la curva de referencia cambia, como vemos en la tabla siguiente:<sup>32</sup>

Proyecto : Estudio al ruido ascendente por impacto

Autor: Gregorio Chacón Leiva

Tutor : Pedro Flores Domínguez-Rodiño

| Hz   | Curva test de impacto estándar | Hz   | Curva test de impacto con revestimiento |
|------|--------------------------------|------|---|
| 100  | 62                             | 100  | 67                                      |
| 125  | 62                             | 125  | 67,5                                    |
| 160  | 62                             | 160  | 68                                      |
| 200  | 62                             | 200  | 68,5                                    |
| 250  | 62                             | 250  | 69                                      |
| 315  | 62                             | 315  | 69,5                                    |
| 400  | 61                             | 400  | 70                                      |
| 500  | 60                             | 500  | 70,5                                    |
| 630  | 59                             | 630  | 71                                      |
| 800  | 58                             | 800  | 71,5                                    |
| 1000 | 57                             | 1000 | 72                                      |
| 1250 | 54                             | 1250 | 72                                      |
| 1600 | 51                             | 1600 | 72                                      |
| 2000 | 48                             | 2000 | 72                                      |
| 2500 | 45                             | 2500 | 72                                      |
| 3125 | 42                             | 3125 | 72                                      |

Tabla 7. Comparativas de impacto con y sin revestimiento

Y aplicándose las ecuaciones siguientes:

$$\Delta L'_w = 78 - L'_{n,rw}$$

$L'_{n,rw}$ =Es el nivel normalizado ponderado de la presión sonora calculada para el suelo de referencia con el recubrimiento de ensayo.

En nuestro caso de estudio, se realiza un muestreo con los datos más representativos que se pueden ver en el anexo 5 para obtener el valor de  $L'_{n,rw}$ . Se obtiene:

|             | $L'_{n,rw}$ (dB) | $\Delta L'_w$ (dB) |
|-------------|------------------|--------------------|
| Alfa_1_1_nT | 59               | 19                 |
| Alfa_2_1_nT | 60               | 18                 |
| Alfa_3_1_nT | 63               | 15                 |
| Alfa_4_1_nT | 59               | 19                 |

Tabla 8.  $\Delta L'_w$  con revestimiento según 717-2

Obteniéndose un valor medio de  $\Delta L'_w=18.75$

Juntando todos los resultados de los métodos anteriores en una misma tabla (Figura 26)

|          | $\Delta L'_w$ (dB) |
|----------|--------------------|
| DB-HR    | 10                 |
| EN-12354 | 11,23              |
| ISO-717  | 18,75              |

Tabla 9.  $\Delta L'_w$  con revestimiento por los diferentes métodos 1

Proyecto : Estudio al ruido ascendente por impacto

Autor: Gregorio Chacón Leiva

Tutor : Pedro Flores Domínguez-Rodiño

Puede verse que los dos primeros datos son muy próximos mientras que el que fue realizado con datos experimentales diverge considerablemente con respecto a los primeros.

Para ello validaremos las ecuaciones de tres formas distintas, una con DB-HR/EN-12354 dándole el valor medido de ambos, por el método ISO-717 y un valor medio de ambos, se puede ver en la siguiente tabla.

|                | $\Delta L'_w$ (dB) |
|----------------|--------------------|
| DB-HR/EN-12354 | 10,6               |
| ISO-717-2      | 18,8               |
| PROMEDIO       | 14,7               |

Tabla 10.  $\Delta L'_w$  con revestimiento por los diferentes métodos 2

Introduciendo el dato obtenido en el punto anterior en la ecuación:

$$L'_{n,w} = 70.15 - \Delta L_w + K_{inv} \quad (\text{dB}) \quad (25)$$

La forma de calcular  $K_{inv}$  es la siguiente:

1. Se considera  $\Delta L_w$  y  $K_{inv}$  cero.
2. Se mira el valor resultante de  $K_{inv}$ ,  $L'_{n,w}=70.15$  dB en nuestro caso. La información esta en la tabla incluida por los autores.

No existen valores para  $L'_{n,w}$  mayores de 63 dB, por lo tanto haciendo una extrapolación de los mismos se puede concluir para nuestro estudio utilizar valores de  $K_{inv}$  entre 0 y 2 dB.

En la siguiente tabla podemos ver un extracto, los datos completos se encuentran en anexo 5, de los resultados referentes a la validación de las ecuaciones de los autores.

|                                    | Bravo 1 1 n | Bravo 1 2 n | Bravo 1 3 n | Bravo 1 4 n |
|------------------------------------|-------------|-------------|-------------|-------------|
| $L'_{nw}$ exp                      | 50,00       | 51,00       | 52,00       | 49,00       |
| $\Delta L_w$ 1                     | 10,60       | 10,60       | 10,60       | 10,60       |
| $L'_{nw}$ ec.1 $K_{inv}$ máx.      | 61,55       | 61,55       | 61,55       | 61,55       |
| $L'_{nw}$ ec.1 $K_{inv}$ min.      | 59,55       | 59,55       | 59,55       | 59,55       |
| % error $K_{inv}$ máx. 1           | - 18,77     | - 17,14     | - 15,52     | - 20,39     |
| % error $K_{inv}$ min. 1           | - 16,04     | - 14,36     | - 12,68     | - 17,72     |
| $\Delta L_w$ 2                     | 18,75       | 18,75       | 18,75       | 18,75       |
| $L'_{nw}$ ec.2 $K_{inv}$ máx.      | 53,40       | 53,40       | 53,40       | 53,40       |
| $L'_{nw}$ ec.2 $K_{inv}$ min.      | 51,40       | 51,40       | 51,40       | 51,40       |
| % error $K_{inv}$ máx. 2           | - 6,37      | - 4,49      | - 2,62      | - 8,24      |
| % error $K_{inv}$ min. 2           | - 2,72      | - 0,78      | 1,17        | - 4,67      |
| $\Delta L_w$ medio                 | 14,70       | 14,70       | 14,70       | 14,70       |
| $L'_{nw}$ medio ec. $K_{inv}$ máx. | 57,45       | 57,45       | 57,45       | 57,45       |
| $L'_{nw}$ medio ec. $K_{inv}$ min. | 55,45       | 55,45       | 55,45       | 55,45       |
| % error máx. $K_{inv}$ medio       | - 12,97     | - 11,23     | - 9,49      | - 14,71     |
| % error min. $K_{inv}$ medio       | - 9,83      | - 8,03      | - 6,22      | - 11,63     |

Proyecto : Estudio al ruido ascendente por impacto

Autor: Gregorio Chacón Leiva

Tutor : Pedro Flores Domínguez-Rodiño

Tabla 11.Comparativa de  $\Delta L'_w$  con revestimiento por los diferentes métodos

La primera fila de la tabla hace referencia al valor experimental obtenido en campo.  $\Delta L_1$  y  $\Delta L_2$  son los valores referidos a DB-HR/UNE-EN-12354 y ISO-717 vistos anteriormente.  $L'_{n,w}$  ec. hace referencia a los valores obtenidos según las ecuaciones de los autores con los datos anteriormente expuestos ( $K_{inv}$  máx.=2,  $K_{inv}$  min.=0)

En la siguiente tabla se puede ver como varia el  $L'_{n,w}$  de los autores con referencia al valor obtenido experimentalmente ( para los 3 supuestos de  $\Delta L'_w$  )

| $L'_{n,w}$ exp | % error máx.<br>1 | % error min.<br>1 | % error máx. 2 | % error min. 2 | % error máx.<br>medio | % error min.<br>Medio |
|----------------|-------------------|-------------------|----------------|----------------|-----------------------|-----------------------|
| 44             | -28,51            | -26,11            | -17,6          | -14,4          | -23,41                | -20,65                |
| 45             | -26,89            | -24,43            | -15,73         | -12,45         | -21,67                | -18,85                |
| 46             | -25,26            | -22,75            | -13,86         | -10,51         | -19,93                | -17,04                |
| 47             | -23,64            | -21,07            | -11,99         | -8,56          | -18,19                | -15,24                |
| 48             | -22,01            | -19,4             | -10,11         | -6,61          | -16,45                | -13,44                |
| 49             | -20,39            | -17,72            | -8,24          | -4,67          | -14,71                | -11,63                |
| 50             | -18,77            | -16,04            | -6,37          | -2,72          | -12,97                | -9,83                 |
| 51             | -17,14            | -14,36            | -4,49          | -0,79          | -11,23                | -8,03                 |
| 52             | -15,52            | -12,68            | -2,62          | 1,17           | -9,49                 | -6,22                 |

Tabla 12.Comparativa del error de los distintos métodos de cálculo de  $\Delta L_w$

Se observa en las tablas anteriores que los errores son considerables, ya sea por los métodos teóricos (DB-HR/UNE-EN-12354), o los experimentales (ISO-717). Si vemos la Figura .19.

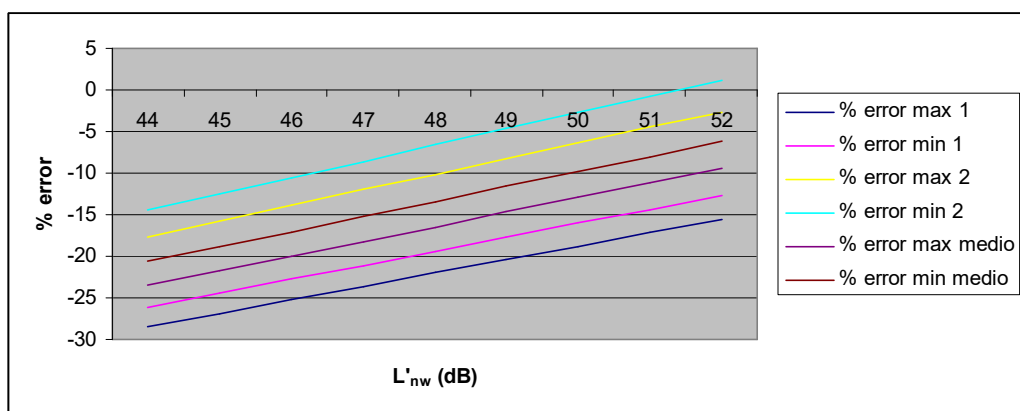


Figura 19.Grafica comparativa del error del los distintos métodos de calculo de  $\Delta L_w$

Los errores crecen al aumentar  $L'_{n,w}$  experimental, es decir las discrepancias entre el modelo propuesto por los autores y lo obtenido in situ se incrementan cuando la medición en campo es mayor.

Proyecto : Estudio al ruido ascendente por impacto

Autor: Gregorio Chacón Leiva

Tutor : Pedro Flores Domínguez-Rodiño

Para el caso de error medio se puede comprobar una tendencia entre ambos extremos, con el aspecto a destacar que a  $L'_{n,w}$  superiores a 50 dB los valores experimentales y los del modelo coinciden.

Como conclusión a este punto podemos afirmar que el modelo propuesto por los autores no cumple de modo general con los valores experimentales realizados en este proyecto.

Las discrepancias son tan grandes que se puede inferir que en otro tipo de recintos tampoco se cumplen las ecuaciones anteriormente descritas.

En los puntos siguientes se propondrá una serie de posibles soluciones para las fórmulas propuestas por Santos y Mateus. Todos los cálculos se encuentran en el anexo 9.6.

## 7.1 Propuestas a una posible modificación a las ecuaciones de Mateus y Santos

Anteriormente se demostró que las ecuaciones de los autores no convergen con los valores obtenidos experimentalmente en los recintos de estudios. En este punto desarrollaremos dos propuestas para la corrección de la aproximación del modelo de los autores portugueses.

### Propuesta 1. Método de los factores de modificación por área de recintos. Redefinición de las ecuaciones de Mateus y Santos.

Volviendo a la ecuación propuesta por los autores

$$L'_{n,w} = 76 - 10 \log(m') + 5 \log\left(\frac{L_{ER}}{S_E}\right) + 10 \log(S_E) - \Delta L_w + K_{INV} \quad (\text{dB}) \quad (26)$$

Podemos despreciar el valor  $L_{ER}$  y  $S_E$  por ser muy pequeño respecto al resto de los miembros de la ecuación, resultando de la siguiente forma:

$$L'_{n,w} = 76 - 10 \log(m') + 10 \log(S_E) - \Delta L_w + K_{INV} \quad (\text{dB}) \quad (27)$$

Y junto a la siguiente tabla con los datos extraídos del artículo de los autores:

| Medidas | loseta tipo | densidad (Kg/m <sup>3</sup> ) | Espesor (m) | Peso específico loseta (kg/m <sup>2</sup> ) | área del recinto (m <sup>2</sup> ) | Volumen del recinto (m <sup>3</sup> ) | $L'_{n,w}$ (dB) | $\Delta L_w + K_{inv}$ (dB) |
|---------|-------------|-------------------------------|-------------|---|------------------------------------|---------------------------------------|-----------------|-----------------------------|
| C1      | maciza      | 2.500,0                       | 0,2         | 500,0                                       | 12,0                               | 33,6                                  | 60,0            | 0,2                         |
| C2      | aligerada   | 1.500,0                       | 0,3         | 375,0                                       | 12,0                               | 33,6                                  | 61,0            | 1,1                         |
| C3      | aligerada   | 1.500,0                       | 0,4         | 525,0                                       | 12,0                               | 33,6                                  | 60,0            | 0,4                         |

Proyecto : Estudio al ruido ascendente por impacto

Autor: Gregorio Chacón Leiva

Tutor : Pedro Flores Domínguez-Rodiño

|    |        |         |     |       |      |      |      |     |
|----|--------|---------|-----|-------|------|------|------|-----|
| C4 | maciza | 2.500,0 | 0,2 | 375,0 | 12,0 | 33,6 | 61,0 | 1,1 |
| C5 | maciza | 2.500,0 | 0,2 | 500,0 | 35,0 | 98,0 | 59,0 | 4,5 |
| C6 | maciza | 2.500,0 | 0,2 | 500,0 | 12,0 | 2,5  | 60,0 | 0,2 |
| C7 | maciza | 2.500,0 | 0,2 | 500,0 | 12,0 | 3,0  | 60,0 | 0,2 |
| C8 | maciza | 2.500,0 | 0,2 | 500,0 | 12,0 | 4,0  | 60,0 | 0,2 |
| C9 | maciza | 2.500,0 | 0,2 | 500,0 | 12,0 | 2,8  | 60,0 | 0,2 |

Tabla 13. Datos de suelos de Mateus y Santos

Como puede verse en la tabla de la figura 31, los valores sumados de las variables  $\Delta L_w + K_{inv}$  son prácticamente cero, excepto en el caso C4, en el cual el área es mucho mayor que el resto.

C1,C2 y C5 pueden considerarse como valores representativos de los suelos estudiados por los autores. Al ser  $\Delta L_w=0$  y  $K_{inv}=0$  tenemos que.

$$L'_{n,w} = 76 - 10 \log(m') + 10 \log(S_E) \text{ (dB)} \quad (28)$$

Ante esta simplificación, se ha teorizado un método de factores de corrección a y b de la siguiente forma:

$$L'_{n,w} = 76 - a10 \log(m') + b10 \log(S_E) \text{ (dB)} \quad (29)$$

Para ello plantearemos sistemas de ecuaciones de dos a dos para obtener dichos valores. El procedimiento será el siguiente:

1. Categorizar las ecuaciones de Santos y Mateus. Cada una de dichas formulas seleccionadas tiene una característica que la hace propia:

C1: Alto peso específico de la loseta ( $500 \text{ kg/m}^2$ )

C2: Bajo peso específico de la loseta ( $375 \text{ kg/m}^2$ )

C5: Alto peso específico de la loseta y elevada área ( $500 \text{ kg/m}^2, 35 \text{ m}^2$ )

2. Etiquetar las medidas experimentales para comprobación: Las medidas de  $L'_{n,w}$  experimentales son:

| M1 | M2 | M3 |
|----|----|----|
| 44 | 45 | 46 |
| M4 | M5 | M6 |
| 47 | 48 | 49 |
| M7 | M8 | M9 |
| 50 | 51 | 52 |

Tabla 14.Datos de  $L'_{nw}$  experimental

Proyecto : Estudio al ruido ascendente por impacto

Autor: Gregorio Chacón Leiva

Tutor : Pedro Flores Domínguez-Rodiño

Para ello se escogen los valores extremos del intervalo de medidas. En este caso son los valores de 44 y 52 dB, y un valor medio de 48 dB, el cual se encuentra en la mitad del rango. Esto nos dará un conocimiento de los valores de a y b para los valores bajos medios y altos de la L'nw experimental.

### 3. Ecuaciones con datos

$$\begin{aligned} -16 + 27a - 10.8b &= 0 & \text{Ecuación C1} & \quad (\text{dB}) \\ -15 + 25.7a - 10.8b &= 0 & \text{Ecuación C2} & \quad (\text{dB}) \\ -17 + 27a - 15.44 &= 0 & \text{Ecuación C5} & \quad (\text{dB}) \end{aligned} \quad (30)$$

$$\begin{aligned} -32 + 27a - 10.8b &= 0 & \text{Ecuación M1} & \quad (\text{dB}) \\ -28 + 27a - 10.8b &= 0 & \text{Ecuación M2} & \quad (\text{dB}) \\ -23 + 27a - 15.44 &= 0 & \text{Ecuación M3} & \quad (\text{dB}) \end{aligned} \quad (31)$$

### 4. Resolución de ecuaciones

|       | A     | B      |
|-------|-------|--------|
| C1-M1 | 0,03  | -1,46  |
| C1-M4 | 0,17  | -1,05  |
| C1-M9 | 0,342 | -0,626 |

|       | A      | B      |
|-------|--------|--------|
| C2-M1 | -0,045 | -1,49  |
| C2-M4 | 0,108  | -1,132 |
| C2-M9 | 0,2987 | -0,68  |

|       | A       | B      |
|-------|---------|--------|
| C5-M1 | -0,6183 | -2,182 |
| C5-M4 | -0,2911 | -1,61  |
| C5-M9 | 0,12    | -0,89  |

Tabla 15. Valores experimentales de a y b para la ecuación modificada de Mateus y Santos

De esta forma obtenemos tres familias de datos, una primera serie C1 se utilizaría cuando el sistema posea una loseta de alto peso y baja área, una serie C2 para bajo peso de loseta y una serie C5 para alto peso de loseta y área de contacto.

En nuestro caso de estudio lo más próximo sería la utilización de las familias de datos C5, que son las más próximas en características a nuestros recintos de estudio. Para un conocimiento más exhaustivo debería realizarse gran cantidad de experimentos con diferentes suelos, áreas etc., para encontrar una serie de ecuaciones patrón en las cuales se pueda asociar nuestro problema particular para obtener la solución.

Una de las peculiaridades de este modelo es que nos muestra valores a bajo, medio y alto nivel de presión acústica normalizado. Se debería decidir cual criterio es el correcto, para ello se da una aproximación en el siguiente punto.

**Propuesta 2. Método de los factores de modificación por área de recintos. La regla gráfica de los 160 Hz.**

Proyecto : Estudio al ruido ascendente por impacto

Autor: Gregorio Chacón Leiva

Tutor : Pedro Flores Domínguez-Rodiño

En el punto anterior concluimos que el modelo se quedaba limitado a elegir unos valores entre alto, medio y bajo nivel de presión sonora, en un rango de estudio particular de entre 43 y 52 dB.

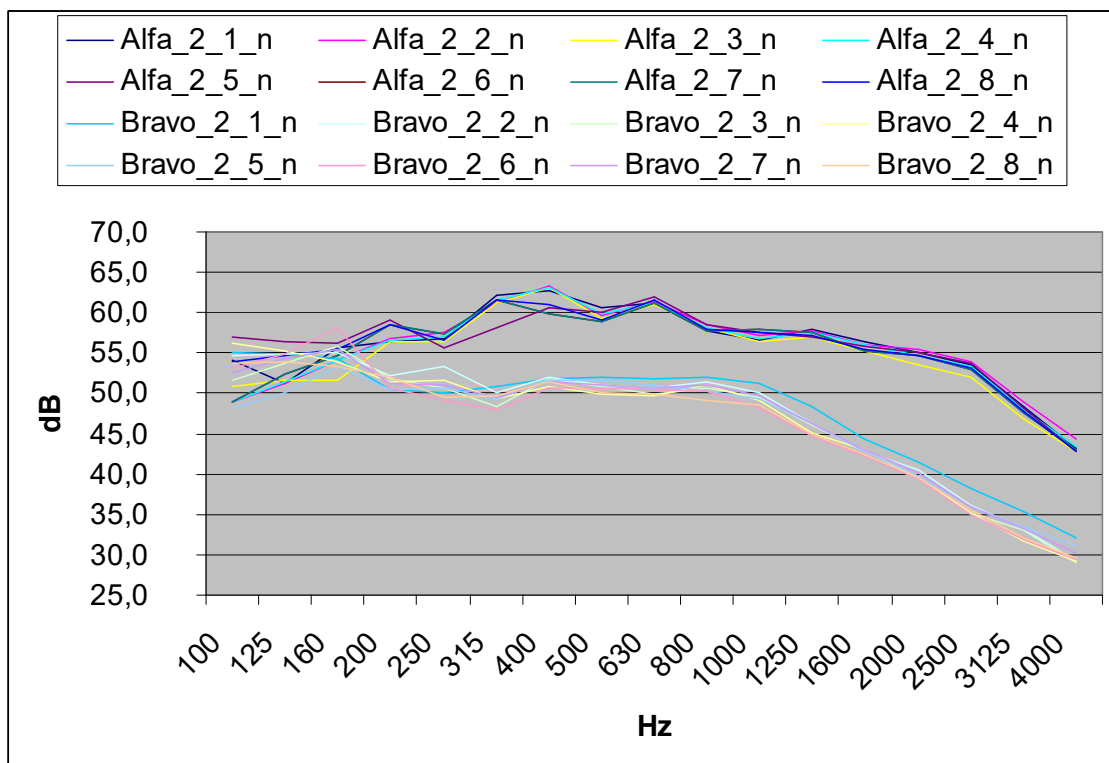


Figura 20. Comparativa datos Alfa y Bravo

Como vemos en la Figura 21 los datos Alfa y Bravo posee similitudes de tipo espejular eso es debido a como dijimos en apartados anteriores a la propiedad según la cual puntos perpendiculares entre si en ambos recintos posee características comunes.

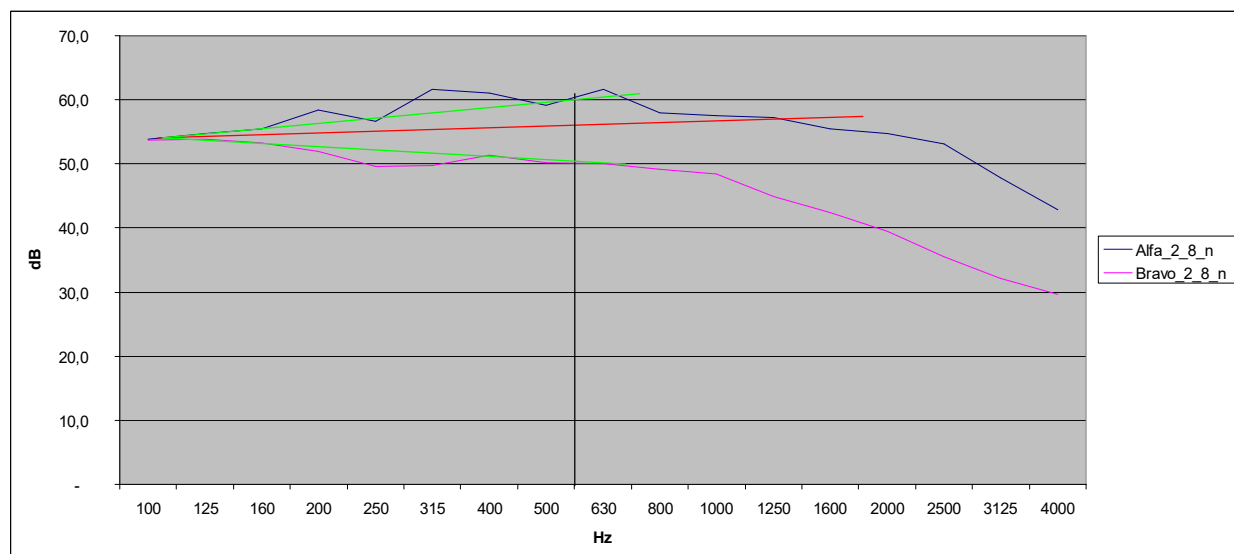


Figura 21. Gráfica para obtener  $L'_{n,w}$  ascendente con la regla de los 160 Hz

*Proyecto :* Estudio al ruido ascendente por impacto

*Autor:* Gregorio Chacón Leiva

*Tutor :* Pedro Flores Domínguez-Rodiño

Como puede verse se hace un “nudo” en la frecuencia de 160 Hz o próxima a esta. Si trazamos una línea horizontal y otra que cruce el valor Alfa\_2\_8\_n a 500 Hz (lo que sería obtener el valor de  $L'_n$  de ruido descendente o clásico), podemos de forma especular obtener el  $L'_n$  de ruido ascendente aunque no conociéramos el valor del espectro Bravo\_2\_8\_n.

Esto entraña con las ecuaciones de Mateus y Santos los cuales buscaban un  $L'_n$  ascendente. Por supuesto, siempre hay que conocer el espectro de ruido descendente (el cual se encuentra detallado en la norma, mediante métodos analíticos o mediante los ensayos de impacto in situ). Esta aproximación se cumple para  $L'_n$  o  $L'_{nT}$  y también se cumple para  $L'_{nw}$  y  $L'_{nTw}$ , la razón es que ambas se difieren en cantidades constantes de dB en todo el espectro.

Además este sistema complementa el del punto anterior, el cual dejaba una horquilla de alto, medio o bajo nivel de presión sonora. Al cortar en un punto aproximado ya se puede decidir que factores de a y b son los necesarios para el modelo.

Por ejemplo en el caso de la Figura 21 se obtendría un valor de  $L'n$  ascendente de 50 dB. Si miramos la tabla 15, se corresponderían a la última fila de la tabla (M7-M9), y a la combinación C5-M9 (loseta de alto peso y gran superficie). Con lo que casa con alto nivel de presión sonora, los valores de a y b serían 0,12 y -0,89 respectivamente (Figura 33)

Proyecto : Estudio al ruido ascendente por impacto

Autor: Gregorio Chacón Leiva

Tutor : Pedro Flores Domínguez-Rodiño

## 8. CONCLUSIONES FINALES

Este proyecto de final de carrera se definió con el objetivo de una validación a las ecuaciones de Mateus y Santos, pero para ello tuvieron que realizarse una cantidad considerable de pasos previos y cumplimientos de normativa que nos dieron una información sobre el comportamiento del ruido en recintos superpuestos.

En una primera parte se expondrán las conclusiones principales halladas durante la elaboración de este proyecto, y la segunda consistirá en exponer la validez (o no) de forma concluyente de las ecuaciones de Mateus y Santos.

### 8.1 Conclusiones principales

Las conclusiones principales son:

- 1. “Los valores de nivel de presión sonora a ruido ascendente son menores que a ruido descendente”.**

Esto es debido a la transmisión del ruido en ambos sistemas. En ruido descendente los martillos golpean la superficie horizontal común entre ambos recintos, transmitiéndose de esta forma mayor presión en forma de ruido que en el ruido ascendente donde se golpea la superficie no común del sistema, lo cual provoca que la transmisión al recinto superior sea mucho menor, al ser esta principalmente por flancos.

Este punto trae implicaciones de tipo normativo, si observamos el DB-HR, el ruido está limitado a  $L_{nT,w}=65$  dB en ruido descendente, de esto se infiere que una futura norma regule el ruido ascendente debiendo tomar en consideración los niveles de presión sonora que no son semejantes en ambos sentidos.

- 2. “Las magnitudes varían considerablemente dependiendo del punto de medida en el recinto.”**

Los niveles de presión sonora a ruido ascendente, a no ser de forma directa en su mayor parte, se ven afectados por la geometría (puertas, ventanas, proximidad a las paredes) y a la presencia de mobiliario (mesas, pupitres, etc...)

Esto implica que para una posible modelización es necesario tener en consideración estas condiciones iniciales las cuales influyen en mayor medida que en el clásico ruido descendente que nos enseña la normativa actual.

- 3. “Puntos de medidas próximos comparten características comunes, ya sea próximos entre entre si en el mismo recinto, o en recintos superpuestos que comparten la misma línea vertical.”**

Los recintos presentan una serie de invariantes, cuantificables al menos de forma aproximada. Puntos alejados de las paredes llevan a niveles de presión sonora más bajos o la presencia de mobiliario fijo que conlleva una mayor caída de dB a altas frecuencias. Todo esto podría ser cuantificado para obtener una modelización del ruido.

- 4. “Las magnitudes que más afectan a la transmisión de ruido ascendente son el volumen de dichos recintos y no las líneas de unión, es decir, se transmite más ruido por un mayor volumen el cual acarrea una mayor longitud de las líneas de unión. Recintos más pequeños con las mismas uniones no transmitirían el mismo ruido.”**

Proyecto : Estudio al ruido ascendente por impacto

Autor: Gregorio Chacón Leiva

Tutor : Pedro Flores Domínguez-Rodríguez

Los autores introducen en sus ecuaciones un término para la longitud de uniones el cual puede verse que es despreciable respecto a los términos geométricos de superficie de unión y los volúmenes de recintos. Esto se desarrollaría posteriormente en la crítica a las ecuaciones de Mateus y Santos.

5. ***"El aislamiento afecta profundamente a las medidas tomadas. El cálculo de  $\Delta L_w$  se torna clave en todo el desarrollo del proyecto. Para futuros estudios se debe cuantificar de forma clara y concisa todo lo referente a la reducción acústica de aislamiento y en menor medida a forjados, fachadas, etc."***

Punto donde gira una de las ideas centrales de este proyecto es que los aislantes y el forjado modifican la transmisión de ruido. Esto es un concepto claro, pero los valores de  $\Delta L_w$  se obtienen para la transmisión clásica a ruido descendente. Dichos valores no son aceptables a ruido ascendente, acarreando un gran porcentaje de error.

6. ***"Los niveles de  $L'nT$ , w a ruido ascendente y descendente tienden a converger al aumentar el volumen de los recintos. En los recintos de Mateus y Santos con unos recintos del orden de los 40 metros cúbicos, los niveles de presión acústica difieren entre 13-21 dB, en nuestro caso de estudio con recintos entre 250-500 m<sup>3</sup> las diferencias son entre 8-10 dB."***

Es decir que al aumentar el volumen de los recintos a estudiar la diferencia entre  $L'n,w$  ascendente y  $L'n,w$  descendente tiende a converger a un valor, el incremento de nivel de presión sonora estándar o normalizada límite  $\Delta L'n,w, límite$  o  $\Delta L'nT,w, límite$ .

Este valor límite conceptualmente significa "valor límite por el cual al ser el volumen de los recintos tan elevado, se puede considerar de forma ideal que la transmisión descendente es de forma directa y la ascendente es por flancos". Esta magnitud podría encontrarse empíricamente y permitiría de forma pseudo-experimental obtener los niveles de presión a ruido ascendente. Un ejemplo ilustra mejor el concepto:

Si medimos el ruido de impacto de forma descendente y obtenemos  $L'nT, w=60$  dB con un valor de  $\Delta L'nT, w, límite=7$  dB, podemos asegurar que  $L'nT, w$  a ruido ascendente no superará el valor de 53 dB, y puede ser mucho menor si el recinto es de pequeñas dimensiones.

No es una formulación matemática formal, pero mediante recopilación de datos y tratamiento de los mismos mediante paquetes informáticos (como Matlab o R), adquirir un valor aceptable de los niveles de presión sonora en ambos sentidos midiendo una sola vez puede ser una realidad.

## 8.2 Conclusiones a las ecuaciones de los autores

Los contras y pros a las conclusiones a las ecuaciones de los autores son:

Contras

Proyecto : Estudio al ruido ascendente por impacto

Autor: Gregorio Chacón Leiva

Tutor : Pedro Flores Domínguez-Rodiño

1. El método de obtención de las ecuaciones es mediante un programa de elementos finitos (ACUOBAT), el cual desarrollará una serie de errores inherentes al modelizado.
2. El método SEA (“Statistical Energy Analisys”) es el que se aplica para el artículo a estudiar y que intentan complementar con lo anterior. Cómo los autores reconocen utilizan gran cantidad de simplificaciones:
  - Solo consideran las ondas longitudinales, obviando las transversales y las de flexión.
  - No hacen un estudio del tipo de juntas.
  - Modelizado únicamente con dos tipos de losas.

Todo ello lleva a que los errores sean considerables para una modelización aceptable del sistema

3. Los recintos son de geometría semejante y volumen relativamente pequeño. Lo que provoca una distorsión de los resultados al comprobarse que la transmisión está muy influenciada por el volumen.
4. Utilización de losetas de similar peso específico. Ambas están en el rango de los 350-500 kg/m<sup>2</sup>. Siendo este un factor muy importante en las ecuaciones propuestas por los autores. Al existir poca variedad de losas los datos están muy sesgados a este rango de valores.
5. Al no ser medidas in situ en la aplicación de SEA, estas solo modelizan las transmisiones directas, hecho que dificulta mas si cabe la modelización al ser el ruido ascendente principalmente transmitido por los flancos.
6. Se simplifican los recintos para considerarlos “paralelepípedos de igual base”. Los autores consideran que la loseta de unión entre ambos recintos coincide con el área del piso de los mismos, es decir el ancho y el largo de ambos habitáculos es igual, simplifica el modelo eliminando vías de transmisión (como los flancos o la flexión de la loseta que no esta en contacto con el recinto inferior). Aunque en las ecuaciones propuestas si diferencia las áreas de los diferentes recintos.
7.  $\Delta L_w$  es obtenido mediante pruebas en laboratorio. No se corresponde a valores que se hayan podidos obtener en campo por lo tanto los valores asociados de  $K_{inv}$  (valores que corrigen  $AL_w$  para flujo ascendente), deben tener un error importante.
8. Y por ultimo el concepto “suelo flotante”. En definición un suelo flotante posee un aislante acústico definido con una propiedades determinadas que en ningún punto se especifican. Esto hace que no se pueda concretar completamente si el sistema a estudiar entra en la categoría que los autores denominan “suelo flotante”, y tener que aplicar (o no) las correcciones necesarias para ello.

### Pros

1. El método SEA da un estudio aceptable cualitativamente de lo que ocurre en la transmisión de ruido ascendente, con cierta semejanza a los valores obtenidos en este proyecto, principalmente en el estudio de el ruido a bajas frecuencias que es el que da mas problemas.

*Proyecto :* Estudio al ruido ascendente por impacto

*Autor:* Gregorio Chacón Leiva

*Tutor :* Pedro Flores Domínguez-Rodiño

2. Da valor principalmente a los factores geométricos. Por lo cual es fácilmente aplicable a casi todos los recintos. Sería necesario un ajuste exhaustivo de dichos parámetros e introducir otros que no se han tenido en cuenta para una mejor convergencia con la realidad del resultado del modelo.
3. Como puede verse al ir aumentando el  $L'n$ , w el error disminuye, por lo tanto se puede concluir que a ambientes muy ruidosos podría tener una cierta utilidad.

En conclusión, se puede decir que las ecuaciones de Mateus y Santos no son útiles para obtener valores aceptables a ruido ascendente, deberían ser reformuladas introduciendo factores que afectan mucho a la transmisión y que en la formulación actual no aparecen.

*Proyecto :* Estudio al ruido ascendente por impacto

*Autor:* Gregorio Chacón Leiva

*Tutor :* Pedro Flores Domínguez-Rodiño

## **9. ANEXO**

En los siguientes puntos se detallaran una serie de anexos donde se recogen valores de campo, cálculos, resultados y demás información mencionada en el proyecto.

### **9.1 Anexo 1. Valores brutos obtenidos en campo**

Estos valores son los arrojados por el software DBATTI32 de medición. Todos aparecen en las siguientes graficas con la nomenclatura ya comentada en el apartado 4.4 Nomenclatura de datos obtenidos.

Proyecto : Estudio al ruido ascendente por impacto

Autor: Gregorio Chacón Leiva

Tutor : Pedro Flores Domínguez-Rodiño

|          |  |
|----------|--|
| Id<br>N. | 1<br>Alfa_2_1  |
| Hz<br>dB | 125 160 200 250 315 400 500 630 800 1000 1250 1600 2000 2500 3150 4000<br>43.8 48.1 48.9 49.4 54.7 55.3 53.2 53.8 50.2 49.1 50.4 49 47.6 46 40.8 35.7    |
| Id<br>N. | 2<br>Alfa_2_2  |
| Hz<br>dB | 125 160 200 250 315 400 500 630 800 1000 1250 1600 2000 2500 3150 4000<br>43.8 46.7 49.4 50 53.7 55.8 52.1 53.9 51 49.7 50.2 48.6 48 46.5 41.5 36.9      |
| Id<br>N. | 3<br>Alfa_2_3  |
| Hz<br>dB | 125 160 200 250 315 400 500 630 800 1000 12500 1600 2000 2500 3150 4000<br>44.1 44.2 48.9 49 53.8 55.7 51.9 53.6 50.7 49 49.6 47.7 46 44.5 39.3 35.3     |
| Id<br>N. | 4<br>Alfa_2_4  |
| Hz<br>dB | 125 160 200 250 315 400 500 630 800 1000 12500 1600 2000 2500 3150 4000<br>43.9 46.6 49.1 49.5 54.1 55.6 52.4 53.8 50.6 49.3 50.1 48.5 47.3 45.8 40.6 36 |
| Id<br>N. | 5<br>Alfa_2_5  |
| Hz<br>dB | 125 160 200 250 315 400 500 630 800 1000 12500 1600 2000 2500 3150 4000<br>49 48.7 51.6 48.1 50.6 53.2 52.6 54.5 51 50 49.5 48.3 47.5 46.2 40.7 35.3     |
| Id<br>N. | 6<br>Alfa_2_6  |
| Hz<br>dB | 125 160 200 250 315 400 500 630 800 1000 12500 1600 2000 2500 3150 4000<br>44.9 47.2 51 49.9 54.1 52.4 51.5 53.8 50.2 50.4 50.1 47.8 47.2 45.5 40.1 35.5 |
| Id<br>N. | 7<br>Alfa_2_7  |
| Hz<br>dB | 125 160 200 250 315 400 500 630 800 1000 12500 1600 2000 2500 3150 4000<br>44.9 47.2 51 49.9 54.1 52.4 51.5 53.8 50.2 50.4 50.1 47.8 47.2 45.5 40.1 35.5 |
| Id<br>N. | 8<br>Alfa_2_8  |
| Hz<br>dB | 125 160 200 250 315 400 500 630 800 1000 12500 1600 2000 2500 3150 4000<br>47.2 48 51 49.2 54.2 53.6 51.7 54.2 50.5 50 49.7 48 47.2 45.6 40.4 35.4       |
| Id<br>N. | 9<br>Alfa_3_1  |
| Hz       | 125 160 200 250 315 400 500 630 800 1000 12500 1600 2000 2500 3150 4000  |

Proyecto : Estudio al ruido ascendente por impacto

Autor: Gregorio Chacón Leiva

Tutor : Pedro Flores Domínguez-Rodiño

|    |          |      |      |      |      |      |      |      |      |      |       |      |      |      |      |      |
|----|----------|------|------|------|------|------|------|------|------|------|-------|------|------|------|------|------|
| dB | 48.3     | 55.7 | 56.2 | 56.9 | 60.9 | 62.6 | 60.2 | 60   | 59.3 | 57.2 | 55.6  | 54.3 | 56.3 | 53.2 | 53.3 | 48.7 |
| Id | 10       |      |      |      |      |      |      |      |      |      |       |      |      |      |      |      |
| N. | Alfa_3_2 |      |      |      |      |      |      |      |      |      |       |      |      |      |      |      |
| Hz | 125      | 160  | 200  | 250  | 315  | 400  | 500  | 630  | 800  | 1000 | 12500 | 1600 | 2000 | 2500 | 3150 | 4000 |
| dB | 52.4     | 52.5 | 55   | 56.4 | 62   | 61.7 | 60   | 61.3 | 59.2 | 57   | 55.9  | 53.8 | 55.5 | 52.9 | 51.9 | 48.1 |
| Id | 11       |      |      |      |      |      |      |      |      |      |       |      |      |      |      |      |
| N. | Alfa_3_3 |      |      |      |      |      |      |      |      |      |       |      |      |      |      |      |
| Hz | 125      | 160  | 200  | 250  | 315  | 400  | 500  | 630  | 800  | 1000 | 12500 | 1600 | 2000 | 2500 | 3150 | 4000 |
| dB | 53.3     | 53   | 54.6 | 57   | 63.8 | 61.7 | 60   | 60.9 | 59.3 | 57   | 55.6  | 53.5 | 54.5 | 52.8 | 51.2 | 47.3 |
| Id | 12       |      |      |      |      |      |      |      |      |      |       |      |      |      |      |      |
| N. | Alfa_3_4 |      |      |      |      |      |      |      |      |      |       |      |      |      |      |      |
| Hz | 125      | 160  | 200  | 250  | 315  | 400  | 500  | 630  | 800  | 1000 | 12500 | 1600 | 2000 | 2500 | 3150 | 4000 |
| dB | 52.8     | 56   | 55.5 | 58.8 | 61.9 | 61   | 59.8 | 60.7 | 59.3 | 56.7 | 55.1  | 53.1 | 53.9 | 52.5 | 50.7 | 46.8 |
| Id | 13       |      |      |      |      |      |      |      |      |      |       |      |      |      |      |      |
| N. | Alfa_3_5 |      |      |      |      |      |      |      |      |      |       |      |      |      |      |      |
| Hz | 125      | 160  | 200  | 250  | 315  | 400  | 500  | 630  | 800  | 1000 | 12500 | 1600 | 2000 | 2500 | 3150 | 4000 |
| dB | 51       | 55.3 | 55.8 | 59.7 | 62.9 | 60.5 | 59.3 | 59.9 | 58.9 | 56.7 | 55.4  | 52.9 | 53.8 | 52.2 | 50.6 | 46.7 |
| Id | 14       |      |      |      |      |      |      |      |      |      |       |      |      |      |      |      |
| N. | Alfa_3_6 |      |      |      |      |      |      |      |      |      |       |      |      |      |      |      |
| Hz | 125      | 160  | 200  | 250  | 315  | 400  | 500  | 630  | 800  | 1000 | 12500 | 1600 | 2000 | 2500 | 3150 | 4000 |
| dB | 52.5     | 52.4 | 54.9 | 57.2 | 60.9 | 59.3 | 59.3 | 59   | 58.5 | 55.6 | 54    | 52.2 | 53.2 | 51.6 | 49.4 | 45.3 |
| Id | 15       |      |      |      |      |      |      |      |      |      |       |      |      |      |      |      |
| N. | Alfa_3_7 |      |      |      |      |      |      |      |      |      |       |      |      |      |      |      |
| Hz | 125      | 160  | 200  | 250  | 315  | 400  | 500  | 630  | 800  | 1000 | 12500 | 1600 | 2000 | 2500 | 3150 | 4000 |
| dB | 50       | 54.2 | 53.8 | 58   | 60.1 | 59.4 | 59.1 | 58.6 | 57.7 | 55   | 53.7  | 51.5 | 52.2 | 50.1 | 47.5 | 44   |
| Id | 16       |      |      |      |      |      |      |      |      |      |       |      |      |      |      |      |
| N. | Alfa_4_1 |      |      |      |      |      |      |      |      |      |       |      |      |      |      |      |
| Hz | 125      | 160  | 200  | 250  | 315  | 400  | 500  | 630  | 800  | 1000 | 12500 | 1600 | 2000 | 2500 | 3150 | 4000 |
| dB | 53.5     | 51.2 | 50.5 | 52.7 | 56.4 | 56.2 | 56.3 | 54.3 | 53.3 | 53.6 | 53.1  | 51.3 | 52.3 | 53.7 | 50.8 | 46.6 |
| Id | 17       |      |      |      |      |      |      |      |      |      |       |      |      |      |      |      |
| N. | Alfa_4_2 |      |      |      |      |      |      |      |      |      |       |      |      |      |      |      |
| Hz | 125      | 160  | 200  | 250  | 315  | 400  | 500  | 630  | 800  | 1000 | 12500 | 1600 | 2000 | 2500 | 3150 | 4000 |
| dB | 53.7     | 52.2 | 49.8 | 53.4 | 57.3 | 56.5 | 56.2 | 54.4 | 53.4 | 53.6 | 53.1  | 51.9 | 52.4 | 53.8 | 50.5 | 46.3 |
| Id | 18       |      |      |      |      |      |      |      |      |      |       |      |      |      |      |      |
| N. | Alfa_4_3 |      |      |      |      |      |      |      |      |      |       |      |      |      |      |      |

Proyecto : Estudio al ruido ascendente por impacto

Autor: Gregorio Chacón Leiva

Tutor : Pedro Flores Domínguez-Rodiño

|    |           |      |      |      |      |      |      |      |      |      |       |      |      |      |      |      |
|----|-----------|------|------|------|------|------|------|------|------|------|-------|------|------|------|------|------|
| Hz | 125       | 160  | 200  | 250  | 315  | 400  | 500  | 630  | 800  | 1000 | 12500 | 1600 | 2000 | 2500 | 3150 | 4000 |
| dB | 53.3      | 50.6 | 49.3 | 52.7 | 56   | 55.6 | 56.7 | 54.8 | 53.5 | 54   | 53.2  | 52.2 | 53.2 | 54.8 | 51.5 | 47.9 |
| Id | 19        |      |      |      |      |      |      |      |      |      |       |      |      |      |      |      |
| N. | Alfa_4_4  |      |      |      |      |      |      |      |      |      |       |      |      |      |      |      |
| Hz | 125       | 160  | 200  | 250  | 315  | 400  | 500  | 630  | 800  | 1000 | 12500 | 1600 | 2000 | 2500 | 3150 | 4000 |
| dB | 53.1      | 50.8 | 49.2 | 53.3 | 56.3 | 54.8 | 54.2 | 54   | 52.6 | 52.8 | 52.4  | 51   | 51.7 | 53   | 49.4 | 44.8 |
| Id | 20        |      |      |      |      |      |      |      |      |      |       |      |      |      |      |      |
| N. | Alfa_4_5  |      |      |      |      |      |      |      |      |      |       |      |      |      |      |      |
| Hz | 125       | 160  | 200  | 250  | 315  | 400  | 500  | 630  | 800  | 1000 | 12500 | 1600 | 2000 | 2500 | 3150 | 4000 |
| dB | 50        | 49.3 | 50.3 | 51.3 | 56.8 | 55.5 | 56.9 | 54.6 | 53.9 | 53.9 | 52.9  | 52.1 | 53.1 | 54   | 50.8 | 47.3 |
| Id | 21        |      |      |      |      |      |      |      |      |      |       |      |      |      |      |      |
| N. | Alfa_4_6  |      |      |      |      |      |      |      |      |      |       |      |      |      |      |      |
| Hz | 125       | 160  | 200  | 250  | 315  | 400  | 500  | 630  | 800  | 1000 | 12500 | 1600 | 2000 | 2500 | 3150 | 4000 |
| dB | 51.4      | 49.9 | 50.4 | 51.9 | 57   | 55.8 | 56.5 | 54.4 | 53.7 | 53.5 | 53    | 52.1 | 52.8 | 54   | 51.3 | 47.3 |
| Id | 22        |      |      |      |      |      |      |      |      |      |       |      |      |      |      |      |
| N. | Alfa_4_7  |      |      |      |      |      |      |      |      |      |       |      |      |      |      |      |
| Hz | 125       | 160  | 200  | 250  | 315  | 400  | 500  | 630  | 800  | 1000 | 12500 | 1600 | 2000 | 2500 | 3150 | 4000 |
| dB | 52.7      | 50.8 | 50   | 52.6 | 56.7 | 55.7 | 56.2 | 54.4 | 53.4 | 53.6 | 53    | 51.8 | 52.6 | 53.9 | 50.8 | 46.8 |
| Id | 23        |      |      |      |      |      |      |      |      |      |       |      |      |      |      |      |
| N. | Alfa_4_8  |      |      |      |      |      |      |      |      |      |       |      |      |      |      |      |
| Hz | 125       | 160  | 200  | 250  | 315  | 400  | 500  | 630  | 800  | 1000 | 12500 | 1600 | 2000 | 2500 | 3150 | 4000 |
| dB | 51.2      | 50.3 | 52.4 | 50.9 | 52.6 | 55.8 | 56.9 | 55   | 56.4 | 53.4 | 53    | 52.5 | 52.4 | 53.6 | 49.9 | 46.1 |
| Id | 24        |      |      |      |      |      |      |      |      |      |       |      |      |      |      |      |
| N. | Bravo_1_1 |      |      |      |      |      |      |      |      |      |       |      |      |      |      |      |
| Hz | 125       | 160  | 200  | 250  | 315  | 400  | 500  | 630  | 800  | 1000 | 12500 | 1600 | 2000 | 2500 | 3150 | 4000 |
| dB | 46.1      | 46.8 | 45.5 | 39.6 | 47.3 | 46.8 | 45.6 | 45.7 | 44.7 | 43.6 | 42.3  | 43   | 37.8 | 41.7 | 37.7 | 34.6 |
| Id | 25        |      |      |      |      |      |      |      |      |      |       |      |      |      |      |      |
| N. | Bravo_1_2 |      |      |      |      |      |      |      |      |      |       |      |      |      |      |      |
| Hz | 125       | 160  | 200  | 250  | 315  | 400  | 500  | 630  | 800  | 1000 | 12500 | 1600 | 2000 | 2500 | 3150 | 4000 |
| dB | 43.6      | 44.7 | 45   | 40.3 | 47.3 | 46.9 | 46.2 | 46.6 | 44.3 | 43.1 | 41.8  | 42.7 | 37.8 | 41.4 | 37.7 | 33.5 |
| Id | 26        |      |      |      |      |      |      |      |      |      |       |      |      |      |      |      |
| N. | Bravo_1_3 |      |      |      |      |      |      |      |      |      |       |      |      |      |      |      |
| Hz | 125       | 160  | 200  | 250  | 315  | 400  | 500  | 630  | 800  | 1000 | 12500 | 1600 | 2000 | 2500 | 3150 | 4000 |
| dB | 45.5      | 48.1 | 45.1 | 40.5 | 48.4 | 47.6 | 45.7 | 46   | 43.6 | 43.3 | 42.6  | 42.6 | 38   | 40.1 | 37.2 | 33.5 |
| Id | 27        |      |      |      |      |      |      |      |      |      |       |      |      |      |      |      |
| N. | Bravo_1_4 |      |      |      |      |      |      |      |      |      |       |      |      |      |      |      |

Proyecto : Estudio al ruido ascendente por impacto

Autor: Gregorio Chacón Leiva

Tutor : Pedro Flores Domínguez-Rodiño

|    |           |      |      |      |      |      |      |      |      |      |       |      |      |      |      |      |  |
|----|-----------|------|------|------|------|------|------|------|------|------|-------|------|------|------|------|------|--|
|    |           |      |      |      |      |      |      |      |      |      |       |      |      |      |      |      |  |
| Hz | 125       | 160  | 200  | 250  | 315  | 400  | 500  | 630  | 800  | 1000 | 12500 | 1600 | 2000 | 2500 | 3150 | 4000 |  |
| dB | 45.4      | 46.6 | 44.8 | 38.6 | 46.1 | 46.4 | 44.3 | 43.5 | 41.3 | 41.8 | 40.5  | 41.1 | 36.8 | 38   | 34.7 | 30.7 |  |
| Id | 28        |      |      |      |      |      |      |      |      |      |       |      |      |      |      |      |  |
| N. | Bravo_1_5 |      |      |      |      |      |      |      |      |      |       |      |      |      |      |      |  |
| Hz | 125       | 160  | 200  | 250  | 315  | 400  | 500  | 630  | 800  | 1000 | 12500 | 1600 | 2000 | 2500 | 3150 | 4000 |  |
| dB | 43.7      | 44.5 | 46.3 | 38.8 | 46.4 | 45.5 | 44.8 | 44   | 42.1 | 41.5 | 41    | 41   | 37   | 38   | 34.4 | 30.1 |  |
| Id | 29        |      |      |      |      |      |      |      |      |      |       |      |      |      |      |      |  |
| N. | Bravo_1_6 |      |      |      |      |      |      |      |      |      |       |      |      |      |      |      |  |
| Hz | 125       | 160  | 200  | 250  | 315  | 400  | 500  | 630  | 800  | 1000 | 12500 | 1600 | 2000 | 2500 | 3150 | 4000 |  |
| dB | 43.5      | 46.1 | 45.1 | 39.1 | 45   | 45.3 | 43.4 | 43.8 | 41.9 | 42.3 | 41.3  | 41   | 36.7 | 37.8 | 34.5 | 29.2 |  |
| Id | 30        |      |      |      |      |      |      |      |      |      |       |      |      |      |      |      |  |
| N. | Bravo_1_7 |      |      |      |      |      |      |      |      |      |       |      |      |      |      |      |  |
| Hz | 125       | 160  | 200  | 250  | 315  | 400  | 500  | 630  | 800  | 1000 | 12500 | 1600 | 2000 | 2500 | 3150 | 4000 |  |
| dB | 44.7      | 46.3 | 45.3 | 39.5 | 46.9 | 46.5 | 45.1 | 45.1 | 43.2 | 42.7 | 41.7  | 42   | 37.4 | 39.8 | 36.3 | 32.4 |  |
| Id | 31        |      |      |      |      |      |      |      |      |      |       |      |      |      |      |      |  |
| N. | Bravo_1_8 |      |      |      |      |      |      |      |      |      |       |      |      |      |      |      |  |
| Hz | 125       | 160  | 200  | 250  | 315  | 400  | 500  | 630  | 800  | 1000 | 12500 | 1600 | 2000 | 2500 | 3150 | 4000 |  |
| dB | 43.2      | 46.3 | 44.5 | 39.5 | 45.2 | 44.9 | 43.8 | 43.3 | 42.1 | 42   | 41.2  | 41.5 | 36.6 | 38.6 | 34.8 | 29.7 |  |
| Id | 32        |      |      |      |      |      |      |      |      |      |       |      |      |      |      |      |  |
| N. | Bravo_2_1 |      |      |      |      |      |      |      |      |      |       |      |      |      |      |      |  |
| Hz | 125       | 160  | 200  | 250  | 315  | 400  | 500  | 630  | 800  | 1000 | 12500 | 1600 | 2000 | 2500 | 3150 | 4000 |  |
| dB | 49.2      | 48.7 | 44.8 | 44.5 | 45.2 | 46.2 | 46.4 | 46.2 | 46.4 | 45.5 | 42.6  | 38.6 | 35.8 | 32.5 | 29.6 | 26.4 |  |
| Id | 33        |      |      |      |      |      |      |      |      |      |       |      |      |      |      |      |  |
| N. | Bravo_2_2 |      |      |      |      |      |      |      |      |      |       |      |      |      |      |      |  |
| Hz | 125       | 160  | 200  | 250  | 315  | 400  | 500  | 630  | 800  | 1000 | 12500 | 1600 | 2000 | 2500 | 3150 | 4000 |  |
| dB | 49.2      | 49.4 | 46.5 | 47.6 | 44.5 | 46.3 | 45.4 | 45   | 45.8 | 44.5 | 40.5  | 37.1 | 34.8 | 30.4 | 27.5 | 23.6 |  |
| Id | 34        |      |      |      |      |      |      |      |      |      |       |      |      |      |      |      |  |
| N. | Bravo_2_3 |      |      |      |      |      |      |      |      |      |       |      |      |      |      |      |  |
| Hz | 125       | 160  | 200  | 250  | 315  | 400  | 500  | 630  | 800  | 1000 | 12500 | 1600 | 2000 | 2500 | 3150 | 4000 |  |
| dB | 48.1      | 50.1 | 46.1 | 44.9 | 42.7 | 46.1 | 45.2 | 44.3 | 44.9 | 43.9 | 40.3  | 37.3 | 33.6 | 29.4 | 27.3 | 23.4 |  |
| Id | 35        |      |      |      |      |      |      |      |      |      |       |      |      |      |      |      |  |
| N. | Bravo_2_4 |      |      |      |      |      |      |      |      |      |       |      |      |      |      |      |  |
| Hz | 125       | 160  | 200  | 250  | 315  | 400  | 500  | 630  | 800  | 1000 | 12500 | 1600 | 2000 | 2500 | 3150 | 4000 |  |
| dB | 49.5      | 48.3 | 45.8 | 46   | 43.7 | 45.2 | 44.2 | 44   | 45.3 | 43.5 | 39.5  | 37.3 | 33.8 | 29.4 | 26.1 | 23.6 |  |
| Id | 36        |      |      |      |      |      |      |      |      |      |       |      |      |      |      |      |  |

Proyecto : Estudio al ruido ascendente por impacto

Autor: Gregorio Chacón Leiva

Tutor : Pedro Flores Domínguez-Rodiño

|    |   |
|----|---|
| N. | Bravo_2_5   |
| Hz | 125 160 200 250 315 400 500 630 800 1000 12500 1600 2000 2500 3150 4000       |
| dB | 44.5 47.6 44.7 44.9 43.6 46 45.9 45.3 44.6 43.7 40.6 37.2 34.1 30.2 27.7 25.5 |
| Id | 37  |
| N. | Bravo_2_6   |
| Hz | 125 160 200 250 315 400 500 630 800 1000 12500 1600 2000 2500 3150 4000       |
| dB | 49.2 52.5 45 43.5 42.3 45 44.9 44.7 44.6 42.5 39.1 36.5 33.7 29.3 26.3 23.7   |
| Id | 38  |
| N. | Bravo_2_7   |
| Hz | 125 160 200 250 315 400 500 630 800 1000 12500 1600 2000 2500 3150 4000       |
| dB | 48.6 49.7 45.5 45.4 43.8 45.8 45.4 45 45.3 44 40.6 37.4 34.4 30.3 27.6 24.5   |
| Id | 39  |
| N. | Bravo_2_8   |
| Hz | 125 160 200 250 315 400 500 630 800 1000 12500 1600 2000 2500 3150 4000       |
| dB | 48.2 47.6 46.3 43.9 44 45.7 44.5 44.3 43.5 42.8 39.2 36.8 33.8 29.8 26.5 23.9 |
| Id | 40  |
| N. | Bravo_3_1   |
| Hz | 125 160 200 250 315 400 500 630 800 1000 12500 1600 2000 2500 3150 4000       |
| dB | 45.5 45.6 43 44 41.9 46.2 46 45.1 45.7 42.6 42 36.3 31.4 26.1 20.5 16.7       |
| Id | 41  |
| N. | Bravo_3_2   |
| Hz | 125 160 200 250 315 400 500 630 800 1000 12500 1600 2000 2500 3150 4000       |
| dB | 48.4 46.3 44.7 44 46 47 46 44.6 45.7 43.5 41.7 37.8 34.1 32.2 27.8 25.4       |
| Id | 42  |
| N. | Bravo_3_3   |
| Hz | 125 160 200 250 315 400 500 630 800 1000 12500 1600 2000 2500 3150 4000       |
| dB | 46.6 46.3 45.4 39.8 43.1 47.6 45.9 44.7 45.3 43 41.9 36.3 30.7 25.3 19.7 15.1 |
| Id | 43  |
| N. | Bravo_3_4   |
| Hz | 125 160 200 250 315 400 500 630 800 1000 12500 1600 2000 2500 3150 4000       |
| dB | 45.8 45 46.2 42.5 44.2 46.6 46.7 45.5 46.2 44.6 43.5 39.1 34.7 32.9 31.4 32.2 |
| Id | 44  |
| N. | Bravo_3_5   |
| Hz | 125 160 200 250 315 400 500 630 800 1000 12500 1600 2000 2500 3150 4000       |
| dB | 45.8 46.8 45 41.6 43.4 45.9 44.9 44.2 45 42.4 40.2 34.3 29 22.6 17.8 14.2     |

Proyecto : Estudio al ruido ascendente por impacto

Autor: Gregorio Chacón Leiva

Tutor : Pedro Flores Domínguez-Rodiño

|    |   |
|----|---|
| Id | 45  |
| N. | Bravo_3_6   |
| Hz | 125 160 200 250 315 400 500 630 800 1000 12500 1600 2000 2500 3150 4000     |
| dB | 42.7 44 45 40 42.9 47.2 45.7 44.8 45.3 42.3 41.8 37 32.6 34 30.5 26.7       |
| Id | 46  |
| N. | Bravo_3_7   |
| Hz | 125 160 200 250 315 400 500 630 800 1000 12500 1600 2000 2500 3150 4000     |
| dB | 46.1 45.8 45 42.3 43.8 46.8 45.9 44.8 45.6 43.1 42 37 32.5 30.7 27.5 26.4   |
| Id | 47  |
| N. | Bravo_3_8   |
| Hz | 125 160 200 250 315 400 500 630 800 1000 12500 1600 2000 2500 3150 4000     |
| dB | 47.2 46.3 45.2 41 44.3 45.5 45.6 45.3 46.6 44.2 42.3 36.5 31 24.8 20.1 16.9 |
| Id | 48  |
| N. | Alfa_1_1  |
| Hz | 125 250 500 1000 2000 4000  |
| dB | 55 58.2 61.3 60.2 58 53   |
| Id | 49  |
| N. | Alfa_1_2  |
| Hz | 125 250 500 1000 2000 4000  |
| dB | 53.4 58.9 60.7 60.2 57.3 52   |
| Id | 50  |
| N. | Alfa_1_3  |
| Hz | 125 250 500 1000 2000 4000  |
| dB | 57.5 58.5 60.6 60.4 57 52   |
| Id | 51  |
| N. | Alfa_1_4  |
| Hz | 125 250 500 1000 2000 4000  |
| dB | 53.4 59.5 61 60.6 57 51.8   |
| Id | 52  |
| N. | Bravo_4_1   |
| Hz | 125 250 500 1000 2000 4000  |
| dB | 54.1 47.2 44.8 37.5 31.2 24.7   |
| Id | 53  |
| N. | Bravo_4_2   |
| Hz | 125 250 500 1000 2000 4000  |

*Proyecto : Estudio al ruido ascendente por impacto*

*Autor: Gregorio Chacón Leiva*

*Tutor : Pedro Flores Domínguez-Rodiño*

|    |           |      |      |      |      |      |
|----|-----------|------|------|------|------|------|
| dB | 52        | 48   | 43.1 | 35.7 | 29.5 | 24.9 |
| Id | 54        |      |      |      |      |      |
| N. | Bravo_4_3 |      |      |      |      |      |
| Hz | 125       | 250  | 500  | 1000 | 2000 | 4000 |
| dB | 53.8      | 46.9 | 43.5 | 34.6 | 28.3 | 22.5 |
| Id | 55        |      |      |      |      |      |
| N. | Bravo_4_4 |      |      |      |      |      |
| Hz | 125       | 250  | 500  | 1000 | 2000 | 4000 |
| dB | 55.9      | 47   | 42.4 | 34.4 | 28.3 | 22.8 |

Tabla 16. Valores brutos

Proyecto : Estudio al ruido ascendente por impacto

Autor: Gregorio Chacón Leiva

Tutor : Pedro Flores Domínguez-Rodiño

## 9.2 Anexo 2. Niveles de presión sonora normalizados a ruido descendente y ascendente.

Los datos se dividen en 3 filas.

En una **primera fila**, se encuentran los datos brutos, los que se obtienen directamente del experimento de campo (L) (Anexo 9.1)

En una **segunda fila** son los datos referidos al nivel de presión sonora de impacto normalizado, referenciado al tiempo de reverberación. Se obtiene de la siguiente forma:

$$L_{nT} = L - 10 * \log\left(\frac{T}{T_0}\right) \text{ (dB)} \quad \text{Donde } T=0,7 \text{ segundos y } T_0= 0,5 \text{ segundos}$$

La **tercera fila** corresponde a los datos de nivel presión sonora de impacto estandarizado/normalizado, referenciado al volumen del recinto. Se obtiene de la siguiente forma

$$L_n = L_{nT} + 8.93 \quad \text{Donde } V=244.45 \text{ metros cúbicos}$$
$$8.93 = 10 * \log(0,032V)$$

Las ecuaciones referenciadas aquí se encuentran en la memoria del proyecto o en la norma UNE-EN-12354. Los valores **en rojo** hacen referencia a los valores de 500 Hz, los cuales son la referencia utilizada para el cumplimiento de las normas.

|             | 125   | 250   | 500   | 1000  | 2000  | 4000  |
|-------------|-------|-------|-------|-------|-------|-------|
| Alfa_1_1    | 55    | 58.2  | 61.3  | 60.2  | 58    | 53    |
| Alfa_1_1_nT | 53.5  | 56.7  | 59.8  | 58.7  | 56.5  | 51.5  |
| Alfa_1_1_n  | 62.5  | 65.7  | 68.8  | 67.7  | 65.5  | 60.5  |
| Alfa_1_2    | 53.4  | 58.9  | 60.7  | 60.2  | 57.3  | 52    |
| Alfa_1_2_nT | 51.94 | 57.44 | 59.24 | 58.74 | 55.84 | 50.54 |
| Alfa_1_2_n  | 60.9  | 66.4  | 68.2  | 67.7  | 64.8  | 59.5  |
| Alfa_1_3    | 57.5  | 58.5  | 60.6  | 60.4  | 57    | 52    |
| Alfa_1_3_nT | 56.0  | 57.0  | 59.1  | 58.9  | 55.5  | 50.5  |
| Alfa_1_3_n  | 65.0  | 66.0  | 68.1  | 67.9  | 64.5  | 59.5  |
| Alfa_1_4    | 53.4  | 59.5  | 61    | 60.6  | 57    | 51.8  |
| Alfa_1_4_nT | 51.9  | 58.0  | 59.5  | 59.1  | 55.5  | 50.3  |
| Alfa_1_4_n  | 60.9  | 67.0  | 68.5  | 68.1  | 64.5  | 59.3  |

Tabla 17.Datos Alfa\_1

Proyecto : Estudio al ruido ascendente por impacto

Autor: Gregorio Chacón Leiva

Tutor : Pedro Flores Domínguez-Rodríguez

|             | 100   | 125  | 160  | 200  | 250  | 315  | 400  | 500  | 630  | 800  | 1000 | 1250 | 1600 | 2000 | 250  | 3125 | 4000 |      |      |
|-------------|-------|------|------|------|------|------|------|------|------|------|------|------|------|------|------|------|------|------|------|
| Alfa_2_1    | 46.6  | 43.8 | 48.1 | 48.9 | 49.4 | 54.7 | 55.3 | 53.2 | 53.8 | 51.7 | 52.3 | 48.7 | 47.6 | 48.9 | 47.5 | 46.1 | 44.5 | 39.3 | 35.7 |
| Alfa_2_1_NT | 45.1  | 42.3 | 46.6 | 47.4 | 47.9 | 53.2 | 53.8 | 51.7 | 52.3 | 48.7 | 47.6 | 48.9 | 47.5 | 46.1 | 44.5 | 39.3 | 34.2 |      |      |
| Alfa_2_1_n  | 54.1  | 51.3 | 55.6 | 56.4 | 56.9 | 62.2 | 62.8 | 60.7 | 61.3 | 57.7 | 56.6 | 57.9 | 56.5 | 55.1 | 53.5 | 48.3 | 43.2 |      |      |
| Alfa_2_2    | 41.46 | 43.8 | 46.7 | 49.4 | 50   | 53.7 | 55.8 | 52.1 | 53.9 | 51   | 49.7 | 50.2 | 48.6 | 48   | 46.5 | 41.5 | 36.9 |      |      |
| Alfa_2_2_NT | 40.0  | 42.3 | 45.2 | 47.9 | 48.5 | 52.2 | 54.3 | 50.6 | 52.4 | 49.5 | 48.2 | 48.7 | 47.1 | 46.5 | 45.0 | 40.0 | 35.4 |      |      |
| Alfa_2_2_n  | 48.9  | 51.3 | 54.2 | 56.9 | 57.5 | 61.2 | 63.3 | 59.6 | 61.4 | 58.5 | 57.2 | 57.7 | 56.1 | 55.5 | 54.0 | 49.0 | 44.4 |      |      |
| Alfa_2_3    | 43.46 | 44.1 | 44.2 | 48.9 | 49   | 53.8 | 55.7 | 51.9 | 53.6 | 50.7 | 49   | 49.6 | 47.7 | 46   | 44.5 | 39.3 | 35.3 |      |      |
| Alfa_2_3_NT | 42.0  | 42.6 | 42.7 | 47.4 | 47.5 | 52.3 | 54.2 | 50.4 | 52.1 | 49.2 | 47.5 | 48.1 | 46.2 | 44.5 | 43.0 | 37.8 | 33.8 |      |      |
| Alfa_2_3_n  | 50.9  | 51.6 | 51.7 | 56.4 | 56.5 | 61.3 | 63.2 | 59.4 | 61.1 | 58.2 | 56.5 | 57.1 | 55.2 | 53.5 | 52.0 | 46.8 | 42.8 |      |      |
| Alfa_2_4    | 41.46 | 43.9 | 46.6 | 49.1 | 49.5 | 54.1 | 55.6 | 52.4 | 53.8 | 50.6 | 49.3 | 50.1 | 48.5 | 47.3 | 45.8 | 40.6 | 36   |      |      |
| Alfa_2_4_NT | 40.0  | 42.4 | 45.1 | 47.6 | 48.0 | 52.6 | 54.1 | 50.9 | 52.3 | 49.1 | 47.8 | 48.6 | 47.0 | 45.8 | 44.3 | 39.1 | 34.5 |      |      |
| Alfa_2_4_n  | 48.9  | 51.4 | 54.1 | 56.6 | 57.0 | 61.6 | 63.1 | 59.9 | 61.3 | 58.1 | 56.8 | 57.6 | 56.0 | 54.8 | 53.3 | 48.1 | 43.5 |      |      |
| Alfa_2_5    | 49.46 | 49   | 48.7 | 51.6 | 48.1 | 50.6 | 53.2 | 52.6 | 54.5 | 51   | 50   | 49.5 | 48.3 | 47.5 | 46.2 | 40.7 | 35.3 |      |      |
| Alfa_2_5_NT | 48.0  | 47.5 | 47.2 | 50.1 | 46.6 | 49.1 | 51.7 | 51.1 | 53.0 | 49.5 | 48.5 | 48.0 | 46.8 | 46.0 | 44.7 | 39.2 | 33.8 |      |      |
| Alfa_2_5_n  | 56.9  | 56.5 | 56.2 | 59.1 | 55.6 | 58.1 | 60.7 | 60.1 | 62.0 | 58.5 | 57.5 | 57.0 | 55.8 | 55.0 | 53.7 | 48.2 | 42.8 |      |      |
| Alfa_2_6    | 41.46 | 44.9 | 47.2 | 51   | 49.9 | 54.1 | 52.4 | 51.5 | 53.8 | 50.2 | 50.4 | 50.1 | 47.8 | 47.2 | 45.5 | 40.1 | 35.5 |      |      |
| Alfa_2_6_NT | 40.0  | 43.4 | 45.7 | 49.5 | 48.4 | 52.6 | 50.9 | 50.0 | 52.3 | 48.7 | 48.9 | 48.6 | 46.3 | 45.7 | 44.0 | 38.6 | 34.0 |      |      |
| Alfa_2_6_n  | 48.9  | 52.4 | 54.7 | 58.5 | 57.4 | 61.6 | 59.9 | 59.0 | 61.3 | 57.7 | 57.9 | 57.6 | 55.3 | 54.7 | 53.0 | 47.6 | 43.0 |      |      |
| Alfa_2_7    | 41.46 | 44.9 | 47.2 | 51   | 49.9 | 54.1 | 52.4 | 51.5 | 53.8 | 50.2 | 50.4 | 50.1 | 47.8 | 47.2 | 45.5 | 40.1 | 35.5 |      |      |
| Alfa_2_7_NT | 40.0  | 43.4 | 45.7 | 49.5 | 48.4 | 52.6 | 50.9 | 50.0 | 52.3 | 48.7 | 48.9 | 48.6 | 46.3 | 45.7 | 44.0 | 38.6 | 34.0 |      |      |
| Alfa_2_7_n  | 48.9  | 52.4 | 54.7 | 58.5 | 57.4 | 61.6 | 59.9 | 59.0 | 61.3 | 57.7 | 57.9 | 57.6 | 55.3 | 54.7 | 53.0 | 47.6 | 43.0 |      |      |
| Alfa_2_8    | 46.46 | 47.2 | 48   | 51   | 49.2 | 54.2 | 53.6 | 51.7 | 54.2 | 50.5 | 50   | 49.7 | 48   | 47.2 | 45.6 | 40.4 | 35.4 |      |      |
| Alfa_2_8_NT | 45.0  | 45.7 | 46.5 | 49.5 | 47.7 | 52.7 | 52.1 | 50.2 | 52.7 | 49.0 | 48.5 | 48.2 | 46.5 | 45.7 | 44.1 | 38.9 | 33.9 |      |      |
| Alfa_2_8_n  | 53.9  | 54.7 | 55.5 | 58.5 | 56.7 | 61.7 | 61.1 | 59.2 | 61.7 | 58.0 | 57.5 | 57.2 | 55.5 | 54.7 | 53.1 | 47.9 | 42.9 |      |      |

Tabla 18. Datos Alfa\_2

Proyecto : Estudio al ruido ascendente por impacto

Autor: Gregorio Chacón Leiva

Tutor : Pedro Flores Domínguez-Rodiño

|             | 100   | 125  | 160  | 200  | 250  | 315  | 400  | 500  | 630  | 800  | 1000 | 1250 | 1600 | 2000 | 2500 | 3125 | 4000 |
|-------------|-------|------|------|------|------|------|------|------|------|------|------|------|------|------|------|------|------|
| Alfa_3_1    | 47.46 | 48.3 | 55.7 | 56.2 | 56.9 | 60.9 | 62.6 | 60.2 | 60   | 59.3 | 57.2 | 55.6 | 54.3 | 56.3 | 53.2 | 53.3 | 48.7 |
| Alfa_3_1_NT | 46.0  | 46.8 | 54.2 | 54.7 | 55.4 | 59.4 | 61.1 | 58.7 | 58.5 | 57.8 | 55.7 | 54.1 | 52.8 | 54.8 | 51.7 | 51.8 | 47.2 |
| Alfa_3_1_n  | 54.9  | 55.8 | 63.2 | 63.7 | 64.4 | 68.4 | 70.1 | 67.7 | 67.5 | 66.8 | 64.7 | 63.1 | 61.8 | 63.8 | 60.7 | 60.8 | 56.2 |
| Alfa_3_2    | 51.96 | 52.4 | 52.5 | 55   | 56.4 | 62   | 61.7 | 60   | 61.3 | 59.2 | 57   | 55.9 | 53.8 | 55.5 | 52.9 | 51.9 | 48.1 |
| Alfa_3_2_NT | 50.5  | 50.9 | 51.0 | 53.5 | 54.9 | 60.5 | 60.2 | 58.5 | 59.8 | 57.7 | 55.5 | 54.4 | 52.3 | 54.0 | 51.4 | 50.4 | 46.6 |
| Alfa_3_2_n  | 59.4  | 59.9 | 60.0 | 62.5 | 63.9 | 69.5 | 69.2 | 67.5 | 68.8 | 66.7 | 64.5 | 63.4 | 61.3 | 63.0 | 60.4 | 59.4 | 55.6 |
| Alfa_3_3    | 53.46 | 53.3 | 53   | 54.6 | 57   | 63.8 | 61.7 | 60   | 60.9 | 59.3 | 57   | 55.6 | 53.5 | 54.5 | 52.8 | 51.2 | 47.3 |
| Alfa_3_3_NT | 52.0  | 51.8 | 51.5 | 53.1 | 55.5 | 62.3 | 60.2 | 58.5 | 59.4 | 57.8 | 55.5 | 54.1 | 52.0 | 53.0 | 51.3 | 49.7 | 45.8 |
| Alfa_3_3_n  | 60.9  | 60.8 | 60.5 | 62.1 | 64.5 | 71.3 | 69.2 | 67.5 | 68.4 | 66.8 | 64.5 | 63.1 | 61.0 | 62.0 | 60.3 | 58.7 | 54.8 |
| Alfa_3_4    | 51.46 | 52.8 | 56   | 55.5 | 58.8 | 61.9 | 61   | 59.8 | 60.7 | 59.3 | 56.7 | 55.1 | 53.1 | 53.9 | 52.5 | 50.7 | 46.8 |
| Alfa_3_4_NT | 50.0  | 51.3 | 54.5 | 54.0 | 57.3 | 60.4 | 59.5 | 58.3 | 59.2 | 57.8 | 55.2 | 53.6 | 51.6 | 52.4 | 51.0 | 49.2 | 45.3 |
| Alfa_3_4_n  | 58.9  | 60.3 | 63.5 | 63.0 | 66.3 | 69.4 | 68.5 | 67.3 | 68.2 | 66.8 | 64.2 | 62.6 | 60.6 | 61.4 | 60.0 | 58.2 | 54.3 |
| Alfa_3_5    | 49.46 | 51   | 55.3 | 55.8 | 59.7 | 62.9 | 60.5 | 59.3 | 59.9 | 58.9 | 56.7 | 55.4 | 52.9 | 53.8 | 52.2 | 50.6 | 46.7 |
| Alfa_3_5_NT | 48.0  | 49.5 | 53.8 | 54.3 | 58.2 | 61.4 | 59.0 | 57.8 | 58.4 | 57.4 | 55.2 | 53.9 | 51.4 | 52.3 | 50.7 | 49.1 | 45.2 |
| Alfa_3_5_n  | 56.9  | 58.5 | 62.8 | 63.3 | 67.2 | 70.4 | 68.0 | 66.8 | 67.4 | 66.4 | 64.2 | 62.9 | 60.4 | 61.3 | 59.7 | 58.1 | 54.2 |
| Alfa_3_6    | 52.46 | 52.5 | 52.4 | 54.9 | 57.2 | 60.9 | 59.3 | 59.3 | 59   | 58.5 | 55.6 | 54   | 52.2 | 53.2 | 51.6 | 49.4 | 45.3 |
| Alfa_3_6_NT | 51.0  | 51.0 | 50.9 | 53.4 | 55.7 | 59.4 | 57.8 | 57.8 | 57.5 | 57.0 | 54.1 | 52.5 | 50.7 | 51.7 | 50.1 | 47.9 | 43.8 |
| Alfa_3_6_n  | 59.9  | 60.0 | 59.9 | 62.4 | 64.7 | 68.4 | 66.8 | 66.8 | 66.5 | 66.0 | 63.1 | 61.5 | 59.7 | 60.7 | 59.1 | 56.9 | 52.8 |
| Alfa_3_7    | 48.96 | 50   | 54.2 | 53.8 | 58   | 60.1 | 59.4 | 59.1 | 58.6 | 57.7 | 55   | 53.7 | 51.5 | 52.2 | 50.1 | 47.5 | 44   |
| Alfa_3_7_NT | 47.5  | 48.5 | 52.7 | 52.3 | 56.5 | 58.6 | 57.9 | 57.6 | 57.1 | 56.2 | 53.5 | 52.2 | 50.0 | 50.7 | 48.6 | 46.0 | 42.5 |
| Alfa_3_7_n  | 56.4  | 57.5 | 61.7 | 61.3 | 65.5 | 67.6 | 66.9 | 66.6 | 66.1 | 65.2 | 62.5 | 61.2 | 59.0 | 59.7 | 57.6 | 55.0 | 51.5 |

Tabla 19.Datos Alfa\_3

Proyecto : Estudio al ruido ascendente por impacto

Autor: Gregorio Chacón Leiva

Tutor : Pedro Flores Domínguez-Rodiño

|             | 100   | 125  | 160  | 200  | 250  | 315  | 400  | 500  | 630  | 800  | 1000 | 1250 | 1600 | 2000 | 2500 | 3125 | 4000 |
|-------------|-------|------|------|------|------|------|------|------|------|------|------|------|------|------|------|------|------|
| Alfa_4_1    | 53.66 | 53.5 | 51.2 | 50.5 | 52.7 | 56.4 | 56.2 | 56.3 | 54.3 | 53.3 | 53.6 | 53.1 | 51.3 | 52.3 | 53.7 | 50.8 | 46.6 |
| Alfa_4_1_nT | 52.2  | 52.0 | 49.7 | 49.0 | 51.2 | 54.9 | 54.7 | 54.8 | 52.8 | 51.8 | 52.1 | 51.6 | 49.8 | 50.8 | 52.2 | 49.3 | 45.1 |
| Alfa_4_1_n  | 61.1  | 61.0 | 58.7 | 58.0 | 60.2 | 63.9 | 63.7 | 63.8 | 61.8 | 60.8 | 61.1 | 60.6 | 58.8 | 59.8 | 61.2 | 58.3 | 54.1 |
| Alfa_4_2    | 54.96 | 53.7 | 52.2 | 49.8 | 53.4 | 57.3 | 56.5 | 56.2 | 54.4 | 53.4 | 53.6 | 53.1 | 51.9 | 52.4 | 53.8 | 50.5 | 46.3 |
| Alfa_4_2_nT | 53.5  | 52.2 | 50.7 | 48.3 | 51.9 | 55.8 | 55.0 | 54.7 | 52.9 | 51.9 | 52.1 | 51.6 | 50.4 | 50.9 | 52.3 | 49.0 | 44.8 |
| Alfa_4_2_n  | 62.4  | 61.2 | 59.7 | 57.3 | 60.9 | 64.8 | 64.0 | 63.7 | 61.9 | 60.9 | 61.1 | 60.6 | 59.4 | 59.9 | 61.3 | 58.0 | 53.8 |
| Alfa_4_3    | 54.96 | 53.3 | 50.6 | 49.3 | 52.7 | 56   | 55.6 | 56.7 | 54.8 | 53.5 | 54   | 53.2 | 52.2 | 53.2 | 54.8 | 51.5 | 47.9 |
| Alfa_4_3_nT | 53.5  | 51.8 | 49.1 | 47.8 | 51.2 | 54.5 | 54.1 | 55.2 | 53.3 | 52.0 | 52.5 | 51.7 | 50.7 | 51.7 | 53.3 | 50.0 | 46.4 |
| Alfa_4_3_n  | 62.4  | 60.8 | 58.1 | 56.8 | 60.2 | 63.5 | 63.1 | 64.2 | 62.3 | 61.0 | 61.5 | 60.7 | 59.7 | 60.7 | 62.3 | 59.0 | 55.4 |
| Alfa_4_4    | 53.96 | 53.1 | 50.8 | 49.2 | 53.3 | 56.3 | 54.8 | 54.2 | 54   | 52.6 | 52.8 | 52.4 | 51   | 51.7 | 53   | 49.4 | 44.8 |
| Alfa_4_4_nT | 52.5  | 51.6 | 49.3 | 47.7 | 51.8 | 54.8 | 53.3 | 52.7 | 52.5 | 51.1 | 51.3 | 50.9 | 49.5 | 50.2 | 51.5 | 47.9 | 43.3 |
| Alfa_4_4_n  | 61.4  | 60.6 | 58.3 | 56.7 | 60.8 | 63.8 | 62.3 | 61.7 | 61.5 | 60.1 | 60.3 | 59.9 | 58.5 | 59.2 | 60.5 | 56.9 | 52.3 |
| Alfa_4_5    | 50.46 | 50   | 49.3 | 50.3 | 51.3 | 56.8 | 55.5 | 56.9 | 54.6 | 53.9 | 53.9 | 52.9 | 52.1 | 53.1 | 54   | 50.8 | 47.3 |
| Alfa_4_5_nT | 49.0  | 48.5 | 47.8 | 48.8 | 49.8 | 55.3 | 54.0 | 55.4 | 53.1 | 52.4 | 52.4 | 51.4 | 50.6 | 51.6 | 52.5 | 49.3 | 45.8 |
| Alfa_4_5_n  | 57.9  | 57.5 | 56.8 | 57.8 | 58.8 | 64.3 | 63.0 | 64.4 | 62.1 | 61.4 | 61.4 | 60.4 | 59.6 | 60.6 | 61.5 | 58.3 | 54.8 |
| Alfa_4_6    | 52.26 | 51.4 | 49.9 | 50.4 | 51.9 | 57   | 55.8 | 56.5 | 54.4 | 53.7 | 53.5 | 53   | 52.1 | 52.8 | 54   | 51.3 | 47.3 |
| Alfa_4_6_nT | 50.8  | 49.9 | 48.4 | 48.9 | 50.4 | 55.5 | 54.3 | 55.0 | 52.9 | 52.2 | 52.0 | 51.5 | 50.6 | 51.3 | 52.5 | 49.8 | 45.8 |
| Alfa_4_6_n  | 59.7  | 58.9 | 57.4 | 57.9 | 59.4 | 64.5 | 63.3 | 64.0 | 61.9 | 61.2 | 61.0 | 60.5 | 59.6 | 60.3 | 61.5 | 58.8 | 54.8 |
| Alfa_4_7    | 53.46 | 52.7 | 50.8 | 50   | 52.6 | 56.7 | 55.7 | 56.2 | 54.4 | 53.4 | 53.6 | 53   | 51.8 | 52.6 | 53.9 | 50.8 | 46.8 |
| Alfa_4_7_nT | 52.0  | 51.2 | 49.3 | 48.5 | 51.1 | 55.2 | 54.2 | 54.7 | 52.9 | 51.9 | 52.1 | 51.5 | 50.3 | 51.1 | 52.4 | 49.3 | 45.3 |
| Alfa_4_7_n  | 60.9  | 60.2 | 58.3 | 57.5 | 60.1 | 64.2 | 63.2 | 63.7 | 61.9 | 60.9 | 61.1 | 60.5 | 59.3 | 60.1 | 61.4 | 58.3 | 54.3 |
| Alfa_4_8    | 51.96 | 51.2 | 50.3 | 52.4 | 50.9 | 52.6 | 55.8 | 56.9 | 55   | 56.4 | 53.4 | 53   | 52.5 | 52.4 | 53.6 | 49.9 | 46.1 |
| Alfa_4_8_nT | 50.5  | 49.7 | 48.8 | 50.9 | 49.4 | 51.1 | 54.3 | 55.4 | 53.5 | 54.9 | 51.9 | 51.5 | 51.0 | 50.9 | 52.1 | 48.4 | 44.6 |
| Alfa_4_8_n  | 59.4  | 58.7 | 57.8 | 59.9 | 58.4 | 60.1 | 63.3 | 64.4 | 62.5 | 63.9 | 60.9 | 60.5 | 60.0 | 59.9 | 61.1 | 57.4 | 53.6 |

Tabla 20. Datos Alfa\_4

Proyecto : Estudio al ruido ascendente por impacto

Autor: Gregorio Chacón Leiva

Tutor : Pedro Flores Domínguez-Rodiño

|              | 125  | 250  | 500  | 1000 | 2000 | 4000 |
|--------------|------|------|------|------|------|------|
| Bravo_4_1    | 54.1 | 47.2 | 44.8 | 37.5 | 31.2 | 24.7 |
| Bravo_4_1_nT | 48.1 | 41.2 | 38.8 | 31.5 | 25.2 | 18.7 |
| Bravo_4_1_n  | 59.8 | 52.9 | 50.5 | 43.2 | 36.9 | 30.4 |
| Bravo_4_2    | 52   | 48   | 43.1 | 35.7 | 29.5 | 24.9 |
| Bravo_4_2_nT | 46.0 | 42.0 | 37.1 | 29.7 | 23.5 | 18.9 |
| Bravo_4_2_n  | 57.7 | 53.7 | 48.8 | 41.4 | 35.2 | 30.6 |
| Bravo_4_3    | 53.8 | 46.9 | 43.5 | 34.6 | 28.3 | 22.5 |
| Bravo_4_3_nT | 47.8 | 40.9 | 37.5 | 28.6 | 22.3 | 16.5 |
| Bravo_4_3_n  | 59.5 | 52.6 | 49.2 | 40.3 | 34.0 | 28.2 |
| Bravo_4_4    | 55.9 | 47   | 42.4 | 34.4 | 28.3 | 22.8 |
| Bravo_4_4_nT | 49.9 | 41.0 | 36.4 | 28.4 | 22.3 | 16.8 |
| Bravo_4_4_n  | 61.6 | 52.7 | 48.1 | 40.1 | 34.0 | 28.5 |

Tabla 21.Datos Bravo\_4

Proyecto : Estudio al ruido ascendente por impacto

Autor: Gregorio Chacón Leiva

Tutor : Pedro Flores Domínguez-Rodríguez

|              | 100   | 125  | 160  | 200  | 250  | 315  | 400  | 500  | 630  | 800  | 1000 | 1250 | 1600 | 2000 | 2500 | 3125 | 4000 |
|--------------|-------|------|------|------|------|------|------|------|------|------|------|------|------|------|------|------|------|
| Bravo_1_1    | 41.46 | 46.1 | 46.8 | 45.5 | 39.6 | 47.3 | 46.8 | 45.6 | 45.7 | 44.7 | 43.6 | 42.3 | 43   | 37.8 | 41.7 | 37.7 | 34.6 |
| Bravo_1_1_nT | 35.4  | 40.1 | 40.8 | 39.5 | 33.6 | 41.3 | 40.8 | 39.6 | 39.7 | 38.7 | 37.6 | 36.3 | 37.0 | 31.8 | 35.7 | 31.7 | 28.6 |
| Bravo_1_1_n  | 47.1  | 51.8 | 52.5 | 51.2 | 45.3 | 53.0 | 52.5 | 51.3 | 51.4 | 50.4 | 49.3 | 48.0 | 48.7 | 43.5 | 47.4 | 43.4 | 40.3 |
| Bravo_1_2    | 43.46 | 43.6 | 44.7 | 45   | 40.3 | 47.3 | 46.9 | 46.2 | 46.6 | 44.3 | 43.1 | 41.8 | 42.7 | 37.8 | 41.4 | 37.7 | 33.5 |
| Bravo_1_2_nT | 37.4  | 37.6 | 38.7 | 39.0 | 34.3 | 41.3 | 40.9 | 40.2 | 40.6 | 38.3 | 37.1 | 35.8 | 36.7 | 31.8 | 35.4 | 31.7 | 27.5 |
| Bravo_1_2_n  | 49.1  | 49.3 | 50.4 | 50.7 | 46.0 | 53.0 | 52.6 | 51.9 | 52.3 | 50.0 | 48.8 | 47.5 | 48.4 | 43.5 | 47.1 | 43.4 | 39.2 |
| Bravo_1_3    | 43.46 | 45.5 | 48.1 | 45.1 | 40.5 | 48.4 | 47.6 | 45.7 | 46   | 43.6 | 43.3 | 42.6 | 42.6 | 38   | 40.1 | 37.2 | 33.5 |
| Bravo_1_3_nT | 37.4  | 39.5 | 42.1 | 39.1 | 34.5 | 42.4 | 41.6 | 39.7 | 40.0 | 37.6 | 37.3 | 36.6 | 36.6 | 32.0 | 34.1 | 31.2 | 27.5 |
| Bravo_1_3_n  | 49.1  | 51.2 | 53.8 | 50.8 | 46.2 | 54.1 | 53.3 | 51.4 | 51.7 | 49.3 | 49.0 | 48.3 | 48.3 | 43.7 | 45.8 | 42.9 | 39.2 |
| Bravo_1_4    | 43.96 | 45.4 | 46.6 | 44.8 | 38.6 | 46.1 | 46.4 | 44.3 | 43.5 | 41.3 | 41.8 | 40.5 | 41.1 | 36.8 | 38   | 34.7 | 30.7 |
| Bravo_1_4_nT | 37.9  | 39.4 | 40.6 | 38.8 | 32.6 | 40.1 | 40.4 | 38.3 | 37.5 | 35.3 | 35.8 | 34.5 | 35.1 | 30.8 | 32.0 | 28.7 | 24.7 |
| Bravo_1_4_n  | 49.6  | 51.1 | 52.3 | 50.5 | 44.3 | 51.8 | 52.1 | 50.0 | 49.2 | 47.0 | 47.5 | 46.2 | 46.8 | 42.5 | 43.7 | 40.4 | 36.4 |
| Bravo_1_5    | 42.96 | 43.7 | 44.5 | 46.3 | 38.8 | 46.4 | 45.5 | 44.8 | 44   | 42.1 | 41.5 | 41   | 41   | 37   | 38   | 34.4 | 30.1 |
| Bravo_1_5_nT | 36.9  | 37.7 | 38.5 | 40.3 | 32.8 | 40.4 | 39.5 | 38.8 | 38.0 | 36.1 | 35.5 | 35.0 | 35.0 | 31.0 | 32.0 | 28.4 | 24.1 |
| Bravo_1_5_n  | 48.6  | 49.4 | 50.2 | 52.0 | 44.5 | 52.1 | 51.2 | 50.5 | 49.7 | 47.8 | 47.2 | 46.7 | 46.7 | 42.7 | 43.7 | 40.1 | 35.8 |
| Bravo_1_6    | 42.46 | 43.5 | 46.1 | 45.1 | 39.1 | 45   | 45.3 | 43.4 | 43.8 | 41.9 | 42.3 | 41.3 | 41   | 36.7 | 37.8 | 34.5 | 29.2 |
| Bravo_1_6_nT | 36.4  | 37.5 | 40.1 | 39.1 | 33.1 | 39.0 | 39.3 | 37.4 | 37.8 | 35.9 | 36.3 | 35.3 | 35.0 | 30.7 | 31.8 | 28.5 | 23.2 |
| Bravo_1_6_n  | 48.1  | 49.2 | 51.8 | 50.8 | 44.8 | 50.7 | 51.0 | 49.1 | 49.5 | 47.6 | 48.0 | 47.0 | 46.7 | 42.4 | 43.5 | 40.2 | 34.9 |
| Bravo_1_7    | 43.46 | 44.7 | 46.3 | 45.3 | 39.5 | 46.9 | 46.5 | 45.1 | 45.1 | 43.2 | 42.7 | 41.7 | 42   | 37.4 | 39.8 | 36.3 | 32.4 |
| Bravo_1_7_nT | 37.4  | 38.7 | 40.3 | 39.3 | 33.5 | 40.9 | 40.5 | 39.1 | 39.1 | 37.2 | 36.7 | 35.7 | 36.0 | 31.4 | 33.8 | 30.3 | 26.4 |
| Bravo_1_7_n  | 49.1  | 50.4 | 52.0 | 51.0 | 45.2 | 52.6 | 52.2 | 50.8 | 50.8 | 48.9 | 48.4 | 47.4 | 47.7 | 43.1 | 45.5 | 42.0 | 38.1 |
| Bravo_1_8    | 40.96 | 43.2 | 46.3 | 44.5 | 39.5 | 45.2 | 44.9 | 43.8 | 43.3 | 42.1 | 42   | 41.2 | 41.5 | 36.6 | 38.6 | 34.8 | 29.7 |
| Bravo_1_8_nT | 34.9  | 37.2 | 40.3 | 38.5 | 33.5 | 39.2 | 38.9 | 37.8 | 37.3 | 36.1 | 36.0 | 35.2 | 35.5 | 30.6 | 32.6 | 28.8 | 23.7 |
| Bravo_1_8_n  | 46.6  | 48.9 | 52.0 | 50.2 | 45.2 | 50.9 | 50.6 | 49.5 | 49.0 | 47.8 | 47.7 | 46.9 | 47.2 | 42.3 | 44.3 | 40.5 | 35.4 |

Tabla 22. Datos Bravo\_1

Proyecto : Estudio al ruido ascendente por impacto

Autor: Gregorio Chacón Leiva

Tutor : Pedro Flores Domínguez-Rodríguez

|              | 100   | 125  | 160  | 200  | 250  | 315  | 400  | 500  | 630  | 800  | 1000 | 1250 | 1600 | 2000 | 2500 | 3125 | 4000 |
|--------------|-------|------|------|------|------|------|------|------|------|------|------|------|------|------|------|------|------|
| Bravo_2_1    | 49.46 | 49.2 | 48.7 | 44.8 | 44.5 | 45.2 | 46.2 | 46.4 | 46.2 | 46.4 | 45.5 | 42.6 | 38.6 | 35.8 | 32.5 | 29.6 | 26.4 |
| Bravo_2_1_nT | 43.4  | 43.2 | 42.7 | 38.8 | 38.5 | 39.2 | 40.2 | 40.4 | 40.2 | 40.4 | 39.5 | 36.6 | 32.6 | 29.8 | 26.5 | 23.6 | 20.4 |
| Bravo_2_1_n  | 55.1  | 54.9 | 54.4 | 50.5 | 50.2 | 50.9 | 51.9 | 52.1 | 51.9 | 52.1 | 51.2 | 48.3 | 44.3 | 41.5 | 38.2 | 35.3 | 32.1 |
| Bravo_2_2    | 48.96 | 49.2 | 49.4 | 46.5 | 47.6 | 44.5 | 46.3 | 45.4 | 45   | 45.8 | 44.5 | 40.5 | 37.1 | 34.8 | 30.4 | 27.5 | 23.6 |
| Bravo_2_2_nT | 42.9  | 43.2 | 43.4 | 40.5 | 41.6 | 38.5 | 40.3 | 39.4 | 39.0 | 39.8 | 38.5 | 34.5 | 31.1 | 28.8 | 24.4 | 21.5 | 17.6 |
| Bravo_2_2_n  | 54.6  | 54.9 | 55.1 | 52.2 | 53.3 | 50.2 | 52.0 | 51.1 | 50.7 | 51.5 | 50.2 | 46.2 | 42.8 | 40.5 | 36.1 | 33.2 | 29.3 |
| Bravo_2_3    | 45.96 | 48.1 | 50.1 | 46.1 | 44.9 | 42.7 | 46.1 | 45.2 | 44.3 | 44.9 | 43.9 | 40.3 | 37.3 | 33.6 | 29.4 | 27.3 | 23.4 |
| Bravo_2_3_nT | 39.9  | 42.1 | 44.1 | 40.1 | 38.9 | 36.7 | 40.1 | 39.2 | 38.3 | 38.9 | 37.9 | 34.3 | 31.3 | 27.6 | 23.4 | 21.3 | 17.4 |
| Bravo_2_3_n  | 51.6  | 53.8 | 55.8 | 51.8 | 50.6 | 48.4 | 51.8 | 50.9 | 50.0 | 50.6 | 49.6 | 46.0 | 43.0 | 39.3 | 35.1 | 33.0 | 29.1 |
| Bravo_2_4    | 50.46 | 49.5 | 48.3 | 45.8 | 46   | 43.7 | 45.2 | 44.2 | 44   | 45.3 | 43.5 | 39.5 | 37.3 | 33.8 | 29.4 | 26.1 | 23.6 |
| Bravo_2_4_nT | 44.4  | 43.5 | 42.3 | 39.8 | 40.0 | 37.7 | 39.2 | 38.2 | 38.0 | 39.3 | 37.5 | 33.5 | 31.3 | 27.8 | 23.4 | 20.1 | 17.6 |
| Bravo_2_4_n  | 56.1  | 55.2 | 54.0 | 51.5 | 51.7 | 49.4 | 50.9 | 49.9 | 49.7 | 51.0 | 49.2 | 45.2 | 43.0 | 39.5 | 35.1 | 31.8 | 29.3 |
| Bravo_2_5    | 42.46 | 44.5 | 47.6 | 44.7 | 44.9 | 43.6 | 46   | 45.9 | 45.3 | 44.6 | 43.7 | 40.6 | 37.2 | 34.1 | 30.2 | 27.7 | 25.5 |
| Bravo_2_5_nT | 36.4  | 38.5 | 41.6 | 38.7 | 38.9 | 37.6 | 40.0 | 39.9 | 39.3 | 38.6 | 37.7 | 34.6 | 31.2 | 28.1 | 24.2 | 21.7 | 19.5 |
| Bravo_2_5_n  | 48.1  | 50.2 | 53.3 | 50.4 | 50.6 | 49.3 | 51.7 | 51.6 | 51.0 | 50.3 | 49.4 | 46.3 | 42.9 | 39.8 | 35.9 | 33.4 | 31.2 |
| Bravo_2_6    | 47.46 | 49.2 | 52.5 | 45   | 43.5 | 42.3 | 45   | 44.9 | 44.7 | 44.6 | 42.5 | 39.1 | 36.5 | 33.7 | 29.3 | 26.3 | 23.7 |
| Bravo_2_6_nT | 41.4  | 43.2 | 46.5 | 39.0 | 37.5 | 36.3 | 39.0 | 38.9 | 38.7 | 38.6 | 36.5 | 33.1 | 30.5 | 27.7 | 23.3 | 20.3 | 17.7 |
| Bravo_2_6_n  | 53.1  | 54.9 | 58.2 | 50.7 | 49.2 | 48.0 | 50.7 | 50.6 | 50.4 | 50.3 | 48.2 | 44.8 | 42.2 | 39.4 | 35.0 | 32.0 | 29.4 |
| Bravo_2_7    | 46.86 | 48.6 | 49.7 | 45.5 | 45.4 | 43.8 | 45.8 | 45.4 | 45   | 45.3 | 44   | 40.6 | 37.4 | 34.4 | 30.3 | 27.6 | 24.5 |
| Bravo_2_7_nT | 40.8  | 42.6 | 43.7 | 39.5 | 39.4 | 37.8 | 39.8 | 39.4 | 39.0 | 39.3 | 38.0 | 34.6 | 31.4 | 28.4 | 24.3 | 21.6 | 18.5 |
| Bravo_2_7_n  | 52.5  | 54.3 | 55.4 | 51.2 | 51.1 | 49.5 | 51.5 | 51.1 | 50.7 | 51.0 | 49.7 | 46.3 | 43.1 | 40.1 | 36.0 | 33.3 | 30.2 |
| Bravo_2_8    | 48    | 48.2 | 47.6 | 46.3 | 43.9 | 44   | 45.7 | 44.5 | 44.3 | 43.5 | 42.8 | 39.2 | 36.8 | 33.8 | 29.8 | 26.5 | 23.9 |
| Bravo_2_8_nT | 42.0  | 42.2 | 41.6 | 40.3 | 37.9 | 38.0 | 39.7 | 38.5 | 38.3 | 37.5 | 36.8 | 33.2 | 30.8 | 27.8 | 23.8 | 20.5 | 17.9 |
| Bravo_2_8_n  | 53.7  | 53.9 | 53.3 | 52.0 | 49.6 | 49.7 | 51.4 | 50.2 | 50.0 | 49.2 | 48.5 | 44.9 | 42.5 | 39.5 | 35.5 | 32.2 | 29.6 |

Tabla 23.Datos Bravo\_2

Proyecto : Estudio al ruido ascendente por impacto

Autor: Gregorio Chacón Leiva

Tutor : Pedro Flores Domínguez-Rodiño

|              | 100   | 125  | 160  | 200  | 250  | 315  | 400  | 500  | 630  | 800  | 1000 | 1250 | 1600 | 2000 | 2500 | 3125 | 4000 |
|--------------|-------|------|------|------|------|------|------|------|------|------|------|------|------|------|------|------|------|
| Bravo_3_1    | 45    | 45.5 | 45.6 | 43   | 44   | 41.9 | 46.2 | 46   | 45.1 | 45.7 | 42.6 | 42   | 36.3 | 31.4 | 26.1 | 20.5 | 16.7 |
| Bravo_3_1_nT | 39.0  | 39.5 | 39.6 | 37.0 | 38.0 | 35.9 | 40.2 | 40.0 | 39.1 | 39.7 | 36.6 | 36.0 | 30.3 | 25.4 | 20.1 | 14.5 | 10.7 |
| Bravo_3_1_n  | 50.7  | 51.2 | 51.3 | 48.7 | 49.7 | 47.6 | 51.9 | 51.7 | 50.8 | 51.4 | 48.3 | 47.7 | 42.0 | 37.1 | 31.8 | 26.2 | 22.4 |
| Bravo_3_2    | 49.9  | 48.4 | 46.3 | 44.7 | 44   | 46   | 47   | 46   | 44.6 | 45.7 | 43.5 | 41.7 | 37.8 | 34.1 | 32.2 | 27.8 | 25.4 |
| Bravo_3_2_nT | 43.9  | 42.4 | 40.3 | 38.7 | 38.0 | 40.0 | 41.0 | 40.0 | 38.6 | 39.7 | 37.5 | 35.7 | 31.8 | 28.1 | 26.2 | 21.8 | 19.4 |
| Bravo_3_2_n  | 55.6  | 54.1 | 52.0 | 50.4 | 49.7 | 51.7 | 52.7 | 51.7 | 50.3 | 51.4 | 49.2 | 47.4 | 43.5 | 39.8 | 37.9 | 33.5 | 31.1 |
| Bravo_3_3    | 46.96 | 46.6 | 46.3 | 45.4 | 39.8 | 43.1 | 47.6 | 45.9 | 44.7 | 45.3 | 43   | 41.9 | 36.3 | 30.7 | 25.3 | 19.7 | 15.1 |
| Bravo_3_3_nT | 40.9  | 40.6 | 40.3 | 39.4 | 33.8 | 37.1 | 41.6 | 39.9 | 38.7 | 39.3 | 37.0 | 35.9 | 30.3 | 24.7 | 19.3 | 13.7 | 9.1  |
| Bravo_3_3_n  | 52.6  | 52.3 | 52.0 | 51.1 | 45.5 | 48.8 | 53.3 | 51.6 | 50.4 | 51.0 | 48.7 | 47.6 | 42.0 | 36.4 | 31.0 | 25.4 | 20.8 |
| Bravo_3_4    | 46.96 | 45.8 | 45   | 46.2 | 42.5 | 44.2 | 46.6 | 46.7 | 45.5 | 46.2 | 44.6 | 43.5 | 39.1 | 34.7 | 32.9 | 31.4 | 32.2 |
| Bravo_3_4_nT | 40.9  | 39.8 | 39.0 | 40.2 | 36.5 | 38.2 | 40.6 | 40.7 | 39.5 | 40.2 | 38.6 | 37.5 | 33.1 | 28.7 | 26.9 | 25.4 | 26.2 |
| Bravo_3_4_n  | 52.6  | 51.5 | 50.7 | 51.9 | 48.2 | 49.9 | 52.3 | 52.4 | 51.2 | 51.9 | 50.3 | 49.2 | 44.8 | 40.4 | 38.6 | 37.1 | 37.9 |
| Bravo_3_5    | 44.96 | 45.8 | 46.8 | 45   | 41.6 | 43.4 | 45.9 | 44.9 | 44.2 | 45   | 42.4 | 40.2 | 34.3 | 29   | 22.6 | 17.8 | 14.2 |
| Bravo_3_5_nT | 38.9  | 39.8 | 40.8 | 39.0 | 35.6 | 37.4 | 39.9 | 38.9 | 38.2 | 39.0 | 36.4 | 34.2 | 28.3 | 23.0 | 16.6 | 11.8 | 8.2  |
| Bravo_3_5_n  | 50.6  | 51.5 | 52.5 | 50.7 | 47.3 | 49.1 | 51.6 | 50.6 | 49.9 | 50.7 | 48.1 | 45.9 | 40.0 | 34.7 | 28.3 | 23.5 | 19.9 |
| Bravo_3_6    | 41.46 | 42.7 | 44   | 45   | 40   | 42.9 | 47.2 | 45.7 | 44.8 | 45.3 | 42.3 | 41.8 | 37   | 32.6 | 34   | 30.5 | 26.7 |
| Bravo_3_6_nT | 35.4  | 36.7 | 38.0 | 39.0 | 34.0 | 36.9 | 41.2 | 39.7 | 38.8 | 39.3 | 36.3 | 35.8 | 31.0 | 26.6 | 28.0 | 24.5 | 20.7 |
| Bravo_3_6_n  | 47.1  | 48.4 | 49.7 | 50.7 | 45.7 | 48.6 | 52.9 | 51.4 | 50.5 | 51.0 | 48.0 | 47.5 | 42.7 | 38.3 | 39.7 | 36.2 | 32.4 |
| Bravo_3_7    | 46.46 | 46.1 | 45.8 | 45   | 42.3 | 43.8 | 46.8 | 45.9 | 44.8 | 45.6 | 43.1 | 42   | 37   | 32.5 | 30.7 | 27.5 | 26.4 |
| Bravo_3_7_nT | 40.4  | 40.1 | 39.8 | 39.0 | 36.3 | 37.8 | 40.8 | 39.9 | 38.8 | 39.6 | 37.1 | 36.0 | 31.0 | 26.5 | 24.7 | 21.5 | 20.4 |
| Bravo_3_7_n  | 52.1  | 51.8 | 51.5 | 50.7 | 48.0 | 49.5 | 52.5 | 51.6 | 50.5 | 51.3 | 48.8 | 47.7 | 42.7 | 38.2 | 36.4 | 33.2 | 32.1 |
| Bravo_3_8    | 48.46 | 47.2 | 46.3 | 45.2 | 41   | 44.3 | 45.5 | 45.6 | 45.3 | 46.6 | 44.2 | 42.3 | 36.5 | 31   | 24.8 | 20.1 | 16.9 |
| Bravo_3_8_nT | 42.4  | 41.2 | 40.3 | 39.2 | 35.0 | 38.3 | 39.5 | 39.6 | 39.3 | 40.6 | 38.2 | 36.3 | 30.5 | 25.0 | 18.8 | 14.1 | 10.9 |
| Bravo_3_8_n  | 54.1  | 52.9 | 52.0 | 50.9 | 46.7 | 50.0 | 51.2 | 51.3 | 51.0 | 52.3 | 49.9 | 48.0 | 42.2 | 36.7 | 30.5 | 25.8 | 22.6 |

Tabla 24.Datos Bravo\_3

*Proyecto :* Estudio al ruido ascendente por impacto

*Autor:* Gregorio Chacón Leiva

*Tutor :* Pedro Flores Domínguez-Rodiño

### **9.3 Anexo 3. Documentos Basicos HR Proteccion frente al ruido.**

En este anexo se hace referencia a los informes de ruido a impacto obtenidos de forma analitica por el software "Herramienta oficial del cálculo del DB-HR del CTE", el cual fue aplicado para las dos configuración arquitectonica enntre las que e encuentran los recintos de estudio.

El primero como se ve en la superficie de unión es la misma. En el segundo la superficie de unión del edificio superior es mayor.

Para misma superficie de unión:

Proyecto : Estudio al ruido ascendente por impacto

Autor: Gregorio Chacón Leiva

Tutor : Pedro Flores Domínguez-Rodiño



## Documento Básico HR Protección frente al ruido

Ficha justificativa del cálculo de aislamiento a ruido aéreo y de impactos entre recintos interiores.  
Casos de recintos superpuestos con 4 aristas comunes.

|            |               |  |
|------------|---------------|--|
| Proyecto   |               |  |
| Autor      |               |  |
| Fecha      |               |  |
| Referencia | Aulas 005-105 |  |

### Características técnicas del recinto 1

| Tipo de recinto como emisor     | Unidad de uso                             |           |                            |                    |
|---------------------------------|---|-----------|----------------------------|--------------------|
| Tipo de recinto como receptor   | Protegido                                 | Volumen   | 492                        |                    |
| <b>Soluciones Constructivas</b> |   |           |                            |                    |
| Separador                       | R_BHA 400 mm                              |           |                            |                    |
| Pared F1                        | Enl 15 + LGF 70 + Enl 15 (valores medios) |           |                            |                    |
| Pared F2                        | Enl 15 + LGF 70 + Enl 15 (valores medios) |           |                            |                    |
| Pared F3                        | Enl 15 + LGF 70 + Enl 15 (valores medios) |           |                            |                    |
| Pared F4                        | Enl 15 + LGF 70 + Enl 15 (valores medios) |           |                            |                    |
| <b>Parámetros Acústicos</b>     |   |           |                            |                    |
|                                 | $S_i$ (m <sup>2</sup> )                   | $l_i$ (m) | $m_i$ (kg/m <sup>2</sup> ) | $R_A$ (dBA)        |
| Separador                       | 92.24                                     |           | 465                        | 59                 |
| Pared F1                        | 41.1                                      | 13.86     | 80                         | 34                 |
| Pared F2                        | 41.1                                      | 13.86     | 80                         | 34                 |
| Pared F3                        | 36.2                                      | 11.99     | 80                         | 34                 |
| Pared F4                        | 36.2                                      | 11.99     | 80                         | 34                 |
|                                 |   |           | $L_{nw}$ (dB)              | $\Delta R_A$ (dBA) |
|                                 |   |           | 71                         | -                  |
|                                 |   |           |                            | -                  |

### Características técnicas del recinto 2

| Tipo de recinto como emisor     | Unidad de uso                             |           |                            |                    |
|---------------------------------|---|-----------|----------------------------|--------------------|
| Tipo de recinto como receptor   | Protegido                                 | Volumen   | 244.45                     |                    |
| <b>Soluciones Constructivas</b> |   |           |                            |                    |
| Separador                       | R_BHA 400 mm                              |           |                            |                    |
| Pared f1                        | Enl 15 + LGF 70 + Enl 15 (valores medios) |           |                            |                    |
| Pared f2                        | Enl 15 + LGF 70 + Enl 15 (valores medios) |           |                            |                    |
| Pared f3                        | Enl 15 + LGF 70 + Enl 15 (valores medios) |           |                            |                    |
| Pared f4                        | Enl 15 + LGF 70 + Enl 15 (valores medios) |           |                            |                    |
| <b>Parámetros Acústicos</b>     |   |           |                            |                    |
|                                 | $S_i$ (m <sup>2</sup> )                   | $l_i$ (m) | $m_i$ (kg/m <sup>2</sup> ) | $R_A$ (dBA)        |
| Separador                       | 92.24                                     |           | 465                        | 59                 |
| Pared f1                        | 12.5                                      | 13.86     | 80                         | 34                 |
| Pared f2                        | 12.5                                      | 13.86     | 80                         | 34                 |
| Pared f3                        | 12.5                                      | 11.99     | 80                         | 34                 |
| Pared f4                        | 12.5                                      | 11.99     | 80                         | 34                 |
|                                 |   |           | $L_{nw}$ (dB)              | $\Delta R_A$ (dBA) |
|                                 |   |           | 71                         | -                  |
|                                 |   |           |                            | -                  |

### Huecos en el separador y vías de transmisión aérea directa o indirecta

| Ventanas , puertas y lucernarios | superficie            | $S$ (m <sup>2</sup> ) | 0 |
|----------------------------------|-----------------------|-----------------------|---|
|                                  | índice de reducción   | $R_A$ (dBA)           | 0 |
| Vías de transmisión aérea        | transmisión directa   | $D_{n,e,A}$ (dBA)     | 0 |
|                                  | transmisión indirecta | $D_{n,e,A}$ (dBA)     | 0 |

Proyecto : Estudio al ruido ascendente por impacto

Autor: Gregorio Chacón Leiva

Tutor : Pedro Flores Domínguez-Rodiño



## Documento Básico HR Protección frente al ruido

Ficha justificativa del cálculo de aislamiento a ruido aéreo y de impactos entre recintos interiores.  
Casos de recintos superpuestos con 4 aristas comunes.

| Tipos de uniones e índices de reducción vibracional |  |  |                |                 |                 |
|---|--|--|----------------|-----------------|-----------------|
| Encuentro   | Tipo de unión  |  | K <sub>R</sub> | K <sub>RI</sub> | K <sub>IR</sub> |
| Separador - Pared                                   | Unión rígida en T de elementos homogéneos<br>(orientación 3) |  | 19.8           | 9               | 9               |
| Separador - Pared                                   | Unión rígida en T de elementos homogéneos<br>(orientación 4) |  | 19.8           | 9               | 9               |
| Separador - Pared                                   | Unión rígida en T de elementos homogéneos<br>(orientación 3) |  | 19.8           | 9               | 9               |
| Separador - Pared                                   | Unión rígida en T de elementos homogéneos<br>(orientación 4) |  | 19.8           | 9               | 9               |

### Transmisión del recinto 1 al recinto 2

|   |                        | Cálculo | Requisito |           |
|---|------------------------|---------|-----------|-----------|
| Aislamiento acústico a ruido aéreo      | D <sub>NTA</sub> (dBA) | 51      | 50        | CUMPLE    |
| Aislamiento acústico a ruido de impacto | L' <sub>NTW</sub> (dB) | 66      | 65        | NO CUMPLE |

### Transmisión del recinto 2 al recinto 1

|   |                        | Cálculo | Requisito |        |
|---|------------------------|---------|-----------|--------|
| Aislamiento acústico a ruido aéreo      | D <sub>NTA</sub> (dBA) | 54      | 50        | CUMPLE |
| Aislamiento acústico a ruido de impacto | L' <sub>NTW</sub> (dB) | -       | -         | -      |

Pag 2 / 2.

Proyecto : Estudio al ruido ascendente por impacto

Autor: Gregorio Chacón Leiva

Tutor : Pedro Flores Domínguez-Rodiño

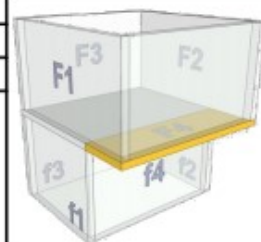
Para el caso de diferente superficie de unión:



## Documento Básico HR Protección frente al ruido

Ficha justificativa del cálculo de aislamiento a ruido aéreo y de impactos entre recintos interiores.  
Casos Recintos superpuestos con 3 aristas comunes. Caso B.

|            |              |  |  |
|------------|--------------|--|--|
| Proyecto   |              |  |  |
| Autor      |              |  |  |
| Fecha      |              |  |  |
| Referencia | Aula 005-105 |  |  |



| Características técnicas del recinto 1 |                                  |   |                         |                      |                      |
|--|----------------------------------|---|-------------------------|----------------------|----------------------|
| Tipo de recinto como emisor            |                                  | Unidad de uso                             |                         |                      |                      |
| Tipo de recinto como receptor          |                                  | Protegido                                 | Volumen                 | 492                  |                      |
| Soluciones Constructivas               |                                  |   |                         |                      |                      |
| Separador suelo                        |                                  | R_BHA.400 mm                              |                         |                      |                      |
| Pared F1                               |                                  | Enl 15 + LGF 70 + Enl 15 (valores medios) |                         |                      |                      |
| Pared F2                               |                                  | Enl 15 + LGF 70 + Enl 15 (valores medios) |                         |                      |                      |
| Pared F3                               |                                  | Enl 15 + LGF 70 + Enl 15 (valores medios) |                         |                      |                      |
| Flanco Suelo F4                        |                                  | R_BHA.400 mm                              |                         |                      |                      |
| Parámetros Acústicos                   |                                  |   |                         |                      |                      |
| Separador suelo                        | S <sub>i</sub> (m <sup>2</sup> ) | I <sub>i</sub> (m)                        | m' (kg/m <sup>2</sup> ) | R <sub>A</sub> (dBA) | L <sub>ew</sub> (dB) |
| Separador suelo                        | 69.18                            |   | 465                     | 59                   | 71                   |
| Pared F1                               | 41.08                            | 11.99                                     | 80                      | 34                   | -                    |
| Pared F2                               | 41.08                            | 11.99                                     | 80                      | 34                   | -                    |
| Pared F3                               | 36.20                            | 13.86                                     | 80                      | 34                   | -                    |
| Flanco Suelo F4                        | 23.1                             | 13.86                                     | 465                     | 59                   | -                    |

| Características técnicas del recinto 2 |                                  |   |                         |                      |                      |
|--|----------------------------------|---|-------------------------|----------------------|----------------------|
| Tipo de recinto como emisor            |                                  | Unidad de uso                             |                         |                      |                      |
| Tipo de recinto como receptor          |                                  | Protegido                                 | Volumen                 | 244.45               |                      |
| Soluciones Constructivas               |                                  |   |                         |                      |                      |
| Separador techo                        |                                  | R_BHA.400 mm                              |                         |                      |                      |
| Pared f1                               |                                  | Enl 15 + LGF 70 + Enl 15 (valores medios) |                         |                      |                      |
| Pared f2                               |                                  | Enl 15 + LGF 70 + Enl 15 (valores medios) |                         |                      |                      |
| Pared f3                               |                                  | Enl 15 + LGF 70 + Enl 15 (valores medios) |                         |                      |                      |
| Pared f4                               |                                  | Enl 15 + LGF 70 + Enl 15 (valores medios) |                         |                      |                      |
| Parámetros Acústicos                   |                                  |   |                         |                      |                      |
| Separador techo                        | S <sub>i</sub> (m <sup>2</sup> ) | I <sub>i</sub> (m)                        | m' (kg/m <sup>2</sup> ) | R <sub>A</sub> (dBA) | L <sub>ew</sub> (dB) |
| Separador techo                        | 69.18                            |   | 465                     | 59                   | 71                   |
| Pared f1                               | 31.75                            | 11.99                                     | 80                      | 34                   | -                    |
| Pared f2                               | 31.75                            | 11.99                                     | 80                      | 34                   | -                    |
| Pared f3                               | 20.41                            | 13.86                                     | 80                      | 34                   | -                    |
| Pared f4                               | 20.41                            | 13.86                                     | 80                      | 34                   | -                    |

| Huecos en el separador y vías de transmisión aérea directa o indirecta |                       |                         |   |
|--|-----------------------|-------------------------|---|
| Ventanas , puertas y lucernarios                                       | superficie            | S (m <sup>2</sup> )     | 0 |
|  | índice de reducción   | R <sub>A</sub> (dBA)    | 0 |
| Vías de transmisión aérea  | transmisión directa   | D <sub>ne,A</sub> (dBA) | 0 |
|  | transmisión indirecta | D <sub>ns,A</sub> (dBA) | 0 |

Proyecto : Estudio al ruido ascendente por impacto

Autor: Gregorio Chacón Leiva

Tutor : Pedro Flores Domínguez-Rodiño



## Documento Básico HR Protección frente al ruido

Ficha justificativa del cálculo de aislamiento a ruido aéreo y de impactos entre recintos interiores.

Caso Recintos superpuestos con 3 aristas comunes. Caso B.

| Tipos de uniones e índices de reducción vibracional |  |  |                |                 |                 |
|---|--|--|----------------|-----------------|-----------------|
| Encuentro   | Tipo de unión  |  | K <sub>R</sub> | K <sub>Ed</sub> | K <sub>Ir</sub> |
| Separador - Pared                                   | Unión rígida en T de elementos homogéneos<br>(orientación 3)                             |  | 19.8           | 9               | 9               |
| Separador - Pared                                   | Unión rígida en T de elementos homogéneos<br>(orientación 4)                             |  | 19.8           | 9               | 9               |
| Separador - Pared                                   | Unión rígida en T de elementos homogéneos<br>(orientación 3)                             |  | 19.8           | 9               | 9               |
| Separador - flanco suelo                            | Unión en T de elemento de entramado autoportante y<br>elemento homogéneo (orientación 1) |  | 17.6           | -1              | 17.6            |

| Transmisión del recinto 1 al recinto 2  |                        |         |           |           |  |
|---|------------------------|---------|-----------|-----------|--|
|   |                        | Cálculo | Requisito |           |  |
| Aislamiento acústico a ruido aéreo      | D <sub>NTA</sub> (dBA) | 52      | 50        | CUMPLE    |  |
| Aislamiento acústico a ruido de impacto | L' <sub>NTw</sub> (dB) | 66      | 65        | NO CUMPLE |  |

| Transmisión del recinto 2 al recinto 1  |                        |         |           |        |  |
|---|------------------------|---------|-----------|--------|--|
|   |                        | Cálculo | Requisito |        |  |
| Aislamiento acústico a ruido aéreo      | D <sub>NTA</sub> (dBA) | 55      | 50        | CUMPLE |  |
| Aislamiento acústico a ruido de impacto | L' <sub>NTw</sub> (dB) | -       | -         | -      |  |

Pag 2 / 2.

Proyecto : Estudio al ruido ascendente por impacto

Autor: Gregorio Chacón Leiva

Tutor : Pedro Flores Domínguez-Rodiño

#### 9.4 Anexo 4. Niveles de presión sonora ponderados normalizados para Alfa y Bravo

En este anexo se recogen los cálculos de nivel de presión ponderados norm alizados. Cada punto de medida tiene cuatro filas de datos en la parte superior, la primera (**rojo**) corresponde al espectro de frecuencias ya sea en banda de octava, o de tercio de octava. La segunda corresponde a la banda de referencia de la norma 717-2 en sus valores iniciales (**azul**), la tercera a los finales (**naranja**), y la última los valores experimentales en dicho punto (**amarillo**)

El algoritmo se basa en ir reduciendo decibelio a decibelio la banda de valores iniciales, eso puede verse en la columna de la izquierda (**púrpura**) que se encuentra numerada, señalando cuantos valores se ha reducido la banda inicial en cada momento.

Cuando los valores se hacen negativos (**gris**), es decir la banda de referencia corta a los datos experimentales, se empieza a contabilizar la suma de los mismos, quedando reflejado en la columna de la izquierda (**verde**), llamándose a esto “desviaciones desfavorables”. Dichas desviaciones deben ser “máximas” pero no mayores de 32 dB.

Para saber el punto de corte, se mira cuando la suma de decibelios se estabiliza, es decir, cuando al bajar la banda de referencia 1 dB la suma aumenta en un decibelio, y se toma como punto de corte el valor anterior a este. Esto queda reflejado por una fila de color rosa que determina el valor de  $L'_{nT}$  w el cual se encuentra en una celda en la parte inferior de cada tabla.

| Hz                        | 125   | 250   | 500   | 1000  | 2000  | 4000  |
|---------------------------|-------|-------|-------|-------|-------|-------|
| C.R Banda inicial         | 67    | 67    | 65    | 62    | 49    |       |
| C.R Banda final           | 60.00 | 60.00 | 58.00 | 55.00 | 42.00 |       |
| Alfa_1_1_nT               | 53.54 | 56.74 | 59.84 | 58.74 | 56.54 | 59.48 |
| 0                         | 13.5  | 10.3  | 5.2   | 3.3   | -     | 7.5   |
| -1                        | 12.5  | 9.3   | 4.2   | 2.3   | -     | 8.5   |
| -2                        | 11.5  | 8.3   | 3.2   | 1.3   | -     | 9.5   |
| $L'_{nT} = 58 \text{ dB}$ |       |       |       |       |       |       |

Tabla 25. $L'_{nT}$  de Alfa\_1\_1\_nT

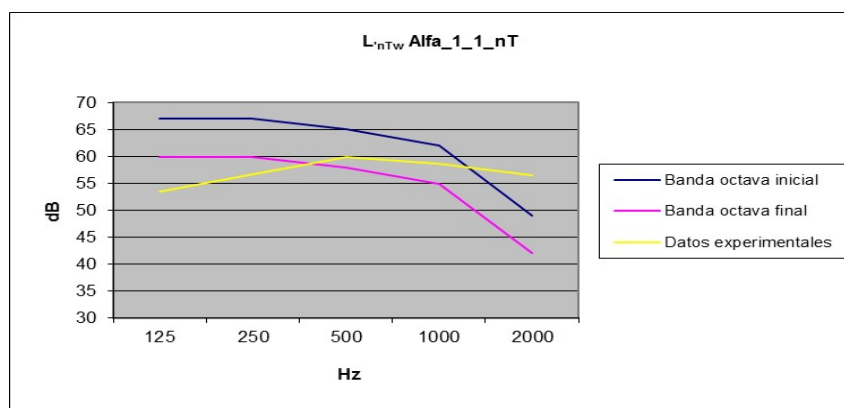


Figura 22. Gráfica  $L'_{nT}$  de Alfa\_1\_1\_nT

Proyecto : Estudio al ruido ascendente por impacto

Autor: Gregorio Chacón Leiva

Tutor : Pedro Flores Domínguez-Rodiño

| Hz                  | 125   | 250   | 500   | 1000  | 2000  | 4000 |
|---------------------|-------|-------|-------|-------|-------|------|
| C.R Banda Inicial   | 67    | 67    | 65    | 62    | 49    |      |
| C.R Banda final     | 59.00 | 59.00 | 57.00 | 54.00 | 41.00 |      |
| Alfa_1_2_nT         | 51.9  | 57.4  | 59.2  | 58.7  | 55.8  | 50.5 |
| 0                   | 15.1  | 9.6   | 5.8   | 3.3   | -     | 6.8  |
| -1                  | 14.1  | 8.6   | 4.8   | 2.3   | -     | 7.8  |
| -2                  | 13.1  | 7.6   | 3.8   | 1.3   | -     | 8.8  |
| -3                  | 12.1  | 6.6   | 2.8   | 0.3   | -     | 9.8  |
| <b>L'nTw= 57 dB</b> |       |       |       |       |       |      |

Tabla 26.L'<sub>nTw</sub> de Alfa\_1\_2\_nT

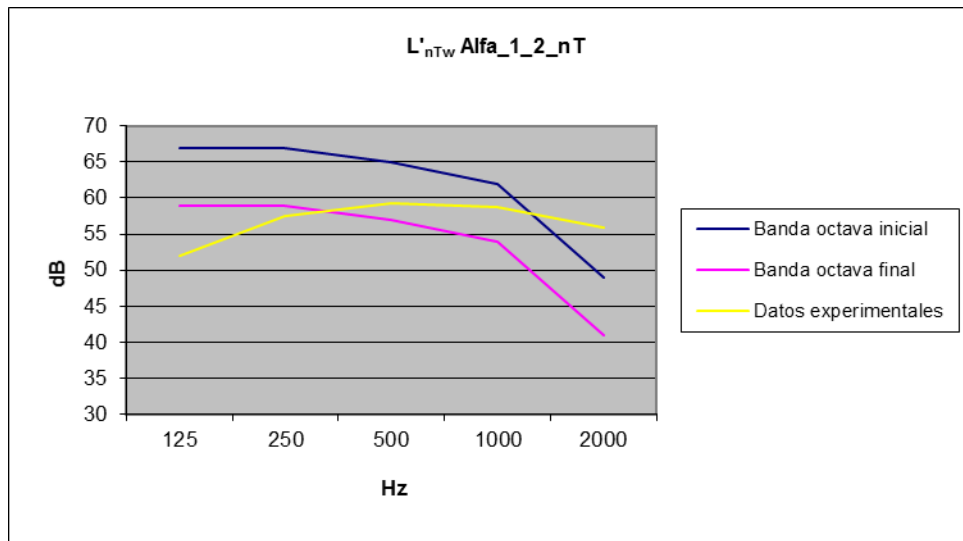


Figura 23. Gráfica L'<sub>nTw</sub> de Alfa\_1\_2\_nT

| Hz                  | 125   | 250   | 500   | 1000  | 2000  | 4000  |
|---------------------|-------|-------|-------|-------|-------|-------|
| C.R Banda Inicial   | 67    | 67    | 65    | 62    | 49    | 38    |
| C.R Banda final     | 59.00 | 59.00 | 57.00 | 54.00 | 41.00 | 30.00 |
| Alfa_1_3_nT         | 56.04 | 57.04 | 59.14 | 58.94 | 55.54 | 50.54 |
| 0                   | 10.96 | 9.96  | 5.86  | 3.06  | -     | 6.54  |
| -1                  | 9.96  | 8.96  | 4.86  | 2.06  | -     | 7.54  |
| -2                  | 8.96  | 7.96  | 3.86  | 1.06  | -     | 8.54  |
| -3                  | 7.96  | 6.96  | 2.86  | 0.06  | -     | 9.54  |
| <b>L'nTw= 57 dB</b> |       |       |       |       |       |       |

Tabla 27.L'<sub>nTw</sub> de Alfa\_1\_3\_nT

Proyecto : Estudio al ruido ascendente por impacto

Autor: Gregorio Chacón Leiva

Tutor : Pedro Flores Domínguez-Rodiño

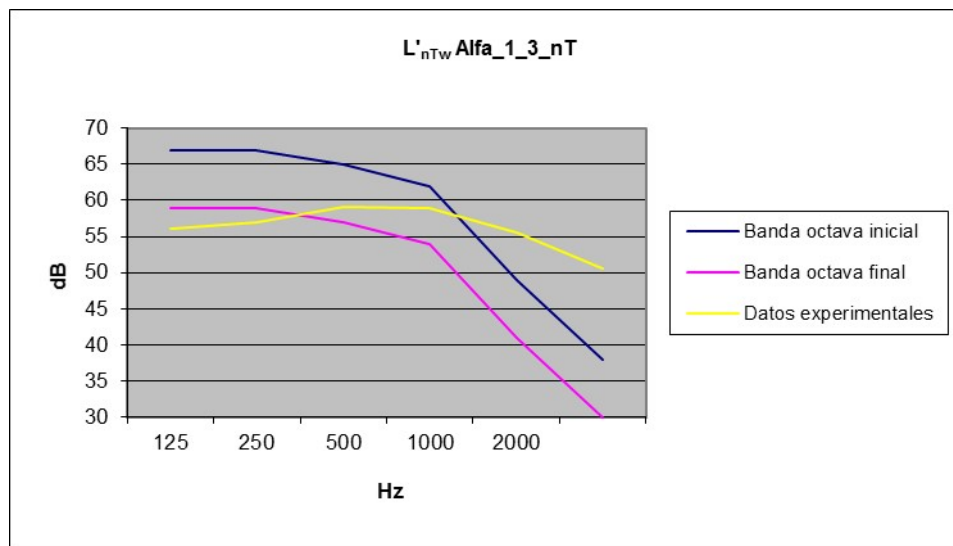


Figura 24. Gráfica L'<sub>nTw</sub> de Alfa\_1\_3\_nT

| Hz                | 125   | 250   | 500   | 1000  | 2000  | 4000  |
|-------------------|-------|-------|-------|-------|-------|-------|
| C.R Banda Inicial | 67    | 67    | 65    | 62    | 49    | 38    |
| C.R Banda final   | 59.00 | 59.00 | 57.00 | 54.00 | 41.00 |       |
| Alfa_1_4_nT       | 51.94 | 58.04 | 59.54 | 59.14 | 55.54 | 50.34 |
| 0                 | 15.06 | 8.96  | 5.46  | 2.86  | -     | 6.5   |
| -1                | 14.06 | 7.96  | 4.46  | 1.86  | -     | 7.5   |
| -2                | 13.06 | 6.96  | 3.46  | 0.86  | -     | 8.5   |
| -3                | 12.06 | 5.96  | 2.46  | -     | 0.14  | -     |
| L'nTw= 57 dB      |       |       |       |       |       |       |

Tabla 28.L'<sub>nTw</sub> de Alfa\_1\_4\_nT

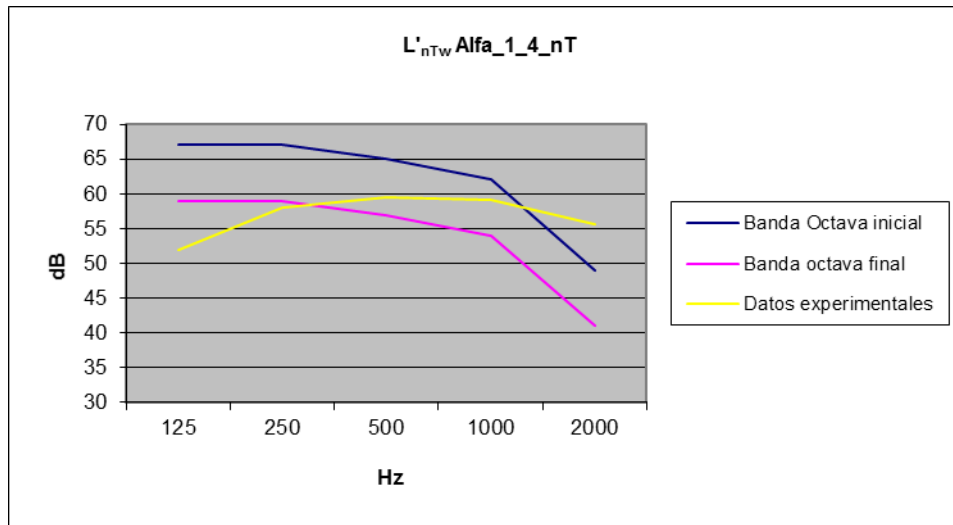


Figura 25. Gráfica L'<sub>nTw</sub> de Alfa\_1\_4\_nT

Proyecto : Estudio al ruido ascendente por impacto

Autor: Gregorio Chacón Leiva

Tutor : Pedro Flores Domínguez-Rodiño

| Hz                | 100   | 125   | 160   | 200   | 250   | 315   | 400   | 500   | 630   | 800   | 1000  | 1250  | 1600  | 2000  | 2500  | 3125  | 4000  |
|-------------------|-------|-------|-------|-------|-------|-------|-------|-------|-------|-------|-------|-------|-------|-------|-------|-------|-------|
| C.R Banda Inicial | 62    | 62    | 62    | 62    | 62    | 61    | 60    | 59    | 58    | 57    | 54    | 51    | 48    | 45    | 42    | Xxxx  |       |
| C.R Banda final   | 52.00 | 52.00 | 52.00 | 52.00 | 52.00 | 51.00 | 50.00 | 49.00 | 48.00 | 47.00 | 44.00 | 41.00 | 38.00 | 35.00 | 32.00 |       |       |
| Alfa_2_1_nT       | 45.14 | 42.34 | 46.64 | 47.44 | 47.94 | 53.24 | 53.84 | 51.74 | 52.34 | 48.74 | 47.64 | 48.94 | 47.54 | 46.14 | 44.54 | 39.34 | 34.24 |
| 0                 | 16.86 | 19.66 | 15.36 | 14.56 | 14.06 | 8.76  | 7.16  | 8.26  | 6.66  | 9.26  | 9.36  | 5.06  | 3.46  | 1.86  | 0.46  | 2.66  | Xxxx  |
| -1                | 15.86 | 18.66 | 14.36 | 13.56 | 13.06 | 7.76  | 6.16  | 7.26  | 5.66  | 8.26  | 8.36  | 4.06  | 2.46  | 0.86  | 0.54  | 1.66  | Xxxx  |
| -2                | 14.86 | 17.66 | 13.36 | 12.56 | 12.06 | 6.76  | 5.16  | 6.26  | 4.66  | 7.26  | 7.36  | 3.06  | 1.46  | 0.14  | 1.54  | 0.66  | Xxxx  |
| -3                | 13.86 | 16.66 | 12.36 | 11.56 | 11.06 | 5.76  | 4.16  | 5.26  | 3.66  | 6.26  | 6.36  | 2.06  | 0.46  | 1.14  | 2.54  | 0.34  | Xxxx  |
| -4                | 12.86 | 15.66 | 11.36 | 10.56 | 10.06 | 4.76  | 3.16  | 4.26  | 2.66  | 5.26  | 5.36  | 1.06  | 0.54  | 2.14  | 3.54  | 1.34  | Xxxx  |
| -5                | 11.86 | 14.66 | 10.36 | 9.56  | 9.06  | 3.76  | 2.16  | 3.26  | 1.66  | 4.26  | 4.36  | 0.06  | 1.54  | 3.14  | 4.54  | 2.34  | Xxxx  |
| -6                | 10.86 | 13.66 | 9.36  | 8.56  | 8.06  | 2.76  | 1.16  | 2.26  | 0.66  | 3.26  | 3.36  | 0.94  | 2.54  | 4.14  | 5.54  | 3.34  | Xxxx  |
| -7                | 9.86  | 12.66 | 8.36  | 7.56  | 7.06  | 1.76  | 0.16  | 1.26  | 0.34  | 2.26  | 2.36  | 1.94  | 3.54  | 5.14  | 6.54  | 4.34  | Xxxx  |
| -8                | 8.86  | 11.66 | 7.36  | 6.56  | 6.06  | 0.76  | 0.84  | 0.26  | 1.34  | 1.26  | 1.36  | 2.94  | 4.54  | 6.14  | 7.54  | 5.34  | Xxxx  |
| -9                | 7.86  | 10.66 | 6.36  | 5.56  | 5.06  | -     | 0.24  | 1.84  | -     | 0.74  | 2.34  | 0.26  | 0.36  | 3.94  | 5.54  | 7.14  | 8.54  |
| -10               | 6.86  | 9.66  | 5.36  | 4.56  | 4.06  | -     | 1.24  | 2.84  | -     | 1.74  | 3.34  | 0.74  | 0.64  | 4.94  | 6.54  | 8.14  | 9.54  |
| -11               | 5.86  | 8.66  | 4.36  | 3.56  | 3.06  | -     | 2.24  | 3.84  | -     | 2.74  | 4.34  | 1.74  | 1.64  | 5.94  | 7.54  | 9.14  | 10.54 |
| -12               | 4.86  | 7.66  | 3.36  | 2.56  | 2.06  | -     | 3.24  | 4.84  | -     | 3.74  | 5.34  | 2.74  | 2.64  | 6.94  | 8.54  | 10.14 | 11.54 |
| -13               | 3.86  | 6.66  | 2.36  | 1.56  | 1.06  | -     | 4.24  | 5.84  | -     | 4.74  | 6.34  | 3.74  | 3.64  | 7.94  | 9.54  | 11.14 | 12.54 |
| -14               | 2.86  | 5.66  | 1.36  | 0.56  | 0.06  | -     | 5.24  | 6.84  | -     | 5.74  | 7.34  | 4.74  | 4.64  | 8.94  | 10.54 | 12.14 | 13.54 |
| -15               | 1.86  | 4.66  | 0.36  | 0.44  | 0.94  | 6.24  | 7.84  | -     | 6.74  | 8.34  | 5.74  | 5.64  | 9.94  | 11.54 | 13.14 | 14.54 | 12.34 |
| -16               | 0.86  | 3.66  | 0.64  | 1.44  | 1.94  | 7.24  | 8.84  | -     | 7.74  | 9.34  | 6.74  | 6.64  | 10.94 | 12.54 | 14.14 | 15.54 | 13.34 |
| -17               | -     | 0.14  | 2.66  | 1.64  | 2.44  | 2.94  | 8.24  | 9.84  | -     | 8.74  | 10.34 | 7.74  | 7.64  | 11.94 | 13.54 | 15.14 | 16.54 |
| -18               | -     | 1.14  | 1.66  | 2.64  | 3.44  | 3.94  | 9.24  | 10.84 | -     | 9.74  | 11.34 | 8.74  | 8.64  | 12.94 | 14.54 | 16.14 | 17.54 |
| -19               | -     | 2.14  | 0.66  | 3.64  | 4.44  | 4.94  | 10.24 | 11.84 | -     | 10.74 | 12.34 | 9.74  | 9.64  | 13.94 | 15.54 | 17.14 | 18.54 |
| -20               | -     | 3.14  | 0.34  | 4.64  | 5.44  | 5.94  | 11.24 | 12.84 | -     | 11.74 | 13.34 | 10.74 | 10.64 | 14.94 | 16.54 | 18.14 | 19.54 |
| -21               | -     | 4.14  | 1.34  | 5.64  | 6.44  | 6.94  | 12.24 | 13.84 | -     | 12.74 | 14.34 | 11.74 | 11.64 | 15.94 | 17.54 | 19.14 | 20.54 |
|                   |       |       |       |       |       |       |       |       |       |       |       |       |       |       |       |       |       |

Proyecto : Estudio al ruido ascendente por impacto

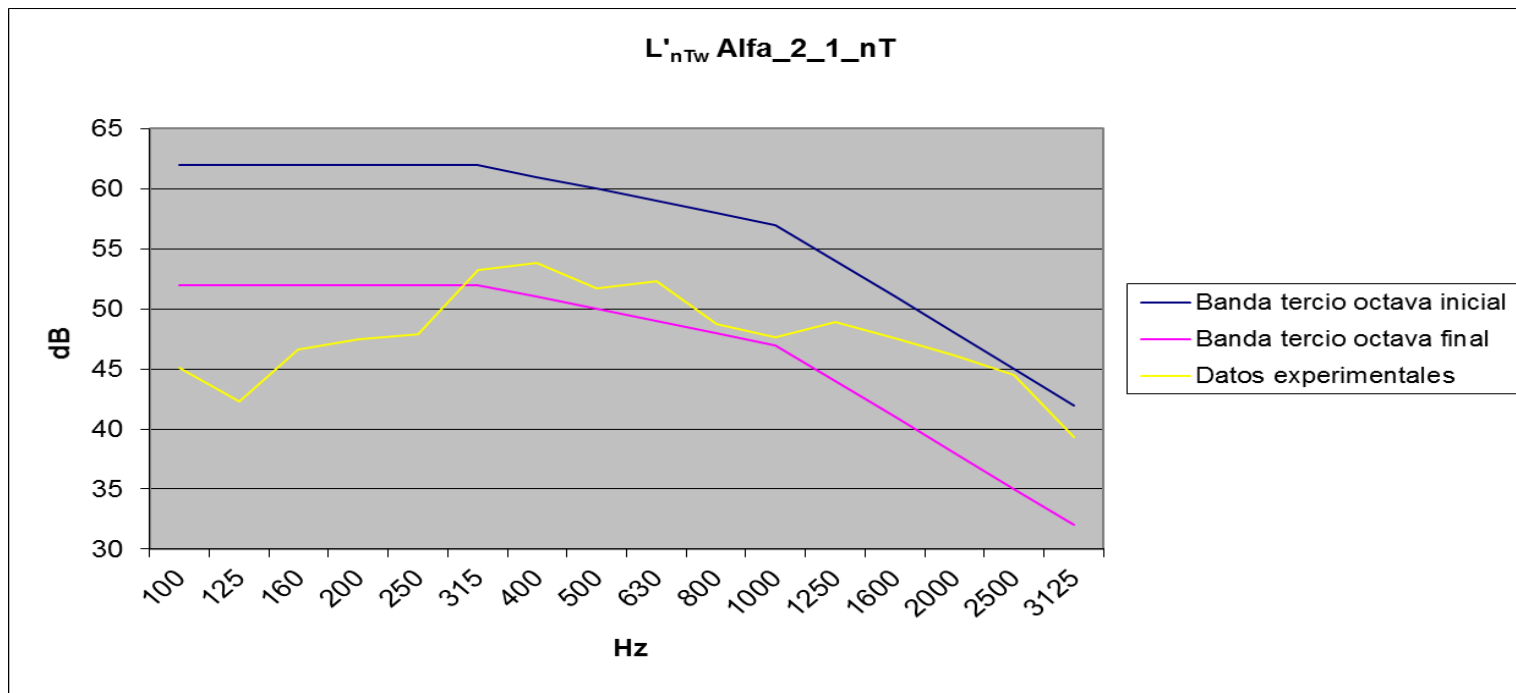
Autor: Gregorio Chacón Leiva

Tutor : Pedro Flores Domínguez-Rodiño

|     |   |      |   |      |   |      |   |      |   |      |   |       |   |       |   |       |   |       |   |       |   |       |   |       |   |       |   |       |   |       |      |       |      |      |
|-----|---|------|---|------|---|------|---|------|---|------|---|-------|---|-------|---|-------|---|-------|---|-------|---|-------|---|-------|---|-------|---|-------|---|-------|------|-------|------|------|
| -22 | - | 5.14 | - | 2.34 | - | 6.64 | - | 7.44 | - | 7.94 | - | 13.24 | - | 14.84 | - | 13.74 | - | 15.34 | - | 12.74 | - | 12.64 | - | 16.94 | - | 18.54 | - | 20.14 | - | 21.54 | -    | 19.34 | Xxxx | 28.1 |
| -23 | - | -    | - | -    | - | -    | - | -    | - | -    | - | -     | - | -     | - | -     | - | -     | - | -     | - | -     | - | -     | - | -     | - | -     | - | xxxx  | 29.1 |       |      |      |
| -24 | - | 7.14 | - | 4.34 | - | 8.64 | - | 9.44 | - | 9.94 | - | 15.24 | - | 16.84 | - | 15.74 | - | 17.34 | - | 14.74 | - | 14.64 | - | 18.94 | - | 20.54 | - | 22.14 | - | 23.54 | -    | 21.34 | xxxx | 30.1 |
| -25 | - | -    | - | -    | - | -    | - | -    | - | -    | - | -     | - | -     | - | -     | - | -     | - | -     | - | -     | - | -     | - | -     | - | -     | - | xxxx  | 31.1 |       |      |      |
|     |   |      |   |      |   |      |   |      |   |      |   |       |   |       |   |       |   |       |   |       |   |       |   |       |   |       |   |       |   |       |      |       |      |      |

L'ntw=  
50dB

Fig



Fig

Proyecto : Estudio al ruido ascendente por impacto

Autor: Gregorio Chacón Leiva

Tutor : Pedro Flores Domínguez-Rodiño

| Hz                | 100   | 125   | 160   | 200   | 250   | 315   | 400   | 500   | 630   | 800   | 1000  | 1250  | 1600  | 2000  | 2500  | 3125  | 4000      |
|-------------------|-------|-------|-------|-------|-------|-------|-------|-------|-------|-------|-------|-------|-------|-------|-------|-------|-----------|
| C.R Banda Inicial | 62    | 62    | 62    | 62    | 62    | 62    | 61    | 60    | 59    | 58    | 57    | 54    | 51    | 48    | 45    | 42    | xxxx      |
| C.R Banda final   | 53.00 | 53.00 | 53.00 | 53.00 | 53.00 | 53.00 | 52.00 | 51.00 | 50.00 | 49.00 | 48.00 | 45.00 | 42.00 | 39.00 | 36.00 | 33.00 |           |
| Alfa_2_2_nT       | 41.46 | 43.80 | 46.70 | 49.40 | 50.00 | 53.70 | 55.80 | 52.10 | 53.90 | 51.00 | 49.70 | 50.20 | 48.60 | 48.00 | 46.50 | 41.50 | 36.90     |
| 0                 | 20.54 | 18.20 | 15.30 | 12.60 | 12.00 | 8.30  | 5.20  | 7.90  | 5.10  | 7.00  | 7.30  | 3.80  | 2.40  | -     | 2.50  | 0.50  | xxxx 2.5  |
| -1                | 19.54 | 17.20 | 14.30 | 11.60 | 11.00 | 7.30  | 4.20  | 6.90  | 4.10  | 6.00  | 6.30  | 2.80  | 1.40  | 1.00  | 2.50  | 0.50  | xxxx 6.2  |
| -2                | 18.54 | 16.20 | 13.30 | 10.60 | 10.00 | 6.30  | 3.20  | 5.90  | 3.10  | 5.00  | 5.30  | 1.80  | 0.40  | 2.00  | 3.50  | 1.50  | xxxx 7.2  |
| -3                | 17.54 | 15.20 | 12.30 | 9.60  | 9.00  | 5.30  | 2.20  | 4.90  | 2.10  | 4.00  | 4.30  | 0.80  | 0.60  | 3.00  | 4.50  | 2.50  | xxxx 8.9  |
| -4                | 16.54 | 14.20 | 11.30 | 8.60  | 8.00  | 4.30  | 1.20  | 3.90  | 1.10  | 3.00  | 3.30  | 0.20  | 1.60  | 4.00  | 5.50  | 3.50  | xxxx 10.3 |
| -5                | 15.54 | 13.20 | 10.30 | 7.60  | 7.00  | 3.30  | 0.20  | 2.90  | 0.10  | 2.00  | 2.30  | 1.20  | 2.60  | 5.00  | 6.50  | 4.50  | xxxx 11.3 |
| -6                | 14.54 | 12.20 | 9.30  | 6.60  | 6.00  | 2.30  | 0.80  | 1.90  | 0.90  | 1.00  | 1.30  | 2.20  | 3.60  | 6.00  | 7.50  | 5.50  | xxxx 12.9 |
| -7                | 13.54 | 11.20 | 8.30  | 5.60  | 5.00  | 1.30  | 1.80  | 0.90  | 1.90  | -     | 0.30  | 3.20  | 4.60  | 7.00  | 8.50  | 6.50  | xxxx 13.9 |
| -8                | 12.54 | 10.20 | 7.30  | 4.60  | 4.00  | 0.30  | 2.80  | 0.10  | 2.90  | 1.00  | 0.70  | 4.20  | 5.60  | 8.00  | 9.50  | 7.50  | xxxx 15.4 |
| -9                | 11.54 | 9.20  | 6.30  | 3.60  | 3.00  | 0.70  | 3.80  | 1.10  | 3.90  | 2.00  | 1.70  | 5.20  | 6.60  | 9.00  | 10.50 | 8.50  | xxxx 16.6 |
| -10               | 10.54 | 8.20  | 5.30  | 2.60  | 2.00  | 1.70  | 4.80  | 2.10  | 4.90  | 3.00  | 2.70  | 6.20  | 7.60  | 10.00 | 11.50 | 9.50  | xxxx 17.6 |
| -11               | 9.54  | 7.20  | 4.30  | 1.60  | 1.00  | 2.70  | 5.80  | 3.10  | 5.90  | 4.00  | 3.70  | 7.20  | 8.60  | 11.00 | 12.50 | 10.50 | xxxx 18.6 |
| -12               | 8.54  | 6.20  | 3.30  | 0.60  | -     | 3.70  | 6.80  | 4.10  | 6.90  | 5.00  | 4.70  | 8.20  | 9.60  | 12.00 | 13.50 | 11.50 | xxxx 19.6 |
| -13               |       |       |       | -     | -     | -     | -     | -     | -     | -     | -     | -     | -     | -     | -     | xxxx  |           |

Proyecto : Estudio al ruido ascendente por impacto

Autor: Gregorio Chacón Leiva

Tutor : Pedro Flores Domínguez-Rodiño

|     | 7.54 | 5.20 | 2.30 | 0.40  | 1.00  | 4.70  | 7.80  | 5.10  | 7.90  | 6.00  | 5.70  | 9.20  | 10.60 | 13.00 | 14.50 | 12.50 |      | 20.7 |
|-----|------|------|------|-------|-------|-------|-------|-------|-------|-------|-------|-------|-------|-------|-------|-------|------|------|
| -14 | 6.54 | 4.20 | 1.30 | 1.40  | 2.00  | 5.70  | 8.80  | 6.10  | 8.90  | 7.00  | 6.70  | 10.20 | 11.60 | 14.00 | 15.50 | 13.50 | xxxx | 21.6 |
| -15 | 5.54 | 3.20 | 0.30 | 2.40  | 3.00  | 6.70  | 9.80  | 7.10  | 9.90  | 8.00  | 7.70  | 11.20 | 12.60 | 15.00 | 16.50 | 14.50 | xxxx | 22.7 |
| -16 | 4.54 | 2.20 | 0.70 | 3.40  | 4.00  | 7.70  | 10.80 | 8.10  | 10.90 | 9.00  | 8.70  | 12.20 | 13.60 | 16.00 | 17.50 | 15.50 | xxxx | 23.7 |
| -17 | 3.54 | 1.20 | 1.70 | 4.40  | 5.00  | 8.70  | 11.80 | 9.10  | 11.90 | 10.00 | 9.70  | 13.20 | 14.60 | 17.00 | 18.50 | 16.50 | xxxx | 24.8 |
| -18 | 2.54 | 0.20 | 2.70 | 5.40  | 6.00  | 9.70  | 12.80 | 10.10 | 12.90 | 11.00 | 10.70 | 14.20 | 15.60 | 18.00 | 19.50 | 17.50 | xxxx | 25.8 |
| -19 | 1.54 | 0.80 | 3.70 | 6.40  | 7.00  | 10.70 | 13.80 | 11.10 | 13.90 | 12.00 | 11.70 | 15.20 | 16.60 | 19.00 | 20.50 | 18.50 | xxxx | 26.8 |
| -20 | 0.54 | 1.80 | 4.70 | 7.40  | 8.00  | 11.70 | 14.80 | 12.10 | 14.90 | 13.00 | 12.70 | 16.20 | 17.60 | 20.00 | 21.50 | 19.50 | xxxx | 27.8 |
| -21 | 0.46 | 2.80 | 5.70 | 8.40  | 9.00  | 12.70 | 15.80 | 13.10 | 15.90 | 14.00 | 13.70 | 17.20 | 18.60 | 21.00 | 22.50 | 20.50 | xxxx | 28.8 |
| -22 | 1.46 | 3.80 | 6.70 | 9.40  | 10.00 | 13.70 | 16.80 | 14.10 | 16.90 | 15.00 | 14.70 | 18.20 | 19.60 | 22.00 | 23.50 | 21.50 | xxxx | 29.8 |
| -23 | 2.46 | 4.80 | 7.70 | 10.40 | 11.00 | 14.70 | 17.80 | 15.10 | 17.90 | 16.00 | 15.70 | 19.20 | 20.60 | 23.00 | 24.50 | 22.50 | xxxx | 30.8 |
| -24 | 3.46 | 5.80 | 8.70 | 11.40 | 12.00 | 15.70 | 18.80 | 16.10 | 18.90 | 17.00 | 16.70 | 20.20 | 21.60 | 24.00 | 25.50 | 23.50 | xxxx | 31.8 |
| -25 | 4.46 | 6.80 | 9.70 | 12.40 | 13.00 | 16.70 | 19.80 | 17.10 | 19.90 | 18.00 | 17.70 | 21.20 | 22.60 | 25.00 | 26.50 | 24.50 | xxxx | 32.8 |

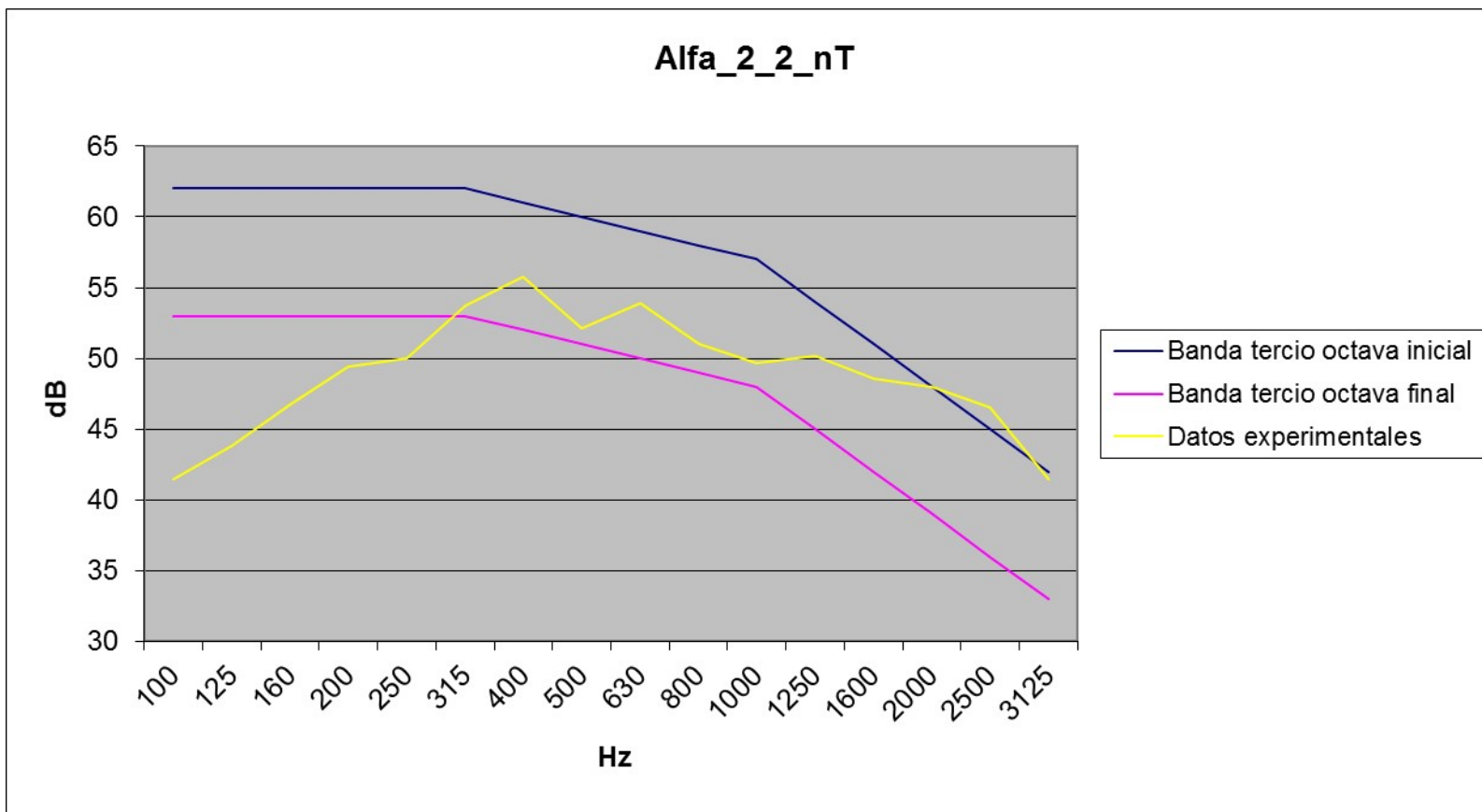
L'nTw=  
51 dB

Fig

Proyecto : Estudio al ruido ascendente por impacto

Autor: Gregorio Chacón Leiva

Tutor : Pedro Flores Domínguez-Rodiño



Fig

Proyecto : Estudio al ruido ascendente por impacto

Autor: Gregorio Chacón Leiva

Tutor : Pedro Flores Domínguez-Rodríguez

| Hz                | 100   | 125   | 160   | 200   | 250   | 315   | 400   | 500   | 630   | 800   | 1000  | 1250  | 1600  | 2000  | 2500  | 3125  | 4000  |
|-------------------|-------|-------|-------|-------|-------|-------|-------|-------|-------|-------|-------|-------|-------|-------|-------|-------|-------|
| C.R Banda Inicial | 62    | 62    | 62    | 62    | 62    | 61    | 60    | 59    | 58    | 57    | 54    | 51    | 48    | 45    | 42    | xxxx  |       |
| C.R Banda final   | 52.00 | 52.00 | 52.00 | 52.00 | 52.00 | 51.00 | 50.00 | 49.00 | 48.00 | 47.00 | 44.00 | 41.00 | 38.00 | 35.00 | 32.00 |       |       |
| Alfa_2_3_nT       | 42.00 | 42.64 | 42.74 | 47.44 | 47.54 | 52.34 | 54.24 | 50.44 | 52.14 | 49.24 | 47.54 | 48.14 | 46.24 | 44.54 | 43.04 | 37.84 | 33.84 |
| 0                 | 20.00 | 19.36 | 19.26 | 14.56 | 14.46 | 9.66  | 6.76  | 9.56  | 6.86  | 8.76  | 9.46  | 5.86  | 4.76  | 3.46  | 0.96  | 4.16  | xxxx  |
| -1                | 19.00 | 18.36 | 18.26 | 13.56 | 13.46 | 8.66  | 5.76  | 8.56  | 5.86  | 7.76  | 8.46  | 4.86  | 3.76  | 2.46  | 0.96  | 3.16  | xxxx  |
| -2                | 18.00 | 17.36 | 17.26 | 12.56 | 12.46 | 7.66  | 4.76  | 7.56  | 4.86  | 6.76  | 7.46  | 3.86  | 2.76  | 1.46  | 0.04  | 2.16  | xxxx  |
| -3                | 17.00 | 16.36 | 16.26 | 11.56 | 11.46 | 6.66  | 3.76  | 6.56  | 3.86  | 5.76  | 6.46  | 2.86  | 1.76  | 0.46  | 1.04  | 1.16  | xxxx  |
| -4                | 16.00 | 15.36 | 15.26 | 10.56 | 10.46 | 5.66  | 2.76  | 5.56  | 2.86  | 4.76  | 5.46  | 1.86  | 0.76  | 0.54  | 2.04  | 0.16  | xxxx  |
| -5                | 15.00 | 14.36 | 14.26 | 9.56  | 9.46  | 4.66  | 1.76  | 4.56  | 1.86  | 3.76  | 4.46  | 0.86  | 0.24  | 1.54  | 3.04  | 0.84  | xxxx  |
| -6                | 14.00 | 13.36 | 13.26 | 8.56  | 8.46  | 3.66  | 0.76  | 3.56  | 0.86  | 2.76  | 3.46  | 0.14  | 1.24  | 2.54  | 4.04  | 1.84  | xxxx  |
| -7                | 13.00 | 12.36 | 12.26 | 7.56  | 7.46  | 2.66  | 0.24  | 2.56  | 0.14  | 1.76  | 2.46  | 1.14  | 2.24  | 3.54  | 5.04  | 2.84  | xxxx  |
| -8                | 12.00 | 11.36 | 11.26 | 6.56  | 6.46  | 1.66  | 1.24  | 1.56  | 1.14  | 0.76  | 1.46  | 2.14  | 3.24  | 4.54  | 6.04  | 3.84  | xxxx  |
| -9                | 11.00 | 10.36 | 10.26 | 5.56  | 5.46  | 0.66  | 2.24  | 0.56  | 2.14  | 0.24  | 0.46  | 3.14  | 4.24  | 5.54  | 7.04  | 4.84  | xxxx  |
| -10               | 10.00 | 9.36  | 9.26  | 4.56  | 4.46  | 0.34  | 3.24  | 0.44  | 3.14  | 1.24  | 0.54  | 4.14  | 5.24  | 6.54  | 8.04  | 5.84  | xxxx  |
| -11               | 9.00  | 8.36  | 8.26  | 3.56  | 3.46  | 1.34  | 4.24  | 1.44  | 4.14  | 2.24  | 1.54  | 5.14  | 6.24  | 7.54  | 9.04  | 6.84  | xxxx  |
| -12               | 8.00  | 7.36  | 7.26  | 2.56  | 2.46  | 2.34  | 5.24  | 2.44  | 5.14  | 3.24  | 2.54  | 6.14  | 7.24  | 8.54  | 10.04 | 7.84  | xxxx  |
| -13               | 7.00  | 6.36  | 6.26  | 1.56  | 1.46  | 3.34  | 6.24  | 3.44  | 6.14  | 4.24  | 3.54  | 7.14  | 8.24  | 9.54  | 11.04 | 8.84  | xxxx  |
| -14               | 6.00  | 5.36  | 5.26  | 0.56  | 0.46  | 4.34  | 7.24  | 4.44  | 7.14  | 5.24  | 4.54  | 8.14  | 9.24  | 10.54 | 12.04 | 9.84  | xxxx  |
| -15               | 5.00  | 4.36  | 4.26  | 0.44  | 0.54  | 5.34  | 8.24  | 5.44  | 8.14  | 6.24  | 5.54  | 9.14  | 10.24 | 11.54 | 13.04 | 10.84 | xxxx  |
| -16               | 4.00  | 3.36  | 3.26  | 1.44  | 1.54  | 6.34  | 9.24  | 6.44  | 9.14  | 7.24  | 6.54  | 10.14 | 11.24 | 12.54 | 14.04 | 11.84 | xxxx  |
| -17               | 3.00  | 2.36  | 2.26  | 2.44  | 2.54  | 7.34  | 10.24 | 7.44  | 10.14 | 8.24  | 7.54  | 11.14 | 12.24 | 13.54 | 15.04 | 12.84 | xxxx  |
| -18               | 2.00  | 1.36  | 1.26  | 3.44  | 3.54  | 8.34  | 11.24 | 8.44  | 11.14 | 9.24  | 8.54  | 12.14 | 13.24 | 14.54 | 16.04 | 13.84 | xxxx  |
| -19               | 1.00  | 0.36  | 0.26  | 4.44  | 4.54  | 9.34  | 12.24 | 9.44  | 12.14 | 10.24 | 9.54  | 13.14 | 14.24 | 15.54 | 17.04 | 14.84 | xxxx  |
| -20               | 0.00  | -     | 0.64  | 0.74  | 5.44  | 5.54  | 10.34 | 13.24 | 10.44 | 13.14 | 11.24 | 10.54 | 14.14 | 15.24 | 16.54 | 18.04 | 15.84 |
| -21               | 1.00  | 1.64  | 1.74  | 6.44  | 6.54  | 11.34 | 14.24 | 11.44 | 14.14 | 12.24 | 11.54 | 15.14 | 16.24 | 17.54 | 19.04 | 16.84 | xxxx  |
|                   |       |       |       |       |       |       |       |       |       |       |       |       |       |       |       |       | 26.0  |

Proyecto : Estudio al ruido ascendente por impacto

Autor: Gregorio Chacón Leiva

Tutor : Pedro Flores Domínguez-Rodríguez

|     |      |   |      |      |   |       |       |   |       |   |       |   |       |   |       |   |       |   |       |   |       |   |       |   |       |   |       |   |       |      |      |
|-----|------|---|------|------|---|-------|-------|---|-------|---|-------|---|-------|---|-------|---|-------|---|-------|---|-------|---|-------|---|-------|---|-------|---|-------|------|------|
| -22 | 2.00 | - | 2.64 | 2.74 | - | 7.44  | 7.54  | - | 12.34 | - | 15.24 | - | 12.44 | - | 15.14 | - | 13.24 | - | 12.54 | - | 16.14 | - | 17.24 | - | 18.54 | - | 20.04 | - | 17.84 | xxxx | 27.0 |
| -23 | 3.00 | - | 3.64 | 3.74 | - | 8.44  | 8.54  | - | 13.34 | - | 16.24 | - | 13.44 | - | 16.14 | - | 14.24 | - | 13.54 | - | 17.14 | - | 18.24 | - | 19.54 | - | 21.04 | - | 18.84 | xxxx | 28.0 |
| -24 | 4.00 | - | 4.64 | 4.74 | - | 9.44  | 9.54  | - | 14.34 | - | 17.24 | - | 14.44 | - | 17.14 | - | 15.24 | - | 14.54 | - | 18.14 | - | 19.24 | - | 20.54 | - | 22.04 | - | 19.84 | xxxx | 29.0 |
| -25 | 5.00 | - | 5.64 | 5.74 | - | 10.44 | 10.54 | - | 15.34 | - | 18.24 | - | 15.44 | - | 18.14 | - | 16.24 | - | 15.54 | - | 19.14 | - | 20.24 | - | 21.54 | - | 23.04 | - | 20.84 | xxxx | 30.0 |

L'nTw= 50  
dB

Tabla 31.L'nTw de Alfa\_2\_3\_nT

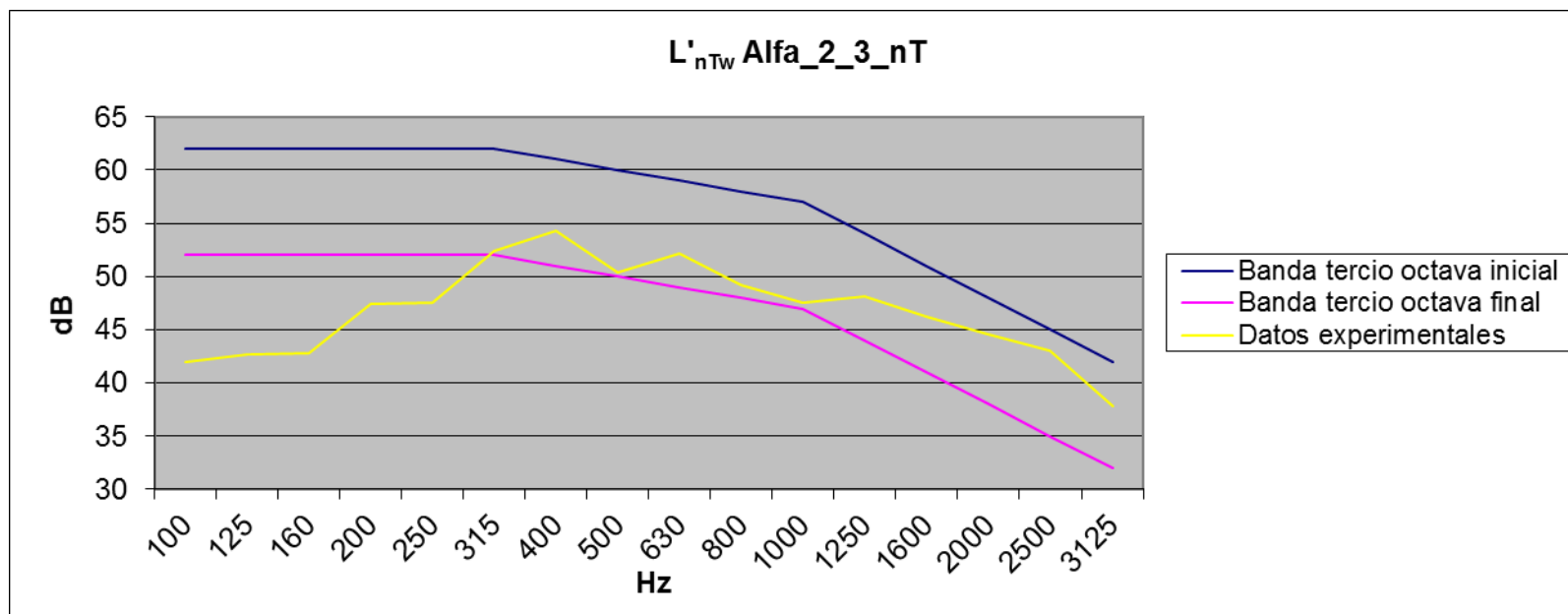


Figura 28. Gráfica L'nTw de Alfa\_2\_3\_nT

Proyecto : Estudio al ruido ascendente por impacto

Autor: Gregorio Chacón Leiva

Tutor : Pedro Flores Domínguez-Rodríguez

| Hz                | 100   | 125   | 160   | 200   | 250   | 315   | 400   | 500   | 630   | 800   | 1000  | 1250  | 1600  | 2000  | 2500  | 3125  | 4000      |           |
|-------------------|-------|-------|-------|-------|-------|-------|-------|-------|-------|-------|-------|-------|-------|-------|-------|-------|-----------|-----------|
| C.R Banda Inicial | 62    | 62    | 62    | 62    | 62    | 62    | 61    | 60    | 59    | 58    | 57    | 54    | 51    | 48    | 45    | 42    | xxxx      |           |
| C.R Banda final   | 53    | 53    | 53    | 53    | 53    | 53    | 52    | 51    | 50    | 49    | 48    | 45    | 42    | 39    | 36    | 33    |           |           |
| Alfa_2_4_nT       | 40.00 | 42.44 | 45.14 | 47.64 | 48.04 | 52.64 | 54.14 | 50.94 | 52.34 | 49.14 | 47.84 | 48.64 | 47.04 | 45.84 | 44.34 | 39.14 | 34.54     |           |
| 0                 | 22.00 | 19.56 | 16.86 | 14.36 | 13.96 | 9.36  | 6.86  | 9.06  | 6.66  | 8.86  | 9.16  | 5.36  | 3.96  | 2.16  | 0.34  | 2.86  | xxxx 0.3  |           |
| -1                | 21.00 | 18.56 | 15.86 | 13.36 | 12.96 | 8.36  | 5.86  | 8.06  | 5.66  | 7.86  | 8.16  | 4.36  | 2.96  | 1.16  | 0.34  | 1.86  | xxxx 0.3  |           |
| -2                | 20.00 | 17.56 | 14.86 | 12.36 | 11.96 | 7.36  | 4.86  | 7.06  | 4.66  | 6.86  | 7.16  | 3.36  | 1.96  | 0.16  | 1.34  | 0.86  | xxxx 1.3  |           |
| -3                | 19.00 | 16.56 | 13.86 | 11.36 | 10.96 | 6.36  | 3.86  | 6.06  | 3.66  | 5.86  | 6.16  | 2.36  | 0.96  | 0.84  | 2.34  | 0.14  | xxxx 2.3  |           |
| -4                | 18.00 | 15.56 | 12.86 | 10.36 | 9.96  | 5.36  | 2.86  | 5.06  | 2.66  | 4.86  | 5.16  | 1.36  | 0.04  | 1.84  | 3.34  | 1.14  | xxxx 7.8  |           |
| -5                | 17.00 | 14.56 | 11.86 | 9.36  | 8.96  | 4.36  | 1.86  | 4.06  | 1.66  | 3.86  | 4.16  | 0.36  | 1.04  | 2.84  | 4.34  | 2.14  | xxxx 8.8  |           |
| -6                | 16.00 | 13.56 | 10.86 | 8.36  | 7.96  | 3.36  | 0.86  | 3.06  | 0.66  | 2.86  | 3.16  | 0.64  | 2.04  | 3.84  | 5.34  | 3.14  | xxxx 10.3 |           |
| -7                | 15.00 | 12.56 | 9.86  | 7.36  | 6.96  | 2.36  | 0.14  | 2.06  | 0.34  | 1.86  | 2.16  | 1.64  | 3.04  | 4.84  | 6.34  | 4.14  | xxxx 11.9 |           |
| -8                | 14.00 | 11.56 | 8.86  | 6.36  | 5.96  | 1.36  | 1.14  | 1.06  | 1.34  | 0.86  | 1.16  | 2.64  | 4.04  | 5.84  | 7.34  | 5.14  | xxxx 12.9 |           |
| -9                | 13.00 | 10.56 | 7.86  | 5.36  | 4.96  | 0.36  | -     | 2.14  | 0.06  | 2.34  | 0.14  | 0.16  | 3.64  | 5.04  | 6.84  | 8.34  | 6.14      | xxxx 14.6 |
| -10               | 12.00 | 9.56  | 6.86  | 4.36  | 3.96  | 0.64  | 3.14  | 0.94  | 3.34  | 1.14  | 0.84  | 4.64  | 6.04  | 7.84  | 9.34  | 7.14  | xxxx 15.7 |           |
| -11               | 11.00 | 8.56  | 5.86  | 3.36  | 2.96  | 1.64  | 4.14  | 1.94  | 4.34  | 2.14  | 1.84  | 5.64  | 7.04  | 8.84  | 10.34 | 8.14  | xxxx 16.7 |           |
| -12               | 10.00 | 7.56  | 4.86  | 2.36  | 1.96  | 2.64  | 5.14  | 2.94  | 5.34  | 3.14  | 2.84  | 6.64  | 8.04  | 9.84  | 11.34 | 9.14  | xxxx 17.7 |           |
| -13               | 9.00  | 6.56  | 3.86  | 1.36  | 0.96  | 3.64  | 6.14  | 3.94  | 6.34  | 4.14  | 3.84  | 7.64  | 9.04  | 10.84 | 12.34 | 10.14 | xxxx 18.7 |           |
| -14               | 8.00  | 5.56  | 2.86  | 0.36  | 0.04  | 4.64  | 7.14  | 4.94  | 7.34  | 5.14  | 4.84  | 8.64  | 10.04 | 11.84 | 13.34 | 11.14 | xxxx 19.8 |           |
| -15               | 7.00  | 4.56  | 1.86  | 0.64  | 1.04  | 5.64  | 8.14  | 5.94  | 8.34  | 6.14  | 5.84  | 9.64  | 11.04 | 12.84 | 14.34 | 12.14 | xxxx 20.8 |           |
| -16               | 6.00  | 3.56  | 0.86  | 1.64  | 2.04  | 6.64  | 9.14  | 6.94  | 9.34  | 7.14  | 6.84  | 10.64 | 12.04 | 13.84 | 15.34 | 13.14 | xxxx 21.8 |           |
| -17               | 5.00  | 2.56  | 0.14  | 2.64  | 3.04  | 7.64  | 10.14 | 7.94  | 10.34 | 8.14  | 7.84  | 11.64 | 13.04 | 14.84 | 16.34 | 14.14 | xxxx 22.8 |           |
| -18               | 4.00  | 1.56  | 1.14  | 3.64  | 4.04  | 8.64  | 11.14 | 8.94  | 11.34 | 9.14  | 8.84  | 12.64 | 14.04 | 15.84 | 17.34 | 15.14 | xxxx 23.8 |           |
| -19               | 3.00  | 0.56  | 2.14  | 4.64  | 5.04  | 9.64  | 12.14 | 9.94  | 12.34 | 10.14 | 9.84  | 13.64 | 15.04 | 16.84 | 18.34 | 16.14 | xxxx 24.8 |           |
| -20               | 2.00  | 0.44  | 3.14  | 5.64  | 6.04  | 10.64 | 13.14 | 10.94 | 13.34 | 11.14 | 10.84 | 14.64 | 16.04 | 17.84 | 19.34 | 17.14 | xxxx 25.8 |           |
| -21               | -     | -     | -     | -     | -     | -     | -     | -     | -     | -     | -     | -     | -     | -     | -     | -     | xxxx 26.8 |           |

Proyecto : Estudio al ruido ascendente por impacto

Autor: Gregorio Chacón Leiva

Tutor : Pedro Flores Domínguez-Rodríguez

|     |      |   |      |      |       |       |       |       |       |   |       |       |       |       |       |       |       |       |      |      |
|-----|------|---|------|------|-------|-------|-------|-------|-------|---|-------|-------|-------|-------|-------|-------|-------|-------|------|------|
| -22 | 0.00 | - | 2.44 | 5.14 | 7.64  | 8.04  | 12.64 | 15.14 | 12.94 | - | 15.34 | 13.14 | 12.84 | 16.64 | 18.04 | 19.84 | 21.34 | 19.14 | xxxx | 27.8 |
| -23 | 1.00 | - | 3.44 | 6.14 | 8.64  | 9.04  | 13.64 | 16.14 | 13.94 | - | 16.34 | 14.14 | 13.84 | 17.64 | 19.04 | 20.84 | 22.34 | 20.14 | xxxx | 28.8 |
| -24 | 2.00 | - | 4.44 | 7.14 | 9.64  | 10.04 | 14.64 | 17.14 | 14.94 | - | 17.34 | 15.14 | 14.84 | 18.64 | 20.04 | 21.84 | 23.34 | 21.14 | xxxx | 29.8 |
| -25 | 3.00 | - | 5.44 | 8.14 | 10.64 | 11.04 | 15.64 | 18.14 | 15.94 | - | 18.34 | 16.14 | 15.84 | 19.64 | 21.04 | 22.84 | 24.34 | 22.14 | xxxx | 30.8 |
| -26 | 4.00 | - | 6.44 | 9.14 | 11.64 | 12.04 | 16.64 | 19.14 | 16.94 | - | 19.34 | 17.14 | 16.84 | 20.64 | 22.04 | 23.84 | 25.34 | 23.14 | xxxx | 31.8 |

L'nTw=51  
dB

Tabla 32. L'nTw de Alfa\_2\_4\_nT

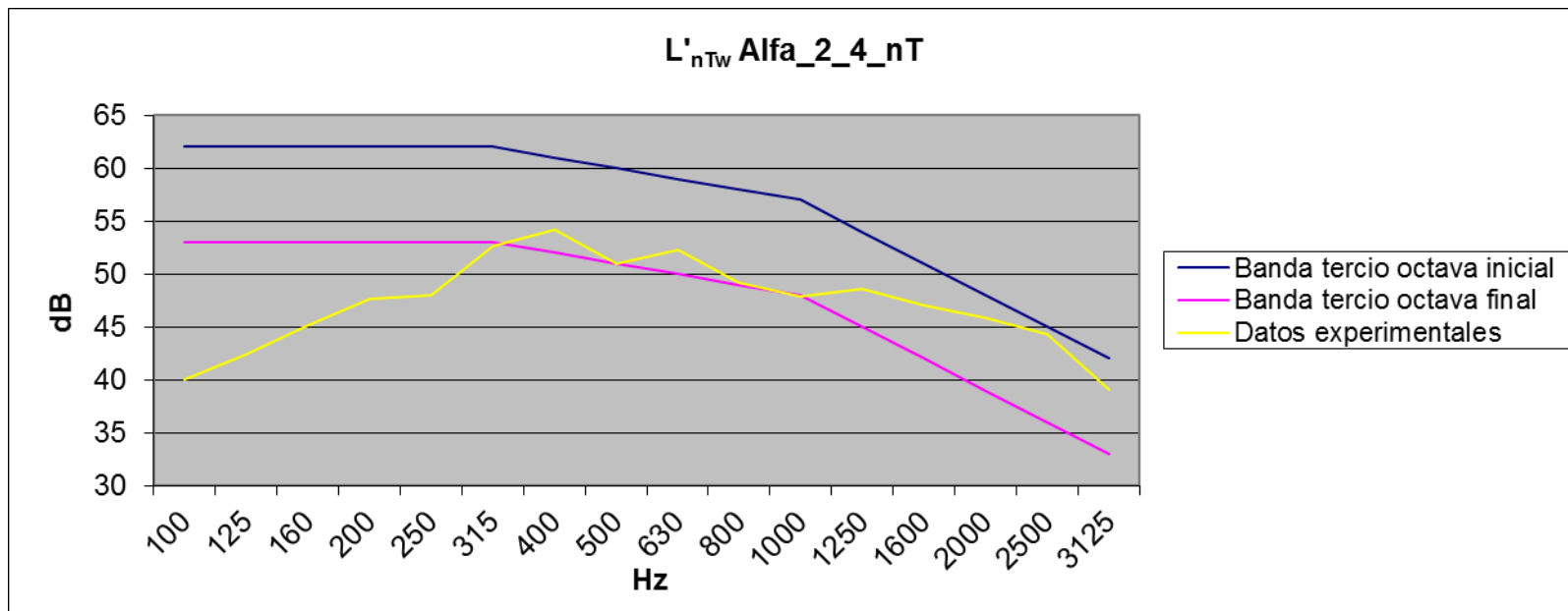


Figura 29. Gráfica L'nTw de Alfa\_2\_4\_nT

Proyecto : Estudio al ruido ascendente por impacto

Autor: Gregorio Chacón Leiva

Tutor : Pedro Flores Domínguez-Rodríguez

| Hz                | 100   | 125   | 160   | 200   | 250   | 315   | 400   | 500   | 630   | 800   | 1000  | 1250  | 1600  | 2000  | 2500  | 3125  | 4000  |
|-------------------|-------|-------|-------|-------|-------|-------|-------|-------|-------|-------|-------|-------|-------|-------|-------|-------|-------|
| C.R Banda Inicial | 62    | 62    | 62    | 62    | 62    | 61    | 60    | 59    | 58    | 57    | 54    | 51    | 48    | 45    | 42    | xxxx  |       |
| C.R Banda final   | 53    | 53    | 53    | 53    | 53    | 53    | 52    | 51    | 50    | 49    | 48    | 45    | 42    | 39    | 36    | 33    |       |
| Alfa_2_5_nT       | 48.00 | 47.54 | 47.24 | 50.14 | 46.64 | 49.14 | 51.74 | 51.14 | 53.04 | 49.54 | 48.54 | 48.04 | 46.84 | 46.04 | 44.74 | 39.24 | 34.54 |
| 0                 | 14.00 | 14.46 | 14.76 | 11.86 | 15.36 | 12.86 | 9.26  | 8.86  | 5.96  | 8.46  | 8.46  | 5.96  | 4.16  | 1.96  | -     | 0.74  | 2.76  |
| -1                | 13.00 | 13.46 | 13.76 | 10.86 | 14.36 | 11.86 | 8.26  | 7.86  | 4.96  | 7.46  | 7.46  | 4.96  | 3.16  | 0.96  | -     | 0.74  | 1.76  |
| -2                | 12.00 | 12.46 | 12.76 | 9.86  | 13.36 | 10.86 | 7.26  | 6.86  | 3.96  | 6.46  | 6.46  | 3.96  | 2.16  | 0.04  | -     | 1.74  | 0.76  |
| -3                | 11.00 | 11.46 | 11.76 | 8.86  | 12.36 | 9.86  | 6.26  | 5.86  | 2.96  | 5.46  | 5.46  | 2.96  | 1.16  | 1.04  | -     | 2.74  | 0.24  |
| -4                | 10.00 | 10.46 | 10.76 | 7.86  | 11.36 | 8.86  | 5.26  | 4.86  | 1.96  | 4.46  | 4.46  | 1.96  | 0.16  | -     | -     | -     | 3.74  |
| -5                | 9.00  | 9.46  | 9.76  | 6.86  | 10.36 | 7.86  | 4.26  | 3.86  | 0.96  | 3.46  | 3.46  | 0.96  | 0.84  | 3.04  | 4.74  | 2.24  | xxxx  |
| -6                | 8.00  | 8.46  | 8.76  | 5.86  | 9.36  | 6.86  | 3.26  | 2.86  | -     | 2.46  | 2.46  | 0.04  | 1.84  | 4.04  | 5.74  | 3.24  | xxxx  |
| -7                | 7.00  | 7.46  | 7.76  | 4.86  | 8.36  | 5.86  | 2.26  | 1.86  | 1.04  | 1.46  | 1.46  | 1.04  | 2.84  | 5.04  | 6.74  | 4.24  | xxxx  |
| -8                | 6.00  | 6.46  | 6.76  | 3.86  | 7.36  | 4.86  | 1.26  | 0.86  | 2.04  | 0.46  | 0.46  | 2.04  | 3.84  | 6.04  | 7.74  | 5.24  | xxxx  |
| -9                | 5.00  | 5.46  | 5.76  | 2.86  | 6.36  | 3.86  | 0.26  | 0.14  | 3.04  | 0.54  | 0.54  | 3.04  | 4.84  | 7.04  | 8.74  | 6.24  | xxxx  |
| -10               | 4.00  | 4.46  | 4.76  | 1.86  | 5.36  | 2.86  | 0.74  | 1.14  | 4.04  | 1.54  | 1.54  | 4.04  | 5.84  | 8.04  | 9.74  | 7.24  | xxxx  |
| -11               | 3.00  | 3.46  | 3.76  | 0.86  | 4.36  | 1.86  | 1.74  | 2.14  | 5.04  | 2.54  | 2.54  | 5.04  | 6.84  | 9.04  | 10.74 | 8.24  | xxxx  |
| -12               | 2.00  | 2.46  | 2.76  | 0.14  | 3.36  | 0.86  | 2.74  | 3.14  | 6.04  | 3.54  | 3.54  | 6.04  | 7.84  | 10.04 | 11.74 | 9.24  | xxxx  |
| -13               | 1.00  | 1.46  | 1.76  | 1.14  | 2.36  | 0.14  | 3.74  | 4.14  | 7.04  | 4.54  | 4.54  | 7.04  | 8.84  | 11.04 | 12.74 | 10.24 | xxxx  |
| -14               | 0.00  | 0.46  | 0.76  | -     | 2.14  | 1.36  | 1.14  | 4.74  | 5.14  | 8.04  | 5.54  | 5.54  | 8.04  | 9.84  | 12.04 | 13.74 | 11.24 |
| -15               | 1.00  | 0.54  | 0.24  | 3.14  | 0.36  | 2.14  | 5.74  | 6.14  | 9.04  | 6.54  | 6.54  | 9.04  | 10.84 | 13.04 | 14.74 | 12.24 | xxxx  |
| -16               | 2.00  | 1.54  | 1.24  | 4.14  | 0.64  | 3.14  | 6.74  | 7.14  | 10.04 | 7.54  | 7.54  | 10.04 | 11.84 | 14.04 | 15.74 | 13.24 | xxxx  |
| -17               | 3.00  | 2.54  | 2.24  | 5.14  | 1.64  | 4.14  | 7.74  | 8.14  | 11.04 | 8.54  | 8.54  | 11.04 | 12.84 | 15.04 | 16.74 | 14.24 | xxxx  |
| -18               | 4.00  | 3.54  | 3.24  | 6.14  | 2.64  | 5.14  | 8.74  | 9.14  | 12.04 | 9.54  | 9.54  | 12.04 | 13.84 | 16.04 | 17.74 | 15.24 | xxxx  |
| -19               | 5.00  | 4.54  | 4.24  | 7.14  | 3.64  | 6.14  | 9.74  | 10.14 | 13.04 | 10.54 | 10.54 | 13.04 | 14.84 | 17.04 | 18.74 | 16.24 | xxxx  |
| -20               | 6.00  | 5.54  | 5.24  | 8.14  | 4.64  | 7.14  | 10.74 | 11.14 | 14.04 | 11.54 | 11.54 | 14.04 | 15.84 | 18.04 | 19.74 | 17.24 | xxxx  |
| -21               | 7.00  | 6.54  | 6.24  | 9.14  | 5.64  | 8.14  | 11.74 | 12.14 | 15.04 | 12.54 | 12.54 | 15.04 | 16.84 | 19.04 | 20.74 | 18.24 | xxxx  |
|                   |       |       |       |       |       |       |       |       |       |       |       |       |       |       |       |       | 26.9  |

Proyecto : Estudio al ruido ascendente por impacto

Autor: Gregorio Chacón Leiva

Tutor : Pedro Flores Domínguez-Rodríguez

|     |       |       |       |       |       |       |   |       |       |   |       |       |   |       |   |       |   |       |   |       |   |       |   |       |      |      |
|-----|-------|-------|-------|-------|-------|-------|---|-------|-------|---|-------|-------|---|-------|---|-------|---|-------|---|-------|---|-------|---|-------|------|------|
| -22 | 8.00  | 7.54  | 7.24  | 10.14 | 6.64  | 9.14  | - | 12.74 | 13.14 | - | 16.04 | 13.54 | - | 13.54 | - | 16.04 | - | 17.84 | - | 20.04 | - | 21.74 | - | 19.24 | xxxx | 27.9 |
| -23 | 9.00  | 8.54  | 8.24  | 11.14 | 7.64  | 10.14 | - | 13.74 | 14.14 | - | 17.04 | 14.54 | - | 14.54 | - | 17.04 | - | 18.84 | - | 21.04 | - | 22.74 | - | 20.24 | xxxx | 28.9 |
| -24 | 10.00 | 9.54  | 9.24  | 12.14 | 8.64  | 11.14 | - | 14.74 | 15.14 | - | 18.04 | 15.54 | - | 15.54 | - | 18.04 | - | 19.84 | - | 22.04 | - | 23.74 | - | 21.24 | xxxx | 29.9 |
| -25 | 11.00 | 10.54 | 10.24 | 13.14 | 9.64  | 12.14 | - | 15.74 | 16.14 | - | 19.04 | 16.54 | - | 16.54 | - | 19.04 | - | 20.84 | - | 23.04 | - | 24.74 | - | 22.24 | xxxx | 30.9 |
| -26 | 12.00 | 11.54 | 11.24 | 14.14 | 10.64 | 13.14 | - | 16.74 | 17.14 | - | 20.04 | 17.54 | - | 17.54 | - | 20.04 | - | 21.84 | - | 24.04 | - | 25.74 | - | 23.24 | xxxx | 31.9 |

Tabla 33.  $L'_{nTw}$  de Alfa\_2\_5\_nT

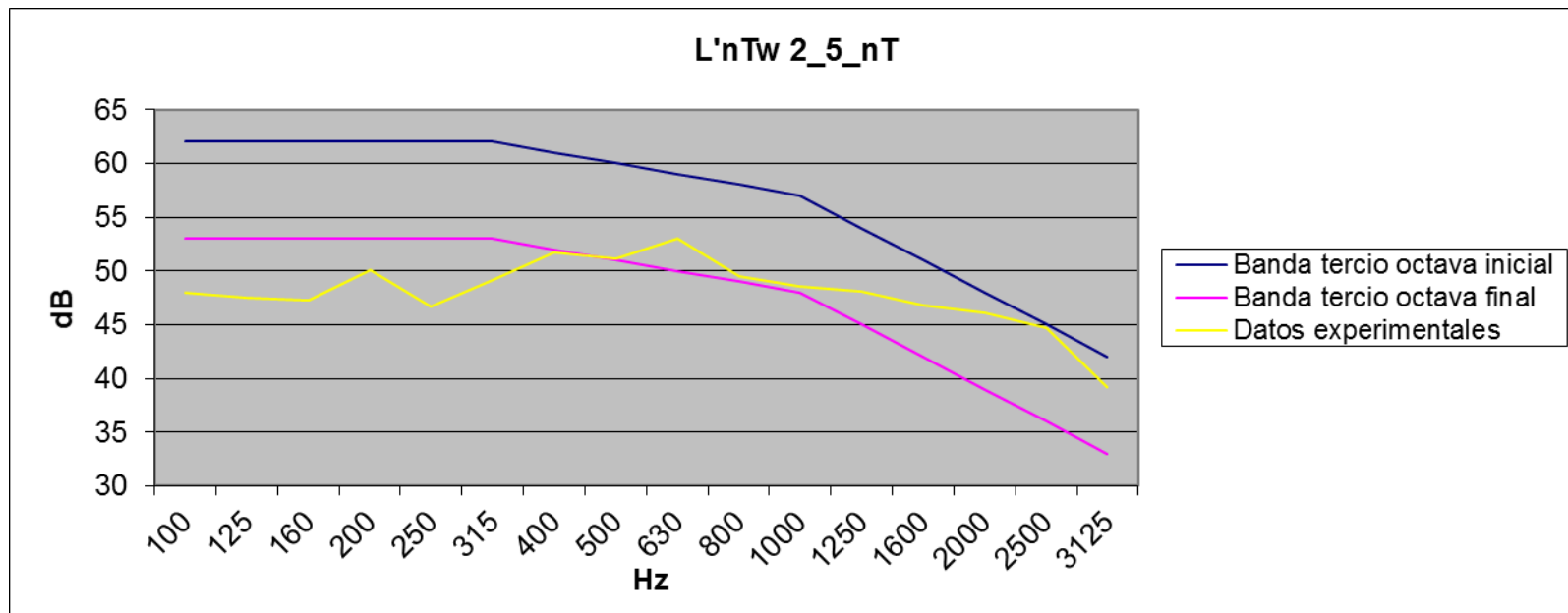


Figura 29. Gráfica  $L'_{nTw}$  de Alfa\_2\_5\_nT

Proyecto : Estudio al ruido ascendente por impacto

Autor: Gregorio Chacón Leiva

Tutor : Pedro Flores Domínguez-Rodiño

| Hz                | 100   | 125   | 160   | 200   | 250   | 315   | 400   | 500   | 630   | 800   | 1000  | 1250  | 1600  | 2000  | 2500  | 3125  | 4000  |
|-------------------|-------|-------|-------|-------|-------|-------|-------|-------|-------|-------|-------|-------|-------|-------|-------|-------|-------|
| C.R Banda Inicial | 62    | 62    | 62    | 62    | 62    | 62    | 61    | 60    | 59    | 58    | 57    | 54    | 51    | 48    | 45    | 42    | xxxx  |
| C.R Banda final   | 53    | 53    | 53    | 53    | 53    | 53    | 52    | 51    | 50    | 49    | 48    | 45    | 42    | 39    | 36    | 33    |       |
| Alfa_2_6_nT       | 40.00 | 43.44 | 45.74 | 49.54 | 48.44 | 52.64 | 50.94 | 50.04 | 52.34 | 48.74 | 48.94 | 48.64 | 46.34 | 45.74 | 44.04 | 38.64 | 34.04 |
| 0                 | 22.00 | 18.56 | 16.26 | 12.46 | 13.56 | 9.36  | 10.06 | 9.96  | 6.66  | 9.26  | 8.06  | 5.36  | 4.66  | 2.26  | 0.04  | 3.36  | xxxx  |
| -1                | 21.00 | 17.56 | 15.26 | 11.46 | 12.56 | 8.36  | 9.06  | 8.96  | 5.66  | 8.26  | 7.06  | 4.36  | 3.66  | 1.26  | 0.04  | 2.36  | xxxx  |
| -2                | 20.00 | 16.56 | 14.26 | 10.46 | 11.56 | 7.36  | 8.06  | 7.96  | 4.66  | 7.26  | 6.06  | 3.36  | 2.66  | 0.26  | 1.04  | 1.36  | xxxx  |
| -3                | 19.00 | 15.56 | 13.26 | 9.46  | 10.56 | 6.36  | 7.06  | 6.96  | 3.66  | 6.26  | 5.06  | 2.36  | 1.66  | 0.74  | 2.04  | 0.36  | xxxx  |
| -4                | 18.00 | 14.56 | 12.26 | 8.46  | 9.56  | 5.36  | 6.06  | 5.96  | 2.66  | 5.26  | 4.06  | 1.36  | 0.66  | 1.74  | 3.04  | 0.64  | xxxx  |
| -5                | 17.00 | 13.56 | 11.26 | 7.46  | 8.56  | 4.36  | 5.06  | 4.96  | 1.66  | 4.26  | 3.06  | 0.36  | 0.34  | 2.74  | 4.04  | 1.64  | xxxx  |
| -6                | 16.00 | 12.56 | 10.26 | 6.46  | 7.56  | 3.36  | 4.06  | 3.96  | 0.66  | 3.26  | 2.06  | 0.64  | 1.34  | 3.74  | 5.04  | 2.64  | xxxx  |
| -7                | 15.00 | 11.56 | 9.26  | 5.46  | 6.56  | 2.36  | 3.06  | 2.96  | 0.34  | 2.26  | 1.06  | 1.64  | 2.34  | 4.74  | 6.04  | 3.64  | xxxx  |
| -8                | 14.00 | 10.56 | 8.26  | 4.46  | 5.56  | 1.36  | 2.06  | 1.96  | 1.34  | 1.26  | 0.06  | 2.64  | 3.34  | 5.74  | 7.04  | 4.64  | xxxx  |
| -9                | 13.00 | 9.56  | 7.26  | 3.46  | 4.56  | 0.36  | 1.06  | 0.96  | -     | 2.34  | 0.26  | 0.94  | 3.64  | 4.34  | 6.74  | 8.04  | 5.64  |
| -10               | 12.00 | 8.56  | 6.26  | 2.46  | 3.56  | 0.64  | 0.06  | 0.04  | -     | 3.34  | 0.74  | 1.94  | 4.64  | 5.34  | 7.74  | 9.04  | 6.64  |
| -11               | 11.00 | 7.56  | 5.26  | 1.46  | 2.56  | 1.64  | 0.94  | 1.04  | -     | 4.34  | 1.74  | 2.94  | 5.64  | 6.34  | 8.74  | 10.04 | 7.64  |
| -12               | 10.00 | 6.56  | 4.26  | 0.46  | 1.56  | 2.64  | 1.94  | 2.04  | -     | 5.34  | 2.74  | 3.94  | 6.64  | 7.34  | 9.74  | 11.04 | 8.64  |
| -13               | 9.00  | 5.56  | 3.26  | 0.54  | 0.56  | 3.64  | 2.94  | 3.04  | -     | 6.34  | 3.74  | 4.94  | 7.64  | 8.34  | 10.74 | 12.04 | 9.64  |
| -14               | 8.00  | 4.56  | 2.26  | -     | 1.54  | 0.44  | 4.64  | 3.94  | -     | 7.34  | 4.74  | 5.94  | 8.64  | 9.34  | 11.74 | 13.04 | 10.64 |
| -15               | 7.00  | 3.56  | 1.26  | -     | 2.54  | 1.44  | 5.64  | 4.94  | -     | 8.34  | 5.74  | 6.94  | 9.64  | 10.34 | 12.74 | 14.04 | 11.64 |
| -16               | 6.00  | 2.56  | 0.26  | -     | 3.54  | 2.44  | 6.64  | 5.94  | -     | 9.34  | 6.74  | 7.94  | 10.64 | 11.34 | 13.74 | 15.04 | 12.64 |
| -17               | 5.00  | 1.56  | 0.74  | -     | 4.54  | 3.44  | 7.64  | 6.94  | -     | 10.34 | 7.74  | 8.94  | 11.64 | 12.34 | 14.74 | 16.04 | 13.64 |
| -18               | 4.00  | 0.56  | 1.74  | -     | 5.54  | 4.44  | 8.64  | 7.94  | -     | 11.34 | 8.74  | 9.94  | 12.64 | 13.34 | 15.74 | 17.04 | 14.64 |
| -19               | 3.00  | 0.44  | 2.74  | -     | 6.54  | 5.44  | 9.64  | 8.94  | -     | 12.34 | 9.74  | 10.94 | 13.64 | 14.34 | 16.74 | 18.04 | 15.64 |
| -20               | 2.00  | 1.44  | 3.74  | -     | 7.54  | 6.44  | 10.64 | 9.94  | -     | 13.34 | 10.74 | 11.94 | 14.64 | 15.34 | 17.74 | 19.04 | 16.64 |
| -21               | 1.00  | -     | 2.44  | -     | 8.54  | 7.44  | 11.64 | 10.94 | -     | 14.34 | 11.74 | 12.94 | 15.64 | 16.34 | 18.74 | 20.04 | 17.64 |

Proyecto : Estudio al ruido ascendente por impacto

Autor: Gregorio Chacón Leiva

Tutor : Pedro Flores Domínguez-Rodiño

|     |      |   |      |       |       |       |       |       |       |   |       |   |       |   |       |   |       |   |       |   |       |   |       |   |       |      |      |
|-----|------|---|------|-------|-------|-------|-------|-------|-------|---|-------|---|-------|---|-------|---|-------|---|-------|---|-------|---|-------|---|-------|------|------|
| -22 | 0.00 | - | 3.44 | 5.74  | 9.54  | 8.44  | 12.64 | 11.94 | 12.04 | - | 15.34 | - | 12.74 | - | 13.94 | - | 16.64 | - | 17.34 | - | 19.74 | - | 21.04 | - | 18.64 | xxxx | 27.5 |
| -23 | 1.00 | - | 4.44 | 6.74  | 10.54 | 9.44  | 13.64 | 12.94 | 13.04 | - | 16.34 | - | 13.74 | - | 14.94 | - | 17.64 | - | 18.34 | - | 20.74 | - | 22.04 | - | 19.64 | xxxx | 28.5 |
| -24 | 2.00 | - | 5.44 | 7.74  | 11.54 | 10.44 | 14.64 | 13.94 | 14.04 | - | 17.34 | - | 14.74 | - | 15.94 | - | 18.64 | - | 19.34 | - | 21.74 | - | 23.04 | - | 20.64 | xxxx | 29.5 |
| -25 | 3.00 | - | 6.44 | 8.74  | 12.54 | 11.44 | 15.64 | 14.94 | 15.04 | - | 18.34 | - | 15.74 | - | 16.94 | - | 19.64 | - | 20.34 | - | 22.74 | - | 24.04 | - | 21.64 | xxxx | 30.5 |
| -26 | 4.00 | - | 7.44 | 9.74  | 13.54 | 12.44 | 16.64 | 15.94 | 16.04 | - | 19.34 | - | 16.74 | - | 17.94 | - | 20.64 | - | 21.34 | - | 23.74 | - | 25.04 | - | 22.64 | xxxx | 31.5 |
| -27 | 5.00 | - | 8.44 | 10.74 | 14.54 | 13.44 | 17.64 | 16.94 | 17.04 | - | 20.34 | - | 17.74 | - | 18.94 | - | 21.64 | - | 22.34 | - | 24.74 | - | 26.04 | - | 23.64 | xxxx | 32.5 |

L'nTw=51  
dB

Tabla 34.L'nTw de Alfa\_2\_6\_nT

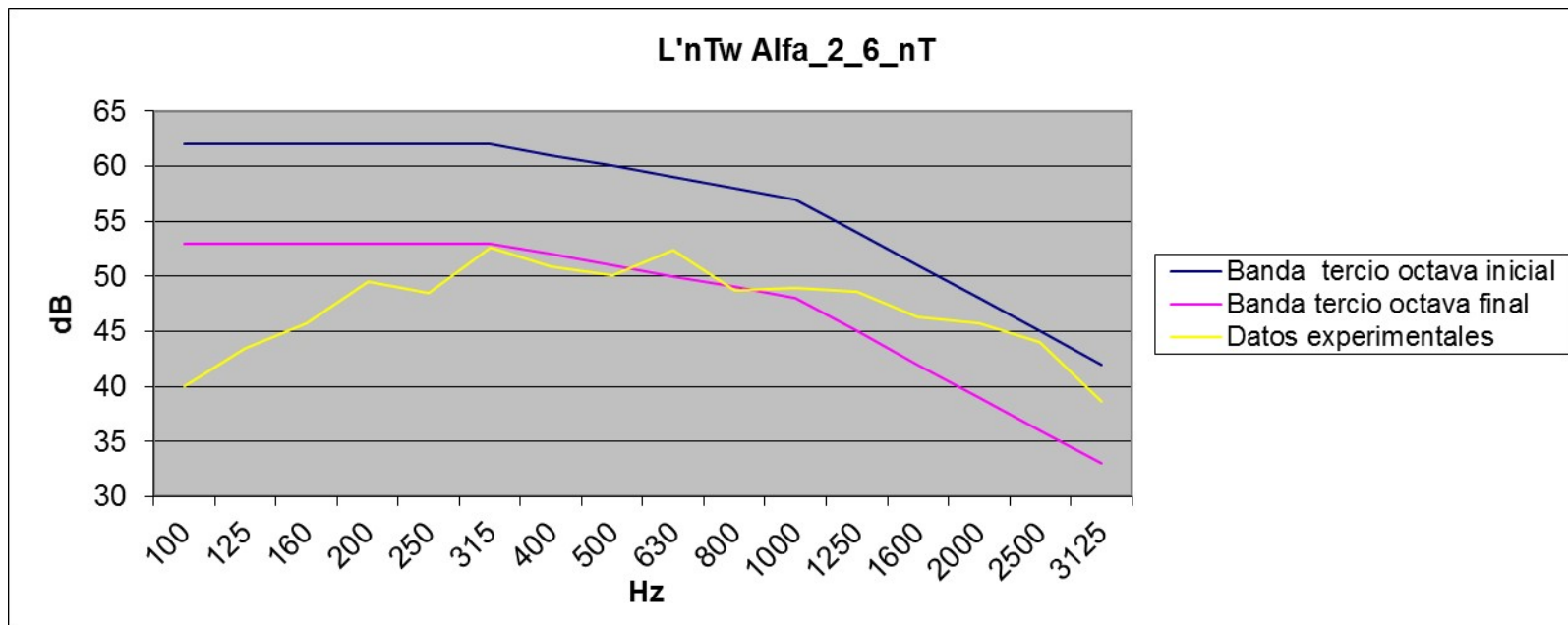


Figura 30. Gráfica L'nTw de Alfa\_2\_6\_nT

Proyecto : Estudio al ruido ascendente por impacto

Autor: Gregorio Chacón Leiva

Tutor : Pedro Flores Domínguez-Rodiño

| Hz                | 100   | 125   | 160   | 200   | 250   | 315   | 400   | 500   | 630   | 800   | 1000  | 1250  | 1600  | 2000  | 2500  | 3125  | 4000            |
|-------------------|-------|-------|-------|-------|-------|-------|-------|-------|-------|-------|-------|-------|-------|-------|-------|-------|-----------------|
| C.R Banda Inicial | 62    | 62    | 62    | 62    | 62    | 62    | 61    | 60    | 59    | 58    | 57    | 54    | 51    | 48    | 45    | 42    | xxxx            |
| C.R Banda final   | 52    | 52    | 52    | 52    | 52    | 52    | 51    | 50    | 49    | 48    | 47    | 44    | 41    | 38    | 35    | 32    |                 |
| Alfa_2_7_nT       | 40.00 | 43.44 | 45.74 | 49.54 | 48.44 | 52.64 | 50.94 | 50.04 | 52.34 | 48.74 | 48.94 | 48.64 | 46.34 | 45.74 | 44.04 | 38.64 | 34.04           |
| 0                 | 22.00 | 18.56 | 16.26 | 12.46 | 13.56 | 9.36  | 10.06 | 9.96  | 6.66  | 9.26  | 8.06  | 5.36  | 4.66  | 2.26  | 0.04  | 3.36  | xxxx 0.0        |
| -1                | 21.00 | 17.56 | 15.26 | 11.46 | 12.56 | 8.36  | 9.06  | 8.96  | 5.66  | 8.26  | 7.06  | 4.36  | 3.66  | 1.26  | 0.04  | 2.36  | xxxx 0.0        |
| -2                | 20.00 | 16.56 | 14.26 | 10.46 | 11.56 | 7.36  | 8.06  | 7.96  | 4.66  | 7.26  | 6.06  | 3.36  | 2.66  | 0.26  | 1.04  | 1.36  | xxxx 1.0        |
| -3                | 19.00 | 15.56 | 13.26 | 9.46  | 10.56 | 6.36  | 7.06  | 6.96  | 3.66  | 6.26  | 5.06  | 2.36  | 1.66  | 0.74  | 2.04  | 0.36  | xxxx 5.7        |
| -4                | 18.00 | 14.56 | 12.26 | 8.46  | 9.56  | 5.36  | 6.06  | 5.96  | 2.66  | 5.26  | 4.06  | 1.36  | 0.66  | 1.74  | 3.04  | 0.64  | xxxx 6.7        |
| -5                | 17.00 | 13.56 | 11.26 | 7.46  | 8.56  | 4.36  | 5.06  | 4.96  | 1.66  | 4.26  | 3.06  | 0.36  | 0.34  | 2.74  | 4.04  | 1.64  | xxxx 8.4        |
| -6                | 16.00 | 12.56 | 10.26 | 6.46  | 7.56  | 3.36  | 4.06  | 3.96  | 0.66  | 3.26  | 2.06  | 0.64  | 1.34  | 3.74  | 5.04  | 2.64  | xxxx 10.0       |
| -7                | 15.00 | 11.56 | 9.26  | 5.46  | 6.56  | 2.36  | 3.06  | 2.96  | 0.34  | 2.26  | 1.06  | 1.64  | 2.34  | 4.74  | 6.04  | 3.64  | xxxx 11.3       |
| -8                | 14.00 | 10.56 | 8.26  | 4.46  | 5.56  | 1.36  | 2.06  | 1.96  | 1.34  | 1.26  | 0.06  | 2.64  | 3.34  | 5.74  | 7.04  | 4.64  | xxxx 12.3       |
| -9                | 13.00 | 9.56  | 7.26  | 3.46  | 4.56  | 0.36  | 1.06  | 0.96  | -     | 0.26  | 0.94  | 3.64  | 4.34  | 6.74  | 8.04  | 5.64  | xxxx 13.9       |
| -10               | 12.00 | 8.56  | 6.26  | 2.46  | 3.56  | 0.64  | 0.06  | 0.04  | 3.34  | 0.74  | 1.94  | 4.64  | 5.34  | 7.74  | 9.04  | 6.64  | xxxx 15.2       |
| -11               | 11.00 | 7.56  | 5.26  | 1.46  | 2.56  | 1.64  | 0.94  | 1.04  | 4.34  | 1.74  | 2.94  | 5.64  | 6.34  | 8.74  | 10.04 | 7.64  | xxxx 16.3       |
| -12               | 10.00 | 6.56  | 4.26  | 0.46  | 1.56  | 2.64  | 1.94  | 2.04  | 5.34  | 2.74  | 3.94  | 6.64  | 7.34  | 9.74  | 11.04 | 8.64  | xxxx 17.3       |
| -13               | 9.00  | 5.56  | 3.26  | 0.54  | 0.56  | 3.64  | 2.94  | 3.04  | 6.34  | 3.74  | 4.94  | 7.64  | 8.34  | 10.74 | 12.04 | 9.64  | xxxx 18.4       |
| -14               | 8.00  | 4.56  | 2.26  | 1.54  | 0.44  | 4.64  | 3.94  | 4.04  | 7.34  | 4.74  | 5.94  | 8.64  | 9.34  | 11.74 | 13.04 | 10.64 | xxxx 19.5       |
| -15               | 7.00  | 3.56  | 1.26  | 2.54  | 1.44  | 5.64  | 4.94  | 5.04  | 8.34  | 5.74  | 6.94  | 9.64  | 10.34 | 12.74 | 14.04 | 11.64 | xxxx 20.5       |
| -16               | 6.00  | 2.56  | 0.26  | 3.54  | 2.44  | 6.64  | 5.94  | 6.04  | 9.34  | 6.74  | 7.94  | 10.64 | 11.34 | 13.74 | 15.04 | 12.64 | xxxx 21.5       |
| -17               | 5.00  | 1.56  | 0.74  | 4.54  | 3.44  | 7.64  | 6.94  | 7.04  | 10.34 | 7.74  | 8.94  | 11.64 | 12.34 | 14.74 | 16.04 | 13.64 | xxxx 22.5       |
| -18               | 4.00  | 0.56  | 1.74  | 5.54  | 4.44  | 8.64  | 7.94  | 8.04  | 11.34 | 8.74  | 9.94  | 12.64 | 13.34 | 15.74 | 17.04 | 14.64 | xxxx 23.5       |
| -19               | 3.00  | 0.44  | 2.74  | 6.54  | 5.44  | 9.64  | 8.94  | 9.04  | 12.34 | 9.74  | 10.94 | 13.64 | 14.34 | 16.74 | 18.04 | 15.64 | xxxx 24.5       |
| -20               | 2.00  | 1.44  | 3.74  | 7.54  | 6.44  | 10.64 | 9.94  | 10.04 | 13.34 | 10.74 | 11.94 | 14.64 | 15.34 | 17.74 | 19.04 | 16.64 | xxxx 25.5       |
| -21               | 1.00  | -     | -     | -     | -     | 11.64 | 10.94 | -     | 14.34 | 11.74 | 12.94 | 15.64 | 16.34 | 18.74 | 20.04 | -     | 17.64 xxxx 26.5 |

Proyecto : Estudio al ruido ascendente por impacto

Autor: Gregorio Chacón Leiva

Tutor : Pedro Flores Domínguez-Rodiño

|     |      |   |      |       |       |       |       |       |       |   |       |       |   |       |   |       |   |       |   |       |   |       |   |       |      |      |
|-----|------|---|------|-------|-------|-------|-------|-------|-------|---|-------|-------|---|-------|---|-------|---|-------|---|-------|---|-------|---|-------|------|------|
| -22 | 0.00 | - | 3.44 | 5.74  | 9.54  | 8.44  | 12.64 | 11.94 | 12.04 | - | 15.34 | 12.74 | - | 13.94 | - | 16.64 | - | 17.34 | - | 19.74 | - | 21.04 | - | 18.64 | xxxx | 27.5 |
| -23 | 1.00 | - | 4.44 | 6.74  | 10.54 | 9.44  | 13.64 | 12.94 | 13.04 | - | 16.34 | 13.74 | - | 14.94 | - | 17.64 | - | 18.34 | - | 20.74 | - | 22.04 | - | 19.64 | xxxx | 28.5 |
| -24 | 2.00 | - | 5.44 | 7.74  | 11.54 | 10.44 | 14.64 | 13.94 | 14.04 | - | 17.34 | 14.74 | - | 15.94 | - | 18.64 | - | 19.34 | - | 21.74 | - | 23.04 | - | 20.64 | xxxx | 29.5 |
| -25 | 3.00 | - | 6.44 | 8.74  | 12.54 | 11.44 | 15.64 | 14.94 | 15.04 | - | 18.34 | 15.74 | - | 16.94 | - | 19.64 | - | 20.34 | - | 22.74 | - | 24.04 | - | 21.64 | xxxx | 30.5 |
| -26 | 4.00 | - | 7.44 | 9.74  | 13.54 | 12.44 | 16.64 | 15.94 | 16.04 | - | 19.34 | 16.74 | - | 17.94 | - | 20.64 | - | 21.34 | - | 23.74 | - | 25.04 | - | 22.64 | xxxx | 31.5 |
| -27 | 5.00 | - | 8.44 | 10.74 | 14.54 | 13.44 | 17.64 | 16.94 | 17.04 | - | 20.34 | 17.74 | - | 18.94 | - | 21.64 | - | 22.34 | - | 24.74 | - | 26.04 | - | 23.64 | xxxx | 32.5 |

L'nTw= 50  
dB

Tabla 35.L'nTw de Alfa\_2\_7\_nT

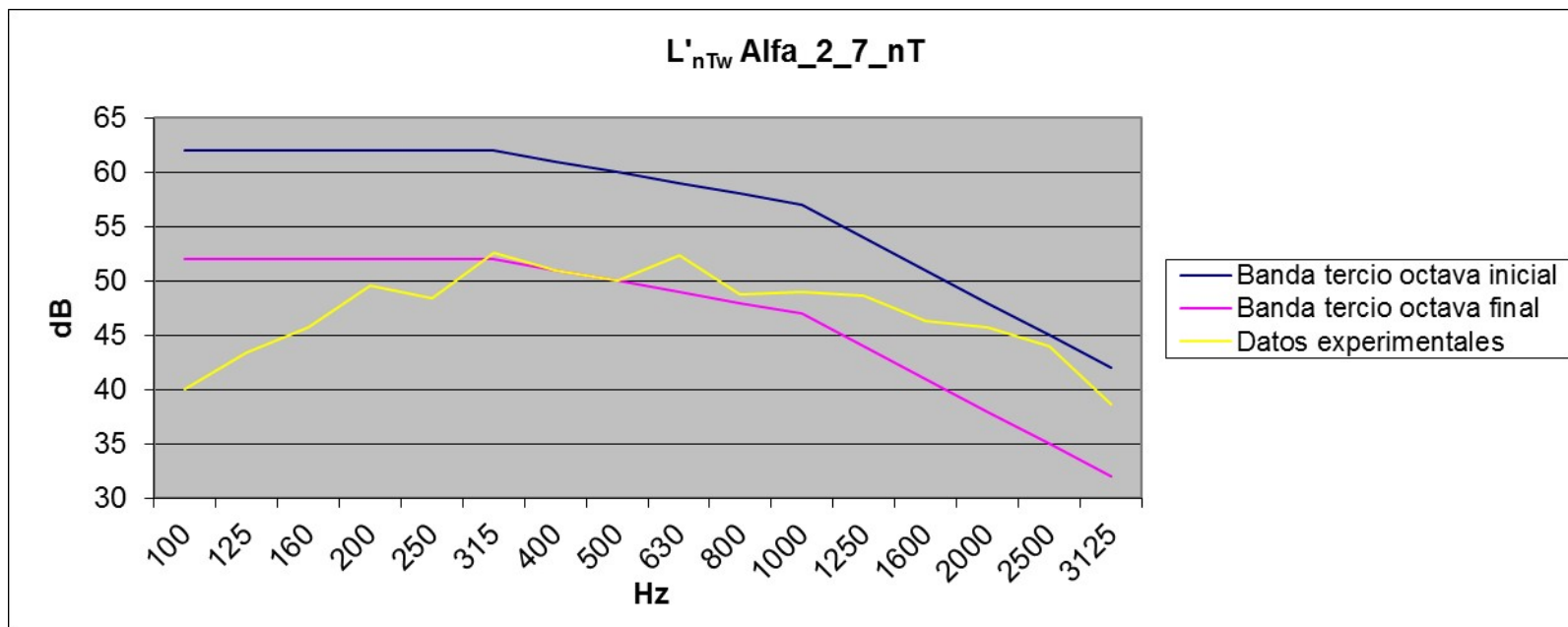


Figura 31.Gráfica L'nTw de Alfa\_2\_7\_n

Proyecto : Estudio al ruido ascendente por impacto

Autor: Gregorio Chacón Leiva

Tutor : Pedro Flores Domínguez-Rodiño

| Hz                | 100   | 125   | 160   | 200   | 250   | 315   | 400   | 500   | 630    | 800   | 1000  | 1250  | 1600  | 2000  | 2500  | 3125  | 4000      |
|-------------------|-------|-------|-------|-------|-------|-------|-------|-------|--------|-------|-------|-------|-------|-------|-------|-------|-----------|
| C.R Banda Inicial | 62    | 62    | 62    | 62    | 62    | 61    | 60    | 59    | 58     | 57    | 54    | 51    | 48    | 45    | 42    | xxxx  |           |
| C.R Banda final   | 52    | 52    | 52    | 52    | 52    | 51    | 50    | 49    | 48     | 47    | 44    | 41    | 38    | 35    | 32    |       |           |
| Alfa 2_8 nT       | 45.00 | 45.74 | 46.54 | 49.54 | 47.74 | 52.74 | 52.14 | 50.24 | 52.74  | 49.04 | 48.54 | 48.24 | 46.54 | 45.74 | 44.14 | 38.94 | 33.94     |
| 0                 | 17.00 | 16.26 | 15.46 | 12.46 | 14.26 | 9.26  | 8.86  | 9.76  | 6.26   | 8.96  | 8.46  | 5.76  | 4.46  | 2.26  | 0.14  | 3.06  | xxxx 0.1  |
| -1                | 16.00 | 15.26 | 14.46 | 11.46 | 13.26 | 8.26  | 7.86  | 8.76  | 5.26   | 7.96  | 7.46  | 4.76  | 3.46  | 1.26  | 0.14  | 2.06  | xxxx 0.1  |
| -2                | 15.00 | 14.26 | 13.46 | 10.46 | 12.26 | 7.26  | 6.86  | 7.76  | 4.26   | 6.96  | 6.46  | 3.76  | 2.46  | 0.26  | 1.14  | 1.06  | xxxx 1.1  |
| -3                | 14.00 | 13.26 | 12.46 | 9.46  | 11.26 | 6.26  | 5.86  | 6.76  | 3.26   | 5.96  | 5.46  | 2.76  | 1.46  | 0.74  | 2.14  | 0.06  | xxxx 5.8  |
| -4                | 13.00 | 12.26 | 11.46 | 8.46  | 10.26 | 5.26  | 4.86  | 5.76  | 2.26   | 4.96  | 4.46  | 1.76  | 0.46  | 1.74  | 3.14  | 0.94  | xxxx 6.8  |
| -5                | 12.00 | 11.26 | 10.46 | 7.46  | 9.26  | 4.26  | 3.86  | 4.76  | 1.26   | 3.96  | 3.46  | 0.76  | 0.54  | 2.74  | 4.14  | 1.94  | xxxx 8.6  |
| -6                | 11.00 | 10.26 | 9.46  | 6.46  | 8.26  | 3.26  | 2.86  | 3.76  | 0.26   | 2.96  | 2.46  | 0.24  | 1.54  | 3.74  | 5.14  | 2.94  | xxxx 10.4 |
| -7                | 10.00 | 9.26  | 8.46  | 5.46  | 7.26  | 2.26  | 1.86  | 2.76  | 0.74   | 1.96  | 1.46  | 1.24  | 2.54  | 4.74  | 6.14  | 3.94  | xxxx 11.4 |
| -8                | 9.00  | 8.26  | 7.46  | 4.46  | 6.26  | 1.26  | 0.86  | 1.76  | 1.74   | 0.96  | 0.46  | 2.24  | 3.54  | 5.74  | 7.14  | 4.94  | xxxx 12.4 |
| -9                | 8.00  | 7.26  | 6.46  | 3.46  | 5.26  | 0.26  | -0.14 | 0.76  | -2.74  | 0.04  | 0.54  | 3.24  | 4.54  | 6.74  | 8.14  | 5.94  | xxxx 14.2 |
| -10               | 7.00  | 6.26  | 5.46  | 2.46  | 4.26  | 0.74  | 1.14  | 0.24  | -3.74  | 1.04  | 1.54  | 4.24  | 5.54  | 7.74  | 9.14  | 6.94  | xxxx 15.3 |
| -11               | 6.00  | 5.26  | 4.46  | 1.46  | 3.26  | 1.74  | 2.14  | 1.24  | -4.74  | 2.04  | 2.54  | 5.24  | 6.54  | 8.74  | 10.14 | 7.94  | xxxx 16.3 |
| -12               | 5.00  | 4.26  | 3.46  | 0.46  | 2.26  | 2.74  | 3.14  | 2.24  | -5.74  | 3.04  | 3.54  | 6.24  | 7.54  | 9.74  | 11.14 | 8.94  | xxxx 17.4 |
| -13               | 4.00  | 3.26  | 2.46  | 0.54  | 1.26  | 3.74  | 4.14  | 3.24  | -6.74  | 4.04  | 4.54  | 7.24  | 8.54  | 10.74 | 12.14 | 9.94  | xxxx 18.5 |
| -14               | 3.00  | 2.26  | 1.46  | 1.54  | 0.26  | 4.74  | 5.14  | 4.24  | -7.74  | 5.04  | 5.54  | 8.24  | 9.54  | 11.74 | 13.14 | 10.94 | xxxx 19.6 |
| -15               | 2.00  | 1.26  | 0.46  | 2.54  | 0.74  | 5.74  | 6.14  | 5.24  | -8.74  | 6.04  | 6.54  | 9.24  | 10.54 | 12.74 | 14.14 | 11.94 | xxxx 20.6 |
| -16               | 1.00  | 0.26  | 0.54  | 3.54  | 1.74  | 6.74  | 7.14  | 6.24  | -9.74  | 7.04  | 7.54  | 10.24 | 11.54 | 13.74 | 15.14 | 12.94 | xxxx 21.6 |
| -17               | 0.00  | 0.74  | 1.54  | 4.54  | 2.74  | 7.74  | 8.14  | 7.24  | -10.74 | 8.04  | 8.54  | 11.24 | 12.54 | 14.74 | 16.14 | 13.94 | xxxx 22.6 |
| -18               | 1.00  | 1.74  | 2.54  | 5.54  | 3.74  | 8.74  | 9.14  | 8.24  | -11.74 | 9.04  | 9.54  | 12.24 | 13.54 | 15.74 | 17.14 | 14.94 | xxxx 23.6 |
| -19               | 2.00  | 2.74  | 3.54  | 6.54  | 4.74  | 9.74  | 10.14 | 9.24  | -12.74 | 10.04 | 10.54 | 13.24 | 14.54 | 16.74 | 18.14 | 15.94 | xxxx 24.6 |
| -20               | 3.00  | 3.74  | 4.54  | 7.54  | 5.74  | 10.74 | 11.14 | 10.24 | -13.74 | 11.04 | 11.54 | 14.24 | 15.54 | 17.74 | 19.14 | 16.94 | xxxx 25.6 |
| -21               | 4.00  | 4.74  | 5.54  | 8.54  | 6.74  | 11.74 | 12.14 | 11.24 | -14.74 | 12.04 | 12.54 | 15.24 | 16.54 | 18.74 | 20.14 | 17.94 | xxxx 26.6 |

Proyecto : Estudio al ruido ascendente por impacto

Autor: Gregorio Chacón Leiva

Tutor : Pedro Flores Domínguez-Rodiño

|     |   |      |      |       |   |       |       |       |       |       |   |       |       |       |       |   |       |       |       |   |       |      |      |
|-----|---|------|------|-------|---|-------|-------|-------|-------|-------|---|-------|-------|-------|-------|---|-------|-------|-------|---|-------|------|------|
| -22 | - | 5.00 | 5.74 | 6.54  | - | 9.54  | 7.74  | 12.74 | 13.14 | 12.24 | - | 15.74 | 13.04 | 13.54 | 16.24 | - | 17.54 | 19.74 | 21.14 | - | 18.94 | xxxx | 27.6 |
| -23 | - | 6.00 | 6.74 | 7.54  | - | 10.54 | 8.74  | 13.74 | 14.14 | 13.24 | - | 16.74 | 14.04 | 14.54 | 17.24 | - | 18.54 | 20.74 | 22.14 | - | 19.94 | xxxx | 28.7 |
| -24 | - | 7.00 | 7.74 | 8.54  | - | 11.54 | 9.74  | 14.74 | 15.14 | 14.24 | - | 17.74 | 15.04 | 15.54 | 18.24 | - | 19.54 | 21.74 | 23.14 | - | 20.94 | xxxx | 29.7 |
| -25 | - | 8.00 | 8.74 | 9.54  | - | 12.54 | 10.74 | 15.74 | 16.14 | 15.24 | - | 18.74 | 16.04 | 16.54 | 19.24 | - | 20.54 | 22.74 | 24.14 | - | 21.94 | xxxx | 30.7 |
| -26 | - | 9.00 | 9.74 | 10.54 | - | 13.54 | 11.74 | 16.74 | 17.14 | 16.24 | - | 19.74 | 17.04 | 17.54 | 20.24 | - | 21.54 | 23.74 | 25.14 | - | 22.94 | xxxx | 31.7 |

L'ntw=51  
dB

Tabla 36.L'ntw de Alfa\_2\_8\_nT

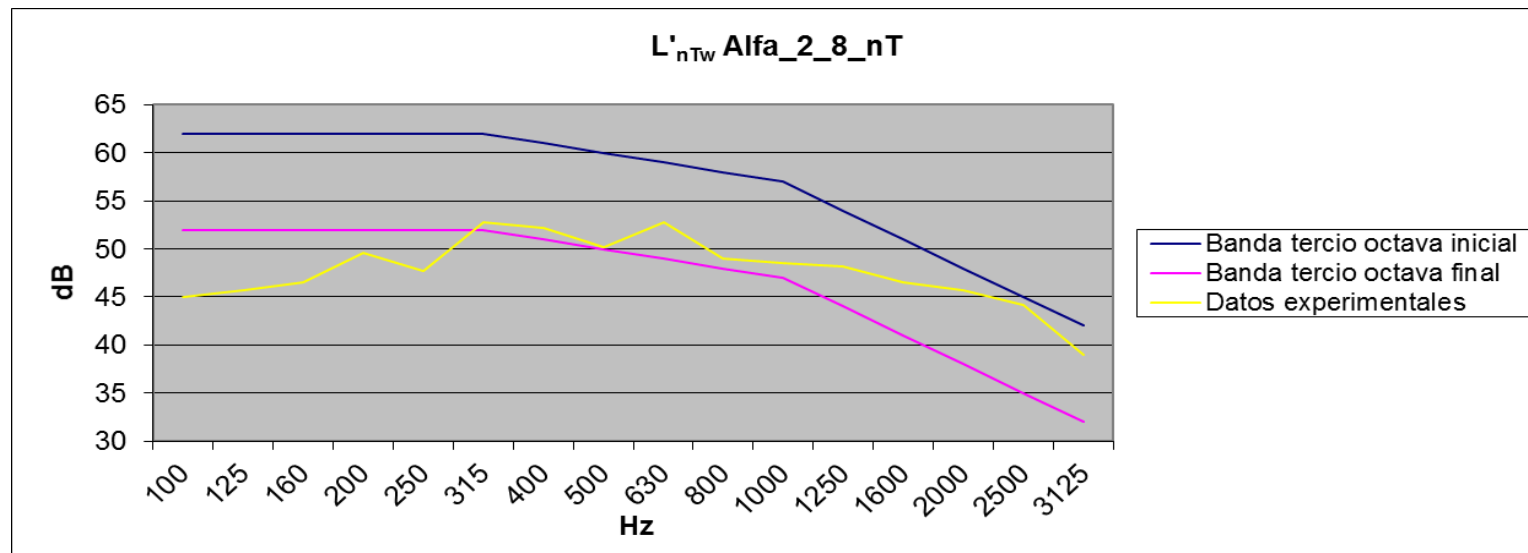


Figura 32.Gráfica L'ntw de Alfa\_2\_8\_nT

Proyecto : Estudio al ruido ascendente por impacto

Autor: Gregorio Chacón Leiva

Tutor : Pedro Flores Domínguez-Rodiño

| Hz                | 100   | 125   | 160  | 200  | 250   | 315   | 400   | 500   | 630   | 800   | 1000  | 1250  | 1600  | 2000  | 2500  | 3125  | 4000      |
|-------------------|-------|-------|------|------|-------|-------|-------|-------|-------|-------|-------|-------|-------|-------|-------|-------|-----------|
| C.R Banda Inicial | 62    | 62    | 62   | 62   | 62    | 62    | 61    | 60    | 59    | 58    | 57    | 54    | 51    | 48    | 45    | 42    | xxxx      |
| C.R Banda final   | 61    | 61    | 61   | 61   | 61    | 61    | 60    | 59    | 58    | 57    | 56    | 53    | 50    | 47    | 44    | 41    |           |
| Alfa_3_1_nT       | 46.0  | 46.8  | 54.2 | 54.7 | 55.4  | 59.4  | 61.1  | 58.7  | 58.5  | 57.8  | 55.7  | 54.1  | 52.8  | 54.8  | 51.7  | 51.8  | 47.2      |
| 0                 | 16.00 | 15.16 | 7.76 | 7.26 | 6.56  | 2.56  | -0.14 | 1.26  | 0.46  | 0.16  | 1.26  | 0.14  | 1.84  | 6.84  | 7.74  | 9.84  | xxxx 13.8 |
| -1                | 15.00 | 14.16 | 6.76 | 6.26 | 5.56  | 1.56  | 1.14  | 0.26  | 0.54  | 0.84  | 0.26  | 1.14  | 2.84  | 7.84  | 7.74  | 10.84 | xxxx 14.9 |
| -2                | 14.00 | 13.16 | 5.76 | 5.26 | 4.56  | 0.56  | 2.14  | 0.74  | 1.54  | 1.84  | 0.74  | 2.14  | 3.84  | 8.84  | 8.74  | 11.84 | xxxx 16.1 |
| -3                | 13.00 | 12.16 | 4.76 | 4.26 | 3.56  | 0.44  | 3.14  | 1.74  | 2.54  | 2.84  | 1.74  | 3.14  | 4.84  | 9.84  | 9.74  | 12.84 | xxxx 17.1 |
| -4                | 12.00 | 11.16 | 3.76 | 3.26 | 2.56  | 1.44  | 4.14  | 2.74  | 3.54  | 3.84  | 2.74  | 4.14  | 5.84  | 10.84 | 10.74 | 13.84 | xxxx 18.1 |
| -5                | 11.00 | 10.16 | 2.76 | 2.26 | 1.56  | 2.44  | 5.14  | 3.74  | 4.54  | 4.84  | 3.74  | 5.14  | 6.84  | 11.84 | 11.74 | 14.84 | xxxx 19.1 |
| -6                | 10.00 | 9.16  | 1.76 | 1.26 | 0.56  | 3.44  | 6.14  | 4.74  | 5.54  | 5.84  | 4.74  | 6.14  | 7.84  | 12.84 | 12.74 | 15.84 | xxxx 20.0 |
| -7                | 9.00  | 8.16  | 0.76 | 0.26 | 0.44  | 4.44  | 7.14  | 5.74  | 6.54  | 6.84  | 5.74  | 7.14  | 8.84  | 13.84 | 13.74 | 16.84 | xxxx 21.1 |
| -8                | 8.00  | 7.16  | 0.24 | 0.74 | 1.44  | 5.44  | 8.14  | 6.74  | 7.54  | 7.84  | 6.74  | 8.14  | 9.84  | 14.84 | 14.74 | 17.84 | xxxx 22.1 |
| -9                | 7.00  | 6.16  | 1.24 | 1.74 | 2.44  | 6.44  | 9.14  | 7.74  | 8.54  | 8.84  | 7.74  | 9.14  | 10.84 | 15.84 | 15.74 | 18.84 | xxxx 23.1 |
| -10               | 6.00  | 5.16  | 2.24 | 2.74 | 3.44  | 7.44  | 10.14 | 8.74  | 9.54  | 9.84  | 8.74  | 10.14 | 11.84 | 16.84 | 16.74 | 19.84 | xxxx 24.1 |
| -11               | 5.00  | 4.16  | 3.24 | 3.74 | 4.44  | 8.44  | 11.14 | 9.74  | 10.54 | 10.84 | 9.74  | 11.14 | 12.84 | 17.84 | 17.74 | 20.84 | xxxx 25.1 |
| -12               | 4.00  | 3.16  | 4.24 | 4.74 | 5.44  | 9.44  | 12.14 | 10.74 | 11.54 | 11.84 | 10.74 | 12.14 | 13.84 | 18.84 | 18.74 | 21.84 | xxxx 26.1 |
| -13               | 3.00  | 2.16  | 5.24 | 5.74 | 6.44  | 10.44 | 13.14 | 11.74 | 12.54 | 12.84 | 11.74 | 13.14 | 14.84 | 19.84 | 19.74 | 22.84 | xxxx 27.1 |
| -14               | 2.00  | 1.16  | 6.24 | 6.74 | 7.44  | 11.44 | 14.14 | 12.74 | 13.54 | 13.84 | 12.74 | 14.14 | 15.84 | 20.84 | 20.74 | 23.84 | xxxx 28.1 |
| -15               | 1.00  | 0.16  | 7.24 | 7.74 | 8.44  | 12.44 | 15.14 | 13.74 | 14.54 | 14.84 | 13.74 | 15.14 | 16.84 | 21.84 | 21.74 | 24.84 | xxxx 29.1 |
| -16               | 0.00  | 0.84  | 8.24 | 8.74 | 9.44  | 13.44 | 16.14 | 14.74 | 15.54 | 15.84 | 14.74 | 16.14 | 17.84 | 22.84 | 22.74 | 25.84 | xxxx 30.1 |
| -17               | 1.00  | 1.84  | 9.24 | 9.74 | 10.44 | 14.44 | 17.14 | 15.74 | 16.54 | 16.84 | 15.74 | 17.14 | 18.84 | 23.84 | 23.74 | 26.84 | xxxx 31.1 |

L'nTw= 59  
dB

Tabla 37. L'nTw de Alfa\_3\_1\_nT

Proyecto : Estudio al ruido ascendente por impacto

Autor: Gregorio Chacón Leiva

Tutor : Pedro Flores Domínguez-Rodiño

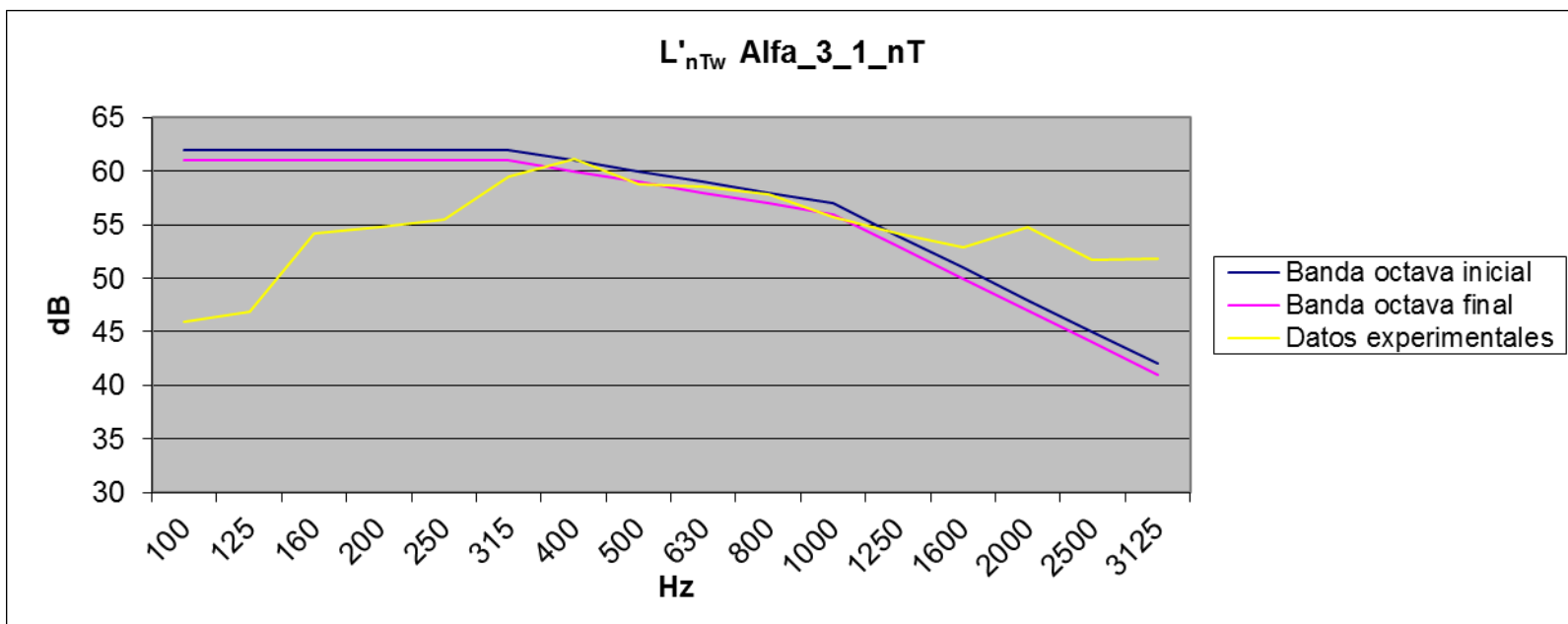


Figura 33. Gráfica L'<sub>nTw</sub> de Alfa\_3\_1\_nT

Proyecto : Estudio al ruido ascendente por impacto

Autor: Gregorio Chacón Leiva

Tutor : Pedro Flores Domínguez-Rodiño

| Hz                | 100   | 125   | 160   | 200  | 250   | 315   | 400   | 500   | 630   | 800   | 1000  | 1250  | 1600  | 2000  | 2500  | 3125  | 4000            |
|-------------------|-------|-------|-------|------|-------|-------|-------|-------|-------|-------|-------|-------|-------|-------|-------|-------|-----------------|
| C.R Banda Inicial | 62    | 62    | 62    | 62   | 62    | 62    | 61    | 60    | 59    | 58    | 57    | 54    | 51    | 48    | 45    | 42    | xxxx            |
| C.R Banda final   | 61    | 61    | 61    | 61   | 61    | 61    | 60    | 59    | 58    | 57    | 56    | 53    | 50    | 47    | 44    | 41    |                 |
| Alfa_3_2_nT       | 50.5  | 50.9  | 51.0  | 53.5 | 54.9  | 60.5  | 60.2  | 58.5  | 59.8  | 57.7  | 55.5  | 54.4  | 52.3  | 54.0  | 51.4  | 50.4  | 46.6            |
| 0                 | 11.50 | 11.06 | 10.96 | 8.46 | 7.06  | 1.46  | 0.76  | 1.46  | 0.84  | 0.26  | 1.46  | 0.44  | 1.34  | 6.04  | 7.44  | 8.44  | xxxx 13.1       |
| -1                | 10.50 | 10.06 | 9.96  | 7.46 | 6.06  | 0.46  | 0.24  | 0.46  | 1.84  | 0.74  | 0.46  | 1.44  | 2.34  | 7.04  | 7.44  | 9.44  | xxxx 14.2       |
| -2                | 9.50  | 9.06  | 8.96  | 6.46 | 5.06  | 0.54  | 1.24  | 0.54  | 2.84  | 1.74  | 0.54  | 2.44  | 3.34  | 8.04  | 8.44  | 10.44 | xxxx 15.6       |
| -3                | 8.50  | 8.06  | 7.96  | 5.46 | 4.06  | 1.54  | 2.24  | 1.54  | 3.84  | 2.74  | 1.54  | 3.44  | 4.34  | 9.04  | 9.44  | 11.44 | xxxx 16.6       |
| -4                | 7.50  | 7.06  | 6.96  | 4.46 | 3.06  | 2.54  | 3.24  | 2.54  | 4.84  | 3.74  | 2.54  | 4.44  | 5.34  | 10.04 | 10.44 | 12.44 | xxxx 17.6       |
| -5                | 6.50  | 6.06  | 5.96  | 3.46 | 2.06  | 3.54  | 4.24  | 3.54  | 5.84  | 4.74  | 3.54  | 5.44  | 6.34  | 11.04 | 11.44 | 13.44 | xxxx 18.6       |
| -6                | 5.50  | 5.06  | 4.96  | 2.46 | 1.06  | 4.54  | 5.24  | 4.54  | 6.84  | 5.74  | 4.54  | 6.44  | 7.34  | 12.04 | 12.44 | 14.44 | xxxx 19.6       |
| -7                | 4.50  | 4.06  | 3.96  | 1.46 | 0.06  | 5.54  | 6.24  | 5.54  | 7.84  | 6.74  | 5.54  | 7.44  | 8.34  | 13.04 | 13.44 | 15.44 | xxxx 20.6       |
| -8                | 3.50  | 3.06  | 2.96  | 0.46 | 0.94  | 6.54  | 7.24  | 6.54  | 8.84  | 7.74  | 6.54  | 8.44  | 9.34  | 14.04 | 14.44 | 16.44 | xxxx 21.7       |
| -9                | 2.50  | 2.06  | 1.96  | -    | 0.54  | 1.94  | 7.54  | 8.24  | 7.54  | 9.84  | 8.74  | 7.54  | 9.44  | 10.34 | 15.04 | 15.44 | 17.44 xxxx 22.7 |
| -10               | 1.50  | 1.06  | 0.96  | 1.54 | 2.94  | 8.54  | 9.24  | 8.54  | 10.84 | 9.74  | 8.54  | 10.44 | 11.34 | 16.04 | 16.44 | 18.44 | xxxx 23.7       |
| -11               | 0.50  | 0.06  | 0.04  | 2.54 | 3.94  | 9.54  | 10.24 | 9.54  | 11.84 | 10.74 | 9.54  | 11.44 | 12.34 | 17.04 | 17.44 | 19.44 | xxxx 24.7       |
| -12               | 0.50  | 0.94  | 1.04  | 3.54 | 4.94  | 10.54 | 11.24 | 10.54 | 12.84 | 11.74 | 10.54 | 12.44 | 13.34 | 18.04 | 18.44 | 20.44 | xxxx 25.7       |
| -13               | 1.50  | 1.94  | 2.04  | 4.54 | 5.94  | 11.54 | 12.24 | 11.54 | 13.84 | 12.74 | 11.54 | 13.44 | 14.34 | 19.04 | 19.44 | 21.44 | xxxx 26.7       |
| -14               | 2.50  | 2.94  | 3.04  | 5.54 | 6.94  | 12.54 | 13.24 | 12.54 | 14.84 | 13.74 | 12.54 | 14.44 | 15.34 | 20.04 | 20.44 | 22.44 | xxxx 27.7       |
| -15               | 3.50  | 3.94  | 4.04  | 6.54 | 7.94  | 13.54 | 14.24 | 13.54 | 15.84 | 14.74 | 13.54 | 15.44 | 16.34 | 21.04 | 21.44 | 23.44 | xxxx 28.7       |
| -16               | 4.50  | 4.94  | 5.04  | 7.54 | 8.94  | 14.54 | 15.24 | 14.54 | 16.84 | 15.74 | 14.54 | 16.44 | 17.34 | 22.04 | 22.44 | 24.44 | xxxx 29.7       |
| -17               | 5.50  | 5.94  | 6.04  | 8.54 | 9.94  | 15.54 | 16.24 | 15.54 | 17.84 | 16.74 | 15.54 | 17.44 | 18.34 | 23.04 | 23.44 | 25.44 | xxxx 30.7       |
| -18               | 6.50  | 6.94  | 7.04  | 9.54 | 10.94 | 16.54 | 17.24 | 16.54 | 18.84 | 17.74 | 16.54 | 18.44 | 19.34 | 24.04 | 24.44 | 26.44 | xxxx 31.7       |

L'nTw= 59  
dB

Tabla 38.L'nTw de Alfa\_3\_2\_nT

Proyecto : Estudio al ruido ascendente por impacto

Autor: Gregorio Chacón Leiva

Tutor : Pedro Flores Domínguez-Rodiño

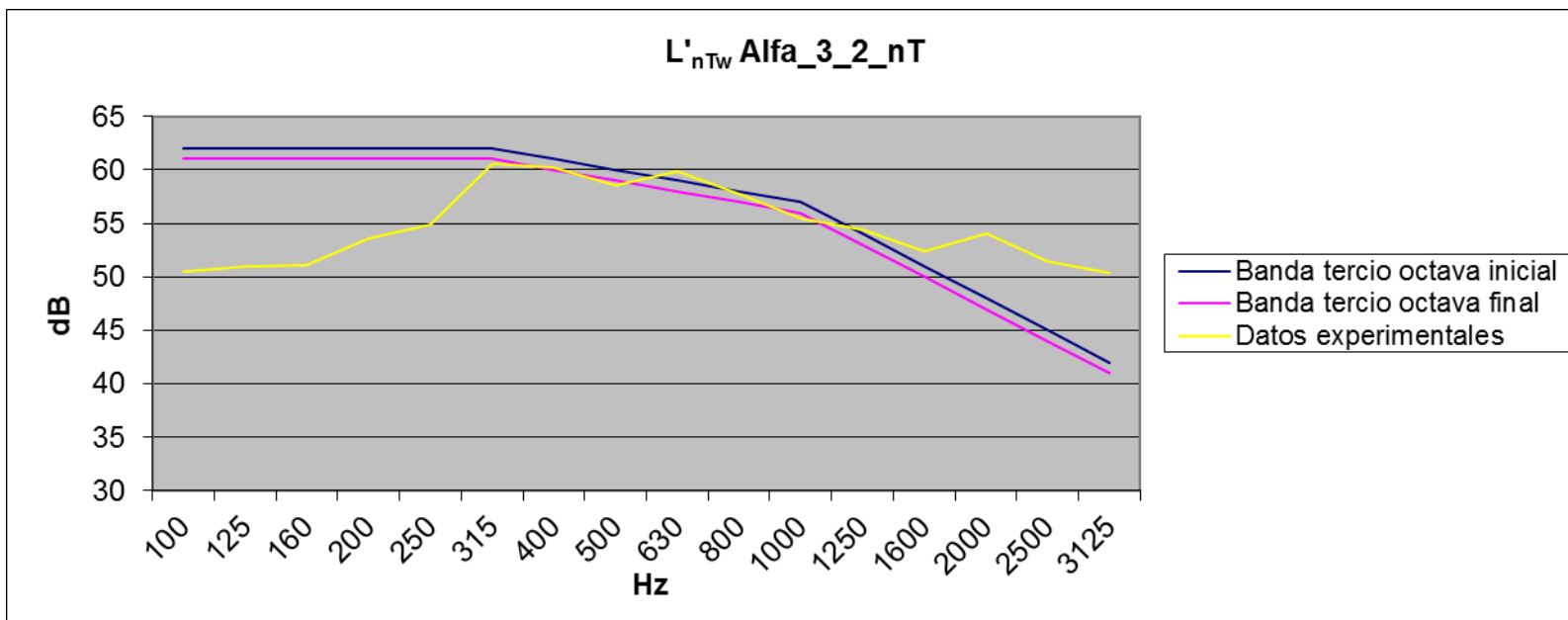


Figura 34. Gráfica L'<sub>nTw</sub> de Alfa\_3\_2\_nT

Proyecto : Estudio al ruido ascendente por impacto

Autor: Gregorio Chacón Leiva

Tutor : Pedro Flores Domínguez-Rodiño

| Hz                | 100   | 125   | 160   | 200  | 250   | 315   | 400   | 500   | 630   | 800   | 1000  | 1250  | 1600  | 2000  | 2500  | 3125  | 4000      |
|-------------------|-------|-------|-------|------|-------|-------|-------|-------|-------|-------|-------|-------|-------|-------|-------|-------|-----------|
| C.R Banda Inicial | 62    | 62    | 62    | 62   | 62    | 62    | 61    | 60    | 59    | 58    | 57    | 54    | 51    | 48    | 45    | 42    | xxxx      |
| C.R Banda final   | 60.0  | 60.0  | 60.0  | 60.0 | 60.0  | 60.0  | 59.0  | 58.0  | 57.0  | 56.0  | 55.0  | 52.0  | 49.0  | 46.0  | 43.0  | 40.0  |           |
| Alfa 3_3 nT       | 52.0  | 51.8  | 51.5  | 53.1 | 55.5  | 62.3  | 60.2  | 58.5  | 59.4  | 57.8  | 55.5  | 54.1  | 52.0  | 53.0  | 51.3  | 49.7  | 45.8      |
| 0                 | 10.00 | 10.16 | 10.46 | 8.86 | 6.46  | 0.34  | 0.76  | 1.46  | 0.44  | 0.16  | 1.46  | 0.14  | 1.04  | 5.04  | 7.34  | 7.74  | xxxx 12.5 |
| -1                | 9.00  | 9.16  | 9.46  | 7.86 | 5.46  | 1.34  | 0.24  | 0.46  | 1.44  | 0.84  | 0.46  | 1.14  | 2.04  | 6.04  | 7.34  | 8.74  | xxxx 14.0 |
| -2                | 8.00  | 8.16  | 8.46  | 6.86 | 4.46  | 2.34  | 1.24  | 0.54  | 2.44  | 1.84  | 0.54  | 2.14  | 3.04  | 7.04  | 8.34  | 9.74  | xxxx 15.3 |
| -3                | 7.00  | 7.16  | 7.46  | 5.86 | 3.46  | 3.34  | 2.24  | 1.54  | 3.44  | 2.84  | 1.54  | 3.14  | 4.04  | 8.04  | 9.34  | 10.74 | xxxx 16.3 |
| -4                | 6.00  | 6.16  | 6.46  | 4.86 | 2.46  | 4.34  | 3.24  | 2.54  | 4.44  | 3.84  | 2.54  | 4.14  | 5.04  | 9.04  | 10.34 | 11.74 | xxxx 17.3 |
| -5                | 5.00  | 5.16  | 5.46  | 3.86 | 1.46  | 5.34  | 4.24  | 3.54  | 5.44  | 4.84  | 3.54  | 5.14  | 6.04  | 10.04 | 11.34 | 12.74 | xxxx 18.3 |
| -6                | 4.00  | 4.16  | 4.46  | 2.86 | 0.46  | 6.34  | 5.24  | 4.54  | 6.44  | 5.84  | 4.54  | 6.14  | 7.04  | 11.04 | 12.34 | 13.74 | xxxx 19.3 |
| -7                | 3.00  | 3.16  | 3.46  | 1.86 | 0.54  | 7.34  | 6.24  | 5.54  | 7.44  | 6.84  | 5.54  | 7.14  | 8.04  | 12.04 | 13.34 | 14.74 | xxxx 20.3 |
| -8                | 2.00  | 2.16  | 2.46  | 0.86 | 1.54  | 8.34  | 7.24  | 6.54  | 8.44  | 7.84  | 6.54  | 8.14  | 9.04  | 13.04 | 14.34 | 15.74 | xxxx 21.3 |
| -9                | 1.00  | 1.16  | 1.46  | 0.14 | 2.54  | 9.34  | 8.24  | 7.54  | 9.44  | 8.84  | 7.54  | 9.14  | 10.04 | 14.04 | 15.34 | 16.74 | xxxx 22.3 |
| -10               | 0.00  | 0.16  | 0.46  | 1.14 | 3.54  | 10.34 | 9.24  | 8.54  | 10.44 | 9.84  | 8.54  | 10.14 | 11.04 | 15.04 | 16.34 | 17.74 | xxxx 23.3 |
| -11               | 1.00  | 0.84  | 0.54  | 2.14 | 4.54  | 11.34 | 10.24 | 9.54  | 11.44 | 10.84 | 9.54  | 11.14 | 12.04 | 16.04 | 17.34 | 18.74 | xxxx 24.4 |
| -12               | 2.00  | 1.84  | 1.54  | 3.14 | 5.54  | 12.34 | 11.24 | 10.54 | 12.44 | 11.84 | 10.54 | 12.14 | 13.04 | 17.04 | 18.34 | 19.74 | xxxx 25.4 |
| -13               | 3.00  | 2.84  | 2.54  | 4.14 | 6.54  | 13.34 | 12.24 | 11.54 | 13.44 | 12.84 | 11.54 | 13.14 | 14.04 | 18.04 | 19.34 | 20.74 | xxxx 26.4 |
| -14               | 4.00  | 3.84  | 3.54  | 5.14 | 7.54  | 14.34 | 13.24 | 12.54 | 14.44 | 13.84 | 12.54 | 14.14 | 15.04 | 19.04 | 20.34 | 21.74 | xxxx 27.4 |
| -15               | 5.00  | 4.84  | 4.54  | 6.14 | 8.54  | 15.34 | 14.24 | 13.54 | 15.44 | 14.84 | 13.54 | 15.14 | 16.04 | 20.04 | 21.34 | 22.74 | xxxx 28.4 |
| -16               | 6.00  | 5.84  | 5.54  | 7.14 | 9.54  | 16.34 | 15.24 | 14.54 | 16.44 | 15.84 | 14.54 | 16.14 | 17.04 | 21.04 | 22.34 | 23.74 | xxxx 29.4 |
| -17               | 7.00  | 6.84  | 6.54  | 8.14 | 10.54 | 17.34 | 16.24 | 15.54 | 17.44 | 16.84 | 15.54 | 17.14 | 18.04 | 22.04 | 23.34 | 24.74 | xxxx 30.4 |
| -18               | 8.00  | 7.84  | 7.54  | 9.14 | 11.54 | 18.34 | 17.24 | 16.54 | 18.44 | 17.84 | 16.54 | 18.14 | 19.04 | 23.04 | 24.34 | 25.74 | xxxx 31.4 |

L'nTw= 59  
dB

Proyecto : Estudio al ruido ascendente por impacto

Autor: Gregorio Chacón Leiva

Tutor : Pedro Flores Domínguez-Rodiño

Tabla 39. $L'_{nTw}$  de Alfa\_3\_3\_nT

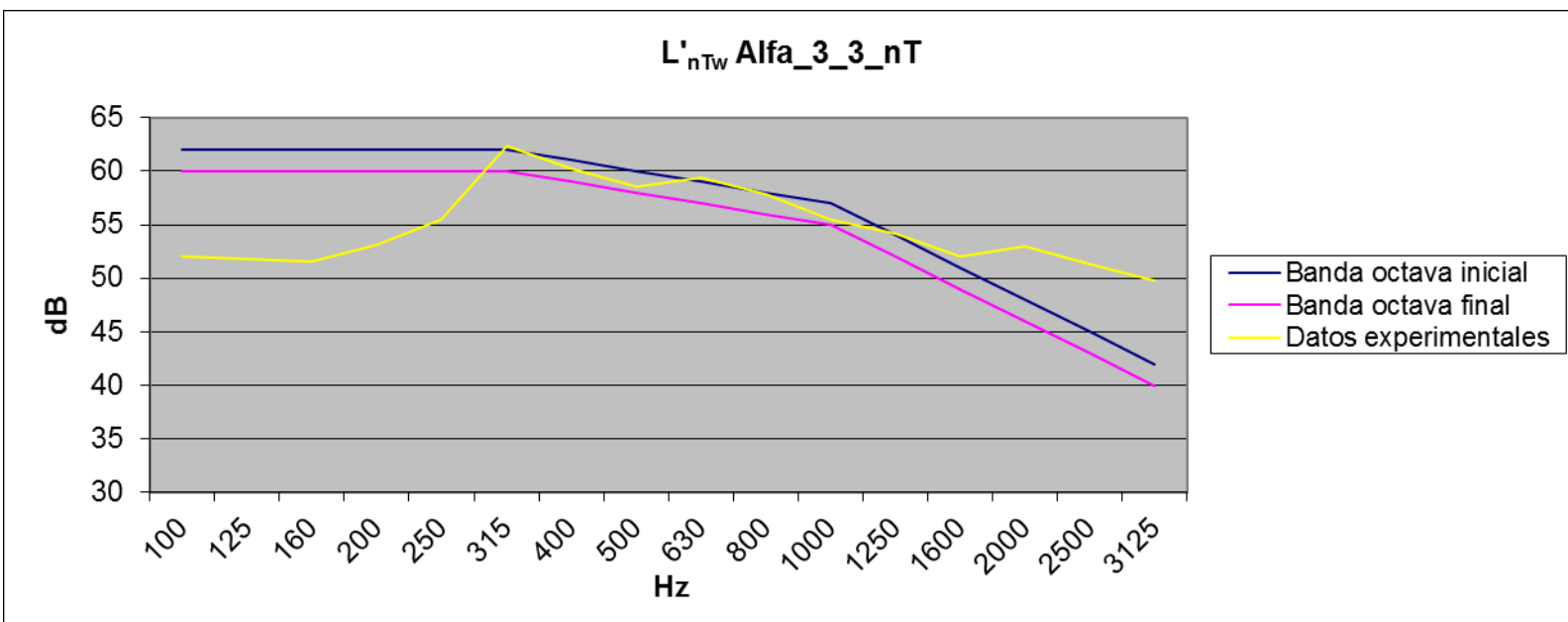


Figura 34.Gráfica  $L'_{nTw}$  de Alfa\_3\_3\_nT

Proyecto : Estudio al ruido ascendente por impacto

Autor: Gregorio Chacón Leiva

Tutor : Pedro Flores Domínguez-Rodiño

| Hz                | 100   | 125   | 160   | 200   | 250   | 315   | 400   | 500   | 630   | 800   | 1000  | 1250  | 1600  | 2000  | 2500  | 3125  | 4000      |
|-------------------|-------|-------|-------|-------|-------|-------|-------|-------|-------|-------|-------|-------|-------|-------|-------|-------|-----------|
| C.R Banda Inicial | 62    | 62    | 62    | 62    | 62    | 62    | 61    | 60    | 59    | 58    | 57    | 54    | 51    | 48    | 45    | 42    | xxxx      |
| C.R Banda final   | 61    | 61    | 61    | 61    | 61    | 61    | 60    | 59    | 58    | 57    | 56    | 53    | 50    | 47    | 44    | 41    |           |
| Alfa 3_4 nT       | 50.0  | 51.3  | 54.5  | 54.0  | 57.3  | 60.4  | 59.5  | 58.3  | 59.2  | 57.8  | 55.2  | 53.6  | 51.6  | 52.4  | 51.0  | 49.2  | 45.3      |
| 0                 | 12.00 | 10.66 | 7.46  | 7.96  | 4.66  | 1.56  | 1.46  | 1.66  | 0.24  | 0.16  | 1.76  | 0.36  | 0.64  | 4.44  | 7.04  | 7.24  | xxxx 11.9 |
| -1                | 11.00 | 9.66  | 6.46  | 6.96  | 3.66  | 0.56  | 0.46  | 0.66  | 1.24  | 0.84  | 0.76  | 0.64  | 1.64  | 5.44  | 7.04  | 8.24  | xxxx 13.1 |
| -2                | 10.00 | 8.66  | 5.46  | 5.96  | 2.66  | 0.44  | 0.54  | 0.34  | 2.24  | 1.84  | 0.24  | 1.64  | 2.64  | 6.44  | 8.04  | 9.24  | xxxx 14.8 |
| -3                | 9.00  | 7.66  | 4.46  | 4.96  | 1.66  | 1.44  | 1.54  | 1.34  | 3.24  | 2.84  | 1.24  | 2.64  | 3.64  | 7.44  | 9.04  | 10.24 | xxxx 15.8 |
| -4                | 8.00  | 6.66  | 3.46  | 3.96  | 0.66  | 2.44  | 2.54  | 2.34  | 4.24  | 3.84  | 2.24  | 3.64  | 4.64  | 8.44  | 10.04 | 11.24 | xxxx 16.8 |
| -5                | 7.00  | 5.66  | 2.46  | 2.96  | 0.34  | 3.44  | 3.54  | 3.34  | 5.24  | 4.84  | 3.24  | 4.64  | 5.64  | 9.44  | 11.04 | 12.24 | xxxx 17.9 |
| -6                | 6.00  | 4.66  | 1.46  | 1.96  | 1.34  | 4.44  | 4.54  | 4.34  | 6.24  | 5.84  | 4.24  | 5.64  | 6.64  | 10.44 | 12.04 | 13.24 | xxxx 18.9 |
| -7                | 5.00  | 3.66  | 0.46  | 0.96  | 2.34  | 5.44  | 5.54  | 5.34  | 7.24  | 6.84  | 5.24  | 6.64  | 7.64  | 11.44 | 13.04 | 14.24 | xxxx 19.9 |
| -8                | 4.00  | 2.66  | 0.54  | 0.04  | 3.34  | 6.44  | 6.54  | 6.34  | 8.24  | 7.84  | 6.24  | 7.64  | 8.64  | 12.44 | 14.04 | 15.24 | xxxx 20.9 |
| -9                | 3.00  | 1.66  | 1.54  | 1.04  | 4.34  | 7.44  | 7.54  | 7.34  | 9.24  | 8.84  | 7.24  | 8.64  | 9.64  | 13.44 | 15.04 | 16.24 | xxxx 21.9 |
| -10               | 2.00  | 0.66  | 2.54  | 2.04  | 5.34  | 8.44  | 8.54  | 8.34  | 10.24 | 9.84  | 8.24  | 9.64  | 10.64 | 14.44 | 16.04 | 17.24 | xxxx 22.9 |
| -11               | 1.00  | 0.34  | 3.54  | 3.04  | 6.34  | 9.44  | 9.54  | 9.34  | 11.24 | 10.84 | 9.24  | 10.64 | 11.64 | 15.44 | 17.04 | 18.24 | xxxx 23.9 |
| -12               | 0.00  | 1.34  | 4.54  | 4.04  | 7.34  | 10.44 | 10.54 | 10.34 | 12.24 | 11.84 | 10.24 | 11.64 | 12.64 | 16.44 | 18.04 | 19.24 | xxxx 24.9 |
| -13               | 1.00  | 2.34  | 5.54  | 5.04  | 8.34  | 11.44 | 11.54 | 11.34 | 13.24 | 12.84 | 11.24 | 12.64 | 13.64 | 17.44 | 19.04 | 20.24 | xxxx 26.0 |
| -14               | 2.00  | 3.34  | 6.54  | 6.04  | 9.34  | 12.44 | 12.54 | 12.34 | 14.24 | 13.84 | 12.24 | 13.64 | 14.64 | 18.44 | 20.04 | 21.24 | xxxx 27.0 |
| -15               | 3.00  | 4.34  | 7.54  | 7.04  | 10.34 | 13.44 | 13.54 | 13.34 | 15.24 | 14.84 | 13.24 | 14.64 | 15.64 | 19.44 | 21.04 | 22.24 | xxxx 28.0 |
| -16               | 4.00  | 5.34  | 8.54  | 8.04  | 11.34 | 14.44 | 14.54 | 14.34 | 16.24 | 15.84 | 14.24 | 15.64 | 16.64 | 20.44 | 22.04 | 23.24 | xxxx 29.0 |
| -17               | 5.00  | 6.34  | 9.54  | 9.04  | 12.34 | 15.44 | 15.54 | 15.34 | 17.24 | 16.84 | 15.24 | 16.64 | 17.64 | 21.44 | 23.04 | 24.24 | xxxx 30.0 |
| -18               | 6.00  | 7.34  | 10.54 | 10.04 | 13.34 | 16.44 | 16.54 | 16.34 | 18.24 | 17.84 | 16.24 | 17.64 | 18.64 | 22.44 | 24.04 | 25.24 | xxxx 31.0 |
| -19               | 7.00  | 8.34  | 11.54 | 11.04 | 14.34 | 17.44 | 17.54 | 17.34 | 19.24 | 18.84 | 17.24 | 18.64 | 19.64 | 23.44 | 25.04 | 26.24 | xxxx 32.0 |

L'nTw= 56  
dB

Proyecto : Estudio al ruido ascendente por impacto

Autor: Gregorio Chacón Leiva

Tutor : Pedro Flores Domínguez-Rodríguez

Tabla 40. $L'_{nTw}$  de Alfa\_3\_4\_nT

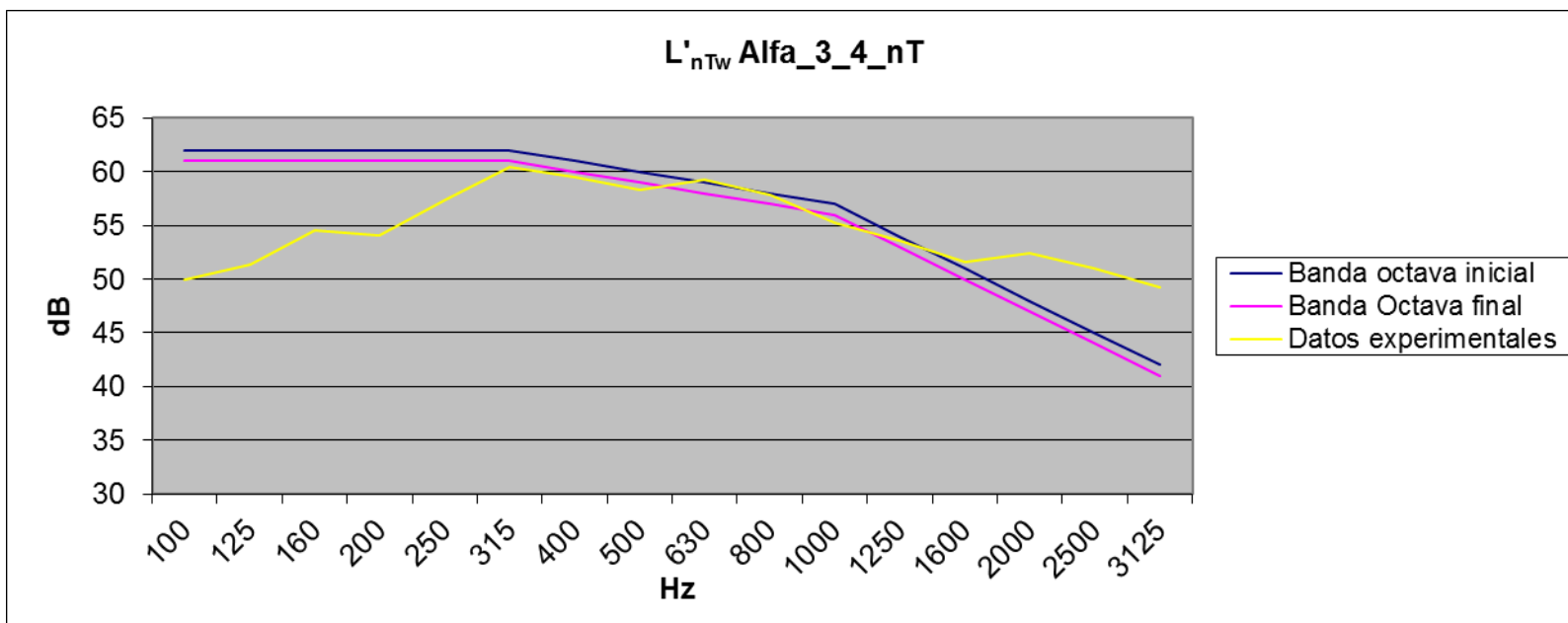


Figura 35.Gráfica  $L'_{nTw}$  de Alfa\_3\_4\_nT

Proyecto : Estudio al ruido ascendente por impacto

Autor: Gregorio Chacón Leiva

Tutor : Pedro Flores Domínguez-Rodiño

| Hz                | 100   | 125   | 160  | 200   | 250   | 315   | 400   | 500   | 630   | 800   | 1000  | 1250  | 1600  | 2000  | 2500  | 3125  | 4000      |
|-------------------|-------|-------|------|-------|-------|-------|-------|-------|-------|-------|-------|-------|-------|-------|-------|-------|-----------|
| C.R Banda Inicial | 62    | 62    | 62   | 62    | 62    | 61    | 60    | 59    | 58    | 57    | 54    | 51    | 48    | 45    | 42    | xxxx  |           |
| C.R Banda final   | 58    | 58    | 58   | 58    | 58    | 57    | 56    | 55    | 54    | 53    | 50    | 47    | 44    | 41    | 38    |       |           |
| Alfa_3_5_nT       | 48.0  | 49.5  | 53.8 | 54.3  | 58.2  | 61.4  | 59.0  | 57.8  | 58.4  | 57.4  | 55.2  | 53.9  | 51.4  | 52.3  | 50.7  | 49.1  | 45.2      |
| 0                 | 14.00 | 12.46 | 8.16 | 7.66  | 3.76  | 0.56  | 1.96  | 2.16  | 0.56  | 0.56  | 1.76  | 0.06  | 0.44  | 4.34  | 6.74  | 7.14  | xxxx 12.7 |
| -1                | 13.00 | 11.46 | 7.16 | 6.66  | 2.76  | 0.44  | 0.96  | 1.16  | 0.44  | 0.44  | 0.76  | 0.94  | 1.44  | 5.34  | 6.74  | 8.14  | xxxx 14.0 |
| -2                | 12.00 | 10.46 | 6.16 | 5.66  | 1.76  | 1.44  | 0.04  | 0.16  | 1.44  | 1.44  | 0.24  | 1.94  | 2.44  | 6.34  | 7.74  | 9.14  | xxxx 15.4 |
| -3                | 11.00 | 9.46  | 5.16 | 4.66  | 0.76  | 2.44  | 1.04  | 0.84  | 2.44  | 2.44  | 1.24  | 2.94  | 3.44  | 7.34  | 8.74  | 10.14 | xxxx 16.3 |
| -4                | 10.00 | 8.46  | 4.16 | 3.66  | 0.24  | 3.44  | 2.04  | 1.84  | 3.44  | 3.44  | 2.24  | 3.94  | 4.44  | 8.34  | 9.74  | 11.14 | xxxx 17.4 |
| -5                | 9.00  | 7.46  | 3.16 | 2.66  | 1.24  | 4.44  | 3.04  | 2.84  | 4.44  | 4.44  | 3.24  | 4.94  | 5.44  | 9.34  | 10.74 | 12.14 | xxxx 18.3 |
| -6                | 8.00  | 6.46  | 2.16 | 1.66  | 2.24  | 5.44  | 4.04  | 3.84  | 5.44  | 5.44  | 4.24  | 5.94  | 6.44  | 10.34 | 11.74 | 13.14 | xxxx 19.3 |
| -7                | 7.00  | 5.46  | 1.16 | 0.66  | 3.24  | 6.44  | 5.04  | 4.84  | 6.44  | 6.44  | 5.24  | 6.94  | 7.44  | 11.34 | 12.74 | 14.14 | xxxx 20.3 |
| -8                | 6.00  | 4.46  | 0.16 | 0.34  | 4.24  | 7.44  | 6.04  | 5.84  | 7.44  | 7.44  | 6.24  | 7.94  | 8.44  | 12.34 | 13.74 | 15.14 | xxxx 21.1 |
| -9                | 5.00  | 3.46  | 0.84 | 1.34  | 5.24  | 8.44  | 7.04  | 6.84  | 8.44  | 8.44  | 7.24  | 8.94  | 9.44  | 13.34 | 14.74 | 16.14 | xxxx 22.1 |
| -10               | 4.00  | 2.46  | 1.84 | 2.34  | 6.24  | 9.44  | 8.04  | 7.84  | 9.44  | 9.44  | 8.24  | 9.94  | 10.44 | 14.34 | 15.74 | 17.14 | xxxx 23.1 |
| -11               | 3.00  | 1.46  | 2.84 | 3.34  | 7.24  | 10.44 | 9.04  | 8.84  | 10.44 | 10.44 | 9.24  | 10.94 | 11.44 | 15.34 | 16.74 | 18.14 | xxxx 24.1 |
| -12               | 2.00  | 0.46  | 3.84 | 4.34  | 8.24  | 11.44 | 10.04 | 9.84  | 11.44 | 11.44 | 10.24 | 11.94 | 12.44 | 16.34 | 17.74 | 19.14 | xxxx 25.1 |
| -13               | 1.00  | 0.54  | 4.84 | 5.34  | 9.24  | 12.44 | 11.04 | 10.84 | 12.44 | 12.44 | 11.24 | 12.94 | 13.44 | 17.34 | 18.74 | 20.14 | xxxx 26.1 |
| -14               | 0.00  | 1.54  | 5.84 | 6.34  | 10.24 | 13.44 | 12.04 | 11.84 | 13.44 | 13.44 | 12.24 | 13.94 | 14.44 | 18.34 | 19.74 | 21.14 | xxxx 27.1 |
| -15               | 1.00  | 2.54  | 6.84 | 7.34  | 11.24 | 14.44 | 13.04 | 12.84 | 14.44 | 14.44 | 13.24 | 14.94 | 15.44 | 19.34 | 20.74 | 22.14 | xxxx 28.1 |
| -16               | 2.00  | 3.54  | 7.84 | 8.34  | 12.24 | 15.44 | 14.04 | 13.84 | 15.44 | 15.44 | 14.24 | 15.94 | 16.44 | 20.34 | 21.74 | 23.14 | xxxx 29.1 |
| -17               | 3.00  | 4.54  | 8.84 | 9.34  | 13.24 | 16.44 | 15.04 | 14.84 | 16.44 | 16.44 | 15.24 | 16.94 | 17.44 | 21.34 | 22.74 | 24.14 | xxxx 30.1 |
| -18               | 4.00  | 5.54  | 9.84 | 10.34 | 14.24 | 17.44 | 16.04 | 15.84 | 17.44 | 17.44 | 16.24 | 17.94 | 18.44 | 22.34 | 23.74 | 25.14 | xxxx 31.1 |

L'nTw= 56  
dB

Tabla 41.L'nTw de Alfa\_3\_5\_nT

Proyecto : Estudio al ruido ascendente por impacto

Autor: Gregorio Chacón Leiva

Tutor : Pedro Flores Domínguez-Rodiño

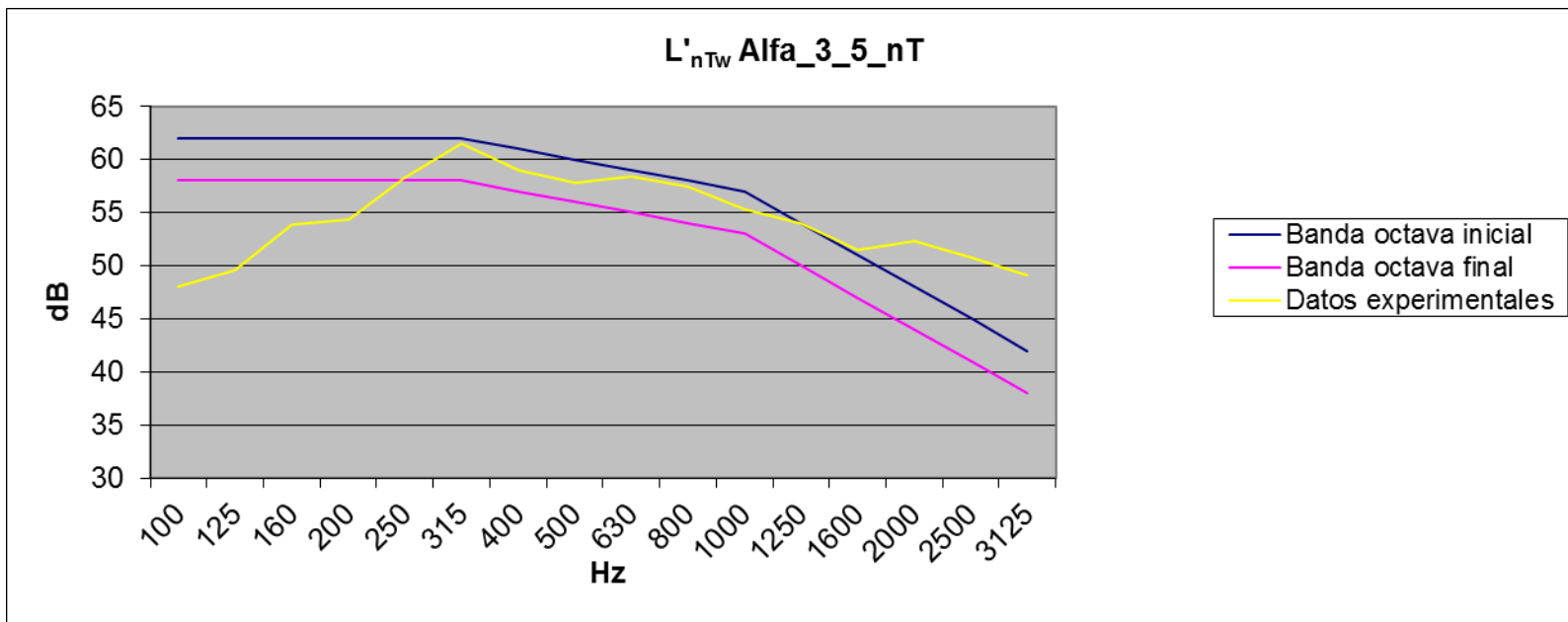


Figura 36.Gráfica L'ₙₜ₮ de Alfa\_3\_5\_nT

Proyecto : Estudio al ruido ascendente por impacto

Autor: Gregorio Chacón Leiva

Tutor : Pedro Flores Domínguez-Rodiño

| Hz                | 100   | 125   | 160   | 200   | 250   | 315   | 400   | 500   | 630   | 800   | 1000  | 1250  | 1600  | 2000  | 2500  | 3125  | 4000      |           |
|-------------------|-------|-------|-------|-------|-------|-------|-------|-------|-------|-------|-------|-------|-------|-------|-------|-------|-----------|-----------|
| C.R Banda Inicial | 62    | 62    | 62    | 62    | 62    | 62    | 61    | 60    | 59    | 58    | 57    | 54    | 51    | 48    | 45    | 42    | xxxx      |           |
| C.R Banda final   | 58    | 58    | 58    | 58    | 58    | 58    | 57    | 56    | 55    | 54    | 53    | 50    | 47    | 44    | 41    | 38    |           |           |
| Alfa 3_6 nT       | 51.0  | 51.0  | 50.9  | 53.4  | 55.7  | 59.4  | 57.8  | 57.8  | 57.5  | 57.0  | 54.1  | 52.5  | 50.7  | 51.7  | 50.1  | 47.9  | 43.8      |           |
| 0                 | 11.00 | 10.96 | 11.06 | 8.56  | 6.26  | 2.56  | 3.16  | 2.16  | 1.46  | 0.96  | 2.86  | 1.46  | 0.26  | 3.74  | 6.14  | 5.94  | xxxx 10.2 |           |
| -1                | 10.00 | 9.96  | 10.06 | 7.56  | 5.26  | 1.56  | 2.16  | 1.16  | 0.46  | 0.04  | 1.86  | 0.46  | 0.74  | 4.74  | 6.14  | 6.94  | xxxx 11.2 |           |
| -2                | 9.00  | 8.96  | 9.06  | 6.56  | 4.26  | 0.56  | 1.16  | 0.16  | 0.54  | 1.04  | 0.86  | 0.54  | 1.74  | 5.74  | 7.14  | 7.94  | xxxx 13.0 |           |
| -3                | 8.00  | 7.96  | 8.06  | 5.56  | 3.26  | 0.44  | 0.16  | 0.84  | 1.54  | 2.04  | 0.14  | 1.54  | 2.74  | 6.74  | 8.14  | 8.94  | xxxx 14.7 |           |
| -4                | 7.00  | 6.96  | 7.06  | 4.56  | 2.26  | 1.44  | 0.84  | 1.84  | 2.54  | 3.04  | 1.14  | 2.54  | 3.74  | 7.74  | 9.14  | 9.94  | xxxx 15.6 |           |
| -5                | 6.00  | 5.96  | 6.06  | 3.56  | 1.26  | 2.44  | 1.84  | 2.84  | 3.54  | 4.04  | 2.14  | 3.54  | 4.74  | 8.74  | 10.14 | 10.94 | xxxx 16.5 |           |
| -6                | 5.00  | 4.96  | 5.06  | 2.56  | 0.26  | 3.44  | 2.84  | 3.84  | 4.54  | 5.04  | 3.14  | 4.54  | 5.74  | 9.74  | 11.14 | 11.94 | xxxx 17.5 |           |
| -7                | 4.00  | 3.96  | 4.06  | 1.56  | 0.74  | 4.44  | 3.84  | 4.84  | 5.54  | 6.04  | 4.14  | 5.54  | 6.74  | 10.74 | 12.14 | 12.94 | xxxx 18.5 |           |
| -8                | 3.00  | 2.96  | 3.06  | 0.56  | 1.74  | 5.44  | 4.84  | 5.84  | 6.54  | 7.04  | 5.14  | 6.54  | 7.74  | 11.74 | 13.14 | 13.94 | xxxx 20.2 |           |
| -9                | 2.00  | 1.96  | 2.06  | 0.44  | 2.74  | 6.44  | 5.84  | 6.84  | 7.54  | 8.04  | 6.14  | 7.54  | 8.74  | 12.74 | 14.14 | 14.94 | xxxx 20.2 |           |
| -10               | 1.00  | 0.96  | 1.06  | 1.44  | 3.74  | 7.44  | 6.84  | 7.84  | 8.54  | 9.04  | 7.14  | 8.54  | 9.74  | 13.74 | 15.14 | 15.94 | xxxx 21.2 |           |
| -11               | 0.00  | 0.04  | 0.06  | -     | 2.44  | 4.74  | 8.44  | 7.84  | 8.84  | 9.54  | 10.04 | 8.14  | 9.54  | 10.74 | 14.74 | 16.14 | 16.94     | xxxx 22.2 |
| -                 | -     | -     | -     | -     | -     | -     | -     | -     | -     | -     | -     | -     | -     | -     | -     | -     |           |           |
| -12               | 1.00  | 1.04  | 0.94  | 3.44  | 5.74  | 9.44  | 8.84  | 9.84  | 10.54 | 11.04 | 9.14  | 10.54 | 11.74 | 15.74 | 17.14 | 17.94 | xxxx 23.3 |           |
| -                 | -     | -     | -     | -     | -     | -     | -     | -     | -     | -     | -     | -     | -     | -     | -     | -     |           |           |
| -13               | 2.00  | 2.04  | 1.94  | 4.44  | 6.74  | 10.44 | 9.84  | 10.84 | 11.54 | 12.04 | 10.14 | 11.54 | 12.74 | 16.74 | 18.14 | 18.94 | xxxx 24.3 |           |
| -                 | -     | -     | -     | -     | -     | -     | -     | -     | -     | -     | -     | -     | -     | -     | -     | -     |           |           |
| -14               | 3.00  | 3.04  | 2.94  | 5.44  | 7.74  | 11.44 | 10.84 | 11.84 | 12.54 | 13.04 | 11.14 | 12.54 | 13.74 | 17.74 | 19.14 | 19.94 | xxxx 25.3 |           |
| -                 | -     | -     | -     | -     | -     | -     | -     | -     | -     | -     | -     | -     | -     | -     | -     | -     |           |           |
| -15               | 4.00  | 4.04  | 3.94  | 6.44  | 8.74  | 12.44 | 11.84 | 12.84 | 13.54 | 14.04 | 12.14 | 13.54 | 14.74 | 18.74 | 20.14 | 20.94 | xxxx 26.3 |           |
| -                 | -     | -     | -     | -     | -     | -     | -     | -     | -     | -     | -     | -     | -     | -     | -     | -     |           |           |
| -16               | 5.00  | 5.04  | 4.94  | 7.44  | 9.74  | 13.44 | 12.84 | 13.84 | 14.54 | 15.04 | 13.14 | 14.54 | 15.74 | 19.74 | 21.14 | 21.94 | xxxx 27.3 |           |
| -                 | -     | -     | -     | -     | -     | -     | -     | -     | -     | -     | -     | -     | -     | -     | -     | -     |           |           |
| -17               | 6.00  | 6.04  | 5.94  | 8.44  | 10.74 | 14.44 | 13.84 | 14.84 | 15.54 | 16.04 | 14.14 | 15.54 | 16.74 | 20.74 | 22.14 | 22.94 | xxxx 28.3 |           |
| -                 | -     | -     | -     | -     | -     | -     | -     | -     | -     | -     | -     | -     | -     | -     | -     | -     |           |           |
| -18               | 7.00  | 7.04  | 6.94  | 9.44  | 11.74 | 15.44 | 14.84 | 15.84 | 16.54 | 17.04 | 15.14 | 16.54 | 17.74 | 21.74 | 23.14 | 23.94 | xxxx 29.3 |           |
| -                 | -     | -     | -     | -     | -     | -     | -     | -     | -     | -     | -     | -     | -     | -     | -     | -     |           |           |
| -19               | 8.00  | 8.04  | 7.94  | 10.44 | 12.74 | 16.44 | 15.84 | 16.84 | 17.54 | 18.04 | 16.14 | 17.54 | 18.74 | 22.74 | 24.14 | 24.94 | xxxx 30.3 |           |
| -                 | -     | -     | -     | -     | -     | -     | -     | -     | -     | -     | -     | -     | -     | -     | -     | -     |           |           |
| -20               | 9.00  | 9.04  | 8.94  | 11.44 | 13.74 | 17.44 | 16.84 | 17.84 | 18.54 | 19.04 | 17.14 | 18.54 | 19.74 | 23.74 | 25.14 | 25.94 | xxxx 31.3 |           |

L<sub>n</sub>T<sub>w</sub>= 56  
dB

Proyecto : Estudio al ruido ascendente por impacto

Autor: Gregorio Chacón Leiva

Tutor : Pedro Flores Domínguez-Rodiño

Tabla 42. $L'_{nTw}$  de Alfa\_3\_6\_nT

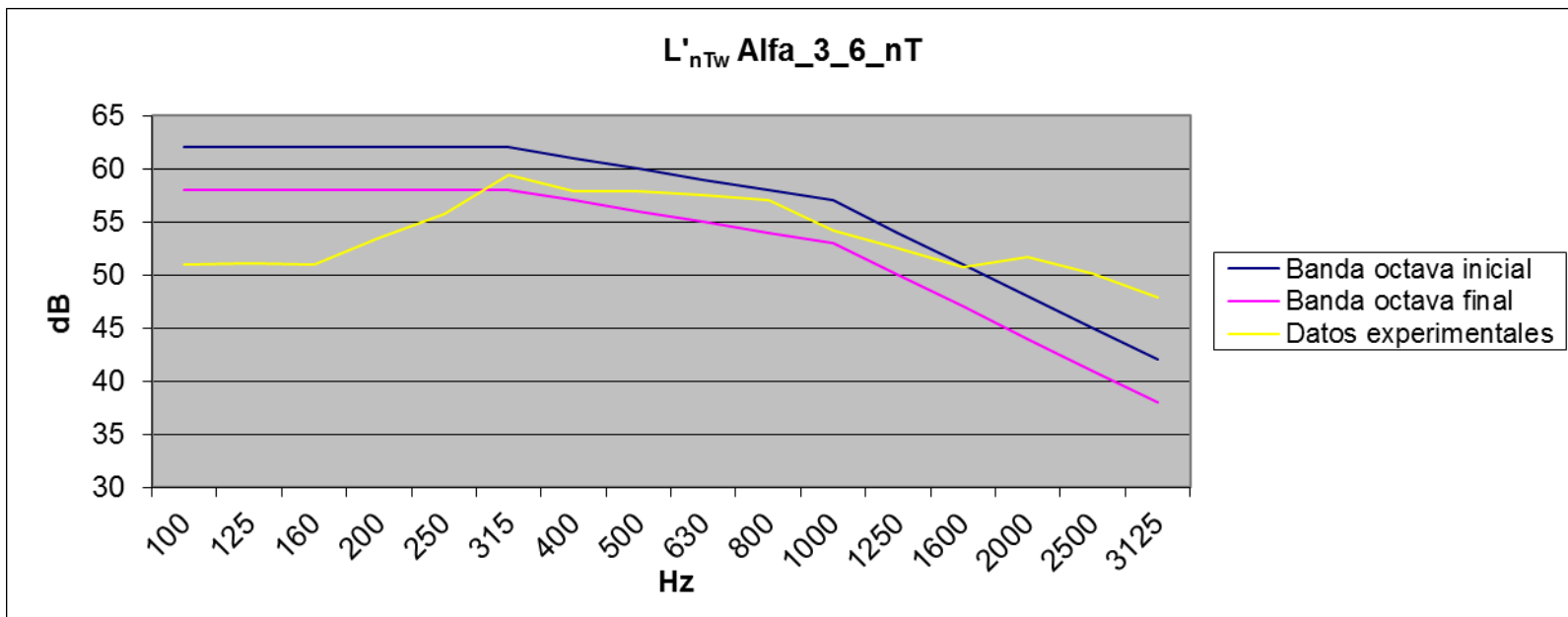


Figura 37.Gráfica  $L'_{nTw}$  de Alfa\_3\_6\_nT

Proyecto : Estudio al ruido ascendente por impacto

Autor: Gregorio Chacón Leiva

Tutor : Pedro Flores Domínguez-Rodiño

| Hz                | 100   | 125   | 160   | 200   | 250   | 315   | 400   | 500   | 630   | 800   | 1000  | 1250  | 1600  | 2000  | 2500  | 3125  | 4000 |
|-------------------|-------|-------|-------|-------|-------|-------|-------|-------|-------|-------|-------|-------|-------|-------|-------|-------|------|
| C.R Banda Inicial | 62    | 62    | 62    | 62    | 62    | 62    | 61    | 60    | 59    | 58    | 57    | 54    | 51    | 48    | 45    | 42    | xxxx |
| C.R Banda final   | 58    | 58    | 58    | 58    | 58    | 58    | 57    | 56    | 55    | 54    | 53    | 50    | 47    | 44    | 41    | 38    |      |
| Alfa 3_7 nT       | 47.5  | 48.5  | 52.7  | 52.3  | 56.5  | 58.6  | 57.9  | 57.6  | 57.1  | 56.2  | 53.5  | 52.2  | 50.0  | 50.7  | 48.6  | 46.0  | 42.5 |
| 0                 | 14.50 | 13.46 | 9.26  | 9.66  | 5.46  | 3.36  | 3.06  | 2.36  | 1.86  | 1.76  | 3.46  | 1.76  | 0.96  | 2.74  | 4.64  | 4.04  | xxxx |
| -1                | 13.50 | 12.46 | 8.26  | 8.66  | 4.46  | 2.36  | 2.06  | 1.36  | 0.86  | 0.76  | 2.46  | 0.76  | 0.04  | 3.74  | 4.64  | 5.04  | xxxx |
| -2                | 12.50 | 11.46 | 7.26  | 7.66  | 3.46  | 1.36  | 1.06  | 0.36  | 0.14  | 0.24  | 1.46  | 0.24  | 1.04  | 4.74  | 5.64  | 6.04  | xxxx |
| -3                | 11.50 | 10.46 | 6.26  | 6.66  | 2.46  | 0.36  | 0.06  | 0.64  | 1.14  | 1.24  | 0.46  | 1.24  | 2.04  | 5.74  | 6.64  | 7.04  | xxxx |
| -4                | 10.50 | 9.46  | 5.26  | 5.66  | 1.46  | 0.64  | 0.94  | 1.64  | 2.14  | 2.24  | 0.54  | 2.24  | 3.04  | 6.74  | 7.64  | 8.04  | xxxx |
| -5                | 9.50  | 8.46  | 4.26  | 4.66  | 0.46  | 1.64  | 1.94  | 2.64  | 3.14  | 3.24  | 1.54  | 3.24  | 4.04  | 7.74  | 8.64  | 9.04  | xxxx |
| -6                | 8.50  | 7.46  | 3.26  | 3.66  | 0.54  | 2.64  | 2.94  | 3.64  | 4.14  | 4.24  | 2.54  | 4.24  | 5.04  | 8.74  | 9.64  | 10.04 | xxxx |
| -7                | 7.50  | 6.46  | 2.26  | 2.66  | 1.54  | 3.64  | 3.94  | 4.64  | 5.14  | 5.24  | 3.54  | 5.24  | 6.04  | 9.74  | 10.64 | 11.04 | xxxx |
| -8                | 6.50  | 5.46  | 1.26  | 1.66  | 2.54  | 4.64  | 4.94  | 5.64  | 6.14  | 6.24  | 4.54  | 6.24  | 7.04  | 10.74 | 11.64 | 12.04 | xxxx |
| -9                | 5.50  | 4.46  | 0.26  | 0.66  | 3.54  | 5.64  | 5.94  | 6.64  | 7.14  | 7.24  | 5.54  | 7.24  | 8.04  | 11.74 | 12.64 | 13.04 | xxxx |
| -10               | 4.50  | 3.46  | 0.74  | 0.34  | 4.54  | 6.64  | 6.94  | 7.64  | 8.14  | 8.24  | 6.54  | 8.24  | 9.04  | 12.74 | 13.64 | 14.04 | xxxx |
| -11               | 3.50  | 2.46  | 1.74  | 1.34  | 5.54  | 7.64  | 7.94  | 8.64  | 9.14  | 9.24  | 7.54  | 9.24  | 10.04 | 13.74 | 14.64 | 15.04 | xxxx |
| -12               | 2.50  | 1.46  | 2.74  | 2.34  | 6.54  | 8.64  | 8.94  | 9.64  | 10.14 | 10.24 | 8.54  | 10.24 | 11.04 | 14.74 | 15.64 | 16.04 | xxxx |
| -13               | 1.50  | 0.46  | 3.74  | 3.34  | 7.54  | 9.64  | 9.94  | 10.64 | 11.14 | 11.24 | 9.54  | 11.24 | 12.04 | 15.74 | 16.64 | 17.04 | xxxx |
| -14               | 0.50  | 0.54  | 4.74  | 4.34  | 8.54  | 10.64 | 10.94 | 11.64 | 12.14 | 12.24 | 10.54 | 12.24 | 13.04 | 16.74 | 17.64 | 18.04 | xxxx |
| -15               | 0.50  | 1.54  | 5.74  | 5.34  | 9.54  | 11.64 | 11.94 | 12.64 | 13.14 | 13.24 | 11.54 | 13.24 | 14.04 | 17.74 | 18.64 | 19.04 | xxxx |
| -16               | 1.50  | 2.54  | 6.74  | 6.34  | 10.54 | 12.64 | 12.94 | 13.64 | 14.14 | 14.24 | 12.54 | 14.24 | 15.04 | 18.74 | 19.64 | 20.04 | xxxx |
| -17               | 2.50  | 3.54  | 7.74  | 7.34  | 11.54 | 13.64 | 13.94 | 14.64 | 15.14 | 15.24 | 13.54 | 15.24 | 16.04 | 19.74 | 20.64 | 21.04 | xxxx |
| -18               | 3.50  | 4.54  | 8.74  | 8.34  | 12.54 | 14.64 | 14.94 | 15.64 | 16.14 | 16.24 | 14.54 | 16.24 | 17.04 | 20.74 | 21.64 | 22.04 | xxxx |
| -19               | 4.50  | 5.54  | 9.74  | 9.34  | 13.54 | 15.64 | 15.94 | 16.64 | 17.14 | 17.24 | 15.54 | 17.24 | 18.04 | 21.74 | 22.64 | 23.04 | xxxx |
| -20               | 5.50  | 6.54  | 10.74 | 10.34 | 14.54 | 16.64 | 16.94 | 17.64 | 18.14 | 18.24 | 16.54 | 18.24 | 19.04 | 22.74 | 23.64 | 24.04 | xxxx |
| -21               | 6.50  | 7.54  | 11.74 | 11.34 | 15.54 | 17.64 | 17.94 | 18.64 | 19.14 | 19.24 | 17.54 | 19.24 | 20.04 | 23.74 | 24.64 | 25.04 | xxxx |
|                   |       |       |       |       |       |       |       |       |       |       |       |       |       |       |       |       | 31.1 |

Proyecto : Estudio al ruido ascendente por impacto

Autor: Gregorio Chacón Leiva

Tutor : Pedro Flores Domínguez-Rodiño

L'nTw= 56  
dB

Tabla 43.L'nTw de Alfa\_3\_7\_nT

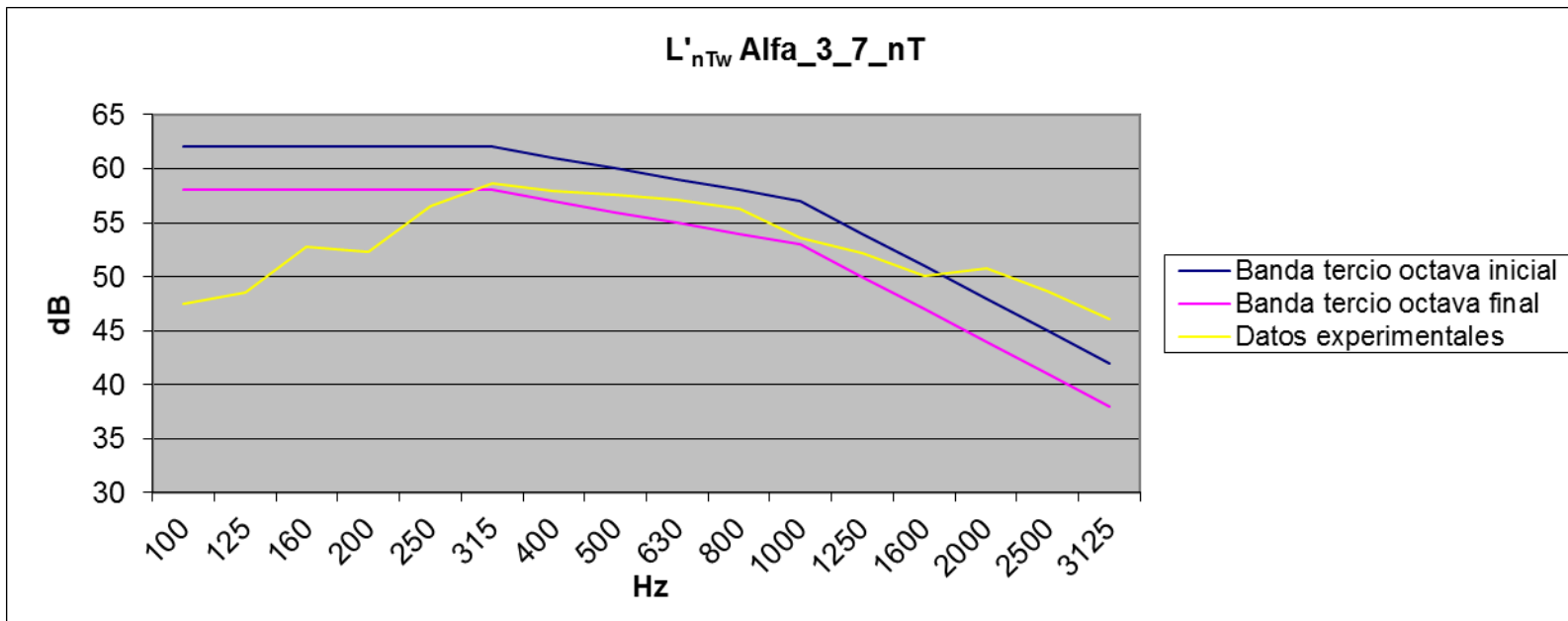


Figura 38.Gráfica L'nTw de Alfa\_3\_7\_nT

Proyecto : Estudio al ruido ascendente por impacto

Autor: Gregorio Chacón Leiva

Tutor : Pedro Flores Domínguez-Rodiño

| Hz                | 100   | 125   | 160   | 200   | 250   | 315   | 400   | 500   | 630   | 800   | 1000  | 1250  | 1600  | 2000  | 2500  | 3125  | 4000  |      |      |
|-------------------|-------|-------|-------|-------|-------|-------|-------|-------|-------|-------|-------|-------|-------|-------|-------|-------|-------|------|------|
| C.R Banda Inicial | 62    | 62    | 62    | 62    | 62    | 61    | 60    | 59    | 58    | 57    | 54    | 51    | 48    | 45    | 42    | xxxx  |       |      |      |
| C.R Banda final   | 54    | 54    | 54    | 54    | 54    | 53    | 52    | 51    | 50    | 49    | 46    | 43    | 40    | 37    | 34    |       |       |      |      |
| Alfa 4_1 nT       | 52.2  | 52.0  | 49.7  | 49.0  | 51.2  | 54.9  | 54.7  | 54.8  | 52.8  | 51.8  | 52.1  | 51.6  | 49.8  | 50.8  | 52.2  | 49.3  | 45.1  |      |      |
| 0                 | 9.80  | 9.96  | 12.26 | 12.96 | 10.76 | 7.06  | 6.26  | 5.16  | 6.16  | 6.16  | 4.86  | 2.36  | 1.16  | -     | -     | -     | 7.34  | xxxx | 11.5 |
| -1                | 8.80  | 8.96  | 11.26 | 11.96 | 9.76  | 6.06  | 5.26  | 4.16  | 5.16  | 5.16  | 3.86  | 1.36  | 0.16  | 3.84  | 8.24  | 8.34  | xxxx  | 12.0 |      |
| -2                | 7.80  | 7.96  | 10.26 | 10.96 | 8.76  | 5.06  | 4.26  | 3.16  | 4.16  | 4.16  | 2.86  | 0.36  | 0.84  | 4.84  | 9.24  | 9.34  | xxxx  | 13.2 |      |
| -3                | 6.80  | 6.96  | 9.26  | 9.96  | 7.76  | 4.06  | 3.26  | 2.16  | 3.16  | 3.16  | 1.86  | 0.64  | 1.84  | 5.84  | 10.24 | 10.34 | xxxx  | 14.3 |      |
| -4                | 5.80  | 5.96  | 8.26  | 8.96  | 6.76  | 3.06  | 2.26  | 1.16  | 2.16  | 2.16  | 0.86  | 1.64  | 2.84  | 6.84  | 11.24 | 11.34 | xxxx  | 15.3 |      |
| -5                | 4.80  | 4.96  | 7.26  | 7.96  | 5.76  | 2.06  | 1.26  | 0.16  | 1.16  | 1.16  | 0.14  | 2.64  | 3.84  | 7.84  | 12.24 | 12.34 | xxxx  | 16.4 |      |
| -6                | 3.80  | 3.96  | 6.26  | 6.96  | 4.76  | 1.06  | 0.26  | 0.84  | 0.16  | 0.16  | 1.14  | 3.64  | 4.84  | 8.84  | 13.24 | 13.34 | xxxx  | 17.4 |      |
| -7                | 2.80  | 2.96  | 5.26  | 5.96  | 3.76  | 0.06  | -     | 0.74  | 1.84  | 0.84  | 0.84  | 2.14  | 4.64  | 5.84  | 9.84  | 14.24 | 14.34 | xxxx | 18.5 |
| -8                | 1.80  | 1.96  | 4.26  | 4.96  | 2.76  | 0.94  | 1.74  | 2.84  | 1.84  | 1.84  | 3.14  | 5.64  | 6.84  | 10.84 | 15.24 | 15.34 | xxxx  | 19.6 |      |
| -9                | 0.80  | 0.96  | 3.26  | 3.96  | 1.76  | 1.94  | 2.74  | 3.84  | 2.84  | 2.84  | 4.14  | 6.64  | 7.84  | 11.84 | 16.24 | 16.34 | xxxx  | 20.5 |      |
| -10               | 0.20  | 0.04  | 2.26  | 2.96  | 0.76  | 2.94  | 3.74  | 4.84  | 3.84  | 3.84  | 5.14  | 7.64  | 8.84  | 12.84 | 17.24 | 17.34 | xxxx  | 21.6 |      |
| -11               | 1.20  | 1.04  | 1.26  | 1.96  | 0.24  | 3.94  | 4.74  | 5.84  | 4.84  | 4.84  | 6.14  | 8.64  | 9.84  | 13.84 | 18.24 | 18.34 | xxxx  | 22.6 |      |
| -12               | 2.20  | 2.04  | 0.26  | 0.96  | 1.24  | 4.94  | 5.74  | 6.84  | 5.84  | 5.84  | 7.14  | 9.64  | 10.84 | 14.84 | 19.24 | 19.34 | xxxx  | 23.6 |      |
| -13               | 3.20  | 3.04  | 0.74  | 0.04  | 2.24  | 5.94  | 6.74  | 7.84  | 6.84  | 6.84  | 8.14  | 10.64 | 11.84 | 15.84 | 20.24 | 20.34 | xxxx  | 24.6 |      |
| -14               | 4.20  | 4.04  | 1.74  | 1.04  | 3.24  | 6.94  | 7.74  | 8.84  | 7.84  | 7.84  | 9.14  | 11.64 | 12.84 | 16.84 | 21.24 | 21.34 | xxxx  | 25.6 |      |
| -15               | 5.20  | 5.04  | 2.74  | 2.04  | 4.24  | 7.94  | 8.74  | 9.84  | 8.84  | 8.84  | 10.14 | 12.64 | 13.84 | 17.84 | 22.24 | 22.34 | xxxx  | 26.6 |      |
| -16               | 6.20  | 6.04  | 3.74  | 3.04  | 5.24  | 8.94  | 9.74  | 10.84 | 9.84  | 9.84  | 11.14 | 13.64 | 14.84 | 18.84 | 23.24 | 23.34 | xxxx  | 27.6 |      |
| -17               | 7.20  | 7.04  | 4.74  | 4.04  | 6.24  | 9.94  | 10.74 | 11.84 | 10.84 | 10.84 | 12.14 | 14.64 | 15.84 | 19.84 | 24.24 | 24.34 | xxxx  | 28.6 |      |
| -18               | 8.20  | 8.04  | 5.74  | 5.04  | 7.24  | 10.94 | 11.74 | 12.84 | 11.84 | 11.84 | 13.14 | 15.64 | 16.84 | 20.84 | 25.24 | 25.34 | xxxx  | 29.6 |      |
| -19               | 9.20  | 9.04  | 6.74  | 6.04  | 8.24  | 11.94 | 12.74 | 13.84 | 12.84 | 12.84 | 14.14 | 16.64 | 17.84 | 21.84 | 26.24 | 26.34 | xxxx  | 30.6 |      |
| -20               | 10.20 | 10.04 | 7.74  | 7.04  | 9.24  | 12.94 | 13.74 | 14.84 | 13.84 | 13.84 | 15.14 | 17.64 | 18.84 | 22.84 | 27.24 | 27.34 | xxxx  | 31.6 |      |

Proyecto : Estudio al ruido ascendente por impacto

Autor: Gregorio Chacón Leiva

Tutor : Pedro Flores Domínguez-Rodiño

L'nTw= 52  
dB

Tabla 44.L'nTw de Alfa\_4\_1\_nT

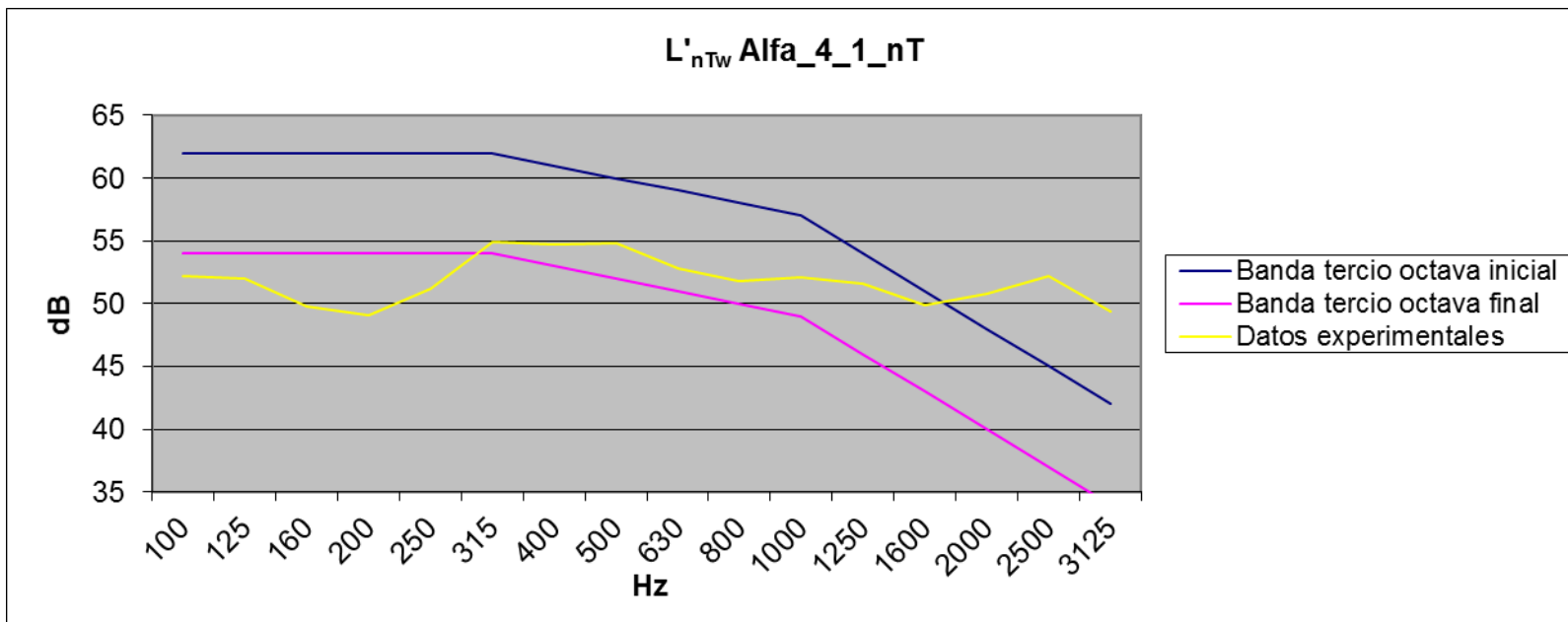


Figura 39.Gráfica L'nTw de Alfa\_4\_1\_nT

Proyecto : Estudio al ruido ascendente por impacto

Autor: Gregorio Chacón Leiva

Tutor : Pedro Flores Domínguez-Rodiño

| Hz                | 100   | 125   | 160   | 200   | 250   | 315   | 400   | 500   | 630   | 800   | 1000  | 1250  | 1600  | 2000  | 2500  | 3125  | 4000      |
|-------------------|-------|-------|-------|-------|-------|-------|-------|-------|-------|-------|-------|-------|-------|-------|-------|-------|-----------|
| C.R Banda Inicial | 62    | 62    | 62    | 62    | 62    | 61    | 60    | 59    | 58    | 57    | 54    | 51    | 48    | 45    | 42    | xxxx  |           |
| C.R Banda final   | 54    | 54    | 54    | 54    | 54    | 53    | 52    | 51    | 50    | 49    | 46    | 43    | 40    | 37    | 34    |       |           |
| Alfa 4_2 nT       | 53.5  | 52.2  | 50.7  | 48.3  | 51.9  | 55.8  | 55.0  | 54.7  | 52.9  | 51.9  | 52.1  | 51.6  | 50.4  | 50.9  | 52.3  | 49.0  | 44.8      |
| 0                 | 8.50  | 9.76  | 11.26 | 13.66 | 10.06 | 6.16  | 5.96  | 5.26  | 6.06  | 6.06  | 4.86  | 2.36  | 0.56  | 2.94  | 8.34  | 7.04  | xxxx 13.7 |
| -1                | 7.50  | 8.76  | 10.26 | 12.66 | 9.06  | 5.16  | 4.96  | 4.26  | 5.06  | 5.06  | 3.86  | 1.36  | 0.44  | 3.94  | 8.34  | 8.04  | xxxx 13.8 |
| -2                | 6.50  | 7.76  | 9.26  | 11.66 | 8.06  | 4.16  | 3.96  | 3.26  | 4.06  | 4.06  | 2.86  | 0.36  | 1.44  | 4.94  | 9.34  | 9.04  | xxxx 14.4 |
| -3                | 5.50  | 6.76  | 8.26  | 10.66 | 7.06  | 3.16  | 2.96  | 2.26  | 3.06  | 3.06  | 1.86  | 0.64  | 2.44  | 5.94  | 10.34 | 10.04 | xxxx 15.1 |
| -4                | 4.50  | 5.76  | 7.26  | 9.66  | 6.06  | 2.16  | 1.96  | 1.26  | 2.06  | 2.06  | 0.86  | 1.64  | 3.44  | 6.94  | 11.34 | 11.04 | xxxx 16.0 |
| -5                | 3.50  | 4.76  | 6.26  | 8.66  | 5.06  | 1.16  | 0.96  | 0.26  | 1.06  | 1.06  | 0.14  | 2.64  | 4.44  | 7.94  | 12.34 | 12.04 | xxxx 16.8 |
| -6                | 2.50  | 3.76  | 5.26  | 7.66  | 4.06  | 0.16  | 0.04  | 0.74  | 0.06  | 0.06  | 1.14  | 3.64  | 5.44  | 8.94  | 13.34 | 13.04 | xxxx 17.7 |
| -7                | 1.50  | 2.76  | 4.26  | 6.66  | 3.06  | 0.84  | 1.04  | 1.74  | 0.94  | 0.94  | 2.14  | 4.64  | 6.44  | 9.94  | 14.34 | 14.04 | xxxx 18.7 |
| -8                | 0.50  | 1.76  | 3.26  | 5.66  | 2.06  | 1.84  | 2.04  | 2.74  | 1.94  | 1.94  | 3.14  | 5.64  | 7.44  | 10.94 | 15.34 | 15.04 | xxxx 19.7 |
| -9                | 0.50  | 0.76  | 2.26  | 4.66  | 1.06  | -     | -     | -     | -     | -     | -     | -     | -     | -     | -     | -     | xxxx 20.6 |
| -10               | 1.50  | 0.24  | 1.26  | 3.66  | 0.06  | 3.84  | 4.04  | 4.74  | 3.94  | 3.94  | 5.14  | 7.64  | 9.44  | 12.94 | 17.34 | 17.04 | xxxx 21.6 |
| -11               | 2.50  | 1.24  | 0.26  | 2.66  | 0.94  | 4.84  | 5.04  | 5.74  | 4.94  | 4.94  | 6.14  | 8.64  | 10.44 | 13.94 | 18.34 | 18.04 | xxxx 22.6 |
| -12               | 3.50  | 2.24  | 0.74  | 1.66  | 1.94  | 5.84  | 6.04  | 6.74  | 5.94  | 5.94  | 7.14  | 9.64  | 11.44 | 14.94 | 19.34 | 19.04 | xxxx 23.6 |
| -13               | 4.50  | 3.24  | 1.74  | 0.66  | 2.94  | 6.84  | 7.04  | 7.74  | 6.94  | 6.94  | 8.14  | 10.64 | 12.44 | 15.94 | 20.34 | 20.04 | xxxx 24.6 |
| -14               | 5.50  | 4.24  | 2.74  | 0.34  | 3.94  | 7.84  | 8.04  | 8.74  | 7.94  | 7.94  | 9.14  | 11.64 | 13.44 | 16.94 | 21.34 | 21.04 | xxxx 25.6 |
| -15               | 6.50  | 5.24  | 3.74  | 1.34  | 4.94  | 8.84  | 9.04  | 9.74  | 8.94  | 8.94  | 10.14 | 12.64 | 14.44 | 17.94 | 22.34 | 22.04 | xxxx 26.6 |
| -16               | 7.50  | 6.24  | 4.74  | 2.34  | 5.94  | 9.84  | 10.04 | 10.74 | 9.94  | 9.94  | 11.14 | 13.64 | 15.44 | 18.94 | 23.34 | 23.04 | xxxx 27.6 |
| -17               | 8.50  | 7.24  | 5.74  | 3.34  | 6.94  | 10.84 | 11.04 | 11.74 | 10.94 | 10.94 | 12.14 | 14.64 | 16.44 | 19.94 | 24.34 | 24.04 | xxxx 28.6 |
| -18               | 9.50  | 8.24  | 6.74  | 4.34  | 7.94  | 11.84 | 12.04 | 12.74 | 11.94 | 11.94 | 13.14 | 15.64 | 17.44 | 20.94 | 25.34 | 25.04 | xxxx 29.6 |
| -19               | 10.50 | 9.24  | 7.74  | 5.34  | 8.94  | 12.84 | 13.04 | 13.74 | 12.94 | 12.94 | 14.14 | 16.64 | 18.44 | 21.94 | 26.34 | 26.04 | xxxx 30.6 |
| -20               | 11.50 | 10.24 | 8.74  | 6.34  | 9.94  | 13.84 | 14.04 | 14.74 | 13.94 | 13.94 | 15.14 | 17.64 | 19.44 | 22.94 | 27.34 | 27.04 | xxxx 31.6 |

Proyecto : Estudio al ruido ascendente por impacto

Autor: Gregorio Chacón Leiva

Tutor : Pedro Flores Domínguez-Rodiño

L'nTw=52  
dB

Tabla 45.L'nTw de Alfa\_4\_2\_nT

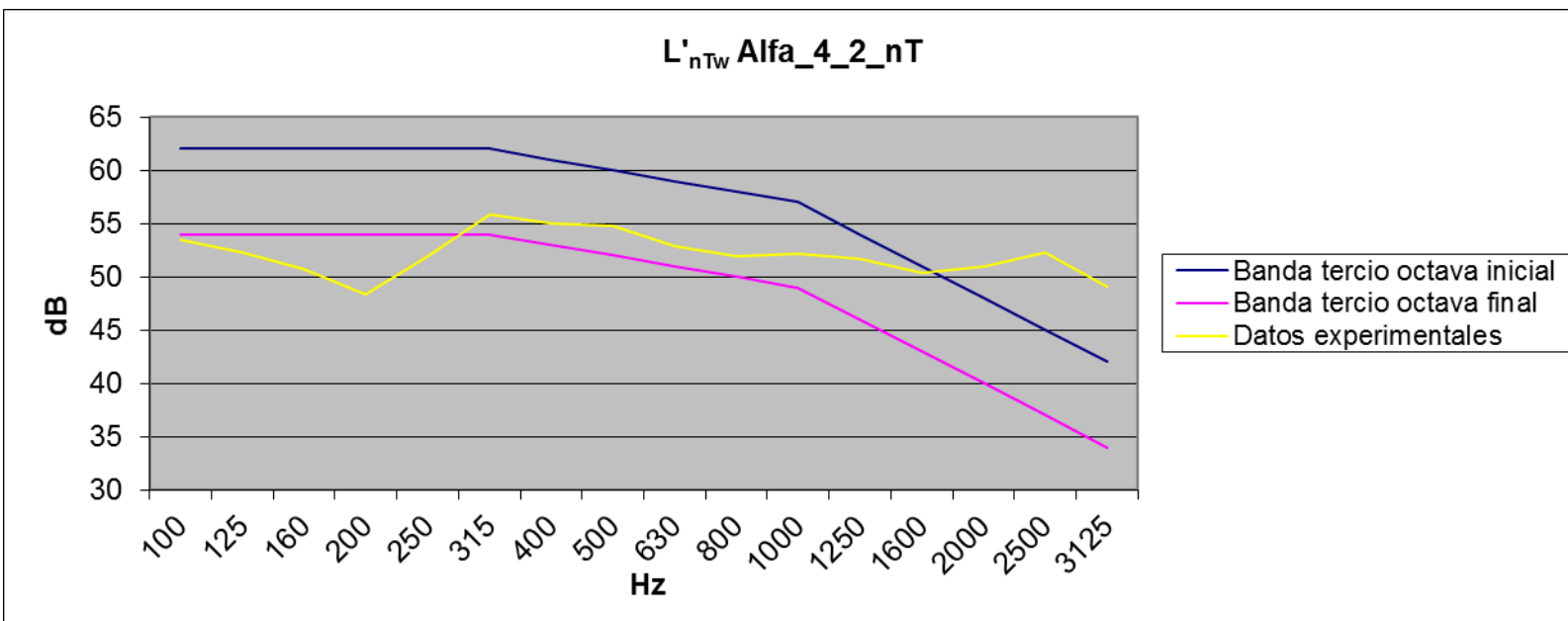


Figura 40.Gráfica L'nTw de Alfa\_4\_2\_nT

Proyecto : Estudio al ruido ascendente por impacto

Autor: Gregorio Chacón Leiva

Tutor : Pedro Flores Domínguez-Rodiño

| Hz                | 100   | 125   | 160   | 200   | 250   | 315   | 400   | 500   | 630   | 800   | 1000  | 1250  | 1600  | 2000  | 2500  | 3125  | 4000      |
|-------------------|-------|-------|-------|-------|-------|-------|-------|-------|-------|-------|-------|-------|-------|-------|-------|-------|-----------|
| C.R Banda Inicial | 62    | 62    | 62    | 62    | 62    | 61    | 60    | 59    | 58    | 57    | 54    | 51    | 48    | 45    | 42    | xxxx  |           |
| C.R Banda final   | 54    | 54    | 54    | 54    | 54    | 54    | 53    | 52    | 51    | 50    | 49    | 46    | 43    | 40    | 37    | 34    |           |
| Alfa 4_3 nT       | 53.5  | 52.2  | 50.7  | 48.3  | 51.9  | 55.8  | 55.0  | 54.7  | 52.9  | 51.9  | 52.1  | 51.6  | 50.4  | 50.9  | 52.3  | 49.0  | 44.8      |
| 0                 | 8.50  | 9.76  | 11.26 | 13.66 | 10.06 | 6.16  | 5.96  | 5.26  | 6.06  | 6.06  | 4.86  | 2.36  | 0.56  | 2.94  | 8.34  | 7.04  | xxxx 13.7 |
| -1                | 7.50  | 8.76  | 10.26 | 12.66 | 9.06  | 5.16  | 4.96  | 4.26  | 5.06  | 5.06  | 3.86  | 1.36  | 0.44  | 3.94  | 8.34  | 8.04  | xxxx 13.8 |
| -2                | 6.50  | 7.76  | 9.26  | 11.66 | 8.06  | 4.16  | 3.96  | 3.26  | 4.06  | 4.06  | 2.86  | 0.36  | 1.44  | 4.94  | 9.34  | 9.04  | xxxx 14.4 |
| -3                | 5.50  | 6.76  | 8.26  | 10.66 | 7.06  | 3.16  | 2.96  | 2.26  | 3.06  | 3.06  | 1.86  | 0.64  | 2.44  | 5.94  | 10.34 | 10.04 | xxxx 15.1 |
| -4                | 4.50  | 5.76  | 7.26  | 9.66  | 6.06  | 2.16  | 1.96  | 1.26  | 2.06  | 2.06  | 0.86  | 1.64  | 3.44  | 6.94  | 11.34 | 11.04 | xxxx 16.0 |
| -5                | 3.50  | 4.76  | 6.26  | 8.66  | 5.06  | 1.16  | 0.96  | 0.26  | 1.06  | 1.06  | 0.14  | 2.64  | 4.44  | 7.94  | 12.34 | 12.04 | xxxx 16.8 |
| -6                | 2.50  | 3.76  | 5.26  | 7.66  | 4.06  | 0.16  | -     | -     | 0.06  | 0.06  | 1.14  | 3.64  | 5.44  | 8.94  | 13.34 | 13.04 | xxxx 17.7 |
| -7                | 1.50  | 2.76  | 4.26  | 6.66  | 3.06  | 0.84  | 1.04  | 1.74  | 0.94  | 0.94  | 2.14  | 4.64  | 6.44  | 9.94  | 14.34 | 14.04 | xxxx 18.7 |
| -8                | 0.50  | 1.76  | 3.26  | 5.66  | 2.06  | 1.84  | 2.04  | 2.74  | 1.94  | 1.94  | 3.14  | 5.64  | 7.44  | 10.94 | 15.34 | 15.04 | xxxx 19.7 |
| -9                | 0.50  | 0.76  | 2.26  | 4.66  | 1.06  | 2.84  | 3.04  | 3.74  | 2.94  | 2.94  | 4.14  | 6.64  | 8.44  | 11.94 | 16.34 | 16.04 | xxxx 20.6 |
| -10               | 1.50  | 0.24  | 1.26  | 3.66  | 0.06  | 3.84  | 4.04  | 4.74  | 3.94  | 3.94  | 5.14  | 7.64  | 9.44  | 12.94 | 17.34 | 17.04 | xxxx 21.6 |
| -11               | 2.50  | 1.24  | 0.26  | 2.66  | 0.94  | 4.84  | 5.04  | 5.74  | 4.94  | 4.94  | 6.14  | 8.64  | 10.44 | 13.94 | 18.34 | 18.04 | xxxx 22.6 |
| -12               | 3.50  | 2.24  | 0.74  | 1.66  | 1.94  | 5.84  | 6.04  | 6.74  | 5.94  | 5.94  | 7.14  | 9.64  | 11.44 | 14.94 | 19.34 | 19.04 | xxxx 23.6 |
| -13               | 4.50  | 3.24  | 1.74  | 0.66  | 2.94  | 6.84  | 7.04  | 7.74  | 6.94  | 6.94  | 8.14  | 10.64 | 12.44 | 15.94 | 20.34 | 20.04 | xxxx 24.6 |
| -14               | 5.50  | 4.24  | 2.74  | 0.34  | 3.94  | 7.84  | 8.04  | 8.74  | 7.94  | 7.94  | 9.14  | 11.64 | 13.44 | 16.94 | 21.34 | 21.04 | xxxx 25.6 |
| -15               | 6.50  | 5.24  | 3.74  | 1.34  | 4.94  | 8.84  | 9.04  | 9.74  | 8.94  | 8.94  | 10.14 | 12.64 | 14.44 | 17.94 | 22.34 | 22.04 | xxxx 26.6 |
| -16               | 7.50  | 6.24  | 4.74  | 2.34  | 5.94  | 9.84  | 10.04 | 10.74 | 9.94  | 9.94  | 11.14 | 13.64 | 15.44 | 18.94 | 23.34 | 23.04 | xxxx 27.6 |
| -17               | 8.50  | 7.24  | 5.74  | 3.34  | 6.94  | 10.84 | 11.04 | 11.74 | 10.94 | 10.94 | 12.14 | 14.64 | 16.44 | 19.94 | 24.34 | 24.04 | xxxx 28.6 |
| -18               | 9.50  | 8.24  | 6.74  | 4.34  | 7.94  | 11.84 | 12.04 | 12.74 | 11.94 | 11.94 | 13.14 | 15.64 | 17.44 | 20.94 | 25.34 | 25.04 | xxxx 29.6 |
| -19               | 10.50 | 9.24  | 7.74  | 5.34  | 8.94  | 12.84 | 13.04 | 13.74 | 12.94 | 12.94 | 14.14 | 16.64 | 18.44 | 21.94 | 26.34 | 26.04 | xxxx 30.6 |
| -20               | 11.50 | 10.24 | 8.74  | 6.34  | 9.94  | 13.84 | 14.04 | 14.74 | 13.94 | 13.94 | 15.14 | 17.64 | 19.44 | 22.94 | 27.34 | 27.04 | xxxx 31.6 |

L<sub>nTw</sub>= 52  
dB

Proyecto : Estudio al ruido ascendente por impacto

Autor: Gregorio Chacón Leiva

Tutor : Pedro Flores Domínguez-Rodríguez

Tabla 46. $L'_{nTw}$  de Alfa\_4\_3\_nT

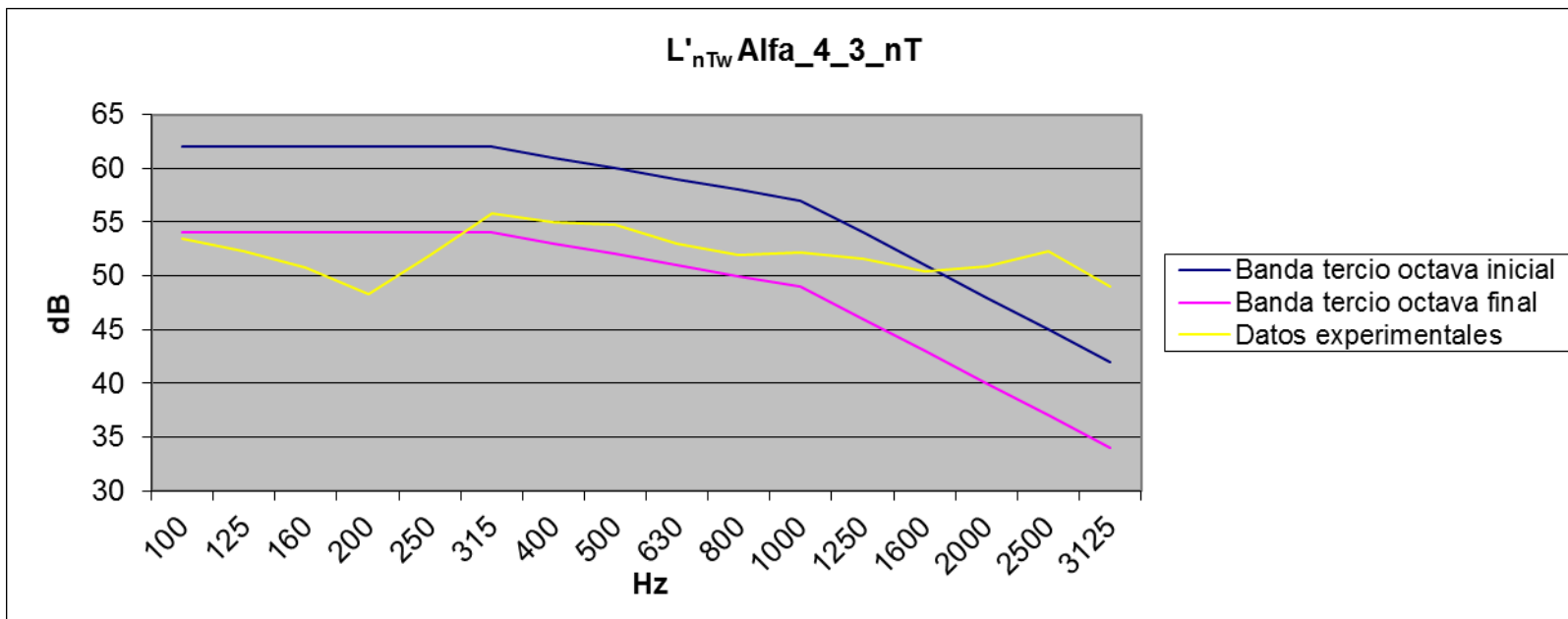


Figura 41. Gráfica  $L'_{nTw}$  de Alfa\_4\_3\_nT

Proyecto : Estudio al ruido ascendente por impacto

Autor: Gregorio Chacón Leiva

Tutor : Pedro Flores Domínguez-Rodiño

| Hz                | 100   | 125   | 160   | 200   | 250   | 315   | 400   | 500   | 630   | 800   | 1000  | 1250  | 1600  | 2000  | 2500  | 3125  | 4000 |
|-------------------|-------|-------|-------|-------|-------|-------|-------|-------|-------|-------|-------|-------|-------|-------|-------|-------|------|
| C.R Banda Inicial | 62    | 62    | 62    | 62    | 62    | 62    | 61    | 60    | 59    | 58    | 57    | 54    | 51    | 48    | 45    | 42    | xxxx |
| C.R Banda final   | 58    | 58    | 58    | 58    | 58    | 58    | 57    | 56    | 55    | 54    | 53    | 50    | 47    | 44    | 41    | 38    |      |
| Alfa 4_4 nT       | 47.5  | 48.5  | 52.7  | 52.3  | 56.5  | 58.6  | 57.9  | 57.6  | 57.1  | 56.2  | 53.5  | 52.2  | 50.0  | 50.7  | 48.6  | 46.0  | 42.5 |
| 0                 | 14.50 | 13.46 | 9.26  | 9.66  | 5.46  | 3.36  | 3.06  | 2.36  | 1.86  | 1.76  | 3.46  | 1.76  | 0.96  | 2.74  | 4.64  | 4.04  | xxxx |
| -1                | 13.50 | 12.46 | 8.26  | 8.66  | 4.46  | 2.36  | 2.06  | 1.36  | 0.86  | 0.76  | 2.46  | 0.76  | 0.04  | 3.74  | 4.64  | 5.04  | xxxx |
| -2                | 12.50 | 11.46 | 7.26  | 7.66  | 3.46  | 1.36  | 1.06  | 0.36  | 0.14  | 0.24  | 1.46  | 0.24  | 1.04  | 4.74  | 5.64  | 6.04  | xxxx |
| -3                | 11.50 | 10.46 | 6.26  | 6.66  | 2.46  | 0.36  | 0.06  | 0.64  | 1.14  | 1.24  | 0.46  | 1.24  | 2.04  | 5.74  | 6.64  | 7.04  | xxxx |
| -4                | 10.50 | 9.46  | 5.26  | 5.66  | 1.46  | 0.64  | 0.94  | 1.64  | 2.14  | 2.24  | 0.54  | 2.24  | 3.04  | 6.74  | 7.64  | 8.04  | xxxx |
| -5                | 9.50  | 8.46  | 4.26  | 4.66  | 0.46  | 1.64  | 1.94  | 2.64  | 3.14  | 3.24  | 1.54  | 3.24  | 4.04  | 7.74  | 8.64  | 9.04  | xxxx |
| -6                | 8.50  | 7.46  | 3.26  | 3.66  | 0.54  | 2.64  | 2.94  | 3.64  | 4.14  | 4.24  | 2.54  | 4.24  | 5.04  | 8.74  | 9.64  | 10.04 | xxxx |
| -7                | 7.50  | 6.46  | 2.26  | 2.66  | 1.54  | 3.64  | 3.94  | 4.64  | 5.14  | 5.24  | 3.54  | 5.24  | 6.04  | 9.74  | 10.64 | 11.04 | xxxx |
| -8                | 6.50  | 5.46  | 1.26  | 1.66  | 2.54  | 4.64  | 4.94  | 5.64  | 6.14  | 6.24  | 4.54  | 6.24  | 7.04  | 10.74 | 11.64 | 12.04 | xxxx |
| -9                | 5.50  | 4.46  | 0.26  | 0.66  | 3.54  | 5.64  | 5.94  | 6.64  | 7.14  | 7.24  | 5.54  | 7.24  | 8.04  | 11.74 | 12.64 | 13.04 | xxxx |
| -10               | 4.50  | 3.46  | 0.74  | 0.34  | 4.54  | 6.64  | 6.94  | 7.64  | 8.14  | 8.24  | 6.54  | 8.24  | 9.04  | 12.74 | 13.64 | 14.04 | xxxx |
| -11               | 3.50  | 2.46  | 1.74  | 1.34  | 5.54  | 7.64  | 7.94  | 8.64  | 9.14  | 9.24  | 7.54  | 9.24  | 10.04 | 13.74 | 14.64 | 15.04 | xxxx |
| -12               | 2.50  | 1.46  | 2.74  | 2.34  | 6.54  | 8.64  | 8.94  | 9.64  | 10.14 | 10.24 | 8.54  | 10.24 | 11.04 | 14.74 | 15.64 | 16.04 | xxxx |
| -13               | 1.50  | 0.46  | 3.74  | 3.34  | 7.54  | 9.64  | 9.94  | 10.64 | 11.14 | 11.24 | 9.54  | 11.24 | 12.04 | 15.74 | 16.64 | 17.04 | xxxx |
| -14               | 0.50  | 0.54  | 4.74  | 4.34  | 8.54  | 10.64 | 10.94 | 11.64 | 12.14 | 12.24 | 10.54 | 12.24 | 13.04 | 16.74 | 17.64 | 18.04 | xxxx |
| -15               | 0.50  | 1.54  | 5.74  | 5.34  | 9.54  | 11.64 | 11.94 | 12.64 | 13.14 | 13.24 | 11.54 | 13.24 | 14.04 | 17.74 | 18.64 | 19.04 | xxxx |
| -16               | 1.50  | 2.54  | 6.74  | 6.34  | 10.54 | 12.64 | 12.94 | 13.64 | 14.14 | 14.24 | 12.54 | 14.24 | 15.04 | 18.74 | 19.64 | 20.04 | xxxx |
| -17               | 2.50  | 3.54  | 7.74  | 7.34  | 11.54 | 13.64 | 13.94 | 14.64 | 15.14 | 15.24 | 13.54 | 15.24 | 16.04 | 19.74 | 20.64 | 21.04 | xxxx |
| -18               | 3.50  | 4.54  | 8.74  | 8.34  | 12.54 | 14.64 | 14.94 | 15.64 | 16.14 | 16.24 | 14.54 | 16.24 | 17.04 | 20.74 | 21.64 | 22.04 | xxxx |
| -19               | 4.50  | 5.54  | 9.74  | 9.34  | 13.54 | 15.64 | 15.94 | 16.64 | 17.14 | 17.24 | 15.54 | 17.24 | 18.04 | 21.74 | 22.64 | 23.04 | xxxx |
| -20               | 5.50  | 6.54  | 10.74 | 10.34 | 14.54 | 16.64 | 16.94 | 17.64 | 18.14 | 18.24 | 16.54 | 18.24 | 19.04 | 22.74 | 23.64 | 24.04 | xxxx |
| -21               | 6.50  | 7.54  | 11.74 | 11.34 | 15.54 | 17.64 | 17.94 | 18.64 | 19.14 | 19.24 | 17.54 | 19.24 | 20.04 | 23.74 | 24.64 | 25.04 | xxxx |
|                   |       |       |       |       |       |       |       |       |       |       |       |       |       |       |       |       | 31.1 |

Proyecto : Estudio al ruido ascendente por impacto

Autor: Gregorio Chacón Leiva

Tutor : Pedro Flores Domínguez-Rodiño

$$\boxed{L'nTw= 56 \text{ dB}}$$

Tabla 47.L'<sub>nTw</sub> de Alfa\_4\_4\_nT

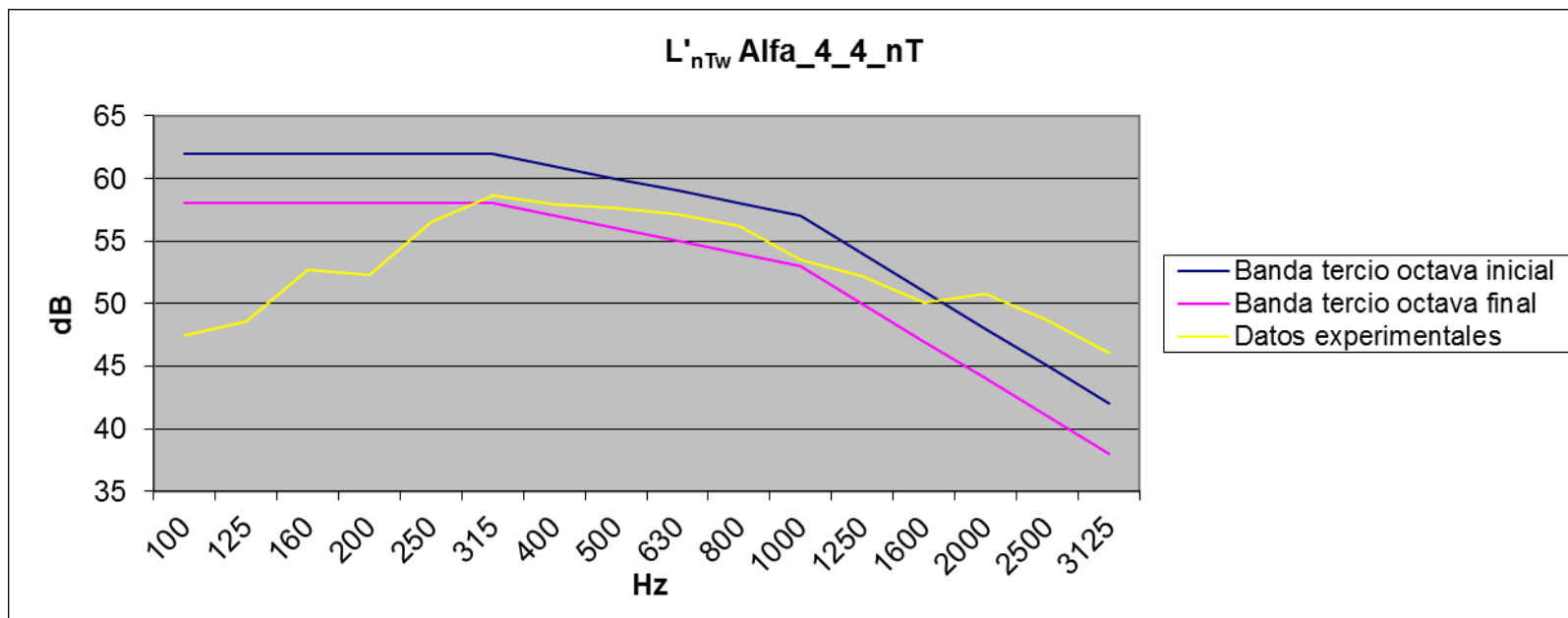


Figura 42.Gráfica L'<sub>nTw</sub> de Alfa\_4\_4\_nT

Proyecto : Estudio al ruido ascendente por impacto

Autor: Gregorio Chacón Leiva

Tutor : Pedro Flores Domínguez-Rodiño

| Hz                | 100   | 125   | 160   | 200   | 250   | 315   | 400   | 500   | 630   | 800   | 1000  | 1250  | 1600  | 2000  | 2500  | 3125  | 4000      |
|-------------------|-------|-------|-------|-------|-------|-------|-------|-------|-------|-------|-------|-------|-------|-------|-------|-------|-----------|
| C.R Banda Inicial | 62    | 62    | 62    | 62    | 62    | 61    | 60    | 59    | 58    | 57    | 54    | 51    | 48    | 45    | 42    | xxxx  |           |
| C.R Banda final   | 58    | 58    | 58    | 58    | 58    | 57    | 56    | 55    | 54    | 53    | 50    | 47    | 44    | 41    | 38    |       |           |
| Alfa 4_5 nT       | 49.0  | 48.5  | 47.8  | 48.8  | 49.8  | 55.3  | 54.0  | 55.4  | 53.1  | 52.4  | 52.4  | 51.4  | 50.6  | 51.6  | 52.5  | 49.3  | 45.8      |
| 0                 | 13.00 | 13.46 | 14.16 | 13.16 | 12.16 | 6.66  | 6.96  | 4.56  | 5.86  | 5.56  | 4.56  | 2.56  | 0.36  | 3.64  | 8.54  | 7.34  | xxxx 11.7 |
| -1                | 12.00 | 12.46 | 13.16 | 12.16 | 11.16 | 5.66  | 5.96  | 3.56  | 4.86  | 4.56  | 3.56  | 1.56  | 0.64  | 4.64  | 8.54  | 8.34  | xxxx 12.5 |
| -2                | 11.00 | 11.46 | 12.16 | 11.16 | 10.16 | 4.66  | 4.96  | 2.56  | 3.86  | 3.56  | 2.56  | 0.56  | -     | -     | -     | -     | xxxx 13.4 |
| -3                | 10.00 | 10.46 | 11.16 | 10.16 | 9.16  | 3.66  | 3.96  | 1.56  | 2.86  | 2.56  | 1.56  | 0.44  | 2.64  | 6.64  | 10.54 | 10.34 | xxxx 14.5 |
| -4                | 9.00  | 9.46  | 10.16 | 9.16  | 8.16  | 2.66  | 2.96  | 0.56  | 1.86  | 1.56  | 0.56  | 1.44  | 3.64  | 7.64  | 11.54 | 11.34 | xxxx 15.5 |
| -5                | 8.00  | 8.46  | 9.16  | 8.16  | 7.16  | 1.66  | 1.96  | 0.44  | 0.86  | 0.56  | 0.44  | 2.44  | 4.64  | 8.64  | 12.54 | 12.34 | xxxx 16.7 |
| -6                | 7.00  | 7.46  | 8.16  | 7.16  | 6.16  | 0.66  | 0.96  | 1.44  | 0.14  | 0.44  | 1.44  | 3.44  | 5.64  | 9.64  | 13.54 | 13.34 | xxxx 17.7 |
| -7                | 6.00  | 6.46  | 7.16  | 6.16  | 5.16  | 0.34  | 0.04  | 2.44  | 1.14  | 1.44  | 2.44  | 4.44  | 6.64  | 10.64 | 14.54 | 14.34 | xxxx 18.8 |
| -8                | 5.00  | 5.46  | 6.16  | 5.16  | 4.16  | 1.34  | 1.04  | 3.44  | 2.14  | 2.44  | 3.44  | 5.44  | 7.64  | 11.64 | 15.54 | 15.34 | xxxx 19.8 |
| -9                | 4.00  | 4.46  | 5.16  | 4.16  | 3.16  | 2.34  | 2.04  | 4.44  | 3.14  | 3.44  | 4.44  | 6.44  | 8.64  | 12.64 | 16.54 | 16.34 | xxxx 20.8 |
| -10               | 3.00  | 3.46  | 4.16  | 3.16  | 2.16  | 3.34  | 3.04  | 5.44  | 4.14  | 4.44  | 5.44  | 7.44  | 9.64  | 13.64 | 17.54 | 17.34 | xxxx 21.8 |
| -11               | 2.00  | 2.46  | 3.16  | 2.16  | 1.16  | 4.34  | 4.04  | 6.44  | 5.14  | 5.44  | 6.44  | 8.44  | 10.64 | 14.64 | 18.54 | 18.34 | xxxx 22.7 |
| -12               | 1.00  | 1.46  | 2.16  | 1.16  | 0.16  | 5.34  | 5.04  | 7.44  | 6.14  | 6.44  | 7.44  | 9.44  | 11.64 | 15.64 | 19.54 | 19.34 | xxxx 23.7 |
| -13               | 0.00  | 0.46  | 1.16  | 0.16  | 0.84  | 6.34  | 6.04  | 8.44  | 7.14  | 7.44  | 8.44  | 10.44 | 12.64 | 16.64 | 20.54 | 20.34 | xxxx 24.8 |
| -14               | 1.00  | 0.54  | 0.16  | 0.84  | 1.84  | 7.34  | 7.04  | 9.44  | 8.14  | 8.44  | 9.44  | 11.44 | 13.64 | 17.64 | 21.54 | 21.34 | xxxx 25.8 |
| -15               | 2.00  | 1.54  | 0.84  | 1.84  | 2.84  | 8.34  | 8.04  | 10.44 | 9.14  | 9.44  | 10.44 | 12.44 | 14.64 | 18.64 | 22.54 | 22.34 | xxxx 26.8 |
| -16               | 3.00  | 2.54  | 1.84  | 2.84  | 3.84  | 9.34  | 9.04  | 11.44 | 10.14 | 10.44 | 11.44 | 13.44 | 15.64 | 19.64 | 23.54 | 23.34 | xxxx 27.8 |
| -17               | 4.00  | 3.54  | 2.84  | 3.84  | 4.84  | 10.34 | 10.04 | 12.44 | 11.14 | 11.44 | 12.44 | 14.44 | 16.64 | 20.64 | 24.54 | 24.34 | xxxx 28.8 |
| -18               | 5.00  | 4.54  | 3.84  | 4.84  | 5.84  | 11.34 | 11.04 | 13.44 | 12.14 | 12.44 | 13.44 | 15.44 | 17.64 | 21.64 | 25.54 | 25.34 | xxxx 29.8 |
| -19               | 6.00  | 5.54  | 4.84  | 5.84  | 6.84  | 12.34 | 12.04 | 14.44 | 13.14 | 13.44 | 14.44 | 16.44 | 18.64 | 22.64 | 26.54 | 26.34 | xxxx 30.8 |
| -20               | 7.00  | 6.54  | 5.84  | 6.84  | 7.84  | 13.34 | 13.04 | 15.44 | 14.14 | 14.44 | 15.44 | 17.44 | 19.64 | 23.64 | 27.54 | 27.34 | xxxx 31.8 |

Proyecto : Estudio al ruido ascendente por impacto

Autor: Gregorio Chacón Leiva

Tutor : Pedro Flores Domínguez-Rodiño

$$\boxed{L'_{nTw} = 56 \text{ dB}}$$

Tabla 48. $L'_{nTw}$  de Alfa\_4\_5\_nT

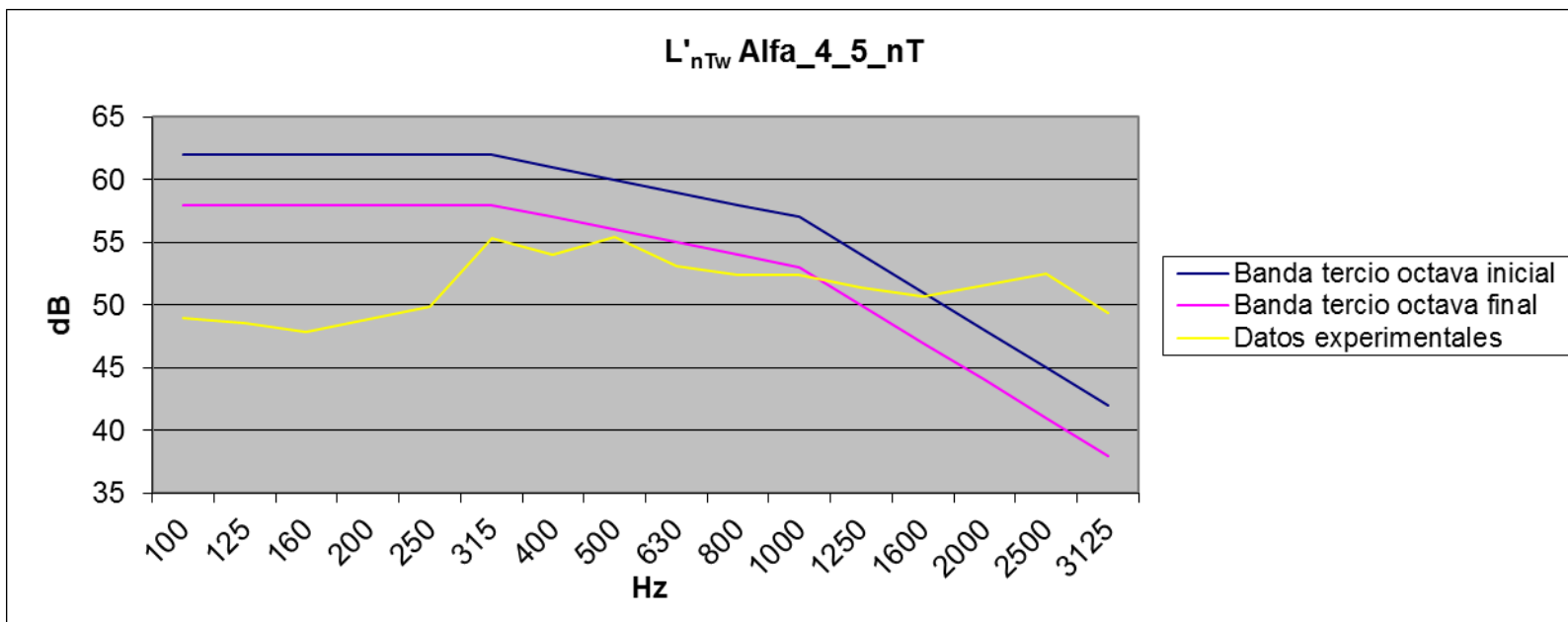


Figura 43. Gráfica  $L'_{nTw}$  de Alfa\_4\_5\_nT

Proyecto : Estudio al ruido ascendente por impacto

Autor: Gregorio Chacón Leiva

Tutor : Pedro Flores Domínguez-Rodiño

| Hz                | 100   | 125   | 160   | 200   | 250   | 315   | 400   | 500   | 630   | 800   | 1000  | 1250  | 1600  | 2000  | 2500  | 3125  | 4000      |
|-------------------|-------|-------|-------|-------|-------|-------|-------|-------|-------|-------|-------|-------|-------|-------|-------|-------|-----------|
| C.R Banda Inicial | 62    | 62    | 62    | 62    | 62    | 61    | 60    | 59    | 58    | 57    | 54    | 51    | 48    | 45    | 42    | xxxx  |           |
| C.R Banda final   | 56    | 56    | 56    | 56    | 56    | 55    | 54    | 53    | 52    | 51    | 48    | 45    | 42    | 39    | 36    |       |           |
| Alfa 4_6 nT       | 50.8  | 49.9  | 48.4  | 48.9  | 50.4  | 55.5  | 54.3  | 55.0  | 52.9  | 52.2  | 52.0  | 51.5  | 50.6  | 51.3  | 52.5  | 49.8  | 45.8      |
| 0                 | 11.20 | 12.06 | 13.56 | 13.06 | 11.56 | 6.46  | 6.66  | 4.96  | 6.06  | 5.76  | 4.96  | 2.46  | 0.36  | 3.34  | 8.54  | 7.84  | xxxx 11.9 |
| -1                | 10.20 | 11.06 | 12.56 | 12.06 | 10.56 | 5.46  | 5.66  | 3.96  | 5.06  | 4.76  | 3.96  | 1.46  | 0.64  | 4.34  | 8.54  | 8.84  | xxxx 12.6 |
| -2                | 9.20  | 10.06 | 11.56 | 11.06 | 9.56  | 4.46  | 4.66  | 2.96  | 4.06  | 3.76  | 2.96  | 0.46  | -     | -     | -     | -     |           |
| -3                | 8.20  | 9.06  | 10.56 | 10.06 | 8.56  | 3.46  | 3.66  | 1.96  | 3.06  | 2.76  | 1.96  | 0.54  | 2.64  | 6.34  | 10.54 | 10.84 | xxxx 14.7 |
| -4                | 7.20  | 8.06  | 9.56  | 9.06  | 7.56  | 2.46  | 2.66  | 0.96  | 2.06  | 1.76  | 0.96  | 1.54  | 3.64  | 7.34  | 11.54 | 11.84 | xxxx 15.7 |
| -5                | 6.20  | 7.06  | 8.56  | 8.06  | 6.56  | 1.46  | 1.66  | 0.04  | 1.06  | 0.76  | 0.04  | 2.54  | 4.64  | 8.34  | 12.54 | 12.84 | xxxx 16.8 |
| -6                | 5.20  | 6.06  | 7.56  | 7.06  | 5.56  | 0.46  | 0.66  | 1.04  | 0.06  | 0.24  | 1.04  | 3.54  | 5.64  | 9.34  | 13.54 | 13.84 | xxxx 17.9 |
| -7                | 4.20  | 5.06  | 6.56  | 6.06  | 4.56  | 0.54  | 0.34  | 2.04  | 0.94  | 1.24  | 2.04  | 4.54  | 6.64  | 10.34 | 14.54 | 14.84 | xxxx 19.0 |
| -8                | 3.20  | 4.06  | 5.56  | 5.06  | 3.56  | 1.54  | 1.34  | 3.04  | 1.94  | 2.24  | 3.04  | 5.54  | 7.64  | 11.34 | 15.54 | 15.84 | xxxx 19.9 |
| -9                | 2.20  | 3.06  | 4.56  | 4.06  | 2.56  | 2.54  | 2.34  | 4.04  | 2.94  | 3.24  | 4.04  | 6.54  | 8.64  | 12.34 | 16.54 | 16.84 | xxxx 20.9 |
| -10               | 1.20  | 2.06  | 3.56  | 3.06  | 1.56  | 3.54  | 3.34  | 5.04  | 3.94  | 4.24  | 5.04  | 7.54  | 9.64  | 13.34 | 17.54 | 17.84 | xxxx 21.9 |
| -11               | 0.20  | 1.06  | 2.56  | 2.06  | 0.56  | 4.54  | 4.34  | 6.04  | 4.94  | 5.24  | 6.04  | 8.54  | 10.64 | 14.34 | 18.54 | 18.84 | xxxx 22.9 |
| -12               | 0.80  | 0.06  | 1.56  | 1.06  | 0.44  | 5.54  | 5.34  | 7.04  | 5.94  | 6.24  | 7.04  | 9.54  | 11.64 | 15.34 | 19.54 | 19.84 | xxxx 23.9 |
| -13               | 1.80  | 0.94  | 0.56  | 0.06  | 1.44  | 6.54  | 6.34  | 8.04  | 6.94  | 7.24  | 8.04  | 10.54 | 12.64 | 16.34 | 20.54 | 20.84 | xxxx 24.9 |
| -14               | 2.80  | 1.94  | 0.44  | 0.94  | 2.44  | 7.54  | 7.34  | 9.04  | 7.94  | 8.24  | 9.04  | 11.54 | 13.64 | 17.34 | 21.54 | 21.84 | xxxx 26.0 |
| -15               | 3.80  | 2.94  | 1.44  | 1.94  | 3.44  | 8.54  | 8.34  | 10.04 | 8.94  | 9.24  | 10.04 | 12.54 | 14.64 | 18.34 | 22.54 | 22.84 | xxxx 27.0 |
| -16               | 4.80  | 3.94  | 2.44  | 2.94  | 4.44  | 9.54  | 9.34  | 11.04 | 9.94  | 10.24 | 11.04 | 13.54 | 15.64 | 19.34 | 23.54 | 23.84 | xxxx 28.0 |
| -17               | 5.80  | 4.94  | 3.44  | 3.94  | 5.44  | 10.54 | 10.34 | 12.04 | 10.94 | 11.24 | 12.04 | 14.54 | 16.64 | 20.34 | 24.54 | 24.84 | xxxx 29.0 |
| -18               | 6.80  | 5.94  | 4.44  | 4.94  | 6.44  | 11.54 | 11.34 | 13.04 | 11.94 | 12.24 | 13.04 | 15.54 | 17.64 | 21.34 | 25.54 | 25.84 | xxxx 30.0 |
| -19               | 7.80  | 6.94  | 5.44  | 5.94  | 7.44  | 12.54 | 12.34 | 14.04 | 12.94 | 13.24 | 14.04 | 16.54 | 18.64 | 22.34 | 26.54 | 26.84 | xxxx 31.0 |
| -20               | 8.80  | 7.94  | 6.44  | 6.94  | 8.44  | 13.54 | 13.34 | 15.04 | 13.94 | 14.24 | 15.04 | 17.54 | 19.64 | 23.34 | 27.54 | 27.84 | xxxx 32.0 |

Proyecto : Estudio al ruido ascendente por impacto

Autor: Gregorio Chacón Leiva

Tutor : Pedro Flores Domínguez-Rodiño

L'nTw=54  
dB

Tabla 49.L'nTw de Alfa\_4\_6\_nT

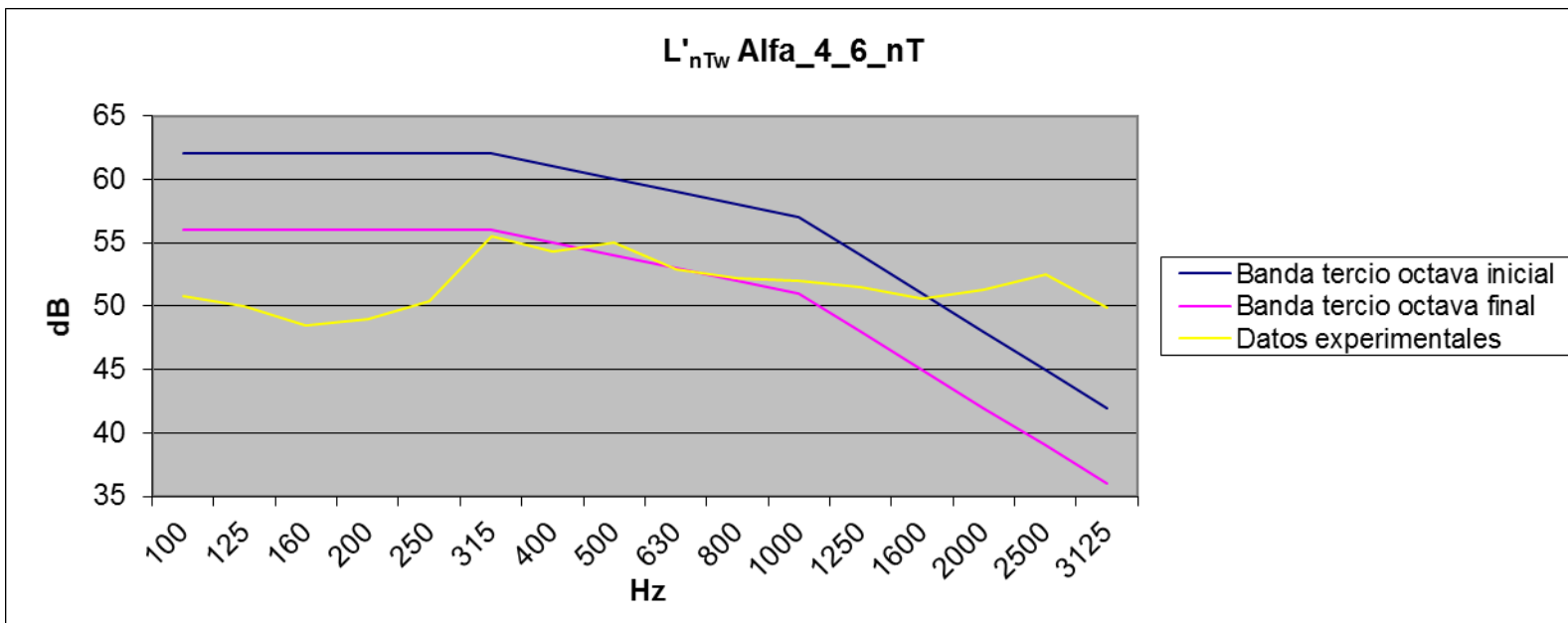


Figura 44.Gráfica L'nTw de Alfa\_4\_6\_nT

Proyecto : Estudio al ruido ascendente por impacto

Autor: Gregorio Chacón Leiva

Tutor : Pedro Flores Domínguez-Rodiño

| Hz                | 100   | 125   | 160   | 200   | 250   | 315   | 400   | 500   | 630   | 800   | 1000  | 1250  | 1600  | 2000  | 2500  | 3125  | 4000            |
|-------------------|-------|-------|-------|-------|-------|-------|-------|-------|-------|-------|-------|-------|-------|-------|-------|-------|-----------------|
| C.R Banda Inicial | 62    | 62    | 62    | 62    | 62    | 61    | 60    | 59    | 58    | 57    | 54    | 51    | 48    | 45    | 42    | xxxx  |                 |
| C.R Banda final   | 56    | 56    | 56    | 56    | 56    | 55    | 54    | 53    | 52    | 51    | 48    | 45    | 42    | 39    | 36    |       |                 |
| Alfa 4_7 nT       | 52.0  | 51.2  | 49.3  | 48.5  | 51.1  | 55.2  | 54.2  | 54.7  | 52.9  | 51.9  | 52.1  | 51.5  | 50.3  | 51.1  | 52.4  | 49.3  | 45.3            |
| 0                 | 10.00 | 10.76 | 12.66 | 13.46 | 10.86 | 6.76  | 6.76  | 5.26  | 6.06  | 6.06  | 4.86  | 2.46  | 0.66  | 3.14  | 8.44  | 7.34  | xxxx 11.6       |
| -1                | 9.00  | 9.76  | 11.66 | 12.46 | 9.86  | 5.76  | 5.76  | 4.26  | 5.06  | 5.06  | 3.86  | 1.46  | 0.34  | 4.14  | 8.44  | 8.34  | xxxx 12.4       |
| -2                | 8.00  | 8.76  | 10.66 | 11.46 | 8.86  | 4.76  | 4.76  | 3.26  | 4.06  | 4.06  | 2.86  | 0.46  | 1.34  | 5.14  | 9.44  | 9.34  | xxxx 13.3       |
| -3                | 7.00  | 7.76  | 9.66  | 10.46 | 7.86  | 3.76  | 3.76  | 2.26  | 3.06  | 3.06  | 1.86  | 0.54  | 2.34  | 6.14  | 10.44 | 10.34 | xxxx 14.4       |
| -4                | 6.00  | 6.76  | 8.66  | 9.46  | 6.86  | 2.76  | 2.76  | 1.26  | 2.06  | 2.06  | 0.86  | 1.54  | 3.34  | 7.14  | 11.44 | 11.34 | xxxx 15.4       |
| -5                | 5.00  | 5.76  | 7.66  | 8.46  | 5.86  | 1.76  | 1.76  | 0.26  | 1.06  | 1.06  | 0.14  | 2.54  | 4.34  | 8.14  | 12.44 | 12.34 | xxxx 16.5       |
| -6                | 4.00  | 4.76  | 6.66  | 7.46  | 4.86  | 0.76  | 0.76  | 0.74  | 0.06  | 0.06  | 1.14  | 3.54  | 5.34  | 9.14  | 13.44 | 13.34 | xxxx 17.5       |
| -7                | 3.00  | 3.76  | 5.66  | 6.46  | 3.86  | -     | 0.24  | 0.24  | 1.74  | 0.94  | 0.94  | 2.14  | 4.54  | 6.34  | 10.14 | 14.44 | 14.34 xxxx 18.7 |
| -8                | 2.00  | 2.76  | 4.66  | 5.46  | 2.86  | 1.24  | 1.24  | 2.74  | 1.94  | 1.94  | 3.14  | 5.54  | 7.34  | 11.14 | 15.44 | 15.34 | xxxx 19.7       |
| -9                | 1.00  | 1.76  | 3.66  | 4.46  | 1.86  | 2.24  | 2.24  | 3.74  | 2.94  | 2.94  | 4.14  | 6.54  | 8.34  | 12.14 | 16.44 | 16.34 | xxxx 20.7       |
| -10               | 0.00  | 0.76  | 2.66  | 3.46  | 0.86  | 3.24  | 3.24  | 4.74  | 3.94  | 3.94  | 5.14  | 7.54  | 9.34  | 13.14 | 17.44 | 17.34 | xxxx 21.6       |
| -11               | 1.00  | 0.24  | 1.66  | 2.46  | 0.14  | 4.24  | 4.24  | 5.74  | 4.94  | 4.94  | 6.14  | 8.54  | 10.34 | 14.14 | 18.44 | 18.34 | xxxx 22.7       |
| -12               | 2.00  | 1.24  | 0.66  | 1.46  | 1.14  | 5.24  | 5.24  | 6.74  | 5.94  | 5.94  | 7.14  | 9.54  | 11.34 | 15.14 | 19.44 | 19.34 | xxxx 23.7       |
| -13               | 3.00  | 2.24  | 0.34  | 0.46  | 2.14  | 6.24  | 6.24  | 7.74  | 6.94  | 6.94  | 8.14  | 10.54 | 12.34 | 16.14 | 20.44 | 20.34 | xxxx 24.7       |
| -14               | 4.00  | 3.24  | 1.34  | 0.54  | 3.14  | 7.24  | 7.24  | 8.74  | 7.94  | 7.94  | 9.14  | 11.54 | 13.34 | 17.14 | 21.44 | 21.34 | xxxx 25.7       |
| -15               | 5.00  | 4.24  | 2.34  | 1.54  | 4.14  | 8.24  | 8.24  | 9.74  | 8.94  | 8.94  | 10.14 | 12.54 | 14.34 | 18.14 | 22.44 | 22.34 | xxxx 26.7       |
| -16               | 6.00  | 5.24  | 3.34  | 2.54  | 5.14  | 9.24  | 9.24  | 10.74 | 9.94  | 9.94  | 11.14 | 13.54 | 15.34 | 19.14 | 23.44 | 23.34 | xxxx 27.7       |
| -17               | 7.00  | 6.24  | 4.34  | 3.54  | 6.14  | 10.24 | 10.24 | 11.74 | 10.94 | 10.94 | 12.14 | 14.54 | 16.34 | 20.14 | 24.44 | 24.34 | xxxx 28.7       |
| -18               | 8.00  | 7.24  | 5.34  | 4.54  | 7.14  | 11.24 | 11.24 | 12.74 | 11.94 | 11.94 | 13.14 | 15.54 | 17.34 | 21.14 | 25.44 | 25.34 | xxxx 29.7       |
| -19               | 9.00  | 8.24  | 6.34  | 5.54  | 8.14  | 12.24 | 12.24 | 13.74 | 12.94 | 12.94 | 14.14 | 16.54 | 18.34 | 22.14 | 26.44 | 26.34 | xxxx 30.7       |
| -20               | 10.00 | 9.24  | 7.34  | 6.54  | 9.14  | 13.24 | 13.24 | 14.74 | 13.94 | 13.94 | 15.14 | 17.54 | 19.34 | 23.14 | 27.44 | 27.34 | xxxx 31.7       |

Proyecto : Estudio al ruido ascendente por impacto

Autor: Gregorio Chacón Leiva

Tutor : Pedro Flores Domínguez-Rodiño

L'nTw= 53  
dB

Tabla 50.L'nTw de Alfa\_4\_7\_nT

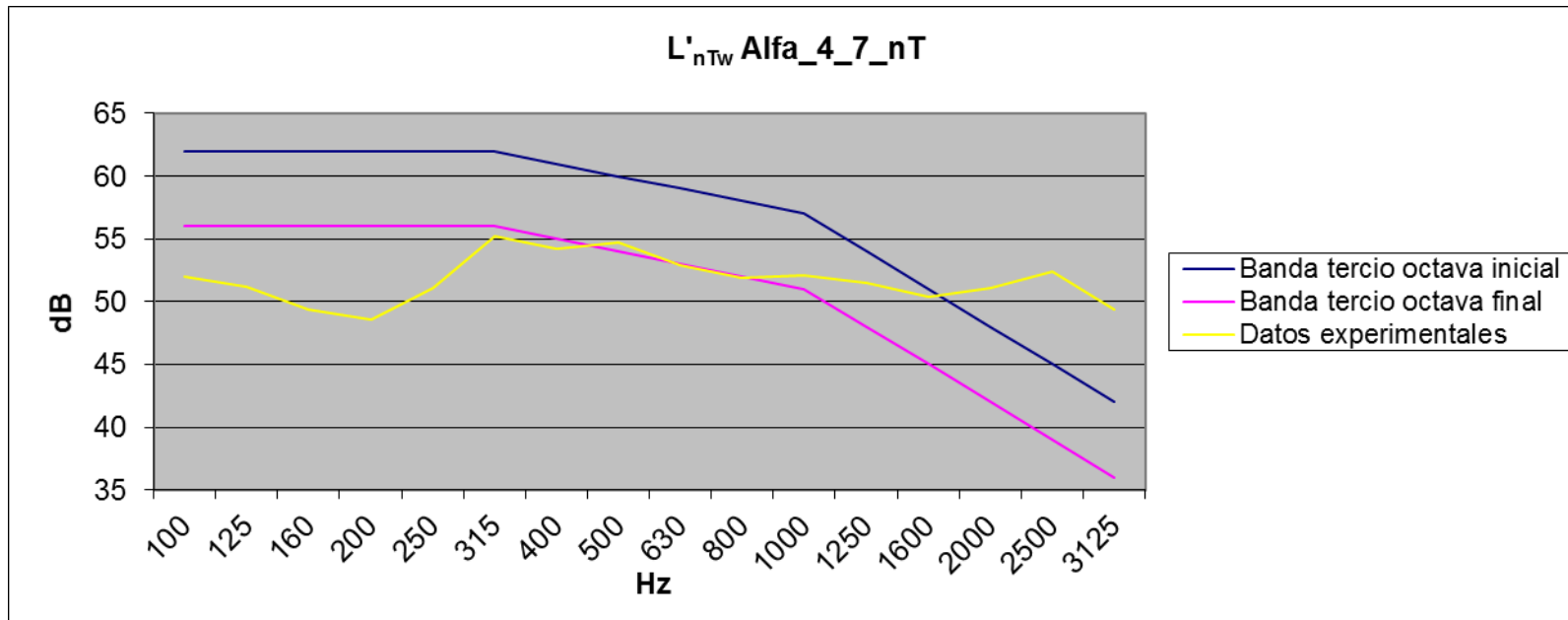


Figura 45.Gráfica L'nTw de Alfa\_4\_7\_nT

Proyecto : Estudio al ruido ascendente por impacto

Autor: Gregorio Chacón Leiva

Tutor : Pedro Flores Domínguez-Rodiño

| Hz                | 100   | 125   | 160   | 200   | 250   | 315   | 400   | 500   | 630   | 800   | 1000  | 1250  | 1600  | 2000  | 2500  | 3125  | 4000      |           |
|-------------------|-------|-------|-------|-------|-------|-------|-------|-------|-------|-------|-------|-------|-------|-------|-------|-------|-----------|-----------|
| C.R Banda Inicial | 62    | 62    | 62    | 62    | 62    | 61    | 60    | 59    | 58    | 57    | 54    | 51    | 48    | 45    | 42    | xxxx  |           |           |
| C.R Banda final   | 57    | 57    | 57    | 57    | 57    | 56    | 55    | 54    | 53    | 52    | 49    | 46    | 43    | 40    | 37    |       |           |           |
| Alfa 4_8 nT       | 50.5  | 49.7  | 48.8  | 50.9  | 49.4  | 51.1  | 54.3  | 55.4  | 53.5  | 54.9  | 51.9  | 51.5  | 51.0  | 50.9  | 52.1  | 48.4  | 44.6      |           |
| 0                 | 11.50 | 12.26 | 13.16 | 11.06 | 12.56 | 10.86 | 6.66  | 4.56  | 5.46  | 3.06  | 5.06  | 2.46  | 0.04  | 2.94  | 8.14  | 6.44  | xxxx 11.1 |           |
| -1                | 10.50 | 11.26 | 12.16 | 10.06 | 11.56 | 9.86  | 5.66  | 3.56  | 4.46  | 2.06  | 4.06  | 1.46  | 1.04  | 3.94  | 8.14  | 7.44  | xxxx 13.5 |           |
| -2                | 9.50  | 10.26 | 11.16 | 9.06  | 10.56 | 8.86  | 4.66  | 2.56  | 3.46  | 1.06  | 3.06  | 0.46  | 2.04  | 4.94  | 9.14  | 8.44  | xxxx 14.5 |           |
| -3                | 8.50  | 9.26  | 10.16 | 8.06  | 9.56  | 7.86  | 3.66  | 1.56  | 2.46  | 0.06  | 2.06  | 0.54  | 3.04  | 5.94  | 10.14 | 9.44  | xxxx 15.6 |           |
| -4                | 7.50  | 8.26  | 9.16  | 7.06  | 8.56  | 6.86  | 2.66  | 0.56  | 1.46  | 0.94  | 1.06  | 1.54  | 4.04  | 6.94  | 11.14 | 10.44 | xxxx 16.7 |           |
| -5                | 6.50  | 7.26  | 8.16  | 6.06  | 7.56  | 5.86  | 1.66  | 0.44  | 0.46  | 1.94  | 0.06  | 2.54  | 5.04  | 7.94  | 12.14 | 11.44 | xxxx 17.8 |           |
| -6                | 5.50  | 6.26  | 7.16  | 5.06  | 6.56  | 4.86  | 0.66  | 1.44  | 0.54  | 2.94  | 0.94  | 3.54  | 6.04  | 8.94  | 13.14 | 12.44 | xxxx 18.9 |           |
| -7                | 4.50  | 5.26  | 6.16  | 4.06  | 5.56  | 3.86  | -     | 0.34  | 2.44  | 1.54  | 3.94  | 1.94  | 4.54  | 7.04  | 9.94  | 14.14 | 13.44     | xxxx 19.9 |
| -8                | 3.50  | 4.26  | 5.16  | 3.06  | 4.56  | 2.86  | 1.34  | 3.44  | 2.54  | 4.94  | 2.94  | 5.54  | 8.04  | 10.94 | 15.14 | 14.44 | xxxx 20.7 |           |
| -9                | 2.50  | 3.26  | 4.16  | 2.06  | 3.56  | 1.86  | 2.34  | 4.44  | 3.54  | 5.94  | 3.94  | 6.54  | 9.04  | 11.94 | 16.14 | 15.44 | xxxx 21.7 |           |
| -10               | 1.50  | 2.26  | 3.16  | 1.06  | 2.56  | 0.86  | 3.34  | 5.44  | 4.54  | 6.94  | 4.94  | 7.54  | 10.04 | 12.94 | 17.14 | 16.44 | xxxx 22.7 |           |
| -11               | 0.50  | 1.26  | 2.16  | 0.06  | 1.56  | 0.14  | 4.34  | 6.44  | 5.54  | 7.94  | 5.94  | 8.54  | 11.04 | 13.94 | 18.14 | 17.44 | xxxx 23.7 |           |
| -12               | 0.50  | 0.26  | 1.16  | -     | 0.94  | 0.56  | 1.14  | 5.34  | 7.44  | 6.54  | 8.94  | 6.94  | 9.54  | 12.04 | 14.94 | 19.14 | 18.44     | xxxx 24.7 |
| -13               | 1.50  | 0.74  | 0.16  | 1.94  | 0.44  | 2.14  | 6.34  | 8.44  | 7.54  | 9.94  | 7.94  | 10.54 | 13.04 | 15.94 | 20.14 | 19.44 | xxxx 25.7 |           |
| -14               | 2.50  | 1.74  | 0.84  | 2.94  | 1.44  | 3.14  | 7.34  | 9.44  | 8.54  | 10.94 | 8.94  | 11.54 | 14.04 | 16.94 | 21.14 | 20.44 | xxxx 26.7 |           |
| -15               | 3.50  | 2.74  | 1.84  | 3.94  | 2.44  | 4.14  | 8.34  | 10.44 | 9.54  | 11.94 | 9.94  | 12.54 | 15.04 | 17.94 | 22.14 | 21.44 | xxxx 27.7 |           |
| -16               | 4.50  | 3.74  | 2.84  | 4.94  | 3.44  | 5.14  | 9.34  | 11.44 | 10.54 | 12.94 | 10.94 | 13.54 | 16.04 | 18.94 | 23.14 | 22.44 | xxxx 28.7 |           |
| -17               | 5.50  | 4.74  | 3.84  | 5.94  | 4.44  | 6.14  | 10.34 | 12.44 | 11.54 | 13.94 | 11.94 | 14.54 | 17.04 | 19.94 | 24.14 | 23.44 | xxxx 29.7 |           |
| -18               | 6.50  | 5.74  | 4.84  | 6.94  | 5.44  | 7.14  | 11.34 | 13.44 | 12.54 | 14.94 | 12.94 | 15.54 | 18.04 | 20.94 | 25.14 | 24.44 | xxxx 30.7 |           |
| -19               | 7.50  | 6.74  | 5.84  | 7.94  | 6.44  | 8.14  | 12.34 | 14.44 | 13.54 | 15.94 | 13.94 | 16.54 | 19.04 | 21.94 | 26.14 | 25.44 | xxxx 31.7 |           |

L'nTw= 55  
dB

Proyecto : Estudio al ruido ascendente por impacto

Autor: Gregorio Chacón Leiva

Tutor : Pedro Flores Domínguez-Rodríguez

Tabla 51. $L'_{nTw}$  de Alfa\_4\_8\_nT

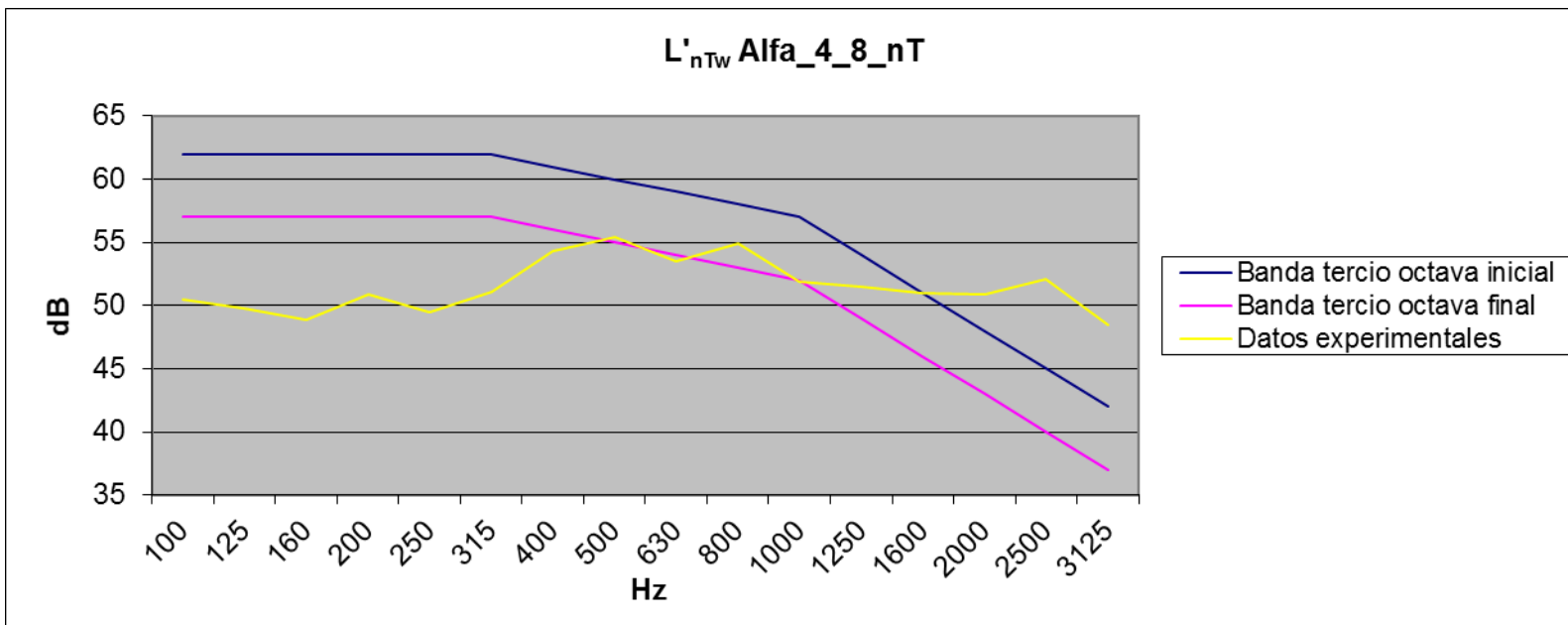


Figura 46.Gráfica  $L'_{nTw}$  de Alfa\_4\_8\_nT

*Proyecto :* Estudio al ruido ascendente por impacto

*Autor:* Gregorio Chacón Leiva

*Tutor :* Pedro Flores Domínguez-Rodiño

Gráficas Bravo:

Cada punto de medida tiene cuatro filas de datos en la parte superior, la primera (**rojo**) corresponde al espectro de frecuencias ya sea en banda de octava, o de tercio de octava. La segunda corresponde a la banda de referencia en sus valores iniciales (**azul**), la tercera a los finales (**naranja**), y la última los valores experimentales en dicho punto (**amarillo**).

El algoritmo se basa en ir reduciendo decibelio a decibelio la banda de valores iniciales, eso puede verse en la columna de la izquierda(**púrpura**) que se encuentra numerada, señalando cuantos valores se ha reducido la banda inicial en cada momento.

Cuando los valores se hacen negativos (**gris**), es decir la banda de referencia corta a los datos experimentales, se empieza a contabilizar la suma de los mismos, quedando reflejado en la columna de la izquierda (**verde**), llamándose a esto “desviaciones desfavorables”. Dichas desviaciones deben ser “máximas” pero no mayores de 32 dB.

Para saber el punto de corte, se mira cuando la suma de decibelios se estabiliza, es decir, cuando al bajar la banda de referencia 1 dB la suma aumenta en un decibelio, y se toma como punto de corte el valor anterior a este, esto queda reflejado por una fila de color **rosa** que determina el valor de  $L'_{nT,w}$  el cual se encuentra en una celda en la parte inferior de cada tabla de datos.

Proyecto : Estudio al ruido ascendente por impacto

Autor: Gregorio Chacón Leiva

Tutor : Pedro Flores Domínguez-Rodríguez

| Hz                | 125    | 250  | 500  | 1000        | 2000   | 4000 |                  |
|-------------------|--------|------|------|-------------|--------|------|------------------|
| C.R Banda Inicial | 67     | 67   | 65   | 62          | 49     | xxxx |                  |
| C.R.Banda Final   | 53     | 53   | 51   | 48          | 35     | xxxx |                  |
| Bravo_4_1_nT      | 59.8   | 52.9 | 50.5 | 43.2        | 36.9   | 30.4 |                  |
| 0                 | 7.2    | 14.1 | 14.5 | 18.8        | 12.1   | xxxx | sin desviaciones |
| -1                | 6.2    | 13.1 | 13.5 | 17.8        | 11.1   | xxxx | sin desviaciones |
| -2                | 5.2    | 12.1 | 12.5 | 16.8        | 10.1   | xxxx | sin desviaciones |
| -3                | 4.2    | 11.1 | 11.5 | 15.8        | 9.1    | xxxx | sin desviaciones |
| -4                | 3.2    | 10.1 | 10.5 | 14.8        | 8.1    | xxxx | sin desviaciones |
| -5                | 2.2    | 9.1  | 9.5  | 13.8        | 7.1    | xxxx | sin desviaciones |
| -6                | 1.2    | 8.1  | 8.5  | 12.8        | 6.1    | xxxx | sin desviaciones |
| -7                | 0.2    | 7.1  | 7.5  | 11.8        | 5.1    | xxxx | sin desviaciones |
| -8                | - 0.8  | 6.1  | 6.5  | 10.8        | 4.1    | xxxx | 0.8              |
| -9                | - 1.8  | 5.1  | 5.5  | 9.8         | 3.1    | xxxx | 1.8              |
| -10               | - 2.8  | 4.1  | 4.5  | 8.8         | 2.1    | xxxx | 2.8              |
| -11               | - 3.8  | 3.1  | 3.5  | 7.8         | 1.1    | xxxx | 3.8              |
| -12               | - 4.78 | 2.12 | 2.52 | 6.82        | 0.12   | xxxx | 4.8              |
| -13               | - 5.78 | 1.12 | 1.52 | 5.82        | - 0.88 | xxxx | 7.0              |
| -14               | - 6.78 | 0.12 | 0.52 | 4.82        | - 1.88 | xxxx | 8.0              |
|                   |        |      |      | L'nw= 46 dB |        |      |                  |

Tabla 52.L'nw de Bravo\_4\_1\_n

Proyecto : Estudio al ruido ascendente por impacto

Autor: Gregorio Chacón Leiva

Tutor : Pedro Flores Domínguez-Rodríguez

| Hz                | 125    | 250    | 500  | 1000 | 2000   | 4000 |                  |
|-------------------|--------|--------|------|------|--------|------|------------------|
| C.R Banda Inicial | 67     | 67     | 65   | 62   | 49     | xxxx |                  |
| C.R.Banda Final   | 51     | 51     | 49   | 46   | 33     | xxxx |                  |
| Bravo_4_2_nT      | 57.7   | 53.7   | 48.8 | 41.4 | 35.2   | 30.6 |                  |
| 0                 | 9.3    | 13.3   | 16.2 | 20.6 | 13.8   | xxxx | sin desviaciones |
| -1                | 8.3    | 12.3   | 15.2 | 19.6 | 12.8   | xxxx | sin desviaciones |
| -2                | 7.3    | 11.3   | 14.2 | 18.6 | 11.8   | xxxx | sin desviaciones |
| -3                | 6.3    | 10.3   | 13.2 | 17.6 | 10.8   | xxxx | sin desviaciones |
| -4                | 5.3    | 9.3    | 12.2 | 16.6 | 9.8    | xxxx | sin desviaciones |
| -5                | 4.3    | 8.3    | 11.2 | 15.6 | 8.8    | xxxx | sin desviaciones |
| -6                | 3.3    | 7.3    | 10.2 | 14.6 | 7.8    | xxxx | sin desviaciones |
| -7                | 2.3    | 6.3    | 9.2  | 13.6 | 6.8    | xxxx | sin desviaciones |
| -8                | 1.3    | 5.3    | 8.2  | 12.6 | 5.8    | xxxx | sin desviaciones |
| -9                | 0.3    | 4.3    | 7.2  | 11.6 | 4.8    | xxxx | sin desviaciones |
| -10               | - 0.7  | 3.3    | 6.2  | 10.6 | 3.8    | xxxx | 0.7              |
| -11               | - 1.7  | 2.3    | 5.2  | 9.6  | 2.8    | xxxx | 1.7              |
| -12               | - 2.68 | 1.32   | 4.22 | 8.62 | 1.82   | xxxx | 2.7              |
| -13               | - 3.68 | 0.32   | 3.22 | 7.62 | 0.82   | xxxx | 5.0              |
| -14               | - 4.68 | - 0.68 | 2.22 | 6.62 | - 0.18 | xxxx | 6.0              |
| -15               | - 5.68 | - 1.68 | 1.22 | 5.62 | - 1.18 | xxxx | 8.8              |
| -16               | - 6.68 | - 2.68 | 0.22 | 4.62 | - 2.18 | xxxx | 9.6              |

L'nw= 44 dB

Tabla 53.L'nw de Bravo\_4\_2\_n

Proyecto : Estudio al ruido ascendente por impacto

Autor: Gregorio Chacón Leiva

Tutor : Pedro Flores Domínguez-Rodríguez

| Hz                | 125    | 250    | 500  | 1000 | 2000 | 4000 |                  |
|-------------------|--------|--------|------|------|------|------|------------------|
| C.R Banda Inicial | 67     | 67     | 65   | 62   | 49   | xxx  |                  |
| C.R.Banda Final   | 52     | 52     | 50   | 47   | 34   | xxxx |                  |
| Bravo_4_3_nT      | 59.5   | 52.6   | 49.2 | 40.3 | 34.0 | 28.2 |                  |
| 0                 | 7.5    | 14.4   | 15.8 | 21.7 | 15.0 | xxxx | sin desviaciones |
| -1                | 6.5    | 13.4   | 14.8 | 20.7 | 14.0 | xxxx | sin desviaciones |
| -2                | 5.5    | 12.4   | 13.8 | 19.7 | 13.0 | xxxx | sin desviaciones |
| -3                | 4.5    | 11.4   | 12.8 | 18.7 | 12.0 | xxxx | sin desviaciones |
| -4                | 3.5    | 10.4   | 11.8 | 17.7 | 11.0 | xxxx | sin desviaciones |
| -5                | 2.5    | 9.4    | 10.8 | 16.7 | 10.0 | xxxx | sin desviaciones |
| -6                | 1.5    | 8.4    | 9.8  | 15.7 | 9.0  | xxxx | sin desviaciones |
| -7                | 0.5    | 7.4    | 8.8  | 14.7 | 8.0  | xxxx | sin desviaciones |
| -8                | - 0.5  | 6.4    | 7.8  | 13.7 | 7.0  | xxxx | 0.5              |
| -9                | - 1.5  | 5.4    | 6.8  | 12.7 | 6.0  | xxxx | 1.5              |
| -10               | - 2.5  | 4.4    | 5.8  | 11.7 | 5.0  | xxxx | 2.5              |
| -11               | - 3.5  | 3.4    | 4.8  | 10.7 | 4.0  | xxxx | 3.5              |
| -12               | - 4.48 | 2.42   | 3.82 | 9.72 | 3.02 | xxxx | 4.5              |
| -13               | - 5.48 | 1.42   | 2.82 | 8.72 | 2.02 | xxxx | 6.2              |
| -14               | - 6.48 | 0.42   | 1.82 | 7.72 | 1.02 | xxxx | 7.2              |
| -15               | - 7.48 | - 0.58 | 0.82 | 6.72 | 0.02 | xxxx | 9.4              |

L'nw= 45 dB

Tabla 53.L'nw de Bravo\_4\_3\_n

Proyecto : Estudio al ruido ascendente por impacto

Autor: Gregorio Chacón Leiva

Tutor : Pedro Flores Domínguez-Rodríguez

| Hz                | 100   | 125   | 160  | 200   | 250   | 315  | 400  | 500  | 630  | 800  | 1000 | 1250 | 1600 | 2000 | 2500  | 3125 | 4000      |       |           |
|-------------------|-------|-------|------|-------|-------|------|------|------|------|------|------|------|------|------|-------|------|-----------|-------|-----------|
| C.R Banda Inicial | 62    | 62    | 62   | 62    | 62    | 62   | 61   | 60   | 59   | 58   | 57   | 54   | 51   | 48   | 45    | 42   | xxxx      |       |           |
| C.R.Banda Final   | 52    | 52    | 52   | 52    | 52    | 52   | 51   | 50   | 49   | 48   | 47   | 44   | 41   | 38   | 35    | 32   |           |       |           |
| Bravo_1_1_n       | 47.1  | 51.8  | 52.5 | 51.2  | 45.3  | 53.0 | 52.5 | 51.3 | 51.4 | 50.4 | 49.3 | 48.0 | 48.7 | 43.5 | 47.4  | 43.4 | 40.3      |       |           |
| 0                 | 14.86 | 10.22 | 9.52 | 10.82 | 16.72 | 9.02 | 8.52 | 8.72 | 7.62 | 7.62 | 7.72 | 6.02 | 2.32 | 4.52 | 2.38  | 1.38 | xxxx 4.9  |       |           |
| -1                | 13.86 | 9.22  | 8.52 | 9.82  | 15.72 | 8.02 | 7.52 | 7.72 | 6.62 | 6.62 | 6.72 | 5.02 | 1.32 | 3.52 | 3.38  | 2.38 | xxxx 5.5  |       |           |
| -2                | 12.86 | 8.22  | 7.52 | 8.82  | 14.72 | 7.02 | 6.52 | 6.72 | 5.62 | 5.62 | 5.72 | 4.02 | 0.32 | 2.52 | 4.38  | 3.38 | xxxx 6.9  |       |           |
| -3                | 11.86 | 7.22  | 6.52 | 7.82  | 13.72 | 6.02 | 5.52 | 5.72 | 4.62 | 4.62 | 4.72 | 3.02 | 0.68 | 1.52 | 5.38  | 4.38 | xxxx 8.7  |       |           |
| -4                | 10.86 | 6.22  | 5.52 | 6.82  | 12.72 | 5.02 | 4.52 | 4.72 | 3.62 | 3.62 | 3.72 | 2.02 | 1.68 | 0.52 | 6.38  | 5.38 | xxxx 9.7  |       |           |
| -5                | 9.86  | 5.22  | 4.52 | 5.82  | 11.72 | 4.02 | 3.52 | 3.72 | 2.62 | 2.62 | 2.72 | 1.02 | 2.68 | 0.48 | 7.38  | 6.38 | xxxx 11.1 |       |           |
| -6                | 8.86  | 4.22  | 3.52 | 4.82  | 10.72 | 3.02 | 2.52 | 2.72 | 1.62 | 1.62 | 1.72 | 0.02 | 3.68 | 1.48 | 8.38  | 7.38 | xxxx 12.1 |       |           |
| -7                | 7.86  | 3.22  | 2.52 | 3.82  | 9.72  | 2.02 | 1.52 | 1.72 | 0.62 | 0.62 | 0.72 | 0.98 | 4.68 | 2.48 | 9.38  | 8.38 | xxxx 13.3 |       |           |
| -8                | 6.86  | 2.22  | 1.52 | 2.82  | 8.72  | 1.02 | 0.52 | 0.72 | 0.38 | 0.38 | 0.28 | 1.98 | 5.68 | 3.48 | 10.38 | 9.38 | xxxx 14.8 |       |           |
| -9                | 5.86  | 1.22  | 0.52 | 1.82  | 7.72  | 0.02 | -    | 0.48 | -    | 0.28 | 1.38 | 1.38 | 1.28 | 2.98 | 6.68  | 4.48 | 11.38     | 10.38 | xxxx 16.1 |
| -10               | 4.86  | 0.22  | -    | 0.48  | 0.82  | 6.72 | 0.98 | 1.48 | -    | 1.28 | 2.38 | 2.38 | 2.28 | 3.98 | 7.68  | 5.48 | 12.38     | 11.38 | xxxx 17.3 |
| -11               | 3.86  | -     | -    | -     | 0.18  | 5.72 | 1.98 | 2.48 | -    | 2.28 | 3.38 | 3.38 | 3.28 | 4.98 | 8.68  | 6.48 | 13.38     | 12.38 | xxxx 18.4 |
| -12               | 2.86  | -     | -    | -     | 1.18  | 4.72 | 2.98 | 3.48 | -    | 3.28 | 4.38 | 4.38 | 4.28 | 5.98 | 9.68  | 7.48 | 14.38     | 13.38 | xxxx 19.4 |

Proyecto : Estudio al ruido ascendente por impacto

Autor: Gregorio Chacón Leiva

Tutor : Pedro Flores Domínguez-Rodiño

|     |      |         |         |         |      |         |         |         |         |         |         |         |         |         |         |         |      |      |
|-----|------|---------|---------|---------|------|---------|---------|---------|---------|---------|---------|---------|---------|---------|---------|---------|------|------|
| -13 | 1.86 | - 2.78  | - 3.48  | - 2.18  | 3.72 | - 3.98  | - 4.48  | - 4.28  | - 5.38  | - 5.38  | - 5.28  | - 6.98  | - 10.68 | - 8.48  | - 15.38 | - 14.38 | xxxx | 20.4 |
| -14 | 0.86 | - 3.78  | - 4.48  | - 3.18  | 2.72 | - 4.98  | - 5.48  | - 5.28  | - 6.38  | - 6.38  | - 6.28  | - 7.98  | - 11.68 | - 9.48  | - 16.38 | - 15.38 | xxxx | 21.3 |
| -15 | 0.14 | - 4.78  | - 5.48  | - 4.18  | 1.72 | - 5.98  | - 6.48  | - 6.28  | - 7.38  | - 7.38  | - 7.28  | - 8.98  | - 12.68 | - 10.48 | - 17.38 | - 16.38 | xxxx | 22.4 |
| -16 | 1.14 | - 5.78  | - 6.48  | - 5.18  | 0.72 | - 6.98  | - 7.48  | - 7.28  | - 8.38  | - 8.38  | - 8.28  | - 9.98  | - 13.68 | - 11.48 | - 18.38 | - 17.38 | xxxx | 23.4 |
| -17 | 2.14 | - 6.78  | - 7.48  | - 6.18  | 0.28 | - 7.98  | - 8.48  | - 8.28  | - 9.38  | - 9.38  | - 9.28  | - 10.98 | - 14.68 | - 12.48 | - 19.38 | - 18.38 | xxxx | 24.4 |
| -18 | 3.14 | - 7.78  | - 8.48  | - 7.18  | 1.28 | - 8.98  | - 9.48  | - 9.28  | - 10.38 | - 10.38 | - 10.28 | - 11.98 | - 15.68 | - 13.48 | - 20.38 | - 19.38 | xxxx | 25.4 |
| -19 | 4.14 | - 8.78  | - 9.48  | - 8.18  | 2.28 | - 9.98  | - 10.48 | - 10.28 | - 11.38 | - 11.38 | - 11.28 | - 12.98 | - 16.68 | - 14.48 | - 21.38 | - 20.38 | xxxx | 26.4 |
| -20 | 5.14 | - 9.78  | - 10.48 | - 9.18  | 3.28 | - 10.98 | - 11.48 | - 11.28 | - 12.38 | - 12.38 | - 12.28 | - 13.98 | - 17.68 | - 15.48 | - 22.38 | - 21.38 | xxxx | 27.4 |
| -21 | 6.14 | - 10.78 | - 11.48 | - 10.18 | 4.28 | - 11.98 | - 12.48 | - 12.28 | - 13.38 | - 13.38 | - 13.28 | - 14.98 | - 18.68 | - 16.48 | - 23.38 | - 22.38 | xxxx | 28.4 |
| -22 | 7.14 | - 11.78 | - 12.48 | - 11.18 | 5.28 | - 12.98 | - 13.48 | - 13.28 | - 14.38 | - 14.38 | - 14.28 | - 15.98 | - 19.68 | - 17.48 | - 24.38 | - 23.38 | xxxx | 29.4 |
| -23 | 8.14 | - 12.78 | - 13.48 | - 12.18 | 6.28 | - 13.98 | - 14.48 | - 14.28 | - 15.38 | - 15.38 | - 15.28 | - 16.98 | - 20.68 | - 18.48 | - 25.38 | - 24.38 | xxxx | 30.4 |
| -24 | 9.14 | - 13.78 | - 14.48 | - 13.18 | 7.28 | - 14.98 | - 15.48 | - 15.28 | - 16.38 | - 16.38 | - 16.28 | - 17.98 | - 21.68 | - 19.48 | - 26.38 | - 25.38 | xxxx | 31.4 |

L'nw=50dB

Tabla 54.L'nw de Bravo\_1\_1\_n

Proyecto : Estudio al ruido ascendente por impacto

Autor: Gregorio Chacón Leiva

Tutor : Pedro Flores Domínguez-Rodiño

| Hz                | 100   | 125   | 160   | 200   | 250   | 315  | 400  | 500  | 630  | 800  | 1000 | 1250 | 1600 | 2000 | 2500  | 3125  | 4000  |
|-------------------|-------|-------|-------|-------|-------|------|------|------|------|------|------|------|------|------|-------|-------|-------|
| C.R Banda Inicial | 62    | 62    | 62    | 62    | 62    | 62   | 61   | 60   | 59   | 58   | 57   | 54   | 51   | 48   | 45    | 42    | xxxx  |
| C.R.Banda Final   | 53    | 53    | 53    | 53    | 53    | 53   | 52   | 51   | 50   | 49   | 48   | 45   | 42   | 39   | 36    | 33    |       |
| Bravo_1_2_n       | 49.1  | 49.3  | 50.4  | 50.7  | 46.0  | 53.0 | 52.6 | 51.9 | 52.3 | 50.0 | 48.8 | 47.5 | 48.4 | 43.5 | 47.1  | 43.4  | 39.2  |
| 0                 | 12.86 | 12.72 | 11.62 | 11.32 | 16.02 | 9.02 | 8.42 | 8.12 | 6.72 | 8.02 | 8.22 | 6.52 | 2.62 | 4.52 | -     | 2.08  | 1.38  |
| -1                | 11.86 | 11.72 | 10.62 | 10.32 | 15.02 | 8.02 | 7.42 | 7.12 | 5.72 | 7.02 | 7.22 | 5.52 | 1.62 | 3.52 | 3.08  | 2.38  | xxxx  |
| -2                | 10.86 | 10.72 | 9.62  | 9.32  | 14.02 | 7.02 | 6.42 | 6.12 | 4.72 | 6.02 | 6.22 | 4.52 | 0.62 | 2.52 | 4.08  | 3.38  | xxxx  |
| -3                | 9.86  | 9.72  | 8.62  | 8.32  | 13.02 | 6.02 | 5.42 | 5.12 | 3.72 | 5.02 | 5.22 | 3.52 | 0.38 | 1.52 | 5.08  | 4.38  | xxxx  |
| -4                | 8.86  | 8.72  | 7.62  | 7.32  | 12.02 | 5.02 | 4.42 | 4.12 | 2.72 | 4.02 | 4.22 | 2.52 | 1.38 | 0.52 | 6.08  | 5.38  | xxxx  |
| -5                | 7.86  | 7.72  | 6.62  | 6.32  | 11.02 | 4.02 | 3.42 | 3.12 | 1.72 | 3.02 | 3.22 | 1.52 | 2.38 | 0.48 | 7.08  | 6.38  | xxxx  |
| -6                | 6.86  | 6.72  | 5.62  | 5.32  | 10.02 | 3.02 | 2.42 | 2.12 | 0.72 | 2.02 | 2.22 | 0.52 | 3.38 | 1.48 | 8.08  | 7.38  | xxxx  |
| -7                | 5.86  | 5.72  | 4.62  | 4.32  | 9.02  | 2.02 | 1.42 | 1.12 | -    | 0.28 | 1.02 | 1.22 | 0.48 | 4.38 | 2.48  | 9.08  | 8.38  |
| -8                | 4.86  | 4.72  | 3.62  | 3.32  | 8.02  | 1.02 | 0.42 | 0.12 | 1.28 | 0.02 | 0.22 | 1.48 | 5.38 | 3.48 | 10.08 | 9.38  | xxxx  |
| -9                | 3.86  | 3.72  | 2.62  | 2.32  | 7.02  | 0.02 | -    | 0.58 | -    | 0.88 | 2.28 | 0.98 | 0.78 | 2.48 | 6.38  | 4.48  | 11.08 |
| -10               | 2.86  | 2.72  | 1.62  | 1.32  | 6.02  | -    | 0.98 | 1.58 | -    | 1.88 | 3.28 | 1.98 | 1.78 | 3.48 | 7.38  | 5.48  | 12.08 |
| -11               | 1.86  | 1.72  | 0.62  | 0.32  | 5.02  | 1.98 | 2.58 | -    | 2.88 | 4.28 | 2.98 | 2.78 | 4.48 | 8.38 | 6.48  | 13.08 | 12.38 |
| -12               | 0.86  | 0.72  | -     | -     | 4.02  | -    | 2.98 | 3.58 | -    | 3.88 | 5.28 | 3.98 | 3.78 | 5.48 | 9.38  | 7.48  | 14.08 |
| -13               | -     | -     | -     | -     | 3.02  | -    | 3.98 | 4.58 | -    | 4.88 | 6.28 | 4.98 | 4.78 | 6.48 | 10.38 | 8.48  | 15.08 |
|                   | 0.14  | 0.28  | 1.38  | 1.68  | 3.02  | -    | -    | -    | -    | -    | -    | -    | -    | -    | -     | -     | xxxx  |
|                   |       |       |       |       |       |      |      |      |      |      |      |      |      |      |       |       | 20.2  |

Proyecto : Estudio al ruido ascendente por impacto

Autor: Gregorio Chacón Leiva

Tutor : Pedro Flores Domínguez-Rodiño

|     |   |       |       |   |       |   |       |      |   |       |   |       |   |       |   |       |   |       |   |       |   |       |   |       |   |       |   |       |   |       |      |      |
|-----|---|-------|-------|---|-------|---|-------|------|---|-------|---|-------|---|-------|---|-------|---|-------|---|-------|---|-------|---|-------|---|-------|---|-------|---|-------|------|------|
| -14 | - | 1.14  | 1.28  | - | 2.38  | - | 2.68  | 2.02 | - | 4.98  | - | 5.58  | - | 5.88  | - | 7.28  | - | 5.98  | - | 5.78  | - | 7.48  | - | 11.38 | - | 9.48  | - | 16.08 | - | 15.38 | xxxx | 21.2 |
| -15 | - | 2.14  | 2.28  | - | 3.38  | - | 3.68  | 1.02 | - | 5.98  | - | 6.58  | - | 6.88  | - | 8.28  | - | 6.98  | - | 6.78  | - | 8.48  | - | 12.38 | - | 10.48 | - | 17.08 | - | 16.38 | xxxx | 22.2 |
| -16 | - | 3.14  | 3.28  | - | 4.38  | - | 4.68  | 0.02 | - | 6.98  | - | 7.58  | - | 7.88  | - | 9.28  | - | 7.98  | - | 7.78  | - | 9.48  | - | 13.38 | - | 11.48 | - | 18.08 | - | 17.38 | xxxx | 23.2 |
| -17 | - | 4.14  | 4.28  | - | 5.38  | - | 5.68  | 0.98 | - | 7.98  | - | 8.58  | - | 8.88  | - | 10.28 | - | 8.98  | - | 8.78  | - | 10.48 | - | 14.38 | - | 12.48 | - | 19.08 | - | 18.38 | xxxx | 24.3 |
| -18 | - | 5.14  | 5.28  | - | 6.38  | - | 6.68  | 1.98 | - | 8.98  | - | 9.58  | - | 9.88  | - | 11.28 | - | 9.98  | - | 9.78  | - | 11.48 | - | 15.38 | - | 13.48 | - | 20.08 | - | 19.38 | xxxx | 25.3 |
| -19 | - | 6.14  | 6.28  | - | 7.38  | - | 7.68  | 2.98 | - | 9.98  | - | 10.58 | - | 10.88 | - | 12.28 | - | 10.98 | - | 10.78 | - | 12.48 | - | 16.38 | - | 14.48 | - | 21.08 | - | 20.38 | xxxx | 26.3 |
| -20 | - | 7.14  | 7.28  | - | 8.38  | - | 8.68  | 3.98 | - | 10.98 | - | 11.58 | - | 11.88 | - | 13.28 | - | 11.98 | - | 11.78 | - | 13.48 | - | 17.38 | - | 15.48 | - | 22.08 | - | 21.38 | xxxx | 27.3 |
| -21 | - | 8.14  | 8.28  | - | 9.38  | - | 9.68  | 4.98 | - | 11.98 | - | 12.58 | - | 12.88 | - | 14.28 | - | 12.98 | - | 12.78 | - | 14.48 | - | 18.38 | - | 16.48 | - | 23.08 | - | 22.38 | xxxx | 28.3 |
| -22 | - | 9.14  | 9.28  | - | 10.38 | - | 10.68 | 5.98 | - | 12.98 | - | 13.58 | - | 13.88 | - | 15.28 | - | 13.98 | - | 13.78 | - | 15.48 | - | 19.38 | - | 17.48 | - | 24.08 | - | 23.38 | xxxx | 29.3 |
| -23 | - | 10.14 | 10.28 | - | 11.38 | - | 11.68 | 6.98 | - | 13.98 | - | 14.58 | - | 14.88 | - | 16.28 | - | 14.98 | - | 14.78 | - | 16.48 | - | 20.38 | - | 18.48 | - | 25.08 | - | 24.38 | xxxx | 30.3 |
| -24 | - | 11.14 | 11.28 | - | 12.38 | - | 12.68 | 7.98 | - | 14.98 | - | 15.58 | - | 15.88 | - | 17.28 | - | 15.98 | - | 15.78 | - | 17.48 | - | 21.38 | - | 19.48 | - | 26.08 | - | 25.38 | xxxx | 31.3 |

L'nw=51  
dB

Tabla 55.L'nw de Bravo\_1\_2\_n

Proyecto : Estudio al ruido ascendente por impacto

Autor: Gregorio Chacón Leiva

Tutor : Pedro Flores Domínguez-Rodiño

| Hz                | 100   | 125   | 160  | 200   | 250   | 315  | 400  | 500  | 630  | 800  | 1000 | 1250 | 1600 | 2000 | 2500 | 3125 | 4000      |                 |                 |
|-------------------|-------|-------|------|-------|-------|------|------|------|------|------|------|------|------|------|------|------|-----------|-----------------|-----------------|
| C.R Banda Inicial | 62    | 62    | 62   | 62    | 62    | 62   | 61   | 60   | 59   | 58   | 57   | 54   | 51   | 48   | 45   | 42   | xxxx      |                 |                 |
| C.R.Banda Final   | 54    | 54    | 54   | 54    | 54    | 54   | 53   | 52   | 51   | 50   | 49   | 46   | 43   | 40   | 37   | 34   |           |                 |                 |
| Bravo_1_3_n       | 49.1  | 51.2  | 53.8 | 50.8  | 46.2  | 54.1 | 53.3 | 51.4 | 51.7 | 49.3 | 49.0 | 48.3 | 48.3 | 43.7 | 45.8 | 42.9 | 39.2      |                 |                 |
| 0                 | 12.86 | 10.82 | 8.22 | 11.22 | 15.82 | 7.92 | 7.72 | 8.62 | 7.32 | 8.72 | 8.02 | 5.72 | 2.72 | 4.32 | 0.78 | 0.88 | xxxx 3.8  |                 |                 |
| -1                | 11.86 | 9.82  | 7.22 | 10.22 | 14.82 | 6.92 | 6.72 | 7.62 | 6.32 | 7.72 | 7.02 | 4.72 | 1.72 | 3.32 | 1.78 | 1.88 | xxxx 4.8  |                 |                 |
| -2                | 10.86 | 8.82  | 6.22 | 9.22  | 13.82 | 5.92 | 5.72 | 6.62 | 5.32 | 6.72 | 6.02 | 3.72 | 0.72 | 2.32 | 2.78 | 2.88 | xxxx 5.8  |                 |                 |
| -3                | 9.86  | 7.82  | 5.22 | 8.22  | 12.82 | 4.92 | 4.72 | 5.62 | 4.32 | 5.72 | 5.02 | 2.72 | 0.28 | 1.32 | 3.78 | 3.88 | xxxx 7.7  |                 |                 |
| -4                | 8.86  | 6.82  | 4.22 | 7.22  | 11.82 | 3.92 | 3.72 | 4.62 | 3.32 | 4.72 | 4.02 | 1.72 | 1.28 | 0.32 | 4.78 | 4.88 | xxxx 8.7  |                 |                 |
| -5                | 7.86  | 5.82  | 3.22 | 6.22  | 10.82 | 2.92 | 2.72 | 3.62 | 2.32 | 3.72 | 3.02 | 0.72 | 2.28 | 0.68 | 5.78 | 5.88 | xxxx 10.2 |                 |                 |
| -6                | 6.86  | 4.82  | 2.22 | 5.22  | 9.82  | 1.92 | 1.72 | 2.62 | 1.32 | 2.72 | 2.02 | 0.28 | 3.28 | 1.68 | 6.78 | 6.88 | xxxx 11.6 |                 |                 |
| -7                | 5.86  | 3.82  | 1.22 | 4.22  | 8.82  | 0.92 | 0.72 | 1.62 | 0.32 | 1.72 | 1.02 | 1.28 | 4.28 | 2.68 | 7.78 | 7.88 | xxxx 12.6 |                 |                 |
| -8                | 4.86  | 2.82  | 0.22 | 3.22  | 7.82  | 0.08 | 0.28 | 0.62 | 0.68 | 0.72 | 0.02 | 2.28 | 5.28 | 3.68 | 8.78 | 8.88 | xxxx 14.1 |                 |                 |
| -9                | 3.86  | 1.82  | -    | 2.22  | 6.82  | -    | 1.08 | 1.28 | -    | 0.38 | 1.68 | 0.28 | 0.98 | 3.28 | 6.28 | 4.68 | 9.78      | 9.88 xxxx 15.7  |                 |
| -10               | 2.86  | 0.82  | -    | 1.22  | 5.82  | -    | 2.08 | 2.28 | -    | 1.38 | 2.68 | 1.28 | 1.98 | 4.28 | 7.28 | 5.68 | 10.78     | 10.88 xxxx 16.7 |                 |
| -11               | 1.86  | 0.18  | -    | 2.78  | 0.22  | 4.82 | -    | 3.08 | -    | 3.28 | 3.68 | 2.28 | 2.98 | 5.28 | 8.28 | 6.68 | 11.78     | 11.88 xxxx 17.8 |                 |
| -12               | 0.86  | 1.18  | -    | 3.78  | 0.78  | 3.82 | -    | 4.08 | -    | 4.28 | 3.38 | 4.68 | 3.28 | 3.98 | 6.28 | 9.28 | 7.68      | 12.78           | 12.88 xxxx 18.9 |
| -13               | -     | -     | -    | -     | -     | -    | -    | -    | -    | -    | -    | -    | -    | -    | -    | -    | xxxx 19.9 |                 |                 |
| -14               | -     | -     | -    | -     | -     | -    | -    | -    | -    | -    | -    | -    | -    | -    | -    | -    | xxxx      |                 |                 |

Proyecto : Estudio al ruido ascendente por impacto

Autor: Gregorio Chacón Leiva

Tutor : Pedro Flores Domínguez-Rodiño

|     |         |         |         |         |      |         |         |         |         |         |         |         |         |         |         |         |      |      |
|-----|---------|---------|---------|---------|------|---------|---------|---------|---------|---------|---------|---------|---------|---------|---------|---------|------|------|
|     | 1.14    | 3.18    | 5.78    | 2.78    | 1.82 | 6.08    | 6.28    |         | 6.68    | 5.28    | 5.98    | 8.28    | 11.28   | 9.68    | 14.78   | 14.88   |      | 20.9 |
| -15 | - 2.14  | - 4.18  | - 6.78  | - 3.78  | 0.82 | - 7.08  | - 7.28  | - 6.38  | - 7.68  | - 6.28  | - 6.98  | - 9.28  | - 12.28 | - 10.68 | - 15.78 | - 15.88 | xxxx | 21.9 |
| -16 | - 3.14  | - 5.18  | - 7.78  | - 4.78  | 0.18 | - 8.08  | - 8.28  | - 7.38  | - 8.68  | - 7.28  | - 7.98  | - 10.28 | - 13.28 | - 11.68 | - 16.78 | - 16.88 | xxxx | 22.9 |
| -17 | - 4.14  | - 6.18  | - 8.78  | - 5.78  | 1.18 | - 9.08  | - 9.28  | - 8.38  | - 9.68  | - 8.28  | - 8.98  | - 11.28 | - 14.28 | - 12.68 | - 17.78 | - 17.88 | xxxx | 23.9 |
| -18 | - 5.14  | - 7.18  | - 9.78  | - 6.78  | 2.18 | - 10.08 | - 10.28 | - 9.38  | - 10.68 | - 9.28  | - 9.98  | - 12.28 | - 15.28 | - 13.68 | - 18.78 | - 18.88 | xxxx | 24.9 |
| -19 | - 6.14  | - 8.18  | - 10.78 | - 7.78  | 3.18 | - 11.08 | - 11.28 | - 10.38 | - 11.68 | - 10.28 | - 10.98 | - 13.28 | - 16.28 | - 14.68 | - 19.78 | - 19.88 | xxxx | 25.9 |
| -20 | - 7.14  | - 9.18  | - 11.78 | - 8.78  | 4.18 | - 12.08 | - 12.28 | - 11.38 | - 12.68 | - 11.28 | - 11.98 | - 14.28 | - 17.28 | - 15.68 | - 20.78 | - 20.88 | xxxx | 26.9 |
| -21 | - 8.14  | - 10.18 | - 12.78 | - 9.78  | 5.18 | - 13.08 | - 13.28 | - 12.38 | - 13.68 | - 12.28 | - 12.98 | - 15.28 | - 18.28 | - 16.68 | - 21.78 | - 21.88 | xxxx | 27.9 |
| -22 | - 9.14  | - 11.18 | - 13.78 | - 10.78 | 6.18 | - 14.08 | - 14.28 | - 13.38 | - 14.68 | - 13.28 | - 13.98 | - 16.28 | - 19.28 | - 17.68 | - 22.78 | - 22.88 | xxxx | 28.9 |
| -23 | - 10.14 | - 12.18 | - 14.78 | - 11.78 | 7.18 | - 15.08 | - 15.28 | - 14.38 | - 15.68 | - 14.28 | - 14.98 | - 17.28 | - 20.28 | - 18.68 | - 23.78 | - 23.88 | xxxx | 29.9 |
| -24 | - 11.14 | - 13.18 | - 15.78 | - 12.78 | 8.18 | - 16.08 | - 16.28 | - 15.38 | - 16.68 | - 15.28 | - 15.98 | - 18.28 | - 21.28 | - 19.68 | - 24.78 | - 24.88 | xxxx | 30.9 |
| -25 | - 12.14 | - 14.18 | - 16.78 | - 13.78 | 9.18 | - 17.08 | - 17.28 | - 16.38 | - 17.68 | - 16.28 | - 16.98 | - 19.28 | - 22.28 | - 20.68 | - 25.78 | - 25.88 | xxxx | 31.9 |

L'nw=52  
dB

Tabla 56.L'nw de Bravo\_1\_3\_n

Proyecto : Estudio al ruido ascendente por impacto

Autor: Gregorio Chacón Leiva

Tutor : Pedro Flores Domínguez-Rodiño

| Hz                | 100   | 125   | 160  | 200   | 250   | 315   | 400  | 500   | 630  | 800   | 1000 | 1250 | 1600 | 2000 | 2500 | 3125  | 4000  |
|-------------------|-------|-------|------|-------|-------|-------|------|-------|------|-------|------|------|------|------|------|-------|-------|
| C.R Banda Inicial | 62    | 62    | 62   | 62    | 62    | 62    | 61   | 60    | 59   | 58    | 57   | 54   | 51   | 48   | 45   | 42    | xxxx  |
| C.R.Banda Final   | 51    | 51    | 51   | 51    | 51    | 51    | 50   | 49    | 48   | 47    | 46   | 43   | 40   | 37   | 34   | 31    |       |
| Bravo_1_4_n       | 49.6  | 51.1  | 52.3 | 50.5  | 44.3  | 51.8  | 52.1 | 50.0  | 49.2 | 47.0  | 47.5 | 46.2 | 46.8 | 42.5 | 43.7 | 40.4  | 36.4  |
| 0                 | 12.36 | 10.92 | 9.72 | 11.52 | 17.72 | 10.22 | 8.92 | 10.02 | 9.82 | 11.02 | 9.52 | 7.82 | 4.22 | 5.52 | 1.32 | 1.62  | xxxx  |
| -1                | 11.36 | 9.92  | 8.72 | 10.52 | 16.72 | 9.22  | 7.92 | 9.02  | 8.82 | 10.02 | 8.52 | 6.82 | 3.22 | 4.52 | 0.32 | 0.62  | xxxx  |
| -2                | 10.36 | 8.92  | 7.72 | 9.52  | 15.72 | 8.22  | 6.92 | 8.02  | 7.82 | 9.02  | 7.52 | 5.82 | 2.22 | 3.52 | 0.68 | 0.38  | xxxx  |
| -3                | 9.36  | 7.92  | 6.72 | 8.52  | 14.72 | 7.22  | 5.92 | 7.02  | 6.82 | 8.02  | 6.52 | 4.82 | 1.22 | 2.52 | 1.68 | 1.38  | xxxx  |
| -4                | 8.36  | 6.92  | 5.72 | 7.52  | 13.72 | 6.22  | 4.92 | 6.02  | 5.82 | 7.02  | 5.52 | 3.82 | 0.22 | 1.52 | 2.68 | 2.38  | xxxx  |
| -5                | 7.36  | 5.92  | 4.72 | 6.52  | 12.72 | 5.22  | 3.92 | 5.02  | 4.82 | 6.02  | 4.52 | 2.82 | 0.78 | 0.52 | 3.68 | 3.38  | xxxx  |
| -6                | 6.36  | 4.92  | 3.72 | 5.52  | 11.72 | 4.22  | 2.92 | 4.02  | 3.82 | 5.02  | 3.52 | 1.82 | 1.78 | 0.48 | 4.68 | 4.38  | xxxx  |
| -7                | 5.36  | 3.92  | 2.72 | 4.52  | 10.72 | 3.22  | 1.92 | 3.02  | 2.82 | 4.02  | 2.52 | 0.82 | -    | 2.78 | 1.48 | 5.68  | 5.38  |
| -8                | 4.36  | 2.92  | 1.72 | 3.52  | 9.72  | 2.22  | 0.92 | 2.02  | 1.82 | 3.02  | 1.52 | 0.18 | 3.78 | 2.48 | 6.68 | 6.38  | xxxx  |
| -9                | 3.36  | 1.92  | 0.72 | 2.52  | 8.72  | 1.22  | -    | 1.02  | 0.82 | 2.02  | 0.52 | -    | -    | -    | -    | -     | 13.1  |
| -10               | 2.36  | 0.92  | 0.28 | 1.52  | 7.72  | 0.22  | 1.08 | 0.02  | 0.18 | 1.02  | 0.48 | 2.18 | 5.78 | 4.48 | 8.68 | 8.38  | xxxx  |
| -11               | 1.36  | 0.08  | 1.28 | 0.52  | 6.72  | 0.78  | 2.08 | -     | 0.98 | 1.18  | 0.02 | 1.48 | 3.18 | 6.78 | 5.48 | 9.68  | 9.38  |
| -12               | 0.36  | 1.08  | 2.28 | 0.48  | 5.72  | 1.78  | 3.08 | -     | 1.98 | 2.18  | 0.98 | 2.48 | 4.18 | 7.78 | 6.48 | 10.68 | 10.38 |
| -13               | -     | -     | -    | -     | -     | -     | -    | -     | -    | -     | -    | -    | -    | -    | -    | -     | 18.1  |
| -14               | -     | -     | -    | -     | -     | -     | -    | -     | 3.98 | -     | -    | -    | -    | -    | -    | -     | xxxx  |

Proyecto : Estudio al ruido ascendente por impacto

Autor: Gregorio Chacón Leiva

Tutor : Pedro Flores Domínguez-Rodiño

|     | 1.64 | 3.08 | 4.28 | 2.48 | 3.72  | 3.78  | 5.08  |       | 4.18 | 2.98  | 4.48  | 6.18 | 9.78  | 8.48  | 12.68 | 12.38 |   | 19.1  |       |       |       |       |      |      |
|-----|------|------|------|------|-------|-------|-------|-------|------|-------|-------|------|-------|-------|-------|-------|---|-------|-------|-------|-------|-------|------|------|
| -15 | -    | -    | -    | -    | 2.64  | 4.08  | 5.28  | 3.48  | 2.72 | 4.78  | 6.08  | -    | 4.98  | 5.18  | 3.98  | 5.48  | - | 7.18  | 10.78 | 9.48  | 13.68 | 13.38 | xxxx | 20.1 |
| -16 | -    | -    | -    | -    | 3.64  | 5.08  | 6.28  | 4.48  | 1.72 | 5.78  | 7.08  | -    | 5.98  | 6.18  | 4.98  | 6.48  | - | 8.18  | 11.78 | 10.48 | 14.68 | 14.38 | xxxx | 21.1 |
| -17 | -    | -    | -    | -    | 4.64  | 6.08  | 7.28  | 5.48  | 0.72 | 6.78  | 8.08  | -    | 6.98  | 7.18  | 5.98  | 7.48  | - | 9.18  | 12.78 | 11.48 | 15.68 | 15.38 | xxxx | 22.1 |
| -18 | -    | -    | -    | -    | 5.64  | 7.08  | 8.28  | 6.48  | 0.28 | 7.78  | 9.08  | -    | 7.98  | 8.18  | 6.98  | 8.48  | - | 10.18 | 13.78 | 12.48 | 16.68 | 16.38 | xxxx | 23.1 |
| -19 | -    | -    | -    | -    | 6.64  | 8.08  | 9.28  | 7.48  | 1.28 | 8.78  | 10.08 | -    | 8.98  | 9.18  | 7.98  | 9.48  | - | 11.18 | 14.78 | 13.48 | 17.68 | 17.38 | xxxx | 24.1 |
| -20 | -    | -    | -    | -    | 7.64  | 9.08  | 10.28 | 8.48  | 2.28 | 9.78  | 11.08 | -    | 9.98  | 10.18 | 8.98  | 10.48 | - | 12.18 | 15.78 | 14.48 | 18.68 | 18.38 | xxxx | 25.1 |
| -21 | -    | -    | -    | -    | 8.64  | 10.08 | 11.28 | 9.48  | 3.28 | 10.78 | 12.08 | -    | 10.98 | 11.18 | 9.98  | 11.48 | - | 13.18 | 16.78 | 15.48 | 19.68 | 19.38 | xxxx | 26.1 |
| -22 | -    | -    | -    | -    | 9.64  | 11.08 | 12.28 | 10.48 | 4.28 | 11.78 | 13.08 | -    | 11.98 | 12.18 | 10.98 | 12.48 | - | 14.18 | 17.78 | 16.48 | 20.68 | 20.38 | xxxx | 27.1 |
| -23 | -    | -    | -    | -    | 10.64 | 12.08 | 13.28 | 11.48 | 5.28 | 12.78 | 14.08 | -    | 12.98 | 13.18 | 11.98 | 13.48 | - | 15.18 | 18.78 | 17.48 | 21.68 | 21.38 | xxxx | 28.1 |
| -24 | -    | -    | -    | -    | 11.64 | 13.08 | 14.28 | 12.48 | 6.28 | 13.78 | 15.08 | -    | 13.98 | 14.18 | 12.98 | 14.48 | - | 16.18 | 19.78 | 18.48 | 22.68 | 22.38 | xxxx | 29.1 |
| -25 | -    | -    | -    | -    | 12.64 | 14.08 | 15.28 | 13.48 | 7.28 | 14.78 | 16.08 | -    | 14.98 | 15.18 | 13.98 | 15.48 | - | 17.18 | 20.78 | 19.48 | 23.68 | 23.38 | xxxx | 30.1 |
| -26 | -    | -    | -    | -    | 13.64 | 15.08 | 16.28 | 14.48 | 8.28 | 15.78 | 17.08 | -    | 15.98 | 16.18 | 14.98 | 16.48 | - | 18.18 | 21.78 | 20.48 | 24.68 | 24.38 | xxxx | 31.1 |

L'nw=49  
dB

Tabla 57.L'nw de Bravo\_1\_4\_n

Proyecto : Estudio al ruido ascendente por impacto

Autor: Gregorio Chacón Leiva

Tutor : Pedro Flores Domínguez-Rodiño

| Hz                | 100   | 125   | 160   | 200   | 250   | 315  | 400  | 500  | 630  | 800   | 1000 | 1250 | 1600 | 2000 | 2500 | 3125  | 4000                  |
|-------------------|-------|-------|-------|-------|-------|------|------|------|------|-------|------|------|------|------|------|-------|-----------------------|
| C.R Banda Inicial | 62    | 62    | 62    | 62    | 62    | 62   | 61   | 60   | 59   | 58    | 57   | 54   | 51   | 48   | 45   | 42    | xxxx                  |
| C.R.Banda Final   | 50    | 50    | 50    | 50    | 50    | 50   | 49   | 48   | 47   | 46    | 45   | 42   | 39   | 36   | 33   | 30    |                       |
| Bravo_1_5_n       | 48.6  | 49.4  | 50.2  | 52.0  | 44.5  | 52.1 | 51.2 | 50.5 | 49.7 | 47.8  | 47.2 | 46.7 | 46.7 | 42.7 | 43.7 | 40.1  | 35.8                  |
| 0                 | 13.36 | 12.62 | 11.82 | 10.02 | 17.52 | 9.92 | 9.82 | 9.52 | 9.32 | 10.22 | 9.82 | 7.32 | 4.32 | 5.32 | 1.32 | 1.92  | xxxx sin desviaciones |
| -1                | 12.36 | 11.62 | 10.82 | 9.02  | 16.52 | 8.92 | 8.82 | 8.52 | 8.32 | 9.22  | 8.82 | 6.32 | 3.32 | 4.32 | 0.32 | 0.92  | xxxx sin desviaciones |
| -2                | 11.36 | 10.62 | 9.82  | 8.02  | 15.52 | 7.92 | 7.82 | 7.52 | 7.32 | 8.22  | 7.82 | 5.32 | 2.32 | 3.32 | 0.68 | 0.08  | xxxx 3.4              |
| -3                | 10.36 | 9.62  | 8.82  | 7.02  | 14.52 | 6.92 | 6.82 | 6.52 | 6.32 | 7.22  | 6.82 | 4.32 | 1.32 | 2.32 | 1.68 | 1.08  | xxxx 4.4              |
| -4                | 9.36  | 8.62  | 7.82  | 6.02  | 13.52 | 5.92 | 5.82 | 5.52 | 5.32 | 6.22  | 5.82 | 3.32 | 0.32 | 1.32 | 2.68 | 2.08  | xxxx 5.4              |
| -5                | 8.36  | 7.62  | 6.82  | 5.02  | 12.52 | 4.92 | 4.82 | 4.52 | 4.32 | 5.22  | 4.82 | 2.32 | 0.68 | 0.32 | 3.68 | 3.08  | xxxx 7.4              |
| -6                | 7.36  | 6.62  | 5.82  | 4.02  | 11.52 | 3.92 | 3.82 | 3.52 | 3.32 | 4.22  | 3.82 | 1.32 | 1.68 | 0.68 | 4.68 | 4.08  | xxxx 9.1              |
| -7                | 6.36  | 5.62  | 4.82  | 3.02  | 10.52 | 2.92 | 2.82 | 2.52 | 2.32 | 3.22  | 2.82 | 0.32 | 2.68 | 1.68 | 5.68 | 5.08  | xxxx 10.1             |
| -8                | 5.36  | 4.62  | 3.82  | 2.02  | 9.52  | 1.92 | 1.82 | 1.52 | 1.32 | 2.22  | 1.82 | 0.68 | 3.68 | 2.68 | 6.68 | 6.08  | xxxx 11.5             |
| -9                | 4.36  | 3.62  | 2.82  | 1.02  | 8.52  | 0.92 | 0.82 | 0.52 | 0.32 | 1.22  | 0.82 | 1.68 | 4.68 | 3.68 | 7.68 | 7.08  | xxxx 12.5             |
| -10               | 3.36  | 2.62  | 1.82  | 0.02  | 7.52  | 0.08 | 0.18 | -    | 0.48 | 0.68  | 0.22 | 0.18 | 2.68 | 5.68 | 4.68 | 8.68  | 8.08                  |
| -11               | 2.36  | 1.62  | 0.82  | 0.98  | 6.52  | 1.08 | 1.18 | -    | 1.48 | 1.68  | 0.78 | 1.18 | 3.68 | 6.68 | 5.68 | 9.68  | 9.08                  |
| -12               | 1.36  | 0.62  | 0.18  | 1.98  | 5.52  | 2.08 | 2.18 | -    | 2.48 | 2.68  | 1.78 | 2.18 | 4.68 | 7.68 | 6.68 | 10.68 | 10.08                 |
| -13               | 0.36  | -     | -     | -     | -     | -    | -    | -    | 3.48 | 3.68  | 2.78 | 3.18 | -    | 5.68 | 8.68 | 7.68  | 11.68                 |
|                   |       |       |       |       |       |      |      |      |      |       |      |      | -    | -    | -    | -     | 11.08                 |
|                   |       |       |       |       |       |      |      |      |      |       |      |      | -    | -    | -    | -     | xxxx 18.0             |

Proyecto : Estudio al ruido ascendente por impacto

Autor: Gregorio Chacón Leiva

Tutor : Pedro Flores Domínguez-Rodiño

|     |   |       |       |   |       |   |       |      |   |       |   |       |   |       |   |       |   |       |   |       |   |       |   |       |   |       |   |       |   |       |      |      |
|-----|---|-------|-------|---|-------|---|-------|------|---|-------|---|-------|---|-------|---|-------|---|-------|---|-------|---|-------|---|-------|---|-------|---|-------|---|-------|------|------|
| -14 | - | 0.64  | 1.38  | - | 2.18  | - | 3.98  | 3.52 | - | 4.08  | - | 4.18  | - | 4.48  | - | 4.68  | - | 3.78  | - | 4.18  | - | 6.68  | - | 9.68  | - | 8.68  | - | 12.68 | - | 12.08 | xxxx | 19.0 |
| -15 | - | 1.64  | 2.38  | - | 3.18  | - | 4.98  | 2.52 | - | 5.08  | - | 5.18  | - | 5.48  | - | 5.68  | - | 4.78  | - | 5.18  | - | 7.68  | - | 10.68 | - | 9.68  | - | 13.68 | - | 13.08 | xxxx | 20.0 |
| -16 | - | 2.64  | 3.38  | - | 4.18  | - | 5.98  | 1.52 | - | 6.08  | - | 6.18  | - | 6.48  | - | 6.68  | - | 5.78  | - | 6.18  | - | 8.68  | - | 11.68 | - | 10.68 | - | 14.68 | - | 14.08 | xxxx | 21.0 |
| -17 | - | 3.64  | 4.38  | - | 5.18  | - | 6.98  | 0.52 | - | 7.08  | - | 7.18  | - | 7.48  | - | 7.68  | - | 6.78  | - | 7.18  | - | 9.68  | - | 12.68 | - | 11.68 | - | 15.68 | - | 15.08 | xxxx | 22.0 |
| -18 | - | 4.64  | 5.38  | - | 6.18  | - | 7.98  | 0.48 | - | 8.08  | - | 8.18  | - | 8.48  | - | 8.68  | - | 7.78  | - | 8.18  | - | 10.68 | - | 13.68 | - | 12.68 | - | 16.68 | - | 16.08 | xxxx | 23.0 |
| -19 | - | 5.64  | 6.38  | - | 7.18  | - | 8.98  | 1.48 | - | 9.08  | - | 9.18  | - | 9.48  | - | 9.68  | - | 8.78  | - | 9.18  | - | 11.68 | - | 14.68 | - | 13.68 | - | 17.68 | - | 17.08 | xxxx | 24.0 |
| -20 | - | 6.64  | 7.38  | - | 8.18  | - | 9.98  | 2.48 | - | 10.08 | - | 10.18 | - | 10.48 | - | 10.68 | - | 9.78  | - | 10.18 | - | 12.68 | - | 15.68 | - | 14.68 | - | 18.68 | - | 18.08 | xxxx | 25.0 |
| -21 | - | 7.64  | 8.38  | - | 9.18  | - | 10.98 | 3.48 | - | 11.08 | - | 11.18 | - | 11.48 | - | 11.68 | - | 10.78 | - | 11.18 | - | 13.68 | - | 16.68 | - | 15.68 | - | 19.68 | - | 19.08 | xxxx | 26.0 |
| -22 | - | 8.64  | 9.38  | - | 10.18 | - | 11.98 | 4.48 | - | 12.08 | - | 12.18 | - | 12.48 | - | 12.68 | - | 11.78 | - | 12.18 | - | 14.68 | - | 17.68 | - | 16.68 | - | 20.68 | - | 20.08 | xxxx | 27.0 |
| -23 | - | 9.64  | 10.38 | - | 11.18 | - | 12.98 | 5.48 | - | 13.08 | - | 13.18 | - | 13.48 | - | 13.68 | - | 12.78 | - | 13.18 | - | 15.68 | - | 18.68 | - | 17.68 | - | 21.68 | - | 21.08 | xxxx | 28.0 |
| -24 | - | 10.64 | 11.38 | - | 12.18 | - | 13.98 | 6.48 | - | 14.08 | - | 14.18 | - | 14.48 | - | 14.68 | - | 13.78 | - | 14.18 | - | 16.68 | - | 19.68 | - | 18.68 | - | 22.68 | - | 22.08 | xxxx | 29.0 |
| -25 | - | 11.64 | 12.38 | - | 13.18 | - | 14.98 | 7.48 | - | 15.08 | - | 15.18 | - | 15.48 | - | 15.68 | - | 14.78 | - | 15.18 | - | 17.68 | - | 20.68 | - | 19.68 | - | 23.68 | - | 23.08 | xxxx | 30.0 |
| -26 | - | 12.64 | 13.38 | - | 14.18 | - | 15.98 | 8.48 | - | 16.08 | - | 16.18 | - | 16.48 | - | 16.68 | - | 15.78 | - | 16.18 | - | 18.68 | - | 21.68 | - | 20.68 | - | 24.68 | - | 24.08 | xxxx | 31.0 |

L'nw=48  
dB

Tabla 58.L'nw de Bravo\_1\_5\_n

Proyecto : Estudio al ruido ascendente por impacto

Autor: Gregorio Chacón Leiva

Tutor : Pedro Flores Domínguez-Rodiño

| Hz                | 100   | 125   | 160   | 200   | 250   | 315   | 400   | 500   | 630  | 800   | 1000 | 1250 | 1600 | 2000 | 2500 | 3125 | 4000  |
|-------------------|-------|-------|-------|-------|-------|-------|-------|-------|------|-------|------|------|------|------|------|------|-------|
| C.R Banda Inicial | 62    | 62    | 62    | 62    | 62    | 62    | 61    | 60    | 59   | 58    | 57   | 54   | 51   | 48   | 45   | 42   | xxxx  |
| C.R.Banda Final   | 51    | 51    | 51    | 51    | 51    | 51    | 50    | 49    | 48   | 47    | 46   | 43   | 40   | 37   | 34   | 31   |       |
| Bravo_1_6_n       | 48.1  | 49.2  | 51.8  | 50.8  | 44.8  | 50.7  | 51.0  | 49.1  | 49.5 | 47.6  | 48.0 | 47.0 | 46.7 | 42.4 | 43.5 | 40.2 | 34.9  |
| 0                 | 13.86 | 12.82 | 10.22 | 11.22 | 17.22 | 11.32 | 10.02 | 10.92 | 9.52 | 10.42 | 9.02 | 7.02 | 4.32 | 5.62 | 1.52 | 1.82 | xxxx  |
| -1                | 12.86 | 11.82 | 9.22  | 10.22 | 16.22 | 10.32 | 9.02  | 9.92  | 8.52 | 9.42  | 8.02 | 6.02 | 3.32 | 4.62 | 0.52 | 0.82 | xxxx  |
| -2                | 11.86 | 10.82 | 8.22  | 9.22  | 15.22 | 9.32  | 8.02  | 8.92  | 7.52 | 8.42  | 7.02 | 5.02 | 2.32 | 3.62 | 0.48 | 0.18 | xxxx  |
| -3                | 10.86 | 9.82  | 7.22  | 8.22  | 14.22 | 8.32  | 7.02  | 7.92  | 6.52 | 7.42  | 6.02 | 4.02 | 1.32 | 2.62 | 1.48 | 1.18 | xxxx  |
| -4                | 9.86  | 8.82  | 6.22  | 7.22  | 13.22 | 7.32  | 6.02  | 6.92  | 5.52 | 6.42  | 5.02 | 3.02 | 0.32 | 1.62 | 2.48 | 2.18 | xxxx  |
| -5                | 8.86  | 7.82  | 5.22  | 6.22  | 12.22 | 6.32  | 5.02  | 5.92  | 4.52 | 5.42  | 4.02 | 2.02 | 0.68 | 0.62 | 3.48 | 3.18 | xxxx  |
| -6                | 7.86  | 6.82  | 4.22  | 5.22  | 11.22 | 5.32  | 4.02  | 4.92  | 3.52 | 4.42  | 3.02 | 1.02 | 1.68 | 0.38 | 4.48 | 4.18 | xxxx  |
| -7                | 6.86  | 5.82  | 3.22  | 4.22  | 10.22 | 4.32  | 3.02  | 3.92  | 2.52 | 3.42  | 2.02 | 0.02 | 2.68 | 1.38 | 5.48 | 5.18 | xxxx  |
| -8                | 5.86  | 4.82  | 2.22  | 3.22  | 9.22  | 3.32  | 2.02  | 2.92  | 1.52 | 2.42  | 1.02 | 0.98 | 3.68 | 2.38 | 6.48 | 6.18 | xxxx  |
| -9                | 4.86  | 3.82  | 1.22  | 2.22  | 8.22  | 2.32  | 1.02  | 1.92  | 0.52 | 1.42  | 0.02 | 1.98 | 4.68 | 3.38 | 7.48 | 7.18 | xxxx  |
| -10               | 3.86  | 2.82  | 0.22  | 1.22  | 7.22  | 1.32  | 0.02  | 0.92  | -    | 0.48  | 0.42 | 0.98 | 2.98 | 5.68 | 4.38 | 8.48 | 8.18  |
| -11               | 2.86  | 1.82  | -     | 0.22  | 6.22  | 0.32  | 0.98  | -     | 0.08 | 1.48  | 0.58 | 1.98 | 3.98 | 6.68 | 5.38 | 9.48 | 9.18  |
| -12               | 1.86  | 0.82  | -     | 1.78  | 0.78  | 5.22  | 0.68  | -     | 1.98 | -     | 1.08 | 2.48 | 1.58 | 2.98 | 4.98 | 7.68 | 6.38  |
| -13               | 0.86  | -     | 0.18  | 2.78  | 1.78  | 4.22  | 1.68  | -     | 2.98 | -     | 2.08 | 3.48 | 2.58 | 3.98 | 5.98 | 8.68 | 7.38  |
|                   |       |       |       |       |       |       |       |       |      |       |      |      |      |      |      |      | 11.48 |
|                   |       |       |       |       |       |       |       |       |      |       |      |      |      |      |      |      | 11.18 |
|                   |       |       |       |       |       |       |       |       |      |       |      |      |      |      |      |      | xxxx  |
|                   |       |       |       |       |       |       |       |       |      |       |      |      |      |      |      |      | 17.8  |

Proyecto : Estudio al ruido ascendente por impacto

Autor: Gregorio Chacón Leiva

Tutor : Pedro Flores Domínguez-Rodiño

|     |   |       |       |   |       |       |      |   |       |   |       |   |       |   |       |   |       |   |       |   |       |   |       |   |       |   |       |   |       |      |      |
|-----|---|-------|-------|---|-------|-------|------|---|-------|---|-------|---|-------|---|-------|---|-------|---|-------|---|-------|---|-------|---|-------|---|-------|---|-------|------|------|
| -14 | - | 0.14  | 1.18  | - | 3.78  | 2.78  | 3.22 | - | 2.68  | - | 3.98  | - | 3.08  | - | 4.48  | - | 3.58  | - | 4.98  | - | 6.98  | - | 9.68  | - | 8.38  | - | 12.48 | - | 12.18 | xxxx | 18.8 |
| -15 | - | 1.14  | 2.18  | - | 4.78  | 3.78  | 2.22 | - | 3.68  | - | 4.98  | - | 4.08  | - | 5.48  | - | 4.58  | - | 5.98  | - | 7.98  | - | 10.68 | - | 9.38  | - | 13.48 | - | 13.18 | xxxx | 19.8 |
| -16 | - | 2.14  | 3.18  | - | 5.78  | 4.78  | 1.22 | - | 4.68  | - | 5.98  | - | 5.08  | - | 6.48  | - | 5.58  | - | 6.98  | - | 8.98  | - | 11.68 | - | 10.38 | - | 14.48 | - | 14.18 | xxxx | 20.8 |
| -17 | - | 3.14  | 4.18  | - | 6.78  | 5.78  | 0.22 | - | 5.68  | - | 6.98  | - | 6.08  | - | 7.48  | - | 6.58  | - | 7.98  | - | 9.98  | - | 12.68 | - | 11.38 | - | 15.48 | - | 15.18 | xxxx | 21.8 |
| -18 | - | 4.14  | 5.18  | - | 7.78  | 6.78  | 0.78 | - | 6.68  | - | 7.98  | - | 7.08  | - | 8.48  | - | 7.58  | - | 8.98  | - | 10.98 | - | 13.68 | - | 12.38 | - | 16.48 | - | 16.18 | xxxx | 22.8 |
| -19 | - | 5.14  | 6.18  | - | 8.78  | 7.78  | 1.78 | - | 7.68  | - | 8.98  | - | 8.08  | - | 9.48  | - | 8.58  | - | 9.98  | - | 11.98 | - | 14.68 | - | 13.38 | - | 17.48 | - | 17.18 | xxxx | 23.8 |
| -20 | - | 6.14  | 7.18  | - | 9.78  | 8.78  | 2.78 | - | 8.68  | - | 9.98  | - | 9.08  | - | 10.48 | - | 9.58  | - | 10.98 | - | 12.98 | - | 15.68 | - | 14.38 | - | 18.48 | - | 18.18 | xxxx | 24.8 |
| -21 | - | 7.14  | 8.18  | - | 10.78 | 9.78  | 3.78 | - | 9.68  | - | 10.98 | - | 10.08 | - | 11.48 | - | 10.58 | - | 11.98 | - | 13.98 | - | 16.68 | - | 15.38 | - | 19.48 | - | 19.18 | xxxx | 25.8 |
| -22 | - | 8.14  | 9.18  | - | 11.78 | 10.78 | 4.78 | - | 10.68 | - | 11.98 | - | 11.08 | - | 12.48 | - | 11.58 | - | 12.98 | - | 14.98 | - | 17.68 | - | 16.38 | - | 20.48 | - | 20.18 | xxxx | 26.8 |
| -23 | - | 9.14  | 10.18 | - | 12.78 | 11.78 | 5.78 | - | 11.68 | - | 12.98 | - | 12.08 | - | 13.48 | - | 12.58 | - | 13.98 | - | 15.98 | - | 18.68 | - | 17.38 | - | 21.48 | - | 21.18 | xxxx | 27.8 |
| -24 | - | 10.14 | 11.18 | - | 13.78 | 12.78 | 6.78 | - | 12.68 | - | 13.98 | - | 13.08 | - | 14.48 | - | 13.58 | - | 14.98 | - | 16.98 | - | 19.68 | - | 18.38 | - | 22.48 | - | 22.18 | xxxx | 28.8 |
| -25 | - | 11.14 | 12.18 | - | 14.78 | 13.78 | 7.78 | - | 13.68 | - | 14.98 | - | 14.08 | - | 15.48 | - | 14.58 | - | 15.98 | - | 17.98 | - | 20.68 | - | 19.38 | - | 23.48 | - | 23.18 | xxxx | 29.8 |
| -26 | - | 12.14 | 13.18 | - | 15.78 | 14.78 | 8.78 | - | 14.68 | - | 15.98 | - | 15.08 | - | 16.48 | - | 15.58 | - | 16.98 | - | 18.98 | - | 21.68 | - | 20.38 | - | 24.48 | - | 24.18 | xxxx | 30.8 |

L'nw=49  
dB

Tabla 59.L'nw de Bravo\_1\_6\_n

Proyecto : Estudio al ruido ascendente por impacto

Autor: Gregorio Chacón Leiva

Tutor : Pedro Flores Domínguez-Rodiño

| Hz                | 100   | 125   | 160   | 200   | 250   | 315   | 400   | 500   | 630   | 800  | 1000 | 1250 | 1600 | 2000 | 2500  | 3125  | 4000      |
|-------------------|-------|-------|-------|-------|-------|-------|-------|-------|-------|------|------|------|------|------|-------|-------|-----------|
| C.R Banda Inicial | 62    | 62    | 62    | 62    | 62    | 62    | 61    | 60    | 59    | 58   | 57   | 54   | 51   | 48   | 45    | 42    | xxxx      |
| C.R.Banda Final   | 52    | 52    | 52    | 52    | 52    | 52    | 51    | 50    | 49    | 48   | 47   | 44   | 41   | 38   | 35    | 32    |           |
| Bravo_1_7_n       | 49.1  | 50.4  | 52.0  | 51.0  | 45.2  | 52.6  | 52.2  | 50.8  | 50.8  | 48.9 | 48.4 | 47.4 | 47.7 | 43.1 | 45.5  | 42.0  | 38.1      |
| 0                 | 12.86 | 11.62 | 10.02 | 11.02 | 16.82 | 9.42  | 8.82  | 9.22  | 8.22  | 9.12 | 8.62 | 6.62 | 3.32 | 4.92 | 0.48  | 0.02  | xxxx 3.2  |
| -1                | 11.86 | 10.62 | 9.02  | 10.02 | 15.82 | 8.42  | 7.82  | 8.22  | 7.22  | 8.12 | 7.62 | 5.62 | 2.32 | 3.92 | 1.48  | 0.98  | xxxx 4.2  |
| -2                | 10.86 | 9.62  | 8.02  | 9.02  | 14.82 | 7.42  | 6.82  | 7.22  | 6.22  | 7.12 | 6.62 | 4.62 | 1.32 | 2.92 | 2.48  | 1.98  | xxxx 5.2  |
| -3                | 9.86  | 8.62  | 7.02  | 8.02  | 13.82 | 6.42  | 5.82  | 6.22  | 5.22  | 6.12 | 5.62 | 3.62 | 0.32 | 1.92 | 3.48  | 2.98  | xxxx 6.2  |
| -4                | 8.86  | 7.62  | 6.02  | 7.02  | 12.82 | 5.42  | 4.82  | 5.22  | 4.22  | 5.12 | 4.62 | 2.62 | 0.68 | 0.92 | 4.48  | 3.98  | xxxx 8.1  |
| -5                | 7.86  | 6.62  | 5.02  | 6.02  | 11.82 | 4.42  | 3.82  | 4.22  | 3.22  | 4.12 | 3.62 | 1.62 | 1.68 | 0.08 | 5.48  | 4.98  | xxxx 9.6  |
| -6                | 6.86  | 5.62  | 4.02  | 5.02  | 10.82 | 3.42  | 2.82  | 3.22  | 2.22  | 3.12 | 2.62 | 0.62 | 2.68 | 1.08 | 6.48  | 5.98  | xxxx 10.6 |
| -7                | 5.86  | 4.62  | 3.02  | 4.02  | 9.82  | 2.42  | 1.82  | 2.22  | 1.22  | 2.12 | 1.62 | 0.38 | 3.68 | 2.08 | 7.48  | 6.98  | xxxx 11.9 |
| -8                | 4.86  | 3.62  | 2.02  | 3.02  | 8.82  | 1.42  | 0.82  | 1.22  | 0.22  | 1.12 | 0.62 | 1.38 | 4.68 | 3.08 | 8.48  | 7.98  | xxxx 12.9 |
| -9                | 3.86  | 2.62  | 1.02  | 2.02  | 7.82  | 0.42  | -0.18 | 0.22  | -0.78 | 0.12 | 0.38 | 2.38 | 5.68 | 4.08 | 9.48  | 8.98  | xxxx 14.5 |
| -10               | 2.86  | 1.62  | 0.02  | 1.02  | 6.82  | -0.58 | 1.18  | -0.78 | 1.78  | 0.88 | 1.38 | 3.38 | 6.68 | 5.08 | 10.48 | 9.98  | xxxx 15.9 |
| -11               | 1.86  | 0.62  | -0.98 | 0.02  | 5.82  | -1.58 | 2.18  | -1.78 | 2.78  | 1.88 | 2.38 | 4.38 | 7.68 | 6.08 | 11.48 | 10.98 | xxxx 17.1 |
| -12               | 0.86  | 0.38  | 1.98  | 0.98  | 4.82  | 2.58  | 3.18  | -2.78 | 3.78  | 2.88 | 3.38 | 5.38 | 8.68 | 7.08 | 12.48 | 11.98 | xxxx 18.1 |
| -13               | -0.14 | 1.38  | 2.98  | 1.98  | 3.82  | -3.58 | 4.18  | -3.78 | 4.78  | 3.88 | 4.38 | 6.38 | 9.68 | 8.08 | 13.48 | 12.98 | xxxx 19.1 |
| -14               | -     | -     | -     | -     | -     | -     | -     | -4.78 | -     | -    | -    | -    | -    | -    | -     | xxxx  |           |

Proyecto : Estudio al ruido ascendente por impacto

Autor: Gregorio Chacón Leiva

Tutor : Pedro Flores Domínguez-Rodiño

|     |      |      |      |      |      |       |       |   |       |       |       |       |       |       |       |       |       |      |      |
|-----|------|------|------|------|------|-------|-------|---|-------|-------|-------|-------|-------|-------|-------|-------|-------|------|------|
|     | 1.14 | 2.38 | 3.98 | 2.98 | 2.82 | 4.58  | 5.18  |   | 5.78  | 4.88  | 5.38  | 7.38  | 10.68 | 9.08  | 14.48 | 13.98 |       | 20.1 |      |
| -15 | -    | -    | -    | -    | 1.82 | 5.58  | 6.18  | - | 5.78  | 6.78  | 5.88  | 6.38  | 8.38  | 11.68 | 10.08 | 15.48 | 14.98 | xxxx | 21.1 |
| -16 | 2.14 | 3.38 | 4.98 | 3.98 | 0.82 | 6.58  | 7.18  | - | 6.78  | 7.78  | 6.88  | 7.38  | 9.38  | 12.68 | 11.08 | 16.48 | 15.98 | xxxx | 22.2 |
| -17 | -    | -    | -    | -    | -    | -     | -     | - | -     | -     | -     | -     | -     | -     | -     | -     | -     | 23.2 |      |
| -18 | 4.14 | 5.38 | 6.98 | 5.98 | 0.18 | 7.58  | 8.18  | - | 7.78  | 8.78  | 7.88  | 8.38  | 10.38 | 13.68 | 12.08 | 17.48 | 16.98 | xxxx | 24.2 |
| -19 | -    | -    | -    | -    | -    | -     | -     | - | -     | -     | -     | -     | -     | -     | -     | -     | -     | 25.2 |      |
| -20 | 5.14 | 6.38 | 7.98 | 6.98 | 1.18 | 8.58  | 9.18  | - | 8.78  | 9.78  | 8.88  | 9.38  | 11.38 | 14.68 | 13.08 | 18.48 | 17.98 | xxxx | 26.2 |
| -21 | -    | -    | -    | -    | -    | -     | -     | - | -     | -     | -     | -     | -     | -     | -     | -     | -     | 27.2 |      |
| -22 | 6.14 | 7.38 | 8.98 | 7.98 | 2.18 | 9.58  | 10.18 | - | 9.78  | 10.78 | 9.88  | 10.38 | 12.38 | 15.68 | 14.08 | 19.48 | 18.98 | xxxx | 28.2 |
| -23 | -    | -    | -    | -    | -    | -     | -     | - | -     | -     | -     | -     | -     | -     | -     | -     | -     | 29.2 |      |
| -24 | 7.14 | 8.38 | 9.98 | 8.98 | 3.18 | 10.58 | 11.18 | - | 10.78 | 11.78 | 10.88 | 11.38 | 13.38 | 16.68 | 15.08 | 20.48 | 19.98 | xxxx | 30.2 |
| -25 | -    | -    | -    | -    | -    | -     | -     | - | -     | -     | -     | -     | -     | -     | -     | -     | -     | 31.2 |      |

L'nw=50  
dB

Tabla 60.L'nw de Bravo\_1\_7\_n

Proyecto : Estudio al ruido ascendente por impacto

Autor: Gregorio Chacón Leiva

Tutor : Pedro Flores Domínguez-Rodiño

| Hz                | 100   | 125   | 160   | 200   | 250   | 315   | 400   | 500   | 630   | 800   | 1000 | 1250 | 1600 | 2000 | 2500  | 3125  | 4000 |
|-------------------|-------|-------|-------|-------|-------|-------|-------|-------|-------|-------|------|------|------|------|-------|-------|------|
| C.R Banda Inicial | 62    | 62    | 62    | 62    | 62    | 62    | 61    | 60    | 59    | 58    | 57   | 54   | 51   | 48   | 45    | 42    | xxxx |
| C.R.Banda Final   | 51    | 51    | 51    | 51    | 51    | 51    | 50    | 49    | 48    | 47    | 46   | 43   | 40   | 37   | 34    | 31    |      |
| Bravo_1_8_n       | 46.6  | 48.9  | 52.0  | 50.2  | 45.2  | 50.9  | 50.6  | 49.5  | 49.0  | 47.8  | 47.7 | 46.9 | 47.2 | 42.3 | 44.3  | 40.5  | 35.4 |
| 0                 | 15.36 | 13.12 | 10.02 | 11.82 | 16.82 | 11.12 | 10.42 | 10.52 | 10.02 | 10.22 | 9.32 | 7.12 | 3.82 | 5.72 | 0.72  | 1.52  | xxxx |
| -1                | 14.36 | 12.12 | 9.02  | 10.82 | 15.82 | 10.12 | 9.42  | 9.52  | 9.02  | 9.22  | 8.32 | 6.12 | 2.82 | 4.72 | 0.28  | 0.52  | xxxx |
| -2                | 13.36 | 11.12 | 8.02  | 9.82  | 14.82 | 9.12  | 8.42  | 8.52  | 8.02  | 8.22  | 7.32 | 5.12 | 1.82 | 3.72 | 1.28  | 0.48  | xxxx |
| -3                | 12.36 | 10.12 | 7.02  | 8.82  | 13.82 | 8.12  | 7.42  | 7.52  | 7.02  | 7.22  | 6.32 | 4.12 | 0.82 | 2.72 | 2.28  | 1.48  | xxxx |
| -4                | 11.36 | 9.12  | 6.02  | 7.82  | 12.82 | 7.12  | 6.42  | 6.52  | 6.02  | 6.22  | 5.32 | 3.12 | 0.18 | 1.72 | 3.28  | 2.48  | xxxx |
| -5                | 10.36 | 8.12  | 5.02  | 6.82  | 11.82 | 6.12  | 5.42  | 5.52  | 5.02  | 5.22  | 4.32 | 2.12 | 1.18 | 0.72 | 4.28  | 3.48  | xxxx |
| -6                | 9.36  | 7.12  | 4.02  | 5.82  | 10.82 | 5.12  | 4.42  | 4.52  | 4.02  | 4.22  | 3.32 | 1.12 | 2.18 | 0.28 | 5.28  | 4.48  | xxxx |
| -7                | 8.36  | 6.12  | 3.02  | 4.82  | 9.82  | 4.12  | 3.42  | 3.52  | 3.02  | 3.22  | 2.32 | 0.12 | 3.18 | 1.28 | 6.28  | 5.48  | xxxx |
| -8                | 7.36  | 5.12  | 2.02  | 3.82  | 8.82  | 3.12  | 2.42  | 2.52  | 2.02  | 2.22  | 1.32 | 0.88 | 4.18 | 2.28 | 7.28  | 6.48  | xxxx |
| -9                | 6.36  | 4.12  | 1.02  | 2.82  | 7.82  | 2.12  | 1.42  | 1.52  | 1.02  | 1.22  | 0.32 | 1.88 | 5.18 | 3.28 | 8.28  | 7.48  | xxxx |
| -10               | 5.36  | 3.12  | 0.02  | 1.82  | 6.82  | 1.12  | 0.42  | 0.52  | 0.02  | 0.22  | 0.68 | 2.88 | 6.18 | 4.28 | 9.28  | 8.48  | xxxx |
| -11               | 4.36  | 2.12  | -0.98 | 0.82  | 5.82  | 0.12  | -0.58 | -0.48 | 0.98  | 0.78  | 1.68 | 3.88 | 7.18 | 5.28 | 10.28 | 9.48  | xxxx |
| -12               | 3.36  | 1.12  | -1.98 | 0.18  | 4.82  | 0.88  | 1.58  | -1.48 | 1.98  | 1.78  | 2.68 | 4.88 | 8.18 | 6.28 | 11.28 | 10.48 | xxxx |
| -13               | 2.36  | 0.12  | -2.98 | 1.18  | 3.82  | 1.88  | 2.58  | -2.48 | 2.98  | 2.78  | 3.68 | 5.88 | 9.18 | 7.28 | 12.28 | 11.48 | xxxx |
| -14               | -     | -     | -     | -     | -     | -     | -     | -3.48 | -     | -     | -    | -    | -    | -    | -     | -     | xxxx |

Proyecto : Estudio al ruido ascendente por impacto

Autor: Gregorio Chacón Leiva

Tutor : Pedro Flores Domínguez-Rodiño

|     |       |       |       |       |      |       |       |   |       |       |       |       |       |       |       |       |       |      |      |
|-----|-------|-------|-------|-------|------|-------|-------|---|-------|-------|-------|-------|-------|-------|-------|-------|-------|------|------|
|     | 1.36  | 0.88  | 3.98  | 2.18  | 2.82 | 2.88  | 3.58  |   | 3.98  | 3.78  | 4.68  | 6.88  | 10.18 | 8.28  | 13.28 | 12.48 |       | 19.1 |      |
| -15 | 0.36  | -     | -     | -     | -    | -     | -     | - | 4.48  | 4.98  | 4.78  | 5.68  | -     | -     | -     | -     | xxxx  | 20.1 |      |
| -16 | 0.64  | 2.88  | 5.98  | 4.18  | 0.82 | 4.88  | 5.58  | - | 5.48  | 5.98  | 5.78  | 6.68  | 8.88  | 12.18 | 10.28 | 15.28 | 14.48 | xxxx | 21.1 |
| -17 | 1.64  | 3.88  | 6.98  | 5.18  | 0.18 | 5.88  | 6.58  | - | 6.48  | 6.98  | 6.78  | 7.68  | 9.88  | 13.18 | 11.28 | 16.28 | 15.48 | xxxx | 22.1 |
| -18 | 2.64  | 4.88  | 7.98  | 6.18  | 1.18 | 6.88  | 7.58  | - | 7.48  | 7.98  | 7.78  | 8.68  | 10.88 | 14.18 | 12.28 | 17.28 | 16.48 | xxxx | 23.1 |
| -19 | 3.64  | 5.88  | 8.98  | 7.18  | 2.18 | 7.88  | 8.58  | - | 8.48  | 8.98  | 8.78  | 9.68  | 11.88 | 15.18 | 13.28 | 18.28 | 17.48 | xxxx | 24.1 |
| -20 | 4.64  | 6.88  | 9.98  | 8.18  | 3.18 | 8.88  | 9.58  | - | 9.48  | 9.98  | 9.78  | 10.68 | 12.88 | 16.18 | 14.28 | 19.28 | 18.48 | xxxx | 25.1 |
| -21 | 5.64  | 7.88  | 10.98 | 9.18  | 4.18 | 9.88  | 10.58 | - | 10.48 | 10.98 | 10.78 | 11.68 | 13.88 | 17.18 | 15.28 | 20.28 | 19.48 | xxxx | 26.1 |
| -22 | 6.64  | 8.88  | 11.98 | 10.18 | 5.18 | 10.88 | 11.58 | - | 11.48 | 11.98 | 11.78 | 12.68 | 14.88 | 18.18 | 16.28 | 21.28 | 20.48 | xxxx | 27.1 |
| -23 | 7.64  | 9.88  | 12.98 | 11.18 | 6.18 | 11.88 | 12.58 | - | 12.48 | 12.98 | 12.78 | 13.68 | 15.88 | 19.18 | 17.28 | 22.28 | 21.48 | xxxx | 28.1 |
| -24 | 8.64  | 10.88 | 13.98 | 12.18 | 7.18 | 12.88 | 13.58 | - | 13.48 | 13.98 | 13.78 | 14.68 | 16.88 | 20.18 | 18.28 | 23.28 | 22.48 | xxxx | 29.1 |
| -25 | 9.64  | 11.88 | 14.98 | 13.18 | 8.18 | 13.88 | 14.58 | - | 14.48 | 14.98 | 14.78 | 15.68 | 17.88 | 21.18 | 19.28 | 24.28 | 23.48 | xxxx | 30.1 |
| -26 | 10.64 | 12.88 | 15.98 | 14.18 | 9.18 | 14.88 | 15.58 | - | 15.48 | 15.98 | 15.78 | 16.68 | 18.88 | 22.18 | 20.28 | 25.28 | 24.48 | xxxx | 31.1 |

L'nw=49  
dB

Tabla 61.L'nw de Bravo\_1\_8\_n

Proyecto : Estudio al ruido ascendente por impacto

Autor: Gregorio Chacón Leiva

Tutor : Pedro Flores Domínguez-Rodiño

| Hz                | 100  | 125  | 160  | 200   | 250   | 315   | 400  | 500  | 630  | 800  | 1000 | 1250 | 1600 | 2000 | 2500 | 3125 | 4000 |
|-------------------|------|------|------|-------|-------|-------|------|------|------|------|------|------|------|------|------|------|------|
| C.R Banda Inicial | 62   | 62   | 62   | 62    | 62    | 62    | 61   | 60   | 59   | 58   | 57   | 54   | 51   | 48   | 45   | 42   | xxxx |
| C.R.Banda Final   | 51   | 51   | 51   | 51    | 51    | 51    | 50   | 49   | 48   | 47   | 46   | 43   | 40   | 37   | 34   | 31   |      |
| Bravo_2_1_n       | 55.1 | 54.9 | 54.4 | 50.5  | 50.2  | 50.9  | 51.9 | 52.1 | 51.9 | 52.1 | 51.2 | 48.3 | 44.3 | 41.5 | 38.2 | 35.3 | 32.1 |
| 0                 | 6.86 | 7.12 | 7.62 | 11.52 | 11.82 | 11.12 | 9.12 | 7.92 | 7.12 | 5.92 | 5.82 | 5.72 | 6.72 | 6.52 | 6.82 | 6.72 | xxxx |
| -1                | 5.86 | 6.12 | 6.62 | 10.52 | 10.82 | 10.12 | 8.12 | 6.92 | 6.12 | 4.92 | 4.82 | 4.72 | 5.72 | 5.52 | 5.82 | 5.72 | xxxx |
| -2                | 4.86 | 5.12 | 5.62 | 9.52  | 9.82  | 9.12  | 7.12 | 5.92 | 5.12 | 3.92 | 3.82 | 3.72 | 4.72 | 4.52 | 4.82 | 4.72 | xxxx |
| -3                | 3.86 | 4.12 | 4.62 | 8.52  | 8.82  | 8.12  | 6.12 | 4.92 | 4.12 | 2.92 | 2.82 | 2.72 | 3.72 | 3.52 | 3.82 | 3.72 | xxxx |
| -4                | 2.86 | 3.12 | 3.62 | 7.52  | 7.82  | 7.12  | 5.12 | 3.92 | 3.12 | 1.92 | 1.82 | 1.72 | 2.72 | 2.52 | 2.82 | 2.72 | xxxx |
| -5                | 1.86 | 2.12 | 2.62 | 6.52  | 6.82  | 6.12  | 4.12 | 2.92 | 2.12 | 0.92 | 0.82 | 0.72 | 1.72 | 1.52 | 1.82 | 1.72 | xxxx |
| -6                | 0.86 | 1.12 | 1.62 | 5.52  | 5.82  | 5.12  | 3.12 | 1.92 | 1.12 | 0.08 | 0.18 | 0.28 | 0.72 | 0.52 | 0.82 | 0.72 | xxxx |
| -7                | 0.14 | 0.12 | 0.62 | 4.52  | 4.82  | 4.12  | 2.12 | 0.92 | 0.12 | 1.08 | 1.18 | 1.28 | 0.28 | 0.48 | 0.18 | 0.28 | xxxx |
| -8                | 1.14 | 0.88 | 0.38 | 3.52  | 3.82  | 3.12  | 1.12 | -    | 0.08 | 0.88 | 2.08 | 2.18 | 2.28 | 1.28 | 1.48 | 1.18 | 1.28 |
| -9                | 2.14 | 1.88 | 1.38 | 2.52  | 2.82  | 2.12  | 0.12 | -    | 1.08 | 1.88 | 3.08 | 3.18 | 3.28 | 2.28 | 2.48 | 2.18 | 2.28 |
| -10               | 3.14 | 2.88 | 2.38 | 1.52  | 1.82  | 1.12  | 0.88 | -    | 2.08 | 2.88 | 4.08 | 4.18 | 4.28 | 3.28 | 3.48 | 3.18 | 3.28 |
| -11               | 4.14 | 3.88 | 3.38 | 0.52  | 0.82  | 0.12  | 1.88 | -    | 3.08 | 3.88 | 5.08 | 5.18 | 5.28 | 4.28 | 4.48 | 4.18 | 4.28 |
| -12               | 5.14 | 4.88 | 4.38 | 0.48  | 0.18  | 0.88  | 2.88 | -    | 4.08 | 4.88 | 6.08 | 6.18 | 6.28 | 5.28 | 5.48 | 5.18 | 5.28 |
| -13               | 6.14 | 5.88 | 5.38 | 1.48  | 1.18  | 1.88  | 3.88 | -    | 5.08 | 5.88 | 7.08 | 7.18 | 7.28 | 6.28 | 6.48 | 6.18 | 6.28 |
| -14               | -    | -    | -    | -     | -     | -     | -    | -    | 6.08 | -    | -    | -    | -    | -    | -    | -    | xxxx |

Proyecto : Estudio al ruido ascendente por impacto

Autor: Gregorio Chacón Leiva

Tutor : Pedro Flores Domínguez-Rodiño

|     |       |       |       |       |       |       |       |   |       |       |       |       |       |       |       |       |       |      |      |
|-----|-------|-------|-------|-------|-------|-------|-------|---|-------|-------|-------|-------|-------|-------|-------|-------|-------|------|------|
|     | 7.14  | 6.88  | 6.38  | 2.48  | 2.18  | 2.88  | 4.88  |   |       | 6.88  | 8.08  | 8.18  | 8.28  | 7.28  | 7.48  | 7.18  | 7.28  |      | 18.6 |
| -15 | -     | -     | -     | -     | -     | -     | -     | - | 7.08  | 7.88  | 9.08  | 9.18  | -     | -     | -     | -     | -     | xxxx | 19.6 |
| -16 | 8.14  | 7.88  | 7.38  | 3.48  | 3.18  | 3.88  | 5.88  | - | 8.08  | 8.88  | 10.08 | 10.18 | -     | -     | -     | -     | -     | xxxx | 20.6 |
| -17 | -     | -     | -     | -     | -     | -     | -     | - | -     | -     | -     | -     | -     | -     | -     | -     | -     | xxxx | 21.6 |
| -18 | 9.14  | 8.88  | 8.38  | 4.48  | 4.18  | 4.88  | 6.88  | - | 9.08  | 9.88  | 11.08 | 11.18 | 11.28 | 10.28 | 10.48 | 10.18 | 10.28 | xxxx | 22.6 |
| -19 | 10.14 | 9.88  | 9.38  | 5.48  | 5.18  | 5.88  | 7.88  | - | 10.08 | 10.88 | 12.08 | 12.18 | 12.28 | 11.28 | 11.48 | 11.18 | 11.28 | xxxx | 23.6 |
| -20 | -     | -     | -     | -     | -     | -     | -     | - | -     | -     | -     | -     | -     | -     | -     | -     | -     | xxxx | 24.6 |
| -21 | 11.14 | 10.88 | 10.38 | 6.48  | 6.18  | 6.88  | 8.88  | - | 11.08 | 11.88 | 13.08 | 13.18 | 13.28 | 12.28 | 12.48 | 12.18 | 12.28 | xxxx | 25.6 |
| -22 | 12.14 | 11.88 | 11.38 | 7.48  | 7.18  | 7.88  | 9.88  | - | 12.08 | 12.88 | 14.08 | 14.18 | 14.28 | 13.28 | 13.48 | 13.18 | 13.28 | xxxx | 26.6 |
| -23 | -     | -     | -     | -     | -     | -     | -     | - | -     | -     | -     | -     | -     | -     | -     | -     | -     | xxxx | 27.6 |
| -24 | 13.14 | 12.88 | 12.38 | 8.48  | 8.18  | 8.88  | 10.88 | - | 13.08 | 13.88 | 15.08 | 15.18 | 15.28 | 14.28 | 14.48 | 14.18 | 14.28 | xxxx | 28.6 |
| -25 | 14.14 | 13.88 | 13.38 | 9.48  | 9.18  | 9.88  | 11.88 | - | 14.08 | 14.88 | 16.08 | 16.18 | 16.28 | 15.28 | 15.48 | 15.18 | 15.28 | xxxx | 29.6 |
| -26 | 15.14 | 14.88 | 14.38 | 10.48 | 10.18 | 10.88 | 12.88 | - | 15.08 | 15.88 | 17.08 | 17.18 | 17.28 | 16.28 | 16.48 | 16.18 | 16.28 | xxxx | 30.6 |
| -27 | 16.14 | 15.88 | 15.38 | 11.48 | 11.18 | 11.88 | 13.88 | - | 16.08 | 16.88 | 18.08 | 18.18 | 18.28 | 17.28 | 17.48 | 17.18 | 17.28 | xxxx | 31.6 |

L'nw=49  
dB

Tabla 62.L'nw de Bravo\_2\_1\_n

Proyecto : Estudio al ruido ascendente por impacto

Autor: Gregorio Chacón Leiva

Tutor : Pedro Flores Domínguez-Rodiño

| Hz                | 100  | 125  | 160   | 200  | 250  | 315   | 400  | 500   | 630  | 800   | 1000 | 1250 | 1600 | 2000 | 2500 | 3125 | 4000 |
|-------------------|------|------|-------|------|------|-------|------|-------|------|-------|------|------|------|------|------|------|------|
| C.R Banda Inicial | 62   | 62   | 62    | 62   | 62   | 62    | 61   | 60    | 59   | 58    | 57   | 54   | 51   | 48   | 45   | 42   | xxxx |
| C.R.Banda Final   | 51   | 51   | 51    | 51   | 51   | 51    | 50   | 49    | 48   | 47    | 46   | 43   | 40   | 37   | 34   | 31   |      |
| Bravo _2_2_n      | 54.6 | 54.9 | 55.1  | 52.2 | 53.3 | 50.2  | 52.0 | 51.1  | 50.7 | 51.5  | 50.2 | 46.2 | 42.8 | 40.5 | 36.1 | 33.2 | 29.3 |
| 0                 | 7.36 | 7.12 | 6.92  | 9.82 | 8.72 | 11.82 | 9.02 | 8.92  | 8.32 | 6.52  | 6.82 | 7.82 | 8.22 | 7.52 | 8.92 | 8.82 | xxxx |
| -1                | 6.36 | 6.12 | 5.92  | 8.82 | 7.72 | 10.82 | 8.02 | 7.92  | 7.32 | 5.52  | 5.82 | 6.82 | 7.22 | 6.52 | 7.92 | 7.82 | xxxx |
| -2                | 5.36 | 5.12 | 4.92  | 7.82 | 6.72 | 9.82  | 7.02 | 6.92  | 6.32 | 4.52  | 4.82 | 5.82 | 6.22 | 5.52 | 6.92 | 6.82 | xxxx |
| -3                | 4.36 | 4.12 | 3.92  | 6.82 | 5.72 | 8.82  | 6.02 | 5.92  | 5.32 | 3.52  | 3.82 | 4.82 | 5.22 | 4.52 | 5.92 | 5.82 | xxxx |
| -4                | 3.36 | 3.12 | 2.92  | 5.82 | 4.72 | 7.82  | 5.02 | 4.92  | 4.32 | 2.52  | 2.82 | 3.82 | 4.22 | 3.52 | 4.92 | 4.82 | xxxx |
| -5                | 2.36 | 2.12 | 1.92  | 4.82 | 3.72 | 6.82  | 4.02 | 3.92  | 3.32 | 1.52  | 1.82 | 2.82 | 3.22 | 2.52 | 3.92 | 3.82 | xxxx |
| -6                | 1.36 | 1.12 | 0.92  | 3.82 | 2.72 | 5.82  | 3.02 | 2.92  | 2.32 | 0.52  | 0.82 | 1.82 | 2.22 | 1.52 | 2.92 | 2.82 | xxxx |
| -7                | 0.36 | 0.12 | -0.08 | 2.82 | 1.72 | 4.82  | 2.02 | 1.92  | 1.32 | -0.48 | 0.18 | 0.82 | 1.22 | 0.52 | 1.92 | 1.82 | xxxx |
| -8                | 0.64 | 0.88 | 1.08  | 1.82 | 0.72 | 3.82  | 1.02 | 0.92  | 0.32 | 1.48  | 1.18 | 0.18 | 0.22 | 0.48 | 0.92 | 0.82 | xxxx |
| -9                | 1.64 | 1.88 | 2.08  | 0.82 | 0.28 | 2.82  | 0.02 | -0.08 | 0.68 | 2.48  | 2.18 | 1.18 | 0.78 | 1.48 | 0.08 | 0.18 | xxxx |
| -10               | 2.64 | 2.88 | 3.08  | 0.18 | 1.28 | 1.82  | 0.98 | -1.08 | 1.68 | 3.48  | 3.18 | 2.18 | 1.78 | 2.48 | 1.08 | 1.18 | xxxx |
| -11               | 3.64 | 3.88 | 4.08  | 1.18 | 2.28 | 0.82  | 1.98 | -2.08 | 2.68 | 4.48  | 4.18 | 3.18 | 2.78 | 3.48 | 2.08 | 2.18 | xxxx |
| -12               | 4.64 | 4.88 | 5.08  | 2.18 | 3.28 | 0.18  | 2.98 | -3.08 | 3.68 | 5.48  | 5.18 | 4.18 | 3.78 | 4.48 | 3.08 | 3.18 | xxxx |
| -13               | 5.64 | 5.88 | 6.08  | 3.18 | 4.28 | 1.18  | 3.98 | -4.08 | 4.68 | 6.48  | 6.18 | 5.18 | 4.78 | 5.48 | 4.08 | 4.18 | xxxx |
| -14               | -    | -    | -     | -    | -    | -     | -    | -5.08 | -    | -     | -    | -    | -    | -    | -    | -    | xxxx |

Proyecto : Estudio al ruido ascendente por impacto

Autor: Gregorio Chacón Leiva

Tutor : Pedro Flores Domínguez-Rodiño

|     |       |       |       |       |       |      |       |   |       |       |       |       |       |       |       |       |       |      |      |
|-----|-------|-------|-------|-------|-------|------|-------|---|-------|-------|-------|-------|-------|-------|-------|-------|-------|------|------|
|     | 6.64  | 6.88  | 7.08  | 4.18  | 5.28  | 2.18 | 4.98  |   | 5.68  | 7.48  | 7.18  | 6.18  | 5.78  | 6.48  | 5.08  | 5.18  |       | 17.9 |      |
| -15 | -     | -     | -     | -     | -     | -    | -     | - | 6.08  | 6.68  | 8.48  | 8.18  | -     | -     | -     | -     | xxxx  | 18.9 |      |
| -16 | 7.64  | 7.88  | 8.08  | 5.18  | 6.28  | 3.18 | 5.98  | - | 7.08  | 7.68  | 9.48  | 9.18  | 8.18  | 7.78  | 8.48  | 7.08  | 7.18  | xxxx | 19.9 |
| -17 | -     | -     | -     | -     | -     | -    | -     | - | -     | -     | -     | -     | -     | -     | -     | -     |       | 20.9 |      |
| -18 | 8.64  | 8.88  | 9.08  | 6.18  | 7.28  | 4.18 | 6.98  | - | 8.08  | 8.68  | 10.48 | 10.18 | 9.18  | 8.78  | 9.48  | 8.08  | 8.18  | xxxx | 21.9 |
| -19 | -     | -     | -     | -     | -     | -    | -     | - | -     | -     | -     | -     | -     | -     | -     | -     |       | 22.9 |      |
| -20 | 9.64  | 9.88  | 10.08 | 7.18  | 8.28  | 5.18 | 7.98  | - | 10.08 | 10.68 | 12.48 | 12.18 | 11.18 | 10.78 | 11.48 | 10.08 | 10.18 | xxxx | 23.9 |
| -21 | -     | -     | -     | -     | -     | -    | -     | - | -     | -     | -     | -     | -     | -     | -     | -     |       | 24.9 |      |
| -22 | 10.64 | 10.88 | 11.08 | 8.18  | 9.28  | 6.18 | 8.98  | - | 9.08  | 9.68  | 11.48 | 11.18 | 10.18 | 9.78  | 10.48 | 9.08  | 9.18  | xxxx | 25.9 |
| -23 | -     | -     | -     | -     | -     | -    | -     | - | -     | -     | -     | -     | -     | -     | -     | -     |       | 26.9 |      |
| -24 | 11.64 | 11.88 | 12.08 | 9.18  | 10.28 | 7.18 | 9.98  | - | 11.08 | 11.68 | 13.48 | 13.18 | 12.18 | 11.78 | 12.48 | 11.08 | 11.18 | xxxx | 27.9 |
| -25 | -     | -     | -     | -     | -     | -    | -     | - | -     | -     | -     | -     | -     | -     | -     | -     |       | 28.9 |      |
| -26 | 12.64 | 12.88 | 13.08 | 10.18 | 11.28 | 8.18 | 10.98 | - | 12.08 | 12.68 | 14.48 | 14.18 | 13.18 | 12.78 | 13.48 | 12.08 | 12.18 | xxxx | 29.9 |
| -27 | -     | -     | -     | -     | -     | -    | -     | - | -     | -     | -     | -     | -     | -     | -     | -     |       | 30.9 |      |
| -28 | 13.64 | 13.88 | 14.08 | 11.18 | 12.28 | 9.18 | 11.98 | - | 13.08 | 13.68 | 15.48 | 15.18 | 14.18 | 13.78 | 14.48 | 13.08 | 13.18 | xxxx | 31.9 |

L'nw=49  
dB

Tabla 63.L'nw de Bravo\_2\_2\_n

Proyecto : Estudio al ruido ascendente por impacto

Autor: Gregorio Chacón Leiva

Tutor : Pedro Flores Domínguez-Rodiño

| Hz                | 100   | 125  | 160  | 200   | 250   | 315   | 400  | 500  | 630  | 800  | 1000 | 1250 | 1600 | 2000 | 2500 | 3125 | 4000 |      |
|-------------------|-------|------|------|-------|-------|-------|------|------|------|------|------|------|------|------|------|------|------|------|
| C.R Banda Inicial | 62    | 62   | 62   | 62    | 62    | 62    | 61   | 60   | 59   | 58   | 57   | 54   | 51   | 48   | 45   | 42   | xxxx |      |
| C.R.Banda Final   | 51    | 51   | 51   | 51    | 51    | 51    | 50   | 49   | 48   | 47   | 46   | 43   | 40   | 37   | 34   | 31   |      |      |
| Bravo _2_3_n      | 51.6  | 53.8 | 55.8 | 51.8  | 50.6  | 48.4  | 51.8 | 50.9 | 50.0 | 50.6 | 49.6 | 46.0 | 43.0 | 39.3 | 35.1 | 33.0 | 29.1 |      |
| 0                 | 10.36 | 8.22 | 6.22 | 10.22 | 11.42 | 13.62 | 9.22 | 9.12 | 9.02 | 7.42 | 7.42 | 8.02 | 8.02 | 8.72 | 9.92 | 9.02 | xxxx |      |
| -1                | 9.36  | 7.22 | 5.22 | 9.22  | 10.42 | 12.62 | 8.22 | 8.12 | 8.02 | 6.42 | 6.42 | 7.02 | 7.02 | 7.72 | 8.92 | 8.02 | xxxx |      |
| -2                | 8.36  | 6.22 | 4.22 | 8.22  | 9.42  | 11.62 | 7.22 | 7.12 | 7.02 | 5.42 | 5.42 | 6.02 | 6.02 | 6.72 | 7.92 | 7.02 | xxxx |      |
| -3                | 7.36  | 5.22 | 3.22 | 7.22  | 8.42  | 10.62 | 6.22 | 6.12 | 6.02 | 4.42 | 4.42 | 5.02 | 5.02 | 5.72 | 6.92 | 6.02 | xxxx |      |
| -4                | 6.36  | 4.22 | 2.22 | 6.22  | 7.42  | 9.62  | 5.22 | 5.12 | 5.02 | 3.42 | 3.42 | 4.02 | 4.02 | 4.72 | 5.92 | 5.02 | xxxx |      |
| -5                | 5.36  | 3.22 | 1.22 | 5.22  | 6.42  | 8.62  | 4.22 | 4.12 | 4.02 | 2.42 | 2.42 | 3.02 | 3.02 | 3.72 | 4.92 | 4.02 | xxxx |      |
| -6                | 4.36  | 2.22 | 0.22 | 4.22  | 5.42  | 7.62  | 3.22 | 3.12 | 3.02 | 1.42 | 1.42 | 2.02 | 2.02 | 2.72 | 3.92 | 3.02 | xxxx |      |
| -7                | 3.36  | 1.22 | -    | 3.22  | 4.42  | 6.62  | 2.22 | 2.12 | 2.02 | 0.42 | 0.42 | 1.02 | 1.02 | 1.72 | 2.92 | 2.02 | xxxx |      |
| -8                | 2.36  | 0.22 | -    | 1.78  | 2.22  | 3.42  | 5.62 | 1.22 | 1.12 | 1.02 | 0.58 | 0.58 | 0.02 | 0.02 | 0.72 | 1.92 | 1.02 | xxxx |
| -9                | 1.36  | -    | 0.78 | 2.78  | 1.22  | 2.42  | 4.62 | 0.22 | 0.12 | 0.02 | -    | -    | -    | -    | -    | -    | 10.5 |      |
| -10               | 0.36  | 1.78 | 3.78 | 0.22  | 1.42  | 3.62  | 0.78 | -    | 0.88 | 0.98 | 2.58 | 2.58 | 1.98 | 1.98 | 1.28 | 0.08 | 0.98 | xxxx |
| -11               | 0.64  | -    | 2.78 | 4.78  | 0.78  | 0.42  | 2.62 | -    | 1.88 | 1.98 | 3.58 | 3.58 | 2.98 | 2.98 | 2.28 | 1.08 | 1.98 | xxxx |
| -12               | 1.64  | -    | -    | 3.78  | 5.78  | 1.78  | 0.58 | 1.62 | 2.78 | -    | 2.88 | 2.98 | 4.58 | 4.58 | 3.98 | 3.98 | 3.28 | 2.08 |
| -13               | 2.64  | -    | -    | -     | -     | -     | -    | -    | 3.88 | 3.98 | 5.58 | 5.58 | 4.98 | 4.98 | 4.28 | 3.08 | 3.98 | xxxx |
| -14               | -     | -    | -    | -     | -     | -     | -    | -    | 4.88 | -    | -    | -    | -    | -    | -    | -    | xxxx |      |

Proyecto : Estudio al ruido ascendente por impacto

Autor: Gregorio Chacón Leiva

Tutor : Pedro Flores Domínguez-Rodiño

|     |      |       |       |      |      |      |       |   |       |       |       |       |       |       |       |       |       |      |      |
|-----|------|-------|-------|------|------|------|-------|---|-------|-------|-------|-------|-------|-------|-------|-------|-------|------|------|
|     | 3.64 | 5.78  | 7.78  | 3.78 | 2.58 | 0.38 | 4.78  |   | 4.98  | 6.58  | 6.58  | 5.98  | 5.98  | 5.28  | 4.08  | 4.98  |       | 17.2 |      |
| -15 | -    | -     | -     | -    | -    | -    | -     | - | 5.88  | 5.98  | 7.58  | 7.58  | -     | -     | -     | -     | xxxx  | 18.2 |      |
| -16 | 4.64 | 6.78  | 8.78  | 4.78 | 3.58 | 1.38 | 5.78  | - | 6.88  | 6.98  | 8.58  | 8.58  | -     | -     | -     | -     | xxxx  | 19.2 |      |
| -17 | -    | -     | -     | -    | -    | -    | -     | - | -     | -     | -     | -     | -     | -     | -     | -     | xxxx  | 20.2 |      |
| -18 | 5.64 | 7.78  | 9.78  | 5.78 | 4.58 | 2.38 | 6.78  | - | 7.88  | 7.98  | 9.58  | 9.58  | 8.98  | 8.98  | 8.28  | 7.08  | 7.98  | xxxx | 21.2 |
| -19 | -    | -     | -     | -    | -    | -    | -     | - | 8.88  | 8.98  | 10.58 | 10.58 | 9.98  | 9.98  | 9.28  | 8.08  | 8.98  | xxxx | 22.2 |
| -20 | 6.64 | 8.78  | 10.78 | 6.78 | 5.58 | 3.38 | 7.78  | - | 9.88  | 9.98  | 11.58 | 11.58 | 10.98 | 10.98 | 10.28 | 9.08  | 9.98  | xxxx | 23.2 |
| -21 | -    | -     | -     | -    | -    | -    | -     | - | 10.88 | 10.98 | 12.58 | 12.58 | -     | -     | -     | -     | xxxx  | 24.2 |      |
| -22 | 7.64 | 9.78  | 11.78 | 7.78 | 6.58 | 4.38 | 8.78  | - | 11.88 | 11.98 | 13.58 | 13.58 | 12.98 | 12.98 | 12.28 | 11.08 | 11.98 | xxxx | 25.2 |
| -23 | -    | -     | -     | -    | -    | -    | -     | - | 13.88 | 13.98 | 15.58 | 15.58 | 14.98 | 14.98 | 14.28 | 13.08 | 13.98 | xxxx | 26.2 |
| -24 | 8.64 | 10.78 | 12.78 | 8.78 | 7.58 | 5.38 | 9.78  | - | 14.88 | 14.98 | 16.58 | 16.58 | 15.98 | 15.98 | 15.28 | 14.08 | 14.98 | xxxx | 27.2 |
| -25 | -    | -     | -     | -    | -    | -    | -     | - | 15.88 | 15.98 | 17.58 | 17.58 | -     | -     | -     | -     | xxxx  | 28.2 |      |
| -26 | 9.64 | 11.78 | 13.78 | 9.78 | 8.58 | 6.38 | 10.78 | - | 16.88 | 16.98 | 18.58 | 18.58 | -     | -     | -     | -     | xxxx  | 29.2 |      |

L'nw=49  
dB

Tabla 64.L'nw de Bravo\_2\_3\_n

Proyecto : Estudio al ruido ascendente por impacto

Autor: Gregorio Chacón Leiva

Tutor : Pedro Flores Domínguez-Rodiño

| Hz                | 100  | 125  | 160  | 200   | 250   | 315   | 400   | 500   | 630  | 800  | 1000 | 1250 | 1600 | 2000 | 2500 | 3125  | 4000                  |
|-------------------|------|------|------|-------|-------|-------|-------|-------|------|------|------|------|------|------|------|-------|-----------------------|
| C.R Banda Inicial | 62   | 62   | 62   | 62    | 62    | 62    | 61    | 60    | 59   | 58   | 57   | 54   | 51   | 48   | 45   | 42    | xxxx                  |
| C.R.Banda Final   | 50   | 50   | 50   | 50    | 50    | 50    | 49    | 48    | 47   | 46   | 45   | 42   | 39   | 36   | 33   | 30    |                       |
| Bravo_2_4_n       | 56.1 | 55.2 | 54.0 | 51.5  | 51.7  | 49.4  | 50.9  | 49.9  | 49.7 | 51.0 | 49.2 | 45.2 | 43.0 | 39.5 | 35.1 | 31.8  | 29.3                  |
| 0                 | 5.86 | 6.82 | 8.02 | 10.52 | 10.32 | 12.62 | 10.12 | 10.12 | 9.32 | 7.02 | 7.82 | 8.82 | 8.02 | 8.52 | 9.92 | 10.22 | xxxx sin desviaciones |
| -1                | 4.86 | 5.82 | 7.02 | 9.52  | 9.32  | 11.62 | 9.12  | 9.12  | 8.32 | 6.02 | 6.82 | 7.82 | 7.02 | 7.52 | 8.92 | 9.22  | xxxx sin desviaciones |
| -2                | 3.86 | 4.82 | 6.02 | 8.52  | 8.32  | 10.62 | 8.12  | 8.12  | 7.32 | 5.02 | 5.82 | 6.82 | 6.02 | 6.52 | 7.92 | 8.22  | xxxx sin desviaciones |
| -3                | 2.86 | 3.82 | 5.02 | 7.52  | 7.32  | 9.62  | 7.12  | 7.12  | 6.32 | 4.02 | 4.82 | 5.82 | 5.02 | 5.52 | 6.92 | 7.22  | xxxx sin desviaciones |
| -4                | 1.86 | 2.82 | 4.02 | 6.52  | 6.32  | 8.62  | 6.12  | 6.12  | 5.32 | 3.02 | 3.82 | 4.82 | 4.02 | 4.52 | 5.92 | 6.22  | xxxx sin desviaciones |
| -5                | 0.86 | 1.82 | 3.02 | 5.52  | 5.32  | 7.62  | 5.12  | 5.12  | 4.32 | 2.02 | 2.82 | 3.82 | 3.02 | 3.52 | 4.92 | 5.22  | xxxx sin desviaciones |
| -6                | 0.14 | 0.82 | 2.02 | 4.52  | 4.32  | 6.62  | 4.12  | 4.12  | 3.32 | 1.02 | 1.82 | 2.82 | 2.02 | 2.52 | 3.92 | 4.22  | xxxx 0.1              |
| -7                | 1.14 | 0.18 | 1.02 | 3.52  | 3.32  | 5.62  | 3.12  | 3.12  | 2.32 | 0.02 | 0.82 | 1.82 | 1.02 | 1.52 | 2.92 | 3.22  | xxxx 3.7              |
| -8                | 2.14 | 1.18 | 0.02 | 2.52  | 2.32  | 4.62  | 2.12  | 2.12  | 1.32 | 0.98 | 0.18 | 0.82 | 0.02 | 0.52 | 1.92 | 2.22  | xxxx 9.6              |
| -9                | 3.14 | 2.18 | 0.98 | 1.52  | 1.32  | 3.62  | 1.12  | 1.12  | 0.32 | 1.98 | 1.18 | 0.18 | 0.98 | 0.48 | 0.92 | 1.22  | xxxx 11.1             |
| -10               | 4.14 | 3.18 | 1.98 | 0.52  | 0.32  | 2.62  | 0.12  | 0.12  | 0.68 | 2.98 | 2.18 | 1.18 | 1.98 | 1.48 | 0.08 | 0.22  | xxxx 12.4             |
| -11               | 5.14 | 4.18 | 2.98 | 0.48  | 0.68  | 1.62  | 0.88  | -     | 0.88 | 1.68 | 3.98 | 3.18 | 2.18 | 2.98 | 2.48 | 1.08  | 0.78 xxxx 14.0        |
| -12               | 6.14 | 5.18 | 3.98 | 1.48  | 1.68  | 0.62  | 1.88  | -     | 1.88 | 2.68 | 4.98 | 4.18 | 3.18 | 3.98 | 3.48 | 2.08  | 1.78 xxxx 15.2        |
| -13               | 7.14 | 6.18 | 4.98 | 2.48  | 2.68  | 0.38  | 2.88  | -     | 2.88 | 3.68 | 5.98 | 5.18 | 4.18 | 4.98 | 4.48 | 3.08  | 2.78 xxxx 16.4        |

Proyecto : Estudio al ruido ascendente por impacto

Autor: Gregorio Chacón Leiva

Tutor : Pedro Flores Domínguez-Rodiño

|     |   |       |       |   |       |   |       |   |       |   |       |   |       |   |       |   |       |   |       |   |       |   |       |   |       |   |       |   |       |   |       |      |      |      |      |
|-----|---|-------|-------|---|-------|---|-------|---|-------|---|-------|---|-------|---|-------|---|-------|---|-------|---|-------|---|-------|---|-------|---|-------|---|-------|---|-------|------|------|------|------|
| -14 | - | 8.14  | 7.18  | - | 5.98  | - | 3.48  | - | 3.68  | - | 1.38  | - | 3.88  | - | 3.88  | - | 4.68  | - | 6.98  | - | 6.18  | - | 5.18  | - | 5.98  | - | 5.48  | - | 4.08  | - | 3.78  | xxxx | 17.4 |      |      |
| -15 | - | -     | -     | - | -     | - | -     | - | -     | - | -     | - | -     | - | -     | - | 4.88  | - | 5.68  | - | 7.98  | - | 7.18  | - | 6.18  | - | 6.98  | - | 6.48  | - | 5.08  | -    | 4.78 | xxxx | 18.4 |
| -16 | - | 10.14 | 9.18  | - | 7.98  | - | 5.48  | - | 5.68  | - | 3.38  | - | 5.88  | - | 5.88  | - | 6.68  | - | 8.98  | - | 8.18  | - | 7.18  | - | 7.98  | - | 7.48  | - | 6.08  | - | 5.78  | xxxx | 19.4 |      |      |
| -17 | - | 11.14 | 10.18 | - | 8.98  | - | 6.48  | - | 6.68  | - | 4.38  | - | 6.88  | - | 6.88  | - | 7.68  | - | 9.98  | - | 9.18  | - | 8.18  | - | 8.98  | - | 8.48  | - | 7.08  | - | 6.78  | xxxx | 20.4 |      |      |
| -18 | - | -     | -     | - | -     | - | -     | - | -     | - | -     | - | -     | - | -     | - | 7.88  | - | 8.68  | - | 10.98 | - | 10.18 | - | 9.18  | - | 9.98  | - | 9.48  | - | 8.08  | -    | 7.78 | xxxx | 21.4 |
| -19 | - | 13.14 | 12.18 | - | 10.98 | - | 8.48  | - | 8.68  | - | 6.38  | - | 8.88  | - | 8.88  | - | 9.68  | - | 11.98 | - | 11.18 | - | 10.18 | - | 10.98 | - | 10.48 | - | 9.08  | - | 8.78  | xxxx | 22.4 |      |      |
| -20 | - | 14.14 | 13.18 | - | 11.98 | - | 9.48  | - | 9.68  | - | 7.38  | - | 9.88  | - | 9.88  | - | 10.68 | - | 12.98 | - | 12.18 | - | 11.18 | - | 11.98 | - | 11.48 | - | 10.08 | - | 9.78  | xxxx | 23.4 |      |      |
| -21 | - | 15.14 | 14.18 | - | 12.98 | - | 10.48 | - | 10.68 | - | 8.38  | - | 10.88 | - | 10.88 | - | 11.68 | - | 13.98 | - | 13.18 | - | 12.18 | - | 12.98 | - | 12.48 | - | 11.08 | - | 10.78 | xxxx | 24.4 |      |      |
| -22 | - | 16.14 | 15.18 | - | 13.98 | - | 11.48 | - | 11.68 | - | 9.38  | - | 11.88 | - | 11.88 | - | 12.68 | - | 14.98 | - | 14.18 | - | 13.18 | - | 13.98 | - | 13.48 | - | 12.08 | - | 11.78 | xxxx | 25.4 |      |      |
| -23 | - | 17.14 | 16.18 | - | 14.98 | - | 12.48 | - | 12.68 | - | 10.38 | - | 12.88 | - | 12.88 | - | 13.68 | - | 15.98 | - | 15.18 | - | 14.18 | - | 14.98 | - | 14.48 | - | 13.08 | - | 12.78 | xxxx | 26.4 |      |      |
| -24 | - | 18.14 | 17.18 | - | 15.98 | - | 13.48 | - | 13.68 | - | 11.38 | - | 13.88 | - | 13.88 | - | 14.68 | - | 16.98 | - | 16.18 | - | 15.18 | - | 15.98 | - | 15.48 | - | 14.08 | - | 13.78 | xxxx | 27.4 |      |      |
| -25 | - | 19.14 | 18.18 | - | 16.98 | - | 14.48 | - | 14.68 | - | 12.38 | - | 14.88 | - | 14.88 | - | 15.68 | - | 17.98 | - | 17.18 | - | 16.18 | - | 16.98 | - | 16.48 | - | 15.08 | - | 14.78 | xxxx | 28.4 |      |      |
| -26 | - | 20.14 | 19.18 | - | 17.98 | - | 15.48 | - | 15.68 | - | 13.38 | - | 15.88 | - | 15.88 | - | 16.68 | - | 18.98 | - | 18.18 | - | 17.18 | - | 17.98 | - | 17.48 | - | 16.08 | - | 15.78 | xxxx | 29.4 |      |      |

L'nw=48  
dB

Tabla 65.L'nw de Bravo\_2\_4\_n

Proyecto : Estudio al ruido ascendente por impacto

Autor: Gregorio Chacón Leiva

Tutor : Pedro Flores Domínguez-Rodiño

| Hz                | 100   | 125   | 160  | 200   | 250   | 315   | 400  | 500  | 630  | 800  | 1000 | 1250 | 1600 | 2000 | 2500 | 3125 | 4000 |
|-------------------|-------|-------|------|-------|-------|-------|------|------|------|------|------|------|------|------|------|------|------|
| C.R Banda Inicial | 62    | 62    | 62   | 62    | 62    | 62    | 61   | 60   | 59   | 58   | 57   | 54   | 51   | 48   | 45   | 42   | xxxx |
| C.R.Banda Final   | 50    | 50    | 50   | 50    | 50    | 50    | 49   | 48   | 47   | 46   | 45   | 42   | 39   | 36   | 33   | 30   |      |
| Bravo _2_5_n      | 48.1  | 50.2  | 53.3 | 50.4  | 50.6  | 49.3  | 51.7 | 51.6 | 51.0 | 50.3 | 49.4 | 46.3 | 42.9 | 39.8 | 35.9 | 33.4 | 31.2 |
| 0                 | 13.86 | 11.82 | 8.72 | 11.62 | 11.42 | 12.72 | 9.32 | 8.42 | 8.02 | 7.72 | 7.62 | 7.72 | 8.12 | 8.22 | 9.12 | 8.62 | xxxx |
| -1                | 12.86 | 10.82 | 7.72 | 10.62 | 10.42 | 11.72 | 8.32 | 7.42 | 7.02 | 6.72 | 6.62 | 6.72 | 7.12 | 7.22 | 8.12 | 7.62 | xxxx |
| -2                | 11.86 | 9.82  | 6.72 | 9.62  | 9.42  | 10.72 | 7.32 | 6.42 | 6.02 | 5.72 | 5.62 | 5.72 | 6.12 | 6.22 | 7.12 | 6.62 | xxxx |
| -3                | 10.86 | 8.82  | 5.72 | 8.62  | 8.42  | 9.72  | 6.32 | 5.42 | 5.02 | 4.72 | 4.62 | 4.72 | 5.12 | 5.22 | 6.12 | 5.62 | xxxx |
| -4                | 9.86  | 7.82  | 4.72 | 7.62  | 7.42  | 8.72  | 5.32 | 4.42 | 4.02 | 3.72 | 3.62 | 3.72 | 4.12 | 4.22 | 5.12 | 4.62 | xxxx |
| -5                | 8.86  | 6.82  | 3.72 | 6.62  | 6.42  | 7.72  | 4.32 | 3.42 | 3.02 | 2.72 | 2.62 | 2.72 | 3.12 | 3.22 | 4.12 | 3.62 | xxxx |
| -6                | 7.86  | 5.82  | 2.72 | 5.62  | 5.42  | 6.72  | 3.32 | 2.42 | 2.02 | 1.72 | 1.62 | 1.72 | 2.12 | 2.22 | 3.12 | 2.62 | xxxx |
| -7                | 6.86  | 4.82  | 1.72 | 4.62  | 4.42  | 5.72  | 2.32 | 1.42 | 1.02 | 0.72 | 0.62 | 0.72 | 1.12 | 1.22 | 2.12 | 1.62 | xxxx |
| -8                | 5.86  | 3.82  | 0.72 | 3.62  | 3.42  | 4.72  | 1.32 | 0.42 | 0.02 | 0.28 | 0.38 | 0.28 | 0.12 | 0.22 | 1.12 | 0.62 | xxxx |
| -9                | 4.86  | 2.82  | -    | 2.62  | 2.42  | 3.72  | 0.32 | -    | 0.58 | 0.98 | 1.28 | 1.38 | 1.28 | 0.88 | 0.78 | 0.12 | 0.38 |
| -10               | 3.86  | 1.82  | -    | 1.62  | 1.42  | 2.72  | 0.68 | -    | 1.58 | 1.98 | 2.28 | 2.38 | 2.28 | 1.88 | 1.78 | 0.88 | 1.38 |
| -11               | 2.86  | 0.82  | -    | 2.28  | 0.62  | 0.42  | 1.72 | -    | 1.68 | -    | 2.58 | 2.98 | 3.28 | 3.38 | 3.28 | 2.88 | 2.78 |
| -12               | 1.86  | 0.18  | -    | 3.28  | 0.38  | 0.58  | 0.72 | -    | 2.68 | -    | 3.58 | 3.98 | 4.28 | 4.38 | 4.28 | 3.88 | 3.78 |
| -13               | 0.86  | -     | -    | -     | -     | -     | -    | -    | -    | -    | -    | -    | -    | -    | -    | -    | xxxx |
| -14               | -     | -     | -    | -     | -     | -     | -    | -    | -    | -    | -    | -    | -    | -    | -    | -    | xxxx |

Proyecto : Estudio al ruido ascendente por impacto

Autor: Gregorio Chacón Leiva

Tutor : Pedro Flores Domínguez-Rodiño

|     |       |       |       |       |       |       |       |   |       |       |       |       |       |       |       |       |       |      |      |
|-----|-------|-------|-------|-------|-------|-------|-------|---|-------|-------|-------|-------|-------|-------|-------|-------|-------|------|------|
|     | 0.14  | 2.18  | 5.28  | 2.38  | 2.58  | 1.28  | 4.68  |   | 5.98  | 6.28  | 6.38  | 6.28  | 5.88  | 5.78  | 4.88  | 5.38  |       | 16.9 |      |
| -15 | -     | -     | -     | -     | -     | -     | -     | - | 6.58  | 6.98  | 7.28  | 7.38  | -     | -     | -     | -     | xxxx  | 17.9 |      |
| -16 | 1.14  | 3.18  | 6.28  | 3.38  | 3.58  | 2.28  | 5.68  | - | 7.58  | 7.98  | 8.28  | 8.38  | 8.28  | 7.88  | 7.78  | 6.88  | 7.38  | xxxx | 18.9 |
| -17 | -     | -     | -     | -     | -     | -     | -     | - | -     | -     | -     | -     | -     | -     | -     | -     |       |      |      |
| -17 | 2.14  | 4.18  | 7.28  | 4.38  | 4.58  | 3.28  | 6.68  | - | 8.58  | 8.98  | 9.28  | 9.38  | 9.28  | 8.88  | 8.78  | 7.88  | 8.38  | xxxx | 19.9 |
| -18 | -     | -     | -     | -     | -     | -     | -     | - | -     | -     | -     | -     | -     | -     | -     | -     |       |      |      |
| -18 | 3.14  | 5.18  | 8.28  | 5.38  | 5.58  | 4.28  | 7.68  | - | 9.58  | 9.98  | 10.28 | 10.38 | 10.28 | 9.88  | 9.78  | 8.88  | 9.38  | xxxx | 20.9 |
| -19 | -     | -     | -     | -     | -     | -     | -     | - | -     | -     | -     | -     | -     | -     | -     | -     |       |      |      |
| -19 | 5.14  | 7.18  | 10.28 | 7.38  | 7.58  | 6.28  | 9.68  | - | 10.58 | 10.98 | 11.28 | 11.38 | 11.28 | 10.88 | 10.78 | 9.88  | 10.38 | xxxx | 21.9 |
| -20 | -     | -     | -     | -     | -     | -     | -     | - | -     | -     | -     | -     | -     | -     | -     | -     |       |      |      |
| -20 | 6.14  | 8.18  | 11.28 | 8.38  | 8.58  | 7.28  | 10.68 | - | 11.58 | 11.98 | 12.28 | 12.38 | 12.28 | 11.88 | 11.78 | 10.88 | 11.38 | xxxx | 22.9 |
| -21 | -     | -     | -     | -     | -     | -     | -     | - | -     | -     | -     | -     | -     | -     | -     | -     |       |      |      |
| -21 | 7.14  | 9.18  | 12.28 | 9.38  | 9.58  | 8.28  | 11.68 | - | 12.58 | 12.98 | 13.28 | 13.38 | 13.28 | 12.88 | 12.78 | 11.88 | 12.38 | xxxx | 23.9 |
| -22 | -     | -     | -     | -     | -     | -     | -     | - | -     | -     | -     | -     | -     | -     | -     | -     |       |      |      |
| -22 | 8.14  | 10.18 | 13.28 | 10.38 | 10.58 | 9.28  | 12.68 | - | 13.58 | 13.98 | 14.28 | 14.38 | 14.28 | 13.88 | 13.78 | 12.88 | 13.38 | xxxx | 24.9 |
| -23 | -     | -     | -     | -     | -     | -     | -     | - | -     | -     | -     | -     | -     | -     | -     | -     |       |      |      |
| -23 | 9.14  | 11.18 | 14.28 | 11.38 | 11.58 | 10.28 | 13.68 | - | 14.58 | 14.98 | 15.28 | 15.38 | 15.28 | 14.88 | 14.78 | 13.88 | 14.38 | xxxx | 25.9 |
| -24 | -     | -     | -     | -     | -     | -     | -     | - | -     | -     | -     | -     | -     | -     | -     | -     |       |      |      |
| -24 | 10.14 | 12.18 | 15.28 | 12.38 | 12.58 | 11.28 | 14.68 | - | 15.58 | 15.98 | 16.28 | 16.38 | 16.28 | 15.88 | 15.78 | 14.88 | 15.38 | xxxx | 26.9 |
| -25 | -     | -     | -     | -     | -     | -     | -     | - | -     | -     | -     | -     | -     | -     | -     | -     |       |      |      |
| -25 | 11.14 | 13.18 | 16.28 | 13.38 | 13.58 | 12.28 | 15.68 | - | 16.58 | 16.98 | 17.28 | 17.38 | 17.28 | 16.88 | 16.78 | 15.88 | 16.38 | xxxx | 27.9 |
| -26 | -     | -     | -     | -     | -     | -     | -     | - | -     | -     | -     | -     | -     | -     | -     | -     |       |      |      |
| -26 | 12.14 | 14.18 | 17.28 | 14.38 | 14.58 | 13.28 | 16.68 | - | 17.58 | 17.98 | 18.28 | 18.38 | 18.28 | 17.88 | 17.78 | 16.88 | 17.38 | xxxx | 28.9 |
| -27 | -     | -     | -     | -     | -     | -     | -     | - | -     | -     | -     | -     | -     | -     | -     | -     |       |      |      |
| -27 | 13.14 | 15.18 | 18.28 | 15.38 | 15.58 | 14.28 | 17.68 | - | 18.58 | 18.98 | 19.28 | 19.38 | 19.28 | 18.88 | 18.78 | 17.88 | 18.38 | xxxx | 29.9 |

L'nw=47  
dB

Tabla 66.L'nw de Bravo\_2\_5\_n

Proyecto : Estudio al ruido ascendente por impacto

Autor: Gregorio Chacón Leiva

Tutor : Pedro Flores Domínguez-Rodiño

| Hz                | 100   | 125  | 160   | 200   | 250   | 315   | 400   | 500   | 630   | 800   | 1000  | 1250  | 1600  | 2000  | 2500  | 3125  | 4000                  |
|-------------------|-------|------|-------|-------|-------|-------|-------|-------|-------|-------|-------|-------|-------|-------|-------|-------|-----------------------|
| C.R Banda Inicial | 62    | 62   | 62    | 62    | 62    | 62    | 61    | 60    | 59    | 58    | 57    | 54    | 51    | 48    | 45    | 42    | xxxx                  |
| C.R.Banda Final   | 50    | 50   | 50    | 50    | 50    | 50    | 49    | 48    | 47    | 46    | 45    | 42    | 39    | 36    | 33    | 30    |                       |
| Bravo_2_6_n       | 53.1  | 54.9 | 58.2  | 50.7  | 49.2  | 48.0  | 50.7  | 50.6  | 50.4  | 50.3  | 48.2  | 44.8  | 42.2  | 39.4  | 35.0  | 32.0  | 29.4                  |
| 0                 | 8.86  | 7.12 | 3.82  | 11.32 | 12.82 | 14.02 | 10.32 | 9.42  | 8.62  | 7.72  | 8.82  | 9.22  | 8.82  | 8.62  | 10.02 | 10.02 | xxxx sin desviaciones |
| -1                | 7.86  | 6.12 | 2.82  | 10.32 | 11.82 | 13.02 | 9.32  | 8.42  | 7.62  | 6.72  | 7.82  | 8.22  | 7.82  | 7.62  | 9.02  | 9.02  | xxxx sin desviaciones |
| -2                | 6.86  | 5.12 | 1.82  | 9.32  | 10.82 | 12.02 | 8.32  | 7.42  | 6.62  | 5.72  | 6.82  | 7.22  | 6.82  | 6.62  | 8.02  | 8.02  | xxxx sin desviaciones |
| -3                | 5.86  | 4.12 | 0.82  | 8.32  | 9.82  | 11.02 | 7.32  | 6.42  | 5.62  | 4.72  | 5.82  | 6.22  | 5.82  | 5.62  | 7.02  | 7.02  | xxxx sin desviaciones |
| -4                | 4.86  | 3.12 | -0.18 | 7.32  | 8.82  | 10.02 | 6.32  | 5.42  | 4.62  | 3.72  | 4.82  | 5.22  | 4.82  | 4.62  | 6.02  | 6.02  | xxxx 0.2              |
| -5                | 3.86  | 2.12 | -1.18 | 6.32  | 7.82  | 9.02  | 5.32  | 4.42  | 3.62  | 2.72  | 3.82  | 4.22  | 3.82  | 3.62  | 5.02  | 5.02  | xxxx 1.2              |
| -6                | 2.86  | 1.12 | -2.18 | 5.32  | 6.82  | 8.02  | 4.32  | 3.42  | 2.62  | 1.72  | 2.82  | 3.22  | 2.82  | 2.62  | 4.02  | 4.02  | xxxx 2.2              |
| -7                | 1.86  | 0.12 | -3.18 | 4.32  | 5.82  | 7.02  | 3.32  | 2.42  | 1.62  | 0.72  | 1.82  | 2.22  | 1.82  | 1.62  | 3.02  | 3.02  | xxxx 3.2              |
| -8                | 0.86  | 0.88 | -4.18 | 3.32  | 4.82  | 6.02  | 2.32  | 1.42  | 0.62  | -0.28 | 0.82  | 1.22  | 0.82  | 0.62  | 2.02  | 2.02  | xxxx 6.9              |
| -9                | -0.14 | 1.88 | -5.18 | 2.32  | 3.82  | 5.02  | 1.32  | 0.42  | -0.38 | -1.28 | 0.18  | 0.22  | -0.18 | -0.38 | 1.02  | 1.02  | xxxx 10.6             |
| -10               | -1.14 | 2.88 | -6.18 | 1.32  | 2.82  | 4.02  | 0.32  | -0.58 | -1.38 | -2.28 | -1.18 | -0.78 | -1.18 | -1.38 | 0.02  | 0.02  | xxxx 12.3             |
| -11               | 2.14  | 3.88 | -7.18 | 0.32  | 1.82  | 3.02  | -0.68 | -1.58 | -2.38 | -3.28 | -2.18 | -1.78 | -2.18 | -2.38 | -0.98 | -0.98 | xxxx 13.9             |
| -12               | 3.14  | 4.88 | -8.18 | 0.68  | 0.82  | 2.02  | -1.68 | -2.58 | -3.38 | -4.28 | -3.18 | -2.78 | -3.18 | -3.38 | -1.98 | -1.98 | xxxx 15.1             |
| -13               | 4.14  | 5.88 | -9.18 | 1.68  | 0.18  | 1.02  | -2.68 | -3.58 | -4.38 | -5.28 | -4.18 | -3.78 | -4.18 | -4.38 | -2.98 | -2.98 | xxxx 16.2             |

Proyecto : Estudio al ruido ascendente por impacto

Autor: Gregorio Chacón Leiva

Tutor : Pedro Flores Domínguez-Rodiño

|     |   |       |       |   |       |       |   |       |       |   |       |   |       |   |       |   |       |   |       |   |       |   |       |   |       |   |       |   |       |      |      |
|-----|---|-------|-------|---|-------|-------|---|-------|-------|---|-------|---|-------|---|-------|---|-------|---|-------|---|-------|---|-------|---|-------|---|-------|---|-------|------|------|
| -14 | - | 5.14  | 6.88  | - | 10.18 | 2.68  | - | 1.18  | 0.02  | - | 3.68  | - | 4.58  | - | 5.38  | - | 6.28  | - | 5.18  | - | 4.78  | - | 5.18  | - | 5.38  | - | 3.98  | - | 3.98  | xxxx | 17.2 |
| -15 | - | 6.14  | 7.88  | - | 11.18 | 3.68  | - | 2.18  | 0.98  | - | 4.68  | - | 5.58  | - | 6.38  | - | 7.28  | - | 6.18  | - | 5.78  | - | 6.18  | - | 6.38  | - | 4.98  | - | 4.98  | xxxx | 18.3 |
| -16 | - | 7.14  | 8.88  | - | 12.18 | 4.68  | - | 3.18  | 1.98  | - | 5.68  | - | 6.58  | - | 7.38  | - | 8.28  | - | 7.18  | - | 6.78  | - | 7.18  | - | 7.38  | - | 5.98  | - | 5.98  | xxxx | 19.3 |
| -17 | - | 8.14  | 9.88  | - | 13.18 | 5.68  | - | 4.18  | 2.98  | - | 6.68  | - | 7.58  | - | 8.38  | - | 9.28  | - | 8.18  | - | 7.78  | - | 8.18  | - | 8.38  | - | 6.98  | - | 6.98  | xxxx | 20.3 |
| -18 | - | 9.14  | 10.88 | - | 14.18 | 6.68  | - | 5.18  | 3.98  | - | 7.68  | - | 8.58  | - | 9.38  | - | 10.28 | - | 9.18  | - | 8.78  | - | 9.18  | - | 9.38  | - | 7.98  | - | 7.98  | xxxx | 21.3 |
| -19 | - | 10.14 | 11.88 | - | 15.18 | 7.68  | - | 6.18  | 4.98  | - | 8.68  | - | 9.58  | - | 10.38 | - | 11.28 | - | 10.18 | - | 9.78  | - | 10.18 | - | 10.38 | - | 8.98  | - | 8.98  | xxxx | 22.3 |
| -20 | - | 11.14 | 12.88 | - | 16.18 | 8.68  | - | 7.18  | 5.98  | - | 9.68  | - | 10.58 | - | 11.38 | - | 12.28 | - | 11.18 | - | 10.78 | - | 11.18 | - | 11.38 | - | 9.98  | - | 9.98  | xxxx | 23.3 |
| -21 | - | 12.14 | 13.88 | - | 17.18 | 9.68  | - | 8.18  | 6.98  | - | 10.68 | - | 11.58 | - | 12.38 | - | 13.28 | - | 12.18 | - | 11.78 | - | 12.18 | - | 12.38 | - | 10.98 | - | 10.98 | xxxx | 24.3 |
| -22 | - | 13.14 | 14.88 | - | 18.18 | 10.68 | - | 9.18  | 7.98  | - | 11.68 | - | 12.58 | - | 13.38 | - | 14.28 | - | 13.18 | - | 12.78 | - | 13.18 | - | 13.38 | - | 11.98 | - | 11.98 | xxxx | 25.3 |
| -23 | - | 14.14 | 15.88 | - | 19.18 | 11.68 | - | 10.18 | 8.98  | - | 12.68 | - | 13.58 | - | 14.38 | - | 15.28 | - | 14.18 | - | 13.78 | - | 14.18 | - | 14.38 | - | 12.98 | - | 12.98 | xxxx | 26.3 |
| -24 | - | 15.14 | 16.88 | - | 20.18 | 12.68 | - | 11.18 | 9.98  | - | 13.68 | - | 14.58 | - | 15.38 | - | 16.28 | - | 15.18 | - | 14.78 | - | 15.18 | - | 15.38 | - | 13.98 | - | 13.98 | xxxx | 27.3 |
| -25 | - | 16.14 | 17.88 | - | 21.18 | 13.68 | - | 12.18 | 10.98 | - | 14.68 | - | 15.58 | - | 16.38 | - | 17.28 | - | 16.18 | - | 15.78 | - | 16.18 | - | 16.38 | - | 14.98 | - | 14.98 | xxxx | 28.3 |
| -26 | - | 17.14 | 18.88 | - | 22.18 | 14.68 | - | 13.18 | 11.98 | - | 15.68 | - | 16.58 | - | 17.38 | - | 18.28 | - | 17.18 | - | 16.78 | - | 17.18 | - | 17.38 | - | 15.98 | - | 15.98 | xxxx | 29.3 |
| -27 | - | 18.14 | 19.88 | - | 23.18 | 15.68 | - | 14.18 | 12.98 | - | 16.68 | - | 17.58 | - | 18.38 | - | 19.28 | - | 18.18 | - | 17.78 | - | 18.18 | - | 18.38 | - | 16.98 | - | 16.98 | xxxx | 30.3 |
| -28 | - | 19.14 | 20.88 | - | 24.18 | 16.68 | - | 15.18 | 13.98 | - | 17.68 | - | 18.58 | - | 19.38 | - | 20.28 | - | 19.18 | - | 18.78 | - | 19.18 | - | 19.38 | - | 17.98 | - | 17.98 | xxxx | 31.3 |

L'nw=48  
dB

Tabla 67.L'nw de Bravo\_2\_6\_n

Proyecto : Estudio al ruido ascendente por impacto

Autor: Gregorio Chacón Leiva

Tutor : Pedro Flores Domínguez-Rodiño

| Hz                | 100  | 125  | 160  | 200   | 250   | 315   | 400  | 500  | 630  | 800  | 1000 | 1250 | 1600 | 2000 | 2500 | 3125 | 4000                  |
|-------------------|------|------|------|-------|-------|-------|------|------|------|------|------|------|------|------|------|------|-----------------------|
| C.R Banda Inicial | 62   | 62   | 62   | 62    | 62    | 62    | 61   | 60   | 59   | 58   | 57   | 54   | 51   | 48   | 45   | 42   | xxxx                  |
| C.R.Banda Final   | 48   | 48   | 48   | 48    | 48    | 48    | 47   | 46   | 45   | 44   | 43   | 40   | 37   | 34   | 31   | 28   |                       |
| Bravo_2_7_n       | 52.5 | 54.3 | 55.4 | 51.2  | 51.1  | 49.5  | 51.5 | 51.1 | 50.7 | 51.0 | 49.7 | 46.3 | 43.1 | 40.1 | 36.0 | 33.3 | 30.2                  |
| 0                 | 9.46 | 7.72 | 6.62 | 10.82 | 10.92 | 12.52 | 9.52 | 8.92 | 8.32 | 7.02 | 7.32 | 7.72 | 7.92 | 7.92 | 9.02 | 8.72 | xxxx sin desviaciones |
| -1                | 8.46 | 6.72 | 5.62 | 9.82  | 9.92  | 11.52 | 8.52 | 7.92 | 7.32 | 6.02 | 6.32 | 6.72 | 6.92 | 6.92 | 8.02 | 7.72 | xxxx sin desviaciones |
| -2                | 7.46 | 5.72 | 4.62 | 8.82  | 8.92  | 10.52 | 7.52 | 6.92 | 6.32 | 5.02 | 5.32 | 5.72 | 5.92 | 5.92 | 7.02 | 6.72 | xxxx sin desviaciones |
| -3                | 6.46 | 4.72 | 3.62 | 7.82  | 7.92  | 9.52  | 6.52 | 5.92 | 5.32 | 4.02 | 4.32 | 4.72 | 4.92 | 4.92 | 6.02 | 5.72 | xxxx sin desviaciones |
| -4                | 5.46 | 3.72 | 2.62 | 6.82  | 6.92  | 8.52  | 5.52 | 4.92 | 4.32 | 3.02 | 3.32 | 3.72 | 3.92 | 3.92 | 5.02 | 4.72 | xxxx sin desviaciones |
| -5                | 4.46 | 2.72 | 1.62 | 5.82  | 5.92  | 7.52  | 4.52 | 3.92 | 3.32 | 2.02 | 2.32 | 2.72 | 2.92 | 2.92 | 4.02 | 3.72 | xxxx sin desviaciones |
| -6                | 3.46 | 1.72 | 0.62 | 4.82  | 4.92  | 6.52  | 3.52 | 2.92 | 2.32 | 1.02 | 1.32 | 1.72 | 1.92 | 1.92 | 3.02 | 2.72 | xxxx sin desviaciones |
| -7                | 2.46 | 0.72 | 0.38 | 3.82  | 3.92  | 5.52  | 2.52 | 1.92 | 1.32 | 0.02 | 0.32 | 0.72 | 0.92 | 0.92 | 2.02 | 1.72 | xxxx 0.4              |
| -8                | 1.46 | 0.28 | 1.38 | 2.82  | 2.92  | 4.52  | 1.52 | 0.92 | 0.32 | 0.98 | 0.68 | 0.28 | 0.08 | 0.08 | 1.02 | 0.72 | xxxx 9.0              |
| -9                | 0.46 | 1.28 | 2.38 | 1.82  | 1.92  | 3.52  | 0.52 | -    | 0.08 | 0.68 | 1.98 | 1.68 | 1.28 | 1.08 | 1.08 | 0.02 | 0.28 xxxx 10.9        |
| -10               | 0.54 | 2.28 | 3.38 | 0.82  | 0.92  | 2.52  | 0.48 | -    | 1.08 | 1.68 | 2.98 | 2.68 | 2.28 | 2.08 | 2.08 | 0.98 | 1.28 xxxx 12.8        |
| -11               | 1.54 | 3.28 | 4.38 | 0.18  | 0.08  | 1.52  | 1.48 | -    | 2.08 | 2.68 | 3.98 | 3.68 | 3.28 | 3.08 | 3.08 | 1.98 | 2.28 xxxx 14.1        |
| -12               | 2.54 | 4.28 | 5.38 | 1.18  | 1.08  | 0.52  | 2.48 | -    | 3.08 | 3.68 | 4.98 | 4.68 | 4.28 | 4.08 | 4.08 | 2.98 | 3.28 xxxx 15.2        |
| -13               | 3.54 | 5.28 | 6.38 | 2.18  | 2.08  | 0.48  | 3.48 | -    | 4.08 | 4.68 | 5.98 | 5.68 | 5.28 | 5.08 | 5.08 | 3.98 | 4.28 xxxx 16.4        |

Proyecto : Estudio al ruido ascendente por impacto

Autor: Gregorio Chacón Leiva

Tutor : Pedro Flores Domínguez-Rodiño

|     |         |         |         |         |         |         |         |         |         |         |         |         |         |         |         |         |      |      |
|-----|---------|---------|---------|---------|---------|---------|---------|---------|---------|---------|---------|---------|---------|---------|---------|---------|------|------|
| -14 | - 4.54  | - 6.28  | - 7.38  | - 3.18  | - 3.08  | - 1.48  | - 4.48  | - 5.08  | - 5.68  | - 6.98  | - 6.68  | - 6.28  | - 6.08  | - 6.08  | - 4.98  | - 5.28  | xxxx | 17.4 |
| -15 | - 5.54  | - 7.28  | - 8.38  | - 4.18  | - 4.08  | - 2.48  | - 5.48  | - 6.08  | - 6.68  | - 7.98  | - 7.68  | - 7.28  | - 7.08  | - 7.08  | - 5.98  | - 6.28  | xxxx | 18.5 |
| -16 | - 6.54  | - 8.28  | - 9.38  | - 5.18  | - 5.08  | - 3.48  | - 6.48  | - 7.08  | - 7.68  | - 8.98  | - 8.68  | - 8.28  | - 8.08  | - 8.08  | - 6.98  | - 7.28  | xxxx | 19.5 |
| -17 | - 7.54  | - 9.28  | - 10.38 | - 6.18  | - 6.08  | - 4.48  | - 7.48  | - 8.08  | - 8.68  | - 9.98  | - 9.68  | - 9.28  | - 9.08  | - 9.08  | - 7.98  | - 8.28  | xxxx | 20.5 |
| -18 | - 8.54  | - 10.28 | - 11.38 | - 7.18  | - 7.08  | - 5.48  | - 8.48  | - 9.08  | - 9.68  | - 10.98 | - 10.68 | - 10.28 | - 10.08 | - 10.08 | - 8.98  | - 9.28  | xxxx | 21.5 |
| -19 | - 9.54  | - 11.28 | - 12.38 | - 8.18  | - 8.08  | - 6.48  | - 9.48  | - 10.08 | - 10.68 | - 11.98 | - 11.68 | - 11.28 | - 11.08 | - 11.08 | - 9.98  | - 10.28 | xxxx | 22.5 |
| -20 | - 10.54 | - 12.28 | - 13.38 | - 9.18  | - 9.08  | - 7.48  | - 10.48 | - 11.08 | - 11.68 | - 12.98 | - 12.68 | - 12.28 | - 12.08 | - 12.08 | - 10.98 | - 11.28 | xxxx | 23.5 |
| -21 | - 11.54 | - 13.28 | - 14.38 | - 10.18 | - 10.08 | - 8.48  | - 11.48 | - 12.08 | - 12.68 | - 13.98 | - 13.68 | - 13.28 | - 13.08 | - 13.08 | - 11.98 | - 12.28 | xxxx | 24.5 |
| -22 | - 12.54 | - 14.28 | - 15.38 | - 11.18 | - 11.08 | - 9.48  | - 12.48 | - 13.08 | - 13.68 | - 14.98 | - 14.68 | - 14.28 | - 14.08 | - 14.08 | - 12.98 | - 13.28 | xxxx | 25.5 |
| -23 | - 13.54 | - 15.28 | - 16.38 | - 12.18 | - 12.08 | - 10.48 | - 13.48 | - 14.08 | - 14.68 | - 15.98 | - 15.68 | - 15.28 | - 15.08 | - 15.08 | - 13.98 | - 14.28 | xxxx | 26.5 |
| -24 | - 14.54 | - 16.28 | - 17.38 | - 13.18 | - 13.08 | - 11.48 | - 14.48 | - 15.08 | - 15.68 | - 16.98 | - 16.68 | - 16.28 | - 16.08 | - 16.08 | - 14.98 | - 15.28 | xxxx | 27.5 |
| -25 | - 15.54 | - 17.28 | - 18.38 | - 14.18 | - 14.08 | - 12.48 | - 15.48 | - 16.08 | - 16.68 | - 17.98 | - 17.68 | - 17.28 | - 17.08 | - 17.08 | - 15.98 | - 16.28 | xxxx | 28.5 |
| -26 | - 16.54 | - 18.28 | - 19.38 | - 15.18 | - 15.08 | - 13.48 | - 16.48 | - 17.08 | - 17.68 | - 18.98 | - 18.68 | - 18.28 | - 18.08 | - 18.08 | - 16.98 | - 17.28 | xxxx | 29.5 |
| -27 | - 17.54 | - 19.28 | - 20.38 | - 16.18 | - 16.08 | - 14.48 | - 17.48 | - 18.08 | - 18.68 | - 19.98 | - 19.68 | - 19.28 | - 19.08 | - 19.08 | - 17.98 | - 18.28 | xxxx | 30.5 |
| -28 | - 18.54 | - 20.28 | - 21.38 | - 17.18 | - 17.08 | - 15.48 | - 18.48 | - 19.08 | - 19.68 | - 20.98 | - 20.68 | - 20.28 | - 20.08 | - 20.08 | - 18.98 | - 19.28 | xxxx | 31.5 |

L'nw=46  
dB

Tabla 68.L'nw de Bravo\_2\_7\_n

Proyecto : Estudio al ruido ascendente por impacto

Autor: Gregorio Chacón Leiva

Tutor : Pedro Flores Domínguez-Rodiño

| Hz                | 100  | 125  | 160  | 200   | 250   | 315   | 400  | 500  | 630  | 800  | 1000 | 1250 | 1600 | 2000 | 2500 | 3125 | 4000                  |
|-------------------|------|------|------|-------|-------|-------|------|------|------|------|------|------|------|------|------|------|-----------------------|
| C.R Banda Inicial | 62   | 62   | 62   | 62    | 62    | 62    | 61   | 60   | 59   | 58   | 57   | 54   | 51   | 48   | 45   | 42   | xxxx                  |
| C.R.Banda Final   | 50   | 50   | 50   | 50    | 50    | 50    | 49   | 48   | 47   | 46   | 45   | 42   | 39   | 36   | 33   | 30   |                       |
| Bravo_2_8_n       | 53.7 | 53.9 | 53.3 | 52.0  | 49.6  | 49.7  | 51.4 | 50.2 | 50.0 | 49.2 | 48.5 | 44.9 | 42.5 | 39.5 | 35.5 | 32.2 | 29.6                  |
| 0                 | 8.32 | 8.12 | 8.72 | 10.02 | 12.42 | 12.32 | 9.62 | 9.82 | 9.02 | 8.82 | 8.52 | 9.12 | 8.52 | 8.52 | 9.52 | 9.82 | xxxx sin desviaciones |
| -1                | 7.32 | 7.12 | 7.72 | 9.02  | 11.42 | 11.32 | 8.62 | 8.82 | 8.02 | 7.82 | 7.52 | 8.12 | 7.52 | 7.52 | 8.52 | 8.82 | xxxx sin desviaciones |
| -2                | 6.32 | 6.12 | 6.72 | 8.02  | 10.42 | 10.32 | 7.62 | 7.82 | 7.02 | 6.82 | 6.52 | 7.12 | 6.52 | 6.52 | 7.52 | 7.82 | xxxx sin desviaciones |
| -3                | 5.32 | 5.12 | 5.72 | 7.02  | 9.42  | 9.32  | 6.62 | 6.82 | 6.02 | 5.82 | 5.52 | 6.12 | 5.52 | 5.52 | 6.52 | 6.82 | xxxx sin desviaciones |
| -4                | 4.32 | 4.12 | 4.72 | 6.02  | 8.42  | 8.32  | 5.62 | 5.82 | 5.02 | 4.82 | 4.52 | 5.12 | 4.52 | 4.52 | 5.52 | 5.82 | xxxx sin desviaciones |
| -5                | 3.32 | 3.12 | 3.72 | 5.02  | 7.42  | 7.32  | 4.62 | 4.82 | 4.02 | 3.82 | 3.52 | 4.12 | 3.52 | 3.52 | 4.52 | 4.82 | xxxx sin desviaciones |
| -6                | 2.32 | 2.12 | 2.72 | 4.02  | 6.42  | 6.32  | 3.62 | 3.82 | 3.02 | 2.82 | 2.52 | 3.12 | 2.52 | 2.52 | 3.52 | 3.82 | xxxx sin desviaciones |
| -7                | 1.32 | 1.12 | 1.72 | 3.02  | 5.42  | 5.32  | 2.62 | 2.82 | 2.02 | 1.82 | 1.52 | 2.12 | 1.52 | 1.52 | 2.52 | 2.82 | xxxx sin desviaciones |
| -8                | 0.32 | 0.12 | 0.72 | 2.02  | 4.42  | 4.32  | 1.62 | 1.82 | 1.02 | 0.82 | 0.52 | 1.12 | 0.52 | 0.52 | 1.52 | 1.82 | xxxx sin desviaciones |
| -9                | 0.68 | 0.88 | 0.28 | 1.02  | 3.42  | 3.32  | 0.62 | 0.82 | 0.02 | 0.18 | 0.48 | 0.12 | 0.48 | 0.48 | 0.52 | 0.82 | xxxx 9.0              |
| -10               | 1.68 | 1.88 | 1.28 | 0.02  | 2.42  | 2.32  | 0.38 | -    | 0.18 | 0.98 | 1.18 | 1.48 | 0.88 | 1.48 | 1.48 | 0.48 | 0.18                  |
| -11               | 2.68 | 2.88 | 2.28 | 0.98  | 1.42  | 1.32  | 1.38 | -    | 1.18 | 1.98 | 2.18 | 2.48 | 1.88 | 2.48 | 2.48 | 1.48 | 1.18                  |
| -12               | 3.68 | 3.88 | 3.28 | 1.98  | 0.42  | 0.32  | 2.38 | -    | 2.18 | 2.98 | 3.18 | 3.48 | 2.88 | 3.48 | 3.48 | 2.48 | 2.18                  |
| -13               | 4.68 | 4.88 | 4.28 | 2.98  | 0.58  | 0.68  | 3.38 | -    | 3.18 | 3.98 | 4.18 | 4.48 | 3.88 | 4.48 | 4.48 | 3.48 | 3.18                  |
|                   |      |      |      |       |       |       |      |      |      |      |      |      |      |      |      |      | 15.7                  |

Proyecto : Estudio al ruido ascendente por impacto

Autor: Gregorio Chacón Leiva

Tutor : Pedro Flores Domínguez-Rodiño

|     |   |       |       |       |       |       |       |       |   |       |       |       |       |   |       |       |       |       |       |      |      |      |      |      |
|-----|---|-------|-------|-------|-------|-------|-------|-------|---|-------|-------|-------|-------|---|-------|-------|-------|-------|-------|------|------|------|------|------|
| -14 | - | 5.68  | 5.88  | 5.28  | 3.98  | 1.58  | 1.68  | 4.38  | - | 4.18  | 4.98  | 5.18  | 5.48  | - | 4.88  | 5.48  | -     | 5.48  | -     | 4.48 | -    | 4.18 | xxxx | 16.7 |
| -15 | - | 6.68  | 6.88  | 6.28  | 4.98  | 2.58  | 2.68  | 5.38  | - | 5.18  | 5.98  | 6.18  | 6.48  | - | 5.88  | 6.48  | 6.48  | 6.48  | 5.48  | 5.18 | xxxx | 17.7 |      |      |
| -16 | - | 7.68  | 7.88  | 7.28  | 5.98  | 3.58  | 3.68  | 6.38  | - | 6.18  | 6.98  | 7.18  | 7.48  | - | 6.88  | 7.48  | 7.48  | 6.48  | 6.18  | xxxx | 18.7 |      |      |      |
| -17 | - | 8.68  | 8.88  | 8.28  | 6.98  | 4.58  | 4.68  | 7.38  | - | 7.18  | 7.98  | 8.18  | 8.48  | - | 7.88  | 8.48  | 8.48  | 7.48  | 7.18  | xxxx | 19.7 |      |      |      |
| -18 | - | 9.68  | 9.88  | 9.28  | 7.98  | 5.58  | 5.68  | 8.38  | - | 8.18  | 8.98  | 9.18  | 9.48  | - | 8.88  | 9.48  | 9.48  | 8.48  | 8.18  | xxxx | 20.7 |      |      |      |
| -19 | - | 10.68 | 10.88 | 10.28 | 8.98  | 6.58  | 6.68  | 9.38  | - | 9.18  | 9.98  | 10.18 | 10.48 | - | 9.88  | 10.48 | 10.48 | 9.48  | 9.18  | xxxx | 21.7 |      |      |      |
| -20 | - | 11.68 | 11.88 | 11.28 | 9.98  | 7.58  | 7.68  | 10.38 | - | 10.18 | 10.98 | 11.18 | 11.48 | - | 10.88 | 11.48 | 11.48 | 10.48 | 10.18 | xxxx | 22.7 |      |      |      |
| -21 | - | 12.68 | 12.88 | 12.28 | 10.98 | 8.58  | 8.68  | 11.38 | - | 11.18 | 11.98 | 12.18 | 12.48 | - | 11.88 | 12.48 | 12.48 | 11.48 | 11.18 | xxxx | 23.7 |      |      |      |
| -22 | - | 13.68 | 13.88 | 13.28 | 11.98 | 9.58  | 9.68  | 12.38 | - | 12.18 | 12.98 | 13.18 | 13.48 | - | 12.88 | 13.48 | 13.48 | 12.48 | 12.18 | xxxx | 24.7 |      |      |      |
| -23 | - | 14.68 | 14.88 | 14.28 | 12.98 | 10.58 | 10.68 | 13.38 | - | 13.18 | 13.98 | 14.18 | 14.48 | - | 13.88 | 14.48 | 14.48 | 13.48 | 13.18 | xxxx | 25.7 |      |      |      |
| -24 | - | 15.68 | 15.88 | 15.28 | 13.98 | 11.58 | 11.68 | 14.38 | - | 14.18 | 14.98 | 15.18 | 15.48 | - | 14.88 | 15.48 | 15.48 | 14.48 | 14.18 | xxxx | 26.7 |      |      |      |
| -25 | - | 16.68 | 16.88 | 16.28 | 14.98 | 12.58 | 12.68 | 15.38 | - | 15.18 | 15.98 | 16.18 | 16.48 | - | 15.88 | 16.48 | 16.48 | 15.48 | 15.18 | xxxx | 27.7 |      |      |      |
| -26 | - | 17.68 | 17.88 | 17.28 | 15.98 | 13.58 | 13.68 | 16.38 | - | 16.18 | 16.98 | 17.18 | 17.48 | - | 16.88 | 17.48 | 17.48 | 16.48 | 16.18 | xxxx | 28.7 |      |      |      |
| -27 | - | 18.68 | 18.88 | 18.28 | 16.98 | 14.58 | 14.68 | 17.38 | - | 17.18 | 17.98 | 18.18 | 18.48 | - | 17.88 | 18.48 | 18.48 | 17.48 | 17.18 | xxxx | 29.7 |      |      |      |
| -28 | - | 19.68 | 19.88 | 19.28 | 17.98 | 15.58 | 15.68 | 18.38 | - | 18.18 | 18.98 | 19.18 | 19.48 | - | 18.88 | 19.48 | 19.48 | 18.48 | 18.18 | xxxx | 30.7 |      |      |      |
| -29 | - | 20.68 | 20.88 | 20.28 | 18.98 | 16.58 | 16.68 | 19.38 | - | 19.18 | 19.98 | 20.18 | 20.48 | - | 19.88 | 20.48 | 20.48 | 19.48 | 19.18 | xxxx | 31.7 |      |      |      |

L'nw=48  
dB

Tabla 69.L'nw de Bravo\_2\_8\_n

Proyecto : Estudio al ruido ascendente por impacto

Autor: Gregorio Chacón Leiva

Tutor : Pedro Flores Domínguez-Rodiño

| Hz                | 100   | 125   | 160   | 200   | 250   | 315   | 400  | 500  | 630  | 800  | 1000 | 1250 | 1600 | 2000  | 2500  | 3125  | 4000                  |          |           |
|-------------------|-------|-------|-------|-------|-------|-------|------|------|------|------|------|------|------|-------|-------|-------|-----------------------|----------|-----------|
| C.R Banda Inicial | 62    | 62    | 62    | 62    | 62    | 62    | 61   | 60   | 59   | 58   | 57   | 54   | 51   | 48    | 45    | 42    | xxxx                  |          |           |
| C.R.Banda Final   | 50    | 50    | 50    | 50    | 50    | 50    | 49   | 48   | 47   | 46   | 45   | 42   | 39   | 36    | 33    | 30    |                       |          |           |
| Bravo_3_1_n       | 50.7  | 51.2  | 51.3  | 48.7  | 49.7  | 47.6  | 51.9 | 51.7 | 50.8 | 51.4 | 48.3 | 47.7 | 42.0 | 37.1  | 31.8  | 26.2  | 22.4                  |          |           |
| 0                 | 11.32 | 10.82 | 10.72 | 13.32 | 12.32 | 14.42 | 9.12 | 8.32 | 8.22 | 6.62 | 8.72 | 6.32 | 9.02 | 10.92 | 13.22 | 15.82 | xxxx sin desviaciones |          |           |
| -1                | 10.32 | 9.82  | 9.72  | 12.32 | 11.32 | 13.42 | 8.12 | 7.32 | 7.22 | 5.62 | 7.72 | 5.32 | 8.02 | 9.92  | 12.22 | 14.82 | xxxx sin desviaciones |          |           |
| -2                | 9.32  | 8.82  | 8.72  | 11.32 | 10.32 | 12.42 | 7.12 | 6.32 | 6.22 | 4.62 | 6.72 | 4.32 | 7.02 | 8.92  | 11.22 | 13.82 | xxxx sin desviaciones |          |           |
| -3                | 8.32  | 7.82  | 7.72  | 10.32 | 9.32  | 11.42 | 6.12 | 5.32 | 5.22 | 3.62 | 5.72 | 3.32 | 6.02 | 7.92  | 10.22 | 12.82 | xxxx sin desviaciones |          |           |
| -4                | 7.32  | 6.82  | 6.72  | 9.32  | 8.32  | 10.42 | 5.12 | 4.32 | 4.22 | 2.62 | 4.72 | 2.32 | 5.02 | 6.92  | 9.22  | 11.82 | xxxx sin desviaciones |          |           |
| -5                | 6.32  | 5.82  | 5.72  | 8.32  | 7.32  | 9.42  | 4.12 | 3.32 | 3.22 | 1.62 | 3.72 | 1.32 | 4.02 | 5.92  | 8.22  | 10.82 | xxxx sin desviaciones |          |           |
| -6                | 5.32  | 4.82  | 4.72  | 7.32  | 6.32  | 8.42  | 3.12 | 2.32 | 2.22 | 0.62 | 2.72 | 0.32 | 3.02 | 4.92  | 7.22  | 9.82  | xxxx sin desviaciones |          |           |
| -7                | 4.32  | 3.82  | 3.72  | 6.32  | 5.32  | 7.42  | 2.12 | 1.32 | 1.22 | 0.38 | 1.72 | 0.68 | 2.02 | 3.92  | 6.22  | 8.82  | xxxx 3.5              |          |           |
| -8                | 3.32  | 2.82  | 2.72  | 5.32  | 4.32  | 6.42  | 1.12 | 0.32 | 0.22 | 1.38 | 0.72 | 1.68 | 1.02 | 2.92  | 5.22  | 7.82  | xxxx 4.5              |          |           |
| -9                | 2.32  | 1.82  | 1.72  | 4.32  | 3.32  | 5.42  | 0.12 | -    | 0.68 | 0.78 | 2.38 | 0.28 | 2.68 | 0.02  | 1.92  | 4.22  | 6.82                  | xxxx 6.7 |           |
| -10               | 1.32  | 0.82  | 0.72  | 3.32  | 2.32  | 4.42  | -    | 0.88 | -    | 1.68 | 1.78 | 3.38 | 1.28 | 3.68  | 0.98  | 0.92  | 3.22                  | 5.82     | xxxx 10.7 |
| -11               | 0.32  | -     | 0.18  | 0.28  | 2.32  | 1.32  | 3.42 | 1.88 | -    | 2.68 | 2.78 | 4.38 | 2.28 | 4.68  | 1.98  | 0.08  | 2.22                  | 4.82     | xxxx 13.3 |
| -12               | -     | 0.68  | 1.18  | 1.28  | 1.32  | 0.32  | 2.42 | 2.88 | -    | 3.68 | 3.78 | 5.38 | 3.28 | 5.68  | 2.98  | 1.08  | 1.22                  | 3.82     | xxxx 14.0 |
| -13               | -     | 1.68  | 2.18  | 2.28  | 0.32  | 0.68  | 1.42 | 3.88 | -    | 4.68 | 4.78 | 6.38 | 4.28 | 6.68  | 3.98  | 2.08  | 0.22                  | 2.82     | xxxx 15.2 |

Proyecto : Estudio al ruido ascendente por impacto

Autor: Gregorio Chacón Leiva

Tutor : Pedro Flores Domínguez-Rodiño

|     |         |         |         |         |         |       |         |         |         |         |         |         |         |         |         |       |      |      |
|-----|---------|---------|---------|---------|---------|-------|---------|---------|---------|---------|---------|---------|---------|---------|---------|-------|------|------|
| -14 | - 2.68  | - 3.18  | - 3.28  | - 0.68  | - 1.68  | 0.42  | - 4.88  | - 5.68  | - 5.78  | - 7.38  | - 5.28  | - 7.68  | - 4.98  | - 3.08  | - 0.78  | 1.82  | xxxx | 16.2 |
| -15 | - 3.68  | - 4.18  | - 4.28  | - 1.68  | - 2.68  | 0.58  | - 5.88  | - 6.68  | - 6.78  | - 8.38  | - 6.28  | - 8.68  | - 5.98  | - 4.08  | - 1.78  | 0.82  | xxxx | 17.2 |
| -16 | - 4.68  | - 5.18  | - 5.28  | - 2.68  | - 3.68  | 1.58  | - 6.88  | - 7.68  | - 7.78  | - 9.38  | - 7.28  | - 9.68  | - 6.98  | - 5.08  | - 2.78  | 0.18  | xxxx | 18.2 |
| -17 | - 5.68  | - 6.18  | - 6.28  | - 3.68  | - 4.68  | 2.58  | - 7.88  | - 8.68  | - 8.78  | - 10.38 | - 8.28  | - 10.68 | - 7.98  | - 6.08  | - 3.78  | 1.18  | xxxx | 19.2 |
| -18 | - 6.68  | - 7.18  | - 7.28  | - 4.68  | - 5.68  | 3.58  | - 8.88  | - 9.68  | - 9.78  | - 11.38 | - 9.28  | - 11.68 | - 8.98  | - 7.08  | - 4.78  | 2.18  | xxxx | 20.2 |
| -19 | - 7.68  | - 8.18  | - 8.28  | - 5.68  | - 6.68  | 4.58  | - 9.88  | - 10.68 | - 10.78 | - 12.38 | - 10.28 | - 12.68 | - 9.98  | - 8.08  | - 5.78  | 3.18  | xxxx | 21.2 |
| -20 | - 8.68  | - 9.18  | - 9.28  | - 6.68  | - 7.68  | 5.58  | - 10.88 | - 11.68 | - 11.78 | - 13.38 | - 11.28 | - 13.68 | - 10.98 | - 9.08  | - 6.78  | 4.18  | xxxx | 22.2 |
| -21 | - 9.68  | - 10.18 | - 10.28 | - 7.68  | - 8.68  | 6.58  | - 11.88 | - 12.68 | - 12.78 | - 14.38 | - 12.28 | - 14.68 | - 11.98 | - 10.08 | - 7.78  | 5.18  | xxxx | 23.2 |
| -22 | - 10.68 | - 11.18 | - 11.28 | - 8.68  | - 9.68  | 7.58  | - 12.88 | - 13.68 | - 13.78 | - 15.38 | - 13.28 | - 15.68 | - 12.98 | - 11.08 | - 8.78  | 6.18  | xxxx | 24.2 |
| -23 | - 11.68 | - 12.18 | - 12.28 | - 9.68  | - 10.68 | 8.58  | - 13.88 | - 14.68 | - 14.78 | - 16.38 | - 14.28 | - 16.68 | - 13.98 | - 12.08 | - 9.78  | 7.18  | xxxx | 25.2 |
| -24 | - 12.68 | - 13.18 | - 13.28 | - 10.68 | - 11.68 | 9.58  | - 14.88 | - 15.68 | - 15.78 | - 17.38 | - 15.28 | - 17.68 | - 14.98 | - 13.08 | - 10.78 | 8.18  | xxxx | 26.2 |
| -25 | - 13.68 | - 14.18 | - 14.28 | - 11.68 | - 12.68 | 10.58 | - 15.88 | - 16.68 | - 16.78 | - 18.38 | - 16.28 | - 18.68 | - 15.98 | - 14.08 | - 11.78 | 9.18  | xxxx | 27.2 |
| -26 | - 14.68 | - 15.18 | - 15.28 | - 12.68 | - 13.68 | 11.58 | - 16.88 | - 17.68 | - 17.78 | - 19.38 | - 17.28 | - 19.68 | - 16.98 | - 15.08 | - 12.78 | 10.18 | xxxx | 28.2 |
| -27 | - 15.68 | - 16.18 | - 16.28 | - 13.68 | - 14.68 | 12.58 | - 17.88 | - 18.68 | - 18.78 | - 20.38 | - 18.28 | - 20.68 | - 17.98 | - 16.08 | - 13.78 | 11.18 | xxxx | 29.2 |
| -28 | - 16.68 | - 17.18 | - 17.28 | - 14.68 | - 15.68 | 13.58 | - 18.88 | - 19.68 | - 19.78 | - 21.38 | - 19.28 | - 21.68 | - 18.98 | - 17.08 | - 14.78 | 12.18 | xxxx | 30.2 |
| -29 | - 17.68 | - 18.18 | - 18.28 | - 15.68 | - 16.68 | 14.58 | - 19.88 | - 20.68 | - 20.78 | - 22.38 | - 20.28 | - 22.68 | - 19.98 | - 18.08 | - 15.78 | 13.18 | xxxx | 31.2 |

L'nw=48  
dB

Tabla 70. L'nw de Bravo 3\_1\_n

Proyecto : Estudio al ruido ascendente por impacto

Autor: Gregorio Chacón Leiva

Tutor : Pedro Flores Domínguez-Rodiño

| Hz                | 100  | 125  | 160   | 200   | 250   | 315   | 400  | 500  | 630  | 800  | 1000 | 1250 | 1600 | 2000 | 2500 | 3125 | 4000 |
|-------------------|------|------|-------|-------|-------|-------|------|------|------|------|------|------|------|------|------|------|------|
| C.R Banda Inicial | 62   | 62   | 62    | 62    | 62    | 62    | 61   | 60   | 59   | 58   | 57   | 54   | 51   | 48   | 45   | 42   | xxxx |
| C.R.Banda Final   | 50   | 50   | 50    | 50    | 50    | 50    | 49   | 48   | 47   | 46   | 45   | 42   | 39   | 36   | 33   | 30   |      |
| Bravo _3 _2 _n    | 55.6 | 54.1 | 52.0  | 50.4  | 49.7  | 51.7  | 52.7 | 51.7 | 50.3 | 51.4 | 49.2 | 47.4 | 43.5 | 39.8 | 37.9 | 33.5 | 31.1 |
| 0                 | 6.42 | 7.92 | 10.02 | 11.62 | 12.32 | 10.32 | 8.32 | 8.32 | 8.72 | 6.62 | 7.82 | 6.62 | 7.52 | 8.22 | 7.12 | 8.52 | xxxx |
| -1                | 5.42 | 6.92 | 9.02  | 10.62 | 11.32 | 9.32  | 7.32 | 7.32 | 7.72 | 5.62 | 6.82 | 5.62 | 6.52 | 7.22 | 6.12 | 7.52 | xxxx |
| -2                | 4.42 | 5.92 | 8.02  | 9.62  | 10.32 | 8.32  | 6.32 | 6.32 | 6.72 | 4.62 | 5.82 | 4.62 | 5.52 | 6.22 | 5.12 | 6.52 | xxxx |
| -3                | 3.42 | 4.92 | 7.02  | 8.62  | 9.32  | 7.32  | 5.32 | 5.32 | 5.72 | 3.62 | 4.82 | 3.62 | 4.52 | 5.22 | 4.12 | 5.52 | xxxx |
| -4                | 2.42 | 3.92 | 6.02  | 7.62  | 8.32  | 6.32  | 4.32 | 4.32 | 4.72 | 2.62 | 3.82 | 2.62 | 3.52 | 4.22 | 3.12 | 4.52 | xxxx |
| -5                | 1.42 | 2.92 | 5.02  | 6.62  | 7.32  | 5.32  | 3.32 | 3.32 | 3.72 | 1.62 | 2.82 | 1.62 | 2.52 | 3.22 | 2.12 | 3.52 | xxxx |
| -6                | 0.42 | 1.92 | 4.02  | 5.62  | 6.32  | 4.32  | 2.32 | 2.32 | 2.72 | 0.62 | 1.82 | 0.62 | 1.52 | 2.22 | 1.12 | 2.52 | xxxx |
| -7                | 0.58 | 0.92 | 3.02  | 4.62  | 5.32  | 3.32  | 1.32 | 1.32 | 1.72 | 0.38 | 0.82 | 0.38 | 0.52 | 1.22 | 0.12 | 1.52 | xxxx |
| -8                | 1.58 | 0.08 | 2.02  | 3.62  | 4.32  | 2.32  | 0.32 | 0.32 | 0.72 | 1.38 | 0.18 | 1.38 | 0.48 | 0.22 | 0.88 | 0.52 | xxxx |
| -9                | 2.58 | 1.08 | 1.02  | 2.62  | 3.32  | 1.32  | 0.68 | -    | 0.68 | 0.28 | 2.38 | 1.18 | 2.38 | 1.48 | 0.78 | 1.88 | 0.48 |
| -10               | 3.58 | 2.08 | 0.02  | 1.62  | 2.32  | 0.32  | 1.68 | -    | 1.68 | 1.28 | 3.38 | 2.18 | 3.38 | 2.48 | 1.78 | 2.88 | 1.48 |
| -11               | 4.58 | 3.08 | 0.98  | 0.62  | 1.32  | 0.68  | 2.68 | -    | 2.68 | 2.28 | 4.38 | 3.18 | 4.38 | 3.48 | 2.78 | 3.88 | 2.48 |
| -12               | 5.58 | 4.08 | 1.98  | 0.38  | 0.32  | 1.68  | 3.68 | -    | 3.68 | 3.28 | 5.38 | 4.18 | 5.38 | 4.48 | 3.78 | 4.88 | 3.48 |
| -13               | 6.58 | 5.08 | 2.98  | 1.38  | 0.68  | 2.68  | 4.68 | -    | 4.68 | 4.28 | 6.38 | 5.18 | 6.38 | 5.48 | 4.78 | 5.88 | 4.48 |
| -14               | -    | -    | -     | -     | -     | -     | -    | -    | 5.68 | -    | -    | -    | -    | -    | -    | -    | xxxx |

Proyecto : Estudio al ruido ascendente por impacto

Autor: Gregorio Chacón Leiva

Tutor : Pedro Flores Domínguez-Rodiño

|     |       |       |       |       |      |       |       |   |       |       |       |       |       |       |       |       |       |      |      |
|-----|-------|-------|-------|-------|------|-------|-------|---|-------|-------|-------|-------|-------|-------|-------|-------|-------|------|------|
|     | 7.58  | 6.08  | 3.98  | 2.38  | 1.68 | 3.68  | 5.68  |   | 5.28  | 7.38  | 6.18  | 7.38  | 6.48  | 5.78  | 6.88  | 5.48  |       | 17.8 |      |
| -15 | -     | -     | -     | -     | -    | -     | -     | - | 6.68  | 6.28  | 8.38  | 7.18  | 8.38  | 7.48  | 6.78  | 7.88  | 6.48  | xxxx | 18.8 |
| -16 | 8.58  | 7.08  | 4.98  | 3.38  | 2.68 | 4.68  | 6.68  | - | 7.68  | 7.28  | 9.38  | 8.18  | 9.38  | 8.48  | 7.78  | 8.88  | 7.48  | xxxx | 19.8 |
| -17 | -     | -     | -     | -     | -    | -     | -     | - | 8.68  | 8.28  | 10.38 | 9.18  | 10.38 | 9.48  | 8.78  | 9.88  | 8.48  | xxxx | 20.8 |
| -18 | 9.58  | 8.08  | 5.98  | 4.38  | 3.68 | 5.68  | 7.68  | - | 9.68  | 9.28  | 11.38 | 10.18 | 11.38 | 10.48 | 9.78  | 10.88 | 9.48  | xxxx | 21.8 |
| -19 | 10.58 | 9.08  | 6.98  | 5.38  | 4.68 | 6.68  | 8.68  | - | 10.68 | 10.28 | 12.38 | 11.18 | 12.38 | 11.48 | 10.78 | 11.88 | 10.48 | xxxx | 22.8 |
| -20 | -     | -     | -     | -     | -    | -     | -     | - | 11.68 | 11.28 | 13.38 | 12.18 | 13.38 | 12.48 | 11.78 | 12.88 | 11.48 | xxxx | 23.8 |
| -21 | 11.58 | 10.08 | 7.98  | 6.38  | 5.68 | 7.68  | 9.68  | - | 12.68 | 12.28 | 14.38 | 13.18 | 14.38 | 13.48 | 12.78 | 13.88 | 12.48 | xxxx | 24.8 |
| -22 | -     | -     | -     | -     | -    | -     | -     | - | 13.68 | 13.28 | 15.38 | 14.18 | 15.38 | 14.48 | 13.78 | 14.88 | 13.48 | xxxx | 25.8 |
| -23 | 12.58 | 11.08 | 8.98  | 7.38  | 6.68 | 8.68  | 10.68 | - | 14.68 | 14.28 | 16.38 | 15.18 | 16.38 | 15.48 | 14.78 | 15.88 | 14.48 | xxxx | 26.8 |
| -24 | -     | -     | -     | -     | -    | -     | -     | - | 15.68 | 15.28 | 17.38 | 16.18 | 17.38 | 16.48 | 15.78 | 16.88 | 15.48 | xxxx | 27.8 |
| -25 | 13.58 | 12.08 | 9.98  | 8.38  | 7.68 | 9.68  | 11.68 | - | 16.68 | 16.28 | 18.38 | 17.18 | 18.38 | 17.48 | 16.78 | 17.88 | 16.48 | xxxx | 28.8 |
| -26 | -     | -     | -     | -     | -    | -     | -     | - | 17.68 | 17.28 | 19.38 | 18.18 | 19.38 | 18.48 | 17.78 | 18.88 | 17.48 | xxxx | 29.8 |
| -27 | 14.58 | 13.08 | 10.98 | 9.38  | 8.68 | 10.68 | 12.68 | - | 18.68 | 18.28 | 20.38 | 19.18 | 20.38 | 19.48 | 18.78 | 19.88 | 18.48 | xxxx | 30.8 |
| -28 | 15.58 | 14.08 | 11.98 | 10.38 | 9.68 | 11.68 | 13.68 | - | 19.68 | 19.28 | 21.38 | 20.18 | 21.38 | 20.48 | 19.78 | 20.88 | 19.48 | xxxx | 31.8 |

L'nw=48  
dB

Tabla 71. L'nw de Bravo 3\_2\_n

Proyecto : Estudio al ruido ascendente por impacto

Autor: Gregorio Chacón Leiva

Tutor : Pedro Flores Domínguez-Rodiño

| Hz                | 100  | 125  | 160   | 200   | 250   | 315   | 400  | 500  | 630  | 800  | 1000 | 1250 | 1600 | 2000 | 2500 | 3125 | 4000 |
|-------------------|------|------|-------|-------|-------|-------|------|------|------|------|------|------|------|------|------|------|------|
| C.R Banda Inicial | 62   | 62   | 62    | 62    | 62    | 62    | 61   | 60   | 59   | 58   | 57   | 54   | 51   | 48   | 45   | 42   | xxxx |
| C.R.Banda Final   | 50   | 50   | 50    | 50    | 50    | 50    | 49   | 48   | 47   | 46   | 45   | 42   | 39   | 36   | 33   | 30   |      |
| Bravo _3 _3 _n    | 55.6 | 54.1 | 52.0  | 50.4  | 49.7  | 51.7  | 52.7 | 51.7 | 50.3 | 51.4 | 49.2 | 47.4 | 43.5 | 39.8 | 37.9 | 33.5 | 31.1 |
| 0                 | 6.42 | 7.92 | 10.02 | 11.62 | 12.32 | 10.32 | 8.32 | 8.32 | 8.72 | 6.62 | 7.82 | 6.62 | 7.52 | 8.22 | 7.12 | 8.52 | xxxx |
| -1                | 5.42 | 6.92 | 9.02  | 10.62 | 11.32 | 9.32  | 7.32 | 7.32 | 7.72 | 5.62 | 6.82 | 5.62 | 6.52 | 7.22 | 6.12 | 7.52 | xxxx |
| -2                | 4.42 | 5.92 | 8.02  | 9.62  | 10.32 | 8.32  | 6.32 | 6.32 | 6.72 | 4.62 | 5.82 | 4.62 | 5.52 | 6.22 | 5.12 | 6.52 | xxxx |
| -3                | 3.42 | 4.92 | 7.02  | 8.62  | 9.32  | 7.32  | 5.32 | 5.32 | 5.72 | 3.62 | 4.82 | 3.62 | 4.52 | 5.22 | 4.12 | 5.52 | xxxx |
| -4                | 2.42 | 3.92 | 6.02  | 7.62  | 8.32  | 6.32  | 4.32 | 4.32 | 4.72 | 2.62 | 3.82 | 2.62 | 3.52 | 4.22 | 3.12 | 4.52 | xxxx |
| -5                | 1.42 | 2.92 | 5.02  | 6.62  | 7.32  | 5.32  | 3.32 | 3.32 | 3.72 | 1.62 | 2.82 | 1.62 | 2.52 | 3.22 | 2.12 | 3.52 | xxxx |
| -6                | 0.42 | 1.92 | 4.02  | 5.62  | 6.32  | 4.32  | 2.32 | 2.32 | 2.72 | 0.62 | 1.82 | 0.62 | 1.52 | 2.22 | 1.12 | 2.52 | xxxx |
| -7                | 0.58 | 0.92 | 3.02  | 4.62  | 5.32  | 3.32  | 1.32 | 1.32 | 1.72 | 0.38 | 0.82 | 0.38 | 0.52 | 1.22 | 0.12 | 1.52 | xxxx |
| -8                | 1.58 | 0.08 | 2.02  | 3.62  | 4.32  | 2.32  | 0.32 | 0.32 | 0.72 | 1.38 | 0.18 | 1.38 | 0.48 | 0.22 | 0.88 | 0.52 | xxxx |
| -9                | 2.58 | 1.08 | 1.02  | 2.62  | 3.32  | 1.32  | 0.68 | -    | 0.68 | 0.28 | 2.38 | 1.18 | 2.38 | 1.48 | 0.78 | 1.88 | 0.48 |
| -10               | 3.58 | 2.08 | 0.02  | 1.62  | 2.32  | 0.32  | 1.68 | -    | 1.68 | 1.28 | 3.38 | 2.18 | 3.38 | 2.48 | 1.78 | 2.88 | 1.48 |
| -11               | 4.58 | 3.08 | 0.98  | 0.62  | 1.32  | 0.68  | 2.68 | -    | 2.68 | 2.28 | 4.38 | 3.18 | 4.38 | 3.48 | 2.78 | 3.88 | 2.48 |
| -12               | 5.58 | 4.08 | 1.98  | 0.38  | 0.32  | 1.68  | 3.68 | -    | 3.68 | 3.28 | 5.38 | 4.18 | 5.38 | 4.48 | 3.78 | 4.88 | 3.48 |
| -13               | 6.58 | 5.08 | 2.98  | 1.38  | 0.68  | 2.68  | 4.68 | -    | 4.68 | 4.28 | 6.38 | 5.18 | 6.38 | 5.48 | 4.78 | 5.88 | 4.48 |
| -14               | -    | -    | -     | -     | -     | -     | -    | -    | 5.68 | -    | -    | -    | -    | -    | -    | -    | xxxx |

Proyecto : Estudio al ruido ascendente por impacto

Autor: Gregorio Chacón Leiva

Tutor : Pedro Flores Domínguez-Rodiño

|     | 7.58 | 6.08 | 3.98 | 2.38 | 1.68 | 3.68 | 5.68 |   | 5.28  | 7.38  | 6.18  | 7.38  | 6.48  | 5.78  | 6.88  | 5.48  |       | 17.8 |      |
|-----|------|------|------|------|------|------|------|---|-------|-------|-------|-------|-------|-------|-------|-------|-------|------|------|
| -15 | -    | -    | -    | -    | -    | -    | -    | - | 6.68  | 6.28  | 8.38  | 7.18  | 8.38  | 7.48  | 6.78  | 7.88  | 6.48  | xxxx | 18.8 |
| -16 | -    | -    | -    | -    | -    | -    | -    | - | 7.68  | 7.28  | 9.38  | 8.18  | 9.38  | 8.48  | 7.78  | 8.88  | 7.48  | xxxx | 19.8 |
| -17 | -    | -    | -    | -    | -    | -    | -    | - | 8.68  | 8.28  | 10.38 | 9.18  | 10.38 | 9.48  | 8.78  | 9.88  | 8.48  | xxxx | 20.8 |
| -18 | -    | -    | -    | -    | -    | -    | -    | - | 9.68  | 9.28  | 11.38 | 10.18 | 11.38 | 10.48 | 9.78  | 10.88 | 9.48  | xxxx | 21.8 |
| -19 | -    | -    | -    | -    | -    | -    | -    | - | 10.68 | 10.28 | 12.38 | 11.18 | 12.38 | 11.48 | 10.78 | 11.88 | 10.48 | xxxx | 22.8 |
| -20 | -    | -    | -    | -    | -    | -    | -    | - | 11.68 | 11.28 | 13.38 | 12.18 | 13.38 | 12.48 | 11.78 | 12.88 | 11.48 | xxxx | 23.8 |
| -21 | -    | -    | -    | -    | -    | -    | -    | - | 12.68 | 12.28 | 14.38 | 13.18 | 14.38 | 13.48 | 12.78 | 13.88 | 12.48 | xxxx | 24.8 |
| -22 | -    | -    | -    | -    | -    | -    | -    | - | 13.68 | 13.28 | 15.38 | 14.18 | 15.38 | 14.48 | 13.78 | 14.88 | 13.48 | xxxx | 25.8 |
| -23 | -    | -    | -    | -    | -    | -    | -    | - | 14.68 | 14.28 | 16.38 | 15.18 | 16.38 | 15.48 | 14.78 | 15.88 | 14.48 | xxxx | 26.8 |
| -24 | -    | -    | -    | -    | -    | -    | -    | - | 15.68 | 15.28 | 17.38 | 16.18 | 17.38 | 16.48 | 15.78 | 16.88 | 15.48 | xxxx | 27.8 |
| -25 | -    | -    | -    | -    | -    | -    | -    | - | 16.68 | 16.28 | 18.38 | 17.18 | 18.38 | 17.48 | 16.78 | 17.88 | 16.48 | xxxx | 28.8 |
| -26 | -    | -    | -    | -    | -    | -    | -    | - | 17.68 | 17.28 | 19.38 | 18.18 | 19.38 | 18.48 | 17.78 | 18.88 | 17.48 | xxxx | 29.8 |
| -27 | -    | -    | -    | -    | -    | -    | -    | - | 18.68 | 18.28 | 20.38 | 19.18 | 20.38 | 19.48 | 18.78 | 19.88 | 18.48 | xxxx | 30.8 |
| -28 | -    | -    | -    | -    | -    | -    | -    | - | 19.68 | 19.28 | 21.38 | 20.18 | 21.38 | 20.48 | 19.78 | 20.88 | 19.48 | xxxx | 31.8 |

L'nw=48  
dB

Tabla 72. L'nw de Bravo 3\_3\_n

Proyecto : Estudio al ruido ascendente por impacto

Autor: Gregorio Chacón Leiva

Tutor : Pedro Flores Domínguez-Rodiño

| Hz                | 100  | 125   | 160   | 200   | 250   | 315   | 400  | 500  | 630  | 800  | 1000 | 1250 | 1600 | 2000 | 2500 | 3125 | 4000                  |           |
|-------------------|------|-------|-------|-------|-------|-------|------|------|------|------|------|------|------|------|------|------|-----------------------|-----------|
| C.R Banda Inicial | 62   | 62    | 62    | 62    | 62    | 62    | 61   | 60   | 59   | 58   | 57   | 54   | 51   | 48   | 45   | 42   | xxxx                  |           |
| C.R.Banda Final   | 50   | 50    | 50    | 50    | 50    | 50    | 49   | 48   | 47   | 46   | 45   | 42   | 39   | 36   | 33   | 30   |                       |           |
| Bravo_3_4_n       | 52.6 | 51.5  | 50.7  | 51.9  | 48.2  | 49.9  | 52.3 | 52.4 | 51.2 | 51.9 | 50.3 | 49.2 | 44.8 | 40.4 | 38.6 | 37.1 | 37.9                  |           |
| 0                 | 9.36 | 10.52 | 11.32 | 10.12 | 13.82 | 12.12 | 8.72 | 7.62 | 7.82 | 6.12 | 6.72 | 4.82 | 6.22 | 7.62 | 6.42 | 4.92 | xxxx sin desviaciones |           |
| -1                | 8.36 | 9.52  | 10.32 | 9.12  | 12.82 | 11.12 | 7.72 | 6.62 | 6.82 | 5.12 | 5.72 | 3.82 | 5.22 | 6.62 | 5.42 | 3.92 | xxxx sin desviaciones |           |
| -2                | 7.36 | 8.52  | 9.32  | 8.12  | 11.82 | 10.12 | 6.72 | 5.62 | 5.82 | 4.12 | 4.72 | 2.82 | 4.22 | 5.62 | 4.42 | 2.92 | xxxx sin desviaciones |           |
| -3                | 6.36 | 7.52  | 8.32  | 7.12  | 10.82 | 9.12  | 5.72 | 4.62 | 4.82 | 3.12 | 3.72 | 1.82 | 3.22 | 4.62 | 3.42 | 1.92 | xxxx sin desviaciones |           |
| -4                | 5.36 | 6.52  | 7.32  | 6.12  | 9.82  | 8.12  | 4.72 | 3.62 | 3.82 | 2.12 | 2.72 | 0.82 | 2.22 | 3.62 | 2.42 | 0.92 | xxxx sin desviaciones |           |
| -5                | 4.36 | 5.52  | 6.32  | 5.12  | 8.82  | 7.12  | 3.72 | 2.62 | 2.82 | 1.12 | 1.72 | 0.18 | 1.22 | 2.62 | 1.42 | 0.08 | xxxx 3.1              |           |
| -6                | 3.36 | 4.52  | 5.32  | 4.12  | 7.82  | 6.12  | 2.72 | 1.62 | 1.82 | 0.12 | 0.72 | 1.18 | 0.22 | 1.62 | 0.42 | 1.08 | xxxx 4.1              |           |
| -7                | 2.36 | 3.52  | 4.32  | 3.12  | 6.82  | 5.12  | 1.72 | 0.62 | 0.82 | 0.88 | 0.28 | 2.18 | 0.78 | 0.62 | 0.58 | 2.08 | xxxx 7.4              |           |
| -8                | 1.36 | 2.52  | 3.32  | 2.12  | 5.82  | 4.12  | 0.72 | -    | 0.38 | 0.18 | 1.88 | 1.28 | 3.18 | 1.78 | 0.38 | 1.58 | 3.08                  | xxxx 9.6  |
| -9                | 0.36 | 1.52  | 2.32  | 1.12  | 4.82  | 3.12  | 0.28 | -    | 1.38 | 1.18 | 2.88 | 2.28 | 4.18 | 2.78 | 1.38 | 2.58 | 4.08                  | xxxx 12.5 |
| -10               | 0.64 | 0.52  | 1.32  | 0.12  | 3.82  | 2.12  | 1.28 | -    | 2.38 | 2.18 | 3.88 | 3.28 | 5.18 | 3.78 | 2.38 | 3.58 | 5.08                  | xxxx 13.7 |
| -11               | 1.64 | 0.48  | 0.32  | 0.88  | 2.82  | 1.12  | 2.28 | -    | 3.38 | 3.18 | 4.88 | 4.28 | 6.18 | 4.78 | 3.38 | 4.58 | 6.08                  | xxxx 14.8 |
| -12               | 2.64 | 1.48  | 0.68  | 1.88  | 1.82  | 0.12  | 3.28 | -    | 4.38 | 4.18 | 5.88 | 5.28 | 7.18 | 5.78 | 4.38 | 5.58 | 7.08                  | xxxx 15.5 |
| -13               | 3.64 | 2.48  | 1.68  | 2.88  | 0.82  | 0.88  | 4.28 | -    | 5.38 | 5.18 | 6.88 | 6.28 | 8.18 | 6.78 | 5.38 | 6.58 | 8.08                  | xxxx 17.3 |

Proyecto : Estudio al ruido ascendente por impacto

Autor: Gregorio Chacón Leiva

Tutor : Pedro Flores Domínguez-Rodiño

|     |   |       |       |   |       |   |       |   |       |   |       |   |       |   |       |   |       |   |       |   |       |   |       |   |       |   |       |   |       |   |       |      |      |
|-----|---|-------|-------|---|-------|---|-------|---|-------|---|-------|---|-------|---|-------|---|-------|---|-------|---|-------|---|-------|---|-------|---|-------|---|-------|---|-------|------|------|
| -14 | - | 4.64  | 3.48  | - | 2.68  | - | 3.88  | - | 0.18  | - | 1.88  | - | 5.28  | - | 6.38  | - | 6.18  | - | 7.88  | - | 7.28  | - | 9.18  | - | 7.78  | - | 6.38  | - | 7.58  | - | 9.08  | xxxx | 18.3 |
| -15 | - | 5.64  | 4.48  | - | 3.68  | - | 4.88  | - | 1.18  | - | 2.88  | - | 6.28  | - | 7.38  | - | 7.18  | - | 8.88  | - | 8.28  | - | 10.18 | - | 8.78  | - | 7.38  | - | 8.58  | - | 10.08 | xxxx | 19.3 |
| -16 | - | 6.64  | 5.48  | - | 4.68  | - | 5.88  | - | 2.18  | - | 3.88  | - | 7.28  | - | 8.38  | - | 8.18  | - | 9.88  | - | 9.28  | - | 11.18 | - | 9.78  | - | 8.38  | - | 9.58  | - | 11.08 | xxxx | 20.3 |
| -17 | - | 7.64  | 6.48  | - | 5.68  | - | 6.88  | - | 3.18  | - | 4.88  | - | 8.28  | - | 9.38  | - | 9.18  | - | 10.88 | - | 10.28 | - | 12.18 | - | 10.78 | - | 9.38  | - | 10.58 | - | 12.08 | xxxx | 21.3 |
| -18 | - | 8.64  | 7.48  | - | 6.68  | - | 7.88  | - | 4.18  | - | 5.88  | - | 9.28  | - | 10.38 | - | 10.18 | - | 11.88 | - | 11.28 | - | 13.18 | - | 11.78 | - | 10.38 | - | 11.58 | - | 13.08 | xxxx | 22.3 |
| -19 | - | 9.64  | 8.48  | - | 7.68  | - | 8.88  | - | 5.18  | - | 6.88  | - | 10.28 | - | 11.38 | - | 11.18 | - | 12.88 | - | 12.28 | - | 14.18 | - | 12.78 | - | 11.38 | - | 12.58 | - | 14.08 | xxxx | 23.3 |
| -20 | - | 10.64 | 9.48  | - | 8.68  | - | 9.88  | - | 6.18  | - | 7.88  | - | 11.28 | - | 12.38 | - | 12.18 | - | 13.88 | - | 13.28 | - | 15.18 | - | 13.78 | - | 12.38 | - | 13.58 | - | 15.08 | xxxx | 24.3 |
| -21 | - | 11.64 | 10.48 | - | 9.68  | - | 10.88 | - | 7.18  | - | 8.88  | - | 12.28 | - | 13.38 | - | 13.18 | - | 14.88 | - | 14.28 | - | 16.18 | - | 14.78 | - | 13.38 | - | 14.58 | - | 16.08 | xxxx | 25.3 |
| -22 | - | 12.64 | 11.48 | - | 10.68 | - | 11.88 | - | 8.18  | - | 9.88  | - | 13.28 | - | 14.38 | - | 14.18 | - | 15.88 | - | 15.28 | - | 17.18 | - | 15.78 | - | 14.38 | - | 15.58 | - | 17.08 | xxxx | 26.3 |
| -23 | - | 13.64 | 12.48 | - | 11.68 | - | 12.88 | - | 9.18  | - | 10.88 | - | 14.28 | - | 15.38 | - | 15.18 | - | 16.88 | - | 16.28 | - | 18.18 | - | 16.78 | - | 15.38 | - | 16.58 | - | 18.08 | xxxx | 27.3 |
| -24 | - | 14.64 | 13.48 | - | 12.68 | - | 13.88 | - | 10.18 | - | 11.88 | - | 15.28 | - | 16.38 | - | 16.18 | - | 17.88 | - | 17.28 | - | 19.18 | - | 17.78 | - | 16.38 | - | 17.58 | - | 19.08 | xxxx | 28.3 |
| -25 | - | 15.64 | 14.48 | - | 13.68 | - | 14.88 | - | 11.18 | - | 12.88 | - | 16.28 | - | 17.38 | - | 17.18 | - | 18.88 | - | 18.28 | - | 20.18 | - | 18.78 | - | 17.38 | - | 18.58 | - | 20.08 | xxxx | 29.3 |
| -26 | - | 16.64 | 15.48 | - | 14.68 | - | 15.88 | - | 12.18 | - | 13.88 | - | 17.28 | - | 18.38 | - | 18.18 | - | 19.88 | - | 19.28 | - | 21.18 | - | 19.78 | - | 18.38 | - | 19.58 | - | 21.08 | xxxx | 30.3 |
| -27 | - | 17.64 | 16.48 | - | 15.68 | - | 16.88 | - | 13.18 | - | 14.88 | - | 18.28 | - | 19.38 | - | 19.18 | - | 20.88 | - | 20.28 | - | 22.18 | - | 20.78 | - | 19.38 | - | 20.58 | - | 22.08 | xxxx | 31.3 |
| -28 | - | 18.64 | 17.48 | - | 16.68 | - | 17.88 | - | 14.18 | - | 15.88 | - | 19.28 | - | 20.38 | - | 20.18 | - | 21.88 | - | 21.28 | - | 23.18 | - | 21.78 | - | 20.38 | - | 21.58 | - | 23.08 | xxxx | 32.3 |

L'nw=48  
dB

Tabla 73. L'nw de Bravo 3\_4\_n

Proyecto : Estudio al ruido ascendente por impacto

Autor: Gregorio Chacón Leiva

Tutor : Pedro Flores Domínguez-Rodiño

| Hz                | 100    | 125   | 160  | 200   | 250   | 315   | 400    | 500    | 630  | 800  | 1000 | 1250 | 1600  | 2000  | 2500  | 3125  | 4000                  |
|-------------------|--------|-------|------|-------|-------|-------|--------|--------|------|------|------|------|-------|-------|-------|-------|-----------------------|
| C.R Banda Inicial | 62     | 62    | 62   | 62    | 62    | 62    | 61     | 60     | 59   | 58   | 57   | 54   | 51    | 48    | 45    | 42    | xxxx                  |
| C.R.Banda Final   | 49     | 49    | 49   | 49    | 49    | 49    | 48     | 47     | 46   | 45   | 44   | 41   | 38    | 35    | 32    | 29    |                       |
| Bravo_3_5_n       | 50.6   | 51.5  | 52.5 | 50.7  | 47.3  | 49.1  | 51.6   | 50.6   | 49.9 | 50.7 | 48.1 | 45.9 | 40.0  | 34.7  | 28.3  | 23.5  | 19.9                  |
| 0                 | 11.36  | 10.52 | 9.52 | 11.32 | 14.72 | 12.92 | 9.42   | 9.42   | 9.12 | 7.32 | 8.92 | 8.12 | 11.02 | 13.32 | 16.72 | 18.52 | xxxx sin desviaciones |
| -1                | 10.36  | 9.52  | 8.52 | 10.32 | 13.72 | 11.92 | 8.42   | 8.42   | 8.12 | 6.32 | 7.92 | 7.12 | 10.02 | 12.32 | 15.72 | 17.52 | xxxx sin desviaciones |
| -2                | 9.36   | 8.52  | 7.52 | 9.32  | 12.72 | 10.92 | 7.42   | 7.42   | 7.12 | 5.32 | 6.92 | 6.12 | 9.02  | 11.32 | 14.72 | 16.52 | xxxx sin desviaciones |
| -3                | 8.36   | 7.52  | 6.52 | 8.32  | 11.72 | 9.92  | 6.42   | 6.42   | 6.12 | 4.32 | 5.92 | 5.12 | 8.02  | 10.32 | 13.72 | 15.52 | xxxx sin desviaciones |
| -4                | 7.36   | 6.52  | 5.52 | 7.32  | 10.72 | 8.92  | 5.42   | 5.42   | 5.12 | 3.32 | 4.92 | 4.12 | 7.02  | 9.32  | 12.72 | 14.52 | xxxx sin desviaciones |
| -5                | 6.36   | 5.52  | 4.52 | 6.32  | 9.72  | 7.92  | 4.42   | 4.42   | 4.12 | 2.32 | 3.92 | 3.12 | 6.02  | 8.32  | 11.72 | 13.52 | xxxx sin desviaciones |
| -6                | 5.36   | 4.52  | 3.52 | 5.32  | 8.72  | 6.92  | 3.42   | 3.42   | 3.12 | 1.32 | 2.92 | 2.12 | 5.02  | 7.32  | 10.72 | 12.52 | xxxx sin desviaciones |
| -7                | 4.36   | 3.52  | 2.52 | 4.32  | 7.72  | 5.92  | 2.42   | 2.42   | 2.12 | 0.32 | 1.92 | 1.12 | 4.02  | 6.32  | 9.72  | 11.52 | xxxx sin desviaciones |
| -8                | 3.36   | 2.52  | 1.52 | 3.32  | 6.72  | 4.92  | 1.42   | 1.42   | 1.12 | 0.68 | 0.92 | 0.12 | 3.02  | 5.32  | 8.72  | 10.52 | xxxx 0.7              |
| -9                | 2.36   | 1.52  | 0.52 | 2.32  | 5.72  | 3.92  | 0.42   | 0.42   | 0.12 | 1.68 | 0.08 | 0.88 | 2.02  | 4.32  | 7.72  | 9.52  | xxxx 6.7              |
| -10               | 1.36   | 0.52  | 0.48 | 1.32  | 4.72  | 2.92  | - 0.58 | - 0.58 | 0.88 | 2.68 | 1.08 | 1.88 | 1.02  | 3.32  | 6.72  | 8.52  | xxxx 9.5              |
| -11               | 0.36   | 0.48  | 1.48 | 0.32  | 3.72  | 1.92  | 1.58   | - 1.58 | 1.88 | 3.68 | 2.08 | 2.88 | 0.02  | 2.32  | 5.72  | 7.52  | xxxx 10.6             |
| -12               | - 0.64 | 1.48  | 2.48 | 0.68  | 2.72  | 0.92  | - 2.58 | - 2.58 | 2.88 | 4.68 | 3.08 | 3.88 | 0.98  | 1.32  | 4.72  | 6.52  | xxxx 12.9             |
| -13               | - 1.64 | 2.48  | 3.48 | 1.68  | 1.72  | 0.08  | - 3.58 | - 3.58 | 3.88 | 5.68 | 4.08 | 4.88 | 1.98  | 0.32  | 3.72  | 5.52  | xxxx 14.2             |

Proyecto : Estudio al ruido ascendente por impacto

Autor: Gregorio Chacón Leiva

Tutor : Pedro Flores Domínguez-Rodiño

|     |   |       |       |       |   |       |       |       |   |       |   |       |       |   |       |   |       |   |       |   |       |   |       |       |      |      |      |      |
|-----|---|-------|-------|-------|---|-------|-------|-------|---|-------|---|-------|-------|---|-------|---|-------|---|-------|---|-------|---|-------|-------|------|------|------|------|
| -14 | - | 2.64  | 3.48  | 4.48  | - | 2.68  | 0.72  | 1.08  | - | 4.58  | - | 4.58  | 4.88  | - | 6.68  | - | 5.08  | - | 5.88  | - | 2.98  | - | 0.68  | 2.72  | 4.52 | xxxx | 15.4 |      |
| -15 | - | 3.64  | 4.48  | 5.48  | - | 3.68  | 0.28  | 2.08  | - | 5.58  | - | 5.58  | 5.88  | - | 7.68  | - | 6.08  | - | 6.88  | - | 3.98  | - | 1.68  | 1.72  | 3.52 | xxxx | 16.4 |      |
| -16 | - | 4.64  | 5.48  | 6.48  | - | 4.68  | 1.28  | 3.08  | - | 6.58  | - | 6.58  | 6.88  | - | 8.68  | - | 7.08  | - | 7.88  | - | 4.98  | - | 2.68  | 0.72  | 2.52 | xxxx | 17.4 |      |
| -17 | - | 5.64  | 6.48  | 7.48  | - | 5.68  | 2.28  | 4.08  | - | 7.58  | - | 7.58  | 7.88  | - | 9.68  | - | 8.08  | - | 8.88  | - | 5.98  | - | 3.68  | 0.28  | 1.52 | xxxx | 18.5 |      |
| -18 | - | 6.64  | 7.48  | 8.48  | - | 6.68  | 3.28  | 5.08  | - | 8.58  | - | 8.58  | 8.88  | - | 10.68 | - | 9.08  | - | 9.88  | - | 6.98  | - | 4.68  | 1.28  | 0.52 | xxxx | 19.5 |      |
| -19 | - | 7.64  | 8.48  | 9.48  | - | 7.68  | 4.28  | 6.08  | - | 9.58  | - | 9.58  | 9.88  | - | 11.68 | - | 10.08 | - | 10.88 | - | 7.98  | - | 5.68  | 2.28  | 0.48 | xxxx | 20.5 |      |
| -20 | - | 8.64  | 9.48  | 10.48 | - | 8.68  | 5.28  | 7.08  | - | 10.58 | - | 10.58 | 10.88 | - | 12.68 | - | 11.08 | - | 11.88 | - | 8.98  | - | 6.68  | 3.28  | 1.48 | xxxx | 21.5 |      |
| -21 | - | 9.64  | 10.48 | 11.48 | - | 9.68  | 6.28  | 8.08  | - | 11.58 | - | 11.58 | 11.88 | - | 13.68 | - | 12.08 | - | 12.88 | - | 9.98  | - | 7.68  | 4.28  | 2.48 | xxxx | 22.5 |      |
| -22 | - | 10.64 | 11.48 | 12.48 | - | 10.68 | 7.28  | 9.08  | - | 12.58 | - | 12.58 | 12.88 | - | 14.68 | - | 13.08 | - | 13.88 | - | 10.98 | - | 8.68  | 5.28  | 3.48 | xxxx | 23.5 |      |
| -23 | - | 11.64 | 12.48 | 13.48 | - | 11.68 | 8.28  | 10.08 | - | 13.58 | - | 13.58 | 13.88 | - | 15.68 | - | 14.08 | - | 14.88 | - | 11.98 | - | 9.68  | 6.28  | 4.48 | xxxx | 24.5 |      |
| -24 | - | 12.64 | 13.48 | 14.48 | - | 12.68 | 9.28  | 11.08 | - | 14.58 | - | 14.58 | 14.88 | - | 16.68 | - | 15.08 | - | 15.88 | - | 12.98 | - | 10.68 | 7.28  | 5.48 | xxxx | 25.5 |      |
| -25 | - | 13.64 | 14.48 | 15.48 | - | 13.68 | 10.28 | 12.08 | - | 15.58 | - | 15.58 | 15.88 | - | 17.68 | - | 16.08 | - | 16.88 | - | 13.98 | - | 11.68 | -     | 8.28 | 6.48 | xxxx | 26.5 |
| -26 | - | 14.64 | 15.48 | 16.48 | - | 14.68 | 11.28 | 13.08 | - | 16.58 | - | 16.58 | 16.88 | - | 18.68 | - | 17.08 | - | 17.88 | - | 14.98 | - | 12.68 | 9.28  | 7.48 | xxxx | 27.5 |      |
| -27 | - | 15.64 | 16.48 | 17.48 | - | 15.68 | 12.28 | 14.08 | - | 17.58 | - | 17.58 | 17.88 | - | 19.68 | - | 18.08 | - | 18.88 | - | 15.98 | - | 13.68 | 10.28 | 8.48 | xxxx | 28.5 |      |
| -28 | - | 16.64 | 17.48 | 18.48 | - | 16.68 | 13.28 | 15.08 | - | 18.58 | - | 18.58 | 18.88 | - | 20.68 | - | 19.08 | - | 19.88 | - | 16.98 | - | 14.68 | 11.28 | 9.48 | xxxx | 29.5 |      |

L'nw=48  
dB

Tabla 74. L'nw de Bravo 3\_5\_n

Proyecto : Estudio al ruido ascendente por impacto

Autor: Gregorio Chacón Leiva

Tutor : Pedro Flores Domínguez-Rodiño

| Hz                | 100    | 125   | 160  | 200   | 250   | 315   | 400    | 500    | 630  | 800  | 1000 | 1250 | 1600  | 2000  | 2500  | 3125  | 4000                  |
|-------------------|--------|-------|------|-------|-------|-------|--------|--------|------|------|------|------|-------|-------|-------|-------|-----------------------|
| C.R Banda Inicial | 62     | 62    | 62   | 62    | 62    | 62    | 61     | 60     | 59   | 58   | 57   | 54   | 51    | 48    | 45    | 42    | xxxx                  |
| C.R.Banda Final   | 49     | 49    | 49   | 49    | 49    | 49    | 48     | 47     | 46   | 45   | 44   | 41   | 38    | 35    | 32    | 29    |                       |
| Bravo_3_6_n       | 50.6   | 51.5  | 52.5 | 50.7  | 47.3  | 49.1  | 51.6   | 50.6   | 49.9 | 50.7 | 48.1 | 45.9 | 40.0  | 34.7  | 28.3  | 23.5  | 19.9                  |
| 0                 | 11.36  | 10.52 | 9.52 | 11.32 | 14.72 | 12.92 | 9.42   | 9.42   | 9.12 | 7.32 | 8.92 | 8.12 | 11.02 | 13.32 | 16.72 | 18.52 | xxxx sin desviaciones |
| -1                | 10.36  | 9.52  | 8.52 | 10.32 | 13.72 | 11.92 | 8.42   | 8.42   | 8.12 | 6.32 | 7.92 | 7.12 | 10.02 | 12.32 | 15.72 | 17.52 | xxxx sin desviaciones |
| -2                | 9.36   | 8.52  | 7.52 | 9.32  | 12.72 | 10.92 | 7.42   | 7.42   | 7.12 | 5.32 | 6.92 | 6.12 | 9.02  | 11.32 | 14.72 | 16.52 | xxxx sin desviaciones |
| -3                | 8.36   | 7.52  | 6.52 | 8.32  | 11.72 | 9.92  | 6.42   | 6.42   | 6.12 | 4.32 | 5.92 | 5.12 | 8.02  | 10.32 | 13.72 | 15.52 | xxxx sin desviaciones |
| -4                | 7.36   | 6.52  | 5.52 | 7.32  | 10.72 | 8.92  | 5.42   | 5.42   | 5.12 | 3.32 | 4.92 | 4.12 | 7.02  | 9.32  | 12.72 | 14.52 | xxxx sin desviaciones |
| -5                | 6.36   | 5.52  | 4.52 | 6.32  | 9.72  | 7.92  | 4.42   | 4.42   | 4.12 | 2.32 | 3.92 | 3.12 | 6.02  | 8.32  | 11.72 | 13.52 | xxxx sin desviaciones |
| -6                | 5.36   | 4.52  | 3.52 | 5.32  | 8.72  | 6.92  | 3.42   | 3.42   | 3.12 | 1.32 | 2.92 | 2.12 | 5.02  | 7.32  | 10.72 | 12.52 | xxxx sin desviaciones |
| -7                | 4.36   | 3.52  | 2.52 | 4.32  | 7.72  | 5.92  | 2.42   | 2.42   | 2.12 | 0.32 | 1.92 | 1.12 | 4.02  | 6.32  | 9.72  | 11.52 | xxxx sin desviaciones |
| -8                | 3.36   | 2.52  | 1.52 | 3.32  | 6.72  | 4.92  | 1.42   | 1.42   | 1.12 | 0.68 | 0.92 | 0.12 | 3.02  | 5.32  | 8.72  | 10.52 | xxxx 0.7              |
| -9                | 2.36   | 1.52  | 0.52 | 2.32  | 5.72  | 3.92  | 0.42   | 0.42   | 0.12 | 1.68 | 0.08 | 0.88 | 2.02  | 4.32  | 7.72  | 9.52  | xxxx 6.7              |
| -10               | 1.36   | 0.52  | 0.48 | 1.32  | 4.72  | 2.92  | - 0.58 | - 0.58 | 0.88 | 2.68 | 1.08 | 1.88 | 1.02  | 3.32  | 6.72  | 8.52  | xxxx 9.5              |
| -11               | 0.36   | 0.48  | 1.48 | 0.32  | 3.72  | 1.92  | 1.58   | - 1.58 | 1.88 | 3.68 | 2.08 | 2.88 | 0.02  | 2.32  | 5.72  | 7.52  | xxxx 10.6             |
| -12               | - 0.64 | 1.48  | 2.48 | 0.68  | 2.72  | 0.92  | - 2.58 | - 2.58 | 2.88 | 4.68 | 3.08 | 3.88 | 0.98  | 1.32  | 4.72  | 6.52  | xxxx 12.9             |
| -13               | - 1.64 | 2.48  | 3.48 | 1.68  | 1.72  | 0.08  | - 3.58 | - 3.58 | 3.88 | 5.68 | 4.08 | 4.88 | 1.98  | 0.32  | 3.72  | 5.52  | xxxx 14.2             |

Proyecto : Estudio al ruido ascendente por impacto

Autor: Gregorio Chacón Leiva

Tutor : Pedro Flores Domínguez-Rodiño

|     |   |       |       |       |   |       |       |       |   |       |   |       |       |   |       |   |       |   |       |   |       |   |       |       |      |      |      |      |
|-----|---|-------|-------|-------|---|-------|-------|-------|---|-------|---|-------|-------|---|-------|---|-------|---|-------|---|-------|---|-------|-------|------|------|------|------|
| -14 | - | 2.64  | 3.48  | 4.48  | - | 2.68  | 0.72  | 1.08  | - | 4.58  | - | 4.58  | 4.88  | - | 6.68  | - | 5.08  | - | 5.88  | - | 2.98  | - | 0.68  | 2.72  | 4.52 | xxxx | 15.4 |      |
| -15 | - | 3.64  | 4.48  | 5.48  | - | 3.68  | 0.28  | 2.08  | - | 5.58  | - | 5.58  | 5.88  | - | 7.68  | - | 6.08  | - | 6.88  | - | 3.98  | - | 1.68  | 1.72  | 3.52 | xxxx | 16.4 |      |
| -16 | - | 4.64  | 5.48  | 6.48  | - | 4.68  | 1.28  | 3.08  | - | 6.58  | - | 6.58  | 6.88  | - | 8.68  | - | 7.08  | - | 7.88  | - | 4.98  | - | 2.68  | 0.72  | 2.52 | xxxx | 17.4 |      |
| -17 | - | 5.64  | 6.48  | 7.48  | - | 5.68  | 2.28  | 4.08  | - | 7.58  | - | 7.58  | 7.88  | - | 9.68  | - | 8.08  | - | 8.88  | - | 5.98  | - | 3.68  | 0.28  | 1.52 | xxxx | 18.5 |      |
| -18 | - | 6.64  | 7.48  | 8.48  | - | 6.68  | 3.28  | 5.08  | - | 8.58  | - | 8.58  | 8.88  | - | 10.68 | - | 9.08  | - | 9.88  | - | 6.98  | - | 4.68  | 1.28  | 0.52 | xxxx | 19.5 |      |
| -19 | - | 7.64  | 8.48  | 9.48  | - | 7.68  | 4.28  | 6.08  | - | 9.58  | - | 9.58  | 9.88  | - | 11.68 | - | 10.08 | - | 10.88 | - | 7.98  | - | 5.68  | 2.28  | 0.48 | xxxx | 20.5 |      |
| -20 | - | 8.64  | 9.48  | 10.48 | - | 8.68  | 5.28  | 7.08  | - | 10.58 | - | 10.58 | 10.88 | - | 12.68 | - | 11.08 | - | 11.88 | - | 8.98  | - | 6.68  | 3.28  | 1.48 | xxxx | 21.5 |      |
| -21 | - | 9.64  | 10.48 | 11.48 | - | 9.68  | 6.28  | 8.08  | - | 11.58 | - | 11.58 | 11.88 | - | 13.68 | - | 12.08 | - | 12.88 | - | 9.98  | - | 7.68  | 4.28  | 2.48 | xxxx | 22.5 |      |
| -22 | - | 10.64 | 11.48 | 12.48 | - | 10.68 | 7.28  | 9.08  | - | 12.58 | - | 12.58 | 12.88 | - | 14.68 | - | 13.08 | - | 13.88 | - | 10.98 | - | 8.68  | 5.28  | 3.48 | xxxx | 23.5 |      |
| -23 | - | 11.64 | 12.48 | 13.48 | - | 11.68 | 8.28  | 10.08 | - | 13.58 | - | 13.58 | 13.88 | - | 15.68 | - | 14.08 | - | 14.88 | - | 11.98 | - | 9.68  | 6.28  | 4.48 | xxxx | 24.5 |      |
| -24 | - | 12.64 | 13.48 | 14.48 | - | 12.68 | 9.28  | 11.08 | - | 14.58 | - | 14.58 | 14.88 | - | 16.68 | - | 15.08 | - | 15.88 | - | 12.98 | - | 10.68 | 7.28  | 5.48 | xxxx | 25.5 |      |
| -25 | - | 13.64 | 14.48 | 15.48 | - | 13.68 | 10.28 | 12.08 | - | 15.58 | - | 15.58 | 15.88 | - | 17.68 | - | 16.08 | - | 16.88 | - | 13.98 | - | 11.68 | -     | 8.28 | 6.48 | xxxx | 26.5 |
| -26 | - | 14.64 | 15.48 | 16.48 | - | 14.68 | 11.28 | 13.08 | - | 16.58 | - | 16.58 | 16.88 | - | 18.68 | - | 17.08 | - | 17.88 | - | 14.98 | - | 12.68 | 9.28  | 7.48 | xxxx | 27.5 |      |
| -27 | - | 15.64 | 16.48 | 17.48 | - | 15.68 | 12.28 | 14.08 | - | 17.58 | - | 17.58 | 17.88 | - | 19.68 | - | 18.08 | - | 18.88 | - | 15.98 | - | 13.68 | 10.28 | 8.48 | xxxx | 28.5 |      |
| -28 | - | 16.64 | 17.48 | 18.48 | - | 16.68 | 13.28 | 15.08 | - | 18.58 | - | 18.58 | 18.88 | - | 20.68 | - | 19.08 | - | 19.88 | - | 16.98 | - | 14.68 | 11.28 | 9.48 | xxxx | 29.5 |      |

L'nw=47  
dB

Tabla 75. L'nw de Bravo 3\_6\_n

Proyecto : Estudio al ruido ascendente por impacto

Autor: Gregorio Chacón Leiva

Tutor : Pedro Flores Domínguez-Rodiño

| Hz                | 100  | 125   | 160   | 200   | 250   | 315   | 400   | 500   | 630  | 800  | 1000 | 1250 | 1600 | 2000 | 2500 | 3125 | 4000                  |
|-------------------|------|-------|-------|-------|-------|-------|-------|-------|------|------|------|------|------|------|------|------|-----------------------|
| C.R Banda Inicial | 62   | 62    | 62    | 62    | 62    | 62    | 61    | 60    | 59   | 58   | 57   | 54   | 51   | 48   | 45   | 42   | xxxx                  |
| C.R.Banda Final   | 50   | 50    | 51    | 51    | 51    | 51    | 50    | 49    | 48   | 47   | 46   | 43   | 40   | 37   | 34   | 31   |                       |
| Bravo_3_7_n       | 52.1 | 51.8  | 51.5  | 50.7  | 48.0  | 49.5  | 52.5  | 51.6  | 50.5 | 51.3 | 48.8 | 47.7 | 42.7 | 38.2 | 36.4 | 33.2 | 32.1                  |
| 0                 | 9.86 | 10.22 | 10.52 | 11.32 | 14.02 | 12.52 | 8.52  | 8.42  | 8.52 | 6.72 | 8.22 | 6.32 | 8.32 | 9.82 | 8.62 | 8.82 | xxxx sin desviaciones |
| -1                | 8.86 | 9.22  | 9.52  | 10.32 | 13.02 | 11.52 | 7.52  | 7.42  | 7.52 | 5.72 | 7.22 | 5.32 | 7.32 | 8.82 | 7.62 | 7.82 | xxxx sin desviaciones |
| -2                | 7.86 | 8.22  | 8.52  | 9.32  | 12.02 | 10.52 | 6.52  | 6.42  | 6.52 | 4.72 | 6.22 | 4.32 | 6.32 | 7.82 | 6.62 | 6.82 | xxxx sin desviaciones |
| -3                | 6.86 | 7.22  | 7.52  | 8.32  | 11.02 | 9.52  | 5.52  | 5.42  | 5.52 | 3.72 | 5.22 | 3.32 | 5.32 | 6.82 | 5.62 | 5.82 | xxxx sin desviaciones |
| -4                | 5.86 | 6.22  | 6.52  | 7.32  | 10.02 | 8.52  | 4.52  | 4.42  | 4.52 | 2.72 | 4.22 | 2.32 | 4.32 | 5.82 | 4.62 | 4.82 | xxxx sin desviaciones |
| -5                | 4.86 | 5.22  | 5.52  | 6.32  | 9.02  | 7.52  | 3.52  | 3.42  | 3.52 | 1.72 | 3.22 | 1.32 | 3.32 | 4.82 | 3.62 | 3.82 | xxxx sin desviaciones |
| -6                | 3.86 | 4.22  | 4.52  | 5.32  | 8.02  | 6.52  | 2.52  | 2.42  | 2.52 | 0.72 | 2.22 | 0.32 | 2.32 | 3.82 | 2.62 | 2.82 | xxxx sin desviaciones |
| -7                | 2.86 | 3.22  | 3.52  | 4.32  | 7.02  | 5.52  | 1.52  | 1.42  | 1.52 | 0.28 | 1.22 | 0.68 | 1.32 | 2.82 | 1.62 | 1.82 | xxxx 0.7              |
| -8                | 1.86 | 2.22  | 2.52  | 3.32  | 6.02  | 4.52  | 0.52  | 0.42  | 0.52 | 1.28 | 0.22 | 1.68 | 0.32 | 1.82 | 0.62 | 0.82 | xxxx 4.5              |
| -9                | 0.86 | 1.22  | 1.52  | 2.32  | 5.02  | 3.52  | -0.48 | -0.58 | 0.48 | 2.28 | 0.78 | 2.68 | 0.68 | 0.82 | 0.38 | 0.18 | xxxx 10.6             |
| -10               | 0.14 | 0.22  | 0.52  | 1.32  | 4.02  | 2.52  | 1.48  | -1.58 | 1.48 | 3.28 | 1.78 | 3.68 | 1.68 | 0.18 | 1.38 | 1.18 | xxxx 11.5             |
| -11               | 1.14 | 0.78  | 0.48  | 0.32  | 3.02  | 1.52  | 2.48  | -2.58 | 2.48 | 4.28 | 2.78 | 4.68 | 2.68 | 1.18 | 2.38 | 2.18 | xxxx 13.6             |
| -12               | 2.14 | 1.78  | 1.48  | 0.68  | 2.02  | 0.52  | 3.48  | -3.58 | 3.48 | 5.28 | 3.78 | 5.68 | 3.68 | 2.18 | 3.38 | 3.18 | xxxx 14.8             |
| -13               | 3.14 | 2.78  | 2.48  | 1.68  | 1.02  | 0.48  | 4.48  | -4.58 | 4.48 | 6.28 | 4.78 | 6.68 | 4.68 | 3.18 | 4.38 | 4.18 | xxxx 16.0             |

Proyecto : Estudio al ruido ascendente por impacto

Autor: Gregorio Chacón Leiva

Tutor : Pedro Flores Domínguez-Rodiño

|     |   |       |       |       |       |       |       |       |      |       |       |       |       |      |       |       |       |       |       |      |      |      |      |      |      |      |      |      |      |
|-----|---|-------|-------|-------|-------|-------|-------|-------|------|-------|-------|-------|-------|------|-------|-------|-------|-------|-------|------|------|------|------|------|------|------|------|------|------|
| -14 | - | 4.14  | 3.78  | 3.48  | -     | 2.68  | 0.02  | 1.48  | -    | 5.48  | -     | 5.58  | 5.48  | -    | 7.28  | -     | 5.78  | -     | 7.68  | -    | 5.68 | -    | 4.18 | -    | 5.38 | -    | 5.18 | xxxx | 17.0 |
| -15 | - | 5.14  | 4.78  | 4.48  | 3.68  | 0.98  | 2.48  | -     | 6.48 | -     | 6.58  | 6.48  | -     | 8.28 | -     | 6.78  | -     | 8.68  | -     | 6.68 | -    | 5.18 | -    | 6.38 | -    | 6.18 | xxxx | 18.0 |      |
| -16 | - | 6.14  | 5.78  | 5.48  | 4.68  | 1.98  | 3.48  | 7.48  | -    | 7.58  | 7.48  | 9.28  | 7.78  | -    | 9.68  | -     | 7.68  | 6.18  | 7.38  | 7.18 | 7.18 | xxxx | 19.0 |      |      |      |      |      |      |
| -17 | - | 7.14  | 6.78  | 6.48  | 5.68  | 2.98  | 4.48  | 8.48  | -    | 8.58  | 8.48  | 10.28 | 8.78  | -    | 10.68 | 8.68  | 7.18  | 8.38  | 8.18  | xxxx | 20.0 |      |      |      |      |      |      |      |      |
| -18 | - | 8.14  | 7.78  | 7.48  | 6.68  | 3.98  | 5.48  | 9.48  | -    | 9.58  | 9.48  | 11.28 | 9.78  | -    | 11.68 | 9.68  | 8.18  | 9.38  | 9.18  | xxxx | 21.0 |      |      |      |      |      |      |      |      |
| -19 | - | 9.14  | 8.78  | 8.48  | 7.68  | 4.98  | 6.48  | 10.48 | -    | 10.58 | 10.48 | 12.28 | 10.78 | -    | 12.68 | 10.68 | 9.18  | 10.38 | 10.18 | xxxx | 22.0 |      |      |      |      |      |      |      |      |
| -20 | - | 10.14 | 9.78  | 9.48  | 8.68  | 5.98  | 7.48  | 11.48 | -    | 11.58 | 11.48 | 13.28 | 11.78 | -    | 13.68 | 11.68 | 10.18 | 11.38 | 11.18 | xxxx | 23.0 |      |      |      |      |      |      |      |      |
| -21 | - | 11.14 | 10.78 | 10.48 | 9.68  | 6.98  | 8.48  | 12.48 | -    | 12.58 | 12.48 | 14.28 | 12.78 | -    | 14.68 | 12.68 | 11.18 | 12.38 | 12.18 | xxxx | 24.0 |      |      |      |      |      |      |      |      |
| -22 | - | 12.14 | 11.78 | 11.48 | 10.68 | 7.98  | 9.48  | 13.48 | -    | 13.58 | 13.48 | 15.28 | 13.78 | -    | 15.68 | 13.68 | 12.18 | 13.38 | 13.18 | xxxx | 25.0 |      |      |      |      |      |      |      |      |
| -23 | - | 13.14 | 12.78 | 12.48 | 11.68 | 8.98  | 10.48 | 14.48 | -    | 14.58 | 14.48 | 16.28 | 14.78 | -    | 16.68 | 14.68 | 13.18 | 14.38 | 14.18 | xxxx | 26.0 |      |      |      |      |      |      |      |      |
| -24 | - | 14.14 | 13.78 | 13.48 | 12.68 | 9.98  | 11.48 | 15.48 | -    | 15.58 | 15.48 | 17.28 | 15.78 | -    | 17.68 | 15.68 | 14.18 | 15.38 | 15.18 | xxxx | 27.0 |      |      |      |      |      |      |      |      |
| -25 | - | 15.14 | 14.78 | 14.48 | 13.68 | 10.98 | 12.48 | 16.48 | -    | 16.58 | 16.48 | 18.28 | 16.78 | -    | 18.68 | 16.68 | 15.18 | 16.38 | 16.18 | xxxx | 28.0 |      |      |      |      |      |      |      |      |
| -26 | - | 16.14 | 15.78 | 15.48 | 14.68 | 11.98 | 13.48 | 17.48 | -    | 17.58 | 17.48 | 19.28 | 17.78 | -    | 19.68 | 17.68 | 16.18 | 17.38 | 17.18 | xxxx | 29.0 |      |      |      |      |      |      |      |      |
| -27 | - | 17.14 | 16.78 | 16.48 | 15.68 | 12.98 | 14.48 | 18.48 | -    | 18.58 | 18.48 | 20.28 | 18.78 | -    | 20.68 | 18.68 | 17.18 | 18.38 | 18.18 | xxxx | 30.0 |      |      |      |      |      |      |      |      |
| -28 | - | 18.14 | 17.78 | 17.48 | 16.68 | 13.98 | 15.48 | 19.48 | -    | 19.58 | 19.48 | 21.28 | 19.78 | -    | 21.68 | 19.68 | 18.18 | 19.38 | 19.18 | xxxx | 31.0 |      |      |      |      |      |      |      |      |

L'nw=48  
dB

Tabla 76. L'nw de Bravo 3\_7\_n

Proyecto : Estudio al ruido ascendente por impacto

Autor: Gregorio Chacón Leiva

Tutor : Pedro Flores Domínguez-Rodiño

| Hz                | 100  | 125  | 160   | 200   | 250   | 315   | 400  | 500   | 630  | 800   | 1000 | 1250  | 1600 | 2000  | 2500  | 3125  | 4000 |
|-------------------|------|------|-------|-------|-------|-------|------|-------|------|-------|------|-------|------|-------|-------|-------|------|
| C.R Banda Inicial | 62   | 62   | 62    | 62    | 62    | 62    | 61   | 60    | 59   | 58    | 57   | 54    | 51   | 48    | 45    | 42    | xxxx |
| C.R.Banda Final   | 50   | 50   | 51    | 51    | 51    | 51    | 50   | 49    | 48   | 47    | 46   | 43    | 40   | 37    | 34    | 31    |      |
| Bravo _3 _8 _n    | 54.1 | 52.9 | 52.0  | 50.9  | 46.7  | 50.0  | 51.2 | 51.3  | 51.0 | 52.3  | 49.9 | 48.0  | 42.2 | 36.7  | 30.5  | 25.8  | 22.6 |
| 0                 | 7.86 | 9.12 | 10.02 | 11.12 | 15.32 | 12.02 | 9.82 | 8.72  | 8.02 | 5.72  | 7.12 | 6.02  | 8.82 | 11.32 | 14.52 | 16.22 | xxxx |
| -1                | 6.86 | 8.12 | 9.02  | 10.12 | 14.32 | 11.02 | 8.82 | 7.72  | 7.02 | 4.72  | 6.12 | 5.02  | 7.82 | 10.32 | 13.52 | 15.22 | xxxx |
| -2                | 5.86 | 7.12 | 8.02  | 9.12  | 13.32 | 10.02 | 7.82 | 6.72  | 6.02 | 3.72  | 5.12 | 4.02  | 6.82 | 9.32  | 12.52 | 14.22 | xxxx |
| -3                | 4.86 | 6.12 | 7.02  | 8.12  | 12.32 | 9.02  | 6.82 | 5.72  | 5.02 | 2.72  | 4.12 | 3.02  | 5.82 | 8.32  | 11.52 | 13.22 | xxxx |
| -4                | 3.86 | 5.12 | 6.02  | 7.12  | 11.32 | 8.02  | 5.82 | 4.72  | 4.02 | 1.72  | 3.12 | 2.02  | 4.82 | 7.32  | 10.52 | 12.22 | xxxx |
| -5                | 2.86 | 4.12 | 5.02  | 6.12  | 10.32 | 7.02  | 4.82 | 3.72  | 3.02 | 0.72  | 2.12 | 1.02  | 3.82 | 6.32  | 9.52  | 11.22 | xxxx |
| -6                | 1.86 | 3.12 | 4.02  | 5.12  | 9.32  | 6.02  | 3.82 | 2.72  | 2.02 | -0.28 | 1.12 | 0.02  | 2.82 | 5.32  | 8.52  | 10.22 | xxxx |
| -7                | 0.86 | 2.12 | 3.02  | 4.12  | 8.32  | 5.02  | 2.82 | 1.72  | 1.02 | -1.28 | 0.12 | -0.98 | 1.82 | 4.32  | 7.52  | 9.22  | xxxx |
| -8                | 0.14 | 1.12 | 2.02  | 3.12  | 7.32  | 4.02  | 1.82 | 0.72  | 0.02 | -2.28 | 0.88 | -1.98 | 0.82 | 3.32  | 6.52  | 8.22  | xxxx |
| -9                | 1.14 | 0.12 | 1.02  | 2.12  | 6.32  | 3.02  | 0.82 | -0.28 | 0.98 | -3.28 | 1.88 | -2.98 | 0.18 | 2.32  | 5.52  | 7.22  | xxxx |
| -10               | 2.14 | 0.88 | 0.02  | 1.12  | 5.32  | 2.02  | 0.18 | -1.28 | 1.98 | -4.28 | 2.88 | -3.98 | 1.18 | 1.32  | 4.52  | 6.22  | xxxx |
| -11               | 3.14 | 1.88 | 0.98  | 0.12  | 4.32  | 1.02  | 1.18 | -2.28 | 2.98 | -5.28 | 3.88 | -4.98 | 2.18 | 0.32  | 3.52  | 5.22  | xxxx |
| -12               | 4.14 | 2.88 | 1.98  | 0.88  | 3.32  | 0.02  | 2.18 | -3.28 | 3.98 | -6.28 | 4.88 | -5.98 | 3.18 | 0.68  | 2.52  | 4.22  | xxxx |
| -13               | 5.14 | 3.88 | 2.98  | 1.88  | 2.32  | -0.98 | 3.18 | -4.28 | 4.98 | -7.28 | 5.88 | -6.98 | 4.18 | 1.68  | 1.52  | 3.22  | xxxx |
| -14               | -    | -    | -     | -     | -     | -     | -    | -5.28 | -    | -     | -    | -     | -    | -     | -     | -     | xxxx |

Proyecto : Estudio al ruido ascendente por impacto

Autor: Gregorio Chacón Leiva

Tutor : Pedro Flores Domínguez-Rodríguez

|     |       |       |       |      |      |      |       |   |       |       |       |       |      |       |       |       |      |           |           |
|-----|-------|-------|-------|------|------|------|-------|---|-------|-------|-------|-------|------|-------|-------|-------|------|-----------|-----------|
|     | 6.14  | 4.88  | 3.98  | 2.88 | 1.32 | 1.98 | 4.18  |   | 5.98  | 8.28  | 6.88  | 7.98  | 5.18 | 2.68  | 0.52  | 2.22  |      | 16.7      |           |
| -15 | -     | -     | -     | -    | 0.32 | 2.98 | 5.18  | - | 6.28  | 6.98  | 9.28  | 7.88  | -    | 8.98  | 6.18  | 3.68  | 0.48 | 1.22      | xxxx 17.7 |
| -16 | 7.14  | 5.88  | 4.98  | 3.88 |      | 2.98 | 5.18  | - | 6.28  | 7.98  | 10.28 | 8.88  | -    | 9.98  | 7.18  | 4.68  | 1.48 | 0.22      | xxxx 18.8 |
| -17 | -     | -     | -     | -    | -    | -    | -     | - | 7.28  | -     | -     | -     | -    | -     | -     | -     | -    | xxxx 19.8 |           |
| -18 | 8.14  | 6.88  | 5.98  | 4.88 | 0.68 | 3.98 | 6.18  | - | 8.28  | 8.98  | 11.28 | 9.88  | -    | 10.98 | 8.18  | 5.68  | 2.48 | 0.78      | xxxx 20.8 |
| -19 | -     | -     | -     | -    | -    | -    | -     | - | -     | -     | -     | -     | -    | -     | -     | -     | -    | xxxx 21.8 |           |
| -20 | 9.14  | 7.88  | 6.98  | 5.88 | 1.68 | 4.98 | 7.18  | - | 9.28  | 9.98  | 12.28 | 10.88 | -    | 11.98 | 9.18  | 6.68  | 3.48 | 1.78      | xxxx 22.8 |
| -21 | -     | -     | -     | -    | -    | -    | -     | - | -     | -     | -     | -     | -    | -     | -     | -     | -    | xxxx 23.8 |           |
| -22 | 10.14 | 8.88  | 7.98  | 6.88 | 2.68 | 5.98 | 8.18  | - | 10.28 | 10.98 | 13.28 | 11.88 | -    | 12.98 | 10.18 | 7.68  | 4.48 | 2.78      | xxxx 24.8 |
| -23 | -     | -     | -     | -    | -    | -    | -     | - | -     | -     | -     | -     | -    | -     | -     | -     | -    | xxxx 25.8 |           |
| -24 | 11.14 | 9.88  | 8.98  | 7.88 | 3.68 | 6.98 | 9.18  | - | 11.28 | 11.98 | 14.28 | 12.88 | -    | 13.98 | 11.18 | 8.68  | 5.48 | 3.78      | xxxx 26.8 |
| -25 | -     | -     | -     | -    | -    | -    | -     | - | -     | -     | -     | -     | -    | -     | -     | -     | -    | xxxx 27.8 |           |
| -26 | 12.14 | 10.88 | 9.98  | 8.88 | 4.68 | 7.98 | 10.18 | - | 12.28 | 12.98 | 15.28 | 13.88 | -    | 14.98 | 12.18 | 9.68  | 6.48 | 4.78      | xxxx 28.8 |
| -27 | -     | -     | -     | -    | -    | -    | -     | - | -     | -     | -     | -     | -    | -     | -     | -     | -    | xxxx 29.8 |           |
| -28 | 13.14 | 11.88 | 10.98 | 9.88 | 5.68 | 8.98 | 11.18 | - | 13.28 | 13.98 | 16.28 | 14.88 | -    | 15.98 | 13.18 | 10.68 | 7.48 | 5.78      | xxxx 30.8 |
| -29 | -     | -     | -     | -    | -    | -    | -     | - | -     | -     | -     | -     | -    | -     | -     | -     | -    | xxxx 31.8 |           |

L'nw=48  
dB

Tabla 77. L'nw de Bravo 3\_8\_n

*Proyecto :* Estudio al ruido ascendente por impacto

*Autor:* Gregorio Chacón Leiva

*Tutor :* Pedro Flores Domínguez-Rodiño

## 9.5 Anexo 5. Calculo de Alfa\_n revestido para la obtención de ALw

Cada punto de medida tiene cuatro filas de datos en la parte superior, la primera (**rojo**) corresponde al espectro de frecuencias ya sea en banda de octava, o de tercio de octava. La segunda corresponde a la banda de referencia en sus valores iniciales (**azul**), la tercera a los finales (**naranja**), y la última los valores experimentales en dicho punto (**amarillo**).

El algoritmo se basa en ir reduciendo decibelio a decibelio la banda de valores iniciales, eso puede verse en la columna de la izquierda(**púrpura**) que se encuentra numerada, señalando cuantos valores se ha reducido la banda inicial en cada momento.

Cuando los valores se hacen negativos (**gris**), es decir la banda de referencia corta a los datos experimentales, se empieza a contabilizar la suma de los mismos, quedando reflejado en la columna de la izquierda (**verde**), llamándose a esto “desviaciones desfavorables”. Dichas desviaciones deben ser “máximas” pero no mayores de 32 dB.

Para saber el punto de corte, se mira cuando la suma de decibelios se estabiliza, es decir, cuando al bajar la banda de referencia 1 dB la suma aumenta en un decibelio, y se toma como punto de corte el valor anterior a este, esto queda reflejado por una fila de color **rosa** que determina el valor de  $L'_{nT,w}$  el cual se encuentra en una celda en la parte inferior de cada tabla de datos.

Proyecto : Estudio al ruido ascendente por impacto

Autor: Gregorio Chacón Leiva

Tutor : Pedro Flores Domínguez-Rodiño

| Hz                | 125   | 250   | 500   | 1000  | 2000  | 4000  |                  |
|-------------------|-------|-------|-------|-------|-------|-------|------------------|
| C.R Banda inicial | 67    | 69    | 70.5  | 72    | 72    |       |                  |
| C.R Banda final   | 60.00 | 62.00 | 63.50 | 65.00 | 65.00 |       |                  |
| Alfa_1_1_n        | 62.47 | 65.67 | 68.77 | 67.67 | 65.47 | 68.41 |                  |
| 0                 | 4.5   | 3.3   | 1.7   | 4.3   | 6.5   | xxxx  | sin desviaciones |
| -1                | 3.5   | 2.3   | 0.7   | 3.3   | 5.5   | xxxx  | sin desviaciones |
| -2                | 2.5   | 1.3   | - 0.3 | 2.3   | 4.5   | xxxx  | 0.3              |
| -3                | 1.5   | 0.3   | - 1.3 | 1.3   | 3.5   | xxxx  | 1.3              |
| -4                | 0.5   | - 0.7 | - 2.3 | 0.3   | 2.5   | xxxx  | 4.6              |
| -5                | - 0.5 | - 1.7 | - 3.3 | - 0.7 | 1.5   | xxxx  | 8.0              |
| -6                | - 1.5 | - 2.7 | - 4.3 | - 1.7 | 0.5   | xxxx  | 8.7              |
| -7                | - 2.5 | - 3.7 | - 5.3 | - 2.7 | - 0.5 | xxxx  | 9.6              |
| L'nw= 59 dB       |       |       |       |       |       |       |                  |

Tabla 78. L'nw de Alfa\_1\_1\_n revestido

Proyecto : Estudio al ruido ascendente por impacto

Autor: Gregorio Chacón Leiva

Tutor : Pedro Flores Domínguez-Rodiño

| Hz                | 100   | 125   | 160   | 200   | 250   | 315   | 400   | 500   | 630   | 800   | 1000  | 1250  | 1600  | 2000  | 2500  | 3125  | 4000      |
|-------------------|-------|-------|-------|-------|-------|-------|-------|-------|-------|-------|-------|-------|-------|-------|-------|-------|-----------|
| C.R Banda Inicial | 67    | 67.5  | 68    | 68.5  | 69    | 69.5  | 70    | 70.5  | 71    | 71.5  | 72    | 72    | 72    | 72    | 72    | 72    | xxxx      |
| C.R Banda final   | 57.00 | 57.50 | 58.00 | 58.50 | 59.00 | 59.50 | 60.00 | 60.50 | 61.00 | 61.50 | 62.00 | 62.00 | 62.00 | 62.00 | 62.00 | 62.00 |           |
| Alfa_2_1_n        | 54.07 | 51.27 | 55.57 | 56.37 | 56.87 | 62.17 | 62.77 | 60.67 | 61.27 | 57.67 | 56.57 | 57.87 | 56.47 | 55.07 | 53.47 | 48.27 | 43.17     |
| 0                 | 12.93 | 16.23 | 12.43 | 12.13 | 12.13 | 7.33  | 7.23  | 9.83  | 9.73  | 13.83 | 15.43 | 14.13 | 15.53 | 16.93 | 18.53 | 23.73 | xxxx      |
| -1                | 11.93 | 15.23 | 11.43 | 11.13 | 11.13 | 6.33  | 6.23  | 8.83  | 8.73  | 12.83 | 14.43 | 13.13 | 14.53 | 15.93 | 17.53 | 22.73 | xxxx      |
| -2                | 10.93 | 14.23 | 10.43 | 10.13 | 10.13 | 5.33  | 5.23  | 7.83  | 7.73  | 11.83 | 13.43 | 12.13 | 13.53 | 14.93 | 16.53 | 21.73 | xxxx      |
| -3                | 9.93  | 13.23 | 9.43  | 9.13  | 9.13  | 4.33  | 4.23  | 6.83  | 6.73  | 10.83 | 12.43 | 11.13 | 12.53 | 13.93 | 15.53 | 20.73 | xxxx      |
| -4                | 8.93  | 12.23 | 8.43  | 8.13  | 8.13  | 3.33  | 3.23  | 5.83  | 5.73  | 9.83  | 11.43 | 10.13 | 11.53 | 12.93 | 14.53 | 19.73 | xxxx      |
| -5                | 7.93  | 11.23 | 7.43  | 7.13  | 7.13  | 2.33  | 2.23  | 4.83  | 4.73  | 8.83  | 10.43 | 9.13  | 10.53 | 11.93 | 13.53 | 18.73 | xxxx      |
| -6                | 6.93  | 10.23 | 6.43  | 6.13  | 6.13  | 1.33  | 1.23  | 3.83  | 3.73  | 7.83  | 9.43  | 8.13  | 9.53  | 10.93 | 12.53 | 17.73 | xxxx      |
| -7                | 5.93  | 9.23  | 5.43  | 5.13  | 5.13  | 0.33  | 0.23  | 2.83  | 2.73  | 6.83  | 8.43  | 7.13  | 8.53  | 9.93  | 11.53 | 16.73 | xxxx      |
| -8                | 4.93  | 8.23  | 4.43  | 4.13  | 4.13  | -     | 0.67  | 0.77  | 1.83  | 1.73  | 5.83  | 7.43  | 6.13  | 7.53  | 8.93  | 10.53 | 15.73     |
| -9                | 3.93  | 7.23  | 3.43  | 3.13  | 3.13  | 1.67  | 1.77  | 0.83  | 0.73  | 4.83  | 6.43  | 5.13  | 6.53  | 7.93  | 9.53  | 14.73 | xxxx      |
| -10               | 2.93  | 6.23  | 2.43  | 2.13  | 2.13  | 2.67  | 2.77  | 0.17  | 0.27  | 3.83  | 5.43  | 4.13  | 5.53  | 6.93  | 8.53  | 13.73 | xxxx      |
|                   |       |       |       |       |       |       |       |       |       |       |       |       |       |       |       |       | 7.7       |
|                   |       |       |       |       |       |       |       |       |       |       |       |       |       |       |       |       | L'nw=60dB |

Tabla 79. L'nw de Alfa\_2\_1\_n revestido

Proyecto : Estudio al ruido ascendente por impacto

Autor: Gregorio Chacón Leiva

Tutor : Pedro Flores Domínguez-Rodiño

| Hz                | 100   | 125   | 160  | 200  | 250  | 315  | 400  | 500  | 630  | 800  | 1000 | 1250 | 1600  | 2000 | 2500  | 3125  | 4000           |
|-------------------|-------|-------|------|------|------|------|------|------|------|------|------|------|-------|------|-------|-------|----------------|
| C.R Banda Inicial | 67    | 67.5  | 68   | 68.5 | 69   | 69.5 | 70   | 70.5 | 71   | 71.5 | 72   | 72   | 72    | 72   | 72    | 72    | xxxx           |
| C.R Banda final   | 60    | 60.5  | 61   | 61.5 | 62   | 62.5 | 63   | 63.5 | 64   | 64.5 | 65   | 65   | 65    | 65   | 65    | 65    |                |
| Alfa_3_1_n        | 54.93 | 55.8  | 63.2 | 63.7 | 64.4 | 68.4 | 70.1 | 67.7 | 67.5 | 66.8 | 64.7 | 63.1 | 61.8  | 63.8 | 60.7  | 60.8  | 56.2           |
| 0                 | 12.07 | 11.73 | 4.83 | 4.83 | 4.63 | 1.13 | 0.07 | 2.83 | 3.53 | 4.73 | 7.33 | 8.93 | 10.23 | 8.23 | 10.33 | 11.23 | xxxx 0.1       |
| -1                | 11.07 | 10.73 | 3.83 | 3.83 | 3.63 | 0.13 | -    | 1.07 | 1.83 | 2.53 | 3.73 | 6.33 | 7.93  | 9.23 | 7.23  | 10.33 | 10.23 xxxx 1.1 |
| -2                | 10.07 | 9.73  | 2.83 | 2.83 | 2.63 | 0.87 | 2.07 | 0.83 | 1.53 | 2.73 | 5.33 | 6.93 | 8.23  | 6.23 | 9.33  | 9.23  | xxxx 4.5       |
| -3                | 9.07  | 8.73  | 1.83 | 1.83 | 1.63 | 1.87 | 3.07 | 0.17 | 0.53 | 1.73 | 4.33 | 5.93 | 7.23  | 5.23 | 8.33  | 8.23  | xxxx 6.6       |
| -4                | 8.07  | 7.73  | 0.83 | 0.83 | 0.63 | 2.87 | 4.07 | 1.17 | 0.47 | 0.73 | 3.33 | 4.93 | 6.23  | 4.23 | 7.33  | 7.23  | xxxx 8.0       |
| -5                | 7.07  | 6.73  | 0.17 | 0.17 | 0.37 | 3.87 | 5.07 | 2.17 | 1.47 | 0.27 | 2.33 | 3.93 | 5.23  | 3.23 | 6.33  | 6.23  | xxxx 10.8      |
| -6                | 6.07  | 5.73  | 1.17 | 1.17 | 1.37 | 4.87 | 6.07 | 3.17 | 2.47 | 1.27 | 1.33 | 2.93 | 4.23  | 2.23 | 5.33  | 5.23  | xxxx 11.7      |
| -7                | 5.07  | 4.73  | -    | -    | 2.37 | 5.87 | 7.07 | 4.17 | 3.47 | 2.27 | 0.33 | 1.93 | 3.23  | 1.23 | 4.33  | 4.23  | xxxx 12.6      |
| -8                | 4.07  | 3.73  | 3.17 | 3.17 | 3.37 | 6.87 | 8.07 | 5.17 | 4.47 | 3.27 | 0.67 | 0.93 | 2.23  | 0.23 | 3.33  | 3.23  | xxxx 13.6      |
| L'nw= 63 dB       |       |       |      |      |      |      |      |      |      |      |      |      |       |      |       |       |                |

Tabla 80. L'nw de Alfa\_3\_1\_n revestido

Proyecto : Estudio al ruido ascendente por impacto

Autor: Gregorio Chacón Leiva

Tutor : Pedro Flores Domínguez-Rodiño

| Hz                | 100  | 125  | 160  | 200   | 250  | 315   | 400  | 500  | 630  | 800   | 1000  | 1250  | 1600  | 2000  | 2500  | 3125  | 4000                  |
|-------------------|------|------|------|-------|------|-------|------|------|------|-------|-------|-------|-------|-------|-------|-------|-----------------------|
| C.R Banda Inicial | 67   | 67.5 | 68   | 68.5  | 69   | 69.5  | 70   | 70.5 | 71   | 71.5  | 72    | 72    | 72    | 72    | 72    | 72    | xxxx                  |
| C.R Banda final   | 56   | 49.5 | 50   | 50.5  | 51   | 51.5  | 52   | 52.5 | 53   | 53.5  | 54    | 54    | 54    | 54    | 54    | 54    |                       |
| Alfa_4_1_n        | 61.1 | 61.0 | 58.7 | 58.0  | 60.2 | 63.9  | 63.7 | 63.8 | 61.8 | 60.8  | 61.1  | 60.6  | 58.8  | 59.8  | 61.2  | 58.3  | 54.1                  |
| 0                 | 5.87 | 6.53 | 9.33 | 10.53 | 8.83 | 5.63  | 6.33 | 6.73 | 9.23 | 10.73 | 10.93 | 11.43 | 13.23 | 12.23 | 9.83  | 13.73 | xxxx sin desviaciones |
| -1                | 4.87 | 5.53 | 8.33 | 9.53  | 7.83 | 4.63  | 5.33 | 5.73 | 8.23 | 9.73  | 9.93  | 10.43 | 12.23 | 11.23 | 9.83  | 12.73 | xxxx sin desviaciones |
| -2                | 3.87 | 4.53 | 7.33 | 8.53  | 6.83 | 3.63  | 4.33 | 4.73 | 7.23 | 8.73  | 8.93  | 9.43  | 11.23 | 10.23 | 8.83  | 11.73 | xxxx sin desviaciones |
| -3                | 2.87 | 3.53 | 6.33 | 7.53  | 5.83 | 2.63  | 3.33 | 3.73 | 6.23 | 7.73  | 7.93  | 8.43  | 10.23 | 9.23  | 7.83  | 10.73 | xxxx sin desviaciones |
| -4                | 1.87 | 2.53 | 5.33 | 6.53  | 4.83 | 1.63  | 2.33 | 2.73 | 5.23 | 6.73  | 6.93  | 7.43  | 9.23  | 8.23  | 6.83  | 9.73  | xxxx sin desviaciones |
| -5                | 0.87 | 1.53 | 4.33 | 5.53  | 3.83 | 0.63  | 1.33 | 1.73 | 4.23 | 5.73  | 5.93  | 6.43  | 8.23  | 7.23  | 5.83  | 8.73  | xxxx sin desviaciones |
| -6                | 0.13 | 0.53 | 3.33 | 4.53  | 2.83 | -0.37 | 0.33 | 0.73 | 3.23 | 4.73  | 4.93  | 5.43  | 7.23  | 6.23  | 4.83  | 7.73  | xxxx 0.0              |
| -7                | 1.13 | 0.47 | 2.33 | 3.53  | 1.83 | 1.37  | 0.67 | 0.27 | 2.23 | 3.73  | 3.93  | 4.43  | 6.23  | 5.23  | 3.83  | 6.73  | xxxx 7.7              |
| -8                | 2.13 | 1.47 | 1.33 | 2.53  | 0.83 | 2.37  | 1.67 | 1.27 | 1.23 | 2.73  | 2.93  | 3.43  | 5.23  | 4.23  | 2.83  | 5.73  | xxxx 10.3             |
| -9                | 3.13 | 2.47 | 0.33 | 1.53  | 0.17 | 3.37  | 2.67 | 2.27 | 0.23 | 1.73  | 1.93  | 2.43  | 4.23  | 3.23  | 1.83  | 4.73  | xxxx 9.3              |
| -10               | 4.13 | 3.47 | 0.67 | 0.53  | 1.17 | 4.37  | 3.67 | 3.27 | 0.77 | 0.73  | 0.93  | 1.43  | 3.23  | 2.23  | 0.83  | 3.73  | xxxx 11.9             |
| -11               | 5.13 | 4.47 | 1.67 | 0.47  | 2.17 | 5.37  | 4.67 | 4.27 | 1.77 | 0.27  | 0.07  | 0.43  | 2.23  | 1.23  | -0.17 | 2.73  | xxxx 13.3             |
| -12               | 6.13 | 5.47 | 2.67 | 1.47  | 3.17 | 6.37  | 5.67 | 5.27 | 2.77 | 1.27  | 1.07  | 0.57  | 1.23  | 0.23  | 1.17  | 1.73  | xxxx 14.4             |

L'nw=  
59 dB

*Proyecto :* Estudio al ruido ascendente por impacto

*Autor:* Gregorio Chacón Leiva

*Tutor :* Pedro Flores Domínguez-Rodiño

Tabla 81.  $L'_{nw}$  de Alfa\_3\_1\_n revestido

*Proyecto :* Estudio al ruido ascendente por impacto

*Autor:* Gregorio Chacón Leiva

*Tutor :* Pedro Flores Domínguez-Rodiño

## **9.6 Anexo 6. Datos y cálculos para las ecuaciones de Mateus y Santos**

Los valores de este anexo hacen referencia al estudio para la validación de las ecuaciones propuestas por Mateus y Santos.

Proyecto : Estudio al ruido ascendente por impacto

Autor: Gregorio Chacón Leiva

Tutor : Pedro Flores Domínguez-Rodiño

|                        | Bravo_1_1_n | Bravo_1_2_n | Bravo_1_3_n | Bravo_1_4_n | Bravo_1_5_n | Bravo_1_6_n | Bravo_1_7_n | Bravo_1_8_n |
|------------------------|-------------|-------------|-------------|-------------|-------------|-------------|-------------|-------------|
| L'nw exp               | 50.00       | 51.00       | 52.00       | 49.00       | 48.00       | 49.00       | 50.00       | 49.00       |
| ΔLw 1                  | 10.60       | 10.60       | 10.60       | 10.60       | 10.60       | 10.60       | 10.60       | 10.60       |
| L'nw ec.1 Kinv max     | 61.55       | 61.55       | 61.55       | 61.55       | 61.55       | 61.55       | 61.55       | 61.55       |
| L'nw ec.1 Kinv min     | 59.55       | 59.55       | 59.55       | 59.55       | 59.55       | 59.55       | 59.55       | 59.55       |
| % error Kinv max 1     | - 18.77     | - 17.14     | - 15.52     | - 20.39     | - 22.01     | - 20.39     | - 18.77     | - 20.39     |
| % error Kinv min 1     | - 16.04     | - 14.36     | - 12.68     | - 17.72     | - 19.40     | - 17.72     | - 16.04     | - 17.72     |
| ΔLw 2                  | 18.75       | 18.75       | 18.75       | 18.75       | 18.75       | 18.75       | 18.75       | 18.75       |
| L'nw ec.2 Kinv max     | 53.40       | 53.40       | 53.40       | 53.40       | 53.40       | 53.40       | 53.40       | 53.40       |
| L'nw ec.2 Kinv min     | 51.40       | 51.40       | 51.40       | 51.40       | 51.40       | 51.40       | 51.40       | 51.40       |
| % error Kinv max 2     | - 6.37      | - 4.49      | - 2.62      | - 8.24      | - 10.11     | - 8.24      | - 6.37      | - 8.24      |
| % error Kinv min 2     | - 2.72      | - 0.78      | 1.17        | - 4.67      | - 6.61      | - 4.67      | - 2.72      | - 4.67      |
| ΔLw medio              | 14.70       | 14.70       | 14.70       | 14.70       | 14.70       | 14.70       | 14.70       | 14.70       |
| L'nw medio ec.Kinv max | 57.45       | 57.45       | 57.45       | 57.45       | 57.45       | 57.45       | 57.45       | 57.45       |
| L'nw medio ec.Kinv min | 55.45       | 55.45       | 55.45       | 55.45       | 55.45       | 55.45       | 55.45       | 55.45       |
| % error max Kinv medio | - 12.97     | - 11.23     | - 9.49      | - 14.71     | - 16.45     | - 14.71     | - 12.97     | - 14.71     |
| % error min Kinv medio | - 9.83      | - 8.03      | - 6.22      | - 11.63     | - 13.44     | - 11.63     | - 9.83      | - 11.63     |

Tabla 82. Tabla comparativa de la validación de Mateus y Santos por los 3 métodos para la familia de datos Bravo 1

Proyecto : Estudio al ruido ascendente por impacto

Autor: Gregorio Chacón Leiva

Tutor : Pedro Flores Domínguez-Rodiño

|                        | Bravo_2_1_n | Bravo_2_2_n | Bravo_2_3_n | Bravo_2_4_n | Bravo_2_5_n | Bravo_2_6_n | Bravo_2_7_n | Bravo_2_8_n |
|------------------------|-------------|-------------|-------------|-------------|-------------|-------------|-------------|-------------|
| L'nw exp               | 49.00       | 49.00       | 49.00       | 49.00       | 48.00       | 47.00       | 48.00       | 46.00       |
| ΔLw 1                  | 10.60       | 10.60       | 10.60       | 10.60       | 10.60       | 10.60       | 10.60       | 10.60       |
| L'nw ec.1 max          | 61.55       | 61.55       | 61.55       | 61.55       | 61.55       | 61.55       | 61.55       | 61.55       |
| L'nw ec.1 min          | 59.55       | 59.55       | 59.55       | 59.55       | 59.55       | 59.55       | 59.55       | 59.55       |
| % error max 1          | - 20.39     | - 20.39     | - 20.39     | - 20.39     | - 22.01     | - 23.64     | - 22.01     | - 25.26     |
| % error min 1          | - 17.72     | - 17.72     | - 17.72     | - 17.72     | - 19.40     | - 21.07     | - 19.40     | - 22.75     |
| ΔLw 2                  | 18.75       | 18.75       | 18.75       | 18.75       | 18.75       | 18.75       | 18.75       | 18.75       |
| L'nw ec.2 Kinv max     | 53.40       | 53.40       | 53.40       | 53.40       | 53.40       | 53.40       | 53.40       | 53.40       |
| L'nw ec.2 Kinv min     | 51.40       | 51.40       | 51.40       | 51.40       | 51.40       | 51.40       | 51.40       | 51.40       |
| % error max 2          | - 8.24      | - 8.24      | - 8.24      | - 8.24      | - 10.11     | - 11.99     | - 10.11     | - 13.86     |
| % error min 2          | - 4.67      | - 4.67      | - 4.67      | - 4.67      | - 6.61      | - 8.56      | - 6.61      | - 10.51     |
| ΔLw medio              | 14.70       | 14.70       | 14.70       | 14.70       | 14.70       | 14.70       | 14.70       | 14.70       |
| L'nw medio ec.Kinv max | 57.45       | 57.45       | 57.45       | 57.45       | 57.45       | 57.45       | 57.45       | 57.45       |
| L'nw medio ec.Kinv min | 55.45       | 55.45       | 55.45       | 55.45       | 55.45       | 55.45       | 55.45       | 55.45       |
| % error max medio      | - 14.71     | - 14.71     | - 14.71     | - 14.71     | - 16.45     | - 18.19     | - 16.45     | - 19.93     |
| % error min medio      | - 11.63     | - 11.63     | - 11.63     | - 11.63     | - 13.44     | - 15.24     | - 13.44     | - 17.04     |

Tabla 83. Tabla comparativa de la validación de Mateus y Santos por los 3 métodos para la familia de datos Bravo 2

Proyecto : Estudio al ruido ascendente por impacto

Autor: Gregorio Chacón Leiva

Tutor : Pedro Flores Domínguez-Rodiño

|                        | Bravo_3_1_n | Bravo_3_2_n | Bravo_3_3_n | Bravo_3_4_n | Bravo_3_5_n | Bravo_3_6_n | Bravo_3_7_n | Bravo_3_8_n |
|------------------------|-------------|-------------|-------------|-------------|-------------|-------------|-------------|-------------|
| L'nw exp               | 48.00       | 48.00       | 48.00       | 48.00       | 48.00       | 47.00       | 48.00       | 48.00       |
| ΔLw 1                  | 10.60       | 10.60       | 10.60       | 10.60       | 10.60       | 10.60       | 10.60       | 10.60       |
| L'nw ec.1 max          | 61.55       | 61.55       | 61.55       | 61.55       | 61.55       | 61.55       | 61.55       | 61.55       |
| L'nw ec.1 min          | 59.55       | 59.55       | 59.55       | 59.55       | 59.55       | 59.55       | 59.55       | 59.55       |
| % error max 1          | - 22.01     | - 22.01     | - 22.01     | - 22.01     | - 22.01     | - 23.64     | - 22.01     | - 22.01     |
| % error min 1          | - 19.40     | - 19.40     | - 19.40     | - 19.40     | - 19.40     | - 21.07     | - 19.40     | - 19.40     |
| ΔLw 2                  | 18.75       | 18.75       | 18.75       | 18.75       | 18.75       | 18.75       | 18.75       | 18.75       |
| L'nw ec.2 Kinv max     | 53.40       | 53.40       | 53.40       | 53.40       | 53.40       | 53.40       | 53.40       | 53.40       |
| L'nw ec.2 Kinv min     | 51.40       | 51.40       | 51.40       | 51.40       | 51.40       | 51.40       | 51.40       | 51.40       |
| % error max 2          | - 10.11     | - 10.11     | - 10.11     | - 10.11     | - 10.11     | - 11.99     | - 10.11     | - 10.11     |
| % error min 2          | - 6.61      | - 6.61      | - 6.61      | - 6.61      | - 6.61      | - 8.56      | - 6.61      | - 6.61      |
| ΔLw medio              | 14.70       | 14.70       | 14.70       | 14.70       | 14.70       | 14.70       | 14.70       | 14.70       |
| L'nw medio ec.Kinv max | 57.45       | 57.45       | 57.45       | 57.45       | 57.45       | 57.45       | 57.45       | 57.45       |
| L'nw medio ec.Kinv min | 55.45       | 55.45       | 55.45       | 55.45       | 55.45       | 55.45       | 55.45       | 55.45       |
| % error max medio      | - 16.45     | - 16.45     | - 16.45     | - 16.45     | - 16.45     | - 18.19     | - 16.45     | - 16.45     |
| % error min medio      | - 13.44     | - 13.44     | - 13.44     | - 13.44     | - 13.44     | - 15.24     | - 13.44     | - 13.44     |

Tabla 82. Tabla comparativa de la validación de Mateus y Santos por los 3 métodos para la familia de datos Bravo 3

Proyecto : Estudio al ruido ascendente por impacto

Autor: Gregorio Chacón Leiva

Tutor : Pedro Flores Domínguez-Rodiño

|                        | Bravo_4_1_n | Bravo_4_2_n | Bravo_4_3_n | Bravo_4_4_n |
|------------------------|-------------|-------------|-------------|-------------|
| L'nw exp               | 46.00       | 44.00       | 45.00       | 46.00       |
| ΔLw 1                  | 10.60       | 10.60       | 10.60       | 10.60       |
| L'nw ec.1 Kinv max     | 61.55       | 61.55       | 61.55       | 61.55       |
| L'nw ec.1Kinv min      | 59.55       | 59.55       | 59.55       | 59.55       |
| % error max 1          | - 25.26     | - 28.51     | - 26.89     | - 25.26     |
| % error min 1          | - 22.75     | - 26.11     | - 24.43     | - 22.75     |
| ΔLw 2                  | 18.75       | 18.75       | 18.75       | 18.75       |
| L'nw ec.2 Kinv max     | 53.40       | 53.40       | 53.40       | 53.40       |
| L'nw ec.2 Kinv min     | 51.40       | 51.40       | 51.40       | 51.40       |
| % error max 2          | - 13.86     | - 17.60     | - 15.73     | - 13.86     |
| % error min 2          | - 10.51     | - 14.40     | - 12.45     | - 10.51     |
| ΔLw medio              | 14.70       | 14.70       | 14.70       | 14.70       |
| L'nw medio ec.Kinv max | 57.45       | 57.45       | 57.45       | 57.45       |
| L'nw medio ec.Kinv mix | 55.45       | 55.45       | 55.45       | 55.45       |
| % error max medio      | - 19.93     | - 23.41     | - 21.67     | - 19.93     |
| % error min medio      | - 17.04     | - 20.65     | - 18.85     | - 17.04     |

Tabla 82. Tabla comparativa de la validación de Mateus y Santos por los 3 métodos para la familia de datos Bravo 4

Proyecto : Estudio al ruido ascendente por impacto

Autor: Gregorio Chacón Leiva

Tutor : Pedro Flores Domínguez-Rodiño

| $L'_{nw}$ exp | % error max 1 | % error min 1 | % error max 2 | % error min 2 | % error max medio | % error min medio |
|---------------|---------------|---------------|---------------|---------------|-------------------|-------------------|
| 44            | -28.51        | -26.11        | -17.6         | -14.4         | -23.41            | -20.65            |
| 45            | -26.89        | -24.43        | -15.73        | -12.45        | -21.67            | -18.85            |
| 46            | -25.26        | -22.75        | -13.86        | -10.51        | -19.93            | -17.04            |
| 47            | -23.64        | -21.07        | -11.99        | -8.56         | -18.19            | -15.24            |
| 48            | -22.01        | -19.4         | -10.11        | -6.61         | -16.45            | -13.44            |
| 49            | -20.39        | -17.72        | -8.24         | -4.67         | -14.71            | -11.63            |
| 50            | -18.77        | -16.04        | -6.37         | -2.72         | -12.97            | -9.83             |
| 51            | -17.14        | -14.36        | -4.49         | -0.79         | -11.23            | -8.03             |
| 52            | -15.52        | -12.68        | -2.62         | 1.17          | -9.49             | -6.22             |

Tabla 82. Tabla comparativa de la validación de Mateus y Santos por los 3 métodos para el rango de  $L'_{nw}$  experimental

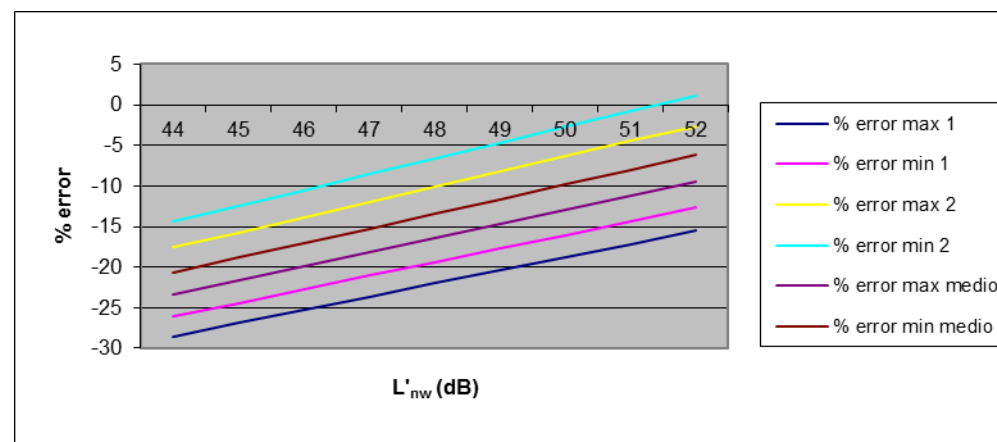


Figura 47. Gráfica de error comparativa de los 3 métodos.

*Proyecto :* Estudio al ruido ascendente por impacto

*Autor:* Gregorio Chacón Leiva

*Tutor :* Pedro Flores Domínguez-Rodiño

## **9.7 Anexo 7. Informes de impacto acústico experimentales**

En este anexo se adjuntan todos los informes de impacto acústico experimentales de acuerdo a la normativa vigente. Se adjuntan un total de 27 informes realizados a lo largo del proyecto.

*Proyecto : Estudio al ruido ascendente por impacto*

*Autor: Gregorio Chacón Leiva*

*Tutor : Pedro Flores Domínguez-Rodiño*

### Nivel de ruidos de impactos estandarizados según la Norma ISO 140-7

#### Medida in situ del aislamiento a ruido de impactos

Cliente: Escuela Ingenieros Sevilla

Fecha ensayo 14.06.14

#### Descripción e identificación de la edificación y disposición ensayo.

Escuela Ingenieros Sevilla

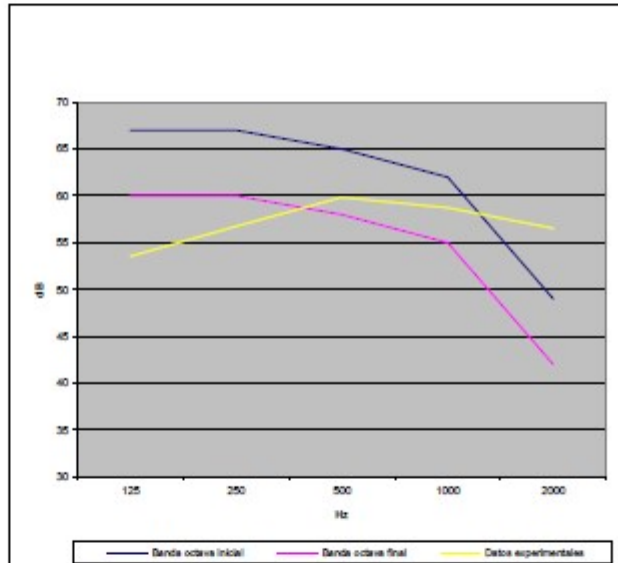
Aula 105:Máquina de impactos

Aula 005:Toma de valores experimentales

Medida 1 en la posición 1 de la máquina de impactos

Volumen receptor: 244.45 m<sup>3</sup>

| Hz   | L' <sub>ITW</sub> |
|------|-------------------|
| 125  | 53.5              |
| 250  | 56.7              |
| 500  | 59.8              |
| 1000 | 58.7              |
| 2000 | 56.5              |
| 4000 | 59.5              |



#### Valoración según ISO 717-2

L'<sub>ITW</sub> : 58 dB

Evaluación basada en resultados de la medida in situ obtenidas en bandas de octava mediante un método de ingeniería

Nº informe 1

*Proyecto : Estudio al ruido ascendente por impacto*

*Autor: Gregorio Chacón Leiva*

*Tutor : Pedro Flores Domínguez-Rodiño*

**Nivel de ruidos de impactos estandarizados según la Norma ISO 140-7**

**Medida in situ del aislamiento a ruido de impactos**

Cliente: Escuela Ingenieros Sevilla

Fecha ensayo 14.06.14

Descripción e identificación de la edificación y disposición ensayo.

Escuela Ingenieros Sevilla

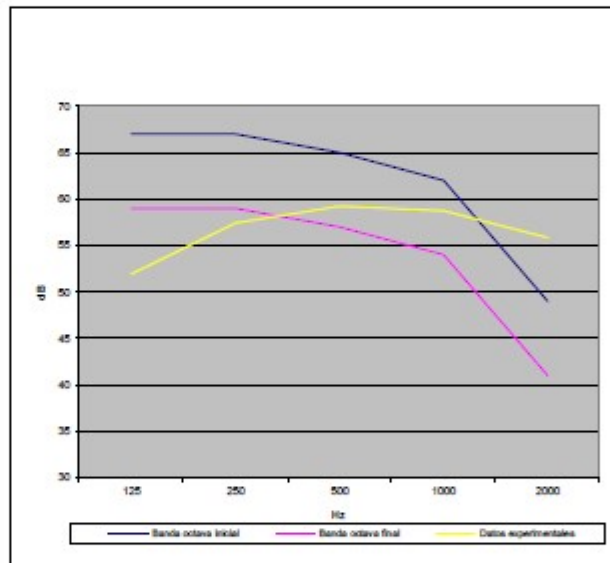
Aula 105:Máquina de impactos

Aula 005:Toma de valores experimentales

Medida 2 en la posición 1 de la máquina de impactos

Volumen receptor: 244.45 m<sup>3</sup>

| Hz   | L <sub>1/3T</sub> |
|------|-------------------|
| 125  | 51.9              |
| 250  | 57.4              |
| 500  | 59.2              |
| 1000 | 58.7              |
| 2000 | 55.8              |
| 4000 | 50.5              |



**Valoración según ISO 717-2**

L<sub>1/3Tw</sub> : 51 dB

Evaluación basada en resultados de la medida in situ obtenidas en bandas de octava mediante un método de ingeniería

Nº informe 2

*Proyecto : Estudio al ruido ascendente por impacto*

*Autor: Gregorio Chacón Leiva*

*Tutor : Pedro Flores Domínguez-Rodiño*

**Nivel de ruidos de impactos estandarizados según la Norma ISO 140-7**

**Medida in situ del aislamiento a ruido de impactos**

Cliente: Escuela Ingenieros Sevilla

Fecha ensayo 14.06.14

Descripción e identificación de la edificación y disposición ensayo.

Escuela Ingenieros Sevilla

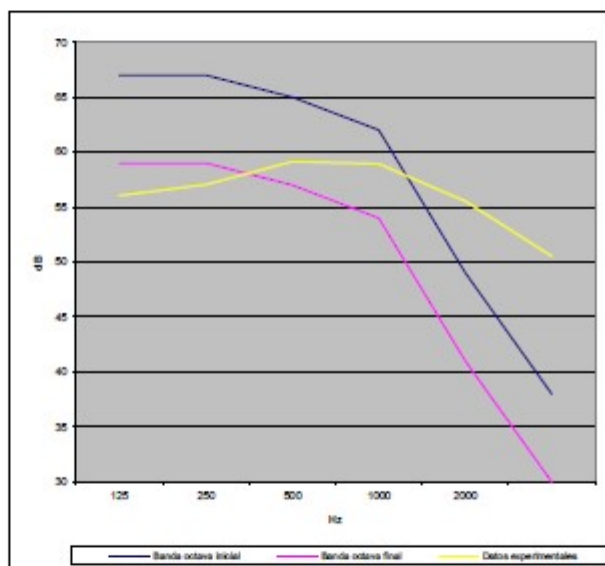
Aula 105:Máquina de impactos

Aula 005:Toma de valores experimentales

Medida 3 en la posición 1 de la máquina de impactos

Volumen receptor: 244.45 m<sup>3</sup>

| Hz   | L' <sub>int</sub> |
|------|-------------------|
| 125  | 56.0              |
| 250  | 57.0              |
| 500  | 59.1              |
| 1000 | 58.9              |
| 2000 | 55.5              |
| 4000 | 50.5              |



**Valoración según ISO 717-2**

L' <sub>intTw</sub> : 51 dB

Evaluación basada en resultados de la medida in situ obtenidas en bandas de octava mediante un método de ingeniería

Nº informe 2

*Proyecto : Estudio al ruido ascendente por impacto*

*Autor: Gregorio Chacón Leiva*

*Tutor : Pedro Flores Domínguez-Rodiño*

**Nivel de ruidos de impactos estandarizados según la Norma ISO 140-7**

**Medida in situ del aislamiento a ruido de impactos**

Cliente: Escuela Ingenieros Sevilla

Fecha ensayo 14.06.14

Descripción e identificación de la edificación y disposición ensayo.

Escuela Ingenieros Sevilla

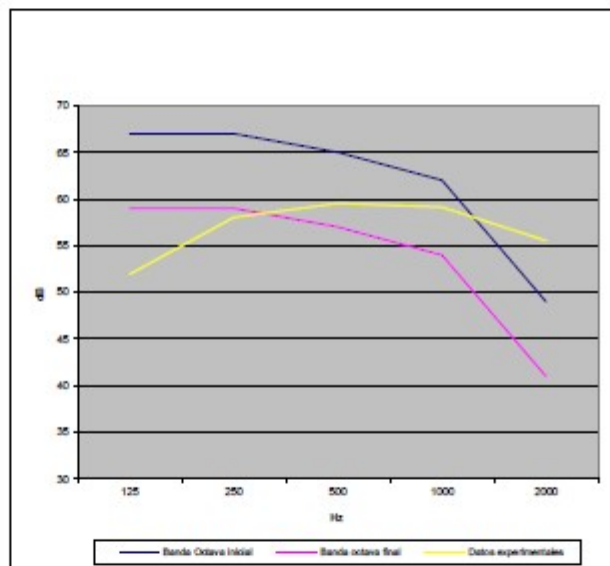
Aula 105:Máquina de impactos

Aula 005:Toma de valores experimentales

Medida 4 en la posición 1 de la máquina de impactos

Volumen receptor: 244.45 m<sup>3</sup>

| Hz   | L <sub>1</sub> <sub>int</sub> |
|------|-------------------------------|
| 125  | 51.9                          |
| 250  | 58.0                          |
| 500  | 59.5                          |
| 1000 | 59.1                          |
| 2000 | 55.5                          |
| 4000 | 50.3                          |



**Valoración según ISO 717-2**

L<sub>1</sub><sub>intw</sub> : 57 dB

Evaluación basada en resultados de la medida in situ obtenidas en bandas de octava mediante un método de ingeniería

Nº informe 4

Proyecto : Estudio al ruido ascendente por impacto

Autor: Gregorio Chacón Leiva

Tutor : Pedro Flores Domínguez-Rodiño

### Nivel de ruidos de impactos estandarizados según la Norma ISO 140-7

#### Medida in situ del aislamiento a ruido de impactos

Cliente: Escuela Ingenieros Sevilla

Fecha ensayo 14.06.14

#### Descripción e identificación de la edificación y disposición ensayo.

Escuela Ingenieros Sevilla

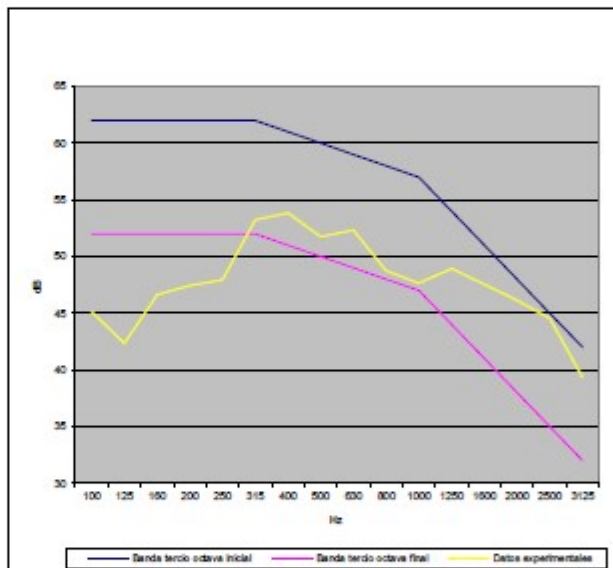
Aula 105:Máquina de impactos

Aula 005:Toma de valores experimentales

Medida 1 en la posición 2 de la máquina de impactos

Volumen receptor: 244.45 m<sup>3</sup>

| Hz   | L <sub>1/3T</sub> |
|------|-------------------|
| 100  | 45.1              |
| 125  | 42.3              |
| 160  | 46.6              |
| 200  | 47.4              |
| 250  | 47.9              |
| 315  | 53.2              |
| 400  | 53.8              |
| 500  | 51.7              |
| 630  | 52.3              |
| 800  | 48.7              |
| 1000 | 47.6              |
| 1250 | 48.9              |
| 1600 | 47.5              |
| 2000 | 46.1              |
| 2500 | 44.5              |
| 3150 | 39.3              |
| 4000 | 34.2              |



#### Valoración según ISO 717-2

L<sub>1/3Tw</sub> : 50 dB

Evaluación basada en resultados de la medida in situ obtenidas en bandas de tercio de octava mediante un método de ingeniería

Nº informe 5

Proyecto : Estudio al ruido ascendente por impacto

Autor: Gregorio Chacón Leiva

Tutor : Pedro Flores Domínguez-Rodiño

### Nivel de ruidos de impactos estandarizados según la Norma ISO 140-7

#### Medida in situ del aislamiento a ruido de impactos

Cliente: Escuela Ingenieros Sevilla

Fecha ensayo 14.06.14

#### Descripción e identificación de la edificación y disposición ensayo.

Escuela Ingenieros Sevilla

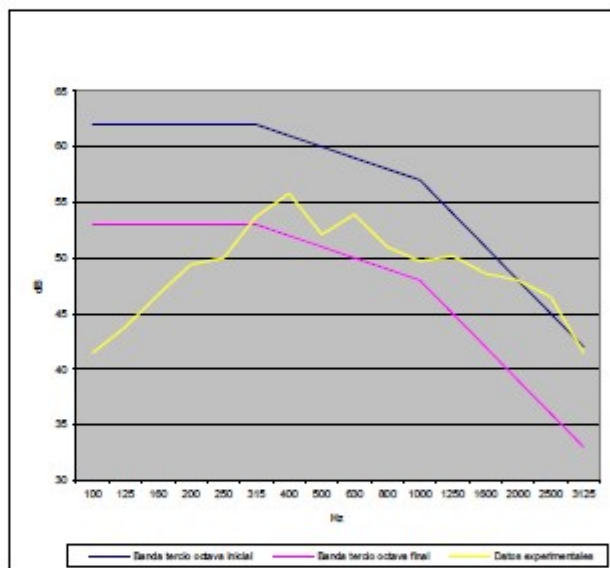
Aula 105:Máquina de impactos

Aula 005:Toma de valores experimentales

Medida 2 en la posición 2 de la máquina de impactos

Volumen receptor: 244.45 m<sup>3</sup>

| Hz   | L <sub>1/3T</sub> |
|------|-------------------|
| 100  | 41.5              |
| 125  | 43.8              |
| 160  | 46.7              |
| 200  | 49.4              |
| 250  | 50.0              |
| 315  | 53.7              |
| 400  | 55.8              |
| 500  | 52.1              |
| 630  | 53.9              |
| 800  | 51.0              |
| 1000 | 49.7              |
| 1250 | 50.2              |
| 1600 | 48.6              |
| 2000 | 48.0              |
| 2500 | 46.5              |
| 3150 | 41.5              |
| 4000 | 36.9              |



#### Valoración según ISO 717-2

L<sub>1/3Tw</sub> : 51 dB

Evaluación basada en resultados de la medida in situ obtenidas en bandas de tercio de octava mediante un método de ingeniería

Nº informe 6

*Proyecto : Estudio al ruido ascendente por impacto*

*Autor: Gregorio Chacón Leiva*

*Tutor : Pedro Flores Domínguez-Rodiño*

### Nivel de ruidos de impactos estandarizados según la Norma ISO 140-7

#### Medida in situ del aislamiento a ruido de impactos

Cliente: Escuela Ingenieros Sevilla

Fecha ensayo 14.06.14

#### Descripción e identificación de la edificación y disposición ensayo.

Escuela Ingenieros Sevilla

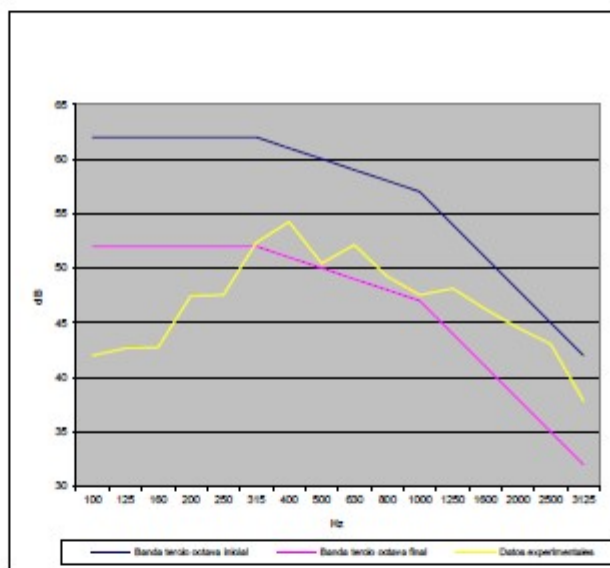
Aula 105:Máquina de impactos

Aula 005:Toma de valores experimentales

Medida 3 en la posición 2 de la máquina de impactos

Volumen receptor: 244.45 m<sup>3</sup>

| Hz   | L <sub>1/3T</sub> |
|------|-------------------|
| 100  | 42.0              |
| 125  | 42.6              |
| 160  | 42.7              |
| 200  | 47.4              |
| 250  | 47.5              |
| 315  | 52.3              |
| 400  | 54.2              |
| 500  | 50.4              |
| 630  | 52.1              |
| 800  | 49.2              |
| 1000 | 47.5              |
| 1250 | 48.1              |
| 1600 | 46.2              |
| 2000 | 44.5              |
| 2500 | 43.0              |
| 3150 | 37.8              |
| 4000 | 33.8              |



#### Valoración según ISO 717-2

L<sub>1/3Tw</sub> : 50 dB

Evaluación basada en resultados de la medida in situ obtenidas en bandas de tercio de octava mediante un método de ingeniería

Nº informe 7

*Proyecto : Estudio al ruido ascendente por impacto*

*Autor: Gregorio Chacón Leiva*

*Tutor : Pedro Flores Domínguez-Rodiño*

Nivel de ruidos de impactos estandarizados según la Norma ISO 140-7

Medida in situ del aislamiento a ruido de impactos

Cliente: Escuela Ingenieros Sevilla

Fecha ensayo 14.06.14

Descripción e identificación de la edificación y disposición ensayo.

Escuela Ingenieros Sevilla

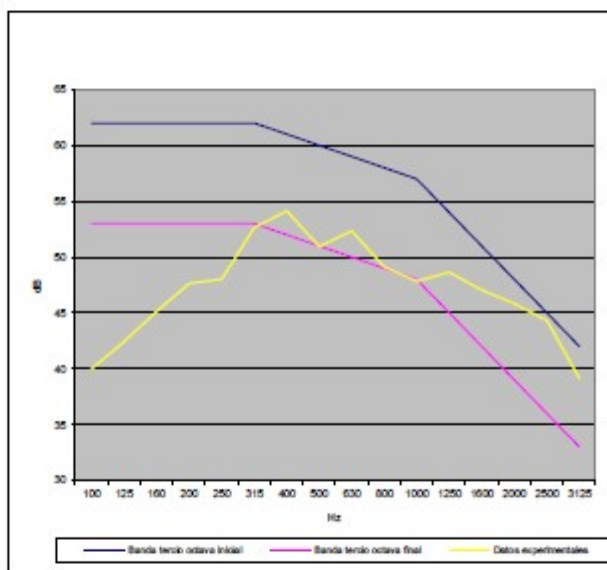
Aula 105:Máquina de impactos

Aula 005:Toma de valores experimentales

Medida 4 en la posición 2 de la máquina de impactos

Volumen receptor: 244.45 m<sup>3</sup>

| Hz   | L <sub>1/3T</sub> |
|------|-------------------|
| 100  | 40.0              |
| 125  | 42.4              |
| 160  | 45.1              |
| 200  | 47.6              |
| 250  | 48.0              |
| 315  | 52.6              |
| 400  | 54.1              |
| 500  | 50.9              |
| 630  | 52.3              |
| 800  | 49.1              |
| 1000 | 47.8              |
| 1250 | 48.6              |
| 1600 | 47.0              |
| 2000 | 45.8              |
| 2500 | 44.3              |
| 3150 | 39.1              |
| 4000 | 34.5              |



Valoración según ISO 717-2

L<sub>1/3Tw</sub> : 50 dB

Evaluación basada en resultados de la medida in situ obtenidas en bandas de tercio de octava mediante un método de ingeniería

Nº informe 8

Proyecto : Estudio al ruido ascendente por impacto

Autor: Gregorio Chacón Leiva

Tutor : Pedro Flores Domínguez-Rodiño

### Nivel de ruidos de impactos estandarizados según la Norma ISO 140-7

#### Medida in situ del aislamiento a ruido de impactos

Cliente: Escuela Ingenieros Sevilla

Fecha ensayo 14.06.14

#### Descripción e identificación de la edificación y disposición ensayo.

Escuela Ingenieros Sevilla

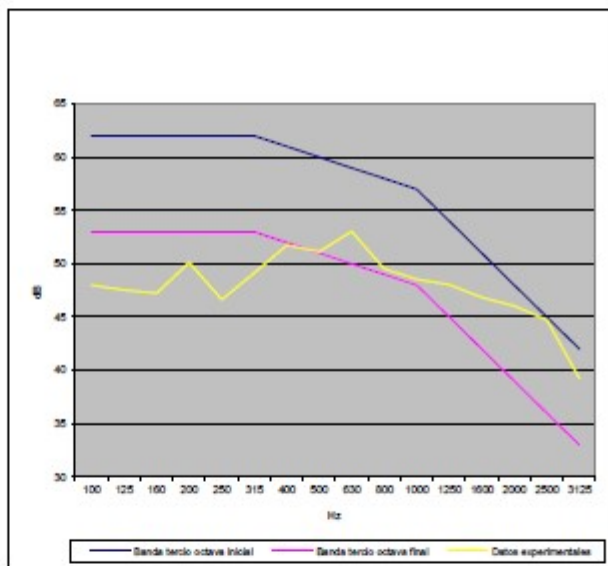
Aula 105:Máquina de impactos

Aula 005:Toma de valores experimentales

Medida 5 en la posición 2 de la máquina de impactos

Volumen receptor: 244.45 m<sup>3</sup>

| Hz   | L <sub>1/3T</sub> |
|------|-------------------|
| 100  | 48.00             |
| 125  | 47.54             |
| 160  | 47.24             |
| 200  | 50.14             |
| 250  | 46.64             |
| 315  | 49.14             |
| 400  | 51.74             |
| 500  | 51.14             |
| 630  | 53.04             |
| 800  | 49.54             |
| 1000 | 48.54             |
| 1250 | 48.04             |
| 1600 | 46.84             |
| 2000 | 46.04             |
| 2500 | 44.74             |
| 3150 | 39.24             |
| 4000 | 34.54             |



#### Valoración según ISO 717-2

L<sub>1/3Tw</sub> : 51 dB

Evaluación basada en resultados de la medida in situ obtenidas en bandas de tercio de octava mediante un método de ingeniería

Nº informe 9

*Proyecto : Estudio al ruido ascendente por impacto*

*Autor: Gregorio Chacón Leiva*

*Tutor : Pedro Flores Domínguez-Rodiño*

**Nivel de ruidos de impactos estandarizados según la Norma ISO 140-7  
Medida in situ del aislamiento a ruido de impactos**

Cliente: Escuela Ingenieros Sevilla

Fecha ensayo 14.06.14

Descripción e identificación de la edificación y disposición ensayo.

Escuela Ingenieros Sevilla

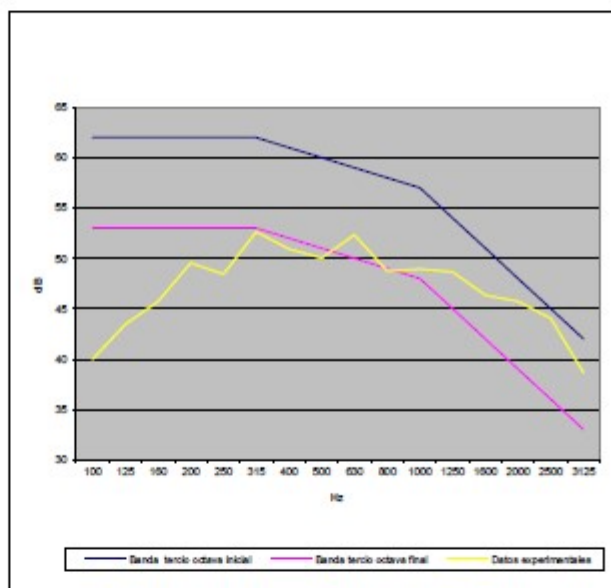
Aula 105:Máquina de impactos

Aula 005:Toma de valores experimentales

Medida 6 en la posición 2 de la máquina de impactos

Volumen receptor: 244.45 m<sup>3</sup>

| Hz   | L' <sub>HTW</sub> |
|------|-------------------|
| 100  | 40.0              |
| 125  | 43.4              |
| 160  | 45.7              |
| 200  | 49.5              |
| 250  | 48.4              |
| 315  | 52.6              |
| 400  | 50.9              |
| 500  | 50.0              |
| 630  | 52.3              |
| 800  | 48.7              |
| 1000 | 48.9              |
| 1250 | 48.6              |
| 1600 | 48.3              |
| 2000 | 45.7              |
| 2500 | 44.0              |
| 3150 | 38.6              |
| 4000 | 34.0              |



**Valoración según ISO 717-2**

$L'_{HTW}$  : 51 dB

Evaluación basada en resultados de la medida in situ obtenidas en bandas de tercio de octava mediante un método de ingeniería

Nº informe 10

*Proyecto : Estudio al ruido ascendente por impacto*

*Autor: Gregorio Chacón Leiva*

*Tutor : Pedro Flores Domínguez-Rodiño*

### Nivel de ruidos de impactos estandarizados según la Norma ISO 140-7

#### Medida in situ del aislamiento a ruido de impactos

Cliente: Escuela Ingenieros Sevilla

Fecha ensayo 14.06.14

#### Descripción e identificación de la edificación y disposición ensayo.

Escuela Ingenieros Sevilla

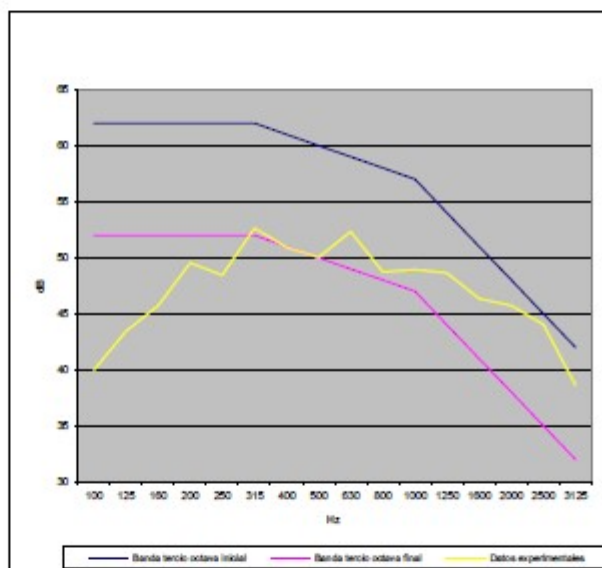
Aula 105:Máquina de impactos

Aula 005:Toma de valores experimentales

Medida 7 en la posición 2 de la máquina de impactos

Volumen receptor: 244.45 m<sup>3</sup>

| Hz   | L' <sub>ITW</sub> |
|------|-------------------|
| 100  | 40.0              |
| 125  | 43.4              |
| 160  | 45.7              |
| 200  | 49.5              |
| 250  | 48.4              |
| 315  | 52.6              |
| 400  | 50.9              |
| 500  | 50.0              |
| 630  | 52.3              |
| 800  | 48.7              |
| 1000 | 48.9              |
| 1250 | 48.6              |
| 1600 | 46.3              |
| 2000 | 45.7              |
| 2500 | 44.0              |
| 3150 | 38.6              |
| 4000 | 34.0              |



#### Valoración según ISO 717-2

L'<sub>ITW</sub> : 50 dB

Evaluación basada en resultados de la medida in situ obtenidas en bandas de tercio de octava mediante un método de ingeniería

Nº informe 11

Proyecto : Estudio al ruido ascendente por impacto

Autor: Gregorio Chacón Leiva

Tutor : Pedro Flores Domínguez-Rodiño

### Nivel de ruidos de impactos estandarizados según la Norma ISO 140-7

#### Medida in situ del aislamiento a ruido de impactos

Cliente: Escuela Ingenieros Sevilla

Fecha ensayo 14.06.14

#### Descripción e identificación de la edificación y disposición ensayo.

Escuela Ingenieros Sevilla

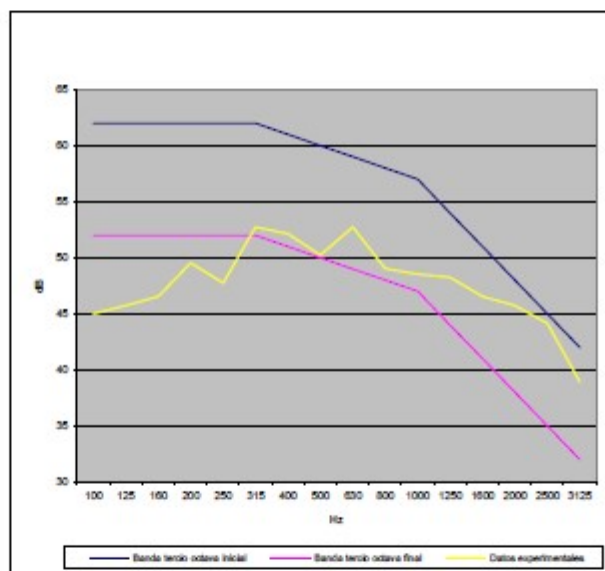
Aula 105:Máquina de impactos

Aula 005:Toma de valores experimentales

Medida 8 en la posición 2 de la máquina de impactos

Volumen receptor: 244.45 m<sup>3</sup>

| Hz   | L <sub>1/3T</sub> |
|------|-------------------|
| 100  | 45.0              |
| 125  | 45.7              |
| 160  | 46.5              |
| 200  | 49.5              |
| 250  | 47.7              |
| 315  | 52.7              |
| 400  | 52.1              |
| 500  | 50.2              |
| 630  | 52.7              |
| 800  | 49.0              |
| 1000 | 48.5              |
| 1250 | 48.2              |
| 1600 | 46.5              |
| 2000 | 45.7              |
| 2500 | 44.1              |
| 3150 | 38.9              |
| 4000 | 33.9              |



#### Valoración según ISO 717-2

L<sub>1/3TW</sub> : 51 dB

Evaluación basada en resultados de la medida in situ obtenidas en bandas de tercio de octava mediante un método de ingeniería

Nº informe 12

*Proyecto : Estudio al ruido ascendente por impacto*

*Autor: Gregorio Chacón Leiva*

*Tutor : Pedro Flores Domínguez-Rodiño*

### Nivel de ruidos de impactos estandarizados según la Norma ISO 140-7

#### Medida in situ del aislamiento a ruido de impactos

Cliente: Escuela Ingenieros Sevilla

Fecha ensayo 14.06.14

#### Descripción e identificación de la edificación y disposición ensayo.

Escuela Ingenieros Sevilla

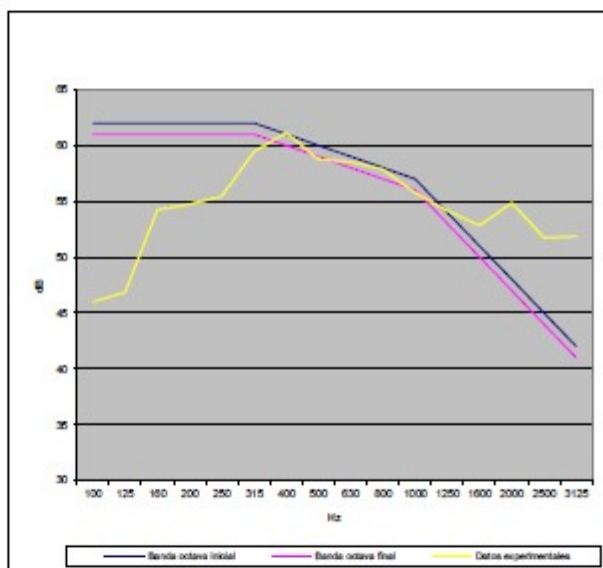
Aula 105:Máquina de impactos

Aula 005:Toma de valores experimentales

Medida 1 en la posición 3 de la máquina de impactos

Volumen receptor: 244.45 m<sup>3</sup>

| Hz   | L <sub>1/3T</sub> |
|------|-------------------|
| 100  | 46.0              |
| 125  | 46.8              |
| 160  | 54.2              |
| 200  | 54.7              |
| 250  | 55.4              |
| 315  | 59.4              |
| 400  | 61.1              |
| 500  | 58.7              |
| 630  | 58.5              |
| 800  | 57.8              |
| 1000 | 55.7              |
| 1250 | 54.1              |
| 1600 | 52.8              |
| 2000 | 54.8              |
| 2500 | 51.7              |
| 3150 | 51.8              |
| 4000 | 47.2              |



#### Valoración según ISO 717-2

L<sub>1/3Tw</sub> : 59 dB

Evaluación basada en resultados de la medida in situ obtenidas en bandas de tercio de octava mediante un método de ingeniería

Nº informe 13

Proyecto : Estudio al ruido ascendente por impacto

Autor: Gregorio Chacón Leiva

Tutor : Pedro Flores Domínguez-Rodiño

### Nivel de ruidos de impactos estandarizados según la Norma ISO 140-7

#### Medida in situ del aislamiento a ruido de impactos

Cliente: Escuela Ingenieros Sevilla

Fecha ensayo 14.06.14

#### Descripción e identificación de la edificación y disposición ensayo.

Escuela Ingenieros Sevilla

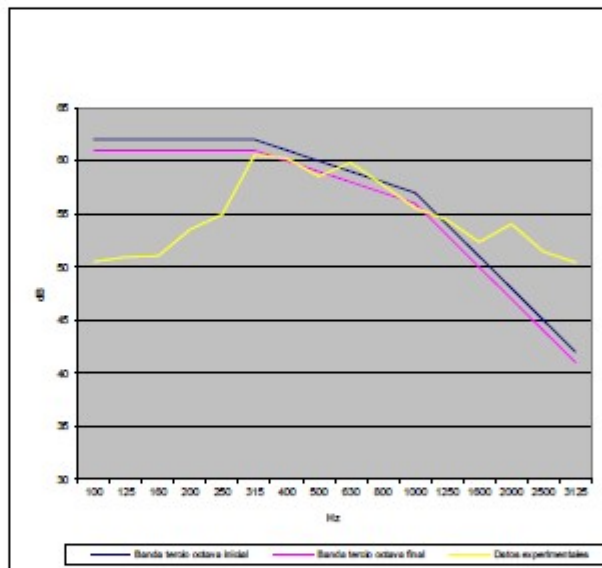
Aula 105:Máquina de impactos

Aula 005:Toma de valores experimentales

Medida 2 en la posición 3 de la máquina de impactos

Volumen receptor: 244.45 m<sup>3</sup>

| Hz   | L' <sub>ITW</sub> |
|------|-------------------|
| 100  | 50.5              |
| 125  | 50.9              |
| 160  | 51.0              |
| 200  | 53.5              |
| 250  | 54.9              |
| 315  | 60.5              |
| 400  | 60.2              |
| 500  | 58.5              |
| 630  | 59.8              |
| 800  | 57.7              |
| 1000 | 55.5              |
| 1250 | 54.4              |
| 1600 | 52.3              |
| 2000 | 54.0              |
| 2500 | 51.4              |
| 3150 | 50.4              |
| 4000 | 46.6              |



#### Valoración según ISO 717-2

L'<sub>ITW</sub> : 59 dB

Evaluación basada en resultados de la medida in situ obtenidas en bandas de tercio de octava mediante un método de ingeniería

Nº informe 14

Proyecto : Estudio al ruido ascendente por impacto

Autor: Gregorio Chacón Leiva

Tutor : Pedro Flores Domínguez-Rodiño

### Nivel de ruidos de impactos estandarizados según la Norma ISO 140-7

#### Medida in situ del aislamiento a ruido de impactos

Cliente: Escuela Ingenieros Sevilla

Fecha ensayo 14.06.14

#### Descripción e identificación de la edificación y disposición ensayo.

Escuela Ingenieros Sevilla

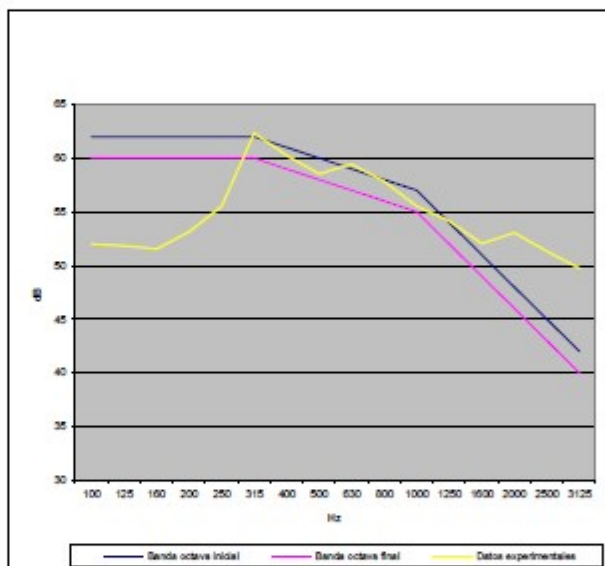
Aula 105:Máquina de impactos

Aula 005:Toma de valores experimentales

Medida 3 en la posición 3 de la máquina de impactos

Volumen receptor: 244.45 m<sup>3</sup>

| Hz   | L <sub>1/3T</sub> |
|------|-------------------|
| 100  | 52.0              |
| 125  | 51.8              |
| 160  | 51.5              |
| 200  | 53.1              |
| 250  | 55.5              |
| 315  | 62.3              |
| 400  | 60.2              |
| 500  | 58.5              |
| 630  | 59.4              |
| 800  | 57.8              |
| 1000 | 55.5              |
| 1250 | 54.1              |
| 1600 | 52.0              |
| 2000 | 53.0              |
| 2500 | 51.3              |
| 3150 | 49.7              |
| 4000 | 45.8              |



#### Valoración según ISO 717-2

L<sub>1/3Tw</sub> : 59 dB

Evaluación basada en resultados de la medida in situ obtenidas en bandas de tercio de octava mediante un método de ingeniería

Nº informe 15

Proyecto : Estudio al ruido ascendente por impacto

Autor: Gregorio Chacón Leiva

Tutor : Pedro Flores Domínguez-Rodiño

### Nivel de ruidos de impactos estandarizados según la Norma ISO 140-7

#### Medida in situ del aislamiento a ruido de impactos

Cliente: Escuela Ingenieros Sevilla

Fecha ensayo 14.06.14

#### Descripción e identificación de la edificación y disposición ensayo.

Escuela Ingenieros Sevilla

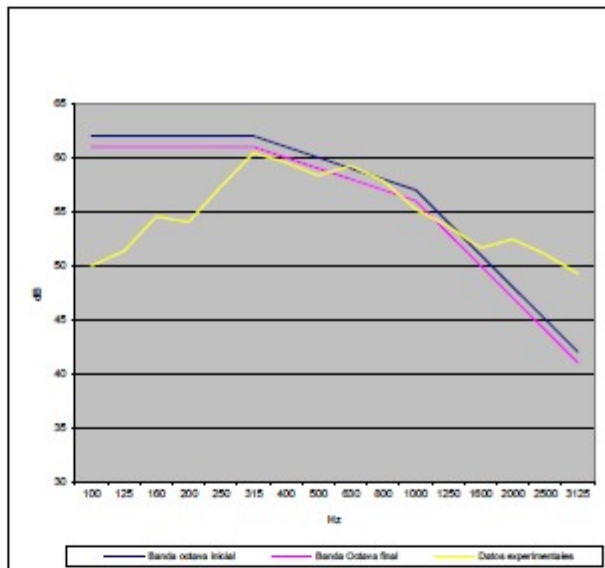
Aula 105:Máquina de impactos

Aula 005:Toma de valores experimentales

Medida 4 en la posición 3 de la máquina de impactos

Volumen receptor: 244.45 m<sup>3</sup>

| Hz   | L <sub>1/3T</sub> |
|------|-------------------|
| 100  | 50.0              |
| 125  | 51.3              |
| 160  | 54.5              |
| 200  | 54.0              |
| 250  | 57.3              |
| 315  | 60.4              |
| 400  | 59.5              |
| 500  | 58.3              |
| 630  | 59.2              |
| 800  | 57.8              |
| 1000 | 55.2              |
| 1250 | 53.6              |
| 1600 | 51.6              |
| 2000 | 52.4              |
| 2500 | 51.0              |
| 3150 | 49.2              |
| 4000 | 45.3              |



#### Valoración según ISO 717-2

L<sub>1/3Tw</sub> : 59 dB

Evaluación basada en resultados de la medida in situ obtenidas en bandas de tercio de octava mediante un método de ingeniería

Nº informe 16

Proyecto : Estudio al ruido ascendente por impacto

Autor: Gregorio Chacón Leiva

Tutor : Pedro Flores Domínguez-Rodríguez

### Nivel de ruidos de impactos estandarizados según la Norma ISO 140-7

#### Medida in situ del aislamiento a ruido de impactos

Cliente: Escuela Ingenieros Sevilla

Fecha ensayo 14.06.14

#### Descripción e identificación de la edificación y disposición ensayo.

Escuela Ingenieros Sevilla

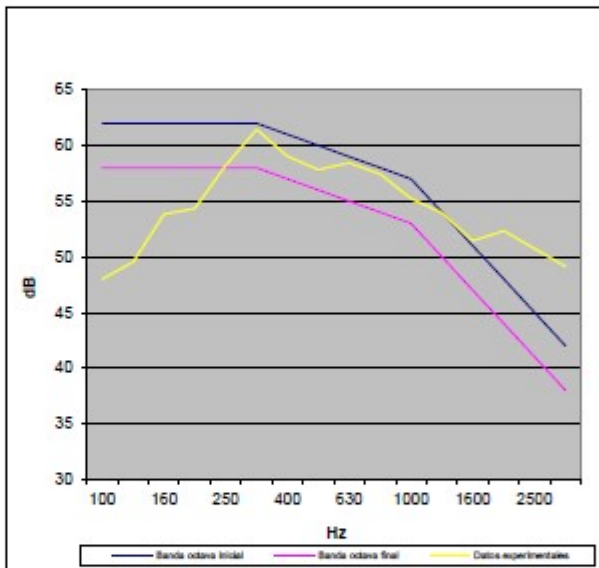
Aula 105:Máquina de impactos

Aula 005:Toma de valores experimentales

Medida 5 en la posición 3 de la máquina de impactos

Volumen receptor: 244.45 m<sup>3</sup>

| Hz   | L <sub>1/3T</sub> |
|------|-------------------|
| 100  | 48.0              |
| 125  | 49.5              |
| 160  | 53.8              |
| 200  | 54.3              |
| 250  | 58.2              |
| 315  | 61.4              |
| 400  | 59.0              |
| 500  | 57.8              |
| 630  | 58.4              |
| 800  | 57.4              |
| 1000 | 55.2              |
| 1250 | 53.9              |
| 1600 | 51.4              |
| 2000 | 52.3              |
| 2500 | 50.7              |
| 3150 | 49.1              |
| 4000 | 45.2              |



#### Valoración según ISO 717-2

L<sub>1/3Tw</sub> : 56 dB

Evaluación basada en resultados de la medida in situ obtenidas en bandas de tercio de octava mediante un método de ingeniería

Nº informe 17

*Proyecto : Estudio al ruido ascendente por impacto*

*Autor: Gregorio Chacón Leiva*

*Tutor : Pedro Flores Domínguez-Rodiño*

### Nivel de ruidos de impactos estandarizados según la Norma ISO 140-7

Medida in situ del aislamiento a ruido de impactos

Cliente: Escuela Ingenieros Sevilla

Fecha ensayo 14.06.14

#### Descripción e identificación de la edificación y disposición ensayo.

Escuela Ingenieros Sevilla

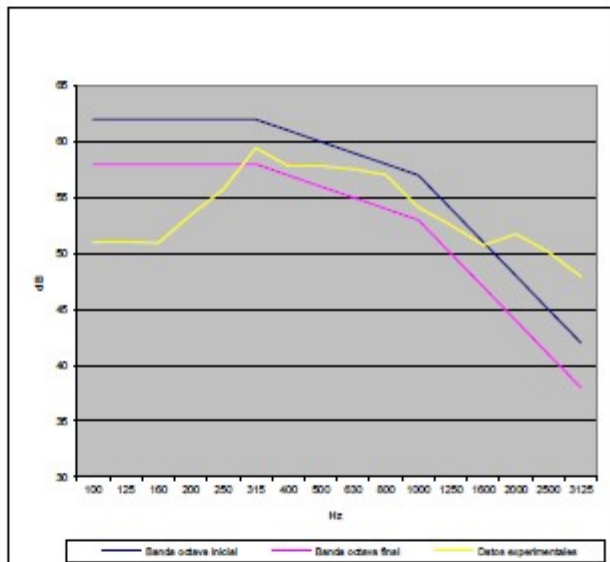
Aula 105:Máquina de impactos

Aula 005:Toma de valores experimentales

Medida 6 en la posición 3 de la máquina de impactos

Volumen receptor: 244.45 m<sup>3</sup>

| Hz   | L <sub>1/3T</sub> |
|------|-------------------|
| 100  | 51.0              |
| 125  | 51.0              |
| 160  | 50.9              |
| 200  | 53.4              |
| 250  | 55.7              |
| 315  | 59.4              |
| 400  | 57.8              |
| 500  | 57.8              |
| 630  | 57.5              |
| 800  | 57.0              |
| 1000 | 54.1              |
| 1250 | 52.5              |
| 1600 | 50.7              |
| 2000 | 51.7              |
| 2500 | 50.1              |
| 3150 | 47.9              |
| 4000 | 43.8              |



#### Valoración según ISO 717-2

L<sub>1/3Tw</sub> : 56 dB

Evaluación basada en resultados de la medida in situ obtenidas en bandas de tercio de octava mediante un método de ingeniería

Nº informe 18

Proyecto : Estudio al ruido ascendente por impacto

Autor: Gregorio Chacón Leiva

Tutor : Pedro Flores Domínguez-Rodiño

### Nivel de ruidos de impactos estandarizados según la Norma ISO 140-7

#### Medida in situ del aislamiento a ruido de impactos

Cliente: Escuela Ingenieros Sevilla

Fecha ensayo 14.06.14

#### Descripción e identificación de la edificación y disposición ensayo.

Escuela Ingenieros Sevilla

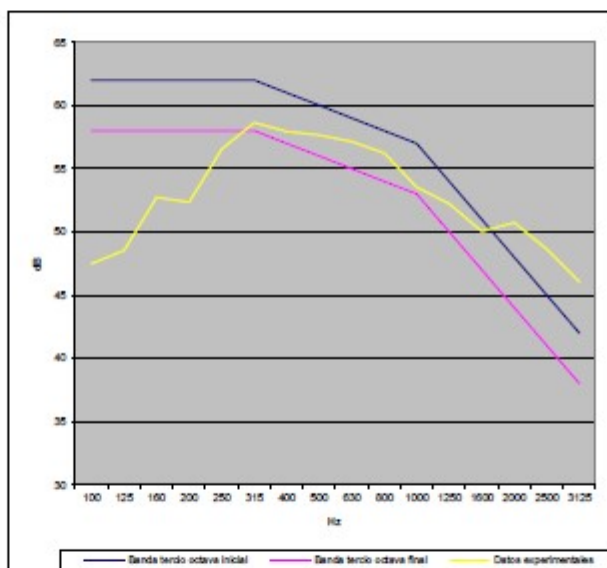
Aula 105:Máquina de impactos

Aula 005:Toma de valores experimentales

Medida 7 en la posición 3 de la máquina de impactos

Volumen receptor: 244.45 m<sup>3</sup>

| Hz   | L <sub>1</sub> <sub>int</sub> |
|------|-------------------------------|
| 100  | 47.5                          |
| 125  | 48.5                          |
| 160  | 52.7                          |
| 200  | 52.3                          |
| 250  | 56.5                          |
| 315  | 58.6                          |
| 400  | 57.9                          |
| 500  | 57.6                          |
| 630  | 57.1                          |
| 800  | 56.2                          |
| 1000 | 53.5                          |
| 1250 | 52.2                          |
| 1600 | 50.0                          |
| 2000 | 50.7                          |
| 2500 | 48.6                          |
| 3150 | 46.0                          |
| 4000 | 42.5                          |



#### Valoración según ISO 717-2

L<sub>1</sub><sub>intw</sub> : 56 dB

Evaluación basada en resultados de la medida in situ obtenidas en bandas de tercio de octava mediante un método de ingeniería

Nº informe 19

Proyecto : Estudio al ruido ascendente por impacto

Autor: Gregorio Chacón Leiva

Tutor : Pedro Flores Domínguez-Rodiño

### Nivel de ruidos de impactos estandarizados según la Norma ISO 140-7

#### Medida in situ del aislamiento a ruido de impactos

Cliente: Escuela Ingenieros Sevilla

Fecha ensayo 14.06.14

#### Descripción e identificación de la edificación y disposición ensayo.

Escuela Ingenieros Sevilla

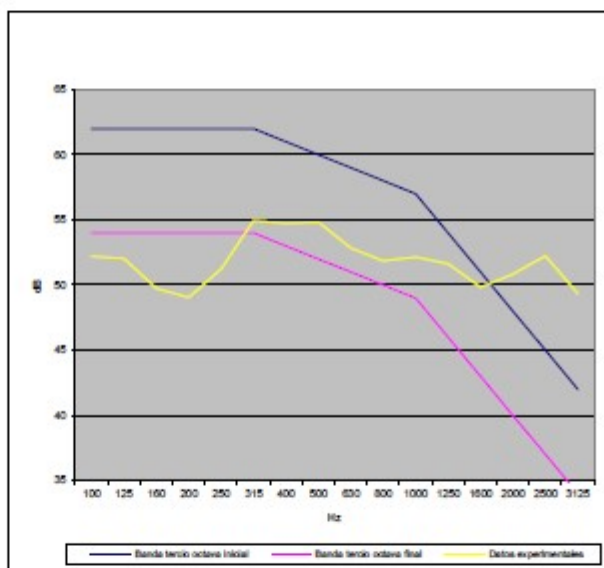
Aula 105:Máquina de impactos

Aula 005:Toma de valores experimentales

Medida 1 en la posición 4 de la máquina de impactos

Volumen receptor: 244.45 m<sup>3</sup>

| Hz   | L <sup>'</sup> <sub>NT</sub> |
|------|------------------------------|
| 100  | 52.2                         |
| 125  | 52.0                         |
| 160  | 49.7                         |
| 200  | 49.0                         |
| 250  | 51.2                         |
| 315  | 54.9                         |
| 400  | 54.7                         |
| 500  | 54.8                         |
| 630  | 52.8                         |
| 800  | 51.8                         |
| 1000 | 52.1                         |
| 1250 | 51.6                         |
| 1600 | 49.8                         |
| 2000 | 50.8                         |
| 2500 | 52.2                         |
| 3150 | 49.3                         |
| 4000 | 45.1                         |



#### Valoración según ISO 717-2

L'<sub>NTw</sub> : 52 dB

Evaluación basada en resultados de la medida in situ obtenidas en bandas de tercio de octava mediante un método de ingeniería

Nº informe 20

*Proyecto : Estudio al ruido ascendente por impacto*

*Autor: Gregorio Chacón Leiva*

*Tutor : Pedro Flores Domínguez-Rodiño*

### Nivel de ruidos de impactos estandarizados según la Norma ISO 140-7

Medida in situ del aislamiento a ruido de impactos

Cliente: Escuela Ingenieros Sevilla

Fecha ensayo 14.06.14

#### Descripción e identificación de la edificación y disposición ensayo.

Escuela Ingenieros Sevilla

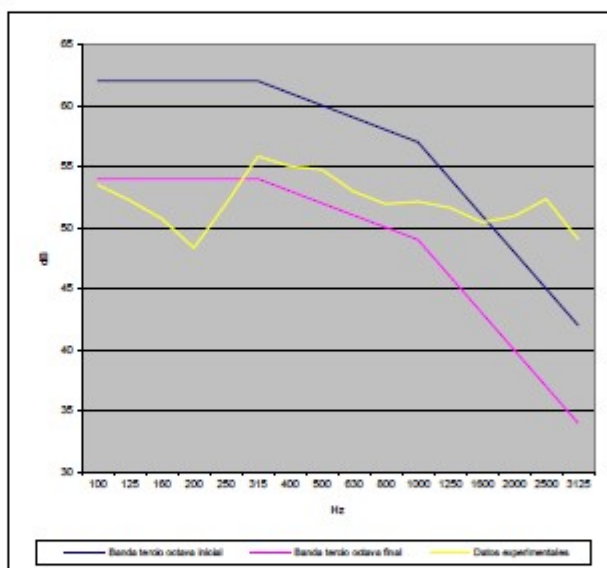
Aula 105:Máquina de impactos

Aula 005:Toma de valores experimentales

Medida 2 en la posición 4 de la máquina de impactos

Volumen receptor: 244.45 m<sup>3</sup>

| Hz   | L' <sub>int</sub> |
|------|-------------------|
| 100  | 53.5              |
| 125  | 52.2              |
| 160  | 50.7              |
| 200  | 48.3              |
| 250  | 51.9              |
| 315  | 55.8              |
| 400  | 55.0              |
| 500  | 54.7              |
| 630  | 52.9              |
| 800  | 51.9              |
| 1000 | 52.1              |
| 1250 | 51.6              |
| 1600 | 50.4              |
| 2000 | 50.9              |
| 2500 | 52.3              |
| 3150 | 49.0              |
| 4000 | 44.8              |



#### Valoración según ISO 717-2

L' <sub>intTw</sub> : 52 dB

Evaluación basada en resultados de la medida in situ obtenidas en bandas de tercio de octava mediante un método de ingeniería

Nº informe 21

Proyecto : Estudio al ruido ascendente por impacto

Autor: Gregorio Chacón Leiva

Tutor : Pedro Flores Domínguez-Rodiño

### Nivel de ruidos de impactos estandarizados según la Norma ISO 140-7

#### Medida in situ del aislamiento a ruido de impactos

Cliente: Escuela Ingenieros Sevilla

Fecha ensayo 14.06.14

#### Descripción e identificación de la edificación y disposición ensayo.

Escuela Ingenieros Sevilla

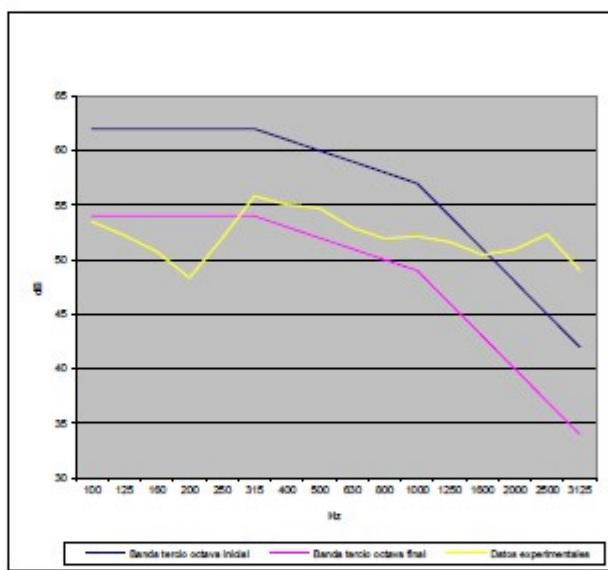
Aula 105:Máquina de impactos

Aula 005:Toma de valores experimentales

Medida 3 en la posición 4 de la máquina de impactos

Volumen receptor: 244.45 m<sup>3</sup>

| Hz   | L' <sub>WT</sub> |
|------|------------------|
| 100  | 53.5             |
| 125  | 52.2             |
| 160  | 50.7             |
| 200  | 48.3             |
| 250  | 51.9             |
| 315  | 55.8             |
| 400  | 55.0             |
| 500  | 54.7             |
| 630  | 52.9             |
| 800  | 51.9             |
| 1000 | 52.1             |
| 1250 | 51.6             |
| 1600 | 50.4             |
| 2000 | 50.9             |
| 2500 | 52.3             |
| 3150 | 49.0             |
| 4000 | 44.8             |



#### Valoración según ISO 717-2

L'<sub>WTW</sub> : 52 dB

Evaluación basada en resultados de la medida in situ obtenidas en bandas de tercio de octava mediante un método de ingeniería

Nº informe 22

Proyecto : Estudio al ruido ascendente por impacto

Autor: Gregorio Chacón Leiva

Tutor : Pedro Flores Domínguez-Rodiño

### Nivel de ruidos de impactos estandarizados según la Norma ISO 140-7

#### Medida in situ del aislamiento a ruido de impactos

Cliente: Escuela Ingenieros Sevilla

Fecha ensayo 14.06.14

#### Descripción e identificación de la edificación y disposición ensayo.

Escuela Ingenieros Sevilla

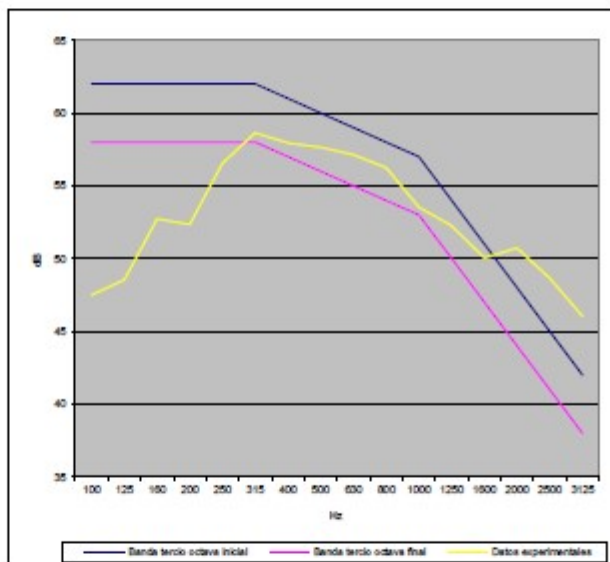
Aula 105:Máquina de impactos

Aula 005:Toma de valores experimentales

Medida 4 en la posición 4 de la máquina de impactos

Volumen receptor: 244.45 m<sup>3</sup>

| Hz   | L' <sub>1/3T</sub> |
|------|--------------------|
| 100  | 47.5               |
| 125  | 48.5               |
| 160  | 52.7               |
| 200  | 52.3               |
| 250  | 56.5               |
| 315  | 58.6               |
| 400  | 57.9               |
| 500  | 57.6               |
| 630  | 57.1               |
| 800  | 58.2               |
| 1000 | 53.5               |
| 1250 | 52.2               |
| 1600 | 50.0               |
| 2000 | 50.7               |
| 2500 | 48.6               |
| 3150 | 46.0               |
| 4000 | 42.5               |



#### Valoración según ISO 717-2

L'<sub>1/3TW</sub> : 56 dB

Evaluación basada en resultados de la medida in situ obtenidas en bandas de tercio de octava mediante un método de ingeniería

Nº informe 23

Proyecto : Estudio al ruido ascendente por impacto

Autor: Gregorio Chacón Leiva

Tutor : Pedro Flores Domínguez-Rodiño

### Nivel de ruidos de impactos estandarizados según la Norma ISO 140-7

#### Medida in situ del aislamiento a ruido de impactos

Cliente: Escuela Ingenieros Sevilla

Fecha ensayo 14.06.14

#### Descripción e identificación de la edificación y disposición ensayo.

Escuela Ingenieros Sevilla

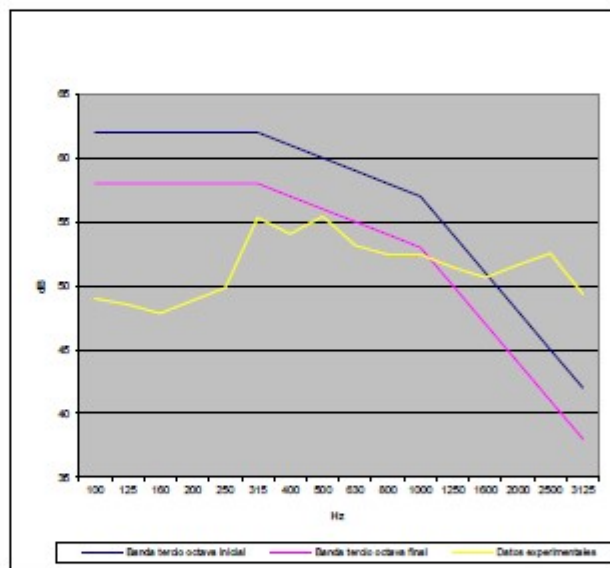
Aula 105:Máquina de impactos

Aula 005:Toma de valores experimentales

Medida 5 en la posición 4 de la máquina de impactos

Volumen receptor: 244.45 m<sup>3</sup>

| Hz   | L <sub>1/3T</sub> |
|------|-------------------|
| 100  | 49.0              |
| 125  | 48.5              |
| 160  | 47.8              |
| 200  | 48.8              |
| 250  | 49.8              |
| 315  | 55.3              |
| 400  | 54.0              |
| 500  | 55.4              |
| 630  | 53.1              |
| 800  | 52.4              |
| 1000 | 52.4              |
| 1250 | 51.4              |
| 1600 | 50.6              |
| 2000 | 51.6              |
| 2500 | 52.5              |
| 3150 | 49.3              |
| 4000 | 45.8              |



#### Valoración según ISO 717-2

L<sub>1/3TW</sub> : 56 dB

Evaluación basada en resultados de la medida in situ obtenidas en bandas de tercio de octava mediante un método de ingeniería

Nº informe 24

Proyecto : Estudio al ruido ascendente por impacto

Autor: Gregorio Chacón Leiva

Tutor : Pedro Flores Domínguez-Rodríguez

### Nivel de ruidos de impactos estandarizados según la Norma ISO 140-7

#### Medida in situ del aislamiento a ruido de impactos

Cliente: Escuela Ingenieros Sevilla

Fecha ensayo: 14.06.14

#### Descripción e identificación de la edificación y disposición ensayo.

Escuela Ingenieros Sevilla

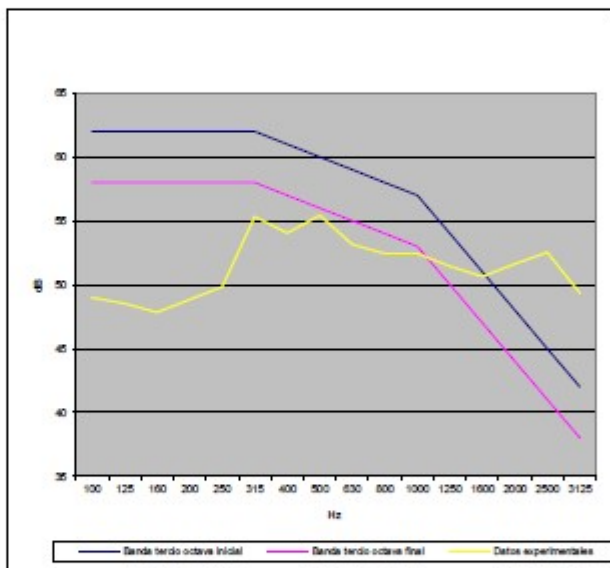
Aula 105:Máquina de impactos

Aula 005:Toma de valores experimentales

Medida 6 en la posición 4 de la máquina de impactos

Volumen receptor: 244.45 m<sup>3</sup>

| Hz   | L <sub>1/3T</sub> |
|------|-------------------|
| 100  | 49.0              |
| 125  | 48.5              |
| 160  | 47.8              |
| 200  | 48.8              |
| 250  | 49.8              |
| 315  | 55.3              |
| 400  | 54.0              |
| 500  | 55.4              |
| 630  | 53.1              |
| 800  | 52.4              |
| 1000 | 52.4              |
| 1250 | 51.4              |
| 1600 | 50.6              |
| 2000 | 51.6              |
| 2500 | 52.5              |
| 3150 | 49.3              |
| 4000 | 45.8              |



#### Valoración según ISO 717-2

L<sub>1/3TW</sub> : 54 dB

Evaluación basada en resultados de la medida in situ obtenidas en bandas de tercio de octava mediante un método de ingeniería

Nº informe 25

*Proyecto : Estudio al ruido ascendente por impacto*

*Autor: Gregorio Chacón Leiva*

*Tutor : Pedro Flores Domínguez-Rodiño*

### Nivel de ruidos de impactos estandarizados según la Norma ISO 140-7

#### Medida in situ del aislamiento a ruido de impactos

Cliente: Escuela Ingenieros Sevilla

Fecha ensayo 14.06.14

#### Descripción e identificación de la edificación y disposición ensayo.

Escuela Ingenieros Sevilla

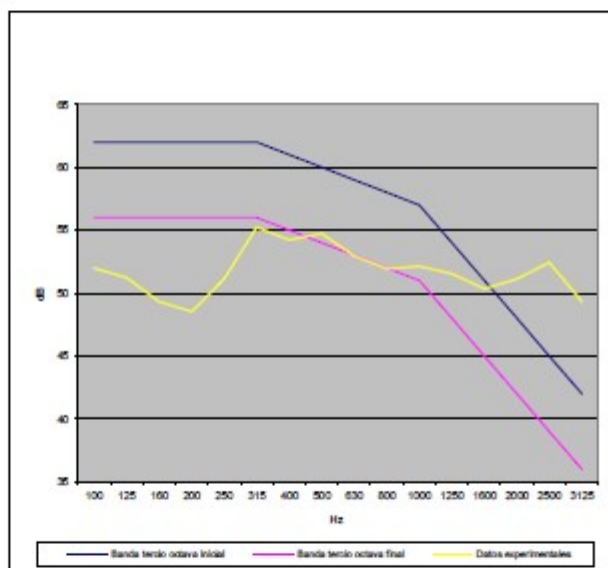
Aula 105:Máquina de impactos

Aula 005:Toma de valores experimentales

Medida 7 en la posición 4 de la máquina de impactos

Volumen receptor: 244.45 m<sup>3</sup>

| Hz   | L <sub>1/3T</sub> |
|------|-------------------|
| 100  | 52.0              |
| 125  | 51.2              |
| 160  | 49.3              |
| 200  | 48.5              |
| 250  | 51.1              |
| 315  | 55.2              |
| 400  | 54.2              |
| 500  | 54.7              |
| 630  | 52.9              |
| 800  | 51.9              |
| 1000 | 52.1              |
| 1250 | 51.5              |
| 1600 | 50.3              |
| 2000 | 51.1              |
| 2500 | 52.4              |
| 3150 | 49.3              |
| 4000 | 45.3              |



#### Valoración según ISO 717-2

L<sub>1/3Tw</sub> : 54 dB

Evaluación basada en resultados de la medida in situ obtenidas en bandas de tercio de octava mediante un método de ingeniería

Nº informe 26

Proyecto : Estudio al ruido ascendente por impacto

Autor: Gregorio Chacón Leiva

Tutor : Pedro Flores Domínguez-Rodiño

### Nivel de ruidos de impactos estandarizados según la Norma ISO 140-7

#### Medida in situ del aislamiento a ruido de impactos

Cliente: Escuela Ingenieros Sevilla

Fecha ensayo 14.06.14

#### Descripción e identificación de la edificación y disposición ensayo.

Escuela Ingenieros Sevilla

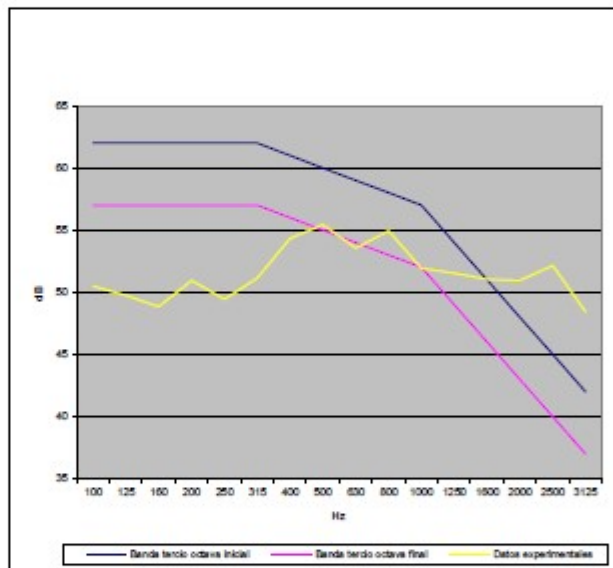
Aula 105:Máquina de impactos

Aula 005:Toma de valores experimentales

Medida 8 en la posición 4 de la máquina de impactos

Volumen receptor: 244.45 m<sup>3</sup>

| Hz   | L <sub>1/3T</sub> |
|------|-------------------|
| 100  | 50.5              |
| 125  | 49.7              |
| 160  | 48.8              |
| 200  | 50.9              |
| 250  | 49.4              |
| 315  | 51.1              |
| 400  | 54.3              |
| 500  | 55.4              |
| 630  | 53.5              |
| 800  | 54.9              |
| 1000 | 51.9              |
| 1250 | 51.5              |
| 1600 | 51.0              |
| 2000 | 50.9              |
| 2500 | 52.1              |
| 3150 | 48.4              |
| 4000 | 44.6              |



#### Valoración según ISO 717-2

L<sub>1/3Tw</sub> : 55 dB

Evaluación basada en resultados de la medida in situ obtenidas en bandas de tercio de octava mediante un método de ingeniería

Nº informe 27

Proyecto : Estudio al ruido ascendente por impacto

Autor: Gregorio Chacón Leiva

Tutor : Pedro Flores Domínguez-Rodiño

## 10. REFERENCIAS

[1] UNE-EN-ISO 140:7. "Acustica: Medición del aislamiento acústico en los edificios y de los elementos de construcción. Parte 7: Medición in situ del aislamiento acústico de suelos a ruido de impacto." (UNE-EN-ISO 140:7:1998), p.6,ecuación.1

[2] *Ibíd.*p.6

[3] UNE-EN 12345-2 ."Acustica: Estimación de las características acústicas de las edificaciones a partir de las características de sus elementos. Parte 2 Aislamiento acústico a ruido de impactos entre edificios". (UNE-EN 12345-2:2001), p.7,ecuación.1

[4] *Ibíd.*p.7,ecuación.2 y 3

[5] *Ob.cit* p.8, ecuación.5

[6] *Ob cit*.p.8

[7] *Ob cit*.p.8,ecuación.6

[8] *Ob cit*.p.9,ecuación.7

[9] *Ob.cit*.p.9

[10] *Ob.cit*.p.9,ecuación.8

[11] *Ob.cit*.p.9,ecuación.9

[12] *Ob.cit*.p.10

[13] *Ob.cit*.p.10

[14] *Ob.cit*.p.10,ecuación.10

[15] *Ob.cit*.p.10

[16] *Ob.cit*.p.10,ecuación.11

[17] *Ob.cit*.p.11,ecuación.12

[18] *Ob.cit*.p.15,ecuación.21

[19] UNE-EN-ISO 140:7. "Acustica: Medición del aislamiento acústico en los edificios y de los elementos de construcción. Parte 7: Medición in situ del aislamiento acústico de suelos a ruido de impacto." (UNE-EN-ISO 140:7:1998), p.8-9.

[20] *Ibíd.*p.12-13.

[21] Arribas, J.I. "Imagen de tiempo de reverberación". Universidad de Valladolid, (2005), disponible en:

[https://www.lpi.tel.uva.es/~nacho/docencia/ing\\_ond\\_1/trabajos\\_04\\_05/io6/public\\_html/Parametros.html](https://www.lpi.tel.uva.es/~nacho/docencia/ing_ond_1/trabajos_04_05/io6/public_html/Parametros.html).

Proyecto : Estudio al ruido ascendente por impacto

Autor: Gregorio Chacón Leiva

Tutor : Pedro Flores Domínguez-Rodiño

[22] Hurtado, R."Anexo II:Clasificación de recintos.Estudio del cumplimiento del documento de protección contra el ruido del código técnico de edificación del edificio de la escuela superior de Ingenieros de Sevilla". Proyecto Fin de Carrera, Universidad Sevilla, (2011), p.5-8.

[23] Hurtado, R."Estudio del cumplimiento del documento de protección contra el ruido del código técnico de edificación del edificio de la escuela superior de ingenieros de Sevilla."Proyecto Fin de Carrera, Universidad Sevilla, (2011),p.33 Tabla 6.

[24] Lopez, J."Capítulo 4: Caracterización acústica del aula.Acondicionamiento acústico del aula 105 de la Escuela Superior de Ingenieros de Sevilla".Proyecto Fin de Carrera, Universidad de Sevilla, (2008), Tabla 4.1.

[25]*Ibid*.p.94-95.

[26] Hurtado, R."Anexo III: Elementos constructivos.Estudio del cumplimiento del documento de protección contra el ruido del código técnico de edificación del edificio de la escuela superior de ingenieros de Sevilla". Proyecto Fin de Carrera, Universidad Sevilla, (2011), p.28.

[27] *Ibíd*.p.29.

[28] Mateus, D. y Santos, P. "Previsão da transmissão marginal de sons de percussão entre compartimentos sobrepostos" Acústica 2008, Universidad de Coimbra (Portugal), (2008).p.3,ecuación 1.

[29]*Ibid*,ecuación 2.

[30]*Ob.cit*,ecuación 3.

[31] Ministerio de Fomento."Guía de aplicación de aplicación de protección frente al ruido" Madrid (2014), p.89.

[32] UNE-EN 12345-2 ."Acustica: Estimación de las características acústicas de las edificaciones a partir de las características de sus elementos. Parte 2 Aislamiento acústico a ruido de impactos entre edificios." (UNE-EN 12345-2:2001),p.16,Tabla 1.